

T.C.  
YILDIZ TEKNİK ÜNİVERSİTESİ  
FEN BİLİMLERİ ENSTİTÜSÜ

**TÜRKİYE'DE YETİŞEN BAZI *TANACETUM* L. TÜRLERİ  
ÜZERİNDE FİTOKİMYASAL ARAŞTIRMALAR VE  
BİYOAKTİVİTE ÇALIŞMALARI**

**HÜSEYİN SERVİ**

**DOKTORA TEZİ  
KİMYA ANABİLİM DALI  
ORGANİK KİMYA PROGRAMI**

**DANIŞMAN  
PROF. DR. NÜKET ÖCAL**

**İSTANBUL, 2016**

T.C.  
YILDIZ TEKNİK ÜNİVERSİTESİ  
FEN BİLİMLERİ ENSTİTÜSÜ

**TÜRKİYE'DE YETİŞEN BAZI TANACETUM L. TÜRLERİ  
ÜZERİNDE FİTOKİMYASAL ARAŞTIRMALAR VE  
BİYOAKTİVİTE ÇALIŞMALARI**

Hüseyin SERVİ tarafından hazırlanan tez çalışması 23.11.2016 tarihinde aşağıdaki jüri tarafından Yıldız Teknik Üniversitesi Fen Bilimleri Enstitüsü Kimya Anabilim Dalı'nda **DOKTORA TEZİ** olarak kabul edilmiştir.

**Tez Danışmanı**

Prof. Dr. Nüket ÖCAL  
Yıldız Teknik Üniversitesi

**Eş Danışman**

Prof. Dr. Nezhun GÖREN  
Yıldız Teknik Üniversitesi

**Jüri Üyeleri**

Prof. Dr. Nüket ÖCAL  
Yıldız Teknik Üniversitesi

Prof. Dr. Belkiz BİLGİN ERAN  
Yıldız Teknik Üniversitesi

Prof. Dr. Gülaçtı TOPÇU  
Bezmialem Vakıf Üniversitesi

Prof.Dr. Ufuk KOLAK  
İstanbul Üniversitesi

Prof.Dr. Zuhal TURGUT  
Yıldız Teknik Üniversitesi



Bu çalışma, TÜBİTAK-BİDEB 2211-Yurt İçi Doktora Burs Programı tarafından desteklenmiştir.

Bu çalışma, Yıldız Teknik Üniversitesi Bilimsel Araştırma Projeleri Koordinatörlüğü'nün 2014-01-02-DOP04 numaralı projesi ile desteklenmiştir.

Tez çalışması Yıldız Teknik Üniversitesi Moleküler Biyoloji ve Genetik Bölümü Biyotransformasyon ve Mikrobiyoloji laboratuvarında gerçekleşmiştir. Laboratuar alt yapısı “Bitkisel Orijinli Pestisitler Araştırma ve Uygulama Merkezi (BOPAM) ve Ünitelerinin Kurulması (2007-2010)” başlıklı ve 27-DPT-01-07-01 numaralı DPT destekli projeye kurulmuştur.

## ÖNSÖZ

---

“Türkiye’de Yetişen Bazı *Tanacetum L.* Türleri Üzerinde Fitokimyasal ve Biyoaktivite Çalışmaları” başlıklı Doktora tezimin gerçekleştirilmesinde bana her türlü olağın sağlayan Danışmanım Prof. Dr. Nüket Öcal'a, değerli bilgileriyle bana ışık tutan ve tezin her aşamasında bana yol gösteren Eş danışmanım Prof. Dr. Nezhun Gören'e sonsuz teşekkürlerimi sunarım.

Laboratuvar çalışmalarında ve izole edilen maddelerin NMR spektrumları çekilmesinde yardımcı olan destegini hiçbir zaman esirgemeyen Uz. Pınar Çağlar Eyol'a, flavonoidlerin UV/VIS kaymalarını birlikte yaptığı Dr. Ali Şen'e, uçucu yağların araştırılmasını ve aktivite testlerinin yapılmasını sağlayan Yrd. Doç. Dr. Kaan Polatoğlu, Yrd. Doç. Dr. Yasemin Yücel ve Ayşe Nalbantsoy'a, polarimetre çalışmalarında yardımcı olan Dr. Ömer Tahir Günkara'ya çok teşekkür ederim.

Tezin yazım aşamasında destegini esirgemeyen ve laboratuvar çalışmalarında yardımcı olan Esra Yıldırım'a, manevi desteklerinden dolayı Nülüfer ve Hüseyin Şahin'e çok teşekkür ederim.

Doktora tezim süresince, yaşadığım tüm zorlukları, engelleri aşmama yardım eden ve bana her zaman destek olan canım aileme çok teşekkür ederim.

Kasım, 2016

Hüseyin SERVİ

## İÇİNDEKİLER

	Sayfa
SİMGELİSTESİ.....	ix
KISALTMA LİSTESİ .....	x
ŞEKİL LİSTESİ.....	xii
ÇİZELGE LİSTESİ .....	xx
RESİM LİSTESİ .....	xxiii
ÖZET .....	xxiv
ABSTRACT.....	xxvi
BÖLÜM 1	
GİRİŞ .....	1
1.1 Literatür Özeti.....	1
1.2 Tezin Amacı.....	2
1.3 Hipotez.....	2
BÖLÜM 2	
GENEL BİLGİLER .....	4
2.1 Botanik Bilgiler.....	4
2.1.1 Compositae (Asteraceae) Familyası .....	4
2.1.2 <i>Tanacetum</i> L. (Emend. Briq.) Cinsi .....	4
2.1.3 <i>Tanacetum</i> L. Türlerinin Halk Arasında Kullanımı ve Biyolojik Etkileri .....	6
2.1.4 <i>Tanacetum balsamita</i> L. subsp. <i>balsamitoides</i> (Schultz Bip.) Grierson Türü .....	7
2.1.5 <i>Tanacetum mucroniferum</i> Hub.-Mor. & Grierson Türü.....	8
2.2 Sekonder Metabolitler.....	9
2.2.1 Terpenler.....	10
2.2.1.1 Monoterpenler.....	15
2.2.1.2 Seskiterpenler ve Seskiterpen Laktonlar .....	17
2.2.1.3 Triterpenler.....	20

2.2.2	Flavonoidler.....	22
2.2.3	Kumarinler.....	25
2.3	<i>Tanacetum</i> Cinsindeki Bitkilerden Elde Edilen Seskiterpen Laktonlar ve Flavonoidler .....	28
2.3.1	<i>Tanacetum balsamita</i> subsp. <i>balsamitoides</i> ve <i>Tanacetum mucroniferum</i> Bitkileri Üzerine Yapılmış Çalışmalar .....	40

### BÖLÜM 3

#### DENEYSEL BÖLÜM ..... 47

3.1	Bitkisel Materyal.....	47
3.2	İzolasyon Yöntemleri.....	47
3.2.1	Ekstraksiyon.....	47
3.2.2	Kromatografik Yöntemler.....	48
3.2.2.1	Kolon kromatografisi (CC).....	48
3.2.2.2	Partisyon Kromatografisi .....	49
3.2.2.3	Moleküler Elek Kromatografisi (Sephadex LH-20) .....	49
3.2.2.4	İnce Tabaka Kromatografisi (İTK) .....	50
3.2.2.5	Preparatif İnce Tabaka Kromatografisi.....	50
3.2.2.6	Orta basınçlı sıvı kromatografisi (MPLC) .....	51
3.2.2.7	Yüksek performanslı ince tabaka kromatografisi (HPTLC).....	51
3.2.2.8	Asetilleme Reaksiyonu .....	52
3.3	Spektroskopik Yöntemler .....	52
3.3.1	Ultraviyole Spektroskopisi (UV/VIS) .....	52
3.3.2	Infra-Red spektroskopisi (IR) .....	53
3.3.3	Nükleer manyetik rezonans spektroskopisi (NMR).....	53
3.3.4	Kütle Spektroskopisi (MS) .....	53
3.4	Kullanılan Kimyasal Materyaller ve Cihazlar .....	54
3.5	Yapılan Biyolojik Aktivite Çalışmaları .....	56
3.5.1	Antikolinesteraz aktivite .....	56
3.5.2	Antioksidan aktivite .....	56
3.5.3	Sitotoksik aktivite .....	57

### BÖLÜM 4

#### BULGULAR..... 58

4.1	<i>Tanacetum balsamita</i> subsp. <i>balsamitoides</i> (TBB) bitkisinin EA ekstresinden izole edilen maddeler .....	58
4.1.1	Fr4-TBB IIIC fraksiyonundan izole edilen maddeler .....	60
4.1.1.1	TBB IIIC (184-224) 2 (2+3)=1 $\alpha$ -Asetoksi-11 $\beta$ (H),13-dihidrodouglanin (1 $\alpha$ -acetoxy-11 $\beta$ (H),13-dihydrodouglanin).....	62
4.1.1.2	TBB IIIC (225-260) 2.2= Taurin .....	68
4.1.1.3	TBB IIIC (184-224) 2.5 = $\beta$ -Sitosterol .....	74
4.1.2	Fr6-TBB IVB+VA+VB fraksiyonundan izole edilen maddeler .....	75
4.1.2.1	TBB IVB+VA+VB (51-79) (46-52) 2=Santonin .....	79
4.1.2.2	TBB IVB+VA+VB (27-50) 4.3=1 $\alpha$ -asetoksi-4 $\alpha$ -hidroksi-5 $\alpha$ ,6 $\beta$ ,7 $\alpha$ ,11 $\beta$ -H-ödesm-2-en-12,6-olide (Chrysanthemolide) .....	85
4.1.2.3	TBB IVB+VA+VB (51-79) (69-77) 2.5=Pallensis .....	91
4.1.2.4	TBB IVB+VA+VB (51-79) (78-127) 4.3=1 $\alpha$ -asetoksi-3 $\alpha$ -hidroksi-5 $\alpha$ ,6 $\beta$ ,7 $\alpha$ ,11 $\beta$ -H-ödesm-4(15)en-12,6-olide (1-Asetilerivanin) .....	97

4.1.2.5 TBB IVB+VA+VB (51-79) (69-77) 2.6.1 = 1,10-Epoksispiciformin (1,10-Epoxydicarboxylic acid)	102
4.1.2.6 TBB IVB+VA+VB (51-79) (62-68) 9 = 8 $\alpha$ -Hidroksisantamarin (8 $\alpha$ -Hydroxysantamarin)	108
4.1.2.7 TBB IVB+VA+VB (51-79) (69-77) 3.4.2=Tamirin	114
4.1.2.8 TBB IVB+VA+VB (51-79) (68-77) 3.4.1=1 $\alpha$ -Asetoksi-3 $\beta$ -hidroksi, 5 $\alpha$ , 6 $\beta$ , 7 $\alpha$ , 11 $\beta$ (H)-ödesm-4(15)-en-6,12-olide (1 $\alpha$ -Asetoksi-3- <i>epi</i> -erivanin)	121
4.1.2.9 TBB IVB+VA+VB (27-50) 4.1=5-Hidroksi-3',4',6,7-tetrametoksiflavon	129
4.1.2.10 TBB IVB+VA+VB (51-79) (62-68) 2.3= 5,4'-Dihidroksi-6,7,3'-trimetoksiflavon (Cirsilineol)	132
4.1.2.11 TBB IVB+VA+VB (51-79) (62-68) 2.4 = 5,3'-Dihidroksi-6, 7, 4', 5' tetrametoksiflavon	135
4.1.3 Fr5-TBB IID+IVA fraksiyonundan izole edilen maddeler	138
4.1.3.1 TBB IID+IVA (50-59) 4.2=Artemin	139
4.1.3.2 TBB IID+IVA (28-35) 4.3.2=Artesin	144
4.1.3.3 TBB IID+IVA (28-35) 4.4.3=Germacranolide with an 1,5-ether linkage	150
4.1.3.4 TBB IID+IVA (28-35) 4.4.7=7-hidroksikumarin (Umbelliferone)	156
4.1.4 Fr7-TBB IVC fraksiyonundan izole edilen maddeler	158
4.1.4.1 TBB IVC (76-175) (30-33) 6=1 $\alpha$ -Hidroksi-deasetilirinol-4 $\alpha$ ,5 $\beta$ -epoksit (1 $\alpha$ -Hydroxy-desacetylirinol-4 $\alpha$ ,5 $\beta$ -epoxide)	161
4.1.4.2 TBB IVC (76-175) (30-33) 4.2=1 $\alpha$ ,8 $\alpha$ -Dihidroksi-10- <i>epi</i> -arbusculin A (1 $\alpha$ ,8 $\alpha$ -Dihydroxy-10- <i>epi</i> -arbusculin A)	167
4.1.4.3 TBB IVC (12-75) 29 (4.2) = Tavulin	173
4.2 <i>Tanacetum balsamita</i> subsp. <i>balsamitoides</i> (TBB) bitkisinin MeOH ekstresinden izole edilen maddeler	179
4.2.1 TBB MeOH/CH <sub>2</sub> Cl <sub>2</sub> (60-89) 2.4.2=1 $\alpha$ -Hidroksi-1-desoksotamirin (Tanachin)	184
4.2.2 TBB MeOH/EA (27-46) 7.2=Desasetil- $\beta$ -siklopyrethrosin (Desacetyl- $\beta$ -cyclopyrethrosin)	190
4.2.3 TBB MeOH/CH <sub>2</sub> Cl <sub>2</sub> (15-20) 2.5.2.2=5,4'-Dihidroksi-6,7-dimetoksiflavon (Cirsimarinin)	197
4.2.4 TBB MeOH/CH <sub>2</sub> Cl <sub>2</sub> (15-20) 2.5.3.3=5,7,3'-Trihidroksi-6,4',5'trimetoksiflavon	201
4.2.5 TBB MeOH/CH <sub>2</sub> Cl <sub>2</sub> (15-20) 1.4.1.1.1=Isofraxidin	205
4.2.6 TBB MeOH/CH <sub>2</sub> Cl <sub>2</sub> (2-9) 3=7-Metoksikumarin (Herniarin)	207
4.2.7 TBB MeOH/CH <sub>2</sub> Cl <sub>2</sub> (15-20) 2.2=Scopoletin	209
4.3 <i>Tanacetum mucroniferum</i> (TM) bitkisinin EA ekstresinden izole edilen maddeler	211
4.3.1 Fr7-TM VD+VE fraksiyonundan izole edilen maddeler	213
4.3.1.1 TM VD+VE (66-85) 5.3.2=Arsanin	215
4.3.1.2 TM VD+VE (66-85) 3.4=9 $\alpha$ -Asetoksiartecanin (9 $\alpha$ -acetoxyartecanin)	221
4.3.1.3 TM VD+VE (51-65) 5.1=1 $\beta$ -Hidroksi-3 $\beta$ -asetoksi-4Z,10(14)-dien, 6 $\beta$ , 7 $\alpha$ , 11 $\alpha$ (H)-6,12-olide (Mucronolide)	227
4.3.1.4 TM VD+VE (27-33) 4=Salvigenin	248

4.3.1.5 TM VD+VE (34-50) 2.3.1=Scoparone .....	252
4.3.2 Fr6-TM VB+VC fraksiyonundan izole edilen maddeler .....	255
4.3.2.1 TM VB+VC (16-145) 3.2.2=3 $\beta$ -Asetoksi-1 $\beta$ ,10 $\alpha$ -epoksi-6 $\beta$ (H)-7,11 $\alpha$ (H)-germakra-4Z-en-6,12-olide (Ajanolide 1 $\beta$ ,10 $\alpha$ -epoxide) .....	257
4.3.2.3 TM VB+VC (16-145) 6.2 Çöken=5,7,4'-Trihidroksi-6,3'-dimetoksiflavon (Jaceosidin) .....	263
4.3.2.4 TM VB+VC (16-145) 4.2.1= 5,3',4'-Trihidroksi-3,6,7,5'-tetrametoksiflavon .....	266
4.3.3 Fr5-TM IVB+IVC+IVD ve Fr4-TM IID+IVA fraksiyonlarından izole edilen maddeler.....	270
4.3.3.1 TM IVB+IVC+IVD (115-124) 2.5= $\alpha$ -Amirin.....	271
4.4 <i>Tanacetum mucroniferum</i> (TM) bitkisinin MeOH ekstresinden izole edilen maddeler.....	273
4.4.1 TM MeOH/CH <sub>2</sub> Cl <sub>2</sub> (15-22) 7.2.3=1 $\alpha$ ,3 $\beta$ ,10 $\alpha$ -Trihidroksi-7 $\alpha$ ,11 $\alpha$ H-germakra-4-en-12-6 $\alpha$ -olide (1 $\alpha$ ,3 $\beta$ ,10 $\alpha$ -Trihydroxy-7 $\alpha$ ,11 $\alpha$ H-germacra-4-en-12-6 $\alpha$ -olide) .....	275
4.5 Biyolojik Aktivite .....	283
<b>BÖLÜM 5</b>	
<b>SONUÇ VE ÖNERİLER.....</b>	<b>285</b>
<b>KAYNAKLAR .....</b>	<b>298</b>
<b>ÖZGEÇMİŞ .....</b>	<b>316</b>

## SİMGE LİSTESİ

---

$^{\circ}\text{C}$	Derece
$\text{cm}^{-1}$	Frekans
g	Gram
Hz	Hertz
J	Etkileşim sabiti
$\text{M}^+$	Moleküler iyon piki
mg	Miligram
MHz	Megahertz
mL	Mililitre
$m/z$	Kütle/yük
nm	Nanometre
ppm	Milyonda bir parçacık
$\delta$	Kimyasal kayma değeri
$\lambda$	Dalga boyu
%	Yüzde

## KISALTMA LİSTESİ

---

APT	Bağlı Proton Testi
AlCl <sub>3</sub>	Alüminyum klorür
Asetil CoA	Asetil koenzim A
CC	Kolon Kromatografisi
CDCl <sub>3</sub>	Dötöro kloroform
Ce(SO <sub>4</sub> ) <sub>2</sub> .4H <sub>2</sub> O	Seryum sülfat tetrahidrat
CHCl <sub>3</sub>	Kloroform
<sup>13</sup> C NMR	Karbon Nükleer Manyetik Rezonans
COSY	Korelasyon Spektroskopisi
d	Dublet
dd	Dublet dublet
D <sub>2</sub> O	Döteryum oksit
EA	Etil asetat
EI/MS	Elektron İmpakt/Kütle Spektroskopisi
GC/MS	Gaz Kromatografisi/Kütle Spektroskopisi
H <sub>2</sub> SO <sub>4</sub>	Sülfirik asit
H <sub>3</sub> BO <sub>3</sub>	Borik asit
HCl	Hidroklorik asit
HMBC	Heteronükleer Çoklu Bağ Korelasyonu
<sup>1</sup> H NMR	Proton Nükleer Manyetik Rezonans
HPTLC	Yüksek Performanslı İnce Tabaka Kromatografisi
HSQC	Heteronükleer Tek Bağ Kuantum Korelasyonu
ISTE	İstanbul Üniversitesi Eczacılık Fakültesi Herbaryumu
IPP	İzopentil difosfat
IR	İnfrared Spektroskopisi
İTK	İnce Tabaka Kromatografisi
m	Multiplet
MeOH	Metanol
MeOH-d <sub>4</sub>	Dötöro Metanol
MPLC	Orta Basınçlı Sıvı Kromatografisi
MS	Kütle Spektroskopisi
NaOAc	Sodyum asetat
NMR	Nükleer Manyetik Rezonans
pITK	Preoperatif İnce Tabaka Kromatografisi
PRAP	Antioksidan gücünü azaltan fosfomolibden (Phosphomolybdenum

	Reducing Antioxidant Power)
SD	Spin-spin Etkileşmesi
T.	<i>Tanacetum</i>
t	Triplet
UV	Mor Ötesi
UV/VIS.	Mor Ötesi/Görünür Alan Spektroskopisi



## ŞEKİL LİSTESİ

	Sayfa
Şekil 2.1 <i>Tanacetum balsamita</i> subsp. <i>balsamitoides</i> bitkisinin Türkiye'de yayılışı.....	7
Şekil 2.2 <i>Tanacetum mucroniferum</i> bitkisinin Türkiye'de yayılışı .....	9
Şekil 2.3 İzopren (2-metil-1,3-bütadien) .....	10
Şekil 2.4 İzopren birimlerinin bağlanma şekilleri .....	11
Şekil 2.5 Sekonder metabolitlerin oluşumu .....	12
Şekil 2.6 Mevalonik asit-5-pirofosfat oluşumu .....	13
Şekil 2.7 İzopentil pirofosfat oluşumu.....	13
Şekil 2.8 İzopentil pirifosfatın izomerasyonu.....	14
Şekil 2.9 Geranil pirofosfatın oluşumu.....	14
Şekil 2.10 Farnesil pirofosfatın oluşumu .....	14
Şekil 2.11 Geranil-geranil pirifosfat oluşumu .....	15
Şekil 2.12 Terpenlerin Oluşumu .....	16
Şekil 2.13 Monoterpenlerin iskelet yapıları.....	17
Şekil 2.14 Sıklıkla karşılaşılan seskiterpen laktонların yapıları .....	18
Şekil 2.15 Seskiterpenlerin iskelet yapıları.....	19
Şekil 2.16 Genel triterpen iskeletleri .....	21
Şekil 2.17 2-fenil benzopiran yapısı .....	22
Şekil 2.18 Flavonoidlerin yapıları .....	24
Şekil 2.19 $\alpha$ -piron, $\gamma$ -piron ve kumarin bileşikleri.....	25
Şekil 2.20 Kumarin Kromon bileşikleri.....	25
Şekil 2.21 Mono, di-sübstítüie kumarinler .....	26
Şekil 2.22 Piron halkasına mono,di-sübstítüie kumarinler .....	26
Şekil 2.23 Benzen ve piron halkasında sübstítuent taşıyan kumarinler.....	26
Şekil 2.24 Benzen halkasına halkalı yapıların kondenzasyonu ile meydana gelen .....	27
Şekil 2.25 Piron halkasına halkalı yapıların kondenzasyonu ile meydana gelen kumarinler .....	27
Şekil 2.26 Dimer kumarinler .....	27
Şekil 2.27 2 $\beta$ ,3 $\beta$ ,4 $\alpha$ -Trimetil-3 $\alpha$ (3-metilen-4-pentenil)1-siklohekzanon (Balsamiton) maddesinin moleküller yapısı .....	41
Şekil 2.28 Tanabalin maddesinin yapısı .....	42
Şekil 4.1 1 $\alpha$ -Asetoksi-11 $\beta$ (H),13-dihidrodouglanin moleküller yapısı .....	62
Şekil 4.2 1 $\alpha$ -Asetoksi-11 $\beta$ (H),13-dihidrodouglanin $^1$ H-NMR spektrumu .....	64
Şekil 4.2 1 $\alpha$ -Asetoksi-11 $\beta$ (H),13-dihidrodouglanin $^1$ H-NMR spektrumu .....	64
Şekil 4.2 1 $\alpha$ -Asetoksi-11 $\beta$ (H),13-dihidrodouglanin $^1$ H-NMR spektrumu .....	65
Şekil 4.2 1 $\alpha$ -Asetoksi-11 $\beta$ (H),13-dihidrodouglanin $^1$ H-NMR spektrumu .....	65
Şekil 4.3 1 $\alpha$ -Asetoksi-11 $\beta$ (H),13-dihidrodouglanin APT spektrumu.....	66
Şekil 4.4 1 $\alpha$ -Asetoksi-11 $\beta$ (H),13-dihidrodouglanin COSY spektrumu .....	66

Şekil 4.5 1 $\alpha$ -Asetoksi-11 $\beta$ (H),13-dihidrodouglanin HSQC spektrumu .....	67
Şekil 4.6 1 $\alpha$ -Asetoksi-11 $\beta$ (H),13-dihidrodouglanin HMBC spektrumu .....	67
Şekil 4.7 Taurin moleküller yapısı.....	68
Şekil 4.8 Taurin $^1$ H NMR spektrumu .....	70
Şekil 4.8 Taurin $^1$ H NMR spektrumu .....	70
Şekil 4.8 Taurin $^1$ H NMR spektrumu .....	71
Şekil 4.8 Taurin $^1$ H NMR spektrumu .....	71
Şekil 4.9 Taurin APT spektrumu .....	72
Şekil 4.10 Taurin COSY spektrumu .....	72
Şekil 4.11 Taurin HSQC spektrumu .....	73
Şekil 4.12 Taurin HMBC spektrumu .....	73
Şekil 4.13 $\beta$ -Sitosterol moleküller yapısı.....	74
Şekil 4.14 $\beta$ -Sitosterol $^1$ H-NMR spektrumu .....	74
Şekil 4.15 Santonin moleküller yapısı .....	79
Şekil 4.16 Santonin $^1$ H-NMR spektrumu .....	81
Şekil 4.16 Santonin $^1$ H-NMR spektrumu .....	81
Şekil 4.16 Santonin $^1$ H-NMR spektrumu .....	82
Şekil 4.16 Santonin $^1$ H-NMR spektrumu .....	82
Şekil 4.17 Santonin COSY spektrumu .....	83
Şekil 4.18 Santonin APT spektrumu.....	83
Şekil 4.19 Santonin HSQC spektrumu .....	84
Şekil 4.20 Santonin HMBC spektrumu .....	84
Şekil 4.21 Chrysanthemolide moleküller yapısı .....	85
Şekil 4.22 Chrysanthemolide $^1$ H NMR spektrumu.....	87
Şekil 4.22 Chrysanthemolide $^1$ H NMR spektrumu.....	87
Şekil 4.22 Chrysanthemolide $^1$ H NMR spektrumu.....	88
Şekil 4.22 Chrysanthemolide $^1$ H NMR spektrumu.....	88
Şekil 4.23 Chrysanthemolide COSY spektrumu .....	89
Şekil 4.24 Chrysanthemolide APT spektrumu .....	89
Şekil 4.25 Chrysanthemolide HSQC spektrumu .....	90
Şekil 4.26 Chrysanthemolide HMBC spektrumu .....	90
Şekil 4.27 Pallensis moleküller yapısı .....	91
Şekil 4.28 Pallensis $^1$ H-NMR spektrumu .....	93
Şekil 4.28 Pallensis $^1$ H-NMR spektrumu .....	93
Şekil 4.28 Pallensis $^1$ H-NMR spektrumu .....	94
Şekil 4.29 Pallensis COSY spektrumu .....	95
Şekil 4.30 Pallensis APT spektrumu.....	95
Şekil 4.31 Pallensis NOESY spektrumu.....	96
Şekil 4.31 Pallensis NOESY spektrumu.....	96
Şekil 4.32 1-Asetilerivanin moleküller yapısı .....	97
Şekil 4.33 1-Asetilerivanin $^1$ H NMR spektrumu .....	99
Şekil 4.33 1-Asetilerivanin $^1$ H NMR spektrumu .....	99
Şekil 4.33 1-Asetilerivanin $^1$ H NMR spektrumu .....	100
Şekil 4.33 1-Asetilerivanin $^1$ H NMR spektrumu .....	100
Şekil 4.34 1-Asetilerivanin COSY NMR spektrumu.....	101
Şekil 4.35 1-Asetilerivanin APT spektrumu .....	101
Şekil 4.36 1,10-Epoksispiciformin moleküller yapısı.....	102
Şekil 4.37 1,10-Epoksispiciformin $^1$ H NMR spektrumu .....	104
Şekil 4.37 1,10-Epoksispiciformin $^1$ H NMR spektrumu .....	104

Şekil 4.37 1,10-Epoksispiciformin $^1\text{H}$ NMR spektrumu .....	105
Şekil 4.37 1,10-Epoksispiciformin $^1\text{H}$ NMR spektrumu .....	105
Şekil 4.38 1,10-Epoksispiciformin COSY spektrumu.....	106
Şekil 4.39 1,10-Epoksispiciformin APT spektrumu .....	106
Şekil 4.40 1,10-Epoksispiciformin HSQC spektrumu.....	107
Şekil 4.41 1,10-Epoksispiciformin HMBC spektrumu.....	107
Şekil 4.42 8 $\alpha$ -Hidroksisantamarin moleküller yapısı .....	108
Şekil 4.43 8 $\alpha$ -Hidroksisantamarin $^1\text{H}$ NMR spektrumu .....	110
Şekil 4.43 8 $\alpha$ -Hidroksisantamarin $^1\text{H}$ NMR spektrumu .....	110
Şekil 4.43 8 $\alpha$ -Hidroksisantamarin $^1\text{H}$ NMR spektrumu .....	111
Şekil 4.43 8 $\alpha$ -Hidroksisantamarin $^1\text{H}$ NMR spektrumu .....	111
Şekil 4.44 8 $\alpha$ -Hidroksisantamarin COSY spektrumu.....	112
Şekil 4.45 8 $\alpha$ -Hidroksisantamarin APT spektrumu.....	112
Şekil 4.46 8 $\alpha$ -Hidroksisantamarin HSQC spektrumu.....	113
Şekil 4.47 8 $\alpha$ -Hidroksisantamarin HMBC spektrumu.....	113
Şekil 4.48 Tamirin moleküller yapısı.....	114
Şekil 4.49 Tamirin $^1\text{H}$ NMR spektrumu .....	116
Şekil 4.49 Tamirin $^1\text{H}$ NMR spektrumu .....	116
Şekil 4.49 Tamirin $^1\text{H}$ NMR spektrumu .....	117
Şekil 4.49 Tamirin $^1\text{H}$ NMR spektrumu .....	117
Şekil 4.49 Tamirin $^1\text{H}$ NMR spektrumu .....	118
Şekil 4.49 Tamirin $^1\text{H}$ NMR spektrumu .....	118
Şekil 4.50 Tamirin COSY spektrumu.....	119
Şekil 4.51 Tamirin APT spektrumu .....	119
Şekil 4.52 Tamirin HSQC spektrumu.....	120
Şekil 4.53 Tamirin HMBC spektrumu.....	120
Şekil 4.54 1 $\alpha$ -Asetoksi-3- <i>epi</i> -erivanin moleküller yapısı .....	122
Şekil 4.55 1 $\alpha$ -Asetoksi-3- <i>epi</i> -erivanin $^1\text{H}$ NMR spektrumu .....	124
Şekil 4.55 1 $\alpha$ -Asetoksi-3- <i>epi</i> -erivanin $^1\text{H}$ NMR spektrumu .....	124
Şekil 4.55 1 $\alpha$ -Asetoksi-3- <i>epi</i> -erivanin $^1\text{H}$ NMR spektrumu .....	125
Şekil 4.55 1 $\alpha$ -Asetoksi-3- <i>epi</i> -erivanin $^1\text{H}$ NMR spektrumu .....	125
Şekil 4.56 1 $\alpha$ -Asetoksi-3- <i>epi</i> -erivanin COSY spektrumu.....	126
Şekil 4.57 1 $\alpha$ -Asetoksi-3- <i>epi</i> -erivanin APT spektrumu.....	126
Şekil 4.58 1 $\alpha$ -Asetoksi-3- <i>epi</i> -erivanin HSQC spektrumu.....	127
Şekil 4.59 1 $\alpha$ -Asetoksi-3- <i>epi</i> -erivanin HMBC spektrumu .....	127
Şekil 4.60 1 $\alpha$ -Asetoksi-3- <i>epi</i> -erivanin NOESY spektrumu .....	128
Şekil 4.61 1 $\alpha$ -Asetoksi-3- <i>epi</i> -erivanin kütle spektrumu .....	128
Şekil 4.62 5-Hidroksi-3',4',6,7-tetrametoksiflavon moleküller yapısı.....	129
Şekil 4.63 5-Hidroksi-3',4',6,7-tetrametoksiflavon UV/VIS kayma spektrumları .....	130
Şekil 4.64 5-Hidroksi-3',4',6,7-tetrametoksiflavon $^1\text{H-NMR}$ spektrumu .....	131
Şekil 4.64 5-Hidroksi-3',4',6,7-tetrametoksiflavon $^1\text{H-NMR}$ spektrumu .....	131
Şekil 4.65 Cirsilineol moleküller yapısı.....	132
Şekil 4.66 Cirsilineol $^1\text{H}$ NMR spektrumu .....	133
Şekil 4.66 Cirsilineol $^1\text{H}$ NMR spektrumu .....	133
Şekil 4.67 Cirsilineol UV/VIS kayma spektrumları .....	134
Şekil 4.68 5,3'-Dihidroksi-6,7,4',5' tetrametoksiflavon moleküller yapısı .....	135
Şekil 4.69 5,3'-Dihidroksi-6,7,4',5' tetrametoksiflavon UV/VIS kayma spektrumları.	136
Şekil 4.70 5,3'-Dihidroksi-6,7,4',5' tetrametoksiflavon $^1\text{H}$ NMR spektrumu.....	137
Şekil 4.70 5,3'-Dihidroksi-6,7,4',5' tetrametoksiflavon $^1\text{H}$ NMR spektrumu.....	137

Şekil 4.71 Artemin moleküller yapısı .....	139
Şekil 4.72 Artemin $^1\text{H}$ NMR spektrumu.....	141
Şekil 4.72 Artemin $^1\text{H}$ NMR spektrumu.....	141
Şekil 4.73 Artemin COSY spektrumu .....	142
Şekil 4.74 Artemin APT spektrumu .....	142
Şekil 4.75 Artemin HSQC spektrumu .....	143
Şekil 4.76 Artemin HMBC spektrumu .....	143
Şekil 4.77 Artesin moleküller yapısı.....	144
Şekil 4.78 Artesin $^1\text{H}$ NMR spektrumu .....	146
Şekil 4.78 Artesin $^1\text{H}$ NMR spektrumu .....	146
Şekil 4.78 Artesin $^1\text{H}$ NMR spektrumu .....	147
Şekil 4.78 Artesin $^1\text{H}$ NMR spektrumu .....	147
Şekil 4.79 Artesin COSY spektrumu .....	148
Şekil 4.80 Artesin APT spektrumu .....	148
Şekil 4.81 Artesin HSQC spektrumu .....	149
Şekil 4.82 Artesin HMBC spektrumu.....	149
Şekil 4.83 Germacranolide with an 1,5-ether linkage moleküller yapısı.....	150
Şekil 4.84 Germacranolide with an 1,5-ether linkage $^1\text{H}$ NMR spektrumu .....	152
Şekil 4.84 Germacranolide with an 1,5-ether linkage $^1\text{H}$ NMR spektrumu .....	152
Şekil 4.84 Germacranolide with an 1,5-ether linkage $^1\text{H}$ NMR spektrumu .....	153
Şekil 4.84 Germacranolide with an 1,5-ether linkage $^1\text{H}$ NMR spektrumu .....	153
Şekil 4.85 Germacranolide with an 1,5-ether linkage COSY spektrumu .....	154
Şekil 4.86 Germacranolide with an 1,5-ether linkage APT spektrumu .....	154
Şekil 4.87 Germacranolide with an 1,5-ether linkage HSQC spektrumu .....	155
Şekil 4.88 Germacranolide with an 1,5-ether linkage HMBC spektrumu .....	155
Şekil 4.89 Umbelliferone moleküller yapısı .....	156
Şekil 4.90 Umbelliferone $^1\text{H}$ NMR spektrumu.....	157
Şekil 4.91 Umbelliferone COSY spektrumu .....	157
Şekil 4.92 $1\alpha$ -Hidroksi-deasetilirinol- $4\alpha,5\beta$ -epoksit moleküller yapısı .....	161
Şekil 4.93 $1\alpha$ -Hidroksi-deasetilirinol- $4\alpha,5\beta$ -epoksit $^1\text{H-NMR}$ spektrumu.....	163
Şekil 4.93 $1\alpha$ -Hidroksi-deasetilirinol- $4\alpha,5\beta$ -epoksit $^1\text{H-NMR}$ spektrumu.....	163
Şekil 4.93 $1\alpha$ -Hidroksi-deasetilirinol- $4\alpha,5\beta$ -epoksit $^1\text{H-NMR}$ spektrumu.....	164
Şekil 4.93 $1\alpha$ -Hidroksi-deasetilirinol- $4\alpha,5\beta$ -epoksit $^1\text{H-NMR}$ spektrumu.....	164
Şekil 4.94 $1\alpha$ -Hidroksi-deasetilirinol- $4\alpha,5\beta$ -epoksit COSY spektrumu.....	165
Şekil 4.95 $1\alpha$ -Hidroksi-deasetilirinol- $4\alpha,5\beta$ -epoksit APT spektrumu.....	165
Şekil 4.96 $1\alpha$ -Hidroksi-deasetilirinol- $4\alpha,5\beta$ -epoksit HSQC spektrumu.....	166
Şekil 4.97 $1\alpha$ -Hidroksi-deasetilirinol- $4\alpha,5\beta$ -epoksit HMBC spektrumu.....	166
Şekil 4.98 $1\alpha,8\alpha$ -Dihidroksi-10- <i>epi</i> -arbusulin A moleküller yapısı .....	167
Şekil 4.99 $1\alpha,8\alpha$ -Dihidroksi-10- <i>epi</i> -arbusulin A $^1\text{H}$ NMR spektrumu .....	169
Şekil 4.99 $1\alpha,8\alpha$ -Dihidroksi-10- <i>epi</i> -arbusulin A $^1\text{H}$ NMR spektrumu .....	169
Şekil 4.99 $1\alpha,8\alpha$ -Dihidroksi-10- <i>epi</i> -arbusulin A $^1\text{H}$ NMR spektrumu .....	170
Şekil 4.99 $1\alpha,8\alpha$ -Dihidroksi-10- <i>epi</i> -arbusulin A $^1\text{H}$ NMR spektrumu .....	170
Şekil 4.100 $1\alpha,8\alpha$ -Dihidroksi-10- <i>epi</i> -arbusulin A COSY spektrumu.....	171
Şekil 4.101 $1\alpha,8\alpha$ -Dihidroksi-10- <i>epi</i> -arbusulin A APT spektrumu.....	171
Şekil 4.102 $1\alpha,8\alpha$ -Dihidroksi-10- <i>epi</i> -arbusulin A HSQC spektrumu.....	172
Şekil 4.103 $1\alpha,8\alpha$ -Dihidroksi-10- <i>epi</i> -arbusulin A HMBC spektrumu .....	172
Şekil 4.104 Tavulin moleküller yapısı .....	173
Şekil 4.105 Tavulin $^1\text{H}$ NMR spektrumu.....	175
Şekil 4.105 Tavulin $^1\text{H}$ NMR spektrumu.....	175

Şekil 4.105 Tavulin $^1\text{H}$ NMR spektrumu.....	176
Şekil 4.105 Tavulin $^1\text{H}$ NMR spektrumu.....	176
Şekil 4.106 Tavulin COSY spektrumu .....	177
Şekil 4.107 Tavulin APT spektrumu .....	177
Şekil 4.108 Tavulin HSQC spektrumu .....	178
Şekil 4.109 Tavulin HMBC spektrumu .....	178
Şekil 4.110 1 $\alpha$ -Hidroksi-1-desoksotamirin moleküller yapısı .....	184
Şekil 4.111 Tanachin $^1\text{H}$ NMR spektrumu .....	186
Şekil 4.111 Tanachin $^1\text{H}$ NMR spektrumu .....	186
Şekil 4.111 Tanachin $^1\text{H}$ NMR spektrumu .....	187
Şekil 4.111 Tanachin $^1\text{H}$ NMR spektrumu .....	187
Şekil 4.112 Tanachin COSY spektrumu.....	188
Şekil 4.113 Tanachin APT spektrumu .....	188
Şekil 4.114 Tanachin HSQC spektrumu.....	189
Şekil 4.115 Tanachin HMBC spektrumu.....	189
Şekil 4.116 Desasetil- $\beta$ -siklopyrethrosin moleküller yapısı .....	190
Şekil 4.117 Desasetil- $\beta$ -siklopyrethrosin $^1\text{H}$ NMR spektrumu.....	192
Şekil 4.117 Desasetil- $\beta$ -siklopyrethrosin $^1\text{H}$ NMR spektrumu.....	192
Şekil 4.117 Desasetil- $\beta$ -siklopyrethrosin $^1\text{H}$ NMR spektrumu.....	193
Şekil 4.117 Desasetil- $\beta$ -siklopyrethrosin $^1\text{H}$ NMR spektrumu.....	193
Şekil 4.117 Desasetil- $\beta$ -siklopyrethrosin $^1\text{H}$ NMR spektrumu.....	194
Şekil 4.118 Desasetil- $\beta$ -siklopyrethrosin asetil türevinin $^1\text{H}$ NMR spektrumu.....	194
Şekil 4.119 Desasetil- $\beta$ -siklopyrethrosin COSY spektrumu .....	195
Şekil 4.120 Desasetil- $\beta$ -siklopyrethrosin APT spektrumu .....	195
Şekil 4.121 Desasetil- $\beta$ -siklopyrethrosin HSQC spektrumu .....	196
Şekil 4.122 Desasetil- $\beta$ -siklopyrethrosin HMBC spektrumu .....	196
Şekil 4.123 Cirsimarinin moleküller yapısı .....	197
Şekil 4.124 Cirsimarinin UV/VIS kayma spektrumları.....	198
Şekil 4.125 Cirsimarinin $^1\text{H}$ NMR spektrumu.....	199
Şekil 4.125 Cirsimarinin $^1\text{H}$ NMR spektrumu.....	200
Şekil 4.126 Cirsimarinin APT spektrumu .....	200
Şekil 4.127 5,7,3'-Trihidroksi-6,4',5'-trimetoksiflavon moleküller yapısı .....	201
Şekil 4.128 5,7,3'-Trihidroksi-6,4',5'-trimetoksiflavon UV/VIS kayma spektrumları .....	202
Şekil 4.129 5,7,3'-trihidroksi-6,4',5' trimetoksiflavon $^1\text{H}$ NMR spektrumu.....	203
Şekil 4.129 5,7,3'-trihidroksi-6,4',5' trimetoksiflavon $^1\text{H}$ NMR spektrumu.....	203
Şekil 4.129 5,7,3'-Trihidroksi-6,4',5'-trimetoksiflavon $^1\text{H}$ NMR spektrumu .....	204
Şekil 4.130 5,7,3'-Trihidroksi-6,4',5'-trimetoksiflavon $^1\text{H}$ NMR (CDCl <sub>3</sub> +D <sub>2</sub> O) spektrumu.....	204
Şekil 4.131 Isofraxidin moleküller yapısı .....	205
Şekil 4.132 Isofraxidin $^1\text{H-NMR}$ spektrumu .....	206
Şekil 4.133 Isofraxidin APT spektrumu .....	206
Şekil 4.133 Herniarin moleküller yapısı .....	207
Şekil 4.134 Herniarin $^1\text{H-NMR}$ spektrumu .....	208
Şekil 4.134 Herniarin $^1\text{H-NMR}$ spektrumu .....	208
Şekil 4.135 Scopoletin moleküller yapısı .....	209
Şekil 4.136 Scopoletin $^1\text{H-NMR}$ spektrumu .....	210
Şekil 4.136 Scopoletin $^1\text{H-NMR}$ spektrumu .....	210
Şekil 4.137 Arsanin moleküller yapısı.....	215
Şekil 4.138 Arsanin $^1\text{H-NMR}$ spektrumu .....	217

Şekil 4.138 Arsanin $^1\text{H-NMR}$ spektrumu .....	217
Şekil 4.138 Arsanin $^1\text{H-NMR}$ spektrumu .....	218
Şekil 4.139 Arsanin COSY spektrumu .....	218
Şekil 4.140 Arsanin APT spektrumu .....	219
Şekil 4.141 Arsanin HSQC spektrumu .....	219
Şekil 4.142 Arsanin HMBC spektrumu .....	220
Şekil 4.143 Arsanin NOESY spektrumu .....	220
Şekil 4.144 9 $\alpha$ -Asetoksiartecanin moleküller yapısı .....	221
Şekil 4.145 9 $\alpha$ -Asetoksiartecanin $^1\text{H-NMR}$ spektrumu .....	223
Şekil 4.145 9 $\alpha$ -Asetoksiartecanin $^1\text{H-NMR}$ spektrumu .....	223
Şekil 4.145 9 $\alpha$ -Asetoksiartecanin $^1\text{H-NMR}$ spektrumu .....	224
Şekil 4.145 9 $\alpha$ -Asetoksiartecanin $^1\text{H-NMR}$ spektrumu .....	224
Şekil 4.146 9 $\alpha$ -Asetoksiartecanin COSY spektrumu .....	225
Şekil 4.147 9 $\alpha$ -Asetoksiartecanin APT spektrumu .....	225
Şekil 4.148 9 $\alpha$ -Asetoksiartecanin HSQC spektrumu .....	226
Şekil 4.150 Mucronolide moleküller yapısı .....	230
Şekil 4.151 Mucronolide $^1\text{H-NMR}$ (d-piridin) spektrumu .....	231
Şekil 4.151 Mucronolide $^1\text{H-NMR}$ (d-piridin) spektrumu .....	231
Şekil 4.151 Mucronolide $^1\text{H-NMR}$ (d-piridin) spektrumu .....	232
Şekil 4.151 Mucronolide $^1\text{H-NMR}$ (d-piridin) spektrumu .....	232
Şekil 4.152 Mucronolide $^1\text{H-NMR}$ ( $\text{CDCl}_3$ ) spektrumu .....	233
Şekil 4.153 Mucronolide COSY spektrumu .....	233
Şekil 4.154 Mucronolide APT spektrumu .....	234
Şekil 4.155 Mucronolide HSQC spektrumu .....	234
Şekil 4.156 Mucronolide HMBC spektrumu .....	235
Şekil 4.157 Mucronolide NOESY spektrumu .....	235
Şekil 4.158 Mucronolide H-11 protonunun spin decoupling spektrumu .....	236
Şekil 4.158 Mucronolide H-11 protonunun spin decoupling spektrumu .....	236
Şekil 4.158 Mucronolide H-11 protonunun spin decoupling spektrumu .....	237
Şekil 4.159 Mucronolide H-7 protonunun spin decoupling spektrumu .....	237
Şekil 4.159 Mucronolide H-7 protonunun spin decoupling spektrumu .....	238
Şekil 4.159 Mucronolide H-7 protonunun spin decoupling spektrumu .....	238
Şekil 4.159 Mucronolide H-7 protonunun spin decoupling spektrumu .....	239
Şekil 4.160 Mucronolide H-5 protonunun spin decoupling spektrumu .....	239
Şekil 4.160 Mucronolide H-5 protonunun spin decoupling spektrumu .....	240
Şekil 4.160 Mucronolide H-5 protonunun spin decoupling spektrumu .....	240
Şekil 4.161 Mucronolide H-6 protonunun spin decoupling spektrumu .....	241
Şekil 4.161 Mucronolide H-6 protonunun spin decoupling spektrumu .....	241
Şekil 4.161 Mucronolide H-6 protonunun spin decoupling spektrumu .....	242
Şekil 4.162 Mucronolide H-3 protonunun spin decoupling spektrumu .....	242
Şekil 4.162 Mucronolide H-3 protonunun spin decoupling spektrumu .....	243
Şekil 4.162 Mucronolide H-3 protonunun spin decoupling spektrumu .....	243
Şekil 4.163 Mucronolide H-1 protonunun spin decoupling spektrumu .....	244
Şekil 4.163 Mucronolide H-1 protonunun spin decoupling spektrumu .....	244
Şekil 4.164 Mucronolide H-9 protonunun spin decoupling spektrumu .....	245
Şekil 4.164 Mucronolide H-9 protonunun spin decoupling spektrumu .....	245
Şekil 4.164 Mucronolide H-9 protonunun spin decoupling spektrumu .....	246
Şekil 4.165 Mucronolide H-8' protonunun spin decoupling spektrumu .....	246
Şekil 4.165 Mucronolide H-8' protonunun spin decoupling spektrumu .....	247

Şekil 4.166 Mucronolide kütle spektrumu.....	247
Şekil 4.167 Salvigenin moleküller yapısı .....	248
Şekil 4.168 Salvigenin UV/VIS kayma spektrumları .....	249
Şekil 4.169 Salvigenin $^1\text{H}$ NMR spektrumu .....	250
Şekil 4.169 Salvigenin $^1\text{H}$ NMR spektrumu .....	250
Şekil 4.169 Salvigenin $^1\text{H}$ NMR spektrumu .....	251
Şekil 4.170 Salvigenin APT spektrumu.....	251
Şekil 4.171 Scoparone moleküller yapısı.....	252
Şekil 4.172 Scoparone $^1\text{H}$ NMR spektrumu .....	253
Şekil 4.173 Scoparone APT spektrumu.....	253
Şekil 4.174 Scoparone HSQC spektrumu .....	254
Şekil 4.175 Scoparone HMBC spektrumu.....	254
Şekil 4.176 Ajanolide $1\beta,10\alpha$ -epoksit moleküller yapısı.....	258
Şekil 4.177 Ajanolide $1\beta,10\alpha$ -epoksit $^1\text{H}$ NMR spektrumu .....	259
Şekil 4.177 Ajanolide $1\beta,10\alpha$ -epoksit $^1\text{H}$ NMR spektrumu .....	259
Şekil 4.178 Ajanolide $1\beta,10\alpha$ -epoksit COSY spektrumu.....	260
Şekil 4.179 Ajanolide $1\beta,10\alpha$ -epoksit APT spektrumu .....	260
Şekil 4.180 Ajanolide $1\beta,10\alpha$ -epoksit HSQC spektrumu .....	261
Şekil 4.181 Ajanolide $1\beta,10\alpha$ -epoksit HMBC spektrumu.....	261
Şekil 4.182 Ajanolide $1\beta,10\alpha$ -epoksit NOESY spektrumu .....	262
Şekil 4.183 Ajanolide $1\beta,10\alpha$ -epoksit kütle spektrumu.....	262
Şekil 4.184 Jaceosidin moleküller yapısı.....	263
Şekil 4.185 Jaceosidin UV/VIS kayma spektrumları .....	264
Şekil 4.186 Jaceosidin $^1\text{H}$ NMR spektrumu .....	265
Şekil 4.186 Jaceosidin $^1\text{H}$ NMR spektrumu .....	265
Şekil 4.187 $5,3',4'$ -Trihidroksi- $3,6,7,5'$ -tetrametoksiflavon moleküller yapısı.....	266
Şekil 4.188 $5,3',4'$ -Trihidroksi- $3,6,7,5'$ -tetrametoksiflavon UV/VIS kayma spektrumları .....	267
Şekil 4.189 $5,3',4'$ -Trihidroksi- $3,6,7,5'$ -tetrametoksiflavon $^1\text{H}$ NMR spektrumu.....	268
Şekil 4.189 $5,3',4'$ -Trihidroksi- $3,6,7,5'$ -tetrametoksiflavon $^1\text{H}$ NMR spektrumu.....	268
Şekil 4.190 $5,3',4'$ -Trihidroksi- $3,6,7,5'$ -tetrametoksiflavon APT spektrumu .....	269
Şekil 4.191 $5,3',4'$ -Trihidroksi- $3,6,7,5'$ -tetrametoksiflavon HSQC spektrumu .....	269
Şekil 4.192 $\alpha$ -Amirin moleküller yapısı .....	271
Şekil 4.193 $\alpha$ -Amirin $^1\text{H}$ NMR spektrumu .....	272
Şekil 4.193 $\alpha$ -Amirin $^1\text{H}$ NMR spektrumu .....	272
Şekil 4.194 $1\alpha,3\beta,10\alpha$ -Trihidroksi- $7\alpha,11\alpha\text{H}$ -germakra-4-en-12- $6\alpha$ -olide moleküller yapısı .....	276
Şekil 4.195 $1\alpha,3\beta,10\alpha$ -Trihidroksi- $7\alpha,11\alpha\text{H}$ -germakra-4-en-12- $6\alpha$ -olide $^1\text{H}$ NMR spektrumu.....	278
Şekil 4.195 $1\alpha,3\beta,10\alpha$ -Trihidroksi- $7\alpha,11\alpha\text{H}$ -germakra-4-en-12- $6\alpha$ -olide $^1\text{H}$ NMR spektrumu.....	278
Şekil 4.195 $1\alpha,3\beta,10\alpha$ -Trihidroksi- $7\alpha,11\alpha\text{H}$ -germakra-4-en-12- $6\alpha$ -olide $^1\text{H}$ NMR spektrumu.....	279
Şekil 4.195 $1\alpha,3\beta,10\alpha$ -Trihidroksi- $7\alpha,11\alpha\text{H}$ -germakra-4-en-12- $6\alpha$ -olide $^1\text{H}$ NMR spektrumu.....	279
Şekil 4.196 $1\alpha,3\beta,10\alpha$ -Trihidroksi- $7\alpha,11\alpha\text{H}$ -germakra-4-en-12- $6\alpha$ -olide COSY spektrumu.....	280
Şekil 4.197 $1\alpha,3\beta,10\alpha$ -Trihidroksi- $7\alpha,11\alpha\text{H}$ -germakra-4-en-12- $6\alpha$ -olide APT spektrumu .....	280

Şekil 4.198 $1\alpha,3\beta,10\alpha$ -Trihidroksi- $7\alpha,11\alpha$ H-germakra-4-en-12- $6\alpha$ -olide HSQC spektrumu.....	281
Şekil 4.199 $1\alpha,3\beta,10\alpha$ -Trihidroksi- $7\alpha,11\alpha$ H-germakra-4-en-12- $6\alpha$ -olide HMBC spektrumu.....	281
Şekil 4.200 $1\alpha,3\beta,10\alpha$ -Trihidroksi- $7\alpha,11\alpha$ H-germakra-4-en-12- $6\alpha$ -olide NOESY spektrumu.....	282
Şekil 4.201 $1\alpha,3\beta,10\alpha$ -Trihidroksi- $7\alpha,11\alpha$ H-germakra-4-en-12- $6\alpha$ -olide kütle spektrumu.....	282



## ÇİZELGE LİSTESİ

	Sayfa
Çizelge 2.1 Terpenlerin sınıflandırılması.....	11
Çizelge 2.2 <i>Tanacetum</i> türlerinden izole edilen seskiterpen laktalar, flavonoidler ve yapılan biyolojik aktivite çalışmaları.....	28
Çizelge 3.4.1 Araştırmada kullanılan kimyasallar materyaller ve cihazlar.....	54
Çizelge 4.1 TBB gövde ekstresine yapılan kaba ayırma ve elde edilen fraksiyonlar..	59
Çizelge 4.2 TBB IIIC MPLC ilk kolon fraksiyonları.....	61
Çizelge 4.3 TBB IIIC MPLC ikinci kolon fraksiyonları.....	61
Çizelge 4.4 1 $\alpha$ -Asetoksi-11 $\beta$ (H),13-dihidrodooglanin $^1$ H-NMR ve APT (500 MHz, 125 MHz, CDCl <sub>3</sub> ) kimyasal kayma değerleri.....	63
Çizelge 4.5 Taurin $^1$ H-NMR ve APT (500 MHz, 125 MHz, CDCl <sub>3</sub> ) kimyasal kayma değerleri.....	69
Çizelge 4.6 TBB IVB+VA+VB fraksiyonunun MPLC çözücü sistemleri.....	78
Çizelge 4.7 TBB IVB+VA+VB (51-79) fraksiyonunun kolon kromatografî çözücü sistemleri.....	78
Çizelge 4.8 Santonin $^1$ H-NMR ve APT (500 MHz, 125 MHz, CDCl <sub>3</sub> ) kimyasal kayma değerleri.....	80
Çizelge 4.9 Chrysanthemolide $^1$ H-NMR ve APT (500 MHz, 125 MHz, CDCl <sub>3</sub> ) kimyasal kayma değerleri.....	86
Çizelge 4.10 Pallensis $^1$ H-NMR ve APT (500 MHz, 125 MHz, CDCl <sub>3</sub> ) kimyasal kayma değerleri.....	92
Çizelge 4.11 1-Asetilerivanin $^1$ H-NMR ve APT (500 MHz, 125 MHz, CDCl <sub>3</sub> ) kimyasal kayma değerleri.....	98
Çizelge 4.12 1,10-Epoksispiciformin $^1$ H-NMR ve APT (500 MHz, 125 MHz, CDCl <sub>3</sub> ) kimyasal kayma değerleri.....	103
Çizelge 4.13 8 $\alpha$ -Hidroksisantamarin $^1$ H-NMR ve APT (500 MHz, 125 MHz, MeOD) kimyasal kayma değerleri.....	109
Çizelge 4.14 Tamirin $^1$ H-NMR ve APT (500 MHz, 125 MHz, CDCl <sub>3</sub> ) kimyasal kayma değerleri.....	115
Çizelge 4.15 1 $\alpha$ -Asetoksi-3- <i>epi</i> -erivanin $^1$ H-NMR ve APT (500 MHz, 125 MHz, CDCl <sub>3</sub> ) kimyasal kayma değerleri.....	123
Çizelge 4.16 5-Hidroksi-3',4',6,7-tetrametoksiflavon $^1$ H-NMR (500 MHz, CDCl <sub>3</sub> ) ve UV/VIS ( $\lambda$ Max) kimyasal kayma değerleri.....	129
Çizelge 4.17 Cirsilineol $^1$ H-NMR (500 MHz, CDCl <sub>3</sub> ) ve UV/VIS ( $\lambda$ Max) kimyasal kayma değerleri.....	132
Çizelge 4.18 5,3'-Dihidroksi-6,7,4',5' tetrametoksiflavon $^1$ H-NMR (500 MHz, CDCl <sub>3</sub> ) ve UV/VIS ( $\lambda$ Max) kimyasal kayma değerleri.....	135
Çizelge 4.19 TBB IID+IVA fraksiyonunun MPLC çözücü sistemleri.....	138

Çizelge 4.20 Artemin $^1\text{H-NMR}$ ve APT (500 MHz, 125 MHz, $\text{CDCl}_3$ ) kimyasal kayma değerleri.....	140
Çizelge 4.21 Artesin $^1\text{H-NMR}$ ve APT (500 MHz, 125 MHz, $\text{CDCl}_3$ ) kimyasal kayma değerleri.....	145
Çizelge 4.22 Germacranolide with an 1,5-ether linkage $^1\text{H-NMR}$ ve APT (500 MHz, 125 MHz, $\text{CDCl}_3$ ) kimyasal kayma değerleri.....	151
Çizelge 4.23 Umbelliferone $^1\text{H NMR}$ ( $\text{CDCl}_3$ , 500MHz) kimyasal kayma değerleri.	156
Çizelge 4.24 TBB IVC fraksiyonunun MPLC çözücü sistemi.....	159
Çizelge 4.25 TBB IVC(12-75) fraksiyonunun kolon kromatografi çözücü sistemleri.....	160
Çizelge 4.26 TBB IVC(76-175) fraksiyonunun kolon kromatografi çözücü sistemleri.....	160
Çizelge 4.27 $1\alpha$ -Hidroksi-deasetilirinol- $4\alpha,5\beta$ -epoksit $^1\text{H-NMR}$ (500 MHz, $\text{CDCl}_3$ ) ve APT (125 MHz, $\text{CDCl}_3+\text{d-aseton}$ .....	162
Çizelge 4.28 $1\alpha,8\alpha$ -Dihidroksi-10- <i>epi</i> -arbusculin A $^1\text{H-NMR}$ ve APT (500 MHz, 125 MHz, $\text{CDCl}_3$ ) kimyasal kayma değerleri.....	168
Çizelge 4.29 Tavulin $^1\text{H-NMR}$ (500 MHz, $\text{CDCl}_3$ ) ve APT (125 MHz, $\text{CDCl}_3+\text{d-aseton}$ ) kimyasal kayma değerleri.....	174
Çizelge 4.30 TBB MeOH/ $\text{CH}_2\text{Cl}_2$ fraksiyonuna ait kolon kromatografi çalışması....	181
Çizelge 4.31 TBB MeOH/ $\text{CH}_2\text{Cl}_2$ (48-59) fraksiyonuna ait kolon kromatografi çalışması.....	182
Çizelge 4.32 TBB MeOH/EA fraksiyonuna ait kolon kromatografi çalışması.....	183
Çizelge 4.33 $1\alpha$ -Hidroksi-1-desoksotamirin $^1\text{H-NMR}$ ve APT (500 MHz, 125 MHz, $\text{CDCl}_3$ ) kimyasal kayma değerleri.....	185
Çizelge 4.34 Desasetil- $\beta$ -siklopyrethrosin $^1\text{H-NMR}$ ve APT (500 MHz, 125 MHz, $\text{CDCl}_3$ ) kimyasal kayma değerleri.....	191
Çizelge 4.35 Cirsimarin $^1\text{H-NMR}$ , APT (500 MHz, 125 MHz $\text{CDCl}_3$ ) ve UV/VIS ( $\lambda$ Max) kimyasal kayma değerleri.....	197
Çizelge 4.36 5,7,3'-Trihidroksi-6,4',5'-trimetoksiflavon $^1\text{H-NMR}$ (500 MHz, $\text{CDCl}_3$ ) ve UV/VIS ( $\lambda$ Max) sinyalleri.....	201
Çizelge 4.37 Isofraxidin $^1\text{H NMR}$ ve APT (500 MHz, 125 MHz, $\text{CDCl}_3$ ) kimyasal kayma değerleri.....	205
Çizelge 4.38 Herniarin $^1\text{H-NMR}$ (500 MHz, $\text{CDCl}_3$ ) kimyasal kayma değerleri.....	207
Çizelge 4.39 Scopoletin $^1\text{H NMR}$ (500 MHz, $\text{CDCl}_3$ ) kimyasal kayma değerleri....	209
Çizelge 4.40 TM gövde ekstresine yapılan kaba ayırma ve elde edilen fraksiyonlar..	212
Çizelge 4.41 TM VD+VE fraksiyonun MPLC çalışması.....	214
Çizelge 4.42 Arsanin $^1\text{H-NMR}$ ve APT (500 MHz, 125 MHz, $\text{CDCl}_3$ ) kimyasal kayma değerleri.....	216
Çizelge 4.43 $9\alpha$ -Asetoksiartecanin $^1\text{H-NMR}$ ve APT (500 MHz, 125 MHz, $\text{CDCl}_3$ ) kimyasal kayma değerleri.....	222
Çizelge 4.44 Mucronolide $^1\text{H-NMR}$ ve APT (500 MHz, 125 MHz, d-piridin) kimyasal kayma değerleri.....	230
Çizelge 4.45 Salvigenin $^1\text{H-NMR}$ (500 MHz, $\text{CDCl}_3$ ), APT (125 MHz, $\text{CDCl}_3$ ) ve UV/VIS ( $\lambda$ Max) kimyasal kayma değerleri.....	248
Çizelge 4.46 Scoparone $^1\text{H NMR}$ ve APT (500 MHz, 125 MHz, d-aseton) kimyasal kayma değerleri.....	252
Çizelge 4.47 TM VB+VC fraksiyonunun MPLC çalışması.....	256
Çizelge 4.48 Ajanolide $1\beta,10\alpha$ -epoksit $^1\text{H-NMR}$ ve APT (500 MHz, 125 MHz, $\text{CDCl}_3$ ) kimyasal kayma değerleri.....	258

Çizelge 4.49 Jaceosidin $^1\text{H-NMR}$ (500 MHz, d-aseton) ve UV/VIS ( $\lambda$ Max) kimyasal kayma değerleri.....	263
Çizelge 4.50 5,3',4'-Trihidroksi-3,6,7,5'-tetrametoksiflavon $^1\text{H-NMR}$ , APT (500 MHz, 125 MHz, $\text{CDCl}_3$ ) ve UV/VIS ( $\lambda$ Max) kimyasal kayma değerleri.....	266
Çizelge 4.51 TM IVB+IVC+IVD fraksiyonunun MPLC çalışması.....	270
Çizelge 4.52 TM MeOH/ $\text{CH}_2\text{Cl}_2$ fraksiyonunun kolon kromatografi çalışması.....	274
Çizelge 4.53 1 $\alpha$ ,3 $\beta$ ,10 $\alpha$ -Trihidroksi-7 $\alpha$ ,11 $\alpha$ H-germakra-4-en-12-6 $\alpha$ -olide $^1\text{H-NMR}$ ve APT (500 MHz, 125 MHz, $\text{CDCl}_3$ ) kimyasal kayma değerleri.....	277
Çizelge 4.55 <i>Tanacetum mucroniferum</i> bitkisinin uçucu yağ PRAP aktivite çalışması <sup>a</sup> .....	284
Çizelge 4.54 <i>Tanacetum mucroniferum</i> bitkisinin uçucu yağ asetilkolinesteraz aktivite çalışması <sup>a</sup> .....	284
Çizelge 5.1 TBB bitkisinden izole edilen bileşikler.....	290
Çizelge 5.2 TM bitkisinden izole edilen bileşikler.....	292
Çizelge 5.3 TBB ve TM bitkilerinin etil asetat ekstrelerinden izole edilen bileşiklerin karşılaştırılması.....	293
Çizelge 5.4 TBB ve TM bitkilerinin MeOH ekstrelerinden izole edilen bileşiklerin karşılaştırılması.....	296

## **RESİM LİSTESİ**

---

	Sayfa
Resim 2.1 <i>Tanacetum balsamita</i> subsp. <i>balsamitoides</i> kuru bitkinin genel görünümü.....	8
Resim 2.2 <i>Tanacetum mucroniferum</i> bitkisinin genel görünümü.....	9
Resim 4.1 TBB bitkisi fraksiyonlarının $\text{CHCl}_3\text{:Eter}$ (3:2) çözücü sistemindeki kromatogramı.....	59
Resim 4.2 TM bitkisi fraksiyonlarının çeşitli çözücü sistemleriyle İTK kromatogramları.....	211

## ÖZET

---

# TÜRKİYE'DE YETİŞEN BAZI TANACETUM L. TÜRLERİ ÜZERİNDE FİTOKİMYASAL ARAŞTIRMALAR VE BİYOAKTİVİTE ÇALIŞMALARI

Hüseyin SERVİ

Kimya Anabilim Dalı

Doktora Tezi

Tez Danışmanı: Prof. Dr. Nüket ÖCAL

Eş Danışman: Prof. Dr. Nezhun GÖREN

Bitkiler yetişikleri doğal ortamlardan Prof.Dr. Nezhun Gören ve arkadaşları tarafından farklı yıllarda toplanmıştır. *Tanacetum balsamita* L. ssp. *balsamitoides* (Schultz Bip.) Grierson (ISTE 79241a) bitkisi Van, Güzeldere, Çuh Gediği'nden 2000 yılında, *Tanacetum mucroniferum* Hub.-Mor.& Grierson (ISTE 85425) bitkisi Erzincan, Sakaltutan yöresinden 2008 yılında toplanmıştır. Bitkiler laboratuarda uygun koşullarda kurutulmuş, sırasıyla hekzan, etil asetat ve metanol ekstreleri elde edilmiştir.

Bu çalışmada, bitkilerin etil asetat ve metanol ekstreleri üzerine karşılaştırmalı olarak fitokimyasal araştırmalar yapılmıştır. Etil asetat ve metanol ekstrelerinden kolon kromatografisi, MPLC, HPTLC ve Preparatif İnce Tabaka kromatografisi gibi kromatografik yöntemler kullanılarak sekonder metabolitler izole edilmiş ve saflaştırılmıştır. Sekonder metabolitlerin stereokimyasal yapıları UV, IR, NMR (<sup>1</sup>H-NMR, <sup>13</sup>C-NMR, APT, COSY, HMBC, HSQC, NOESY), MS (EI, CI, HR) ve bazı kimyasal reaksiyonlarla belirlenmiştir. İzolasyon çalışmalarında dördü yeni olmak üzere toplam kırk üç madde elde edilmiş ve yapıları aydınlatılmıştır. *Tanacetum balsamita* L. ssp. *balsamitoides* bitkisinin etil asetat ekstresinden 1 $\alpha$ -Acetoxy-11 $\beta$ (H),13-dihydrodouglanin, Taurin,  $\beta$ -Sitosterol, Santonin, Chrysanthemolide, Pallensis, 1-Acetylerivanin, 1,10-Epoxymericin, 8 $\alpha$ -Hydroxysantamarin, Tamirin, **1 $\alpha$ -Acetoxy-3-epi-erivanin**, Artemin, Artesin, Germacranolide with an 1,5-ether linkage, 1 $\alpha$ -

Hydroxy-deacetylirinol-4 $\alpha$ ,5 $\beta$ -epoxide, 1 $\alpha$ ,8 $\alpha$ -Dihydroxy-10-*epi*-arbusculin A, Tavulin, 5-Hydroxy-3',4',6,7-tetramethoxyflavone, Cirsilineol, 5,3'-Dihydroxy-6,7,4',5'-tetramethoxyflavone, Umbelliferone maddeleri izole edilmiştir. **1 $\alpha$ -Acetoxy-3-*epi*-erivanin** maddesi doğal bir kaynaktan ilk defa tarafımızdan izole edilmiştir. *Tanacetum balsamita* L. ssp. *balsamitoides* bitkisinin MeOH ekstresinden Chrysanthemolide, Pallensis, 1,10-Epoxythiclamin, Taurin, 1-Acetylerivanin, Tavulin, Tanachin, Deacetyl- $\beta$ -cyclopyrethrosin, Cirsimarinin, 5,7,3'-Trihydroxy-6,4',5'-trimethoxyflavone, Isofraxidin, 7-Methoxycoumarin ve Scopoletin maddeleri izole edilmiştir. *Tanacetum mucroniferum* bitkisinin etil asetat ekstresinden Arsanin, 9 $\alpha$ -Acetoxyartecanin, **Mucronolide**, **Ajanolide A Epoxide**,  $\alpha$ -Amyrin, Salvigenin, 5-Hydroxy-3',4',6,7-tetramethoxyflavone, Cirsilineol, Scoparone, Cirsimarinin, Jaceosidin, 5,3',4'-Trihydroxy-3,6,7,5'-tetramethoxyflavone maddeleri izole edilmiştir. **Mucronolide** ve **Ajanolide A epoxide** maddeleri doğal bir kaynaktan ilk defa tarafımızdan izole edilmiştir. *Tanacetum mucroniferum* bitkisinin MeOH ekstresinden **1 $\alpha$ ,3 $\beta$ ,10 $\alpha$ -Trihydroxy-7 $\alpha$ ,11 $\alpha$ H-germacra-4-en-12-6 $\alpha$ -olide**, **Ajanolide A epoxide**, **Mucronolide**, Scopoletin, Umbelliferone, Scoparone, 5-Hydroxy-3',4',6,7-tetramethoxyflavone maddeleri izole edilmiştir. **1 $\alpha$ ,3 $\beta$ ,10 $\alpha$ -Trihydroxy-7 $\alpha$ ,11 $\alpha$ H-germacra-4-en-12-6 $\alpha$ -olide maddesi doğal bir kaynaktan ilk defa tarafımızdan izole edilmiştir.**

*Tanacetum mucroniferum* bitkisinin toprak üstü kısımlarından elde edilen ve GC/MS ile bileşimi belirlenen uçucu yağın asetilkolinesteraz inhibisyonu, antioksidan ve sitotoksik aktiviteleri araştırılmıştır. Bitkinin uçucu yağı yüksek oranda asetilkolinesteraz inhibisyonu göstermiştir. Uçucu yağı çok düşük oranda PRAP (Phosphomolybdenum Reducing Antioxidant Power) antioksidan aktivite göstermiş ve hücre hatlarına karşı herhangi bir sitotoksik aktivite göstermemiştir.

**Anahtar Kelimeler:** *Tanacetum balsamita* L. ssp. *balsamitoides*, *Tanacetum mucroniferum*, sekonder metabolit, uçucu yağ, sitotoksik aktivite, antioksidan aktivite, asetilkolinesteraz inhibisyonu, seskiterpen laktalar, flavonoidler, kumarinler

## ABSTRACT

---

### PHYTOCHEMICAL AND BIOACTIVITY STUDIES ON THE SOME *TANACETUM L.* SPECIES GROWING IN TURKEY

Hüseyin SERVİ

Department of Chemistry

PhD. Thesis

Adviser: Prof. Dr. Nüket ÖCAL

Co-Adviser: Prof. Dr. Nezhun GÖREN

The plants were collected from their natural habitats in different years by Prof.Dr.Nezhun Gören and her colleagues. *Tanacetum balsamita* L. ssp. *balsamitoides* (Schultz Bip.) Grierson was collected from Güzeldere-Çuh breach (Van) in 2000, *Tanacetum mucroniferum* Hub.-Mor.& Grierson was collected from Sakaltutan region (Erzincan) in 2008. The plants were dried at appropriate conditions in the laboratory. The dried plants were extracted with hexan, ethylacetate and methanol respectively.

Comparative phytochemical investigation was carried out on the ethylacetate and methanol extracts of the plants. The secondary metabolites were isolated and purified by means of chromatographic methods such as column chromatography (CC), Medium Pressure Liquid Chromatography (MPLC), High Pressure Thin Layer Chromatography (HPTLC), preparative thin layer chromatography (TLC). Stereochemical structure of secondary metabolites were identified by means of spectral methods such as UV, IR, NMR ( $^1\text{H-NMR}$ ,  $^{13}\text{C-NMR}$ , APT, COSY, HMBC, HSQC, NOESY), MS (EI, CI, HR) and some chemical reactions were carried out. Totally forty three compounds were isolated four of them being new. Their structures were determined by spectral methods. 1 $\alpha$ -Acetoxy-11 $\beta$ (H),13-dihydrodouglanin, Taurin,  $\beta$ -Sitosterol, Santonin, Chrysanthemolide, Pallensis, 1-Acetylerivanin, 1,10-Epoxyisopiciformin, 8 $\alpha$ -Hydroxysantamarin, Tamirin, **1 $\alpha$ -Acetoxy-3-*epi*-erivanin**, Artemin, Artesin, Germacranolide with an 1,5-ether linkage, 1 $\alpha$ -Hydroxy-deacetylirinol-4 $\alpha$ ,5 $\beta$ -epoxide,

$1\alpha,8\alpha$ -Dihydroxy-10-*epi*-arbusculin A, Tavulin, 5-Hydroxy-3',4',6,7-tetramethoxyflavone, Circilineol, 5,3'-Dihydroxy-6,7,4',5'-tetramethoxyflavone and Umbelliferone were isolated from the ethylacetate extract of *Tanacetum balsamita* L. ssp. *balsamitoides*. **1 $\alpha$ -Acetoxy-3-*epi*-erivanin** was isolated from a natural source for the first time by us. Chrysanthemolide, Pallensis, 1,10-Epoxyisopimaritin, Taurin, 1-Acetylerivanin, Tavulin, Tanachin, Deacetyl- $\beta$ -cyclopyrethrosin, Cirsimarin, 5,7,3'-Trihydroxy-6,4',5'-trimethoxyflavone, Isofraxidin, 7-Methoxycoumarin and Scopoletin were isolated from the methanol extract of *Tanacetum balsamita* L. ssp. *balsamitoides*. Arsanin, 9 $\alpha$ -Acetoxyartecanin, **Mucronolide**, **Ajanolide A epoxide**,  $\alpha$ -Amyrin, Salvigenin, 5-Hydroxy-3',4',6,7-tetramethoxyflavone, Cirsilineol, Scoparone, Cirsimarin, Jaceosidin, 5,3',4'-Trihydroxy-3,6,7,5'-tetramethoxyflavone were isolated from the ethylacetate extract of *Tanacetum mucroniferum*. **Mucronolide** and **Ajanolide A epoxide** were isolated from a natural source for the first time by us. **1 $\alpha,3\beta,10\alpha$ -Trihydroxy-7 $\alpha,11\alpha$ H-germacra-4-en-12-6 $\alpha$ -olide**, **Ajanolide A epoxide**, **Mucronolide**, Scopoletin, Umbelliferone, Scoparone, 5-Hydroxy-3',4',6,7-tetramethoxyflavone were isolated from the methanol extract of *Tanacetum mucroniferum*. **1 $\alpha,3\beta,10\alpha$ -Trihydroxy-7 $\alpha,11\alpha$ H-germacra-4-en-12-6 $\alpha$ -olide** was isolated from a natural source for the first time by us.

Composition of the essential oils obtained from flowers of *Tanacetum mucroniferum* was determined by GC/MS. The essential oil was investigated for their acetylcholinesterase inhibition, PRAP antioxidant and cytotoxic activities. The essential oil of *Tanacetum mucroniferum* showed high acetylcholinesterase inhibition. The essential oil showed very low PRAP (Phosphomolybdenum Reducing Antioxidant Power) activity and didn't show considerable cytotoxic activity against cell lines.

**Keywords:** *Tanacetum balsamita* L. ssp. *balsamitoides*, *Tanacetum mucroniferum*, secondary metabolites, essential oil, acetylcholinesterase inhibition, antioxidant activity, cytotoxic activity, sesquiterpene lactones, flavonoids, coumarins

## **BÖLÜM 1**

---

### **GİRİŞ**

#### **1.1 Literatür Özeti**

İnsanlar çok eski zamanlardan beri bitkilerden yakacak, gıda ve birçok hastalığın tedavisi gibi farklı alanlarda faydalananmıştır. 19. Yüzyıldan itibaren bitkilerde mevcut olan etken maddeler sentetik olarak üretilmiştir. Fakat bitkilerden elde edilen sentetik ilaçların birçok olumsuz yan etkiye sahip olması nedeniyle doğal kaynaklı maddeler daha çok tercih edilmeye başlanmıştır.

Modern bilimlerin zamanla gelişimi ve farklı disiplinlerin birlikte çalışması ile bitkinin yapısında bulunan doğal bileşiklerin fitokimyasal yapıları aydınlatılabilimekte ve biyolojik aktiviteleri saptanabilmektedir [1-3]. Bitkiler üzerine yapılan araştırmalarda bitkilerin; savunma, korunma, hayatı kalma ve nesillerini sürdürme gibi önemli olaylarda farklı avantajlar sağlayan kimyasal maddeler içerdikleri belirlenmiştir [4]. Bu kimyasal maddelerin önceden hiçbir işe yaramadığı bitkiler tarafından üretilen atık maddeler olduğu varsayılmıştır. Daha sonra yapılan araştırmalar neticesinde bu kimyasal maddelerin bitkilerin yaşamlarını sürdürmeleri için birinci derecede önemli olmayan; fakat değişen çevre koşullarına uyum sağlama, bitki-zararlı ilişkilerinde önemli role sahip olan ve sekonder metabolit adı verilen doğal ürünler olduğu anlaşılmıştır. Bitki sekonder metabolitleri bitkinin çevre adaptasyonu ile ilişkili olan fakat hücre büyümesi ile ilgisi olmayan moleküllerdir. Bu bileşik grupları genel olarak fitokimyasallar, bitki ksenobiyotikleri, antinutrasyonel faktörler olarak da ifade edilmektedir.

Bugüne kadar yaklaşık 100.000 sekonder metabolit bitkilerden izole edilerek tanımlanmıştır. Her yıl bu sayıya 4.000 kadar yeni bileşik eklenmektedir [5].

Bu maddelerin bitkideki önemli görevleri şunlardır:

- 1- Bitkiyi patojenlere karşı koruma (antifungal, antibakteriyel, antiviral maddeler).
- 2- UV ışınlar, tuzluluk, kuraklık gibi zararlı çevresel etmenlerin neden olduğu stres koşullarında direnç artırma.
- 3- Zararlı hayvanlar ve otlara karşı koruma sağlama (insektisit, herbisitler).
- 4- Çimlenmeyi önleme.
- 5- Tozlaşma ve tohum dağılımını sağlamak üzere hayvanları ve diğer canlıları cezbetme [6].

Sekonder metabolitlerinçoğunun bir bitki cinsine ve hatta bazen bir bitki türüne özgü olduğu, diğer bitkiler tarafından üretilmediği saptanmıştır [7]. Sekonder metabolitlerin bitki bünyesinde çok az miktarda üretildiği fakat gıda ve tıp gibi birçok alanda yaygın olarak kullanıldığı ve ekonomik olarak büyük önem kazandığı bilinmektedir.

## **1.2 Tezin Amacı**

Bu doktora tezi çalışmasında, Asteraceae (Compositae) familyasında bulunan ve daha önce çalışılmamış *Tanacetum mucroniferum* (endemik), *Tanacetum balsamita* subsp. *balsamitoides* bitkilerinin toprak üstü kısımlarından hazırlanan etil asetat ve metanol ekstrelerinden kromatografik yöntemler kullanılarak sekonder metabolitlerin saflaştırılması, saf maddelerin spektroskopik yöntemlerle yapılarının aydınlatılması ve ekstrelerin sekonder metabolit içeriğinin karşılaştırılması; *Tanacetum mucroniferum* toprak üstü kısımlarından elde edilen ve GC/MS ile bileşimi belirlenen uçucu yağıın asetilkolinesteraz inhibisyonu, antioksidan ve sitotoksik aktivitelerinin yapılması amaçlanmıştır.

## **1.3 Hipotez**

*Tanacetum* L. türleri üzerine yapılan çalışmalarla biyoaktif özellik gösteren birçok yeni bileşik belirlenmiştir [8-11]. Bugüne kadar yapılan çalışmalarla başta seskiterpen laktalar olmak üzere, seskiterpenler, flavonoidler, monoterpenler, triterpenler ve kumarinler gibi sekonder metabolitler izole edilmiştir. Belirlenen bu bileşikler antimigren, antiülser, antimikrobiyal, antispasmodik, allergen, antihelmintik, antiinflamatuar, antikoagülant, antifibrinolitik, karminatif, sitotoksik, insektisit gibi

özellikler göstermiştir [12-30]. Genellikle Asteraceae (Composite) familyasındaki bitkilerde bulunan seskiterpen laktонların familya içerisinde kemo-sistematīk önemleri bulunması nedeniyle, *Tanacetum* L. türlerinin araştırılması yeni biyoaktif bileşiklerin bulunması, ekonomik değeri olan türlerin ortaya çıkarılması ve türlerin sistematik sınıflandırmadaki hatalarının giderilmesi açısından önemlidir [31].

## BÖLÜM 2

---

### GENEL BİLGİLER

#### 2.1 Botanik Bilgiler

##### 2.1.1 Compositae (Asteraceae) Familyası

Compositae familyası yeryüzünde geniş yayılım göstermekte ve yaklaşık olarak 1100 cins, 25000 tür ile temsil edilmektedir. Ülkemizde bu familyaya ait 133 cins ve 1156 tür yer almaktadır. Bu türler Asteroideae (Tubuliflorae) ve Cichorioideae (Liguliflorae) olmak üzere iki alt familya altında toplanmaktadır. Ülkemizde yer alan 1156 türün 430'u endemiktir [32-33]. *Tanacetum* L. cinsi Asteroideae alt familyasında yer almaktadır [34].

Kuzey yarımkürede yayılış gösteren *Tanacetum* L. cinsi, Türkiye'de Doğu Anadolu, İç ve Güney Anadolu'da yaygındır. Ülkemizde *Tanacetum* L. cinsine ait 44 tür bulunmakta ve bu türlerin 23'ü endemik özellik göstermektedir.

##### 2.1.2 *Tanacetum* L. (Emend. Briq.) Cinsi

*Tanacetum* taksonları kısa, orta boylu veya uzun çok yıllık bitkilerdir. Genellikle rizomlu, kısa veya uzun, dik veya yükseliçi gövdeli, otsu bazen yarı çalımsıdır. Taksonlar çıplak veya tüylü; tüyler kısa yumuşak veya ikiye çatallanmış olabilir. Yapraklar bütün, dişli, pinnatifit veya 1-3 pinnatisect formundadır. Kapitulum heterogam (çiçekler farklı eşyelere sahip) veya homogam (çiçekler aynı eşyede), tek veya genellikle gevşek dizilişli sık korimbus (kapitulumların oluşturduğu şemsiye şeklinde yapı) şeklinde düzenlenmiştir. İnvolukrum yarı küremsi veya çan şeklinde;

involukrumu oluşturan brakteler kiremit şeklinde dizilmiş, 3-4 sıralı, lanseolat veya oblong formunda olup, braktelerin uç kısımları ve kenarları zarımsıdır. Çiçek tabası düz ve çiplaktır. Dilsiz çiçekler genellikle mevcuttur. Dilsiz çiçeklerin petalleri (=ligula) beyaz, sarı veya pembe, involukrumdan az çok uzun 3 lopludur. Bazı durumlarda dilsiz çiçekler mevcut değildir.. Tüpsü çiçekler 5 loplu ve sarıdır. Akenler silindirik veya çomak şeklinde, 5-10 boyuna oluklu çoğu kez salgı tüylü veya çiplaktır. Korona kısadır veya neredeyse yok gibidir, genellikle lobları veya dışları eşit dağılmamıştır, bazen tek taraflı ve sadece arkadaki yüzde bulunur [32].

*Tanacetum* cinsinin Türkiye'de yetişen türleri Davis tarafından üç grupta ayrılmıştır; bu grupların sistematik anahtarı aşağıda verilmiştir [32].

1. Kapitulum heterogam; ligul formunda diş çiçekler mevcut, bazı durumlarda bu çiçekler belirgin değildir ve nadiren tüpsü çiçeklerden uzundur.

2. Diş çiçekler beyaz, mat sülfür sarısı veya pembemsi kırmızıdır ve her zaman belirgin dilsiz çiçekler vardır. Grup A

2. Diş çiçekler parlak veya koyu sarı, ligulalar bazen belirgin değildir. Grup B

1. Kapitulum homogam, tüm çiçekler tüpsü yapıda; diş çiçekler mevcut değil. Grup C

Bu tez çalışmasında incelenen *Tanacetum balsamita* subsp. *balsamitoides* bitkisi David'in teşhis anahtarında A ve C gruplarında, *Tanacetum mucroniferum* bitkisi ise A grubunda yer almaktadır [32].

#### **Grup A:**

1. Dilsiz çiçekler beyaz veya açık sulfur sarısı renginde

2. Kapitulum, yoğun korimbus içinde birkaç tane yada çok sayıda; involukrum 1 cm'den kısa

3. Yapraklar basit, yumurta-eliptik şekilde, tabanda nadiren 1-2 dikdörtgen  
şeklinde pinnatifid segments bulunmakta ***Tanacetum balsamita***

4. Kapitulum disk şeklinde **subsp. *balsamita***

4. Kapitulum işin şeklinde **subsp. *balsamitoides***

2. Kapitulum, gevşek korimbus içinde tek yada birkaç tane (10'dan az); involukrum

genellikle 1 cm genişliğinden fazla (bazen 0.5 cm genişliğinden olur ama daima tektir).

5. Yapraklar pinnate veya subpalmate şeklinde ayrılmış

6. Yaprak bölünmesi düzgün, segmentler 2 cm genişliğinden daha az, 1-3 pinnatisekt

7. Yaprakların birinci segmentleri çok sayıda, 10-25 çift

8. Olgun bazal yapraklar 2-pinnatisekt, yaprak segmentleri tam olarak dönüşmemiş: ot şeklinde

9. Indumentum beyaz tüylü veya tomentose, kahverengi tüylere sahip değil

10. Yaprak lobları obtuse veya subacute; indumentum ortalama tüylü veya tomentose

10. Yaprak lobları mukronate; indumentum nadir tüylere sahip

### ***T.mucroniferum***

#### **2.1.3 Tanacetum L. Türlerinin Halk Arasında Kullanımı ve Biyolojik Etkileri**

*Tanacetum* L. türleri içermiş oldukları biyoaktif seskiterpen laktalar, flavonoidler ve uçucu yağlar nedeniyle uzun yıllar halk ilaçısı, parfüm, kozmetik hammaddesi ve tatlandırıcı olarak kullanılmıştır [24], [30], [35]. *Tanacetum parthenium* bitkisinden elde edilen esktreler antimigren ilaçı olarak kullanılmakta ve bu özelliğinden dolayı tarımı yapılmaktadır [16], [18], [24]. *Tanacetum vulgare* bitkisi eski çağlardan beri tatlandırıcı olarak kullanılmaktadır. Ama toksik etkiye sahip  $\beta$ -tuyon içermesi nedeniyle günümüzde kullanımı kısıtlandırılmıştır [23], [24], [27], [30], [36], [37]. *Tanacetum coccineum* halk arasında oltu otu olarak bilinmekte ve kaşıntılı deri hastalıklarına karşı kullanılmaktadır [15]. *Tanacetum cinerariaefolium* bitkisi vücut bitini kontrol altına almada kullanılmaktadır [38]. Doğu Anadolu bölgesinde Erzurum, Erzincan, Ağrı, Kars ve Iğdır illeri sınırları arasında bulunan kılıç otu adı ile bilinen *T. balsamita* bitkisinin yapraklarının yaraların iyileşmesinde kullanıldığı belirlenmiştir [39].

#### **2.1.4 *Tanacetum balsamita* L. subsp. *balsamitoides* (Schultz Bip.) Grierson Türü**

Rizomlu çok yıllık bir bitkidir. Gövdesi 35-80 cm, nadiren tüylü, yukarı kısımda dallanmıştır. Bazal yaprakları basit, ovat-eliptik, 12-20 cm x 1-5.5 cm boyutunda (yaprak sapları 8-15 cm), yaprağın apeks kısmı akut veya subobtuse, yaprak tabanı kordat, trunkat veya kuneat şeklinde, yaprak kenarları tırtıklı-testere dişli, yaprağın her iki yüzeyi tüylü; sap boyuta göre azalmakta, alt kısımda kısa bir yaprak sapi, yukarıya doğru yaprak sapsız ve bazen taban kısımda dikdörtgen şeklindeki segmentlerin 1-2 çifti pinnatisekt ile birlikte bulunmaktadır. Kapitulum genellikle serbest üç korimboz içinde çok sayıda (3-)30-100 tanedir. Involukrum 5-8 mm genişliğinde; pulsu yapraklar üç seri halinde, mızrak veya dikdörtgen şeklinde, kenarları açık veya koyu renkli, dış kısmı 2.5 x 0.75 mm, iç kısmı 3-3.5 x 1 mm boyutundadır. İşin çiçekleri 12-15 tane veya yok, dilsiz çiçekler beyaz, 3.5-7 x 1.75-3.5 mm boyutundadır. Tüpsü çiçekler sarı, 2 mm boyutundadır. Akenler düz ve yuvarlak, 2 mm boyutundadır. Korona bütün veya inceden inceye dişli, 0.2-0.4 mm boyutundadır. *Tanacetum balsamita* L. ssp. *balsamitoides* (Schultz Bip.) Grierson 1525-3000 m'de, nemli topraklarda yetişen çok yıllık otsu bir bitkidir. Çiçeklenme zamanı 7-9 ayları arasında olmaktadır. Türkiye'deki dağılımı Kuzey-Doğu ve Doğu Anadolu bölgelerinde iken, genel dağılımı Ermenistan ve Kuzey-Batı İran'dır [32]. *Tanacetum balsamita* subsp. *balsamitoides* bitkisinin genel görünümü Resim 2.1'de ve ülkemizde yetiştiği lokasyonlar Şekil 2.1'de verilmiştir.



Şekil 2.1 *Tanacetum balsamita* subsp. *balsamitoides* bitkisinin Türkiye'de yayılışı



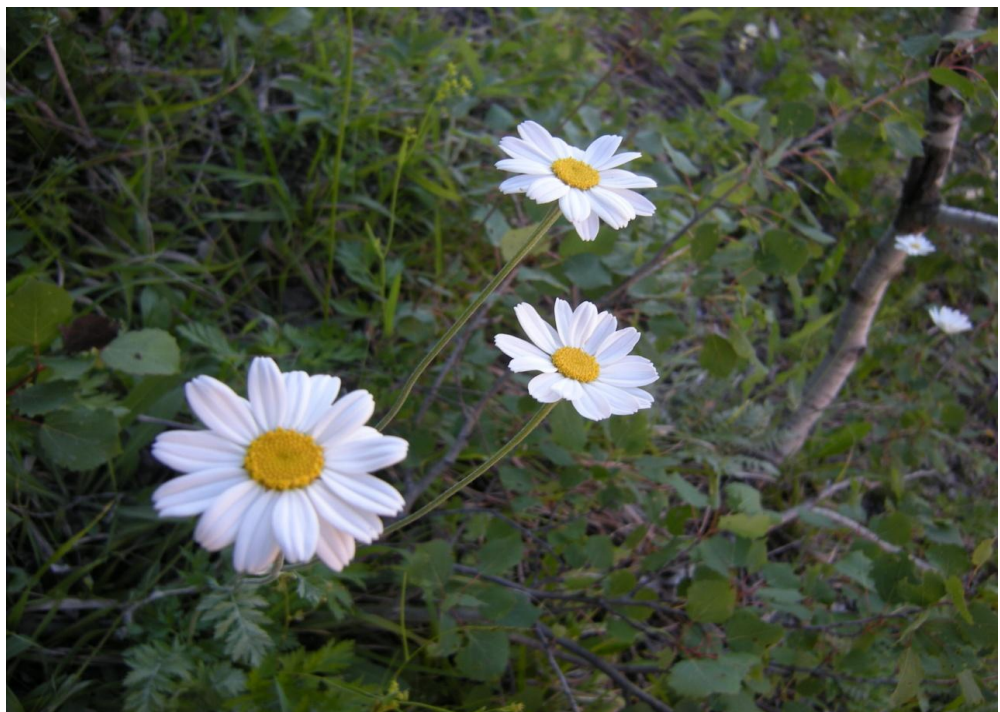
Resim 2.1 *Tanacetum balsamita* subsp. *balsamitoides* kuru bitkinin genel görünümü

### 2.1.5 *Tanacetum mucroniferum* Hub.-Mor. & Grierson Türü

Botanik özellikleri *T. aucheranum* ve *T. sipikorense* türleri arasında yer almaktadır. Indumentumu seyrek veya orta derecede beyaz tüylü ama kahverengi tüyleri yer almamaktadır. Yaprakları *T. aucheranum* türü ile benzerlik göstermekte ama mukronat lobludur. Kapitulumu 1-3 tanedir. Pulsu yapraklar *T. oxylepis* türüne benzerlik göstermekte, yumurta-mızrak şeklinde, kenarları kahverengimsi, uç kısımları akuminat ve dar incedir. Çiçeklenme zamanı 7-8 aylardır. Su kenarlarında veya granitli yamaçlarda 1830-2900 m'de yetişirler. Çok yıllık otsu bir bitkidir. Türkiye'deki dağılım Kuzey-Doğu ve Doğu Anadolu bölgelerindedir. Endemik bir türdür [32]. *Tanacetum mucroniferum* bitkisinin genel görünümü Resim 2.2'de ve ülkemizde yettiği lokasyonlar Şekil 2.2'de verilmiştir.



Şekil 2.2 *Tanacetum mucroniferum* bitkisinin Türkiye'de yayılışı



Resim 2.2 *Tanacetum mucroniferum* bitkisinin genel görünümü

## 2.2 Sekonder Metabolitler

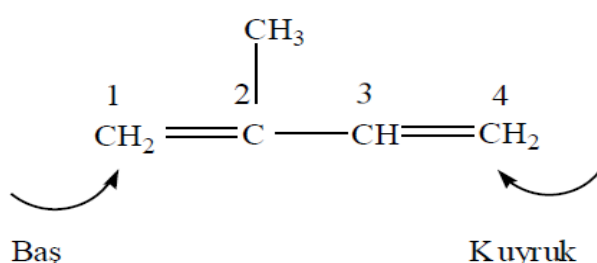
Bitkilerdeki primer metabolitler tüm organizmalarda ortak olan karbonhidrat, protein ve yağlardır. Primer metabolitler organizmaların yaşamsal işlevleri (büyüme, gelişme) için gerekli olan temel maddeleridir. Sekonder metabolitler ise, bitkinin büyümeye ve gelişmesinde katkıda bulunmayan ama bitkinin savunma mekanizmasında, ortama uyumunda, dış etkilerden korunmasında ve bitkilerin diğer canlılarla etkileşimin sağlanmasında rol alan maddelerdir. Sekonder metabolitler, primer metabolitlerin yan

ürünleri olarak üretilmektedir. *Tanacetum* türlerinden günümüze kadar başta seskiterpen laktalar olmak üzere, seskiterpenler, triterpenler, kumarinler, monoterpenler ve flavonoidler gibi sekonder metabolitler izole edilmiştir [29]. Sekonder metabolitlerin oluşumu Şekil 2.5'te verilmiştir [40].

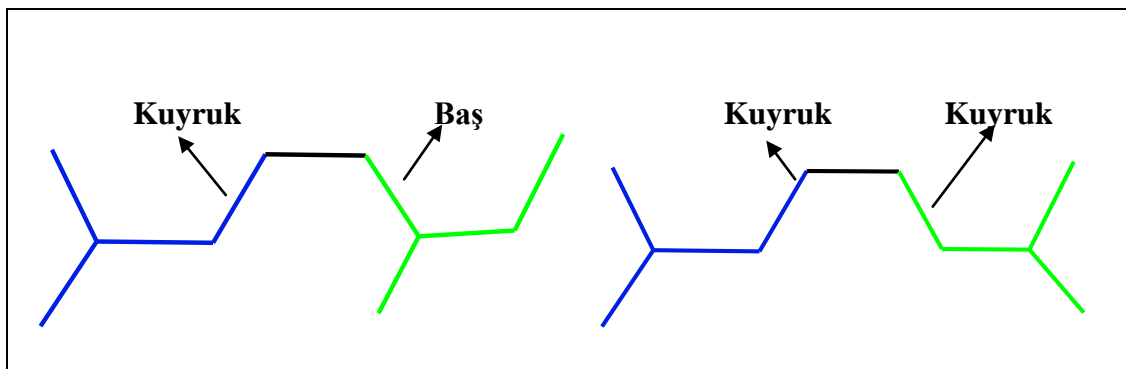
### 2.2.1 Terpenler

“Terpen” sözcüğü çam ağaçlarının reçinesi olarak adlandırılan yapışkan madde terebentin (*Balsamum terebinthinae*) den türemiştir [41]. Terpenler bitki dokularında genellikle serbest olarak, bazıları glikozitleri ya da organik asit esterleri halinde, bazıları da proteinlerle birleşmiş olarak bulunurlar. Terpenlerin yapılarında sadece karbon ve hidrojen olabileceği gibi aynı zamanda oksijen içeren yani alkol, keton, aldehit ve asit grubu taşıyan terpenler de doğada çok yaygın olarak bulunurlar. Oksijen ihtiva eden terpenler “terpenoidler” olarak adlandırılırlar [42].

Terpenler, izopren birimlerinin birbirleriyle birleşmesi sonucunda oluşmuştur. Bu durumu ilk fark eden Otto Wallach ‘İzopren kuralını’ ileri sürmüştür. Daha sonraki yıllarda yapılan çalışmalarda bu durum Robert Robinson tarafından geliştirilmiştir. İzopren ünitelerinin birbirleriyle baş-kuyruk şeklinde birleşmesi gerektiğini öne sürmüştür [43]. Ama Compositae familyasında yer alan bazı terpenlerin bu şekilde birleşmediği ortaya çıkmıştır. İzopren biriminin baş ve kuyruk kısmı Şekil 2.3’té belirtilmiştir. İzopren grupları birbirleriyle baş-baş, baş-kuyruk ve kuyruk-kuyruk şeklinde birleşmektektir. Doğada en yaygın olanlar baş-baş ve baş-kuyruk birleşmeleridir [44]. İzopren birimlerinin bağlanma şekilleri Şekil 2.4’té verilmiştir. Terpenler içermiş olduğu izopren birimlerinin sayılarına göre sınıflandırılmaları Çizelge 2.1’de verilmektedir.



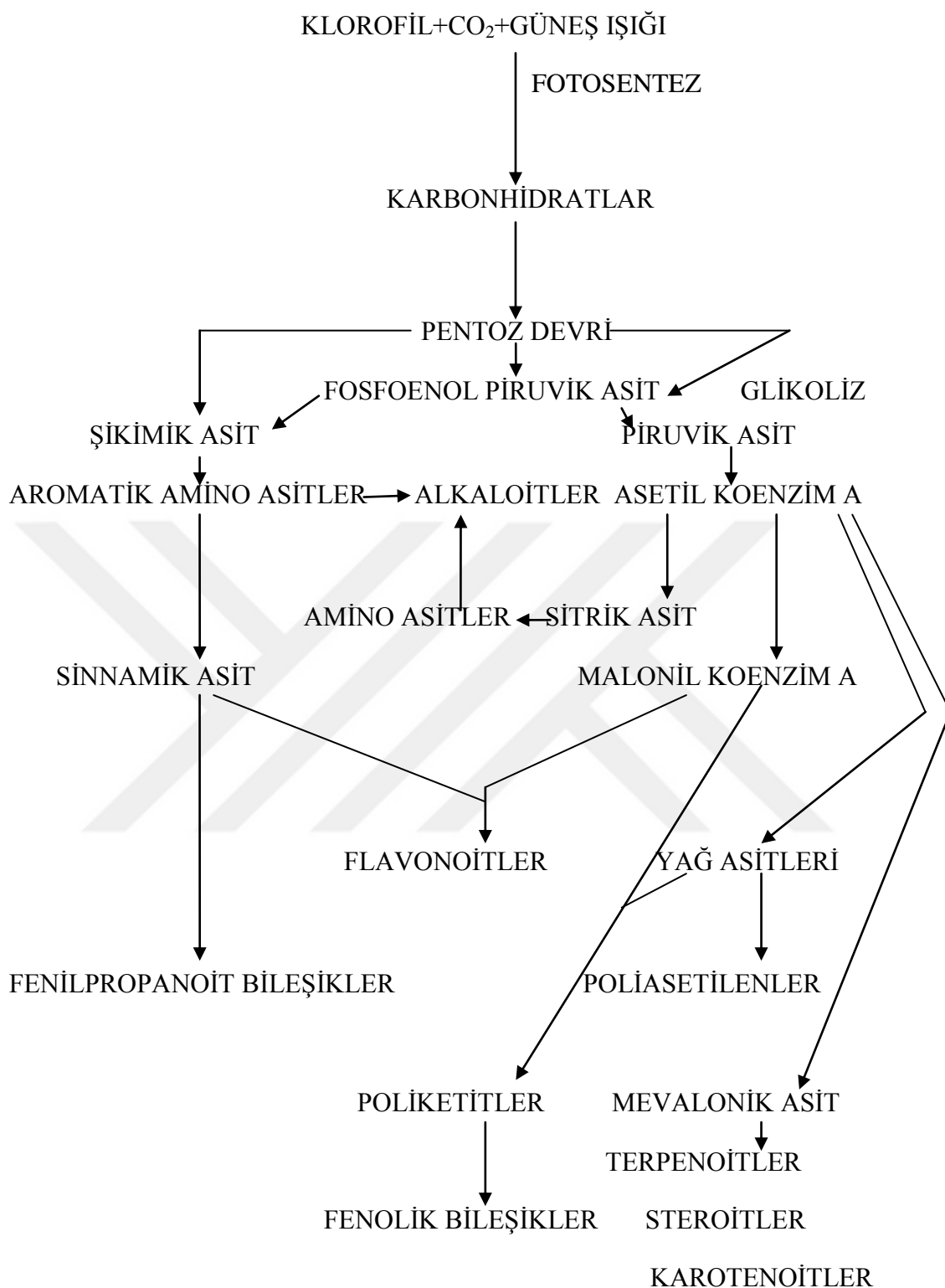
Şekil 2.3 İzopren (2-metil-1,3-bütadien)



Şekil 2.4 İzopren birimlerinin bağlanma şekilleri

Çizelge 2.1 Terpenlerin sınıflandırılması

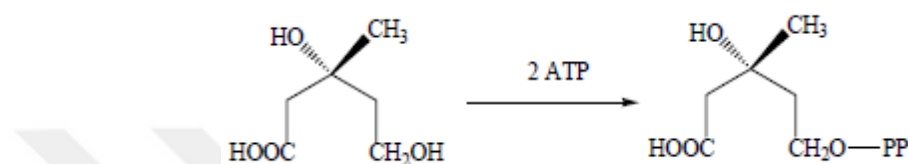
<b>İzopren Sayısı</b>	<b>Karbon Sayısı</b>	<b>Sınıfı</b>
1	C <sub>5</sub>	Hemiterpen (C <sub>5</sub> H <sub>8</sub> )
2	C <sub>10</sub>	Monoterpen(C <sub>10</sub> H <sub>16</sub> )
3	C <sub>15</sub>	Seskiterpen (C <sub>15</sub> H <sub>24</sub> )
4	C <sub>20</sub>	Diterpen (C <sub>20</sub> H <sub>32</sub> )
5	C <sub>25</sub>	Sesterterpen (C <sub>25</sub> H <sub>40</sub> )
6	C <sub>30</sub>	Triterpen (C <sub>30</sub> H <sub>48</sub> )
8	C <sub>40</sub>	Tetraterpen (C <sub>40</sub> H <sub>56</sub> )
n	(C <sub>5</sub> ) <sub>n</sub>	Politerpenler (C <sub>5</sub> H <sub>8</sub> ) <sub>n</sub>



Şekil 2.5 Sekonder metabolitlerin oluşumu

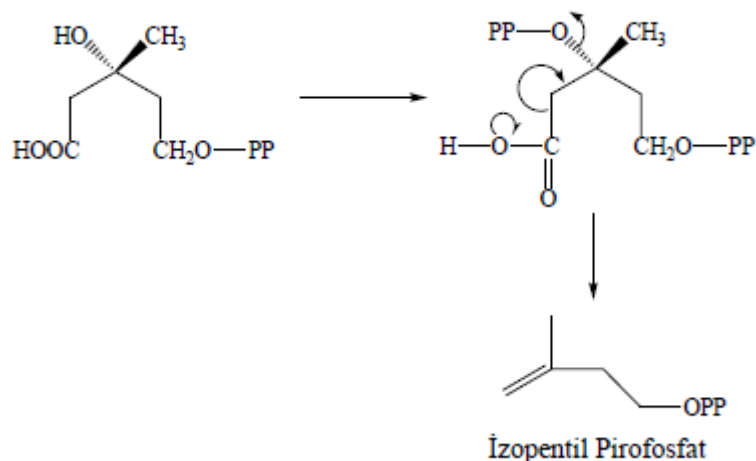
Terpenleri oluşturan izopren birimleri, mevalonik asit üzerinden gerçekleşen bir seri biyokimyasal olaylar sonucunda olduğu anlaşılmaktadır. Mevalonik asit sadece terpenlerin oluşumunda rol oynamaktadır. Mevalonik asit eldesinde başlangıç maddesi olarak asetil koenzim A kullanılmaktadır. Son yıllarda yapılan araştırmalar sonucunda izopren birimlerinin deoksikluloz 5-fosfat üzerinden de olduğu ispatlanmıştır [45].

Terpenlerin oluşumunun ilk basamağında, mevalonik asit 2 molekül ATP ile fosforlanarak mevalonik asit-5-pirofosfata dönüşür. Şekil 2.6'da Mevalonik asit-5-pirofosfat oluşumu verilmektedir.



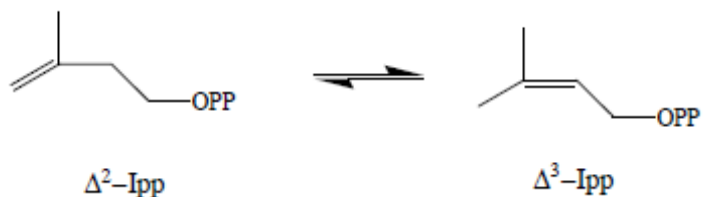
Şekil 2.6 Mevalonik asit-5-pirofosfat oluşumu

Mevalonik asit-5-pirofosfatta yer alan tersiyer OH grubunun 1 mol ATP ile forforlanması sonucu daha kolay ayrılabilen bir grup haline gelir. Daha sonra su ve karbondioksit çıkması sonucu izopentil pirofosfat oluşur. Şekil 2.7'de izopentil pirofosfatın oluşumu verilmektedir.



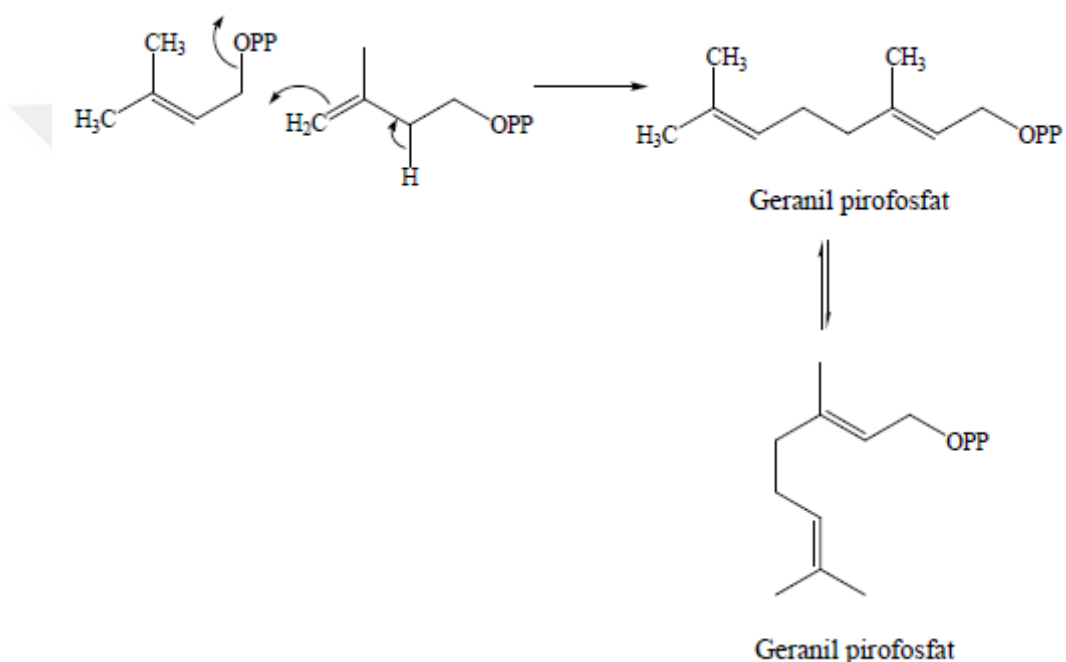
Şekil 2.7 Izopentil pirofosfat oluşumu

Izopentil pirofosfatın bir enzim yardımıyla izomerizasyonu sonucu dimetilallil ester oluşur [46]. Şekil 2.8'de izopentil pirofosfatın izomerasyonu verilmektedir.



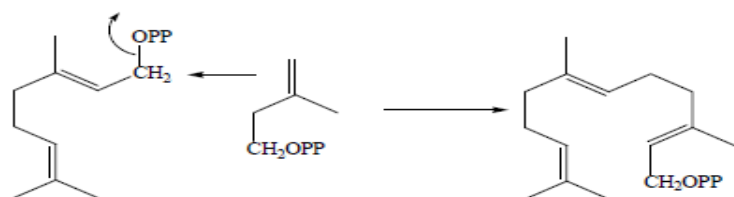
Şekil 2.8 Izopentil pirofosfatın izomerasyonu

Bu iki izomerin kondenzasyonu geranil pirofosfatı oluşturur. Geranil pirofosfat monoterpenlerin öncü maddesidir. Şekil 2.9'da geranil pirofosfatın oluşumu verilmektedir.



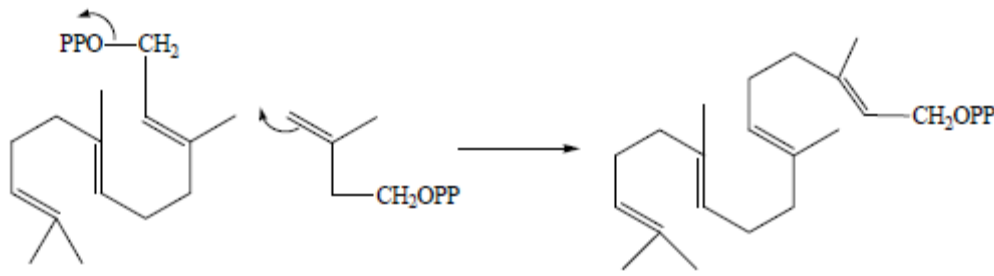
Şekil 2.9 Geranyl pirofosfatın oluşumu

Geranil pirofosfatın izopentil pirofosfat ile kondenzasyonu farnesil pirofosfatı oluşturur. Farnesil pirofosfat seskiterpenlerin öncü maddesidir. Şekil 2.10'da farnesil pirofosfatın oluşumu verilmektedir.



Şekil 2.10 Farnesil pirofosfatın oluşumu

Bu maddenin tekrar izopentil pirofosfat ile kondenzasyonu geranil-geranil pirofosfatı verir. Geranil-geranil pirofosfat diterpenleri ve karotenoitleri oluşturur. Şekil 2.11'de geranil-geranil pirifosfatın oluşumu verilmektedir.



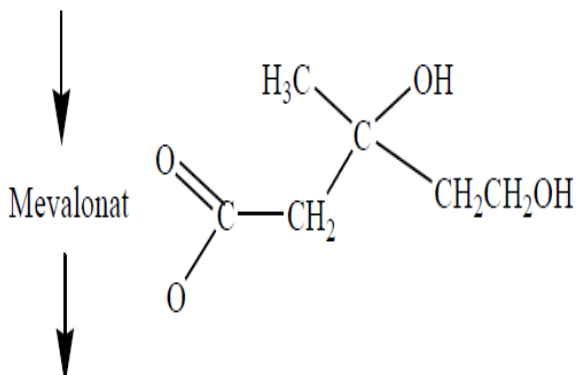
Şekil 2.11 Geranil-geranil pirifosfat oluşumu

İzopentil, geranil ve farnesil pirofosfat moleküllerinin birbirleriyle değişik kondenzasyonları sonucu daha yüksek yapılı terpenler oluşur. Terpenlerin oluşum şeması Şekil 2.12'de verilmiştir.

### 2.2.1.1 Monoterpenler

Monoterpenler 10 karbonlu terpenoid bileşikler olup, bitkilerden elde edilen uçucu yağlarda ve apolar ekstrelerde yer alırlar. Monoterpenlerin kaynama noktaları düşüktür ve yapılarındaki halka sayısına göre sınıflandırılırlar. Monoterpenlerin iskelet yapıları Şekil 2.13'te verilmiştir. Monoterpenler koku ve aroma verici maddeler olduğundan parfüm ve gıda sektöründe önemli ekonomik değere sahiptirler. Yapılan araştırmalar sonucunda monoterpenlerin antifungal, antibakteriyel ve antioksidan aktiviteler gösterdiği belirlenmiştir. Ayrıca monoterpenlerin bazı bitkilerde tohumun çinlenmesini ve bitkinin gelişmesini inhibe ettiği ispat edilmiştir [47]. Bitkilerden uçucu yağların elde edilmesinde, bitki materyalleri 4 saat boyunca Clevenger cihazında hidro distilasyon işlemine tabi tutulur. Distilasyon sonucunda elde edilen yağın miktarı Clevenger cihazı üzerinde milimetre cinsinden ölçülür. Analize başlamadan önce uçucu yağ n-hekzan çözücüsünde 1/10 oranında seyreltilir. GC-MS cihazında gerekli parametreler ayarlanır. Analiz sonucunda ayrılan bileşiklerin bağıl yüzde miktarları, kütle kromatogramlarında yer alan piklerin integrasyonları ile hesaplanır. Uçucu yağ bileşenlerin tanımlanması, literatürdeki n-alkan ( $C_5-C_{30}$ ) serilerinin bağıl gelme indisleri (RRI) ve kütle spektrum karşılaştırmaları ile belirlenir. Kütle spektrum karşılaştırmaları bilgisayarda yer alan Wiley 8th Ed./NIST 05 Mass spectra library, Adams Essential oil Mass Spectral library ve Pallisade 600k Complete Mass Spectra Library kütüphanelerinden yararlanılır.

Asetil CoA (CH<sub>3</sub>COSCoA)



İzopentenil pirofosfat (IPP) → Monoterpenler (C<sub>10</sub>)

↓

Geranyl pirofosfat

Seskiterpenler (C<sub>15</sub>)

Skualen → Steroidler

(IPP)

↓

Farnezil pirofosfat

Triterpenler (C<sub>30</sub>)

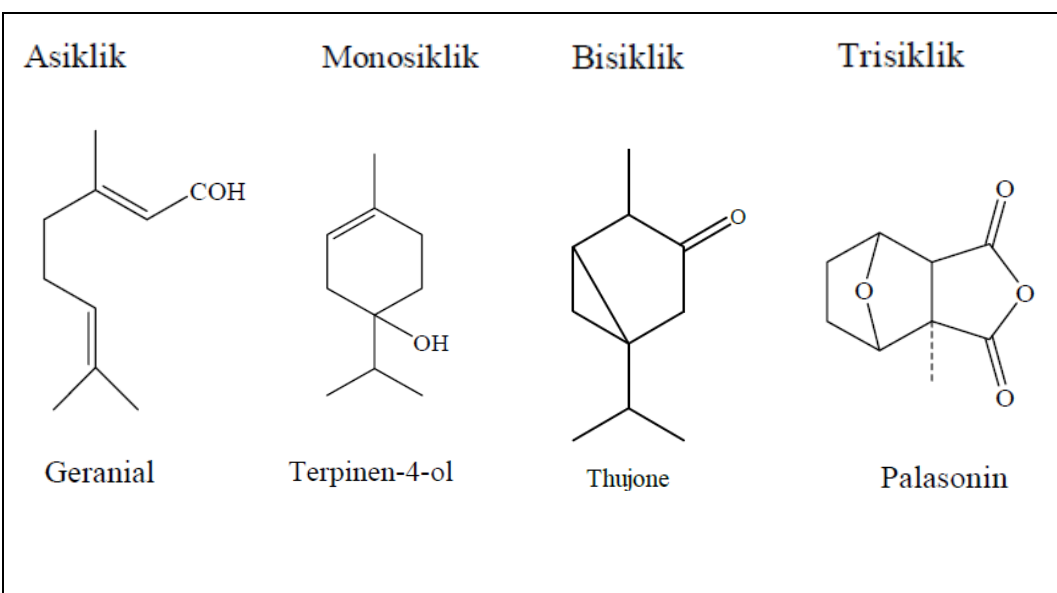
↓

Geranyl geranilpirofosfat (C<sub>20</sub>) → Diterpenler (C<sub>20</sub>)

↓

Tetraterpenler (Karotenoidler) (C<sub>40</sub>)

Şekil 2.12 Terpenlerin Oluşumu



Şekil 2.13 Monoterpenlerin iskelet yapıları

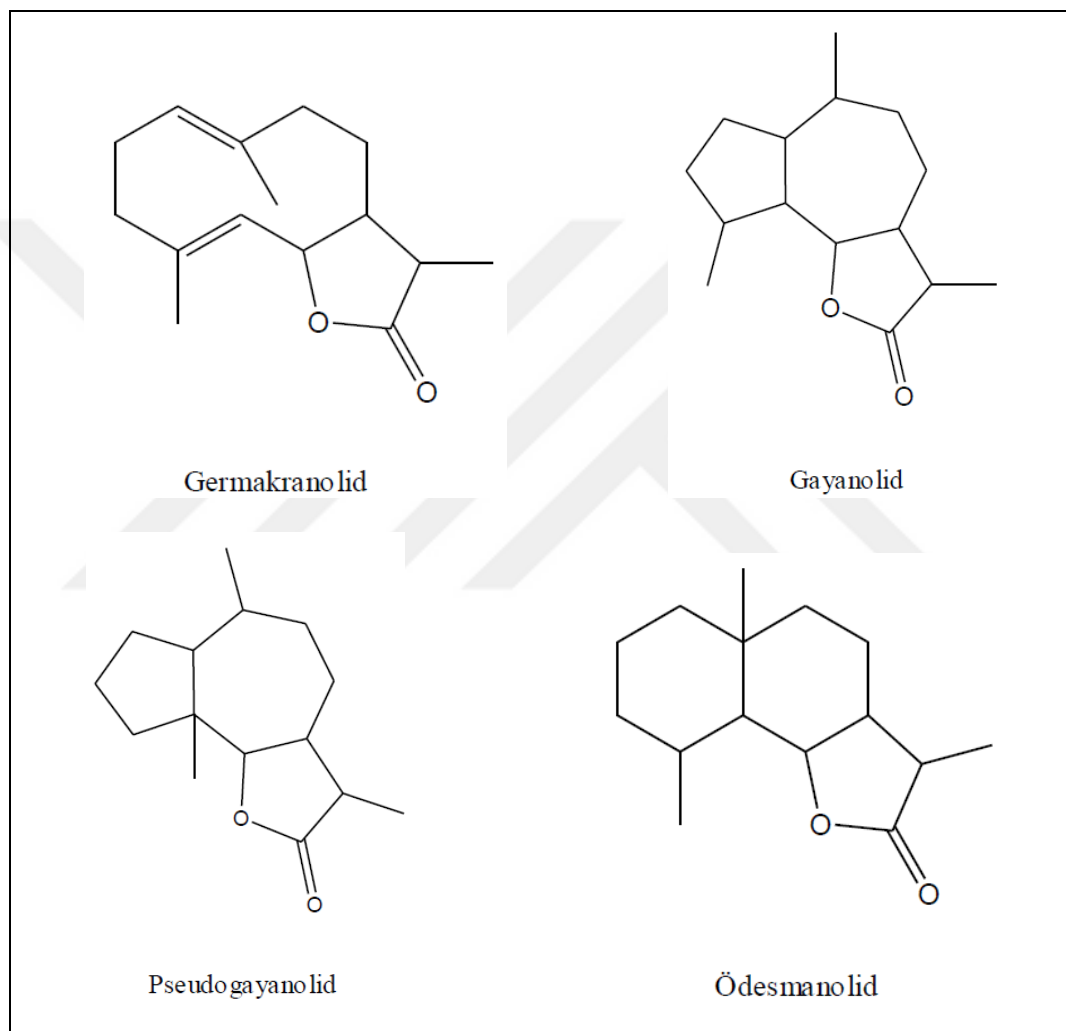
#### 2.2.1.2 Seskiterpenler ve Seskiterpen Laktonlar

Seskiterpenler üç izopren ünitesinden oluşmuş 15 karbonlu terpenlerdir. Yapılarındaki halka sayısına göre asiklik, monosiklik, bisiklik ve trisiklik yapıda olabilirler. Seskiterpenlerin iskelet yapıları Şekil 2.15'te verilmiştir. Seskiterpenler yapılarında lakton halkası bulunabilir. Lakton halkaları beş üyeli ( $\gamma$ -lakton) veya 6 üyeli ( $\delta$ -lakton) olabilirler [48].  $\gamma$ -Laktonlar seskiterpenlere biyo-oluşumları nedeniyle 6,7 veya 7,8 konumlarından bağlanabilirler.

Seskiterpen laktonlar başta Compositae familyası olmak üzere Umbelliferae, Mognoliaceae, Lauraceae, Winteraceae gibi diğer familyalara ait bitki türlerinde bulunurlar [49]. Seskiterpen laktonlar Compositae familyasında kemo-taksonomik öneme sahiptir. Bu sayede familyada yer alan cinslerin ve türlerin biribirlerine benzerlikleri belirlenebilmekte ve sınıflandırma bu duruma göre yapılabilmektedir [50-53]. Seskiterpen laktonlar içermiş oldukları  $\alpha$ -metilen- $\gamma$ -lakton yapısından dolayı birçok biyolojik aktivite göstermektedir.  $\alpha$ -metilen- $\gamma$ -lakton yapısı organizmalarda gelişimi kontrol eden enzimlerin tiyol gruplarına *Michael katılması* ile bağlanmaktadır ve enzimlerin aktivitelerini geri dönüşümsüz olarak inhibe etmektedir [29], [49], [54]. Sıklıkla karşılaşılan seskiterpen laktonların yapıları Şekil 2.14'te verilmiştir.

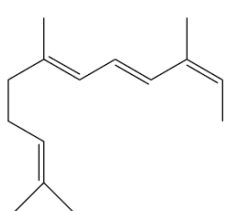
Seskiterpen laktonlarının yapı tayininde  $^1\text{H-NMR}$ , COSY, APT,  $^{13}\text{C NMR}$ , HSQC, HMBC, MS, IR gibi spektral yöntemler kullanılır.  $^1\text{H-NMR}$  spektrumunda 0.00-2.00 ppm arasında H-13, H-14 ve H-15 metil pikleri görülmektedir. Moleküller çevrelerine

bağlı olarak kimyasal kaymalar gözlenebilir. Metilen pikleri, komşu grupların yapısına bağlı olarak 1.5-4.00 ppm arasında, doymamışlık pikleri 4.5-6.5 ppm arasında gözlemlenebilir. Lakton halkasına bağlı pikler 3.5-4.5 ppm arasında görülmektedir.  $^{13}\text{C}$  NMR spektrumunda  $-\text{CH}_3$  pikleri 0.00-20 ppm arasında,  $-\text{CH}_2$  pikleri 20-40 ppm arasında,  $-\text{CH}$  pikleri 40-55 ppm arasında yer almaktadır. Oksijene bağlı gruplar 60-90 ppm arasında, doymamışlık pikleri 100-150 ppm arasında görülmektedir. Karbonil pikleri 170-190 ppm arasında yer almaktadır.

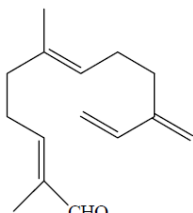


Şekil 2.14 Sıklıkla karşılaşılan seskiterpen laktonlarının yapıları

## Asiklik

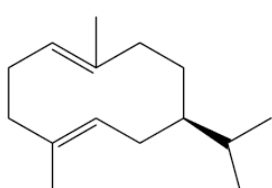


Farnesen

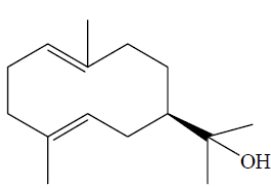


Sinensal

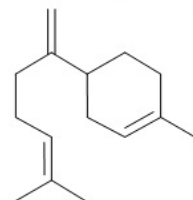
## Monosiklik



Germakren D

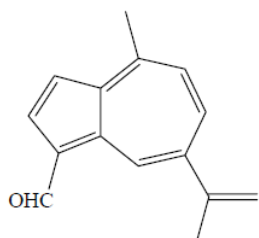


Hedikaryol

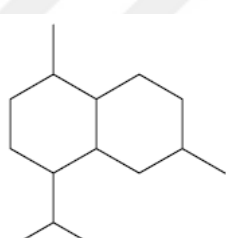


Beta-Bisabolene

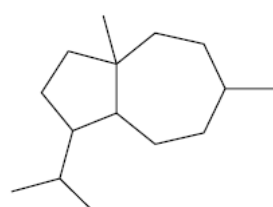
## Bisiklik



Laktaroviyolin

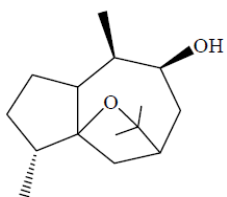


Kadinen

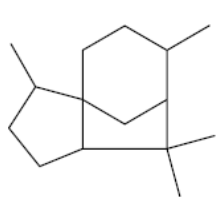


Karotan

## Trisiklik



Liguloksidol



Sedran

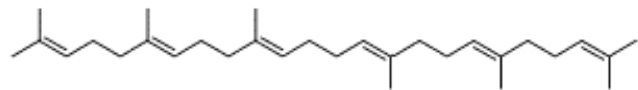
Şekil 2.15 Seskiterpenlerin iskelet yapıları

### **2.2.1.3 Triterpenler**

Triterpenler altı izopren ünitesinden oluşmuş 30 karbonlu terpenlerdir. Triterpenler yapısındaki halka sayısına göre trisiklik, tetrasiklik ve pentasiklik yapıda olabilirler. Genel triterpen iskelet yapıları Şekil 2.16'da verilmiştir. Sübstitüent taşımayan triterpenler hidrokarbon olarak adlandırılır. Triterpenler bitkilerden ve bazı hayvanlardan elde edilebilirler. Triterpenlerin çok küçük bir kısmı doğada geniş bir yayılım göstermektedir. Bitkilerin yaprakları ve meyveleri üzerinde mumsu tabakada  $\alpha$ -amirin,  $\beta$ -amirin, ursilik asit ve oleanilik asit yaygın bir şekilde bulunmaktadır. Bu triterpenlerin böcekleri uzaklaştırıcı ve mikrobiyal saldırılara karşı koruyucu etkileri olduğu düşünülmektedir [55]. Triterpenler Liebermann-Burchard renk reaksiyonunda mavi-yeşil renk alırlar. Aynı renk reaksiyonunda steroidler kızıl kahve renk verir [56].

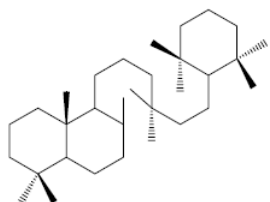
Triterpenlerin yapı tayininde  $^1\text{H}$  NMR spektrumu oldukça önemlidir. Triterpenlerin yapılarında 8 metil grubu bulunmaktadır. Fakat bu metil grupları, bazen aldehit, asit yada alkol gibi gruplarla yer değiştirebilirler. Metil gruplarının kimyasal kaymaları ve bölümme durumları triterpenlerin iskelet yapıları hakkında bilgi vermektedir.  $^{13}\text{C}$  NMR spektrumu yapının kaç karbonlu olduğunu ve karbonil, ester, karboksilik asit, oksimetin, hidroksimetin gibi grupların varlığını belirtmektedir. Kütle spektrumunda, moleküller pikin yanı sıra iskelet üzerinde çifte bağın yeri hakkında bilgi verir [57].

### **Asiklik**



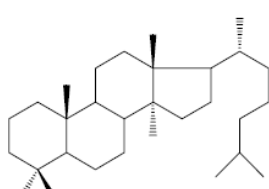
skualen

### **Trisiklik**

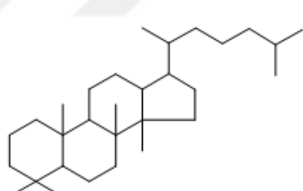


Ambran

### **Tetrasiklik**

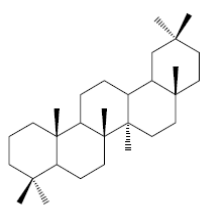


Lanostan

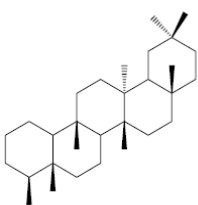


dammaran

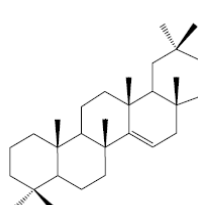
### **Pentasiklik**



Olean



Fridelan



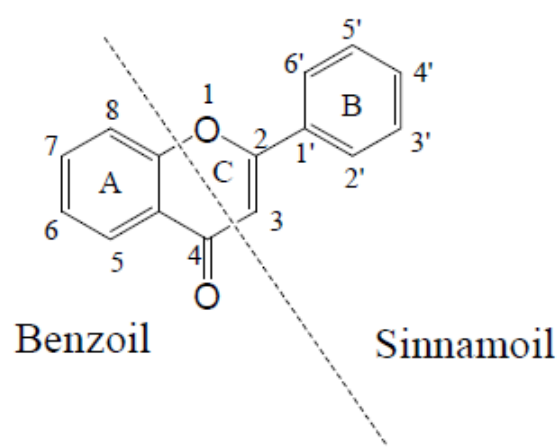
Tarakseran

Şekil 2.16 Genel triterpen iskeletleri

## 2.2.2 Flavonoidler

Flavonoidler bitkilerin fotosentezle oluşturdukları karbonhidrat ve amino asitler gibi birincil metabolitlerden türerler. Flavonoidler bitkilerde ve bazı alglerde bulunur. Flavonoidler bitkilerde çiçeklerin renklerini oluştururlar. Renk verici özellikleri sayesinde kuşlar, böcekleri cezbetmekte ve tozlaşmaya yardımcı olmaktadır. Yapılan araştırmalar sonucunda flavonoidler bitkiyi ultraviyole ışığın DNA üzerinde yaptığı zarara karşı koruduğu saptanmıştır [58]. Flavonoidlerin en önemli özellikleri antioksidan etkiye sahip olmalarıdır. Flavonoidler reaktif bir bileşikteki serbest radikal reaksiyona girerek reaktif oksijen türlerini stabilize eder. Hidroksil gruplarının reaktif özellikleri yüksek olmasıyla radikaller inaktif hale gelir [59]. Bu reaksiyon ile LDL (low density lipoprotein) tanecikleri korunarak damar sertliğine karşı koruma sağlamış olur [60].

Flavonoidler 2-fenil benzopiran yapısındadır. 2-fenil benzopiran yapısı Şekil 2.17'de verilmiştir. Flavonoidlerin yapı tayininde UV kayma belirteçleri (sodyum metoksit, alüminyum klorür, seyreltik HCl, sodyum asetat, borik asit) önemli bilgi verir. Flavonoidler metanol çözücü ile alınan UV spektrumunda 2 ana pik verir. 300-400 nm arasında görülen pik Bant I olarak adlandırılmakta ve B halkasının (sinnamoil grubu) oksidasyonu hakkında bilgi verir. 240-285 nm arasında görülen pik Bant II olarak adlandırılmakta ve A halkasının (benzoil grubu) oksidasyonu hakkında bilgi verir [48].



Şekil 2.17 2-fenil benzopiran yapısı

MeOH+NaOMe ile alınan spektrumlarda Bant I, MeOH'de alınan spektrumdaki Bant I'den daha uzun dalga boyuna (~50-60 nm) kayarsa ve şiddeti artarsa 4' konumunda –OH grubunun bulunduğu anlaşılır.

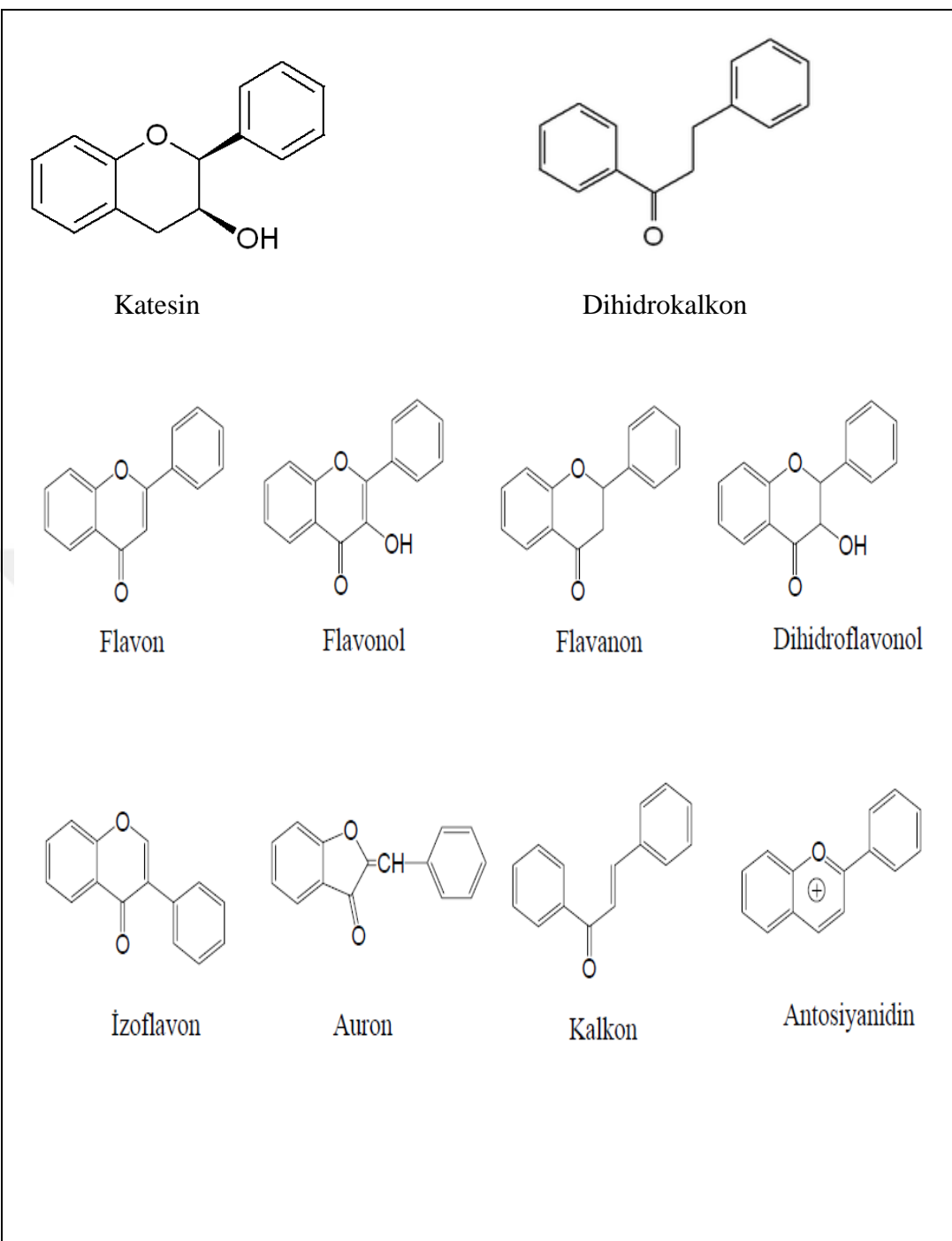
MeOH+AICI<sub>3</sub>, A halkasında 3 ve 5 konumundaki serbest hidroksil grupları ve B halkasındaki *o*-dihidroksi grupları ile ayrı ayrı kelat oluşturur.

MeOH+AICI<sub>3</sub>+HCl ile B halkasındaki *o*-dihidroksi grupları ile oluşan kelat bozunur. Ayrıca alınan spekturmada Bant I'in metanol spektrumdaki Bant I'e oranla 34-50 nm daha uzun dalga boyuna kayması 5-OH ve 6-H olduğunu, 25-30 nm kayması 5-OH, 6-OH olduğunu, 16-25 nm uzun dalga boyuna kayması 5-OH ve 6-OCH<sub>3</sub> olduğunu gösterir [61].

MeOH+NaOAc ile alınan spektrumlarda flavon ve flavonollerde 7 konumunda –OH grubu varsa Bant II 5-20 nm uzun dalga boyuna kayar. Ancak flavonlarda C-6 veya C-8'de oksijen fonksiyonu varsa bu durum görülmeyebilir. 4' konumunda –OH ve 7 konumuna metoksi veya şeker varsa Bant I, NaOMe ile alınan spektrumdaki Bant I ile aynı dalga boyunda çıkar.

MeOH+NaOAc+H<sub>3</sub>BO<sub>3</sub>, B halkasında *o*-dihidroksi grupları varsa bunlar borik asit ile kelat oluştururlar ve Bant I 12-30 nm daha uzun dalga boyuna kayar [61].

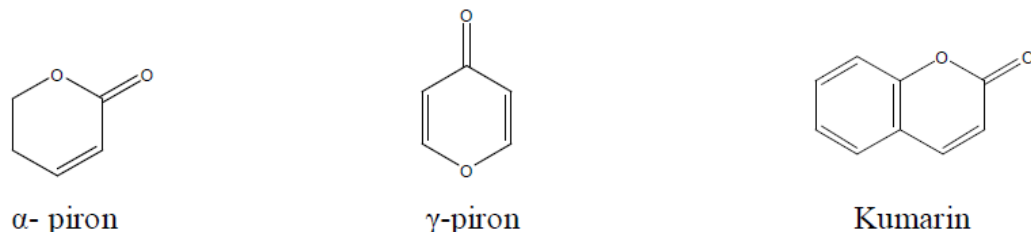
Flavonoidlerinin yapılarının belirlenmesinde UV spektroskopisi ve NMR spektrum sonuçları ile birlikte değerlendirilmelidir. Ayrıca flavonoidlerin yapıları hakkında kabaca ön bilgi elde etmede renk reaksiyonlarından yararlanılır. Renk reaksiyonları, kromatogramlardaki flavonoid lekesini UV ışıkta inceleme, aynı lekenin UV ışık altında NH<sub>3</sub> buharlarına ve NA belirtecine karşı gösterdiği renk değişikliğinin belirlenmesi şeklinde olur [62]. Flavonoidlerin genel yapıları Şekil 2.18'de verilmiştir.



Şekil 2.18 Flavonoidlerin yapıları

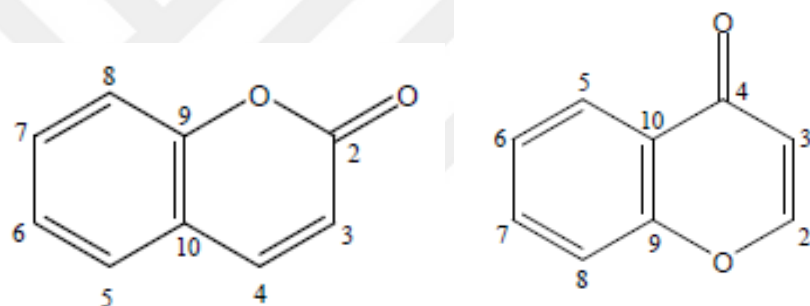
### 2.2.3 Kumarinler

Kumarinler, piron halkasının benzen halkası ile kondenzasyonu sonucu oluşan heterosiklik bileşik sınıfıdır.



Şekil 2.19  $\alpha$ -piron,  $\gamma$ -piron ve kumarin bileşikleri

Yapıdaki karbonil gruplarının pozisyonuna göre iki tür benzopiran bileşiği tanımlanır. Bir  $\alpha$ -piron halkasının benzen halkasına kondanse olması "kumarin", bir  $\gamma$ -piron halkasının benzen halkasına kondanse olması "kromon" olarak adlandırılır [63].

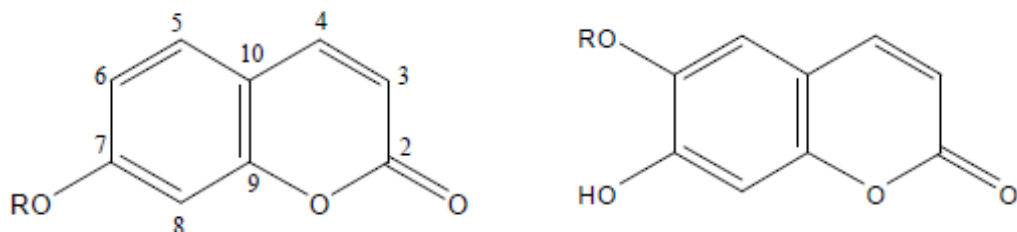


Şekil 2.20 Kumarin Kromon bileşikleri

Kumarin ve kumarin türevleri bitkilerde serbest ve glikozitleri halinde bulunurlar. Kumarinler in vivo olarak birçok tümör türüne karşı etki göstermekte ve anti-HIV aktiviteye sahip olduğu bilinmektedir [64]. Kumarinler floresans özellik göstermezler. Ancak alkali çözeltileri UV'de yeşil renkte floresan verir [63].

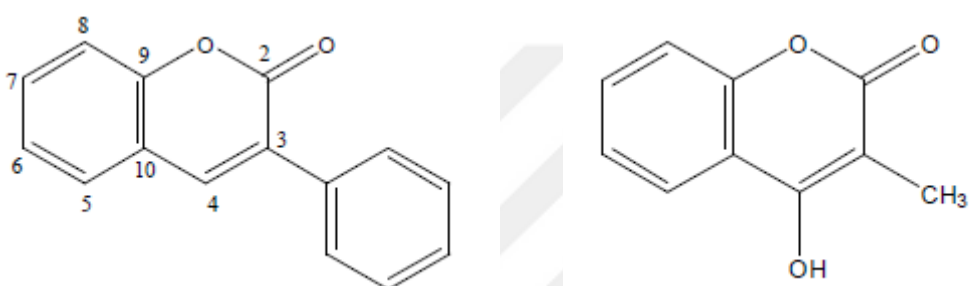
Kumarin türevleri başlıca 6 sınıfta incelenebilir [65].

### 1. Benzen halkası üzerinde sübstituent taşıyan kumarinler



Şekil 2.21 Mono, di-sübstitüe kumarinler

### 2. Piron halkası üzerinde sübstitüe taşıyan kumarinler

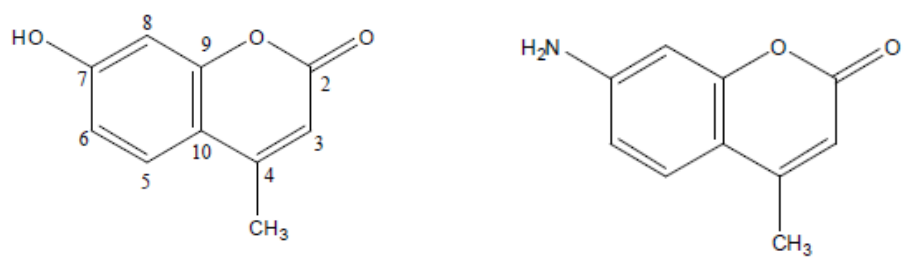


3-Fenilkumarin

3-Metil-4-hidroksikumarin

Şekil 2.22 Piron halkasına mono,di-sübstitüe kumarinler

### 3. Hem benzen, hem de piron halkası üzerinde sübstituent taşıyan kumarinler

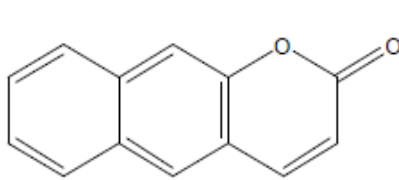


4-Metilumbelliferon

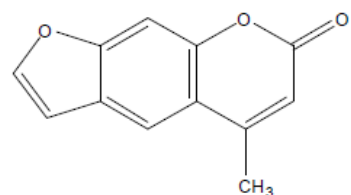
7-Amino-4-metilkumarin

Şekil 2.23 Benzen ve piron halkasında sübstituent taşıyan kumarinler

4. Benzen halkasına halkalı yapıların kondenzasyonu ile meydana gelen kumarinler



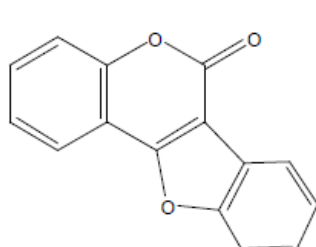
6,7-Benzokumarin



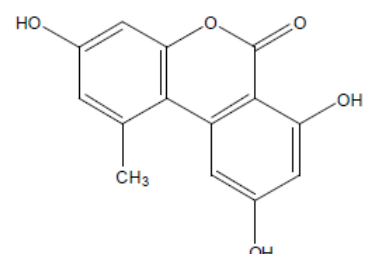
Psoralen (Furanokumarin)

Şekil 2.24 Benzen halkasına halkalı yapıların kondenzasyonu ile meydana gelen kumarinler

5. Piron halkasına halkalı yapıların kondenzasyonu ile meydana gelen kumarinler



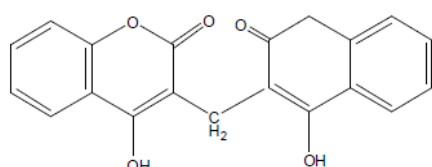
Kumestan



Aeterniyol

Şekil 2.25 Piron halkasına halkalı yapıların kondenzasyonu ile meydana gelen kumarinler

6. Dimer kumarinler



Bishidroksikumarin (Dikumarol)

Şekil 2.26 Dimer kumarinler

### **2.3 *Tanacetum* Cinsindeki Bitkilerden Elde Edilen Seskiterpen Laktonlar ve Flavonoidler**

Seskiterpen laktonlar çoğunlukla Compositae familyasında görülmekte ve kemosistemik iz olarak kullanılmaktadır. Seskiterpen laktonların içerdikleri α-metilen-γ-lakton yapılarından dolayı çeşitli biyolojik aktiviteler gösterdiği düşünülmektedir [29].

Flavonoidler çoğunlukla bitkilerde, bazı alglerde ve karayosunlarında rastlanır. *Tanacetum* türlerinde flavonoidler genellikle metoksil gruplarını içermektedir. *Tanacetum* cinsinde flavonoidler dışında fenolik bileşikler olarak kumarinler ve flavonoid glikozitler de görülmektedir [29].

Bu bölümde Çizelge 2.2'de *Tanacetum* cinsinden 2009-2016 yılları arasında izole edilen seskiterpen laktonlar, flavonoidler ve bu maddeler üzerine yapılmış biyolojik aktivite çalışmaları özet olarak verilmiştir.

*Tanacetum* cinsine ait 1965-2009 yılları arasında yapılmış çalışmalar 2009 yılında Kaan Polatoğlu tarafından hazırlanan Doktora tezinde belirtildiğinden dolayı bu tezde kaynak olarak gösterilmiştir [66].

Çizelge 2.2 *Tanacetum* türlerinden izole edilen seskiterpen laktonlar, flavonoidler ve yapılan biyolojik aktivite çalışmaları

Tür adı	İzole edilen yapı	Biyolojik aktivite	Referans
<i>T.parthenium</i>	Parthenolide	Antioksidan aktivite(Parthenolide biyosentezinde Magnezyum ve manganın etkisi)	[67]
<i>Tanacetum huronense</i>	Tanacin	Antikanser aktivite	[68]

Çizelge 2.2 *Tanacetum* türlerinden izole edilen seskiterpen laktolar, flavonoidler ve yapılan biyolojik aktivite çalışmaları (devamı)

<i>Tanacetum gracile</i>	Gracilone, 14α-Taraxeran-3-one, 14α-Taraxeran-3-ol, Apigenin, β-Sitosterol	Antimikroiyal, antioksidan ve antikanser aktivite	[69]
<i>T. parthenium</i>	Parthenolide	Antikanser aktivite(Parthenolide maddesinin sitosolik tioredoksin redüktaz ve mitokondrial tioredoksin redüktaz enzimleri ile etkileşime geçerek HeLa hücrelerinin apoptoz(hücre ölümü) indüklenmesi)	[70]
<i>T. gracile</i>	Kaempferol, Ketoplenolide, Tetrametoksiflavon ve Artemetin	-	[71]
<i>T. sinaicum</i>	Apigenin, Acacetin, Luteolin, Chrysoeriol, Cirsilineol, Jaceidin, Chrysosplenetin, Vitexicarpin, Apigenin 7- <i>O</i> -β-Glukopyranoside, Apigenin 7- <i>O</i> -β-Glukuronid, Luteolin 7- <i>O</i> -β-Glukopyranoside, Luteolin 7- <i>O</i> -β-Glukuronid, 4-Hidroksi-3-Metoksi benzoik asit, 3,4-Dimetoksi benzoik asit, 4-Hidroksi asetofenon	-	[72]

Çizelge 2.2 *Tanacetum* türlerinden izole edilen seskiterpen laktalar, flavonoidler ve yapılan biyolojik aktivite çalışmaları (devamı)

<i>Tanacetum cilicum</i>	<i>p</i> -Koumarik asit, Ferulik asit, Gallik asit, Gentisik asit, Klorojenik asit, Chrysin, Galangin, Quercetin, Naringenin, Catechin	Antioksidan aktivite	[73]
<i>T. gracile</i>	Kaempferol, Ketoplenolide, Tetrametoksiflavon, Artemetin	-	[74]
<i>T.vulgare</i>	Bitki	Biyoyakıt kaynağı olarak kullanılması	[75]
<i>T.vulgare</i>	Bitki	Endüstriyel aerosol emisyonlarının etkisi altında otsu bitkilerde ağır metallerin dağılımı ve içeriği	[76]
<i>T.parthenium</i>	Metanol ekstresi	Anti-bakteriyel ve antioksidan aktiviteleri	[77]

Çizelge 2.2 *Tanacetum* türlerinden izole edilen seskiterpen laktolar, flavonoidler ve yapılan biyolojik aktivite çalışmaları (devamı)

<i>T. albipannosum</i> , <i>T. argenteum</i> subsp. <i>argenteum</i> , <i>T. argenteum</i> subsp. <i>canum</i> var. <i>canum</i> , <i>T.</i> <i>argenteum</i> subsp. <i>flabellifolium</i> , <i>T.</i> <i>argyrophyllum</i> var. <i>argyrophyllum</i> , <i>T.</i> <i>aucheranum</i> , <i>T.</i> <i>balsamita</i> subsp. <i>balsamitoides</i> , <i>T.</i> <i>cilicum</i> , <i>T.</i> <i>densum</i> subsp. <i>laxum</i> , <i>T. densum</i> subsp. <i>sivasicum</i> , <i>T. mucroniferum</i> , <i>T. parthenium</i> , <i>T.</i> <i>tomentellum</i>	Parthenolide, Asetonitril ekstreleri(Çiçek, yaprak,gövde)	Antiasetilkolinesteraz ve anti- butirilkolinesteraz aktivite	[78]
<i>T.parthenium</i>	Parthenolide	Parthenolide maddesinin fare beyinin bEND.3 endotelyal hücrelerinde bastırılmış $\text{Ca}^{2+}$ sinyalini etkilemesi	[79]
<i>T. vulgare</i>	Bitki ekstresi	Allerjen Etkisi	[80]
<i>T.parthenium</i>	Parthenolide	Salisilik asit ve metil jasmonat maddelerinin eksojen uygulması ile <i>T.</i> <i>parthenium</i> bitkisinde bulunan parthenolide birikimine ve parthenolide biyosentezine bağlı gen sentezlemesine etkisi	[81]

Çizelge 2.2 *Tanacetum* türlerinden izole edilen seskiterpen laktalar, flavonoidler ve yapılan biyolojik aktivite çalışmaları (devamı)

<i>T. gracile</i>	5-Hidroksi-3,6,7,3',4'-pentametoksiflavon, 5,4'-Dihidroksi- 3,6,7,3',4'- Pentametoksiflavon	Sitotoksik aktivite (göğüs kanser hücrelerine)	[82]
<i>T. vulgare</i>	(E)-2-(2,4-Hekzadiynyliden)-1,6-dioxaspiro[4.5]dec-3-ene, Petrol eteri ekstresi, Etil asetat ekstresi, Su ekstresi	Sitotoksik ve antiviral (HSV-1 ve HSV-2) aktiviteleri	[83]
<i>T. parthenium</i>	Çiçek ve yaprak ekstresi	Ağrı kesici	[84]
<i>T. polycephalum</i>	8β-Hidroksi-4β,15-dihidrozaluzanin C, Hekzan ekstresi	Antikanser ve Apoptotik Etki	[85]
<i>T. vulgare</i> var. <i>boreale</i>	7-O-Glukozit apigenin, Luteolin, Scutellarein, 6- Hidrosiluteolin, 7-O-Glukuronid apigenin, Luteolin, Chrysoeriol, Eriodictyol, Apigenin, Luteolin, Hispidulin, Nepetin, Eupatilin, Jaceosidin, Pectolinarigenin ve Axillarin	-	[86]

Çizelge 2.2 *Tanacetum* türlerinden izole edilen seskiterpen laktolar, flavonoidler ve yapılan biyolojik aktivite çalışmaları (devamı)

<i>T. parthenium</i>	Parthenolide	Parthenolide maddesinin diyabetik nefropati üzerine etkisi	[87]
<i>T. cinerariifolium</i>	Bitki ekstresi	Atmosferik CO <sub>2</sub> yükselmesinin ve su eksikliğinin çiçek gelişimi ve pyrethrin birikimi üzerine etkisi	[88]
<i>Tanacetum oshanahaniia</i> , <i>Tanacetum ptarmiciflorum</i>	Tanapsin, Tanapsin asetat, Etanol ekstreleri	Sitotoksik aktivite	[89]
<i>T. parthenium</i>	Etanol ekstresi	Antioksidan aktivite	[90]
<i>T. parthenium</i>	Parthenolide	Anti-enflamatuar ve Anti-Osteoclastogeni Aktivite	[91]
<i>T. sonbolii</i>	Hidroalkolik ekstresi	Formalin testi	[92]
<i>Tanacetum polyccephalum</i> subsp. <i>argyrophyllum</i>	Metanol ekstresi	Sitotoksik aktivite	[93]
<i>T. parthenium</i>	Diklorometan ekstresi	Antileishmania aktivite	[94]
<i>T. parthenium</i>	Hidroalkolik ekstre	Diyabetik nöropati üzerine etkisi	[95]
<i>T. canescens</i>	Salvigenin	Anti-tümör ve immünomodülatör Etki	[96]

Çizelge 2.2 *Tanacetum* türlerinden izole edilen seskiterpen laktalar, flavonoidler ve yapılan biyolojik aktivite çalışmaları (devamı)

<i>Tanacetum chiliophyllum</i> var. <i>oligocephalum</i>	5-Hidroksi-3',4',6,7-tetrametoksiflavon, Eupatilin (6-hidroksiluteolin-6,3',4'-trimetilether), Cirsimarinin (scutellarin-6,7-dimetilether), Cirsilineol, 5-Hidroksi-3',4',7-trimetoksi flavon, Desmetoksi-centaureidin, Jaceosidin, Taraxasterol asetat, Etil asetat ve Metanol ekstresi	İnsektisit, animikrobiyal ve antioksidan aktiviteleri	[97]
<i>T.parthenium</i>	Parthenolide ve bitki ekstresi	Bitki ekstresinin deri hüclerini oksidatif hasardan koruması	[98]
<i>T.parthenium</i>	Parthenolide	Partenolit'in TRPV1 kanalı hedefleyerek trigeminovasküler sistemde nosisepsiyon ve nörojenik vazodilatasyona inhibe etmesi	[99]
<i>T.parthenium</i>	Parthenolide, 11,13-Dihidroparthenolide ve bitki ekstresi	Beyin-kan bariyerine özel yapay membran geçirgenliğinin uygulanması	[100]
<i>T.cinerariifolium</i>	Pyrethrin (Pyrethrin I ve II, cinerins I ve II, jasmolins I ve II)	<i>T.cinerariifolium</i> bitkisinin doğal populasyonlarının kimyasal çeşitliliği	[101]

Çizelge 2.2 *Tanacetum* türlerinden izole edilen seskiterpen laktolar, flavonoidler ve yapılan biyolojik aktivite çalışmaları (devamı)

<i>T.vulgare</i> ve <i>T.parthenium</i>	<i>T. vulgare</i> (bitki ekstresi) <i>T. parthenium</i> (çiçek ekstresi)	Ekstrelerin seskiterpen lakton içeriğinin belirlenmesi ve alerjen potansiyelinin değerlendirilmesi	[102]
<i>T. cinerariifolium</i>	$\beta$ -Siklopyrethrosin, Chrysanin, Pyrethrosin, Dehidro- $\beta$ -siklopyrethrosin, Chrysanolide, (11R)-11,13-dehidro-tatridin-A, (11-R)-6-O- $\beta$ -D-Glukosil-11-13 dehidro-tatridin-B, (11R)-11,13-Dehidro-tatridin-B (8) tatridin-A, Tatridin-B.	-	[103]
<i>T. parthenium</i>	Parthenolide	Review	[104]
<i>T. parthenium</i>	Parthenolide	Anti-migren aktivite	[105]
<i>T.parthenium</i>	Parthenolide	İki göğüs kanser hücrelerine apoptozis dolaylı sitotoksik etkileri	[106]
<i>T.parthenium</i>	Parthenolide ve Custonolide	Genetik, gelişimsel ve mekansal faktörlerin parthenolide ve custonolide üzerine etkisi	[107]

Çizelge 2.2 *Tanacetum* türlerinden izole edilen seskiterpen laktolar, flavonoidler ve yapılan biyolojik aktivite çalışmaları (devamı)

<i>T. ptarmiciflorum</i>	1,8-Dihidroksi-5H,10-ödesma-3,11(13)-dien-6,12-olide, 1,10-Epoksispiciformin, (6E,9E)-11-Etoksi-3,7,11-trimetil-1,6,9-dodecatrien-3,5-diol, (5E,9E)-11-Etoksi-3,7,11-trimetildodeca-1,5,9-triene-3,7-diol, Sesamin, Stigmasterol, Vanillin, Scoparone, Scopoletin, 5,7,4'-Trihidroksi-3,6-dimetoksiflavon, 4-Hidroksibenzaldehit, Apigenin, 1,6-Dihidroksi-4(15)-epoksiödesm-11(13)-en-8a,12-olide, TatridinA, TatridinB, Desasetil- $\beta$ -siklopyrethrosin, Tamirin, 4 $\alpha$ ,5 $\beta$ -Epoksi tatridin A, Spiciformin, 1 $\alpha$ ,10 $\beta$ -Epoksidesasetillaurenobiolide, Dentatin A, 1 $\beta$ ,4 $\alpha$ ,6 $\alpha$ -Trihidroksi-ödesm-11-en-8a,12-olide, (6E), 5,9-Dihidronerolidol, (E,E)-3,7,11-trimetil-1,6,9-dodecatrien-2,5,11-triol	Sitotoksik aktivite	[108]
<i>T. ferulaceum</i> var. <i>latipinnum</i>	1,10-Epoksispiciformin, 1,8-Dihidroksi-5H,10-ödesma-4(15),11(13)-dien-6,12-olide, 1,4-(Propil-2,2-dioksi)-8-hidroksi-10-ödesm-6,12-olide, Sesamin, Stigmasterol, Vanillin, Scoparone, Scopoletin, 4-Hidroksibenzoik asit, 5,7,40-Trihydroxy-3,6-dimethoxyflavone, Apigenin, Tatridin A, Tatridin B, Desasetil- $\beta$ -siklopyrethrosin, 4 $\alpha$ ,5 $\beta$ -Epoksi tatridin A, Spiciformin, 1 $\beta$ ,4 $\alpha$ ,6 $\alpha$ -Trihidroksi- ödesm-11-en-8a,12-olide, (6E) 5,9-Dihidronerolidol, (E,E)-3,7,11-Trimetil-1,6,9-dodekatrien-2,5,11-triol	Sitotoksik aktivite	[108]

Çizelge 2.2 *Tanacetum* türlerinden izole edilen seskiterpen laktalar, flavonoidler ve yapılan biyolojik aktivite çalışmaları (devamı)

<i>T. oshanahanii</i>	Sivasinolide 6-O-angelate, Scoparone, Scopoletin, Tatridin A, Tatridin B, 6-Angeloyloxy tatridin A, 6a-Angeloyloxydesasetil-β-siklopyrethrosin, 6α-Angeloyloxy tatridin B, Tamirin, Desasetil-β-siklopyrethrosin, Tanapsin, 1β,10α-Epoksidesasetillaurenobiolide-6-O-angelate, 5,7,40-Trihidroksi-3,6-dimetoksiflavon, Stigmasterol	Sitotoksik aktivite	[108]
<i>T. parthenium</i>	11,13-Dehidrocompressanolide	Tripanosidal aktivite	[109]
<i>T. parthenium</i>	Parthenolide, 11,13Dihidroparthenolide, Anhidroverlotorin, Santamarine, Reynosin, 3β-Hidrocostunolide, Costunolide diepoksit, 3-Hidroksiparthenolide, Artemorin, Artecanin, Tanaparthin-β-peroksit	Antioksidan Response Element Aktivasyonu	[110]
<i>T. vulgare</i> subsp. <i>siculum</i>	Douglanin, Ludovicin B, Ludovicin A, 1α-Hidroksi-1-deoksoarglanine, 11,13-Dehidrosantonin	Sitotoksik aktivite	[111]
<i>T. parthenium</i>	Parthenolide	Coklu anti-kanser ve anti-enflamatuar Aktivite (Review)	[112]
<i>T. vulgare</i>	Bitki ekstresi	Bitki ekstrelerinden oluşan immünomodülatör ilaç olan Setarud'un nöroprotektif etkisi	[113]

Çizelge 2.2 *Tanacetum* türlerinden izole edilen seskiterpen laktolar, flavonoidler ve yapılan biyolojik aktivite çalışmaları (devamı)

<i>T.vulgare</i>	Etanol ekstresi	Sitotoksik aktivite	[114]
<i>T.vulgare</i>	Su/etanol ekstresi	Antibakteriyel aktivite	[115]
<i>T.parthenium</i>	Parthenolide ve kloroform ekstresi	<i>Ophiophagus hannah</i> zehiri üzerine etkisi	[116]
<i>T. cinerariifolium</i>	Pyrethrin	Pyrethrin maddesinin çiçek ekin biti üzerine etkisi	[117]
<i>T.parthenium</i>	Süperkritik ekstresi	Fare makrofaj hücrelerinde nitrik oksit sentezinin inhibisyonu	[118]
<i>T.parthenium</i>	Parthenolide	Doğal ateşleme aktivitesi	[119]
<i>T. vulgare</i>	3,5-O-Dicaffeoylquinic asit, Axillarin, Luteolin, Parthenolide, petrol eteri ekstresi, kloroform ekstresi, etil asetat ekstresi, bütanol ekstresi, su ekstresi, ham topraküstü kısımları	Sitotoksik ve anti-viral (HSV-1 ve HSV-2) aktivite	[120]
<i>T. parthenium</i>	Parthenolide	Seskiterpen laktol partenolit tarafından RBL-2H <sub>3</sub> mast hücrelerinde hücre içi kalsiyum düzeyi ve degranülasyon inhibisyonunun baskılanması	[121]
<i>Tanacetum chiliophyllum</i> var. <i>monocephalum</i>	1- <i>epi</i> -chiliophyllin, Lup-12-ene-3β-asetat (neolupenil asetat), 4',5,7-Trihidroksi-3',8-dimetoksiflavon, 4',5,7-Trihidroksi-8-metoksiflavon, Etil asetat ekstresi(kök), Metanol ekstresi(kök)	İnsektisit ve antioksidan aktivite	[122]

Çizelge 2.2 *Tanacetum* türlerinden izole edilen seskiterpen laktolar, flavonoidler ve yapılan biyolojik aktivite çalışmaları (devamı)

<i>T. cinerariifolium</i>	Bitki	Işık ve abiyotik stresin kök, filiz ve tohum çimlenmesi üzerine etkileri	[123]
<i>T. parthenium</i>	11,13-Dehidrocompressanolide	Antileishmanial aktivite	[124]
<i>T. parthenium</i>	Parthenolide	Yama testi reaktivitesi	[125]
<i>T. vulgare</i>	Parthenolide	<i>Trypanosoma cruzi</i> üzerine sinerjistik etki	[126]
<i>T. parthenium</i>	Metanol ve sıcak su ekstresi	Melatonin ölçümü	[127]
<i>T. parthenium</i>	Parthenolide	Anti-kanser aktivite	[128]
<i>T. vulgare</i>	Bitki	Yetişkin <i>Harmonia axyridis</i> türlerinin çeşitli bitkiler üzerinde görsel ve koku tercihi	[129]
<i>T. parthenium</i>	Apigenin	GABA-benzodiazepine aktivite	[130]
<i>T. vulgare</i>	Parthenolide	Anti-herpes aktivite	[131]
<i>T. parthenium</i>	Parthenolide	Anti-enflamatuar aktivite	[132]
<i>T. cinerariifolium</i>	Süper kritik akışkan ekstresi	Sitotoksik ve anti-viral aktivite	[133]
<i>T. parthenium</i>	Parthenolide	Seskiterpen laktoların melanojen üzerine etkisi	[134]

Çizelge 2.2 *Tanacetum* türlerinden izole edilen seskiterpen laktalar, flavonoidler ve yapılan biyolojik aktivite çalışmaları (devamı)

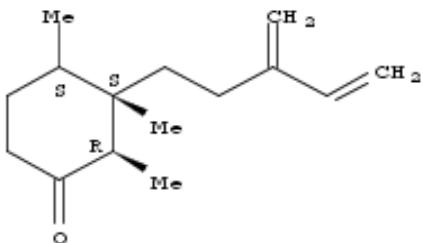
<i>T. parthenium</i>	Parthenolide	Parthenolide maddesinin vasküler düz kas hücrelerinin çoğalması üzerine etkisi	[135]
<i>Tanacetum sinicum</i>	Toprak üstü kısmının ekstresi	Anti-viral aktivite	[137]
<i>T. vulgare</i>	3,5-O-dicaffeoylquinic asit, Axillarin, Luteolin ve metanol ekstresi	Antioksidan aktivite	[138]
<i>T. parthenium</i>	Sulu ekstre	Sıcak ekstraksiyonun fenolik bileşikler ve parthenolide içeriğine ve ekstre rengine etkileri	[139]

### 2.3.1 *Tanacetum balsamita* subsp. *balsamitoides* ve *Tanacetum mucroniferum* Bitkileri Üzerine Yapılmış Çalışmalar

Yapılan çalışmalarda *Tanacetum balsamita* L. ssp. *balsamitoides* ve *Tanacetum mucroniferum*, bitkilerinin çeşitli biyolojik aktivitelere sahip olduğu belirlenmiştir. Çalışılan bitkilerle yapılan literatür taraması aşağıda özetlenmiştir.

Asteraceae familyasındaki flavonoidler ve sistematigi adlı çalışmada *T. balsamita* bitkisinde luteolin ve apigenin flavonoidleri ana bileşen olarak tayin edilmiştir [140].

*T. balsamita* ssp. *balsamitoides* bitkisinin köklerinden  $2\beta,3\beta,4\alpha$ -Trimetil- $3\alpha$  (3-metilen-4-pentenil) 1-siklohekzanon (Balsamiton) adlı yeni bir seskiterpen izole edilmiş ve yapısını spektral yöntemlerle aydınlatılmıştır [141]. Şekil 2.27'de Balsamiton maddesinin moleküler yapısı verilmektedir.



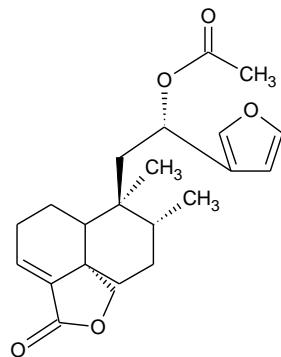
Şekil 2.27  $2\beta,3\beta,4\alpha$ -Trimetil- $3\alpha$  (3-metenil-4-pantenil)1-siklohekzanon (Balsamiton) maddesinin moleküler yapısı

İspanya'nın çeşitli bölgelerinden toplanan *Tanacetum balsamita* ssp. *balsamita* bitkisinin uçucu yağlarının yapıları gaz kromatografi,  $^{13}\text{C}$  NMR ve  $^1\text{H}$  NMR spektral yöntemleriyle tayin edilmiş. Her üç bitkinin ana uçucu yağ bileşeni karvon (51.5%, 41.0% ve 56.9%) olarak tespit edilmiş, daha az miktarlarda  $\beta$ -tuyon, *trans*-dihidrokarvon, *cis*-dihidrokarvon, *cis*-karveol ve *trans*-karveol olarak belirlenmiştir [142].

İran bitkileri üzerine yapılan bu çalışmada kırk dokuz farklı familyaya ait 149 bitki ekstresi farklı testler uygulanarak saponin, tannin, flavonoid ve alkaloid bakımından incelenmiştir. Sonuç olarak bitki ekstrelerinde 145 saponin, 74 alkaloid, 76 flavonoid ve 60 tannin saptanmıştır. *T. balsamita* bitkisinin toprak üstü kısımlarında kimyasal bileşen olarak saponin bulunmuştur [143].

Brezilya'da tıbbi bitki olarak kullanılan *Tanacetum balsamita*'nın çiçek kısımlarından elde edilen  $\alpha,\beta$ -doymamış aldehit ile birlikte birkaç yağ asidini antimikroiyal ajan olarak karakterize edilmiş. Bu bileşikler içinde  $\alpha,\beta$ -doymamış aldehitin geniş bir antimikroiyal spektrum gösterdiği belirlenmiştir [144].

*Tanacetum balsamita*'dan izole edilen Tanabalin maddesinin böceklerde beslenmeyi önleyici etkisi olduğunu belirlenmiş. Bu maddenin mutlak yapısını X-Ray ve Mosher metodu ile ispatlanmıştır [145]. Şekil 2.28'de Tanabalin maddesinin yapısı verilmektedir.



Şekil 2.28 Tanabalin maddesinin yapısı

*Tanacetum balsamita*, *T.chiliophyllum* var. *chiliophyllum*, *T. armenum* ve *T. haradjani* bitkilerinin uçucu yağlarının bileşimi, kafur ve karvon monoterpenlerinin enantiomerik dağılımı hakkında çalışma yapılmıştır. *T.balsamita* bitkisinin ana bileşeni karvon (52%) olarak karakterize edilirken, *T.balsamita* bitkisinde enantiyomerik saflıkta (%99.8) R (-) karvon tespit edilmiştir [146].

Türkiye'deki çiçekli bitki taksonları aromatik biyo-çeşitlilik bakımından değerlendirilmiştir. Bu çalışmada 8 tane *Tanacetum* L. türünün uçucu yağ bileşimini incelenmiştir. *Tanacetum balsamita* türünün uçucu yağ bileşiminde ana bileşenler olarak karvon (%54) ve  $\alpha$ -tuyon (%12) tespit edilmiştir [147].

İran'dan yetişen *Tanacetum balsamita* subsp. *balsamitoides* bitkisinin uçucu yağ bileşimi üzerine çalışma yapılmış ve *T. balsamita* subsp. *balsamitoides* bitkisinin uçucu yağ bileşenlerinin %74.6 oranında oksijenli monoterpenden olduğu belirlenmiş ve bunların içinden karvonun ana bileşen olduğu saptanmıştır. Hidrokarbonlu monoterpenler ise uçucu yağın % 11.8'ini oluşturmaktır ve bunların içinden limonen (%7.5) ve  $\alpha$ -pinen (%2.3) bol miktarda bulunmuştur. Seskiterpenler düşük bir oranda tespit edilmiştir [148].

*Tanacetum balsamita* bitkisinin toprak üstü kısmından kromatografik yöntemlerle bir flavonol aglikon olan quercetin maddesi izole edilmiş ve yapısı spektroskopik yöntemlerle (UV,  $^1$ H NMR, MS) belirlenmiştir [149].

İran'da yetişen *T. balsamita* subsp. *balsamitoides* bitkisinin uçucu yağ bileşimi hidrodistilasyon yöntemi ile izole edilmiştir. Yağların analizi GC ve GC/MS ile yapılmıştır. Bitkinin yaprak kısmının ana bileşenleri bornil asetat (47.7%), pinokarvon (27.1%), kafur (9.3%) ve terpinolen (5.4%); çiçek kısmının ana bileşenleri bornil asetat (55.2%), pinokarvon (34.2%), kafur (2.8%) ve terpinolen (2.0%); gövde kısmının ana

bileşenleri ise bornil asetat (49.2%), pinokarvon (%28.0%), kafur (9.5%) ve terpinolen (6.0%) olarak belirlenmiştir [150].

“Bazı *Tanacetum* L. türlerinde Antimikrobiyal Aktivite ve Minimum İnhibitor Konsantrasyon (Mik.) Tayini” başlıklı Yüksek Lisans Tezinde *Tanacetum balsamita* subsp. *balsamitoides* bitkisinin gövde ve çiçek kısımları birlikte olmak üzere, kök kısmının etil asetat ve metanol ekstrelerinin antimikrobiyal aktivitesi üzerine çalışma yapılmış ve çalışma sonucunda *Tanacetum balsamita* subsp. *balsamitoides* gövde+çiçek kısımlarının etil asetat ve metanol ekstreleri *Staphylococcus aureus*, *S. epidermidis*, *Pseudomonas aeruginosa*, *Escherichia coli* ve *Klebsiella pneumoniae* bakterilerine karşı antimikrobiyal ve *Candida guilliermondii* mantar türüne karşı antifungal aktivite göstermiştir. [151].

N (azot) ve K (potasyum)'un *T. balsamita* bitkisinin uçucu yağ içeriği ve büyümesi üzerine önemli etkileri olduğu bildirilmiştir [152].

*Tanacetum balsamita* L. subsp. *balsamita* ve *T. chilioiphllum* var. *chilioiphllum* bitkilerinin uçucu yağlarının bileşimini ve antimikrobiyal aktiviteleri incelenmiş ve her iki bitkinin esansiyel yağlarının mikroorganizmalara karşı orta derecede aktivite gösterdiği belirlenmiştir [153].

Kuzey-batı İran'da bulunan bazı tıbbi bitkilerin antibakteriyel aktivitelerinin değerlendirilmesi üzerine yapılan bir çalışmada *T. balsamita* bitkisinin yapraklarının siklohekzan, diklorometan ve metanol ekstreleri incelenmiş ve çeşitli mikroorganizmalara karşı aktivite gösterdiği saptanmıştır [154].

Farklı konsantrasyonlardaki besin solüsyonlarının, *T. balsamita* bitkisinin vejatatif büyümesi ve uçucu yağları üzerine olan etkileri incelenmiş. *T. balsamita* bitkisinin düşük besin solüsyonunda, yüksek verimde uçucu yağ üretebilme yeteneğine sahip olduğunu gözlemlenmiştir [155].

Farklı coğrafi bölgelerden yedi *Tanacetum* türünün yaprak ve çiçeklerini lipofilik ve polar flavonoid bakımından analiz edilmiş. *T.balsamita*'nın yapraklarında bulunan flavonoidler (flavonlar); apigenin, scutellarin 6-metil eter, 6-hidroksiluteolin 6-metil eter, 6-hidroksiluteolin 6,3'-dimetil eter ve 6-hidroksiluteolin 6,7,4'-trimetil eter ve *T. balsamita*'nın yapraklarında bulunan vakuolar flavonoidler; apigenin 7-glukuronid, luteolin 7-glukuronid, krysoeriol 7-glukuronid olarak tespit edilmiştir [156].

*Tanacetum balsamita* ve *Helichrysum plicatum* bitkisinin dietil eter ekstrelerinin sığanlardaki karragenan kaynaklı iltihap üzerine anti-inflamatuar etkisi incelenmiş. Çalışma sonucunda her iki bitki türünün anti-inflamatuar aktivite gösterdiği belirlenmiştir [157].

*T. balsamita* subsp. *balsamita* bitkisinin uçucu yağ bileşimi, sitotoksik ve antimikrobiyal aktiviteleri incelenmiş. Uçucu yağların antimikrobiyal aktivite testleri disk difüzyon ve MIC yöntemleriyle yapılmış. MIC değerlerine göre uçucu yağların ortadan yükseğe doğru antimikrobiyal aktivite gösterdiği belirlenmiştir. İnsan fetal deri fibroblast ve maymun böbreği üzerine MTT sitotoksite deneyine bağlı toksikolojik çalışmada hücre dizileri sırasıyla 2500 ve 1250 mg/ml'de IC<sub>50</sub> değerlerini gösterdiği belirlenmiştir [158].

Fransanın Midi-Pyrenees bölgesinde bulunan *Tanacetum balsamita*, *Calamintha grandiflora*, *Myrrhis odorata* ve *Monarda didyma* 4 bitkinin toprak üstü kısımlarının uçucu yağlarının antioksidan aktivitesi Oxipress metodu ile belirlenmiş, ayrıca uçucu yağların antimikrobiyal aktiviteleri dokuz bakteriye karşı değerlendirilmiştir [159].

Kültür bitkilerinden elde edilen ekstrelerin serbest radikal süpürücü kapasitelerinin değerlendirilmesi üzerine çalışma yapılmış. Bu çalışmada 22 tıbbi kültür bitkisinin metanol ekstrelerinin serbest radikal süpürücü aktivitesi DPPH kullanılarak kantitatif olarak değerlendirilmiş. İncelenen ekstrelerin flavanoid profilleri TLC analiz kullanılarak belirlenmiş. Bu çalışmada, *T. balsamita*'nın iki çeşidi (kokulu ve kafur) kullanılmış. Kafur tipinin güçlü antioksidan aktiviteye sahip olduğu gözlenmiştir [160].

Kuzey batı İran'da yetişen *Tanacetum balsamita* subsp. *balsamoides* bitkisinin uçucu yağıının bileşenleri üzerine yapılan bir çalışmada 23 uçucu yağ bileşeni elde edilmiştir. Bileşenler içinde en büyük sınıfı oksijenli monoterpenler (%87.93), ikinci sınıf ise seskiterpen hidrokarbonların (%6.66) oluşturduğu belirlenmiştir. Monoterpenlerden ana bileşenler olarak karvon (49.11%), α-tuyon (24.6%), β-tuyon (2.68%) ve 1,8-sineol (2.59%) tespit edilmiştir. Seskiterpen hidrokarbonlardan ise β-bisabolen'in (4.44%) yüksek oranda saptanmıştır [161].

*Tanacetum balsamita* ve *Helichrysum plicatum* uçucu yağ ekstrelerinin, alloksan uyarılmış tip 1 diyabet veya tip iki diyabetin fizyopatolojisine benzer özelliklere sahip, fare testislerinin histopatolojisi üzerine olan etkisi incelenmiştir. Testislerin

histopatolojisi üzerine *Helichrysum plicatum* ve *Tanacetum balsamita* uçucu yağ ekstrelerinin herhangi bir cesaretlendirici etkisi gözlenmemiştir [162].

Sıçanlardaki karaciğer akut toksitesi üzerine *Helicrysum plicatum* subsp. *plicatum* ve *Tanacetum balsamita* subsp. *balsamoides* bitkilerinin dietileter ekstrelerinin etkisi incelenmiştir. Her iki bitki ekstresinde herhangi bir koruyucu etkisi olmadığı ve toksisiteyi şiddetlendirdiği sonucuna varılmıştır [163].

Geleneksel tipta kullanılan bazı bitkilerin antimikroiyal aktivitelerinin in-vitro değerlendirilmesi üzerine yapılan bir çalışmada geleneksel tipta tedavi için kullanılan dört farklı familyaya (Lamiaceae, Asteraceae, Boraginaceae, Hypericaceae) ait 11 taksonun antimikroiyal aktivitesi araştırılmıştır. *T. balsamita* subsp. *balsamita* bitkisinin bütün mikroorganizmalara karşı aktivite gösterdiği belirlenmiştir [164].

Hakkari'nın Şemdinli İlçesindeki bazı bitkilerin etno-botanik özellikleri üzerine çalışma yapılmış. *T. balsamita* bitkisinin halk dilinde marsuvan otu adıyla bilindiği ve çiçeklerinin kaynatılıp diüretik, böbrek taşı ve parazitik hastalıklara karşı kullanıldığı saptanmıştır [165].

*T. balsamita*, *M. officinalis* ve *Z. clinopodioides* bitkilerinin yumurtlayan tavukların bağışıklık parametrelerine ve kan biyokimyasal performansları üzerine etkilerini incelemek amacıyla 8 tedavi grubu oluşturulmuş. Bu gruplar; 1- Kontrol grup, 2- %2 *M.officinalis*, 3- %2 *T.balsamita*, 4- %2 *Z.clinopodioides*, 5- %1 *M.officinalis* - %1 *T.balsamita*, 6- %1 *M.officinalis* - %1 *Z.clinopodioides*, 7- %1 *T.balsamita* - %1 *Z. clinopodioides*, 8- %0.67 oranında *T. balsamita*, *M. officinalis* ve *Z. clinopodioides* bitkilerinden oluşturulmuş. Sonuçlara göre *T. balsamita*, *M. officinalis* ve *Z. clinopodioides* bitkilerinin yumurta kalitesinde, ve kan biyokimyasal parametrelerinde önemli bir etkisi olduğunu anlaşılmıştır. En yüksek yumurta üretimi, en düşük beslenme, en yüksek ağırlık ve en yüksek yumurta sarısı içeriği 6. grupta olduğu tespit edilmiş. En yüksek yumurta ağırlığı 5. grupta ve yumurtanın beyaz kısmının en yüksek ağırlığı 3. grupta belirlenmiştir. Ayrıca bu bitkiler yumurtlayan tavukların bağışıklık sistemini ve kan biyokimyasal parametrelerini düzelttiği anlaşılmıştır [166].

*Tanacetum balsamita* L. subsp. *balsamita* Bitki Ekstrelerinin Biyolojik Aktivitelerinin İncelenmesi adlı Yüksek Lisans Tezinde *Tanacetum balsamita* L. subsp. *balsamita* bitkisinin antioksidan ve antimikroiyal aktivitelerini çeşitli yöntemler kullanılarak incelenmiştir. *Tanacetum balsamita* L. subsp. *balsamita* bitkisinin tüm ekstrelerinin genel

standart antioksidan maddeler olarak bilinen BHA, BHT,  $\alpha$ -tokoferol ve troloksa yakın değerlerde oksidanlara karşı etkili olduğu belirlenmiş. Bitki ekstrelerinin antimikrobiyal aktiviteleri ise en iyi antibiyotiklerden olan *Streptomisin*'e göre daha düşük çıkışına rağmen, diğer çalışmalarla kıyaslandığında, sonuçların yeterli derecede iyi olduğu gözlenmiştir [167].

Kuzey-doğu Anadolu'dan toplanan bazı *Tanacetum* L. türlerinin karyolojik çalışmaları üzerine araştırma yapılmış. Çalışılan taksonlar karyotiplerine göre 2A, 3A ve 2B şeklinde 3 gruba ayrılmıştır. *T. balsamita* ssp. *balsamita* bitkisi 3A grubunda yer aldığı belirtilmiştir. *T. balsamita* ssp. *balsamita* bitkisinin kromozom sayısının tetraploid seviyede olduğu ilk defa rapor edilmiş. Bu kromozom sayısı önceki çalışmalarla aynı sonucu göstermediği sonucu ortaya çıkmıştır [168].

Doğu Anadolu Bölgesinde (Van-Hakkari) tıbbi amaçlarla kullanılan *Ferula haussknechtii* Wolff. Ex. Rech. f. ve *Tanacetum balsamita* L. subsp. *balsamitoides* (Schultz Bip.) Grierson. bitki ekstrelerinin antimikrobiyal aktivitesi araştırılmış. Analiz esnasında çözücü olarak kloroform, etanol ve metanol kullanılmış. Yapılan çalışma ile bu bitkilerin patojen ve nonpatojen mikroorganizmaların büyümeye ve gelişmelerini engellemiş oldukları ve metanol ile yapılan ekstrelerin daha iyi sonuç verdiği tespit edilmiştir [169].

Endemik tür olan *Tanacetum mucroniferum* bitkisinin uçucu yağ bileşimi ve DPPH süpürücü aktivitesi üzerine çalışma yapılmış. *T. mucroniferum*'un çiçeklerinin uçucu yağları; oksijenli monoterpenler ve oksijenli seskiterpenler ile karakterize edildiği tespit edilmiştir. Uçucu yağların ana bileşenleri 1,8-sineol 21.9 % ve kafur 6.4 % olarak belirlenmiş. Bitki uçucu yağların, düşük DPPH süpürücü aktivite gösterdiği anlaşılmıştır [170].

Seçilmiş *Tanacetum* L. türlerinin kolinesteraz inhibisyon potansiyeli ve LC-MS cihazı ile parthenolide bileşığının miktar belirlenmesi üzerine bir çalışma yapılmış ve *Tanacetum* L. türlerinin asetonitril ekstrelerinin dikkate değer oranda asetilkolinesteraz inhibisyonu gösterdiği ama ekstrelerin butirilkolinesteraza karşı orta derecede inhibisyon gösterdiği belirlenmiştir. *Tanacetum balsamita* subsp. *balsamitoides* ve *Tanacetum mucroniferum* bitkilerinin parthenolide bileşğini içermeyen LC-MS cihazı ile tayin edilmiştir [171].

## BÖLÜM 3

---

### DENEYSEL BÖLÜM

#### 3.1 Bitkisel Materyal

Bitkiler yetişikleri doğal ortamlardan Prof. Dr. Nezhun Gören ve çalışma arkadaşları tarafından farklı yıllarda toplanılmıştır. *Tanacetum balsamita* L. ssp.*balsamitoides* (Schultz Bip.) Grierson bitkisi Van, Güzeldere, Çuh Gediği’nde 2000 yılı Temmuz ayında toplanmıştır. Bitkinin teşhisi Prof. Dr. Kerim Alpınar tarafından yapılmış ve İstanbul Üniversitesi Eczacılık Fakültesi Herbaryumu’nda ISTE 79241a kodu ile bulunmaktadır. *Tanacetum mucroniferum* Hub.-Mor.& Grierson bitkisi Erzincan, Sakaltutan yöresinden 2008 yılı Temmuz ayında toplanmıştır. Bitkinin teşhisi Prof. Dr. Neriman Özhataş tarafından yapılmış ve İstanbul Üniversitesi Eczacılık Fakültesi Herbaryumu’nda ISTE 85425 kodu ile bulunmaktadır. Tez çalışması Yıldız Teknik Üniversitesi Moleküller Biyoloji ve Genetik Bölümü Biyotransformasyon ve Mikrobiyoloji laboratuvarında gerçekleşmiştir.

#### 3.2 İzolasyon Yöntemleri

##### 3.2.1 Ekstraksiyon

*Tanacetum balsamita* subsp. *balsamitoides* ve *Tanacetum mucroniferum* bitkileri gölgede kurutulduktan sonra kök, gövde ve çiçek olmak üzere üç kısma ayrılmış, her bir kısım bitki öğütme değirmeninde öğütülperek toz haline getirilmiştir. Öğütülperek toz haline getirilen kısımlar sırasıyla hekzan, etil asetat (EA) ve metanol (MeOH) çözücüleri ile masere edilmişlerdir. Maserasyonun ardından sıvı kısım süzgeç kağıdı ile süzülerek alınmış ve çözüçüler evaporatörde uçurularak ham ekstreler elde edilmiştir.

*Tanacetum balsamita* subsp. *balsamitoides* bitkisinden 28.1 gr EA ve 77 gr MeOH ekstreleri elde edilmiştir. *Tanacetum mucroniferum* bitkisinden 20.8 gr EA ve 63 gr MeOH ekstreleri elde edilmiştir. Ekstreler çalışma yapılmak üzere ~4°C'de buzdolabında saklanılmıştır. *Tanacetum balsamita* subsp. *balsamitoides* bitkisi TBB ve *Tanacetum mucroniferum* bitkisi TM olarak isimlendirilmiştir.

### **3.2.2 Kromatografik Yöntemler**

Bitkilerden elde edilen ekstrelerdeki maddelerin izolasyonu ve saflaştırılması için kolon kromatografisi (CC), partisyon kromatografisi, moleküler elektronik kromatografisi, ince tabaka kromatografisi (İTK), preparatif ince tabaka kromatografisi (PİTK), orta basınçlı sıvı kromatografisi (MPLC) ve yüksek performanslı ince tabaka kromatografisi (HPTLC) kullanılmıştır.

#### **3.2.2.1 Kolon kromatografisi (CC)**

Katı-sıvı kromatografi yöntemi olup, adsorbsiyon prensibine dayalıdır. Ekstre içinde yer alan maddelerin polarite farklılığına göre fraksiyonlandırılmasını sağlar. Elde edilen fraksiyonlardan saf madde izolasyonu için sıkılıkla kullanılan bir yöntemdir. Kolon kromatografisinde silika jel dolgu maddesi kullanılmıştır.

Kolon kromatografisine başlamadan önce TBB ve TM bitkilerinin EA ekstrelerinin içine ekstrelerin çözünebildiği en az miktarda metanol ilave edilerek, 40-50°C'de su banyosunda tamamen çözünmesi sağlanmıştır. Sıcak su banyosundan sonra ekstreler oda sıcaklığında soğutulmaya bırakılmıştır. Ekstreler oda sıcaklığında soğutulduktan sonra ağızı kapatılarak buzdolabında 1 gece bekletilmiştir. Ertesi gün çöken kısım sürülererek uzaklaştırılmış. Bu şekilde uzun zincirli hidrokarbonlar ve yağ asitleri ekstrelerden uzaklaştırılmıştır. Süzülen ekstreler evaporatörde çözücüsünden uzaklaştırılmış ve tekrar tartılmıştır. TBB ve TM bitkilerinin ekstre ağırlıkları sırasıyla 26.4 gr ve 17.6 gr olarak tespit edilmiştir.

Kolon kromatografisinde kullanılacak silika jel tartılıp etüvde 2 saat 105°C'de tutularak neminden uzaklaştırılmıştır. Ekstrelere minimum miktarda ekstreyi çözecek kadar etil asetat çözucusu ilave edilmiştir. Bulamaç haline gelene kadar ekstreye kolon kromatografisinde kullanılan silika jel ilave edilmiştir. Silikajel-ekstre karışımı toz haline gelinceye kadar evaporatörde uçurulmuştur. Toz haline gelen silikajel-ekstre

karışımı vakum etüvünde 1 gece bekletilerek tamamen kurutulmuştur. Kolon boyutunun 2/3 oranında silikajel tırtılarak kolona doldurulmuştur. Doldurulan silikajelin kolona yerleşmesini sağlamak ve arada boşluk kalmaması amacıyla vakum pompasıyla havası alınmıştır. Kolondaki silika jelin üzerine daha önceden hazırlanan ekstre-silikajel karışımı düzgün bir şekilde doldurulduktan sonra tekrar vakum pompasıyla yerleşimi sağlanmıştır. Son olarak en üste cam pamuğu yerleştirilerek kolonun hazırlanması tamamlanmıştır.

### **3.2.2.2 Partisyon Kromatografisi**

Partisyon kromatografisi sıvı-sıvı veya sıvı-gaz kromatografi yöntemi olup, birbirine karışmayan iki sıvıdan yani iki faz sisteminden oluşur. Maddeler bu iki faz arasında dağılmaya uğrar.

*Tanacetum mucroniferum* ve *Tanacetum balsamita L. subsp. balsamitoides* bitkilerinin MeOH ekstrelerinin fraksiyonlandırılmasında partisyon kromatografisi yönteminden faydalanyılmıştır.

*Tanacetum mucroniferum* (63 gr) ve *Tanacetum balsamita L. subsp. balsamitoides* (77 gr) bitkilerinin MeOH ekstreleri 700 ml ultra saf su ve 300 ml MeOH çözücü karışımıyla ultrasonik banyoda çözülmüştür. Çözünen ekstreler 1000 ml'lik ayırmalı hunisine konulmuştur. Ekstrenin üzerine 200 ml Hekzan çözücüsü ilave edilmiş ve 5 dakika boyunca çalkalanmıştır. Çalkalamadan sonra 15 dakika beklenilmiştir ve faz oluşumu sağlanmıştır. Altta oluşan su fazı başka behere alınmış ve üstteki hekzan fazı başka behere toplanmıştır. Aynı işlem üç kere tekrarlanmıştır. Daha sonra CH<sub>2</sub>Cl<sub>2</sub>, Etil asetat ve BuOH:H<sub>2</sub>O (70:30) çözümleri ile fraksiyonlandırma çalışmalarına devam edilmiş ve aynı işlemler 3 tekrarlı yapılmıştır.

### **3.2.2.3 Moleküller Elek Kromatografisi (Sephadex LH-20)**

Karışimdaki moleküllerin molekül büyüklüklerine göre ayrılması esasına dayanır. Moleküller elek kromatografisinde Sephadex LH-20 dolgu maddesi kullanılmıştır. Dolgu maddesi gözenekli yapıya sahip olduğundan gözeneklerin kapanması için 24 saat boyunca metanol çözücüsü ile şırmeye bırakılmıştır. Kolonda hava kabarcığı kalmasını engellemek için metanol çözücüsü kolondan birkaç defa geçirilmiş ve dolgu maddesinin kolona tam oturması için kolonun yan kısımlarına vurulmuştur. Dolgu maddesindeki

gözeneklerin açılması için hareketli faz olarak Petrol eteri:CHCl<sub>3</sub>:MeOH (7:4:1) veya CHCl<sub>3</sub> sistemleri kullanılmıştır. Madde karışımı kolona verilmeden önce kolon bu hareketli faz sistemleri ile doyurulmuştur. Ayrımı yapılacak karışım uygun çözücüde çözünmüş halde kolonun üst kısmına pipet yardımıyla sıvı halde yüklenmiştir. Küçük yapıdaki moleküller dolgu maddesinin gözenekleri içine hapsolmuş ve büyük yapıdaki moleküller dolgu maddesinin gözenekleri girmeden hareketli faz ile birlikte kolondan ayrılmıştır. Gözenekler içinde yer alan maddeleri kolondan kurtarmak için kolon tekrar metanol çözucusu ile elüe edilmişdir.

### **3.2.2.4 İnce Tabaka Kromatografisi (İTK)**

Katı-sıvı kromatografi yöntemi olup, adsorbsiyon prensibine dayalıdır. İzolasyon ve saflaştırma çalışmalarının her basamağında bu kromatografi yönteminden yararlanılmıştır. İnce tabaka kromatografisinde katı faz olarak hazır silika jel 60 F<sub>254</sub> (MERCK) 20 x 20 cm alüminyum plakalar ve hareketli faz olarak çeşitli çözücü sistemleri kullanılmıştır.. Uygun çözücü sistemlerinde yürütülen silika jel plaklar kurutulduktan sonra 254 ve 366 nm ultraviyole (UV) ışık altında incelenmiştir. Ultraviyole ışık altında görülmeyen maddelerin görünür hale gelmesi için renklendirme belirteci olarak seryum sülfat kullanılmıştır. Plaka ısıtıcı üzerinde ısıtlarak maddeler görünür hale getirilmiştir.

#### **İTK'da Kullanılan Belirteçler:**

##### **Seryum sülfat belirteci**

**Hazırlanışı:** 10 g Ce(SO<sub>4</sub>)<sub>2</sub> .4 H<sub>2</sub>O tartılarak üzerine 50 mL derişik H<sub>2</sub>SO<sub>4</sub> ilave edilmiş. Daha sonra karışım 500 mL'ye tamamlanıncaya kadar üzerine yavaş yavaş distile su ilave edilmiştir.

### **3.2.2.5 Preparatif İnce Tabaka Kromatografisi**

Maddelerin plak üzerinde ayrılmasında ve saflaştırılmasında kullanılan bir ayırm teknigidir. Preparatif ince tabaka kromatografisinde fazla miktardaki maddelerin ayrılımları için Camag TLC hazırlama aparatı ile 0.5 µm kalınlığında laboratuvara hazırlanan plaklar kullanılmıştır. Bu amaçla 50 gr silika jel 60 HF<sub>254</sub>, 67 gr HF<sub>254+366</sub> ve 33 gr GF<sub>254</sub> (Merck) bir balon jojede 350 ml distile suyla karıştırılarak 30 dakika çalkalanmıştır. Elde edilen süspansiyon Camag TLC hazırlama aparatı ile 0.5 µm

kalınlığında 20 x 20 cm boyutundaki cam plakların üzerine çekilmiştir. Hazırlanan plaklar kullanılmadan önce 1 gece oda sıcaklığında kurutulmaya bırakılmıştır. Plakaları aktif hale getirmek için 2 saat 105 ° C'de etüvde tutulmuştur. Madde karışımı plakaların tabanından 1 cm yukarıya ince kapiler pipet yardımıyla ekilmiştir. Ekim yapılan plaklar uygun çözücü sisteminde yürütülmüştür. Plaklar üzerinde ayrılmış olan bantlar 254 ve 366 nm ultraviyole (UV) ışık altında incelenmiştir. Ultraviyole ışık altında görülmeyen maddelerin görünür hale gelmesi için plaka kenarının 1 cm'lik kısmına seryum sülfat renklendirme belirteci püskürtülmüştür. Plakanın boyanan kısmı ısıtıcı üzerinden ısıtılarak maddeler görünür hale getirilmiştir.

### **3.2.2.6 Orta basınçlı sıvı kromatografisi (MPLC)**

Ekstrelerin kolon kromatografisi ile fraksiyonlarına ayrılımasından sonra bu fraksiyonların daha ileri ayırmaları için tekrar fraksiyonlandırılmasını sağlayan yöntemdir. Orta basınçlı sıvı kromatografi cihazı, bir adet pompa kontrolörü, iki adet pompa ve fraksiyon kolektöründen oluşmaktadır. Orta basınçlı sıvı kromatografisi çalışmasına başlamadan önce bir takım ön hazırlık çalışmaları yapılmıştır. İlk olarak çalışma yapılacak fraksiyon için uygun çözücü sistemi belirlenmiştir. Fraksiyon ağırlığına göre uygun boyutta MPLC kolon seçilmiştir. Kaba ayırdan sonraki fraksiyon çalışılacağından dolayı silika por boyutunun 25-40 µm olmasına karar verilmiştir. MPLC kolonda kullanılacak silika jel tartılıp inkübatörde 2 saat 105°C'de tutularak neminden uzaklaştırılmıştır. Fraksiyon mümkün olduğu kadar az çözücü ile çözülerek yeterli miktarda silikayla karıştırılıp toz haline gelinceye kadar çözucusu evaporatörde uçurulmuştur. Toz haline gelen silikajel-ekstre karışımı vakum etüvünde 1 gece bekletilerek tamamen kurutulmuştur. MPLC silikası ve tamamen kurutulmuş silikajel-ekstre karışımı kolona yüklenmiştir. Son olarak en üste tekrar MPLC silikası yerleştirilerek kolonun hazırlanması tamamlanmıştır. Uygun çözücü sistemindeki karışımalar hazırlanmış ve MPLC pompaları bu çözücü sistemlerinin içine daldırılmıştır. Akış hızı (5ml/dk), Rock tipi, tüp sayısı gibi veriler sisteme girilerek MPLC çalışmaya hazır hale getirilmiştir.

### **3.2.2.7 Yüksek performanslı ince tabaka kromatografisi (HPTLC)**

Zor ayrılan maddelerin saflaştırılmasında ve maddelerin plaka üzerinde düzgün bir şekilde ekilmesinde yüksek performanslı ince tabaka kromatografisinden

yararlanılmıştır. Camag marka HPTLC cihazı, Linomat 5 TLC ekim módülü, AMD2 TLC yürütme modülü, ADC2 TLC yürütme modülü, TLC Scanner 3 UV tarama modülü ve Reprostar 3 TLC görüntüleme modülünden oluşmaktadır. Genellikle çalışmalarda düzgün ekim yapılabilmesi için Linomat 5 TLC ekim modülü kullanılmıştır. Ekimi yapılip yürütülen plakların 254 nm, 366 nm ve beyaz ışıkta görüntülenmesi için Reprostar 3 TLC modülünden faydalanyanmıştır.

### **3.2.2.8 Asetilleme Reaksiyonu**

Asetilleme reaksiyonu yapılacak saf madde, 1 mL kuru piridinde çözündürülüp üzerine 1 mL asetik anhidrit çözücüsü eklenip, 24 saat bekletilmiştir.

## **3.3 Spektroskopik Yöntemler**

Elde edilen saf maddelerin yapılarının aydınlatılmasında spektroskopik yöntemlerden yararlanılmıştır.

### **3.3.1 Ultraviyole Spektroskopisi (UV/VIS)**

İzole edilip saflaştırılan flavonoid türündeki maddelerin yapılarının belirlenmesinde kayma reaktifleri ile birlikte ultraviyole spektroskopisinden yararlanılmıştır. Çalışmalarda Marmara Üniversitesi Eczacılık Fakültesinde bulunan UV-1800 spektrometre kullanılmıştır. İlk önce flavonoid yapısında olan madde metanol çözücüsünde çözülmüş UV spektrumu alınmıştır. UV spektrumundaki değerler uygun aralıklıkta olması durumunda 9 ml'lık metanol çözücüsünden oluşan stok çözelti hazırlanmıştır. Stok çözeltiden 3 ml alınıp üzerine 3 damla sodium metoksit ( $\text{NaOMe}$ ) çözeltisi damlatılmış tekrar UV spektrumu alınmıştır. Stok çözeltiden tekrar 3 ml alınıp üzerine 6 damla alüminyum klorür ( $\text{AlCl}_3$ ) ilave edilmiş ve UV spektrumu alınmıştır. Daha sonra bu çözelti üzerine 3 damla hidroklorik asit (HCl) damlatılmış UV spektrumu alınmıştır. Stok çözeltisinden tekrar 3 ml alınıp toz halinde olan sodyum asetat ( $\text{NaOAc}$ ) aşırısı eklenmiş ve UV spektrumu alınmıştır. Daha sonra bu çözelti üzerine susuz borik asit ( $\text{H}_3\text{BO}_3$ ) ilave edilip tekrar UV spektrumu alınmıştır.

### **3.3.2 Infra-Red spektroskopisi (IR)**

Maddelerin yapılarında bulunan fonksiyonel grupların gözlenmesi için Infra-Red spektroskopisinden yararlanılmıştır.

### **3.3.3 Nükleer manyetik rezonans spektroskopisi (NMR)**

Saf maddelerin yapı tayininde nükleer manyetik rezonans spektroskopisi kullanılmıştır. Çalışmalarda Bruker Avance III 500 MHz Spektrometre modeli NMR kullanılmıştır. Maddelerin yapısına bağlı olarak tek boyutlu, iki boyutlu ve çok pulslu farklı spektral yöntemler kullanılmıştır. Tek boyutlu spektral yöntemler  $^1\text{H}$  NMR,  $^{13}\text{C}$  NMR, Spin Decoupling, NOE; iki boyutlu COSY (Correlation Spectroscopy), HSQC (Heteronuclear Single Quantum Coherence), HMBC (Heteronuclear Multiple Bond Correlation), NOESY (Nuclear Overhauser Effect); çoklu puls yöntemleri APT (Attached Proton Test) kullanılmıştır.

### **3.3.4 Kütle Spektroskopisi (MS)**

Kütle spektroskopisi maddelerin molekül ağırlıklarını bulmak için kullanılmıştır. Maddelerin kütle spektrumları Yıldız Teknik Üniversitesi Merkez Laboratuarda bulunan TOF/Q-TOF Mass Spectrometer cihazında alınmış, iyon kaynağı olarak Dual ESI kullanılmıştır.

### **3.3.5 Gaz Kromatografisi Kütle Spektroskopisi (GC-MS)**

GC-MS analizi Agilent 5975 Inert XL EI/CI MSD marka cihazda EI modda yapılmıştır. Enjeksiyon sıcaklığı 250 °C ve split oranı 50:1 ayarlanmıştır. GC-MS analizlerinde Innowax FSC kolon (60 m x 0.25 mm, 0.25 µm film kalınlığında) ve taşıyıcı gaz olarak helyum gazı (1mL/min) kullanılmıştır. GC fırın sıcaklığı 60°C'de 10 dakika sabit tutulmuş ve 220°C'ye 4°C/dakika hızla çıkarılmıştır. Sıcaklık 220°C'de 10 dakika boyunca sabit tutulmuş ve sonra 240°C'ye 1°C/dakika hızla çıkarılmıştır. Kütle spektrometresi 70 eV iyonizasyon enerjisine ve tarama aralığı  $m/z$  35-425 kütle alanına ayarlanmıştır.

Uçucu yağ bileşenlerinin tanınlanması literatürdeki n-alkan(C5-C30) serilerinin bağıl gelme indisleri (RRI) ve kütle spektrum karşılaştırmaları ile belirlenmiştir. Kütle spektrum karşılaştırmaları bilgisayarda yer alan Wiley 8th Ed./NIST 05 Mass spectra library, Adams Essential oil Mass Spectral library ve Pallisade 600k Complete Mass

Spectra Library kütüphaneleriden yararlanılmıştır. Analizler üç tekrarlı yapılmış ve sonuçlar standart sapmalarıyla verilmiştir.

### **3.4 Kullanılan Kimyasal Materyaller ve Cihazlar**

Çalışmalarda kullanılan kimyasal materyaller ve cihazlar Çizelge 3.4.1'de verilmiştir.

Çizelge 3.4.1 Araştırmada kullanılan kimyasallar materyaller ve cihazlar

<b>Kimyasal Materyal ve Cihazlar</b>	<b>Temin Edilen Yer</b>	<b>Kullanıldığı Yer</b>
Hekzan	Merck	İTK, Kolon kromatografisi
Petrol Eteri	Merck	İTK, Kolon kromatografisi
Benzen	Merck	İTK
Toluen	Merck	İTK
Diklorometan	Merck	İTK, Kolon kromatografisi
Kloroform	Merck	İTK, Kolon kromatografisi
Dietil eter	Merck	İTK, Kolon kromatografisi
Aseton	Solventaş, Solvay	İTK, Durulama
Etil asetat	Merck	İTK, Kolon kromatografisi
MeOH	Merck	İTK, Kolon kromatografisi
İzopropil alkol	Merck	İTK
Hidroklorik asit	Merck	Flavonoid UV incelemelerinde
Alüminyum klorür	Merck	Flavonoid UV incelemelerinde
Borik asit	Merck	Flavonoid UV incelemelerinde
Sodyum metoksit	Merck	Flavonoid UV incelemelerinde
Sodyum asetat	Merck	Flavonoid UV incelemelerinde

Çizelge 3.4.1 Araştırmada kullanılan kimyasallar materyaller ve cihazlar (devamı)

<b>Kimyasal Materyal ve Cihazlar</b>	<b>Temin Edilen Yer</b>	<b>Kullanıldığı Yer</b>
Seryum sülfat	Merck	İTK Belirteç
Silika jel 60	Merck	Kolon kromatografisi
Sephadex LH-20	Sigma	Kolon kromatografisi
TLC 60 F <sub>254</sub> Alüminyum	Merck	İTK
Silika jel 60 HF <sub>254+366</sub>	Merck	PİTK
Silika jel 60 HF <sub>254</sub>	Merck	PİTK
Silika jel 60 GF <sub>254</sub>	Merck	PİTK
Asetik anhidrit	Merck	Asetilme reaksiyonu
Susuz Piridin	Merck	Asetilme reaksiyonu
BHT	Sigma	Antioksidan aktivite
α-tokoferol	Sigma	Antioksidan aktivite
Fosfomolibdik asit	Sigma	Antioksidan aktivite
DTNB	Sigma	Antikolinesteraz aktivite
AChl	Sigma	Antikolinesteraz aktivite
Tris-HCl	Sigma	Antikolinesteraz aktivite
MPLC	Buchi	Fraksiyonlandırma ve Saflaştırma
HPTLC	Camag	Fraksiyonlandırma ve Saflaştırma
UV/VIS	Shimadzu	Flavonoid kaymaları
IR	Perkin Elmer	Fonksiyonel grup belirlenmesi
NMR	Bruker Avance III	Yapı tayini
LC/MS/QTOF	Agilent 6530	Molekül ağırlığı
GC-MS	Agilent 5975	Uçucu yağ tayini

### **3.5 Yapılan Biyolojik Aktivite Çalışmaları**

#### **3.5.1 Antikolinesteraz aktivite**

Uçucu yağların asetilkolinesteraz inhibitör etkisi Ellman metodu ile belirlenmiştir [172]. Deneyde aktivite ölçümü için sarı renkli  $240 \mu\text{L}$  DTNB [1.25 mM 5,5-ditiyobis (2-nitrobenzoik asit], substrat olarak  $192 \mu\text{L}$  AChl (asetiltiyokolin iyodid), tampon çözelti olarak  $1200 \mu\text{L}$  pH 8'de 100 mM Tris-HCl ve  $20 \mu\text{L}$  uçucu yağ kullanılmıştır. Blank solüsyon uçucu yağ yerine  $20 \mu\text{L}$  tampon çözelti içermektedir. Deneyde pozitif kontrol olarak Galantamin hidrobromür kullanılmıştır. Kalibrasyon eğrisi farklı konsantrasyonlarda galantaminin asetilkolinesteraz inhibisyonu test edilerek elde edilmiştir. Reaksiyonlar  $0.0325 \text{ U/mL}$  asetilkolinesterazın reaksiyon karışımına eklenmesiyle başlanmıştır. Reaksiyon, spektrofotometre kullanılarak  $412 \text{ nm}$ 'de 2 dakika boyunca gözlemlenmiş. Enzimatik aktivite, blank çözücüden elde edilen aktivite uygunluk reaksiyon yüzdesine göre hesaplanmıştır. Asetilkolinesteraz aktivitesi (% inhibisyon) aşağıdaki eşitlik kullanılarak hesaplanmıştır ( $A=\text{Absorbans}$ ).

$$\% \text{ İnhibisyon} = (A_{\text{kontrol}} - A_{\text{örnek}}) / A_{\text{kontrol}} \times 100$$

Her bir örnekten üç paralel çalışma yapılmıştır.

#### **3.5.2 Antioksidan aktivite**

Uçucu yağların antioksidan aktiviteleri PRAP (antioksidan gücünü azaltan fosfomolibden) yöntemi ile farklı sıcaklıklarda sıvı faz içindeki fosfomolibdik asit reaksiyonuna bağlı olarak belirlenmiştir [173]. Stok solüsyon olarak %10'luk (w/v) fosfomolibdik asit, 1, 5, 10 mg/ml uçucu yağ hazırlanmıştır. Pozitif kontrol olarak  $\alpha$ -tokoferol ve BHT (2,6-di-t-bütil-1-hidroksitoluen), negatif kontrol için metanol kullanılmıştır. Fosfomolibdik asit sölüsyonu ( $200 \mu\text{L}$ ) ve numuneler ( $200 \mu\text{L}$ ) karıştırılmış ve sonra  $80^\circ \text{C}$ 'de 30 dakika boyunca inkube edilmiştir. Bütün numuneler ve kontroller oda sıcaklığında soğutulmaya bırakılmıştır. Daha sonra  $600 \text{ nm}$ 'de absorbans ölçümleri yapılmıştır. Blank kontrol ile kıyasladığı zaman, reaksiyonun absorbans değerinin yükselmesi bileşiklerin indirgenme gücünün yükselmesini ifade etmektedir. Her bir örnekten beş paralel çalışma yapılmıştır.

### **3.5.3 Sitotoksik aktivite**

Sitotoksik aktivite için HeLa (insan serviks adenokarsinom), A-549 (insan alveol adenokarsinoma), MCF-7 (insan göğüs adenokarsinoma), CaCo-2 (insan kolon kolorektal adenokarsinom), mPANC96 (insan pankreas adenokarsinomu), PC-3 (insan prostat adenokarsinomu), U87MG (insan glioblastoma-astroositom) ve normal hücre hattı olarak HEK293 (insan embriyonik böbrek hücreleri) kullanılmıştır. Bütün hücre hatları ATTC'den satın alınmıştır.

Uçucu yağların sitotoksik aktivitesi canlı hücrelerin mitokondriyal redüktaz aktivitesinin tespitine dayanan modifiye edilmiş MTT metodu ile belirlenmiştir [174]. Bu amaçla bütün hücre hatları 24 saat kültüre edilmiştir. Kültüre edilen hücreler, ekstrelerin farklı dilüsyonları ( $0.5, 5, 50 \mu\text{g/ml}$ ) ile muamele edilerek  $37^\circ\text{C}$ 'de 48 saat boyunca inkübe edilmişlerdir. Partenolit pozitif kontrol olarak kullanılmıştır. Çözünmüş maddenin optik yoğunluğu 520 nm'de UV-VIS spektrofotometre ile ölçülmüştür [175].

## BÖLÜM 4

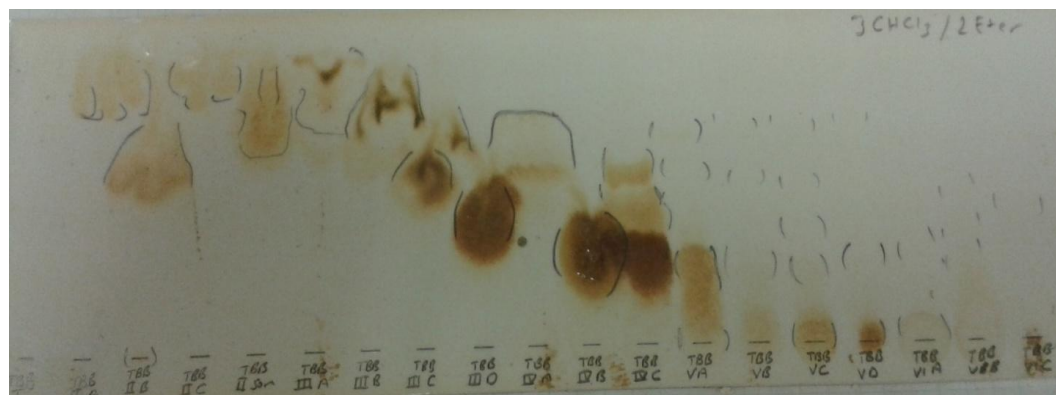
---

### BULGULAR

Bu bölümde *Tanacetum balsamita* subsp. *balsamitoides* ve *Tanacetum mucroniferum* bitkilerinin EA ve MeOH ekstrelerinden izole edilen maddelerin izolasyon yöntemleri ve yapı tayinleri yer almaktadır.

#### **4.1 *Tanacetum balsamita* subsp. *balsamitoides* (TBB) bitkisinin EA ekstresinden izole edilen maddeler**

TBB bitkisinin gövdesinden elde edilen 26.4 gr EA ekstresinin kaba ayrimı için kolon kromatografisi yapılmıştır. Kolon kromatografisinde hekzan-etyl asetat-metanol ile gradiyent elüsyon yapılarak 22 fraksiyon elde edilmiştir. Çizelge 4.1'de yapılan kaba ayirma ve elde edilen fraksiyonları verilmektedir. Kolon kromatografisinden elde edilen fraksiyonlar CHCl<sub>3</sub>, CHCl<sub>3</sub>:Eter (3:2), Toluken:Hekzan (3:7), Benzen:CHCl<sub>3</sub>:Eter (1:1:1), CHCl<sub>3</sub>:Eter (1:1), Benzen:E.A (7:3) gibi çeşitli çözücü sistemleriyle İTK'da karşılaştırılmıştır. Resim 4.1'de TBB bitkisi fraksiyonlarının CHCl<sub>3</sub>:Eter (3:2) çözücü sistemindeki kromatogramı görülmektedir. TBB I, TBB IIA, TBB IIIB ve TBB IIC fraksiyonlarının yağlı bileşikler içerdikleri görülmüştür. İTK sonuçlarına göre Fr. 2: TBB II Son, Fr. 3: TBB IIIA + TBB IIIB, Fr. 4: TBB IIIC, Fr. 5: TBB IID + TBB IVA, Fr. 6: TBB IVB + TBB VA + TBB VB, Fr. 7: TBB IVC ve Fr. 8: TBBVC+VD+VIA+VIB+VIC+VIIA+VIIB+VIII fraksiyonları birleştirilmiş. Böylece yedi ana fraksiyon elde edilmiştir.



Resim 4.1 TBB bitkisi fraksiyonlarının  $\text{CHCl}_3$ :Eter (3:2) çözücü sistemindeki kromatogramı

Çizelge 4.1 TBB gövde ekstresine yapılan kaba ayırma ve elde edilen fraksiyonlar

<b>Fraksiyonlar</b>	<b>% Kullanılan çözücü miktarı</b>	<b>Fraksiyon ismi</b>
1	% 100 Hekzan (2500 ml)	TBB I, TBB IIA, TBB IIB,TBB IIC
2	%90 Hekzan(2250ml) + % 10 EA (250ml)	TBB II Son
3	%75 Hekzan(1875ml) + %25 EA (625ml)	TBB IIIA, TBB IIIB
4	%50 Hekzan (1250ml) + %50 EA (1250ml)	TBB IIIC
5	% 100 EA (2500ml)	TBB IIID, TBB IVA
6	%90 EA (2250ml) + % 10 MeOH (250ml)	TBB IVB, TBB IVC
7	%50 EA (1250ml) + %50 MeOH (1250ml)	TBB VA, TBB VB
8	% 100 MeOH (2500ml)	TBB VC, TBB VD, TBB VIA, TBB VIB, TBB VIC, TBB VIIA,TBB VIIB, TBB VIII

#### **4.1.1 Fr4-TBB IIIC fraksiyonundan izole edilen maddeler**

Elde edilen fraksiyonlardan TBB IIIC'nin MPLC ile Petrol eteri:CHCl<sub>3</sub>:EA (18:9:2) çözücü sisteminde tekrar fraksiyonlandırma yapılmıştır. Fraksiyon ağırlığına (2.2 gr) göre uygun boyutta MPLC kolon bulunmadığından dolayı fraksiyon ikiye bölünmüştür ve iki ayrı kolon yapılmıştır. MPLC'de kullanılan çözücü sistemleri ve fraksiyonlar Çizelge 4.2 ve 4.3'te verilmektedir. İlk yapılan kolondan 430 fraksiyon ve ikinci yapılan kolondan 754 fraksiyon toplanmıştır. İnce tabaka kromatografisi yardımıyla benzer fraksiyonlar birleştirilmiş. TBB IIIC (184-224) fraksiyonu Petrol eteri: Eter (6:4) sistemi ile iki defa preparatif ince tabaka kromatografisi ile yürütülmüş ve 5 bant elde edilmiştir. Buradan elde edilen 2. bant Petrol eteri:CHCl<sub>3</sub>:EA (18:9:2) sistemi ile tekrar iki defa ince tabaka kromatografisinde yürütülerek 5 bant elde edilmiştir. Yapılan ince tabaka kromatografisi sonucunda 2. ve 3. bantlarda aynı maddelerin olduğuna karar verilmiş ve bu bantlar birleştirilmiştir. Birleştirilen bantlardan TBB IIIC (184-224) 2 (2+3) kodlu 1 $\alpha$ -Asetoksi-11 $\beta$ (H),13-dihidrodoglanin 10 mg miktarında elde edilmiştir.

4. ve 5. bantlarda aynı maddeler olduğuna karar verildi ama 4. bant kirli olduğundan bu iki bant birleştirilmemiş. 5. banttan TBB IIIC (184-224) 2.5 kodlu  $\beta$ -Sitosterol 10 mg miktarında elde edilmiştir.

TBB IIIC (225-260) fraksiyonu Petrol eteri:CHCl<sub>3</sub>:EA (18:12:3) sistemi ile iki defa preparatif ince tabaka kromatografisiyle yürütülerek 5 banta ayrılmış. TBB IIIC (225-260) 2 kodlu 2. bant Petrol eteri:CHCl<sub>3</sub>:Etil asetat (18:12:3) çözücü sistemi ile tekrar 3 defa preparatif ince tabaka kromatografisinde yürütülerek 5 banta ayrılmış. 2. banttan TBB IIIC (225-260) 2.2 kodlu Taurin 15 mg miktarında elde edilmiştir.

TBB IIIC (261-291) fraksiyonu Petrol eteri:CHCl<sub>3</sub>:EA (18:12:3) sistemi ile 3 defa preparatif ince tabaka kromatografisi ile yürütülerek 5 banta ayrılmış. Yapılan ince tabaka kromatografisi çalışmaları ve <sup>1</sup>H NMR spektrum karşılaştırmaları sonucunda TBB IIIC (261-291) 1 kodlu 1. bant ve TBB IIIC (261-291) 2 kodlu 2. bantta elde edilen maddelerin TBB IIIC(225-260) 2.2 fraksiyonundan izole edilen maddeyle aynı olduğu sonucuna varılmıştır.

Çizelge 4.2 TBB IIIC MPLC ilk kolon fraksiyonları

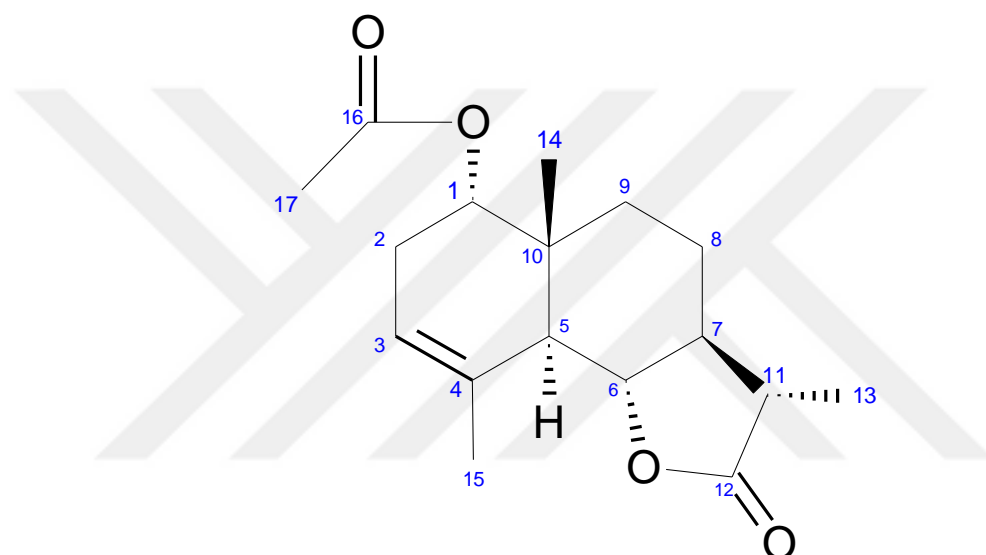
<b>Kullanılan çözücü sistemi</b>	<b>İlk Fraksiyon</b>	<b>Son Fraksiyon</b>
P.E:CHCl <sub>3</sub> :EA (18:9:2)	TBBIIIC.16	TBBIIIC.100
P.E:CHCl <sub>3</sub> :EA ( 9:9:2)	TBBIIIC.101	TBBIIIC.152
CHCl <sub>3</sub> :EA (9:2)	TBBIIIC.153	TBBIIIC.201
CHCl <sub>3</sub> :EA (4:2)	TBBIIIC.202	TBBIIIC.274
CHC <sub>3</sub> :EA (1:1)	TBBIIIC.275	TBBIIIC.365
Etil asetat	TBBIIIC.366	TBBIIIC.411
MeOH	TBBIIIC.412	TBBIIIC.430

Çizelge 4.3 TBB IIIC MPLC ikinci kolon fraksiyonları

<b>Kullanılan çözücü sistemi</b>	<b>İlk Fraksiyon</b>	<b>Son Fraksiyon</b>
P.E:CHCl <sub>3</sub> :EA (18:9:2)	TBBIIIC.18	TBBIIIC.291
P.E:CHCl <sub>3</sub> :EA ( 9:9:2)	TBBIIIC.292	TBBIIIC.444
CHCl <sub>3</sub> :EA (9:2)	TBBIIIC.445	TBBIIIC.524
CHCl <sub>3</sub> :EA (4:2)	TBBIIIC.525	TBBIIIC.657
CHC <sub>3</sub> :EA (1:1)	TBBIIIC.658	TBBIIIC.698
Etil asetat	TBBIIIC.699	TBBIIIC.732
MeOH	TBBIIIC.733	TBBIIIC.754

#### 4.1.1.1 TBB IIIC (184-224) 2 (2+3)= $1\alpha$ -Asetoksi- $11\beta$ (H),13-dihidrodouglanin ( $1\alpha$ -acetoxy- $11\beta$ (H),13-dihydronouglanin)

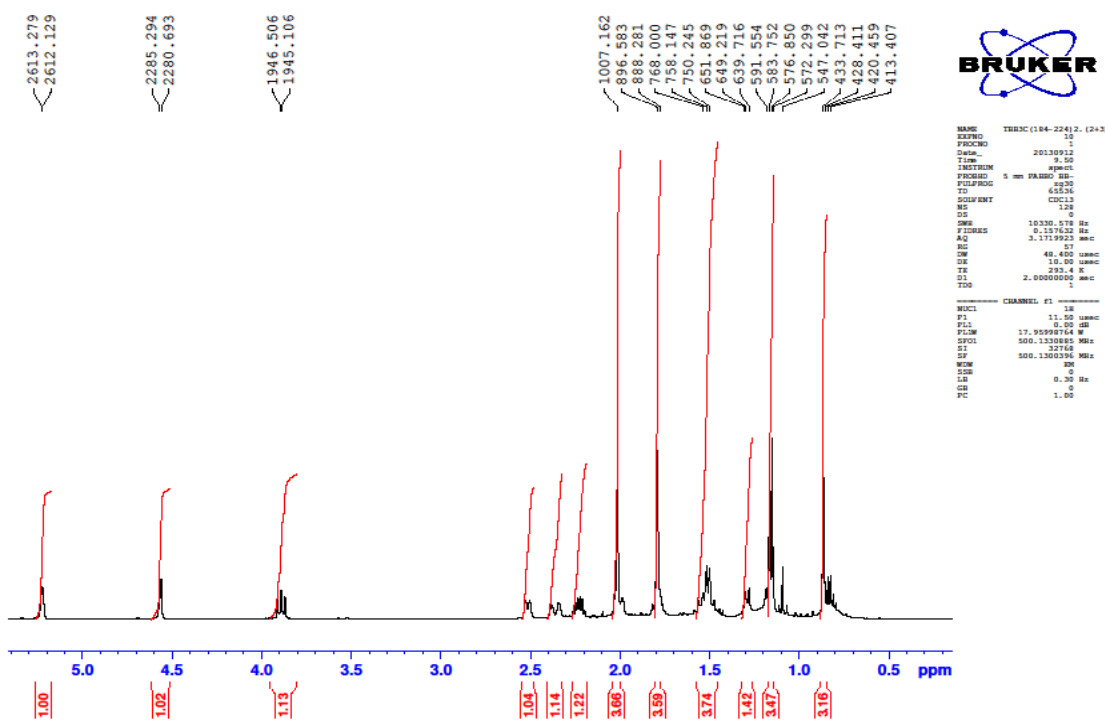
Maddenin yapısı spektral yöntemlerle ( $^1\text{H}$  NMR,  $^{13}\text{C}$  NMR, APT, COSY, HSQC, HMBC) aydınlatılmıştır. Çizelge 4.4'te  $1\alpha$ -Asetoksi- $11\beta$ (H),13-dihidrodouglanin  $^1\text{H}$ -NMR ve APT kimyasal kayma değerleri, Şekil 4.1'de  $1\alpha$ -Asetoksi- $11\beta$ (H),13-dihidrodouglanin moleküler yapısı, Şekil 4.2'de  $^1\text{H}$  NMR spektrumu, Şekil 4.3'te APT spektrumu, Şekil 4.4'te COSY spektrumu, Şekil 4.5'de HSQC spektrumu ve Şekil 4.6'da HMBC spektrumu verilmektedir. Elde edilen veriler literaturde verilen değerlerle uyum içindedir [176-178].



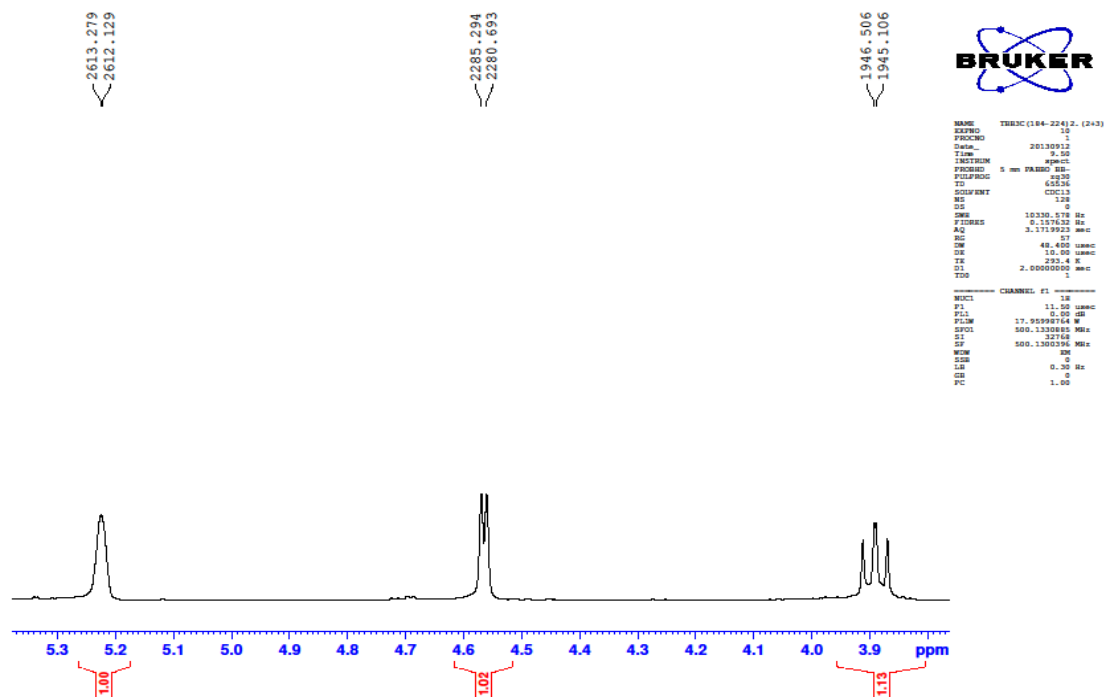
Şekil 4.1  $1\alpha$ -Asetoksi- $11\beta$ (H),13-dihidrodouglanin moleküler yapısı

Çizelge 4.4 1 $\alpha$ -Asetoksi-11 $\beta$ (H),13-dihidrodroouglanin  $^1\text{H}$ -NMR ve APT (500 MHz, 125 MHz,  $\text{CDCl}_3$ ) kimyasal kayma değerleri

<b>H</b>	<b><math>^1\text{H-NMR}</math></b>	<b>C</b>	<b>APT</b>
1	4.56 brd (1H, $J=4.5$ Hz)	1	74.82
2	2.36 brd(1H, $J=19.5$ Hz)	2	29.18
2'	2.02 (1H)	3	118.83
3	5.21 brs (1H)	4	133.45
5	2.52 brd (1H, $J=11.5$ Hz)	5	44.54
6	3.89 dd (1H, $J=11.3;10$ Hz)	6	81.31
7	1.51 m (1H)	7	53.42
8	1.78 (1H)	8	22.39
8'	1.51 m (1H)	9	33.58
9	1.51 m (1H)	10	39.10
9'	1.28 m (1H)	11	40.36
11	2.22 dq (1H, $J=13.5;7.0$ Hz)	12	179.62
13	1.15 d (3H, $J=7.0\text{Hz}$ )	13	17.39
14	0.86 s (3H)	14	12.47
15	1.78 brs (3H)	15	23.43
-OAc	2.02 s (3H)	-OCO-	170.74
		-OAc	21.57



Şekil 4.2 1 $\alpha$ -Asetoksi-11 $\beta$ (H),13-dihidrodroglandin  $^1$ H-NMR spektrumu



Şekil 4.2 1 $\alpha$ -Asetoksi-11 $\beta$ (H),13-dihidrodouglasinan  $^1$ H-NMR spektrumu



```

NAME      TBBNC(184-224)2-(2+3)
ND       10
TD      20130912
T1M      9.50
INSTRUM spect
PROBODR  5 mm PARROT BB
PULPROG  zg30
TD      65536
SOLVENT   CDCl3
NS      128
D1      10.00 sec
DW      10.00 usec
RG      48.00 usec
TE      293.4 K
TM      2.0000000 sec
TDS

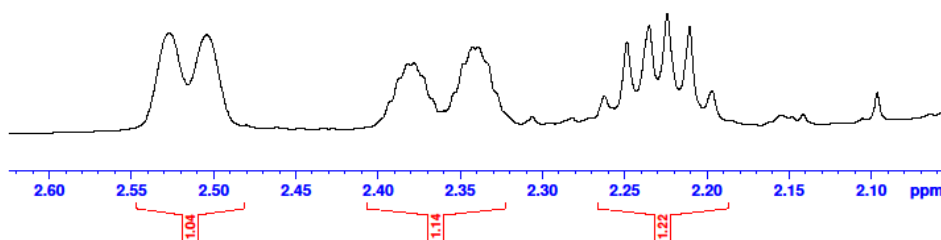
```

CHANNEL F1

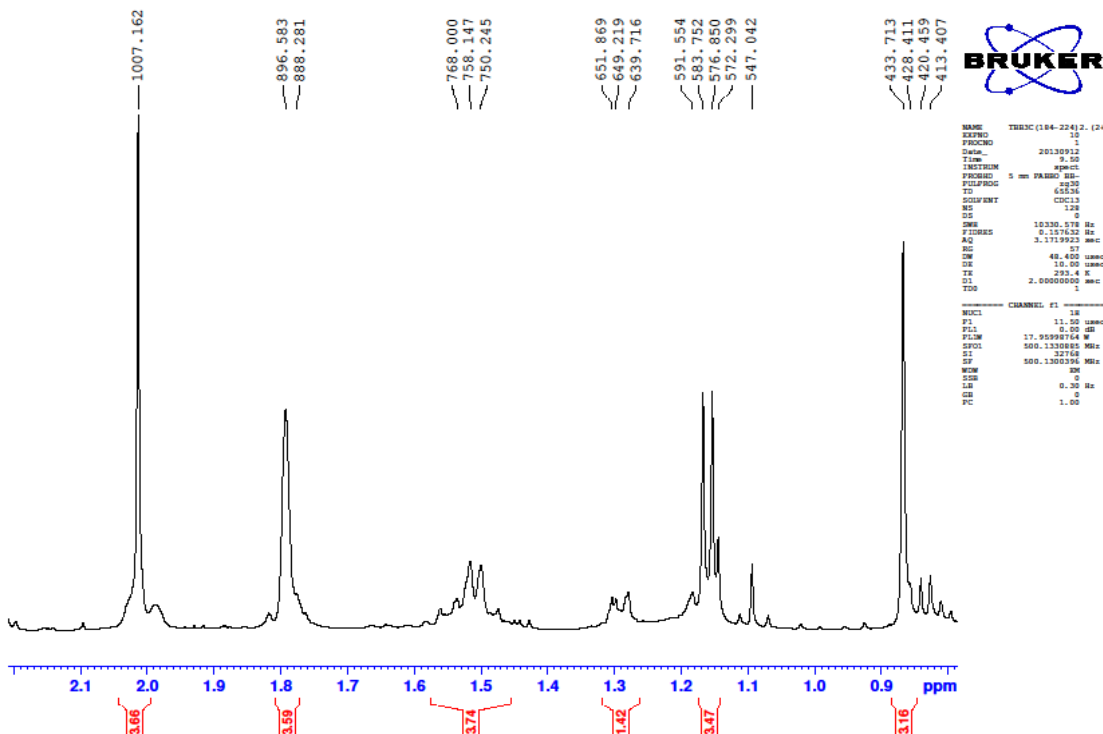
```

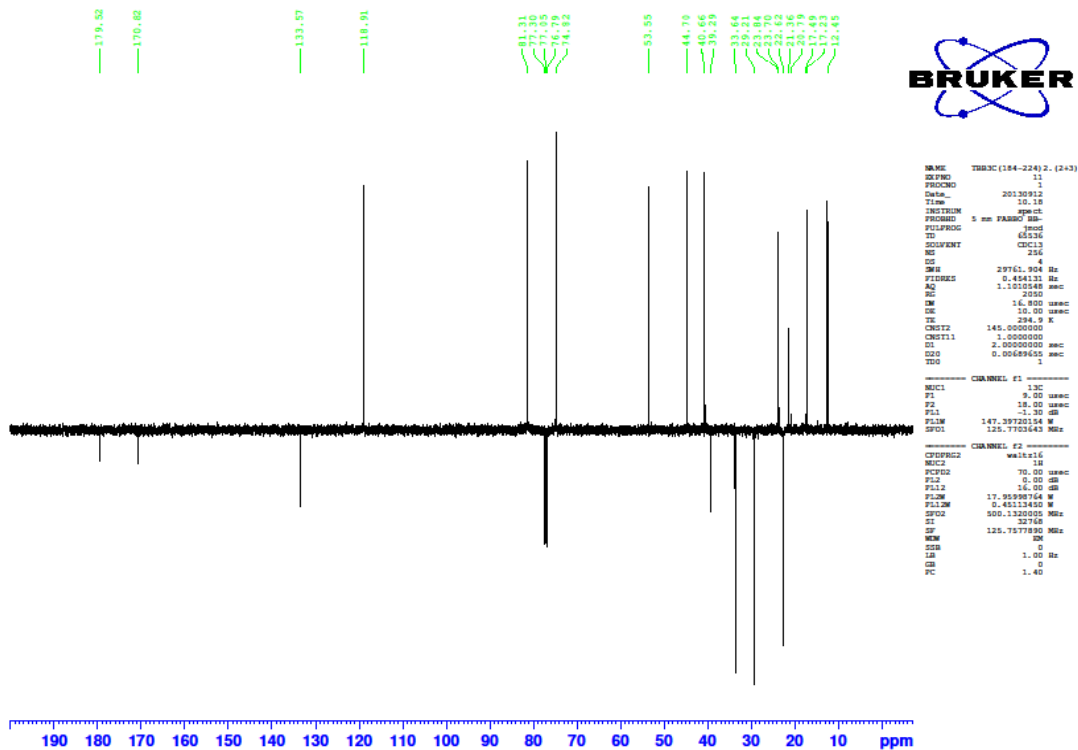
NUCL   1H
F1      11.00 usec
PL1M   0.00 dB
P1M    17.9599764 M
SFO1   500.1330885 MHz
SI      32768
SF      500.1330885 MHz
SWH    0.30 Hz
AQ      0.00 sec
RG      0.00
LB      0.00
PC      1.00

```

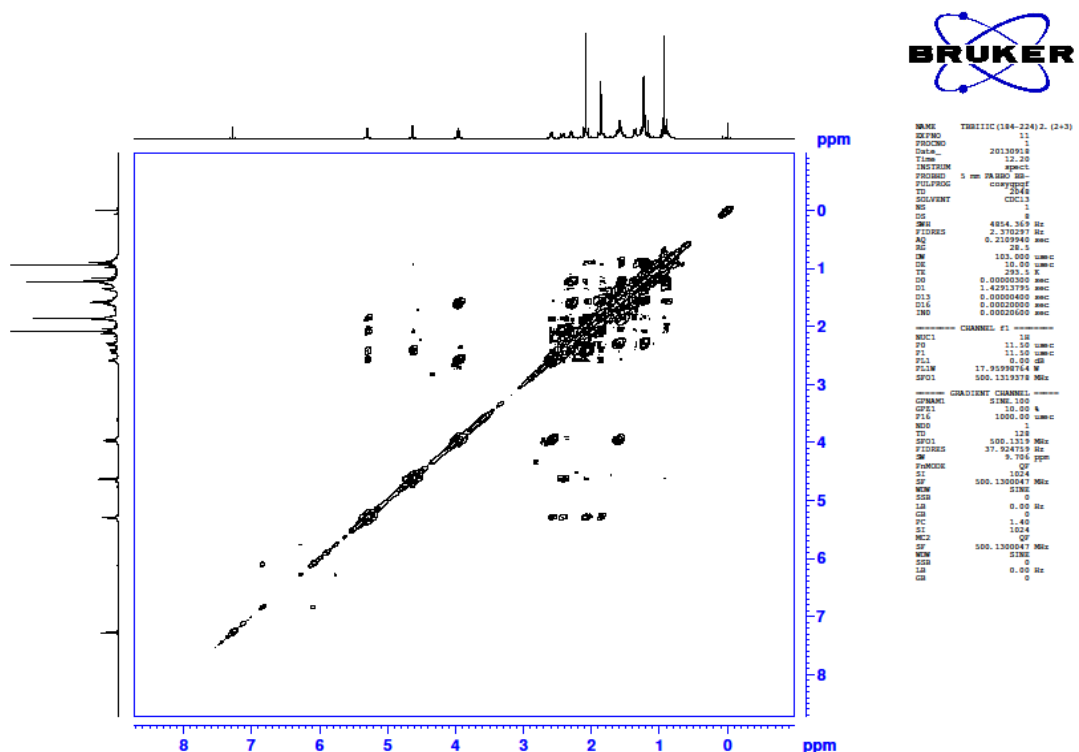


Şekil 4.2 1 $\alpha$ -Asetoksi-11 $\beta$ (H),13-dihidrodouglanin  $^1\text{H}$ -NMR spektrumu

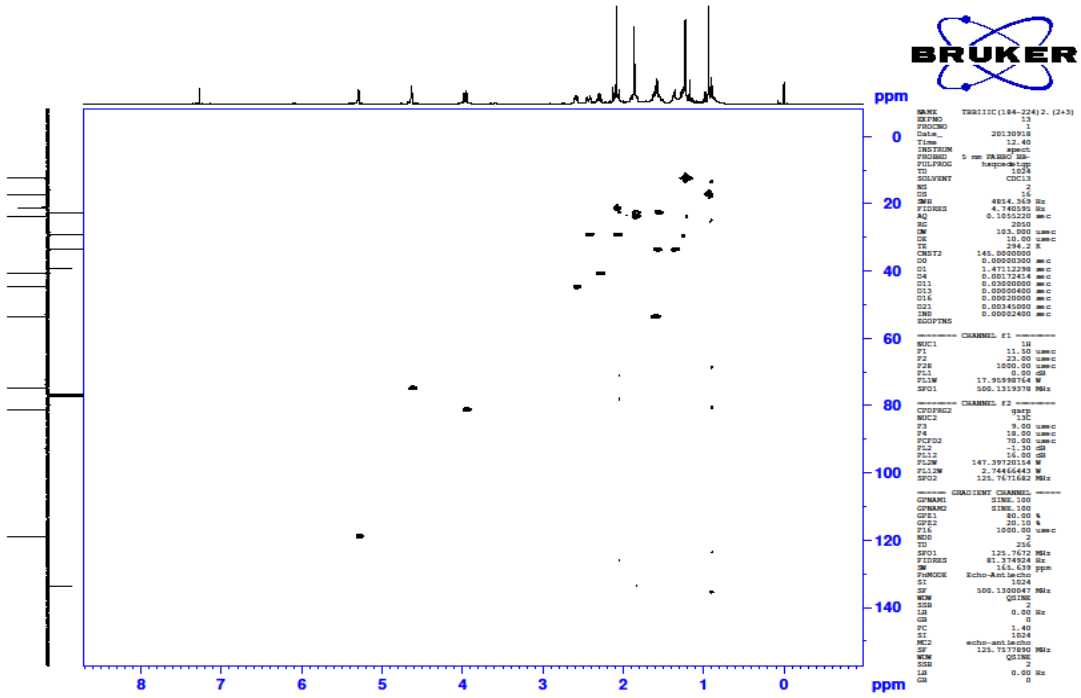




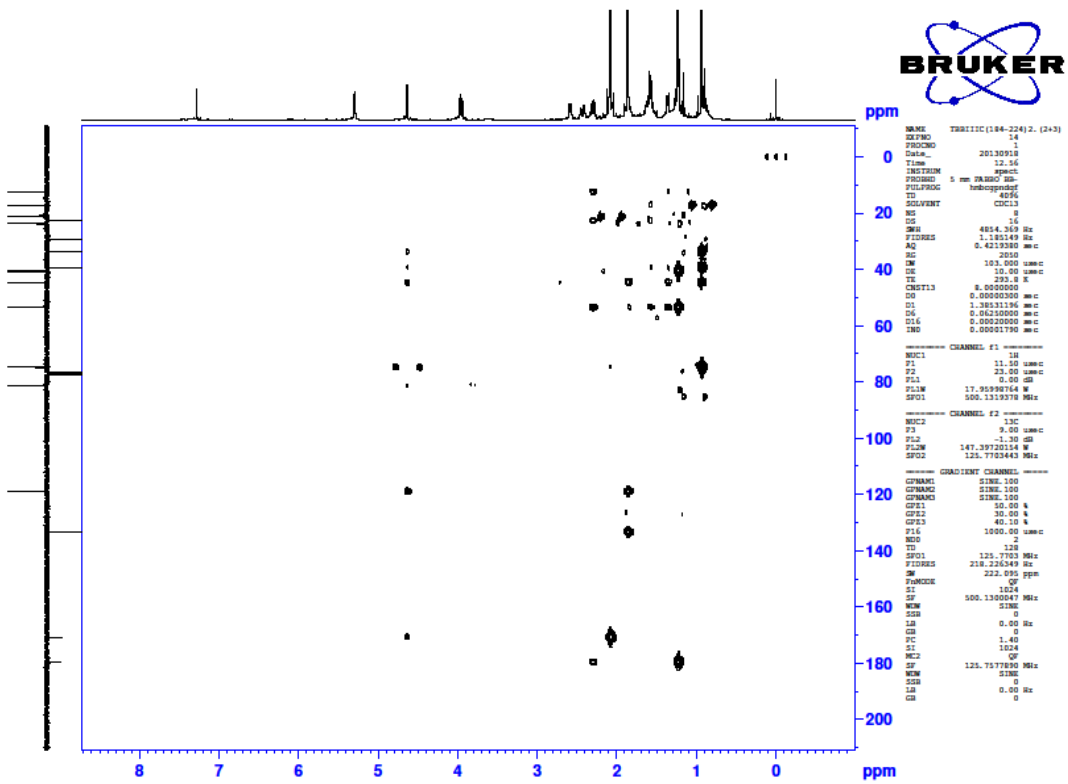
Şekil 4.3 1 $\alpha$ -Asetoksi-11 $\beta$ (H),13-dihidrodrogulanin APT spektrumu



Şekil 4.4 1 $\alpha$ -Asetoksi-11 $\beta$ (H),13-dihidrodrogulanin COSY spektrumu



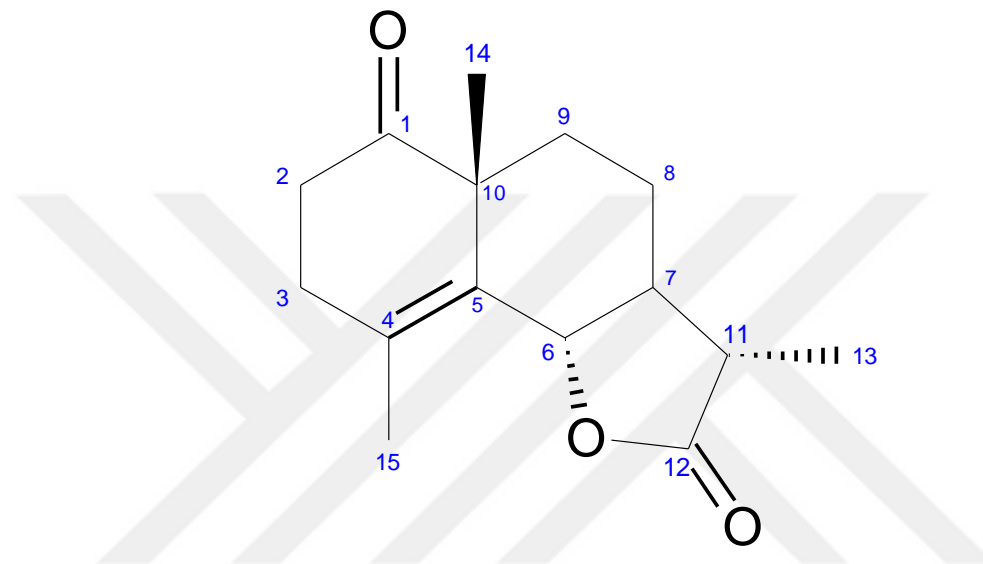
Sekil 4.5 1 $\alpha$ -Asetoksi-11 $\beta$ (H),13-dihidrodroglandin HSQC spektrumu



Sekil 4.6 1 $\alpha$ -Asetoksi-11 $\beta$ (H),13-dihidrodroglandin HMBC spektrumu

#### 4.1.1.2 TBB IIIC (225-260) 2.2= Taurin

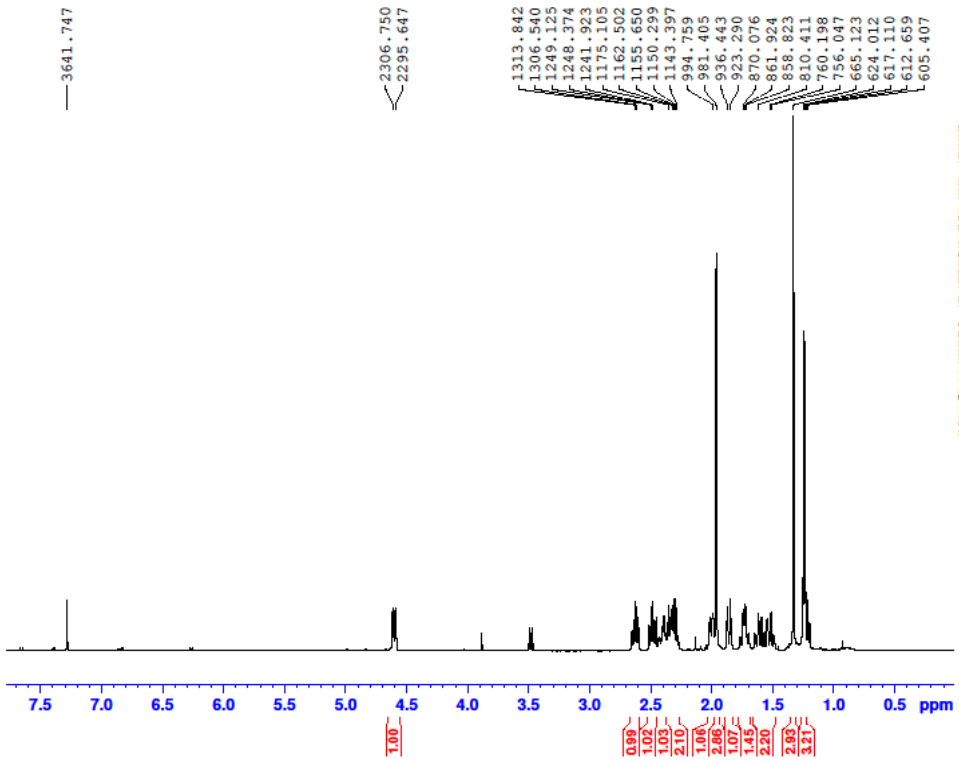
Maddenin yapısı spektral yöntemlerle ( $^1\text{H-NMR}$ , APT, COSY, HSQC, HMBC) aydınlatılmıştır. Çizelge 4.5'te Taurin  $^1\text{H-NMR}$  ve APT kimyasal kayma değerleri, Şekil 4.7'de Taurin moleküler yapısı, Şekil 4.8'de  $^1\text{H}$  NMR spektrumu, Şekil 4.9'da APT spektrumu, Şekil 4.10'da COSY spektrumu, Şekil 4.11'de HSQC spektrumu ve Şekil 4.12'de HMBC spektrumu verilmektedir. Elde edilen veriler literatürde verilen değerlerle uyum içindedir [179].



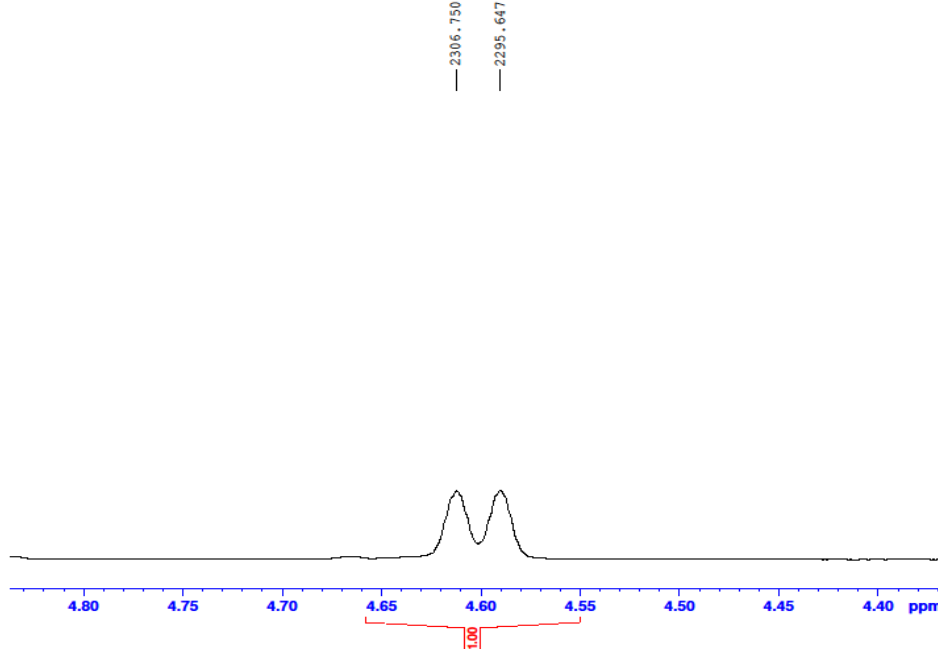
Şekil 4.7 Taurin moleküler yapısı

Çizelge 4.5 Taurin  $^1\text{H-NMR}$  ve APT (500 MHz, 125 MHz,  $\text{CDCl}_3$ ) kimyasal kayma değerleri

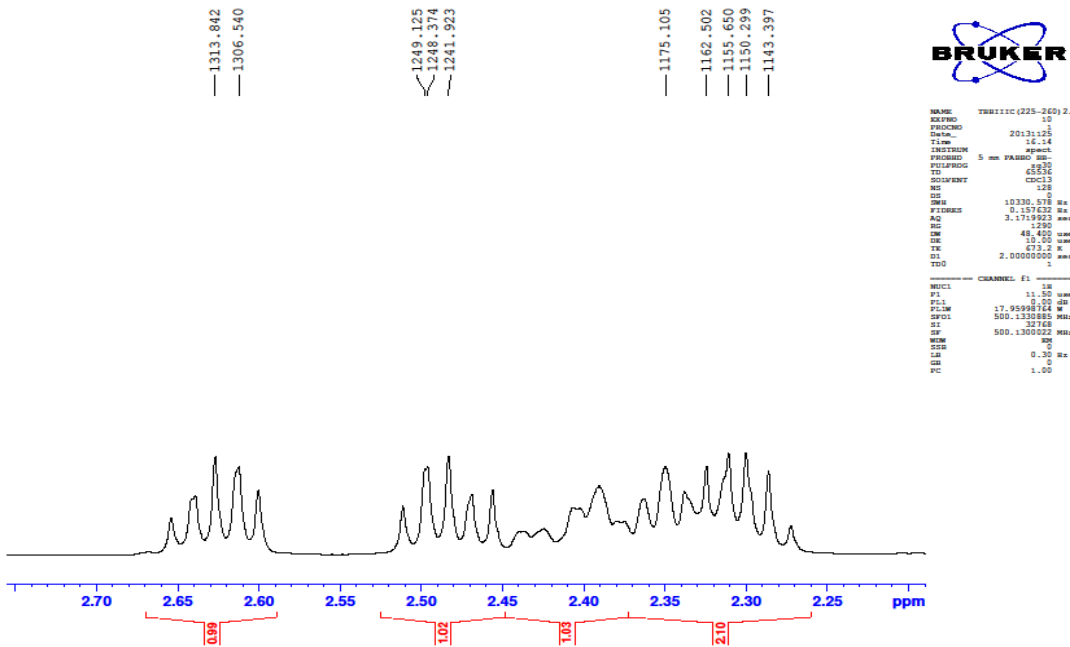
<b>H</b>	<b><math>^1\text{H-NMR}</math></b>	<b>C</b>	<b>APT</b>
2	2.63 ddd (1H, $J=6.0;7.0;13.0$ Hz)	1	213.25
2'	2.49 ddd (1H, $J=6.5;7.5;14$ Hz)	2	36.01
3	2.35-2.40 m (2H)	3	33.02
6	4.60 brd (1H, $J=11$ Hz)	4	126.96
7	1.73 m (1H)	5	129.57
8	2.00 m (1H)	6	81.54
8'	2.00 m (1H)	7	52.89
9	1.86 ddd (1H, $J=2.3;5.0;15$ Hz)	8	23.88
9'	1.5 m (1H)	9	34.78
11	2.29 m (1H)	10	48.96
13	1.23 d (3H, $J=7.0$ Hz)	11	40.99
14	1.32 s (3H)	12	178.35
15	1.96 brs (3H)	13	12.74
		14	23.36
		15	19.68



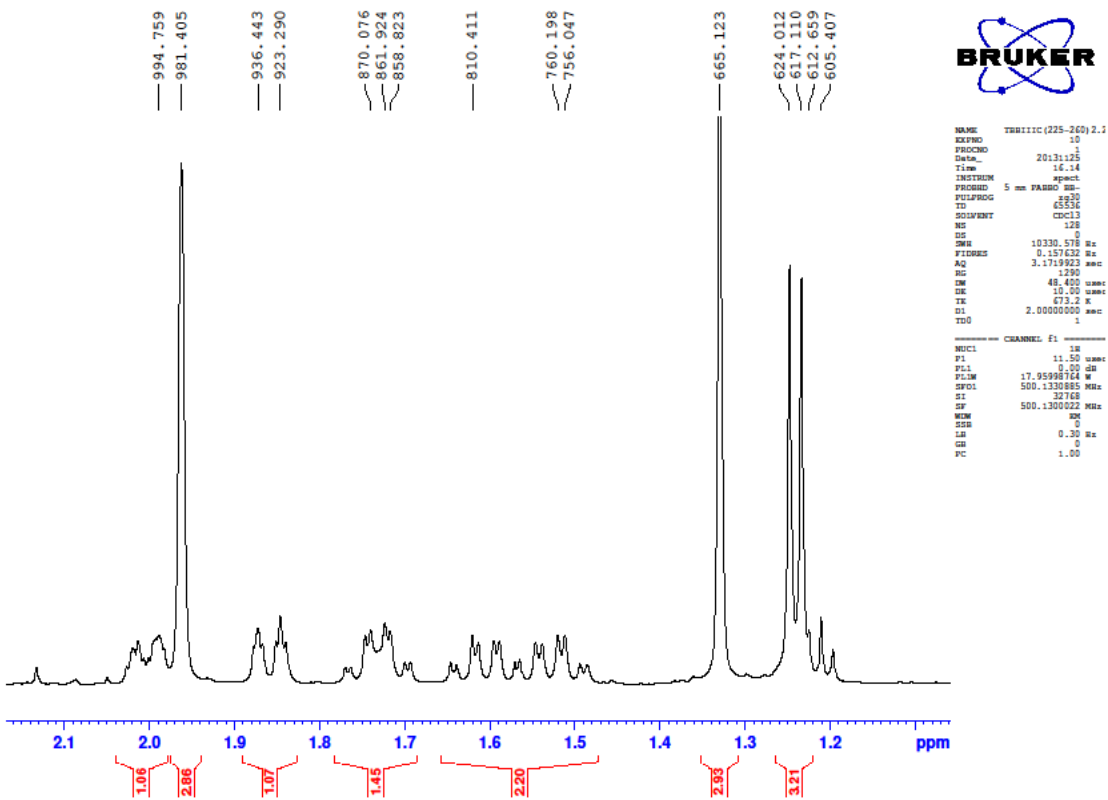
Şekil 4.8 Taurin  $^1\text{H}$  NMR spektrumu



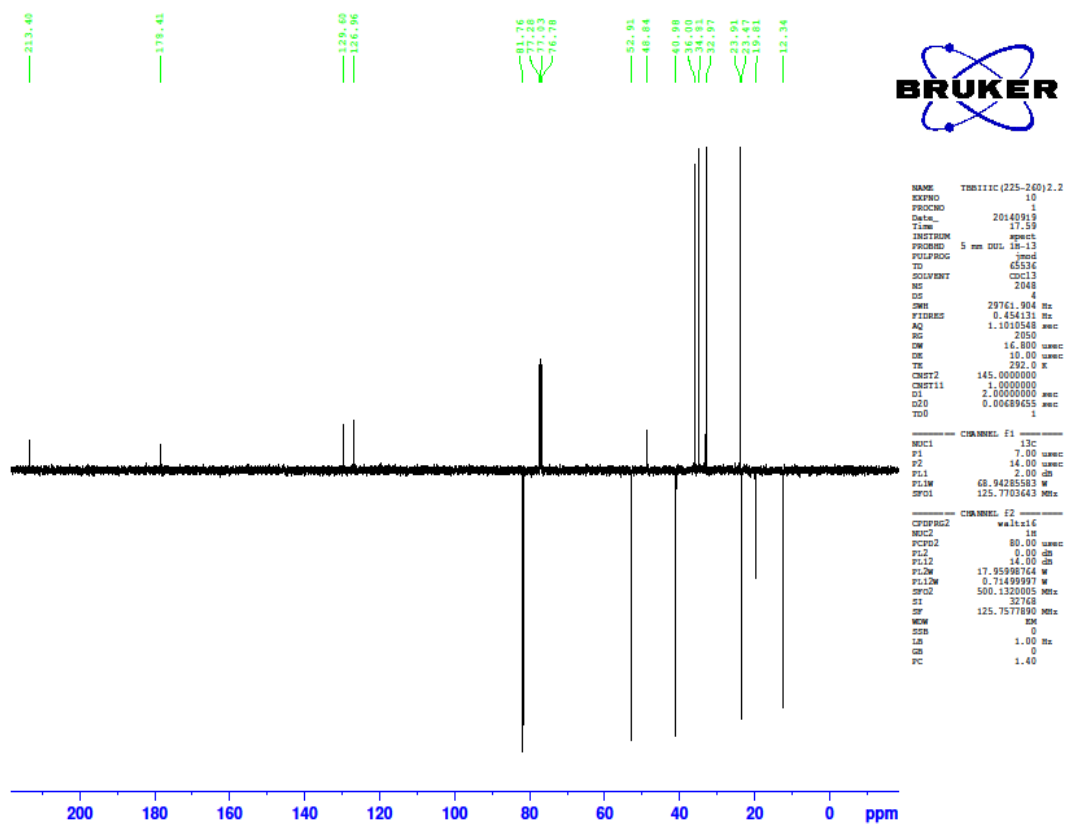
Şekil 4.8 Taurin  $^1\text{H}$  NMR spektrumu



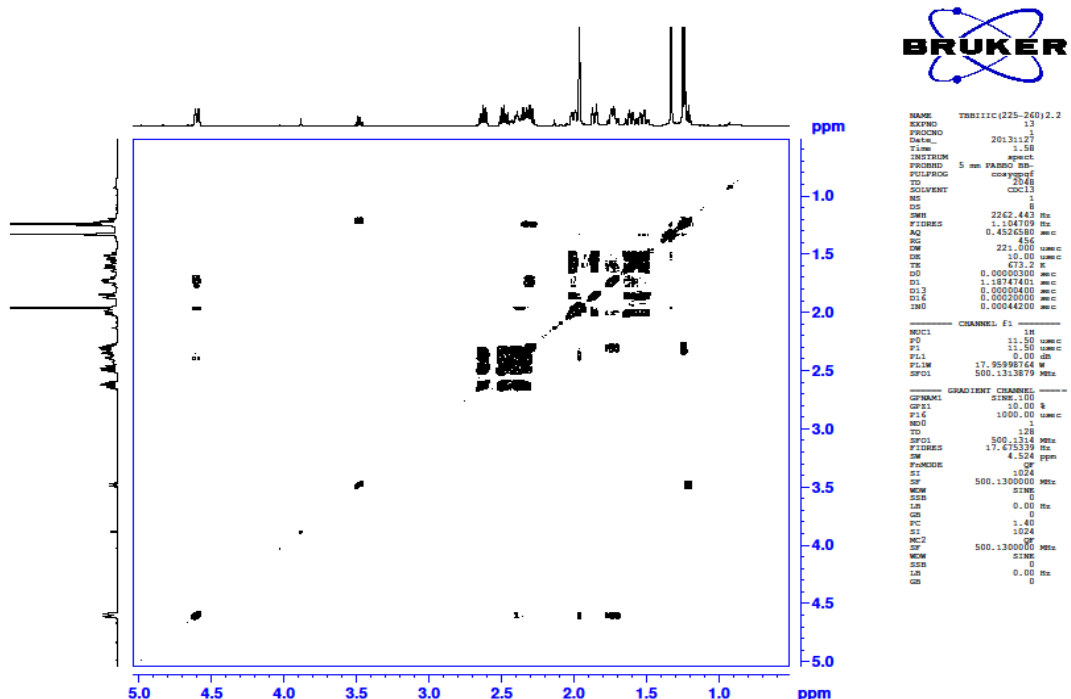
Şekil 4.8 Taurin  $^1\text{H}$  NMR spektrumu



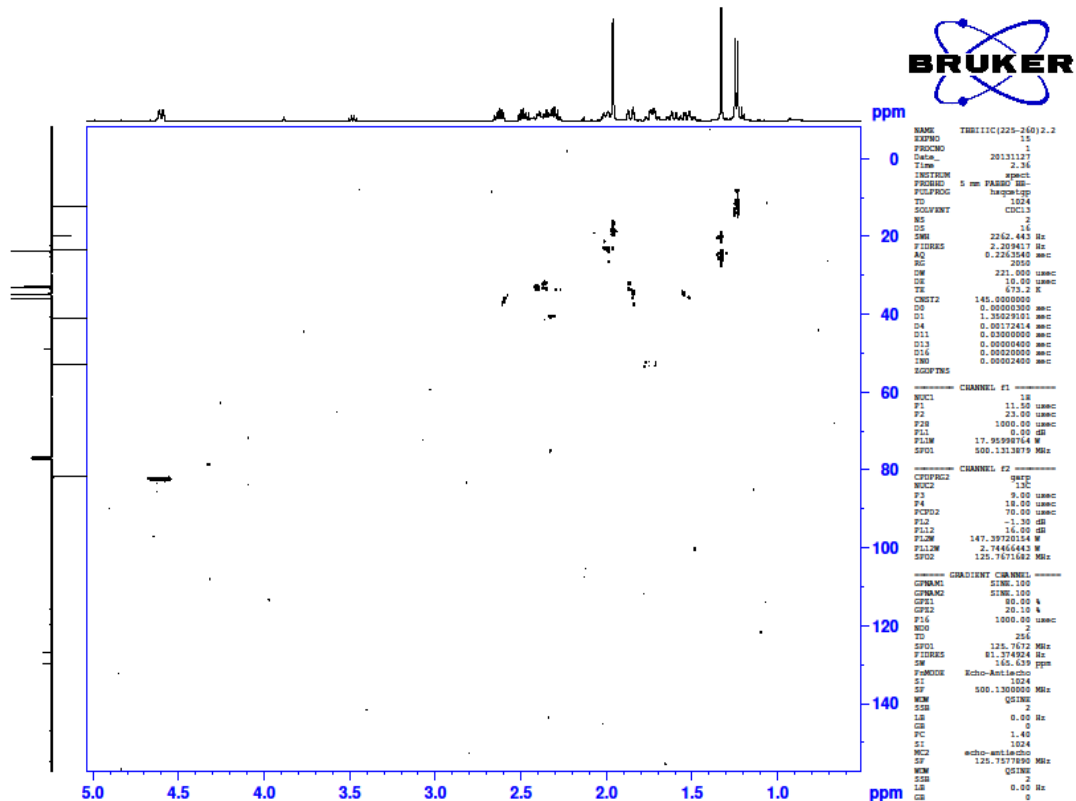
Şekil 4.8 Taurin  $^1\text{H}$  NMR spektrumu



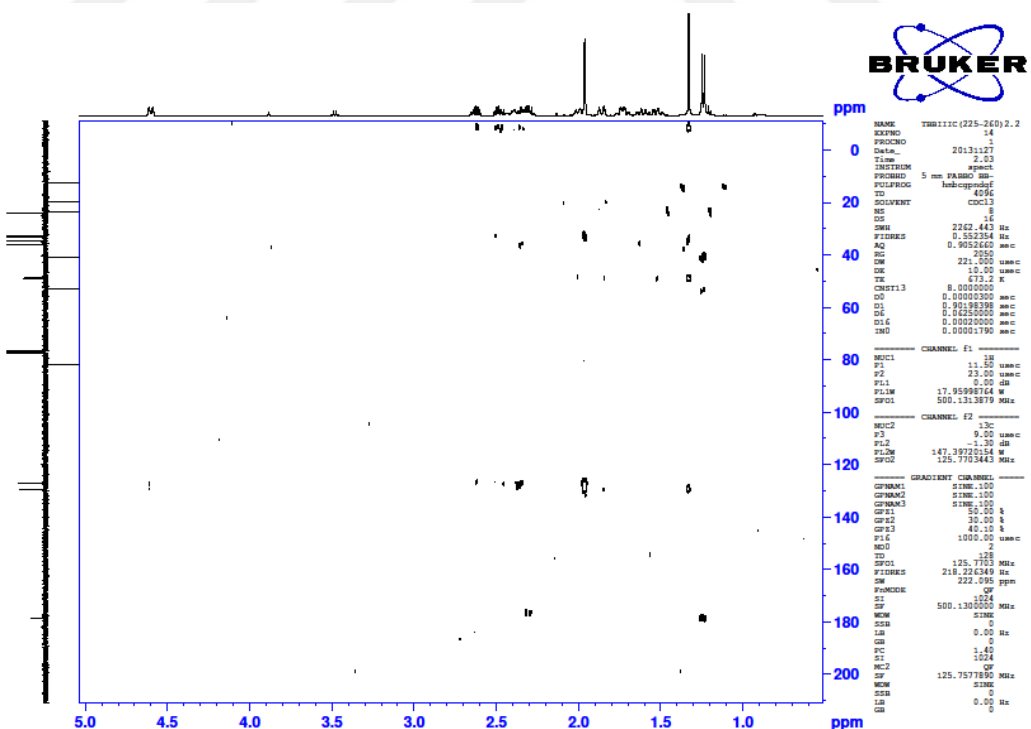
Sekil 4.9 Taurin APT spektrumu



Sekil 4.10 Taurin COSY spektrumu



Şekil 4.11 Taurin HSQC spektrumu

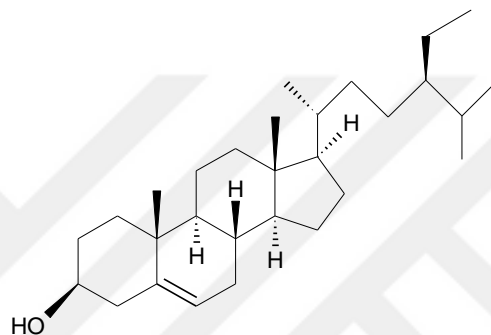


Şekil 4.12 Taurin HMBC spektrumu

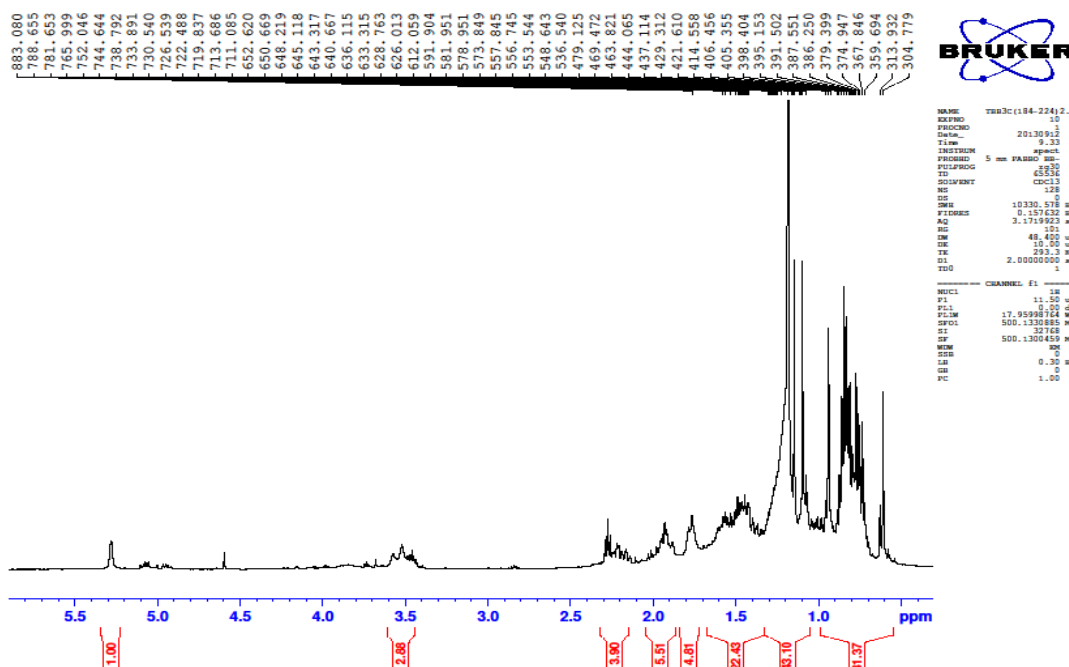
#### 4.1.1.3 TBB IIIc (184-224) 2.5 = $\beta$ -Sitosterol

Maddenin yapısı  $^1\text{H-NMR}$  spektral yöntemle ve spektrum karşılaştırılmaları ile aydınlatılmıştır. Şekil 4.13'te  $\beta$ -Sitosterol moleküler yapısı ve Şekil 4.14'te  $^1\text{H}$  NMR spektrumu verilmektedir. Elde edilen veriler literatürde verilen değerlerle uyum içindedir [180].

$\beta$ -Sitosterol UV (254 ve 366 nm) ışık altında görülmemekte, renklendirme belirteçi seryum sülfat püskürtülü manyetik ısıtıcı üzerinde yakıldığından mavi-fuşya renk vermektedir daha sonra kahverengiye dönüşmektedir.  $^1\text{H-NMR}$  spektrumunda  $\delta$  5-5.5 arasında boynuzlu bir pik,  $\delta$  3.5'da multiplet piki vermektedir.



Şekil 4.13  $\beta$ -Sitosterol moleküler yapısı



Şekil 4.14  $\beta$ -Sitosterol  $^1\text{H-NMR}$  spektrumu

#### **4.1.2 Fr6-TBB IVB+VA+VB fraksiyonundan izole edilen maddeler**

TBB IVB+VA+VB fraksiyonu  $\text{CHCl}_3$ :Eter (1:1) çözücü sisteminde MPLC yapılmasına karar verilmiştir. MPLC çalışması sonucunda 315 fraksiyon toplanmış ve ince tabaka kromatografisi yardımıyla benzer fraksiyonlar birleştirilmiştir. MPLC'de kullanılan çözücü sistemleri ve fraksiyonlar Çizelge 4.6'da verilmektedir.

TBB IVB+VA+VB (27-50) fraksiyonunda bir çökelti olmuş. Oluşan çökelti fraksiyondan ayırlarak ince tabaka kromatografisinde  $\text{CHCl}_3$  sisteminde yürütüldüğünde çökeltinin üç farklı maddeden oluştuğu gözlenmiş ve preparatif ince tabaka kromatografisi ile bu üç madde birbirinden ayrılmıştır. 1. banttan TBB IVB+VA+VB (27-50) 4.1 kodlu 5-Hidroksi-3',4',6,7-tetrametoksiflavon 6 mg ve 3. banttan TBB IVB+VA+VB (27-50) 4.3 kodlu Chrysanthemolide 8 mg elde edilmiştir.

TBB IVB+VA+VB (51-79) fraksiyonu kolon kromatografisi yapılmış. Fraksiyon miktarına (1.5 gr) göre uygun boy (110cm) ve çapta (1.5cm) kolon seçilmiş. Kolon kromatografisi çalışması sonucunda 315 fraksiyon toplanmış ve ince tabaka kromatografisi yardımıyla benzer fraksiyonlar birleştirilmiştir. Kolon kromatografisinde kullanılan çözücü sistemleri Çizelge 4.7'de verilmektedir. TBB IVB+VA+VB (51-79) (46-52) fraksiyonu  $\text{CHCl}_3$  sisteminde préparatif ince tabaka kromatografisi yapılmıştır. 2. banttan TBB IVB+VA+VB (51-79) (46-52) 2.2 kodlu Santonin 7 mg miktarında elde edilmiştir.

TBB IVB+VA+VB (51-79) (62-68) fraksiyonu  $\text{CHCl}_3$ :MeOH (30:1) çözücü sisteminde 2 defa préparatif ince tabaka kromatografisinde yürütülmüş ve 11 bantta ayrılmıştır. 2. bantta yer alan maddeler  $\text{CHCl}_3$  çözücü sisteminde tekrar préparatif ince tabaka kromatografisinde yürütülmüş. 4. banttan TBB IVB+VA+VB (51-79) (62-68) 2.4 kodlu 5,3'-Dihidroksi-6,7,4',5'-tetrametoksiflavon maddesi 4 mg ve 5. banttan TBB IVB+VA+VB (51-79) (62-68) 2.5 kodlu Pallensis 7 mg miktarında elde edilmiştir.

TBB IVB+VA+VB (51-79) (62-68) fraksiyonunun 3.bandında yer alan maddeler  $\text{CHCl}_3$  çözücü sisteminde préparatif ince tabaka kromatografisinde yürütülmüş. TBB IVB+VA+VB (51-79) (62-68) 3.2 kodlu 2. banttan saflaştırılan maddenin TBB IVB+VA+VB (51-79) (62-68) 2.5 kodlu maddeyle aynı olduğu, çeşitli çözücü sistemlerde yürütülen ince tabaka kromatografisi ve  $^1\text{H}$  NMR spektrumları karşılaştırılarak karar verilmiştir. TBB IVB+VA+VB (51-79) (62-68) 3.3 kodlu 1,10-Epoksispiciformin 8 mg miktarında elde edilmiştir.

TBB IVB+VA+VB (51-79) (62-68) fraksiyonun 4. bandında yer alan maddeler CHCl<sub>3</sub> sisteminde ince tabaka kromatografisi yapılmış ve 2 bantta ayrılmıştır. TBB IVB+VA+VB (51-79) (62-68) 4.1 kodlu 1. banttan saflaştırılan maddenin TBB IVB+VA+VB (51-79) (62-68) 3.3 kodlu maddeyle aynı olduğu, çeşitli çözücü sistemlerinde yürütülen ince tabaka kromatografisi ve <sup>1</sup>H NMR spektrumları karşılaştırılarak karar verilmiştir. 2. banttan TBB IVB+VA+VB (51-79) (62-68) 4.2 kodlu 1-Asetilerivanin 9 mg miktarında saflaştırılmıştır.

TBB IVB+VA+VB (51-79) (62-68) 9 kodlu 8 $\alpha$ -Hidroksisantamarin 5 mg miktarında elde edilmiştir.

TBB IVB+VA+VB (51-79) (69-77) fraksiyonunun 2. bantında yer alan maddeler Hekzan:CHCl<sub>3</sub>:MeOH (15:15:1) sistemi ile dört defa preparatif ince tabaka kromatografisiyle yürütülerek 8 banta ayrılmıştır.

TBB IVB+VA+VB (51-79) (69-77) 2.3 kodlu 3. bantta yer alan maddeler Hekzan:CHCl<sub>3</sub>:MeOH (15:15:1) çözücü sisteminde tekrar preparatif ince tabaka kromatografisi yapılmış ve 6 bantta ayrılmıştır. Yapılan ince tabaka kromatografisi sonucuna göre 2. ve 3. bantta aynı saf maddeler olduğuna karar verilmiş ve bu bantlar birleştirilmiştir. Bu bantlarda yer alan saf maddenin daha önce TBB IVB+VA+VB (27-50) 4.3 kodlu fraksiyonunda izole edilen Chrysanthemolide olduğu, <sup>1</sup>H NMR spektrumları karşılaştırılarak karar verilmiştir.

TBB IVB+VA+VB (51-79) (69-77) 2.4 kodlu 4. bantta yer alan maddeler Hekzan:CHCl<sub>3</sub>:MeOH (15:15:1) çözücü sisteminde tekrar preparatif ince tabaka kromatografisi yapılmış ve 6 bantta ayrılmıştır. Yapılan ince tabaka kromatografisi sonucuna göre 2, 3. ve 4. bantta aynı saf maddeler olduğuna karar verilmiş ve bu bantlar birleştirilmiştir. Bu bantlarda yer alan saf maddenin daha önce TBB IVB+VA+VB (51-79) (62-68) 2.5 kodlu fraksiyonunda izole edilen Pallensis olduğu, <sup>1</sup>H NMR spektrumları karşılaştırılarak karar verilmiştir.

TBB IVB+VA+VB (51-79) (69-77) 2.6 kodlu 6. bantta yer alan maddeler Hekzan:CHCl<sub>3</sub>:MeOH (15:15:1) çözücü sistemi ile 6 defa preparatif ince tabaka kromatografisinde yürütülerek 3 bantta ayrılmıştır. TBB IVB+VA+VB (51-79) (69-77) 2.6.1 kodlu 1. banttan saflaştırılan maddenin TBB IVB+VA+VB (51-79) (62-68) 3.3 kodlu fraksiyondan izole edilen 1,10-Epoksispiciformin olduğu, çeşitli çözücü

sistemlerde yürütülen ince tabaka kromatografisi ve  $^1\text{H}$  NMR spektrumları karşılaştırılarak karar verilmiştir.

TBB IVB+VA+VB (51-79) (69-77) fraksiyonunun 3.bandında yer alan maddeler Hekzan:CHCl<sub>3</sub>:MeOH (15:15:1) çözücü sistemi ile 5 defa preparatif ince tabaka kromatografisinde yürütülerek 6 banta ayrılmıştır. TBB IVB+VA+VB (51-79) (69-77) 3.4 kodlu 4. bantta yer alan maddeler Hekzan:CHCl<sub>3</sub>:MeOH (15:15:1) çözücü sisteminde tekrar preparatif ince tabaka kromatografisi yapılmış ve 2 bantta ayrılmıştır. Her iki bantta sırasıyla 1 $\alpha$ -asetoksi-3-*epi*-erivanin 3 mg ve Tamirin 6 mg miktarında elde edilmiştir.

TBB IVB+VA+VB (51-79) (78-127) fraksiyonu CHCl<sub>3</sub>:MeOH (30:1) çözücü sisteminde 4 defa preparatif ince tabaka kromatografisinde yürütülmüş ve 7 bantta ayrılmıştır. TBB IVB+VA+VB (51-79) (78-127) 4 kodlu 4.bantta yer alan maddeler CHCl<sub>3</sub>:MeOH (30:1) sistemi ile 2 defa tekrar preparatif ince tabaka kromatografisiyle yürütülerek 3 banta ayrılmıştır. TBB IVB+VA+VB (51-79) (78-127) 4.3 kodlu 3. banttan saflaştırılan maddenin TBB IVB+VA+VB (51-79) (62-68) 4.2 kodlu fraksiyondan izole edilen 1-Asetilerivanin olduğu, çeşitli çözücü sistemlerde yürütülen ince tabaka kromatografisi ve  $^1\text{H}$  NMR spektrumları karşılaştırılarak karar verilmiştir.

TBB IVB+VA+VB (51-79) (78-127) 5 kodlu 5.bantta yer alan maddeler Hekzan:CHCl<sub>3</sub>:MeOH (30:30:1) çözücü sistemi ile 10 defa preparatif ince tabaka kromatografisinde yürütülerek 4 banta ayrılmıştır. TBB IVB+VA+VB (51-79) (78-127) 5.1 kodlu 1. bantta ve TBB IVB+VA+VB (51-79) (78-127) 5.2 kodlu 2. bantta yer alan maddeler CHCl<sub>3</sub>:EA (8:1) çözücü sisteminde tekrar preparatif ince tabaka kromatografisi yapılmıştır. TBB IVB+VA+VB (51-79) (78-127) 5.1.2 ve TBB IVB+VA+VB (51-79) (78-127) 5.2.3 kodlu maddelerin TBB IVB+VA+VB (51-79) (62-68) 4.2 kodlu fraksiyondan izole edilen 1-Asetilerivanin olduğu, çeşitli çözücü sistemlerde yürütülen ince tabaka kromatografisi ve  $^1\text{H}$  NMR spektrumları karşılaştırılarak karar verilmiştir.

Çizelge 4.6 TBB IVB+VA+VB fraksiyonunun MPLC çözücü sistemleri

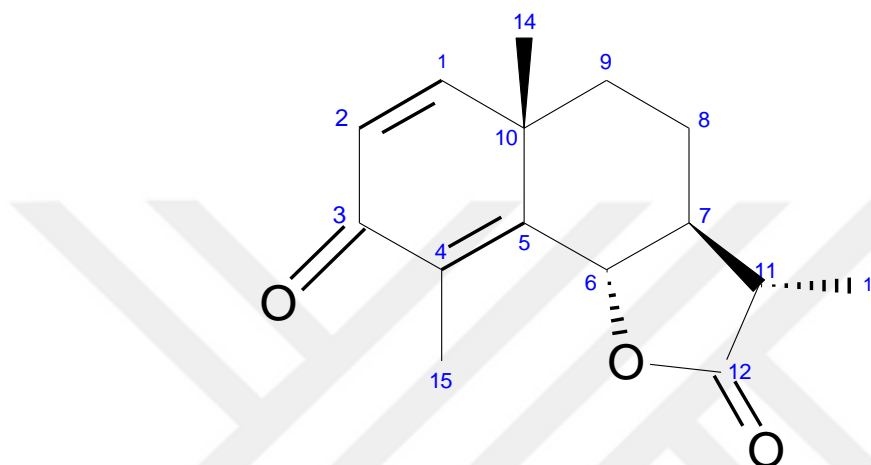
Kullanılan çözücü sistemi	İlk Fraksiyon	Son Fraksiyon
CHCl <sub>3</sub> :Eter (1:1)	TBB IVB+VA+VB.1	TBBIVA+VB+VB.180
Eter	TBBIVB+VA+VB.181	TBBIVB+VA+VB.240
Etil asetat	TBBIVB+VA+VB.241	TBBIVA+VB+VB.270
MeOH	TBBIVB+VA+VB.271	TBBIVB+VA+VB.315

Çizelge 4.7 TBB IVB+VA+VB (51-79) fraksiyonunun kolon kromatografi çözücü sistemleri

Çözücü sistemi	Miktar
% 100 Petrol eteri	100 ml
% 50 P.E : % 50 CH <sub>2</sub> Cl <sub>2</sub>	100 ml
% 100 CH <sub>2</sub> Cl <sub>2</sub>	100 ml
% 80 CH <sub>2</sub> Cl <sub>2</sub> : % 20 Eter	100 ml
% 60 CH <sub>2</sub> Cl <sub>2</sub> : % 40 Eter	100 ml
% 40 CH <sub>2</sub> Cl <sub>2</sub> : % 60 Eter	100 ml
% 20 CH <sub>2</sub> Cl <sub>2</sub> : % 80 Eter	100 ml
% 100 Eter	100 ml
% 90 eter : % 20 EA	100 ml
% 100 EA	100 ml
% 100 MeOH	100 ml

#### 4.1.2.1 TBB IVB+VA+VB (51-79) (46-52) 2=Santonin

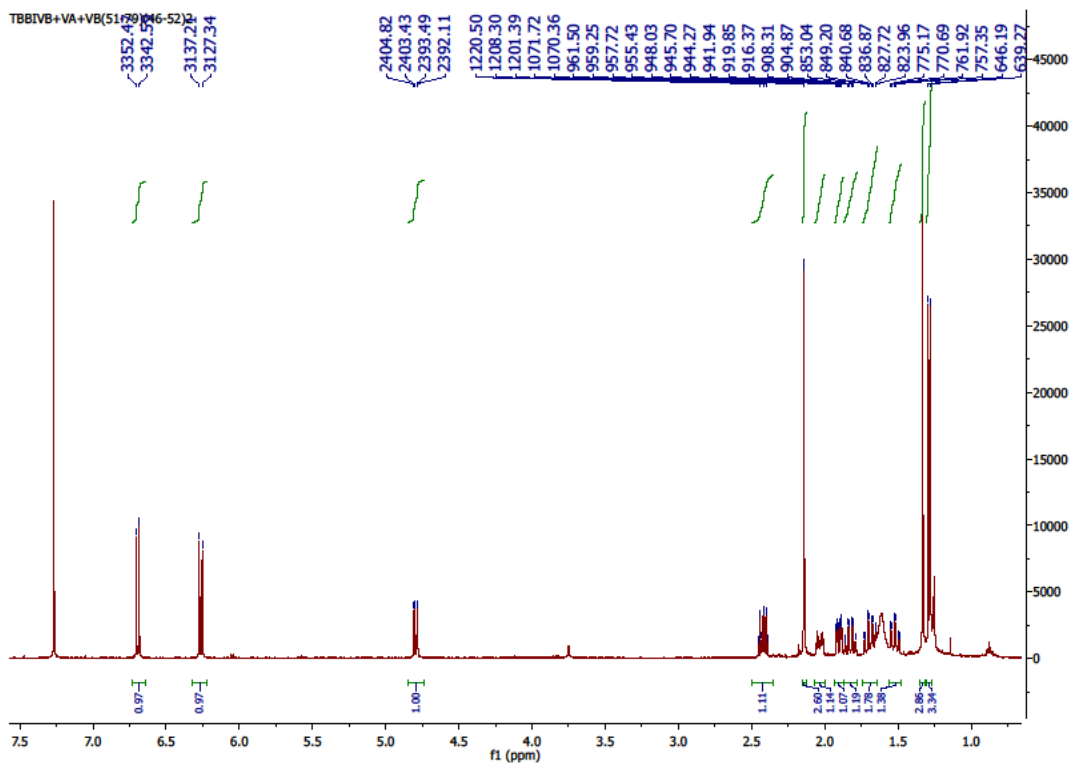
Maddenin yapısı spektral yöntemlerle ( $^1\text{H-NMR}$ , APT, COSY, HSQC, HMBC) aydınlatılmıştır. Çizelge 4.8'de Santonin  $^1\text{H-NMR}$  ve APT kimyasal kayma değerleri, Şekil 4.15'te Santonin moleküler yapısı, Şekil 4.16'da  $^1\text{H}$  NMR spektrumu, Şekil 4.17'de COSY spektrumu, Şekil 4.18'de APT spektrumu, Şekil 4.19'da HSQC spektrumu ve Şekil 4.20'de HMBC spektrumu verilmektedir. Elde edilen veriler literatürde verilen değerlerle uyum içindedir [181].



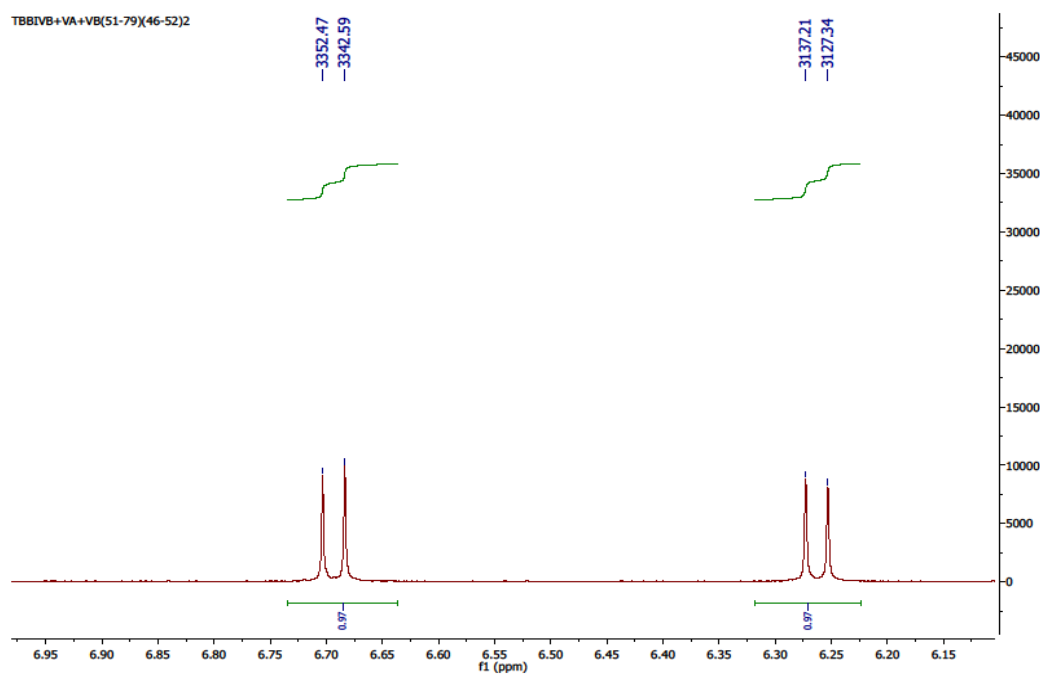
Şekil 4.15 Santonin moleküler yapısı

Çizelge 4.8 Santonin  $^1\text{H-NMR}$  ve APT (500 MHz, 125 MHz,  $\text{CDCl}_3$ ) kimyasal kayma değerleri

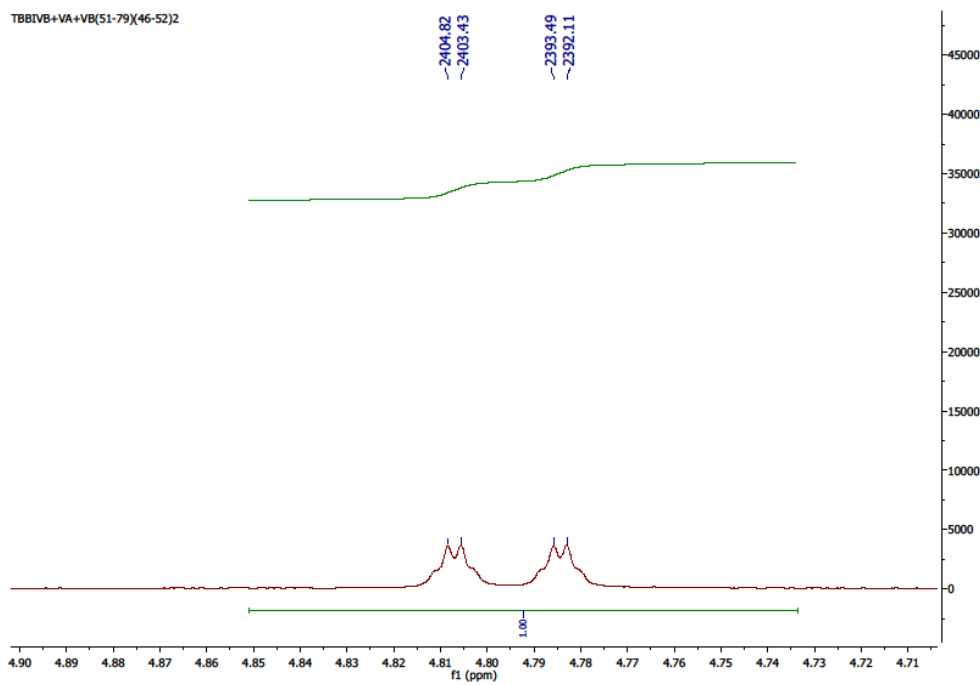
<b>H</b>	<b><math>^1\text{H-NMR}</math></b>	<b>C</b>	<b>APT</b>
1	6.26 d (1H, $J=9.87$ Hz)	1	154.56
2	6.69 d (1H, $J=9.87$ Hz)	2	125.91
6	4.80 dd (1H, $J=1.39;11.33$ Hz)	3	186.40
7	1.82 dddd (1H, $J=3.45;11.54;12.06;12.08$ Hz)	4	150.68
8	1.69, dddd (1H, $J= 3.83;12.36;12.9;12.96$ Hz)	5	124.05
8'	2.04 m (1H)	6	81.31
9	1.52 ddd (1H, $J=4.48;13.13;13.25$ Hz)	7	53.64
9'	1.90 m (1H)	8	22.91
11	2.42 dq(1H, $J=13.87;6.95$ Hz)	9	38.05
13	1.28 d (3H, $J=6.92$ Hz)	10	41.19
14	1.33 s (3H)	11	41.19
15	2.14 d (3H, $J=1.36$ Hz)	12	177.30
		13	10.90
		14	12.69
		15	25.00



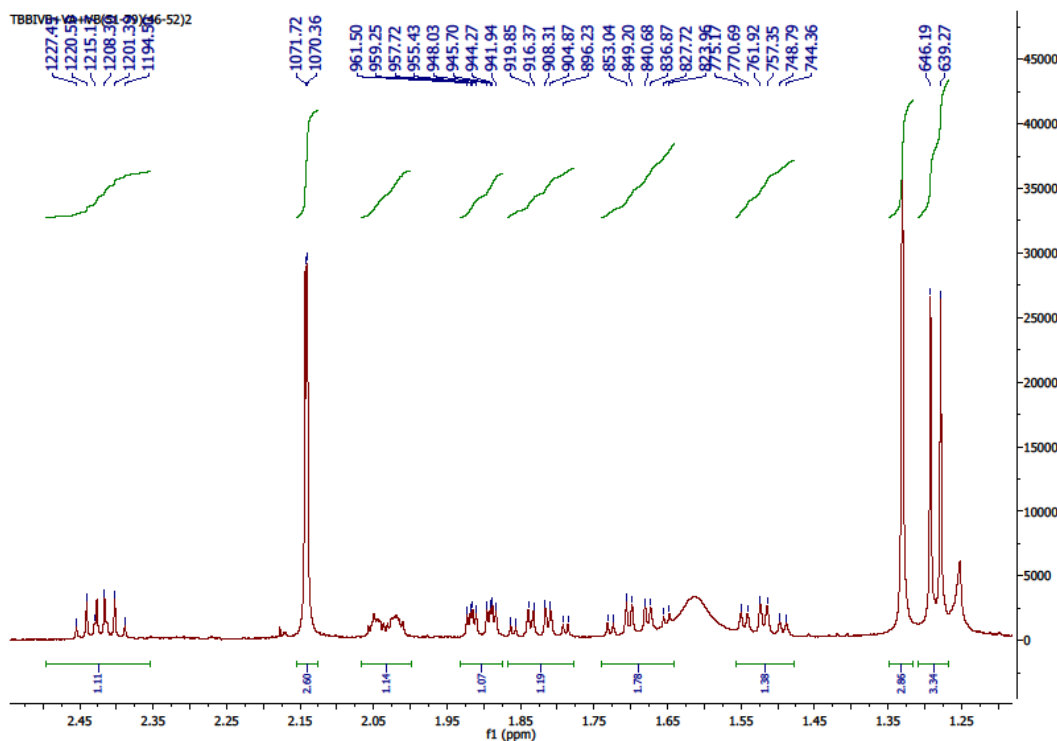
Şekil 4.16 Santonin  $^1\text{H}$ -NMR spektrumu



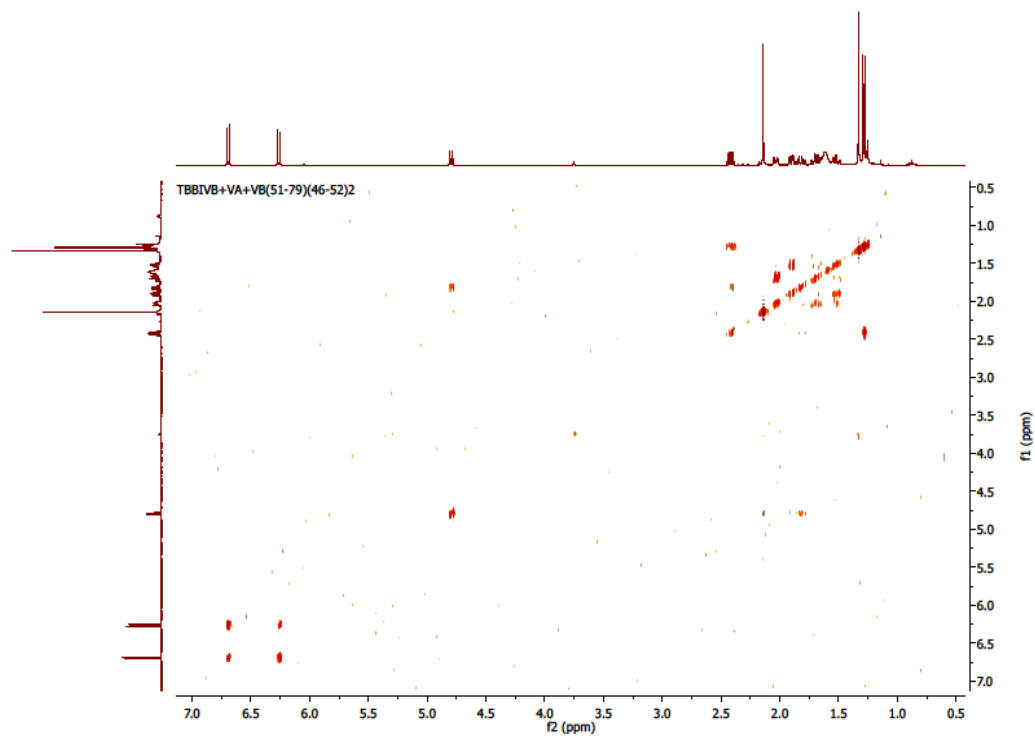
Şekil 4.16 Santonin  $^1\text{H}$ -NMR spektrumu



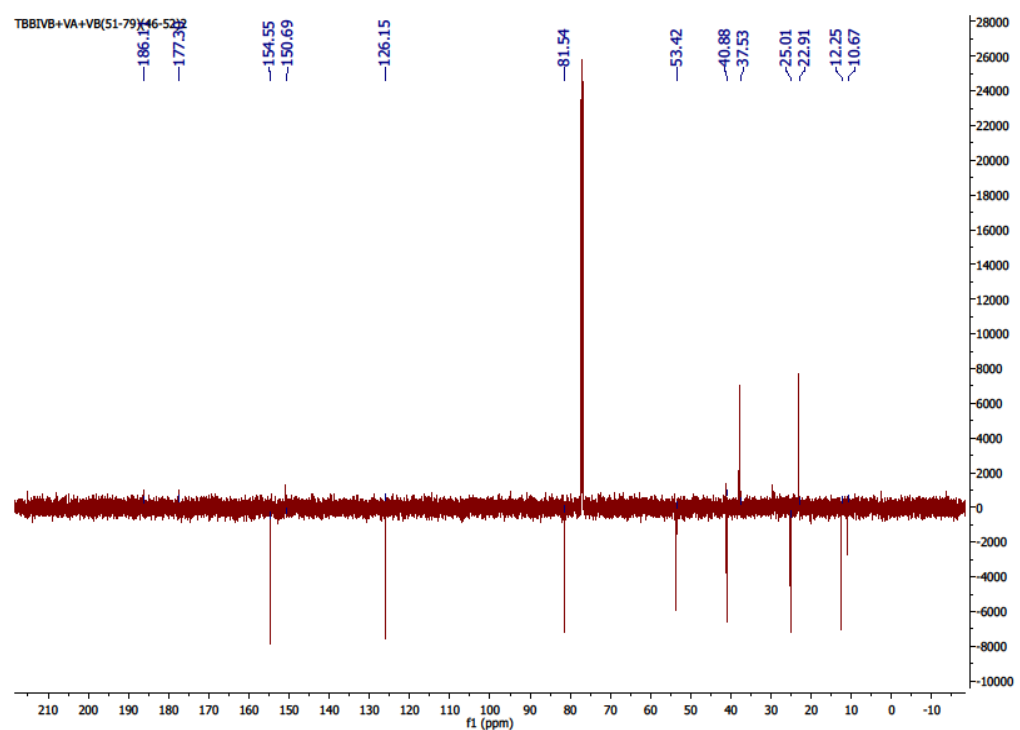
Şekil 4.16 Santonin  $^1\text{H}$ -NMR spektrumu



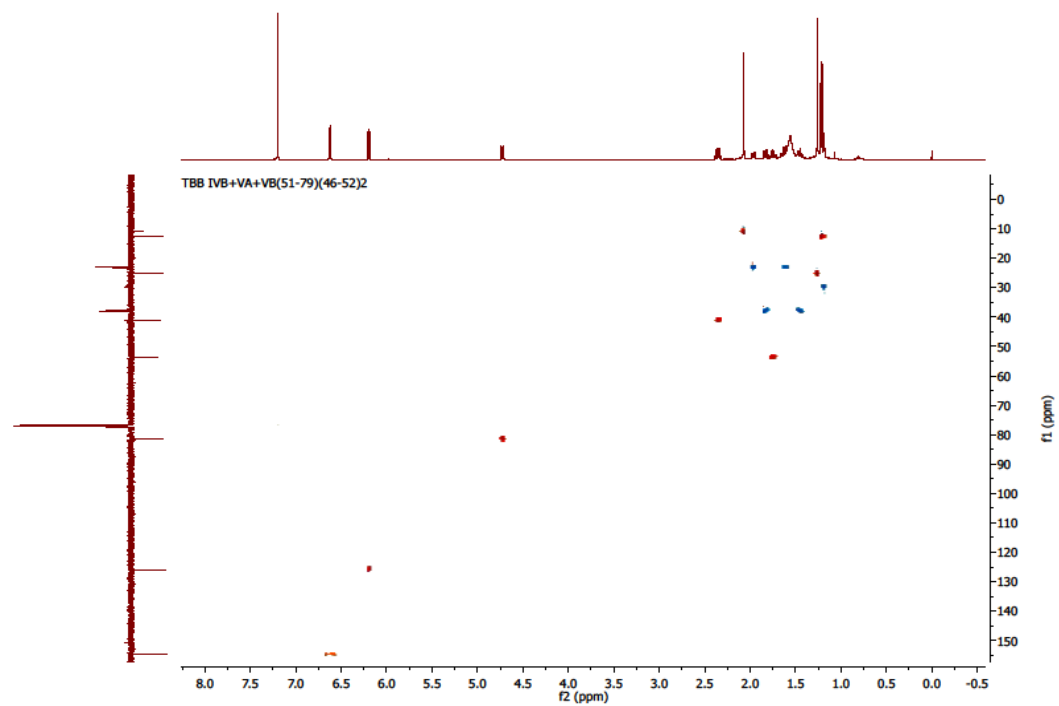
Şekil 4.16 Santonin  $^1\text{H}$ -NMR spektrumu



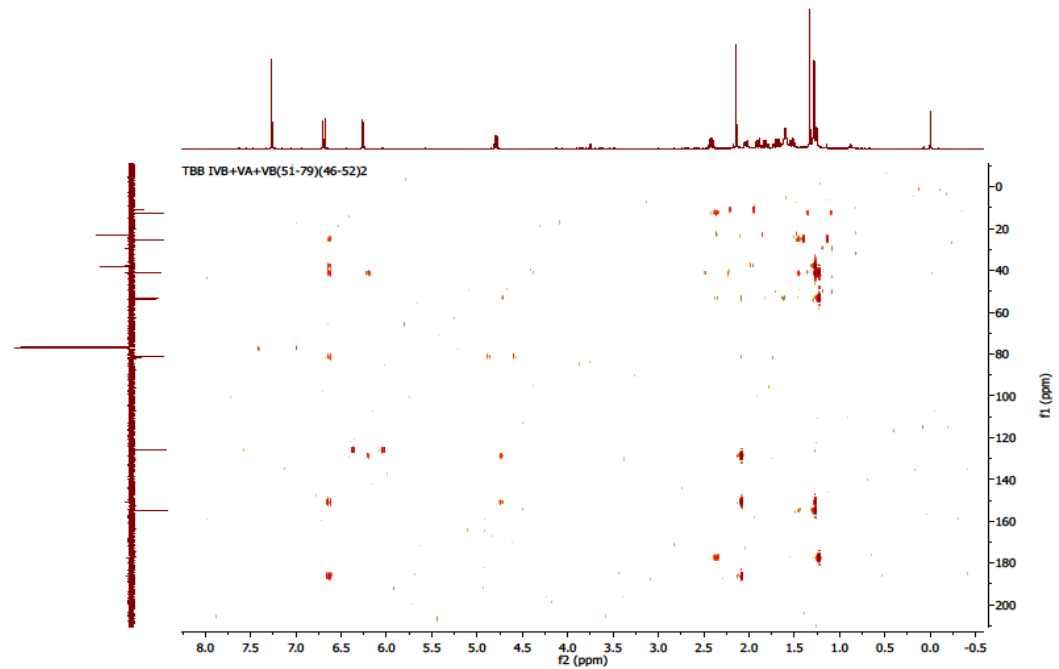
Sekil 4.17 Santonin COSY spektrumu



Sekil 4.18 Santonin APT spektrumu



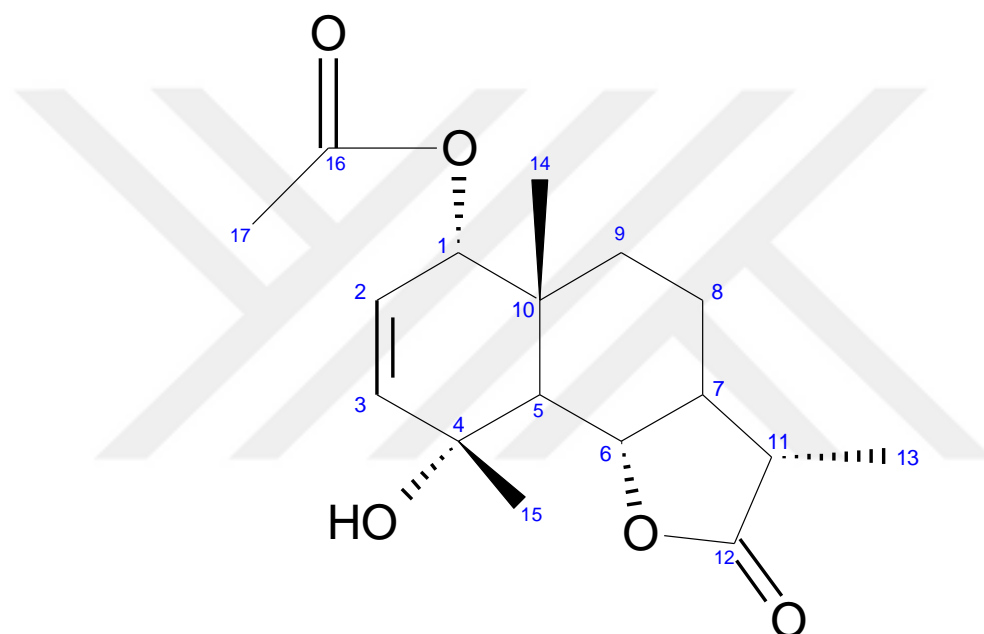
Şekil 4.19 Santonin HSQC spektrumu



Şekil 4.20 Santonin HMBC spektrumu

#### 4.1.2.2 TBB IVB+VA+VB (27-50) 4,3=1 $\alpha$ -asetoksi-4 $\alpha$ -hidroksi-5 $\alpha$ ,6 $\beta$ ,7 $\alpha$ ,11 $\beta$ -H-ödesm-2-en-12,6-olide (Chrysanthemolide)

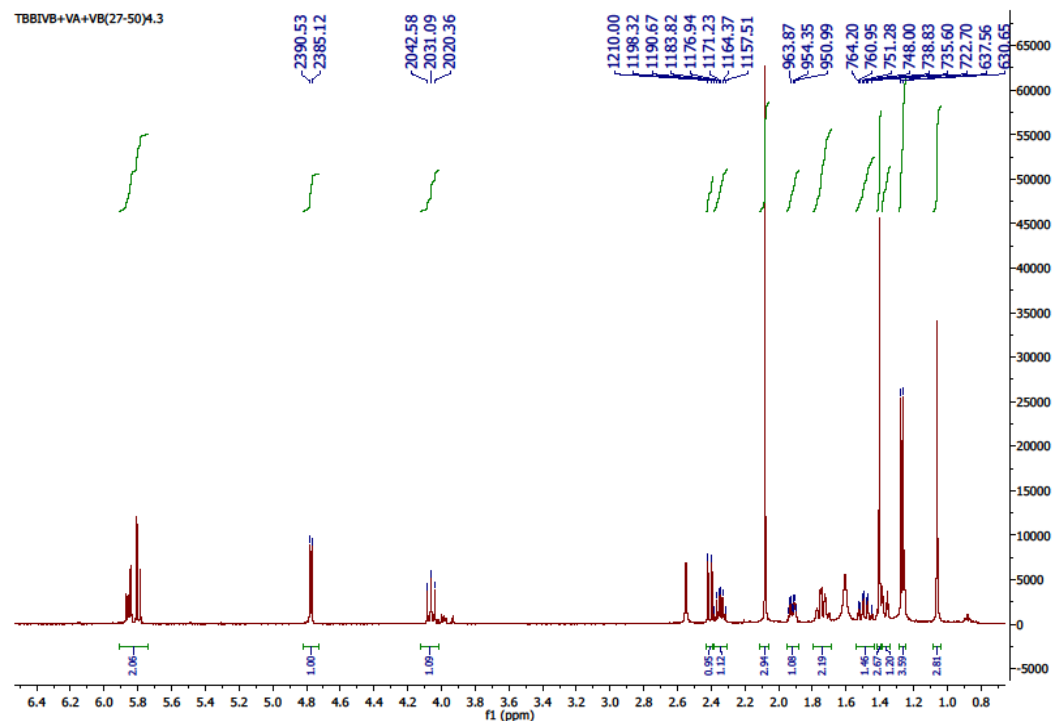
Maddenin yapısı spektral yöntemlerle ( $^1\text{H-NMR}$ , APT, COSY, HSQC, HMBC) aydınlatılmıştır. Çizelge 4.9'da Chrysanthemolide maddesinin  $^1\text{H-NMR}$  ve APT kimyasal kayma değerleri, Şekil 4.21'de Chrysanthemolide maddesinin moleküler yapısı, Şekil 4.22'de  $^1\text{H NMR}$  spektrumu, Şekil 4.23'te COSY spektrumu, Şekil 4.24'te APT spektrumu, Şekil 4.25'te HSQC spektrumu ve Şekil 4.26'da HMBC spektrumu verilmektedir. Elde edilen veriler literatürde verilen değerlerle uyum içindedir [182-183].



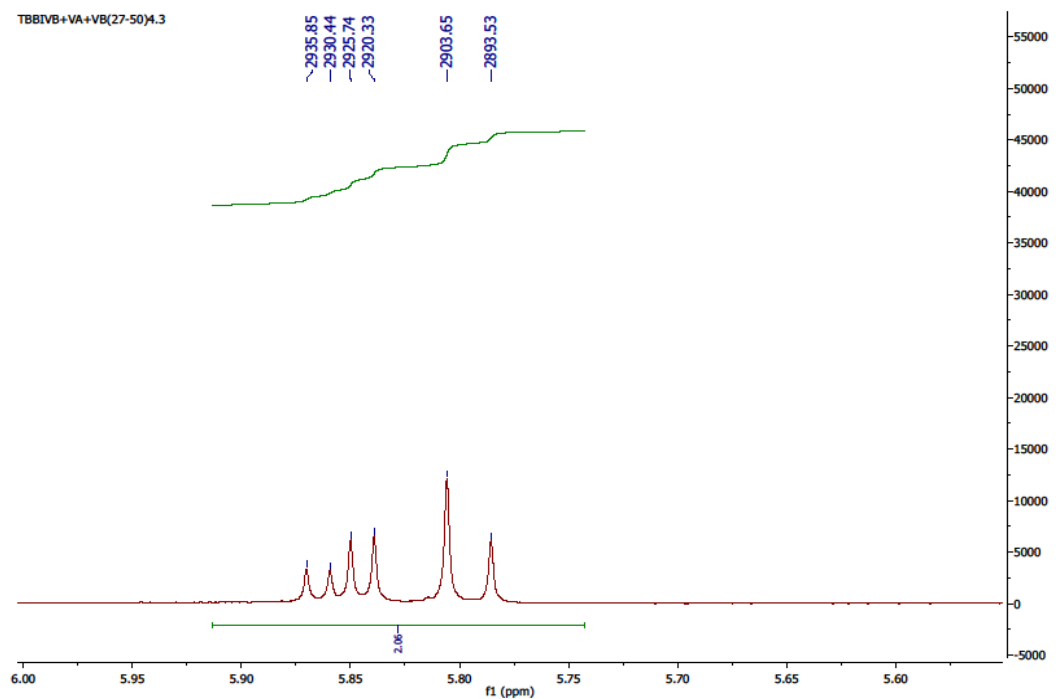
Şekil 4.21 Chrysanthemolide moleküler yapısı

Çizelge 4.9 Chrysanthemolide  $^1\text{H-NMR}$  ve APT (500 MHz, 125 MHz,  $\text{CDCl}_3$ )  
kimyasal kayma değerleri

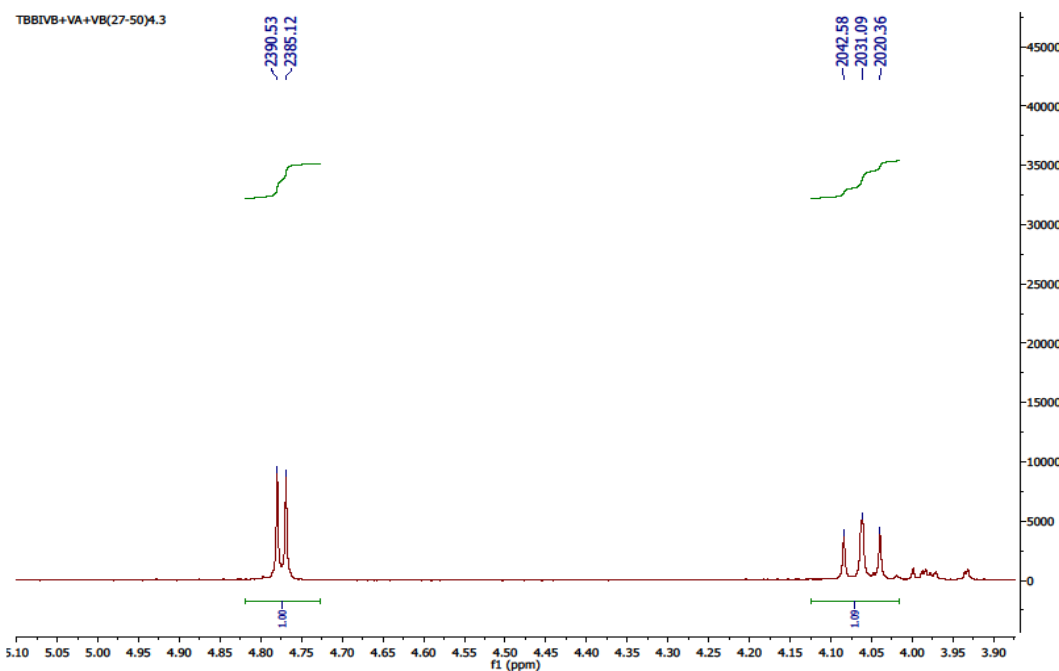
<b>H</b>	<b><math>^1\text{H-NMR}</math></b>	<b>C</b>	<b>APT</b>
1	4.78 d (1H, $J=5.0$ Hz)	1	72.21
2	5.84 dd (1H, $J=5.0:11$ Hz)	2	137.62
3	5.80 d (1H, $J=11$ Hz)	3	123.01
5	2.40 d (1H, $J=11.68$ Hz)	4	69.98
6	4.06 dd (1H, $J=10.7;10.7$ Hz)	5	49.46
7	1.75 (1H, m)	6	80.79
8	1.90, dddd (1H, $J= 3.3;6.7;10;13$ Hz)	7	52.37
8'	1.75 m (1H)	8	22.91
9	1.50 ddd (1H, $J=3.0;12.0;13.0$ Hz)	9	35.44
9'	1.37 m (1H)	10	38.80
11	2.34 dq (1H, $J=7.0;10$ Hz)	11	40.66
13	1.27 d (3H, $J=6.91$ Hz)	12	175.30
14	1.05 s (3H)	13	12.47
15	1.40 s (3H)	14	20.00
-OAc	2.08 s (3H)	15	24.53
		-OCO-	170.52
		-OAc	21.07



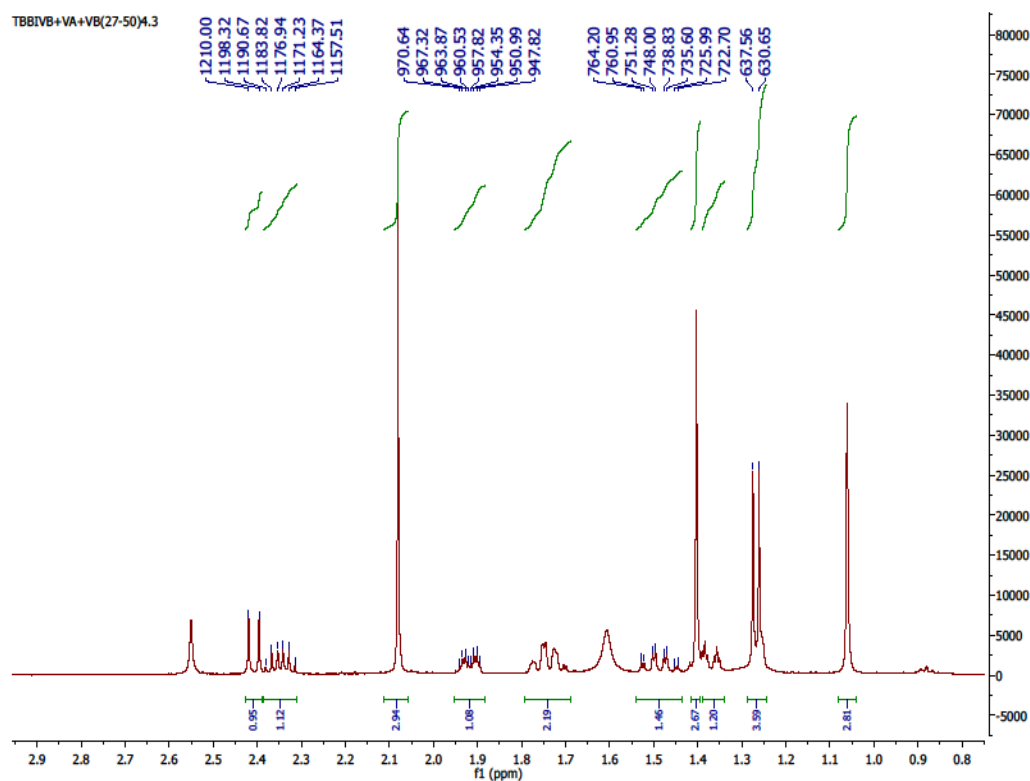
Şekil 4.22 Chrysanthemolide  $^1\text{H}$  NMR spektrumu



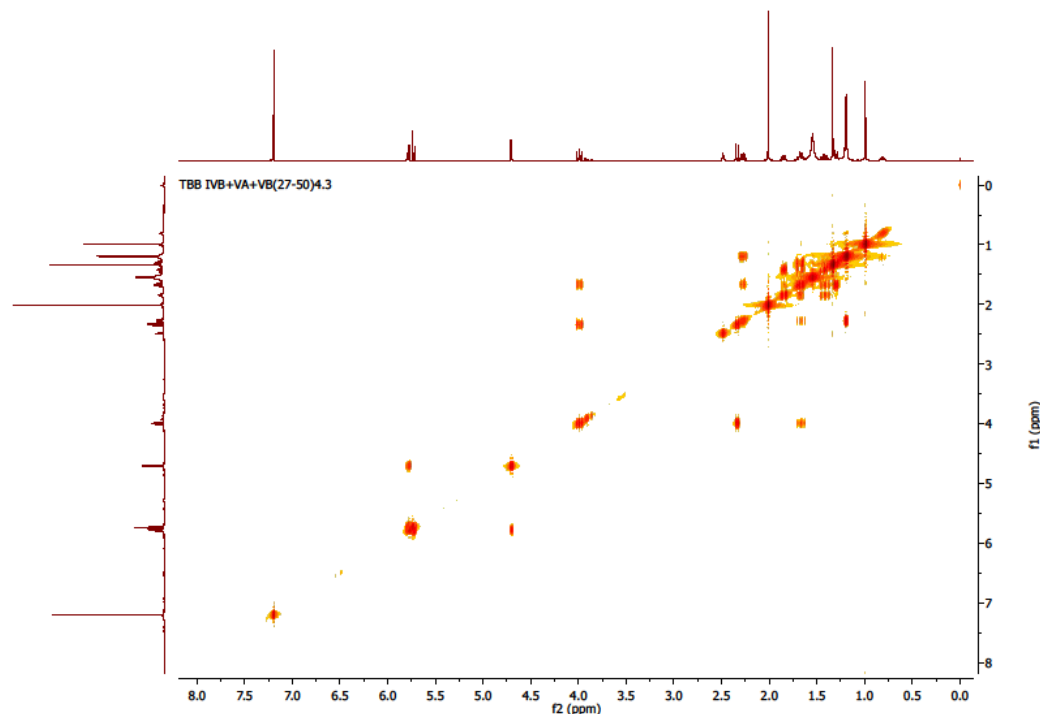
Şekil 4.22 Chrysanthemolide  $^1\text{H}$  NMR spektrumu



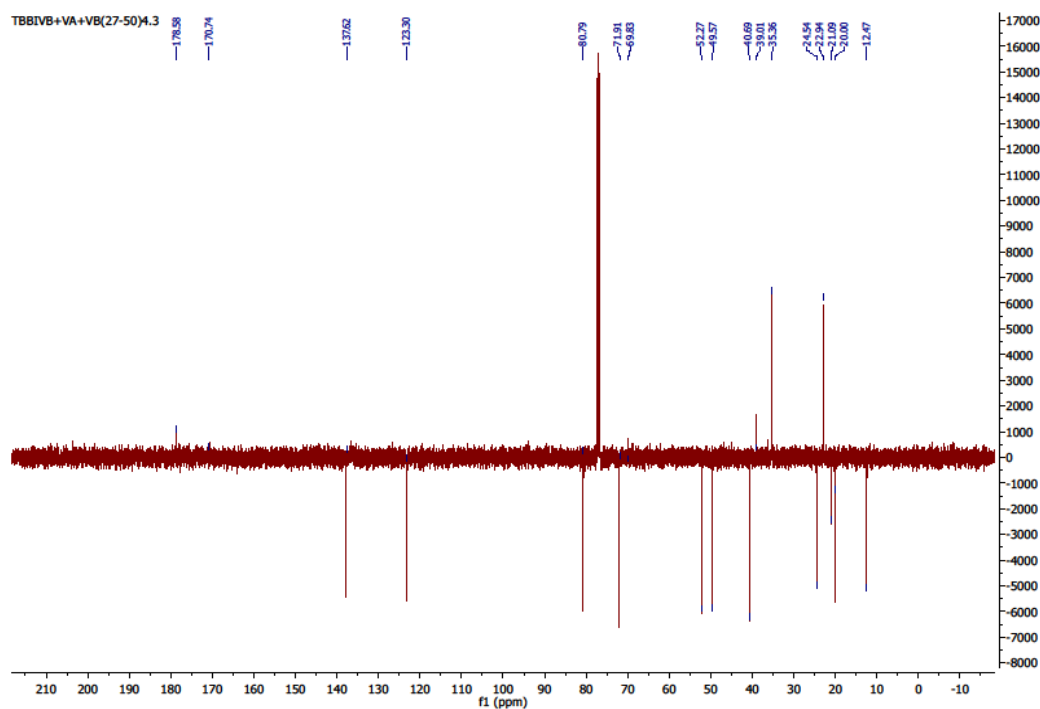
Şekil 4.22 Chrysanthemolide <sup>1</sup>H NMR spektrumu



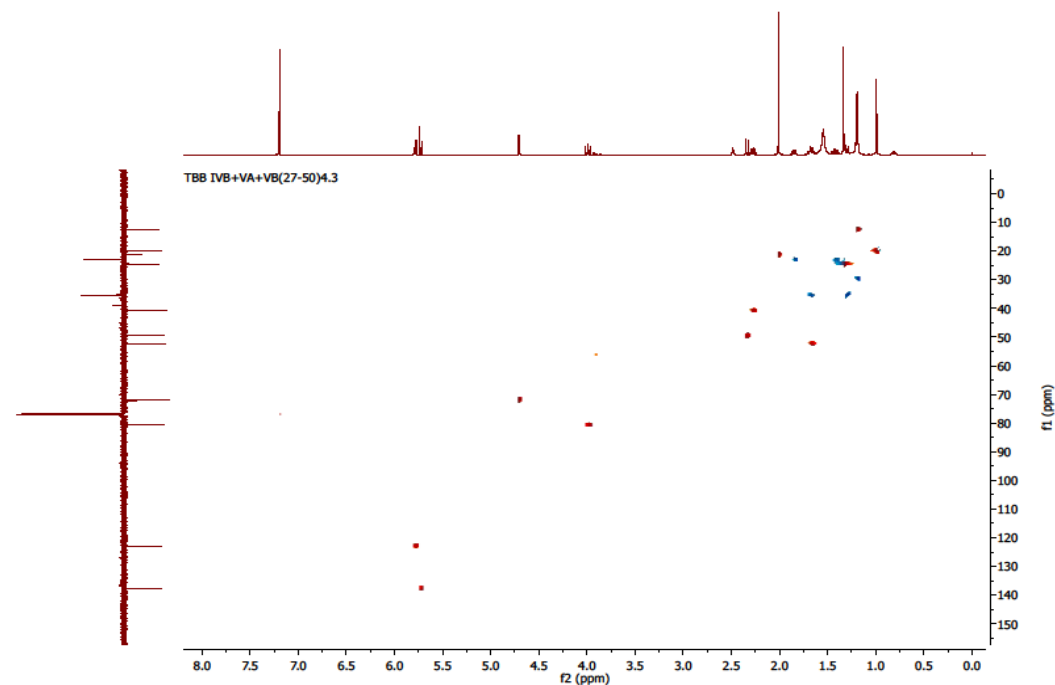
Şekil 4.22 Chrysanthemolide <sup>1</sup>H NMR spektrumu



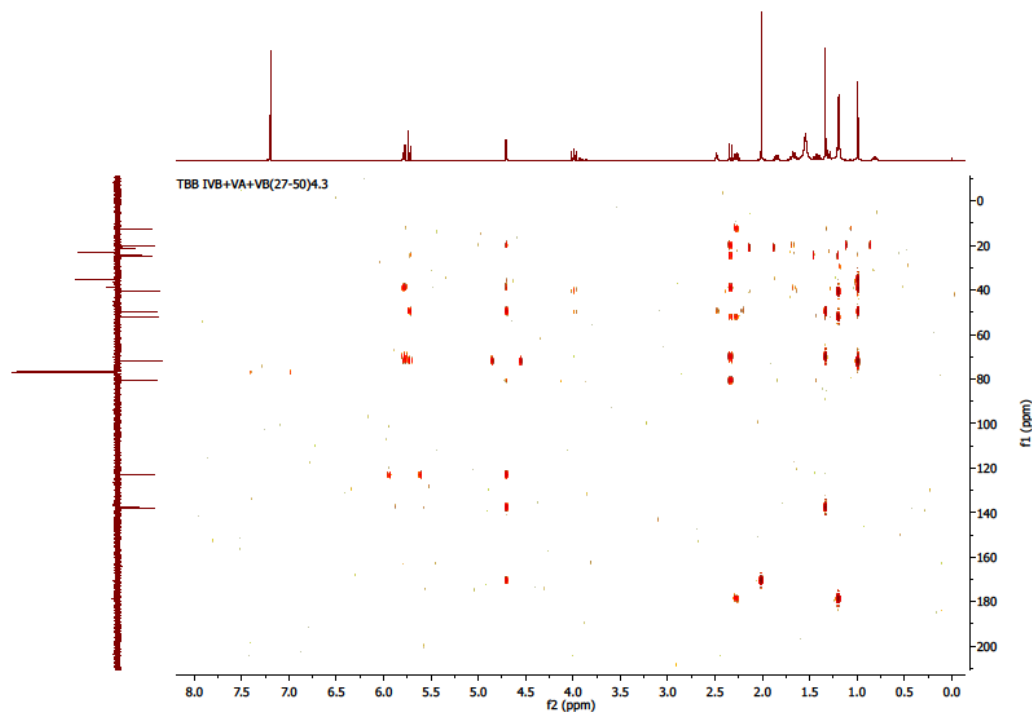
Şekil 4.23 Chrysanthemolide COSY spektrumu



Şekil 4.24 Chrysanthemolide APT spektrumu



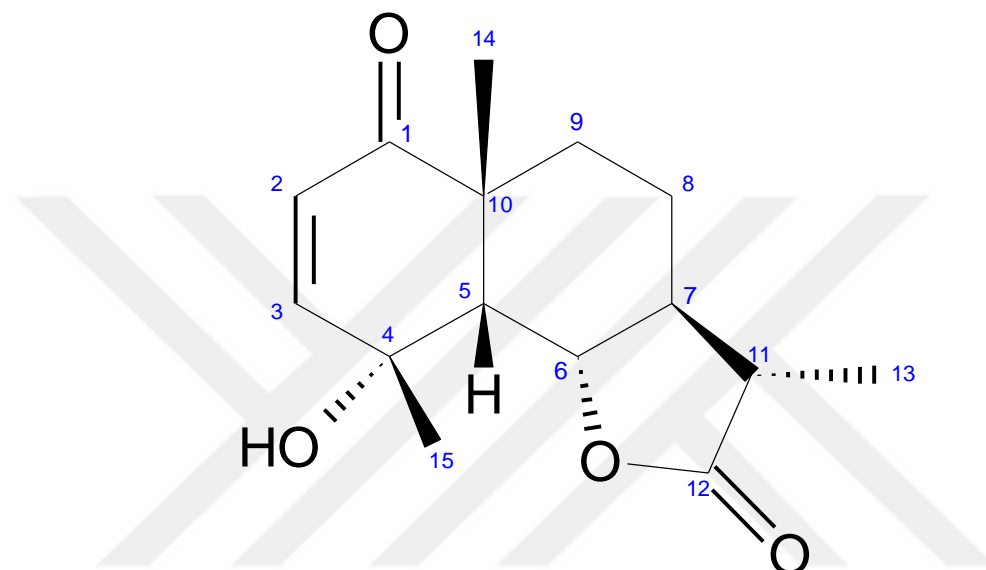
Şekil 4.25 Chrysanthemolide HSQC spektrumu



Şekil 4.26 Chrysanthemolide HMBC spektrumu

#### 4.1.2.3 TBB IVB+VA+VB (51-79) (69-77) 2.5=Pallensis

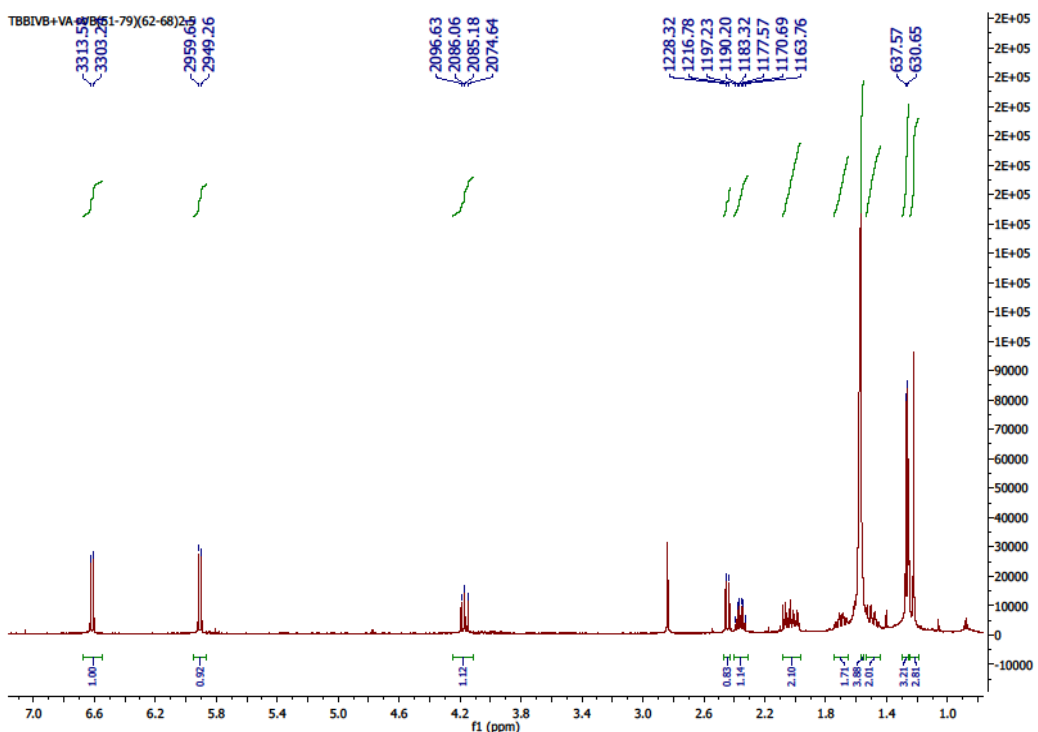
Maddenin yapısı spektral yöntemlerle ( $^1\text{H-NMR}$ , APT, COSY, NOESY) aydınlatılmıştır. Çizelge 4.10'da Pallensis  $^1\text{H-NMR}$  ve APT kimyasal kayma değerleri, Şekil 4.27'de Pallensis moleküler yapısı, Şekil 4.28'de  $^1\text{H}$  NMR spektrumu, Şekil 4.29'da COSY spektrumu, Şekil 4.30'da APT spektrumu ve Şekil 4.31'de NOESY spektrumu verilmektedir. Elde edilen veriler literatürde verilen değerlerle uyum içindedir [184].



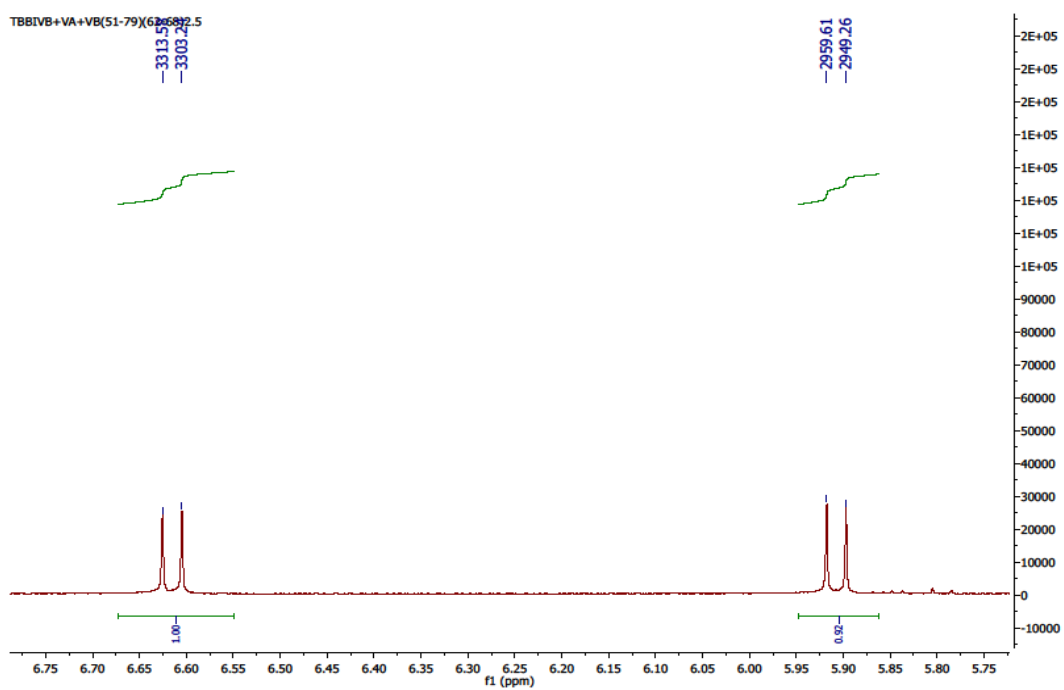
Şekil 4.27 Pallensis moleküler yapısı

Çizelge 4.10 Pallensis  $^1\text{H-NMR}$  ve APT (500 MHz, 125 MHz,  $\text{CDCl}_3$ ) kimyasal kayma değerleri

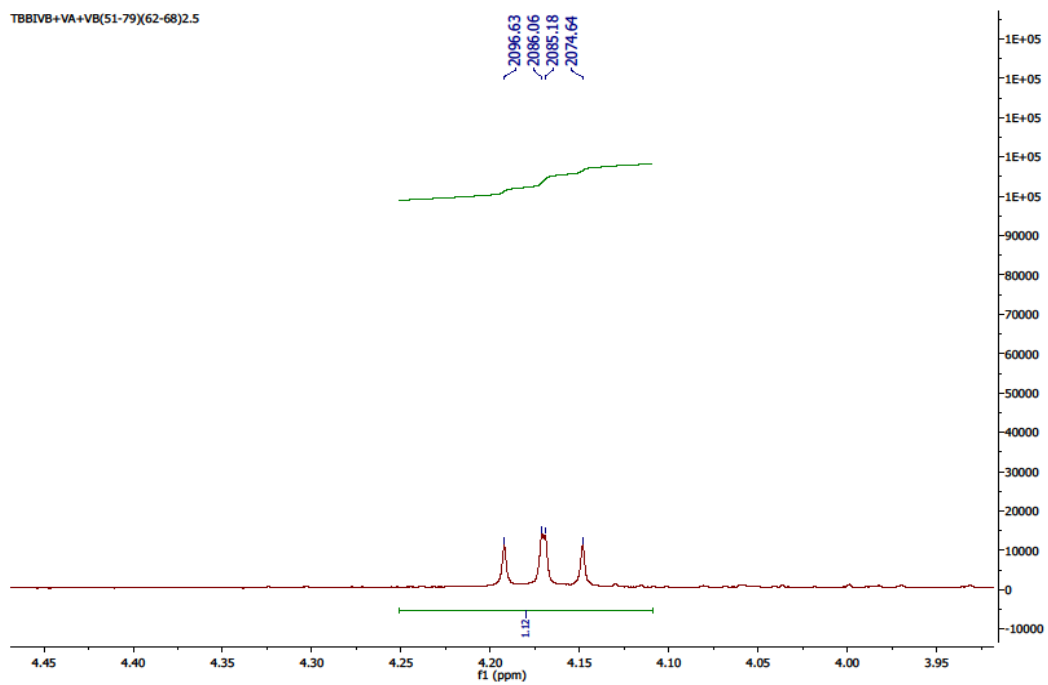
<b>H</b>	<b><math>^1\text{H-NMR}</math></b>	<b>C</b>	<b>APT</b>
2	5.90 d (1H, $J=10.3$ Hz)	1	201.60
3	6.61 d (1H, $J=10.3$ Hz)	2	125.63
5	2.45 d (1H, $J=11.5$ Hz)	3	151.71
6	4.17 dd (1H, $J=10.5;10.5$ Hz)	4	70.07
7	1.63-1.74 m (1H)	5	54.62
8	1.95-2.07 m (1H)	6	79.57
8'	1.41-1.53 m (1H)	7	52.41
9	1.95-2.07 m (1H)	8	22.70
9'	1.52-1.58 m (1H)	9	34.24
11	2.36 dq (1H, $J=7.0;13.9$ Hz)	10	46.24
13	1.27 d (3H, $J=6.91$ Hz)	11	40.55
14	1.20 s (3H)	12	178.14
15	1.57 s (3H)	13	12.44
		14	19.72
		15	23.81



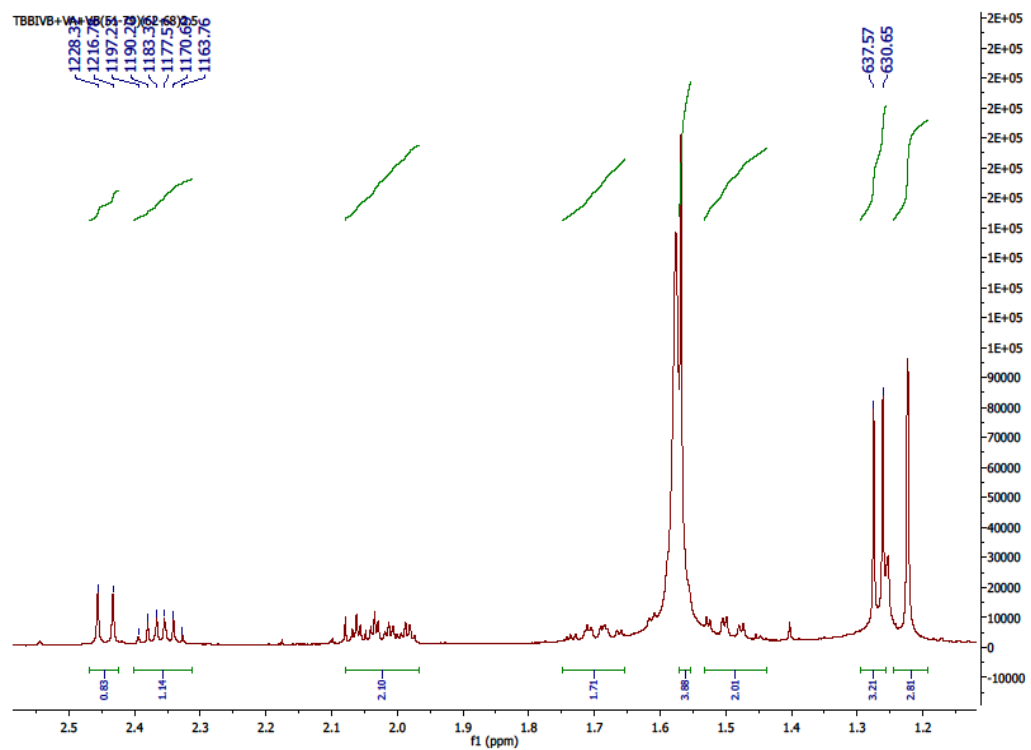
Şekil 4.28 Pallensis  $^1\text{H}$ -NMR spektrumu



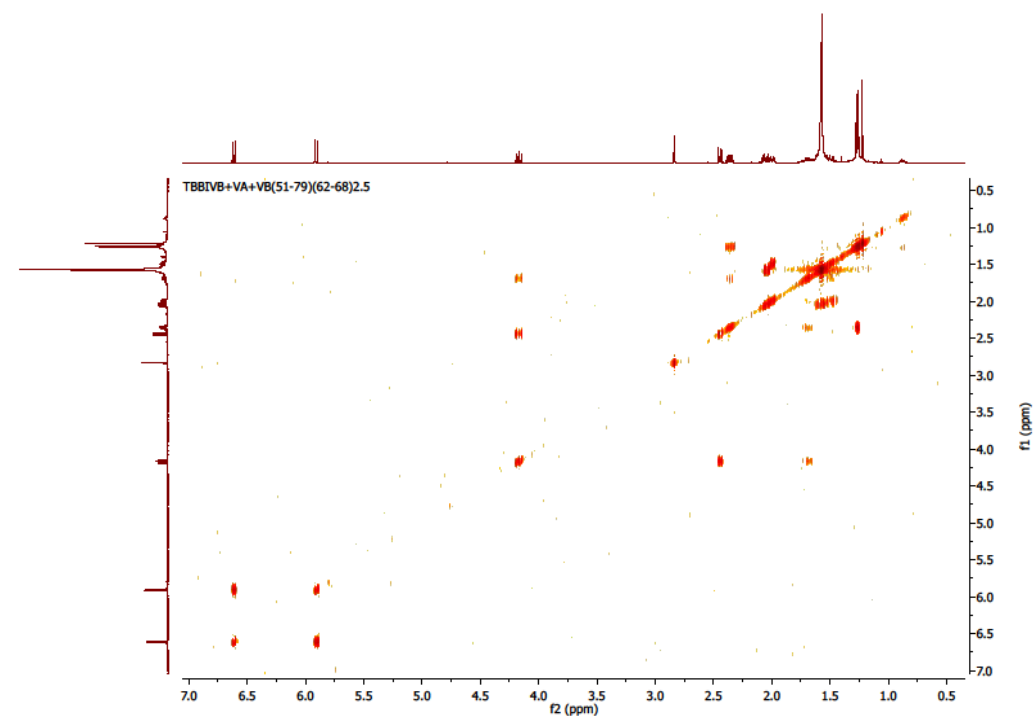
Şekil 4.28 Pallensis  $^1\text{H}$ -NMR spektrumu



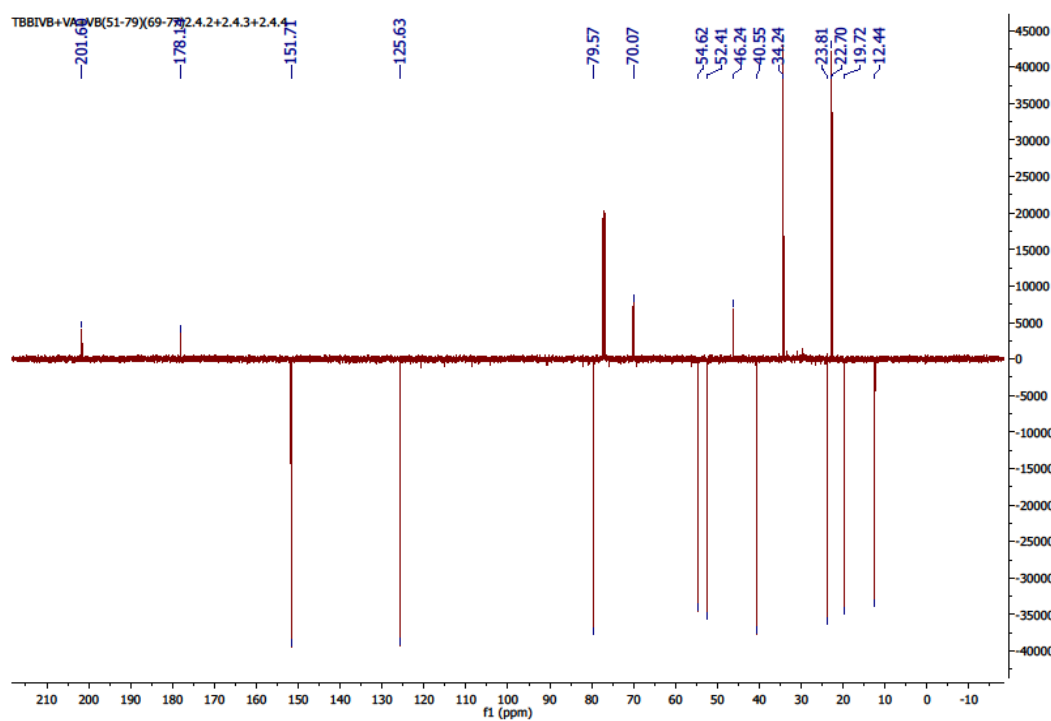
Şekil 4.28 Pallensis  $^1\text{H}$ -NMR spektrumu



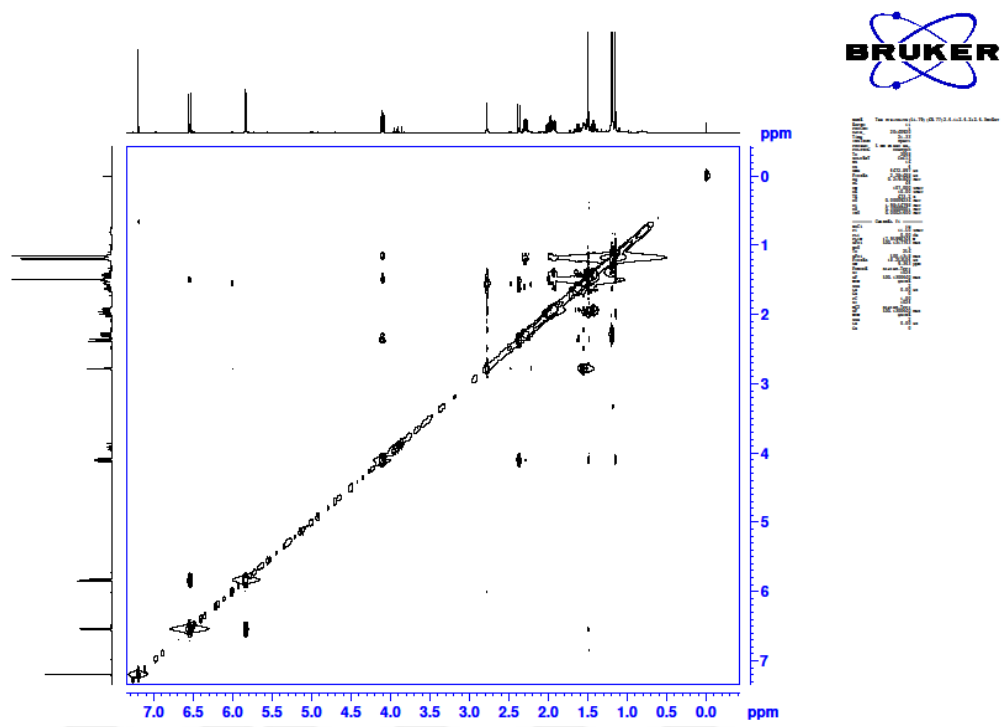
Şekil 4.28 Pallensis  $^1\text{H}$ -NMR spektrumu



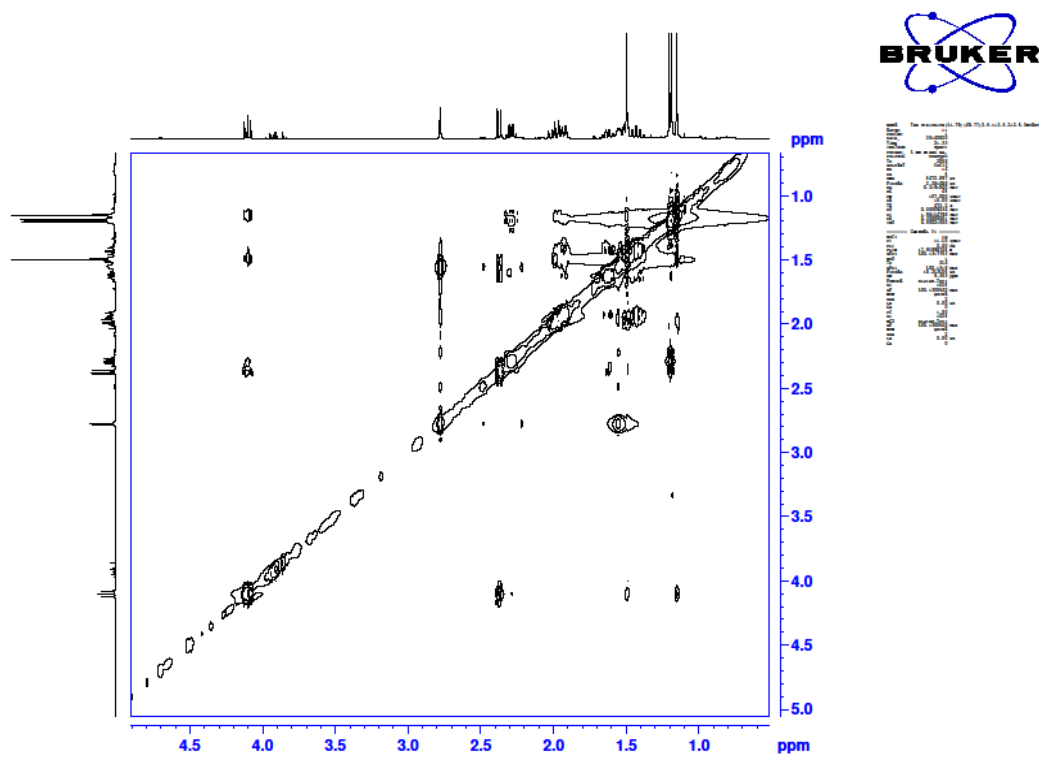
Şekil 4.29 Pallensis COSY spektrumu



Şekil 4.30 Pallensis APT spektrumu



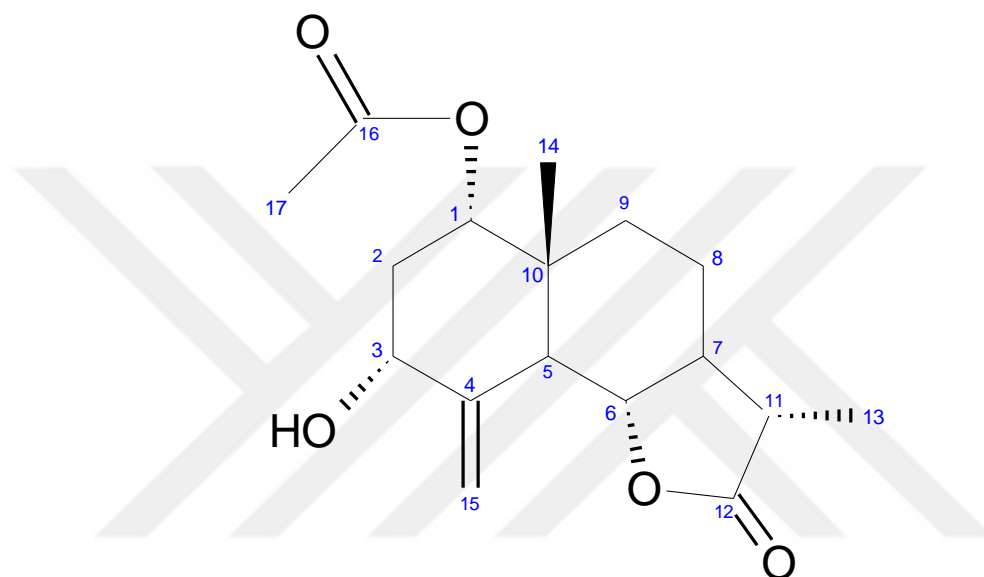
Şekil 4.31 Pallensis NOESY spektrumu



Şekil 4.31 Pallensis NOESY spektrumu

#### 4.1.2.4 TBB IVB+VA+VB (51-79) (78-127) 4.3=1 $\alpha$ -asetoksi-3 $\alpha$ -hidroksi-5 $\alpha,6\beta,7\alpha,11\beta$ -H-ödesm-4(15)en-12,6-olide (1-Asetilerivanin)

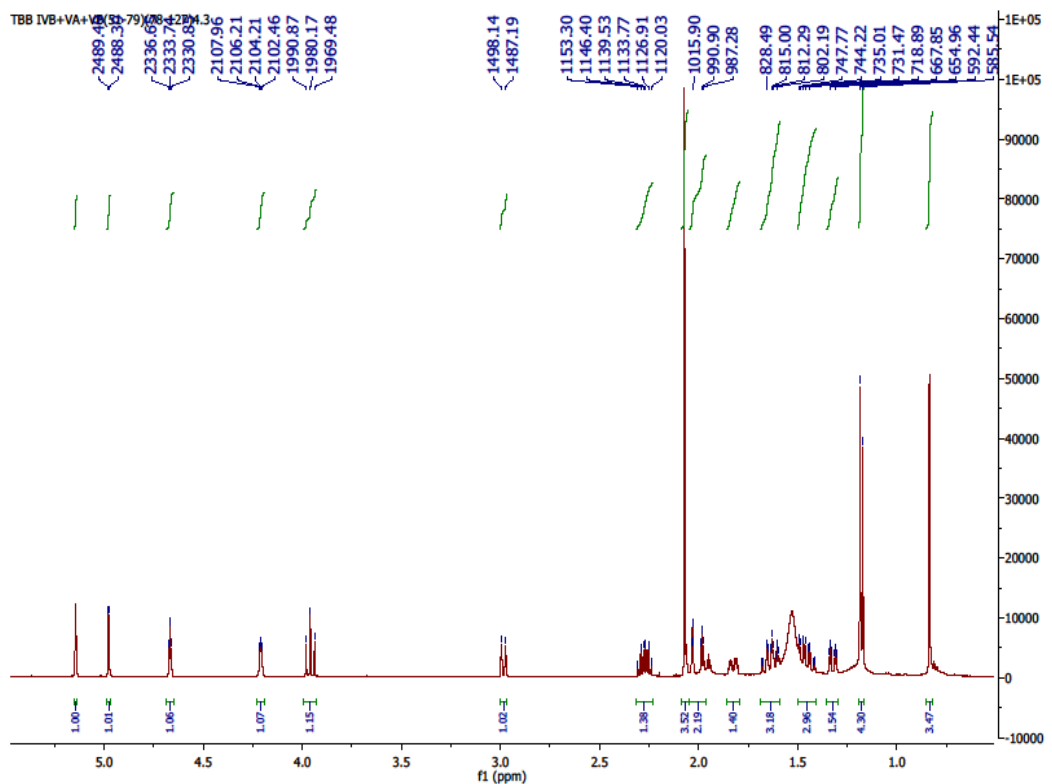
Maddenin yapısı spektral yöntemlerle ( $^1\text{H-NMR}$ , APT, COSY) aydınlatılmıştır. Çizelge 4.11'de 1-Asetilerivanin  $^1\text{H-NMR}$  ve APT kimyasal kayma değerleri, Şekil 4.32'de 1-Asetilerivanin moleküler yapısı, Şekil 4.33'te  $^1\text{H NMR}$  spektrumu, Şekil 4.34'te COSY spektrumu ve Şekil 4.35'te APT spektrumu verilmektedir. Elde edilen veriler literatürde verilen değerlerle uyum içindedir [182], [183], [185].



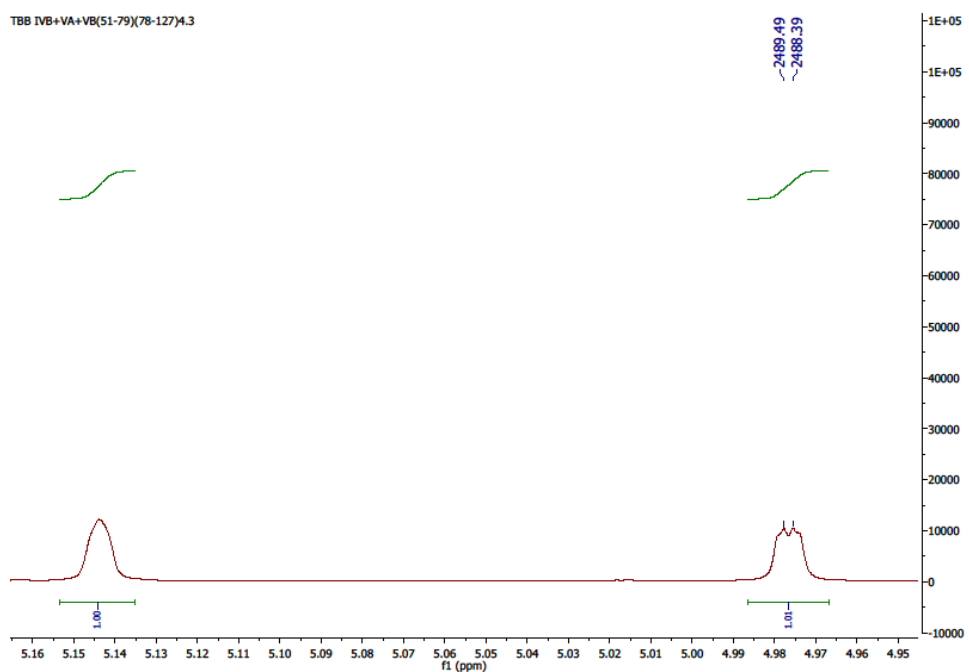
Şekil 4.32 1-Asetilerivanin moleküler yapısı

Çizelge 4.11 1-Asetilerivanin  $^1\text{H}$ -NMR ve APT (500 MHz, 125 MHz,  $\text{CDCl}_3$ ) kimyasal kayma değerleri

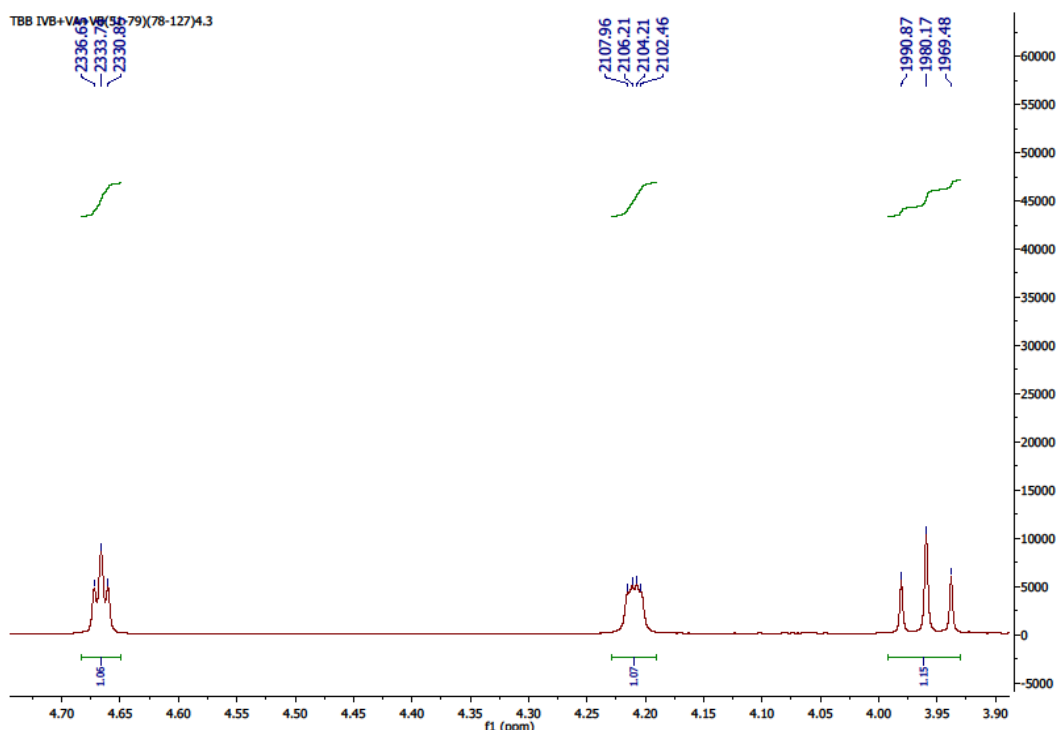
<b>H</b>	<b><math>^1\text{H-NMR}</math></b>	<b>C</b>	<b>APT</b>
1	4.67 dd (1H, $J=2.91;2.89$ Hz)	1	76.19
2	2.03 m (1H)	2	32.91
2'	1.98 m (1H)	3	72.34
3	4.21 dd (1H, $J=1.75;3.75$ Hz)	4	144.94
5	2.98 brd (1H, $J=10.8$ Hz)	5	42.84
6	3.96 dd (1H, $J=10.7;10.7$ Hz)	6	79.09
7	1.64 m (1H)	7	52.11
8	1.82 dddd (1H, $J=3.6;6.5;10;12.8$ Hz)	8	22.75
8'	1.45 dddd (1H, $J=3.4;12.5;12.7;12.7$ Hz)	9	33.18
9	1.64 m (1H)	10	41.09
9'	1.32 dt (1H, $J=3.3;13$ Hz)	11	41.51
11	2.27 dq (1H, $J=6.9;13.7$ Hz)	12	178.88
13	1.18 d (3H, $J=6.9$ Hz)	13	12.48
14	0.84 s (3H)	14	17.71
15	5.14 brs (1H)	15	113.35
15'	4.98 d (1H, $J=1.1$ Hz)	-OCO-	170.24
-OAc	2.07 s (3H)	-OAc	21.35



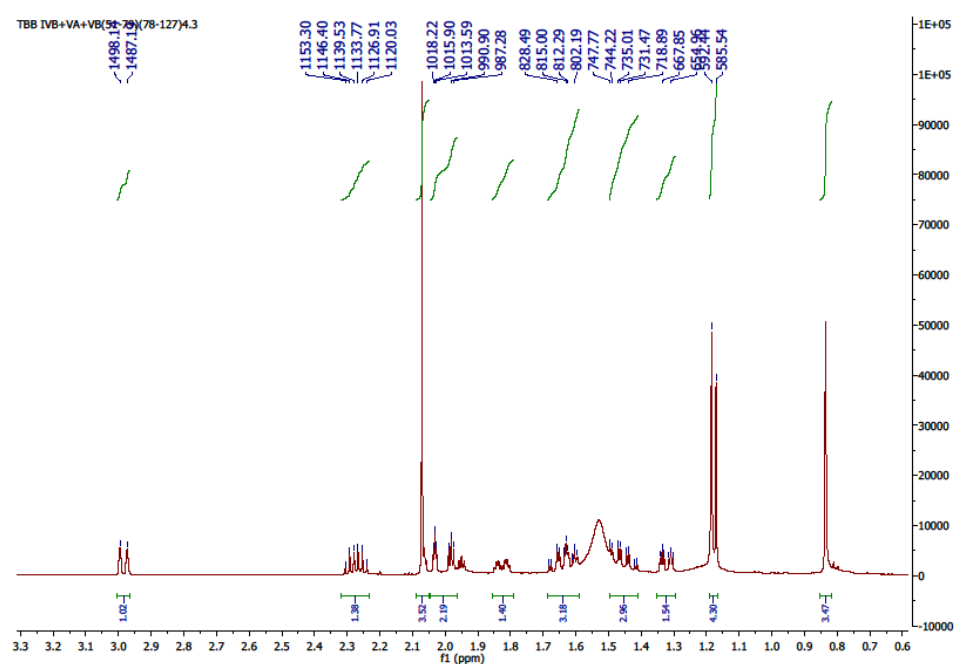
Şekil 4.33 1-Asetilerivanin  $^1\text{H}$  NMR spektrumu



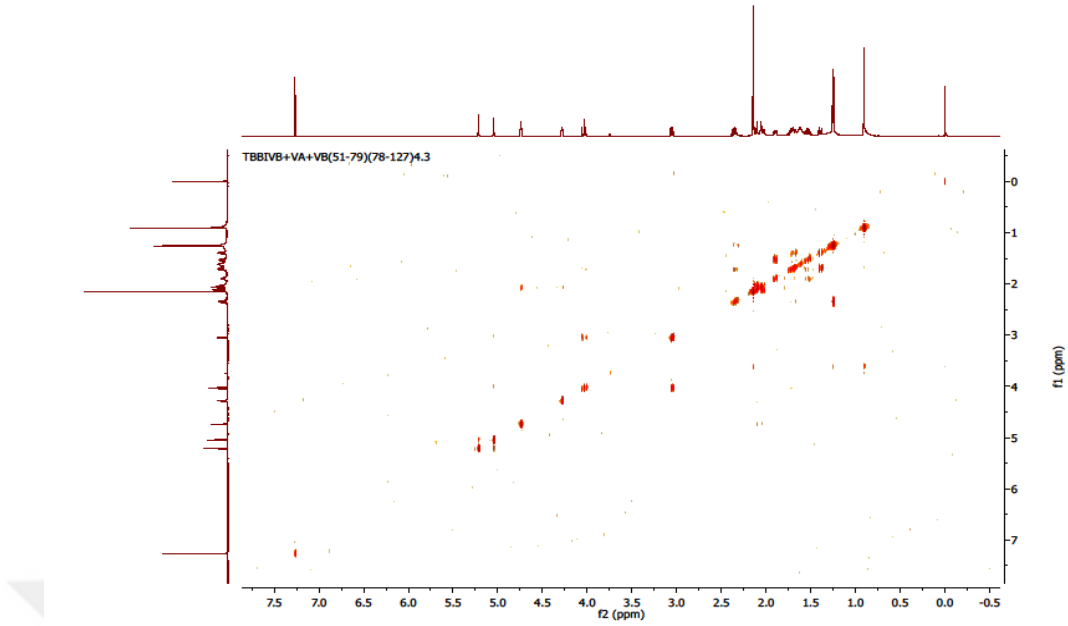
Şekil 4.33 1-Asetilerivanin  $^1\text{H}$  NMR spektrumu



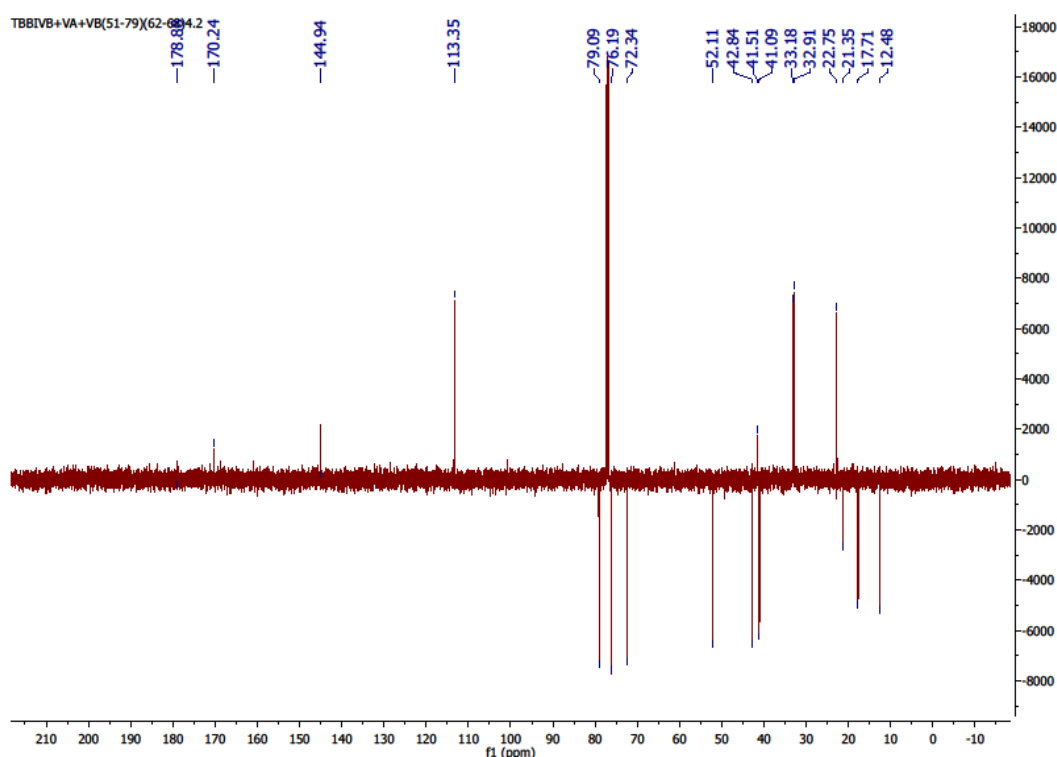
Şekil 4.33 1-Asetilerivanin  $^1\text{H}$  NMR spektrumu



Şekil 4.33 1-Asetilerivanin  $^1\text{H}$  NMR spektrumu



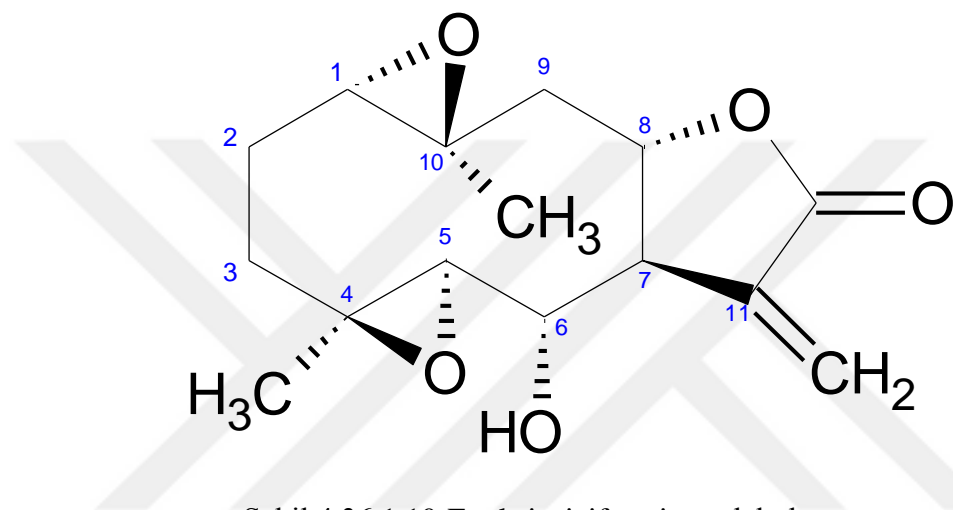
Şekil 4.34 1-Asetilerivanin COSY NMR spektrumu



Şekil 4.35 1-Asetilerivanin APT spektrumu

#### 4.1.2.5 TBB IVB+VA+VB (51-79) (69-77) 2.6.1 = 1,10-Epoksispiciformin (1,10-Epoxyspiciformin)

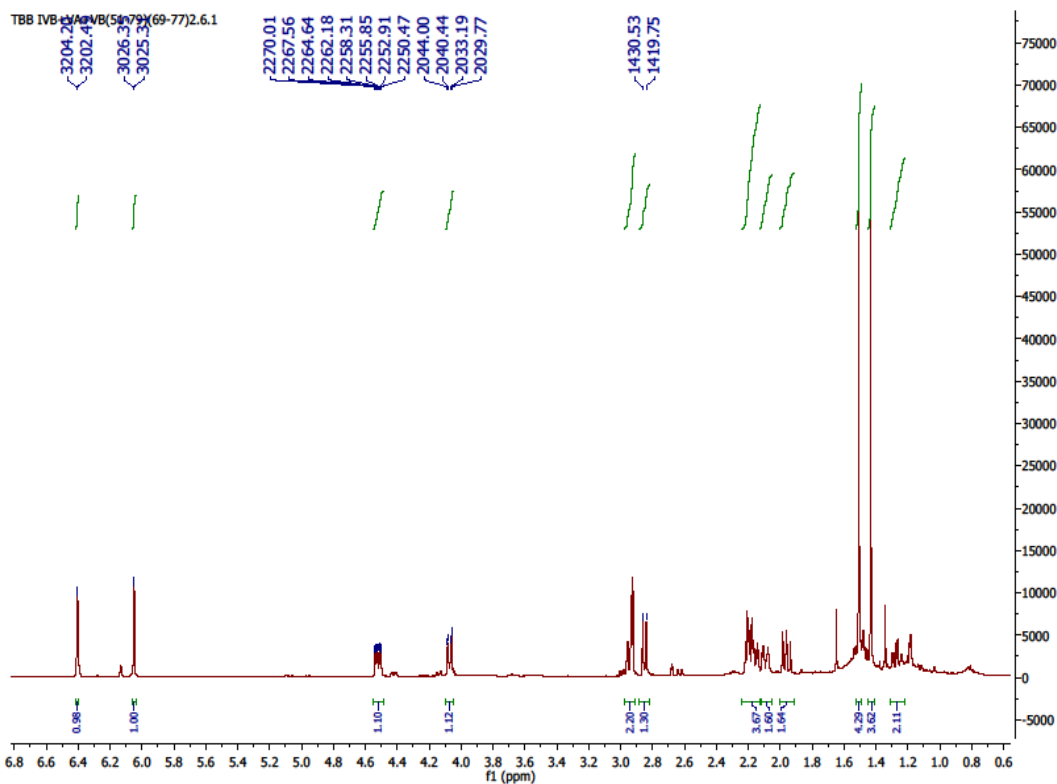
Maddenin yapısı spektral yöntemlerle ( $^1\text{H-NMR}$ , APT, COSY, HSQC, HMBC) aydınlatılmıştır. Çizelge 4.12'de 1,10-Epoksispiciformin  $^1\text{H-NMR}$  ve APT kimyasal kayma değerleri, Şekil 4.36'da 1,10-Epoksispiciformin moleküler yapısı, Şekil 4.37'de  $^1\text{H NMR}$  spektrumu, Şekil 4.38'de COSY spektrumu, Şekil 4.39'da APT spektrumu, Şekil 4.40'ta HSQC spektrumu ve Şekil 4.41'de HMBC spektrumu verilmektedir. Elde edilen veriler literatürde verilen değerlerle uyum içindedir [186].



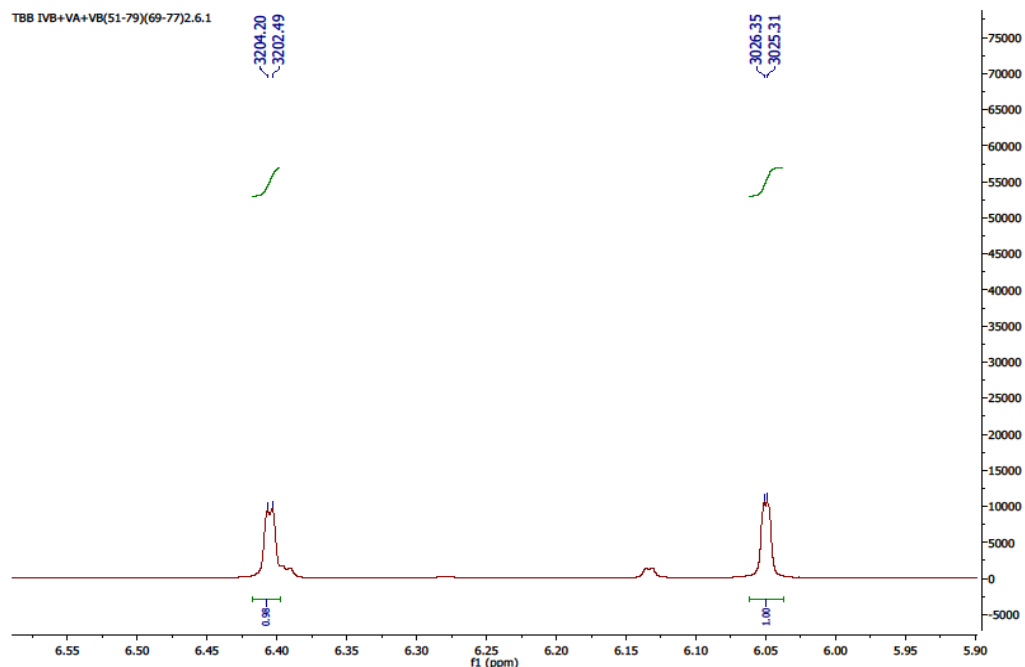
Şekil 4.36 1,10-Epoksispiciformin moleküler yapısı

Çizelge 4.12 1,10-Epoksispiciformin  $^1\text{H-NMR}$  ve APT (500 MHz, 125 MHz,  $\text{CDCl}_3$ )  
kimyasal kayma değerleri

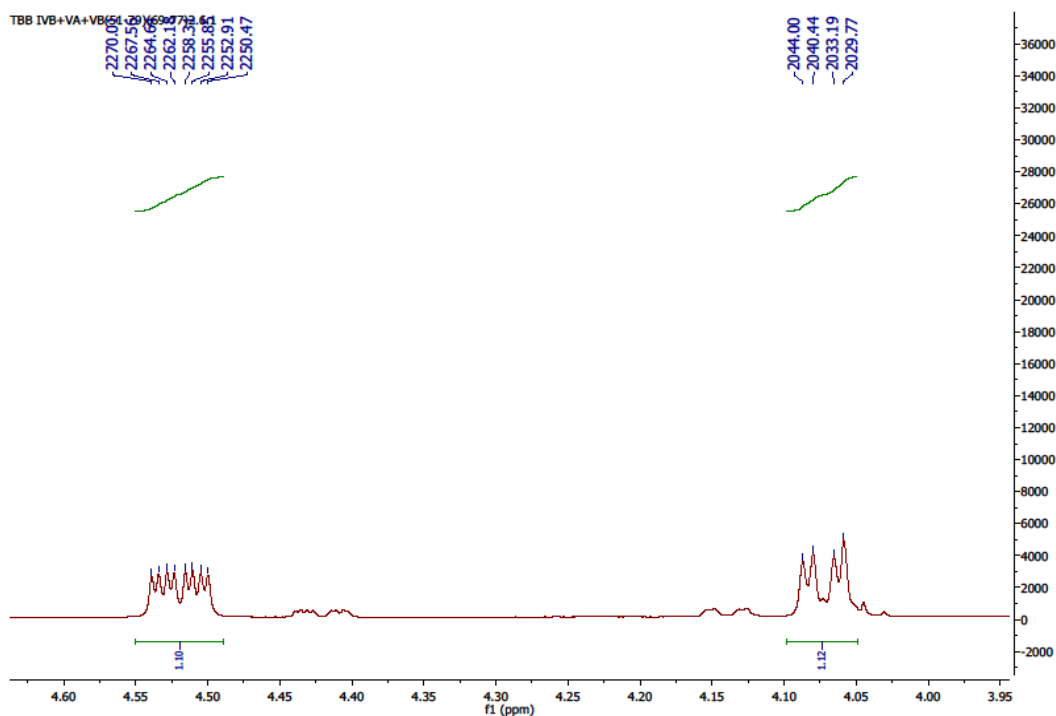
<b>H</b>	<b><math>^1\text{H-NMR}</math></b>	<b>C</b>	<b>APT</b>
1	2.85 d (1H, $J=10.4$ Hz)	1	60.6
2	2.09 m (1H)	2	23.9
2'	1.48 m (1H)	3	36.5
3	2.15 m (1H)	4	60.6
3'	1.26 m (1H)	5	63.8
5	2.95 m (1H)	6	67.4
6	4.07 dd (1H, $J=3.4;10.8$ Hz)	7	45.8
7	2.93 m(1H)	8	75.1
8	4.51 ddd (1H, $J=2.6;5.4;11.8$ Hz)	9	42.9
9	1.96 dd (1H, $J=4.10;14.29$ Hz)	10	57
9'	2.15 m (1H)	11	133.9
13	6.05 brd (1H, $J=1.0$ Hz)	12	169.3
13'	6.4 brd (1H, $J=2.0$ Hz)	13	128.5
14	1.48 s (3H)	14	22.5
15	1.51 s (3H)	15	15.8



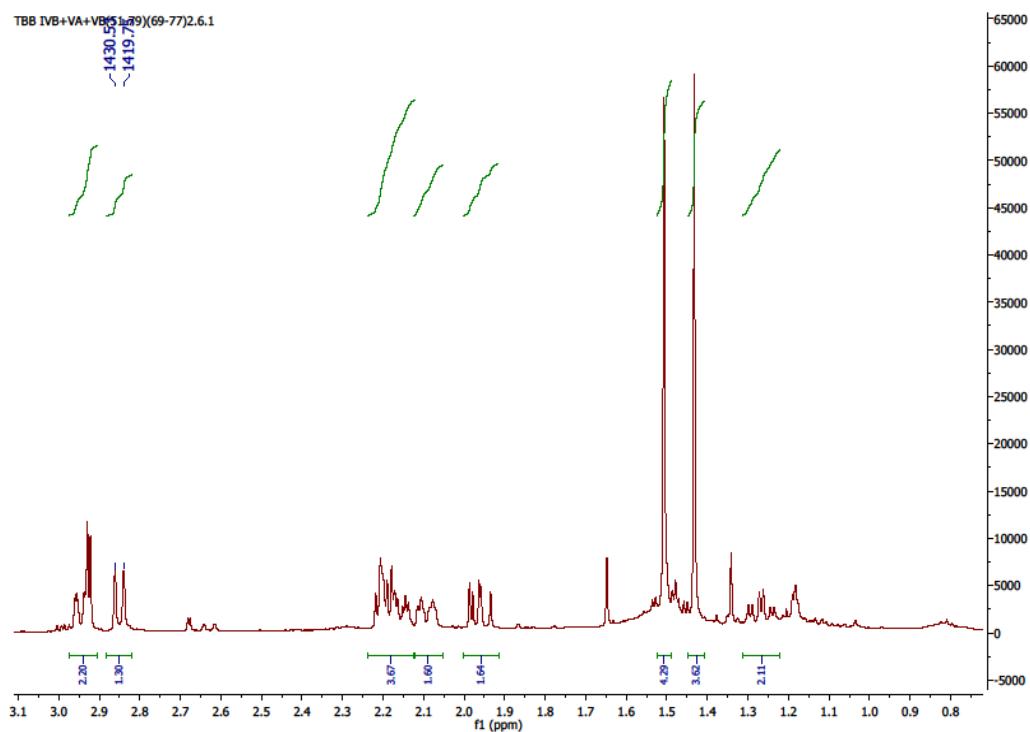
Şekil 4.37 1,10-Epoxispiciformin  $^1\text{H}$  NMR spektrumu



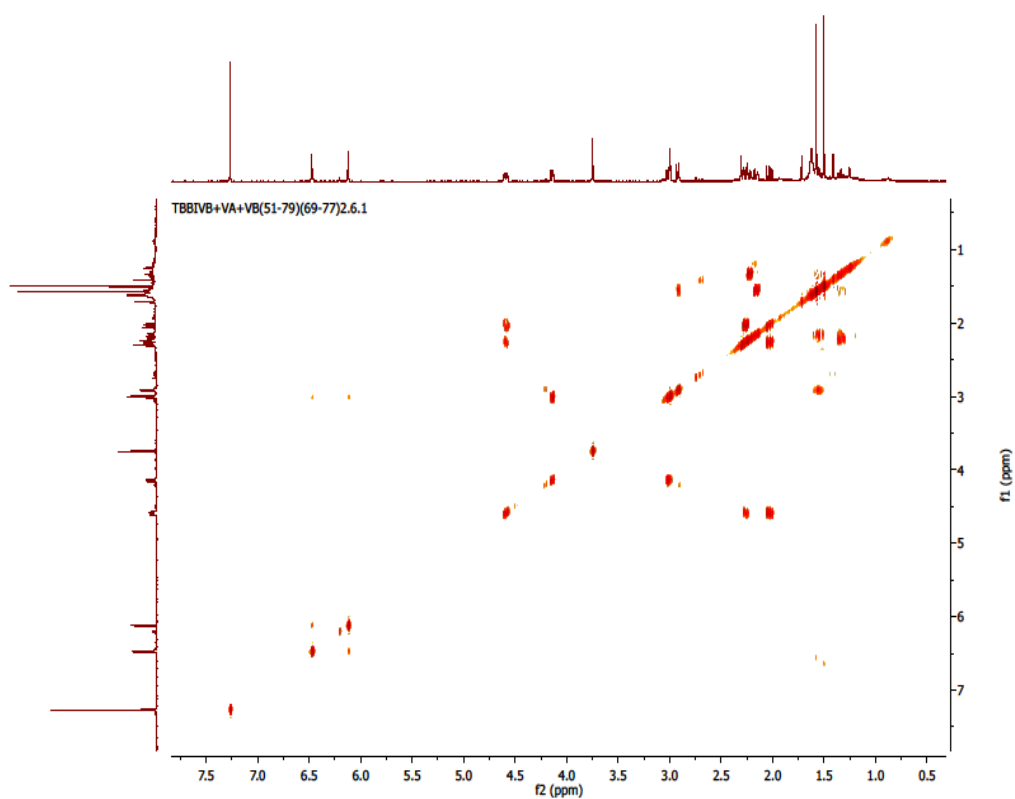
Şekil 4.37 1,10-Epoxispiciformin  $^1\text{H}$  NMR spektrumu



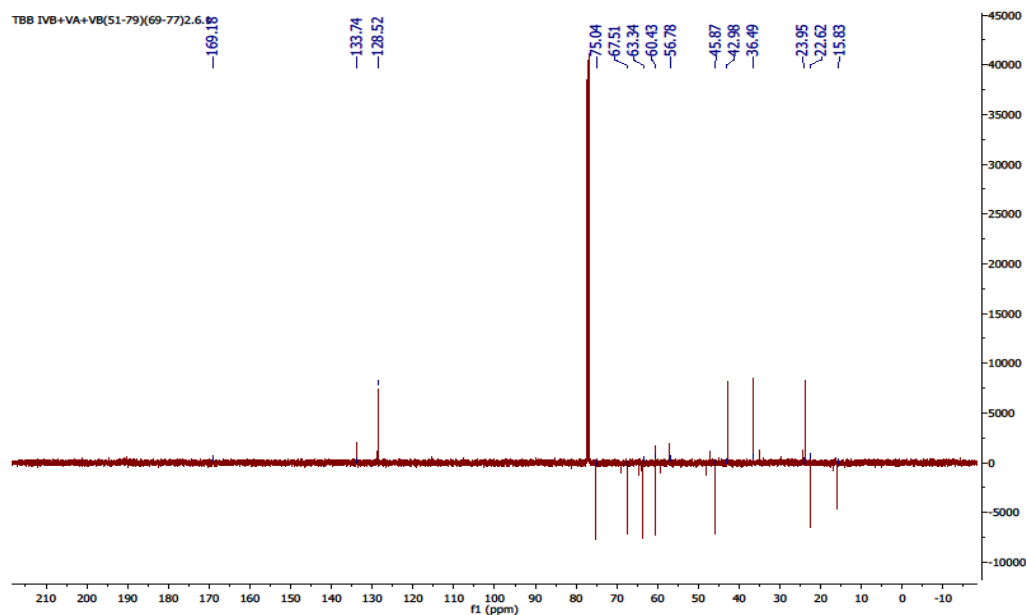
Şekil 4.37 1,10-Epoxyspiciformin  $^1\text{H}$  NMR spektrumu



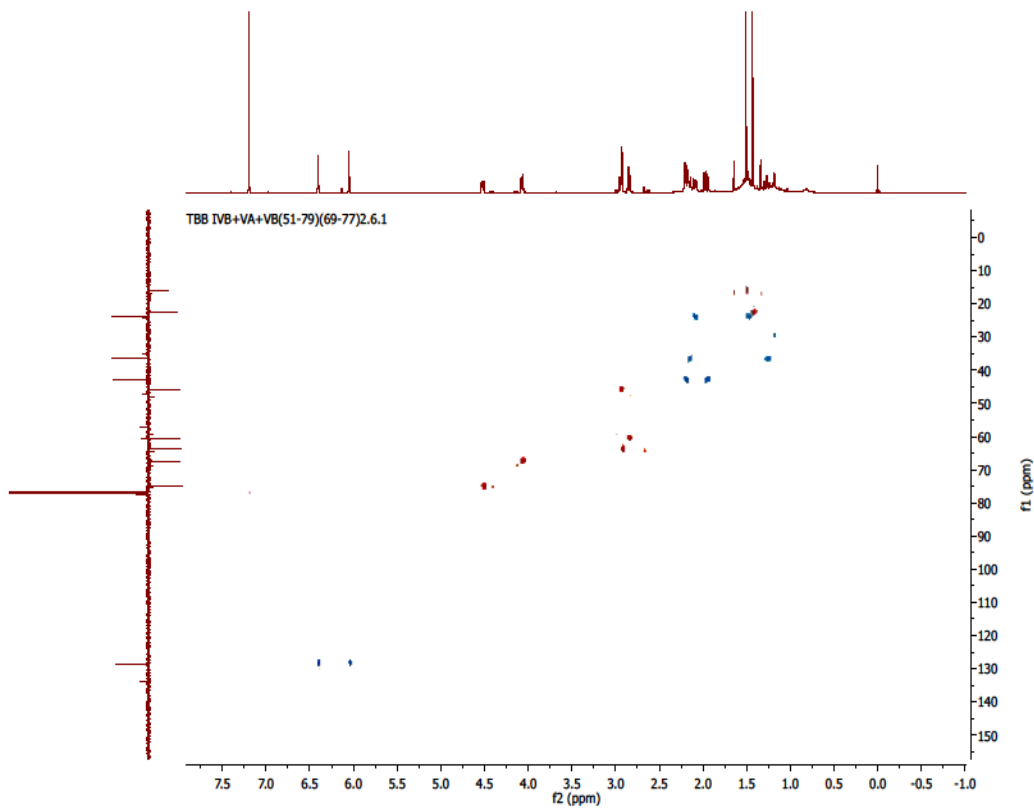
Şekil 4.37 1,10-Epoxyspiciformin  $^1\text{H}$  NMR spektrumu



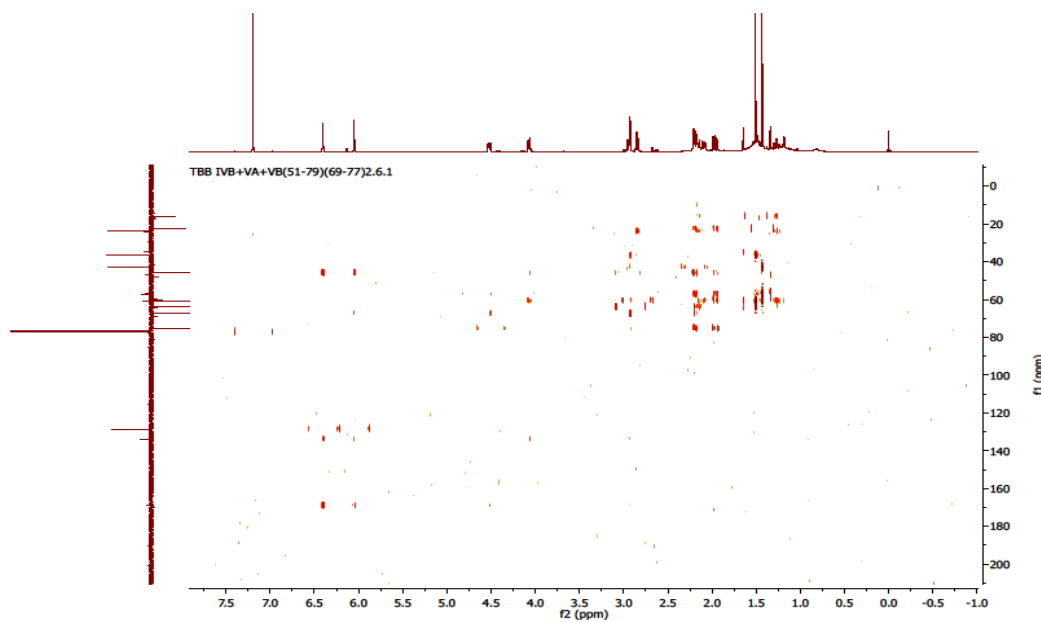
Şekil 4.38 1,10-Epoksispiciformin COSY spektrumu



Şekil 4.39 1,10-Epoksispiciformin APT spektrumu



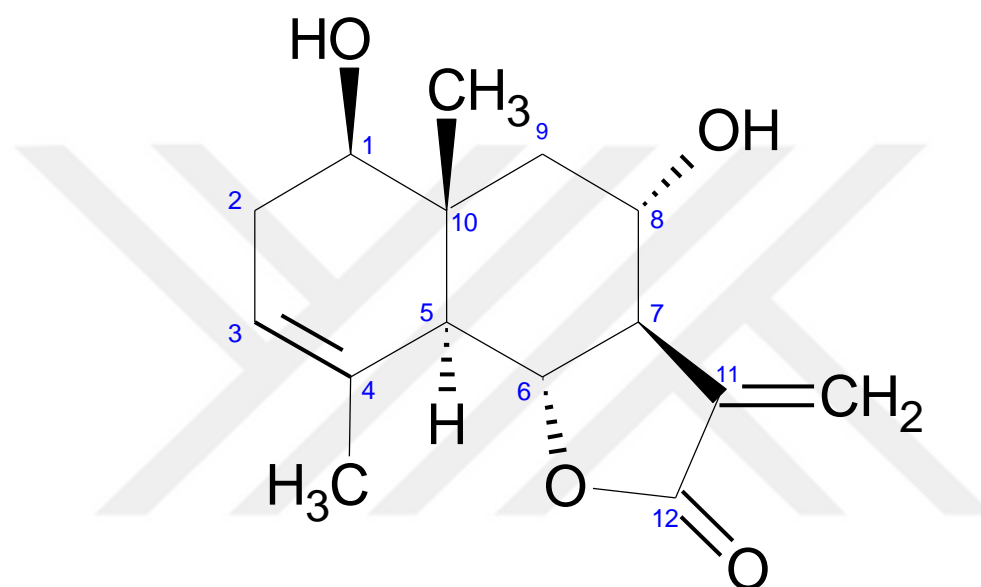
Şekil 4.40 1,10-Epokspiciformin HSQC spektrumu



Şekil 4.41 1,10-Epokspiciformin HMBC spektrumu

#### 4.1.2.6 TBB IVB+VA+VB (51-79) (62-68) 9 = 8 $\alpha$ -Hidroksisantamarin (8 $\alpha$ -Hydroxsantamarin)

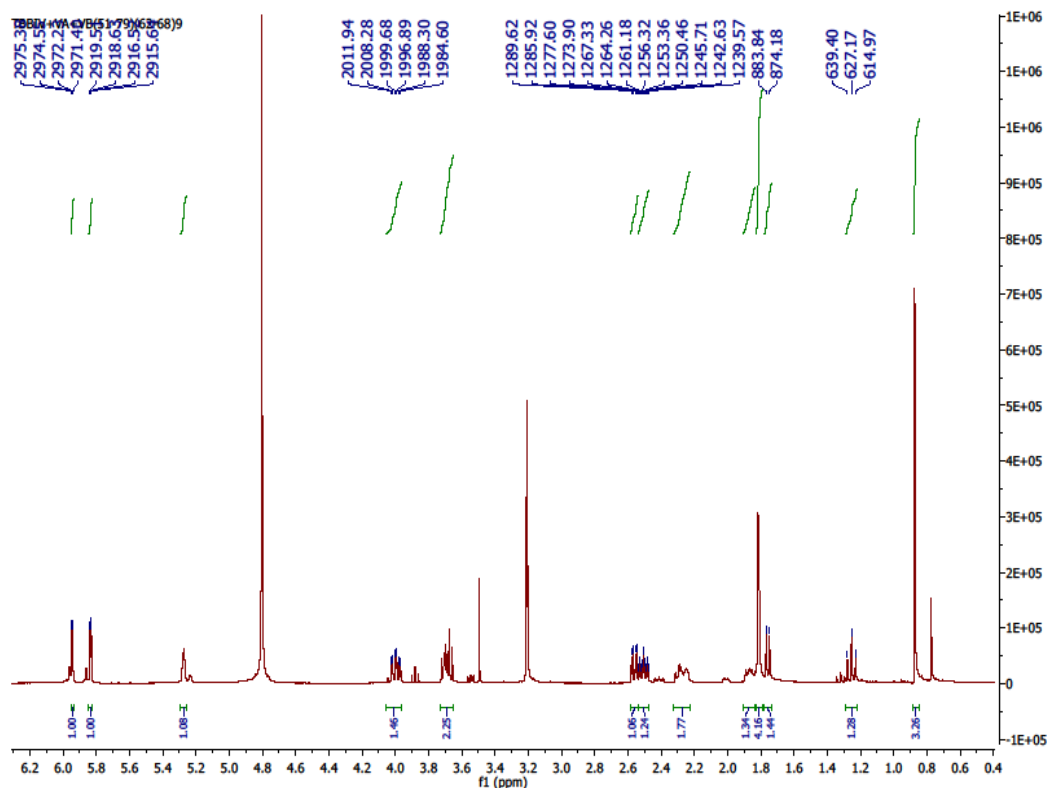
Maddenin yapısı spektral yöntemlerle ( $^1\text{H-NMR}$ , APT, COSY, HSQC, HMBC) aydınlatılmıştır. Çizelge 4.13'de 8 $\alpha$ -Hidroksisantamarin  $^1\text{H-NMR}$  ve APT kimyasal kayma değerleri, Şekil 4.42'de 8 $\alpha$ -Hidroksisantamarin moleküler yapısı, Şekil 4.43'te  $^1\text{H NMR}$  spektrumu, Şekil 4.44'te COSY NMR spektrumu, Şekil 4.45'te APT spektrumu, Şekil 4.46'da HSQC spektrumu ve Şekil 4.47'de HMBC spektrumu verilmektedir. Elde edilen veriler literatürde verilen değerlerle uyum içindedir [187].



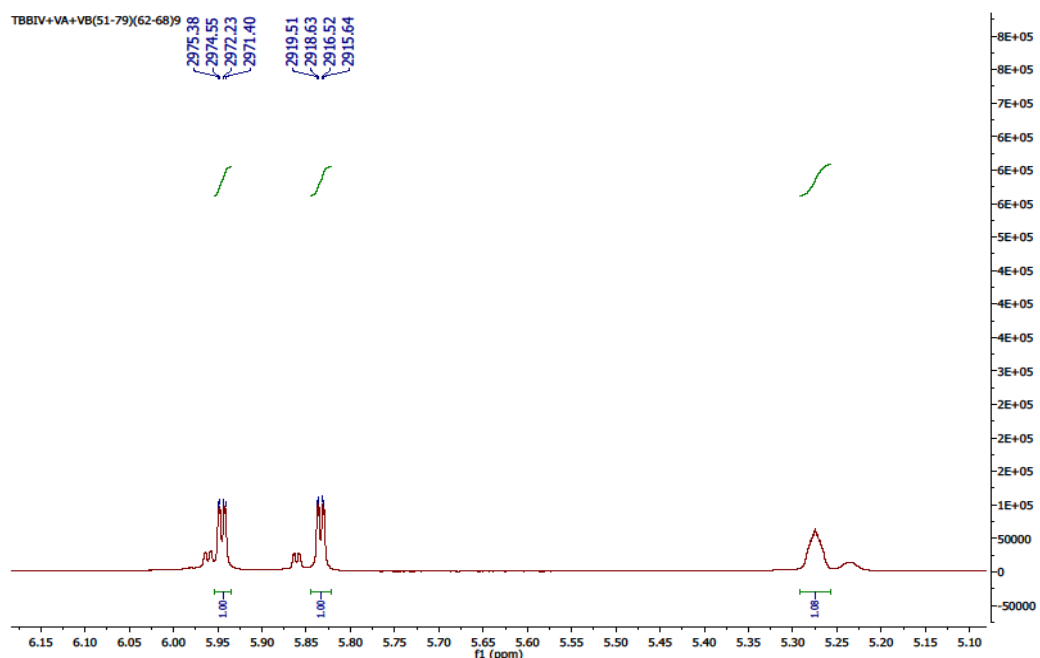
Şekil 4.42 8 $\alpha$ -Hidroksisantamarin moleküler yapısı

Çizelge 4.13 8 $\alpha$ -Hidroksisantamarin  $^1\text{H-NMR}$  ve APT (500 MHz, 125 MHz, MeOD) kimyasal kayma değerleri

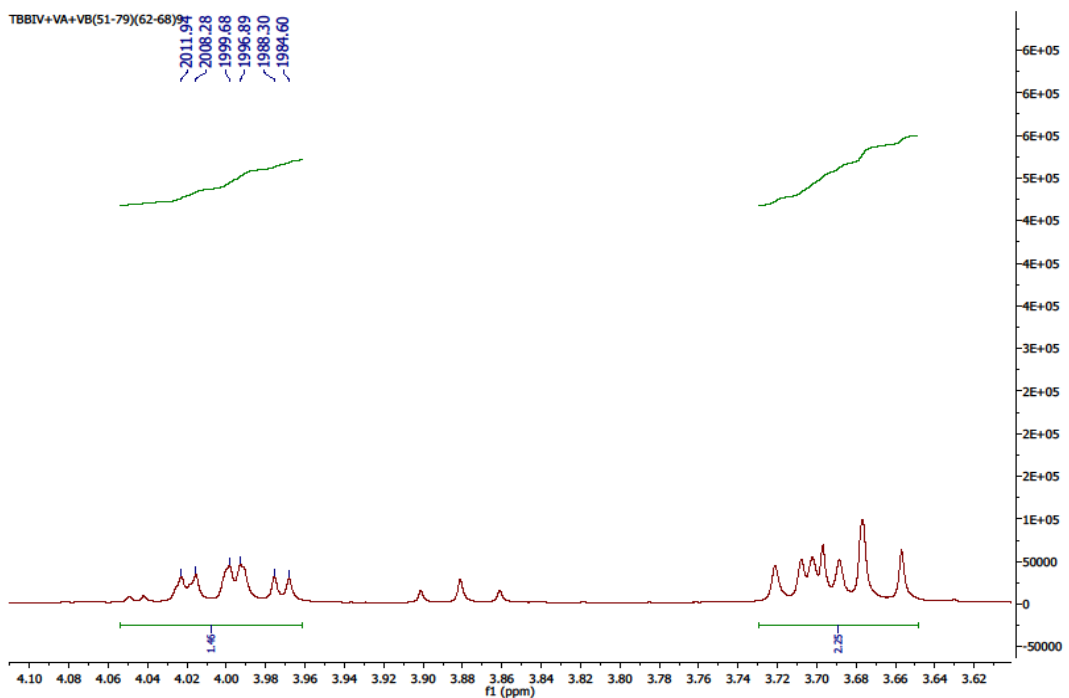
<b>H</b>	<b><math>^1\text{H-NMR}</math></b>	<b>C</b>	<b>APT</b>
1	3.70 m (1H)	1	66.83
2	2.28 m (1H)	2	33.74
2'	1.87 m (1H)	3	122.11
3	5.27 brs (1H)	4	140.5
5	1.75 d (1H, $J=10$ Hz)	5	59.53
6	3.67 dd (1H, $J=9.7;10$ Hz)	6	75.72
7	2.50 dddd (1H, $J=3;3;10.7;10.7$ Hz)	7	56.10
8	4.00 ddd (1H, $J=3.7;12;12$ Hz)	8	77.81
9	2.56 dd (1H, $J=3.5;11.8$ Hz)	9	38.13
9'	1.25 dd (1H, $J=12.2;12.2$ Hz)	10	40.4
13	5.94 dd (1H, $J=1.0;3.0$ Hz)	11	136.96
13'	5.83 dd (1H, $J=1.0;3.0$ Hz)	12	169.3
14	0.87 s (3H)	13	119.72
15	1.81 brs(3H)	14	20.68
		15	26.64



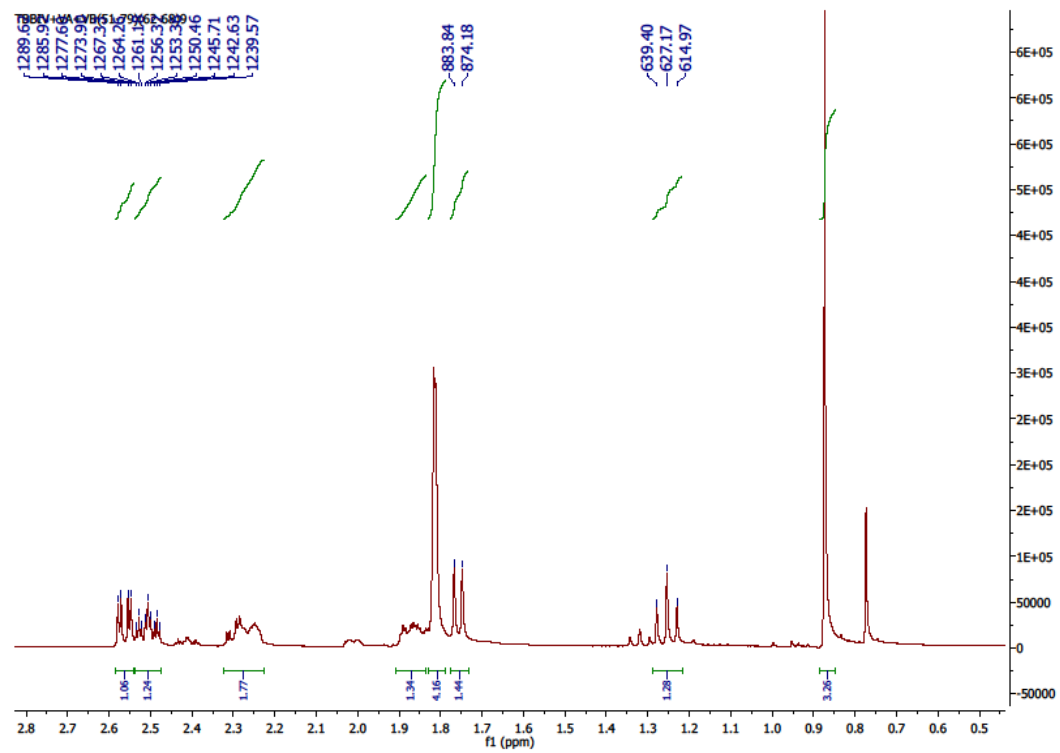
Şekil 4.43 8 $\alpha$ -Hidroksisantamarin  $^1\text{H}$  NMR spektrumu



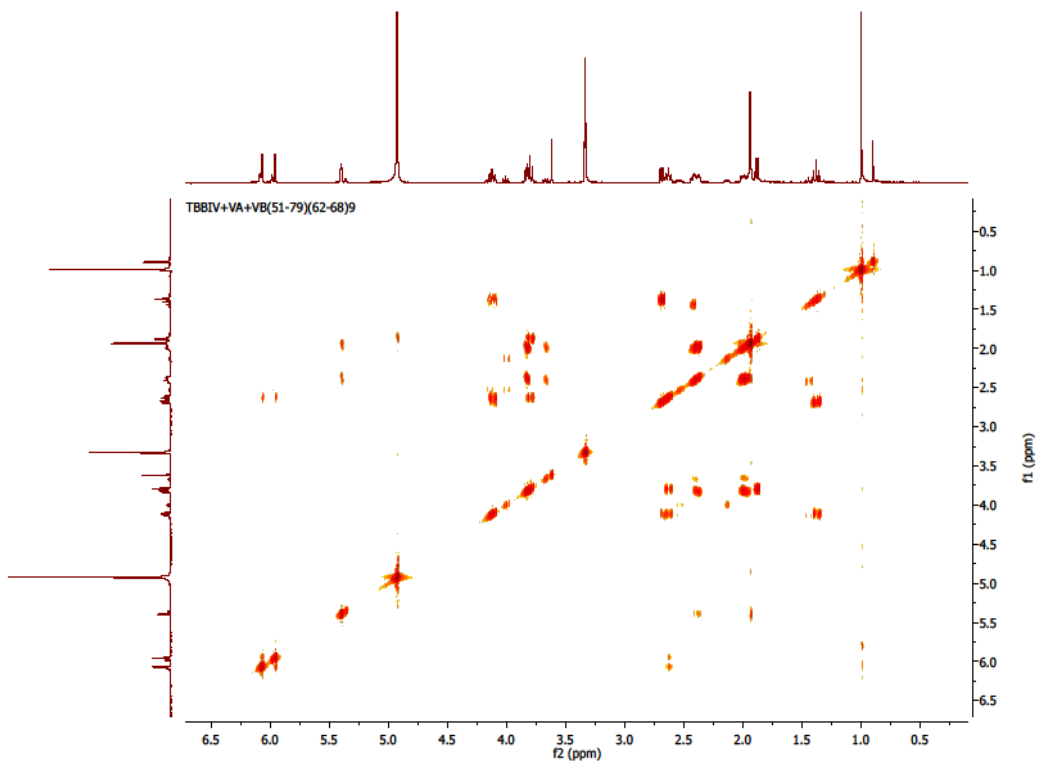
Şekil 4.43 8 $\alpha$ -Hidroksisantamarin  $^1\text{H}$  NMR spektrumu



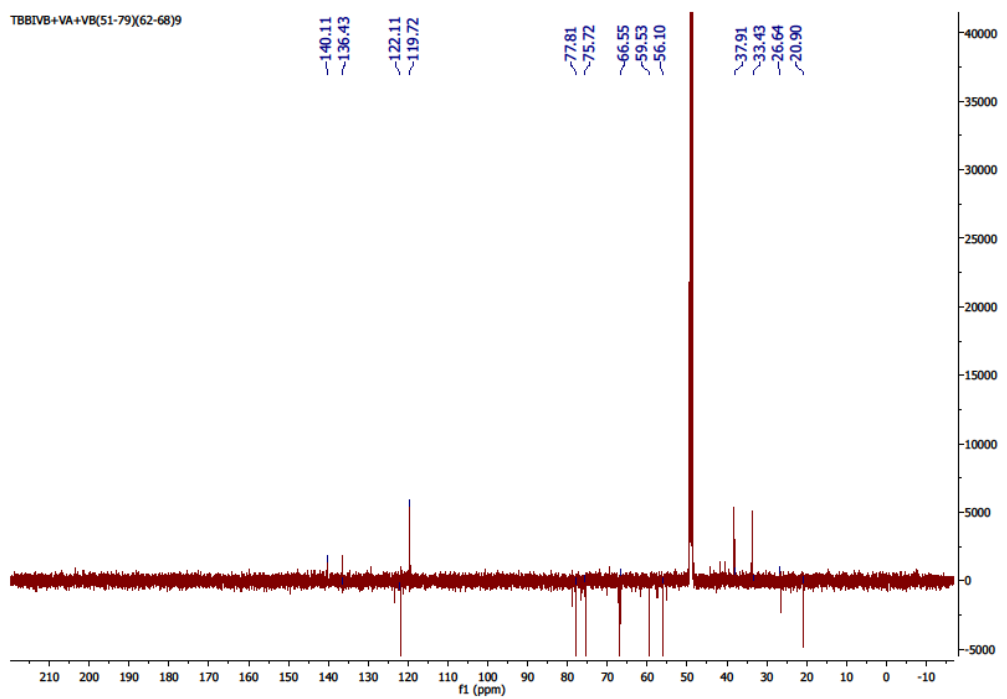
Şekil 4.43 8 $\alpha$ -Hidroksisantamarin  $^1\text{H}$  NMR spektrumu



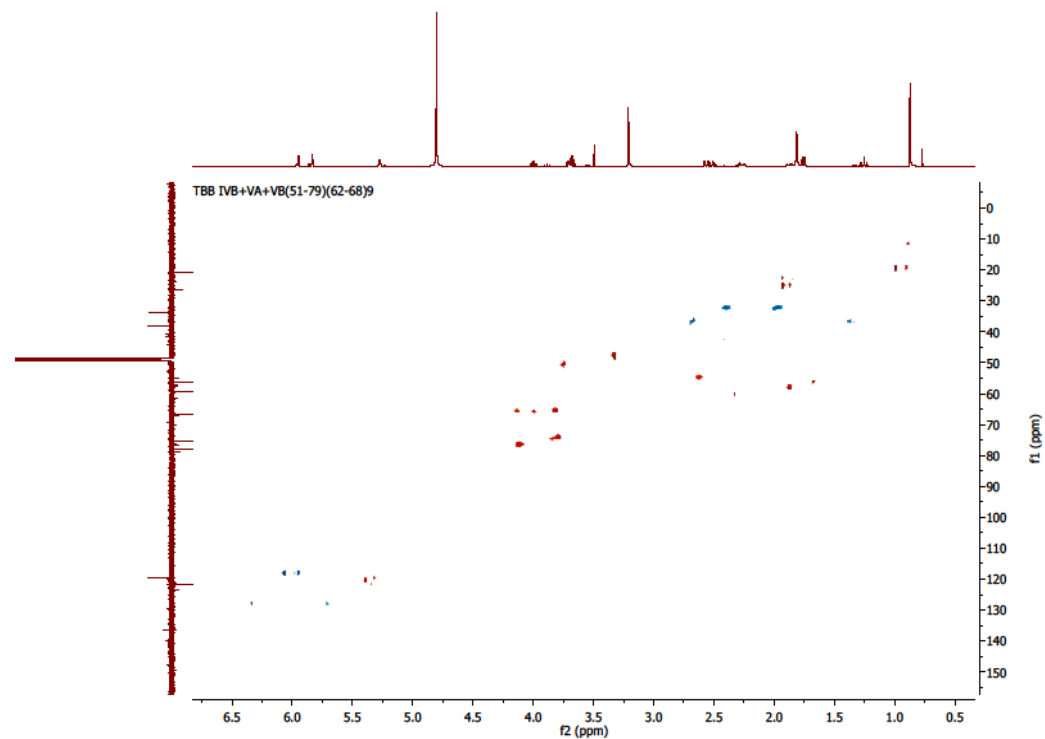
Şekil 4.43 8 $\alpha$ -Hidroksisantamarin  $^1\text{H}$  NMR spektrumu



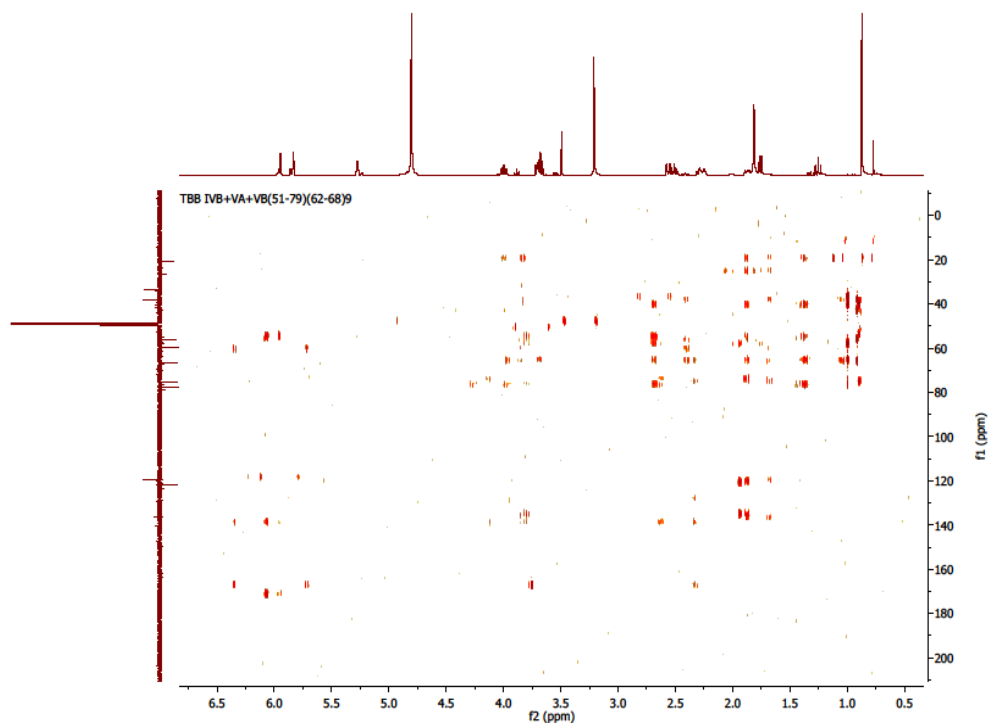
Şekil 4.44 8 $\alpha$ -Hidroksisantamarin COSY spektrumu



Şekil 4.45 8 $\alpha$ -Hidroksisantamarin APT spektrumu



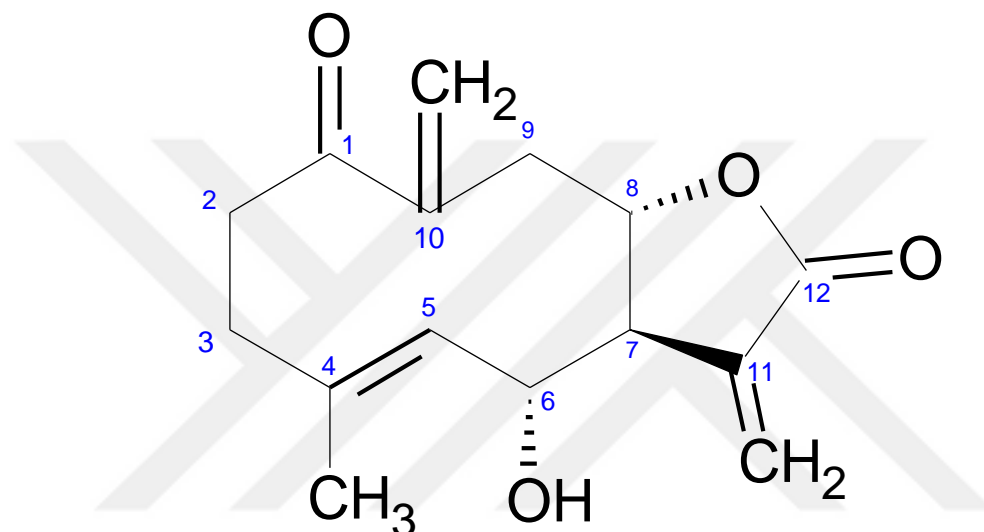
Şekil 4.46 8 $\alpha$ -Hidroksisantamarin HSQC spektrumu



Şekil 4.47 8 $\alpha$ -Hidroksisantamarin HMBC spektrumu

#### 4.1.2.7 TBB IVB+VA+VB (51-79) (69-77) 3.4.2=Tamirin

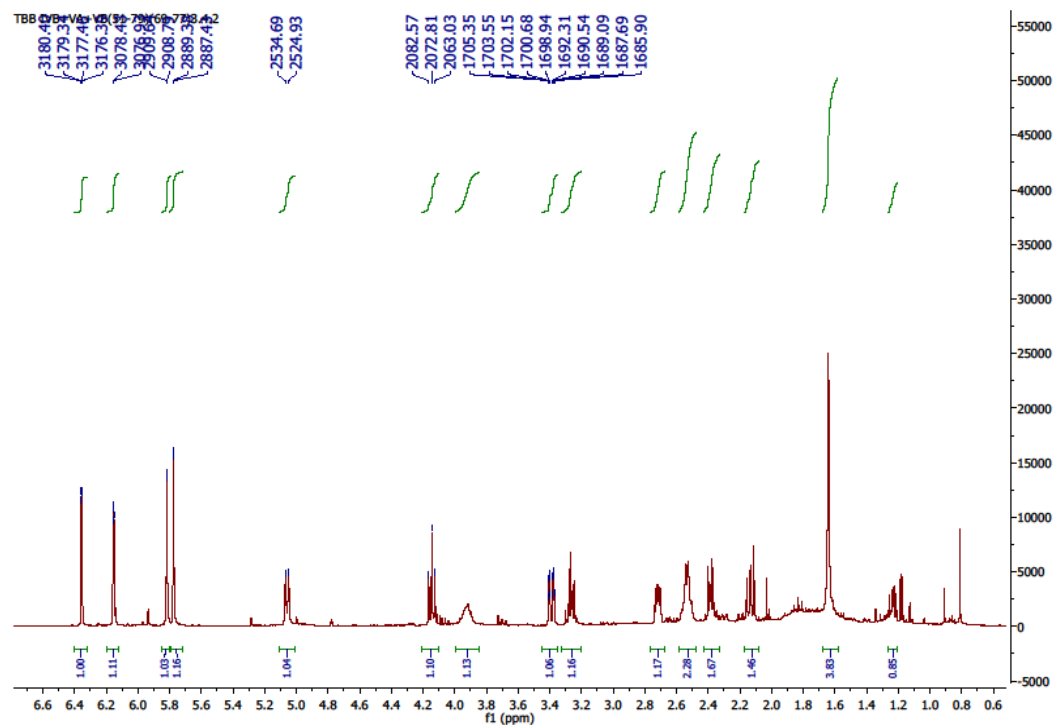
Maddenin yapısı spektral yöntemlerle ( $^1\text{H-NMR}$ , APT, COSY, HSQC, HMBC) aydınlatılmıştır. Çizelge 4.14'te Tamirin  $^1\text{H-NMR}$  ve APT kimyasal kayma değerleri, Şekil 4.48'de Tamirin moleküler yapısı, Şekil 4.49'da  $^1\text{H}$  NMR spektrumu, Şekil 4.50'de COSY NMR spektrumu, Şekil 4.51'de APT spektrumu, Şekil 4.52'de HSQC spektrumu ve Şekil 4.53'te HMBC spektrumu verilmektedir. Elde edilen veriler literatürde verilen değerlerle uyum içindedir [9], [179], [188], [189], [190], [191], [192], [193], [194], [195], [196], [197], [198].



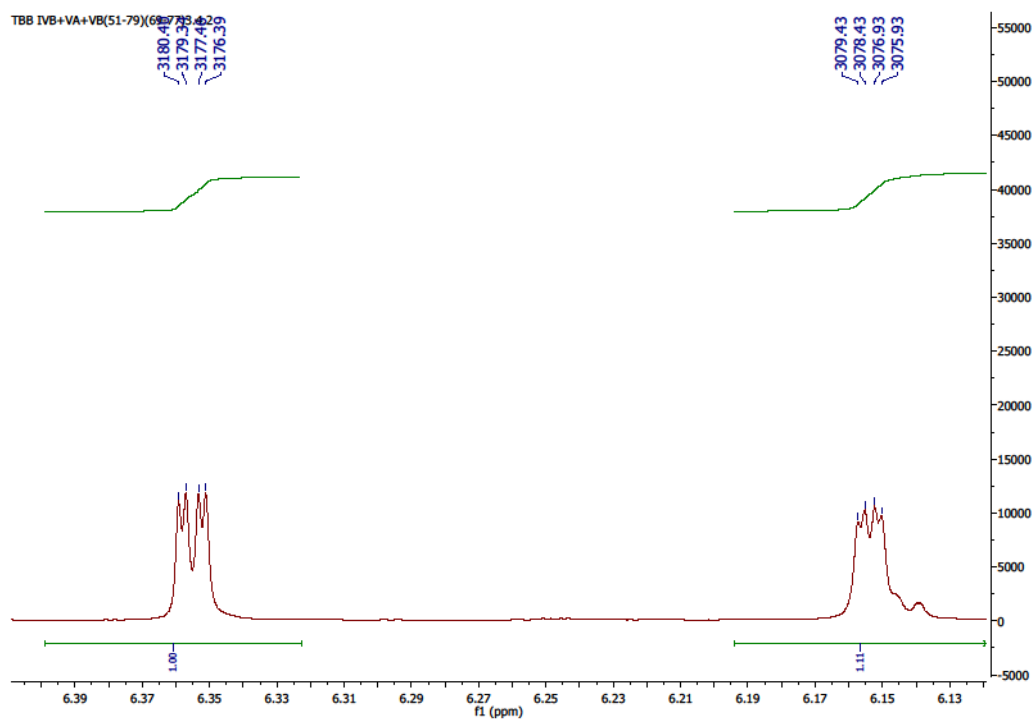
Şekil 4.48 Tamirin moleküler yapısı

Çizelge 4.14 Tamirin  $^1\text{H-NMR}$  ve APT (500 MHz, 125 MHz,  $\text{CDCl}_3$ ) kimyasal kayma değerleri

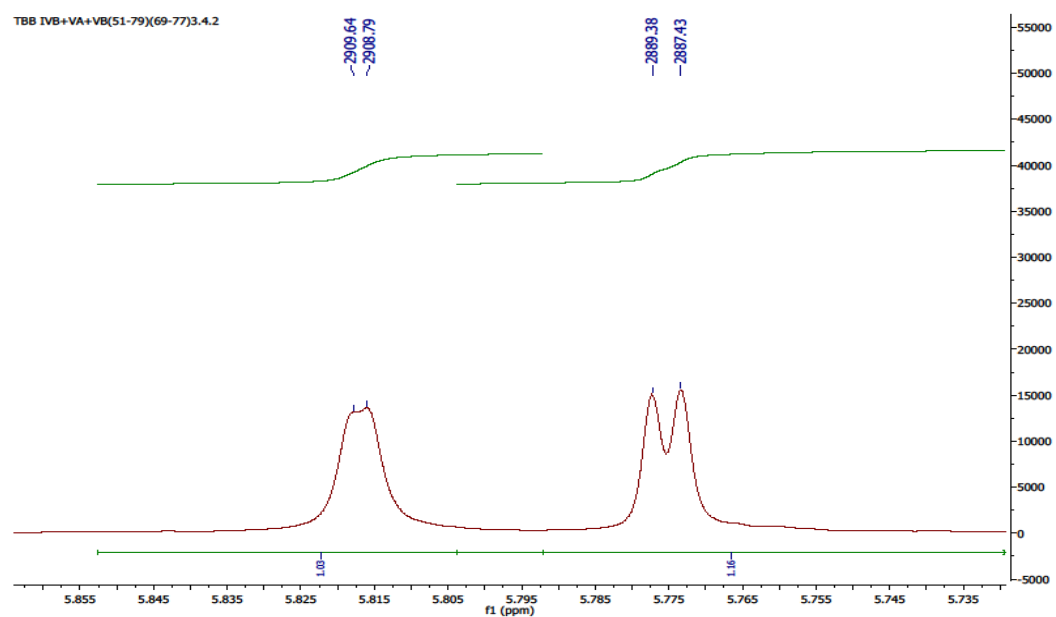
<b>H</b>	<b><math>^1\text{H-NMR}</math></b>	<b>C</b>	<b>APT</b>
2	2.55 m (1H)	1	203.63
2'	3.28 m (1H)	2	36.46
3	2.55 m (1H)	3	35.14
3'	2.39 m (1H)	4	145.75
5	5.08 brd (1H, $J=9.7$ Hz)	5	131.88
6	4.15 dd (1H, $J=9.7;9.7$ Hz)	6	69.84
7	2.74 m (1H)	7	47.68
8	3.94 m (1H)	8	76.62
9	3.39 brd (1H, $J=13$ Hz)	9	39.84
9'	2.15 dd (1H, $J=11.4;11.4$ Hz)	10	146.28
13	6.35 brd (1H, $J=2.9$ Hz)	11	135.84
13'	6.18 dd (1H, $J=1.1;2.5$ Hz)	12	170.22
14	5.84 d (1H, $J=1.0$ Hz)	13	126.66
14'	5.80 d (1H, $J=1.9$ Hz)	14	124.86
15	1.65 brs (3H)	15	17.39



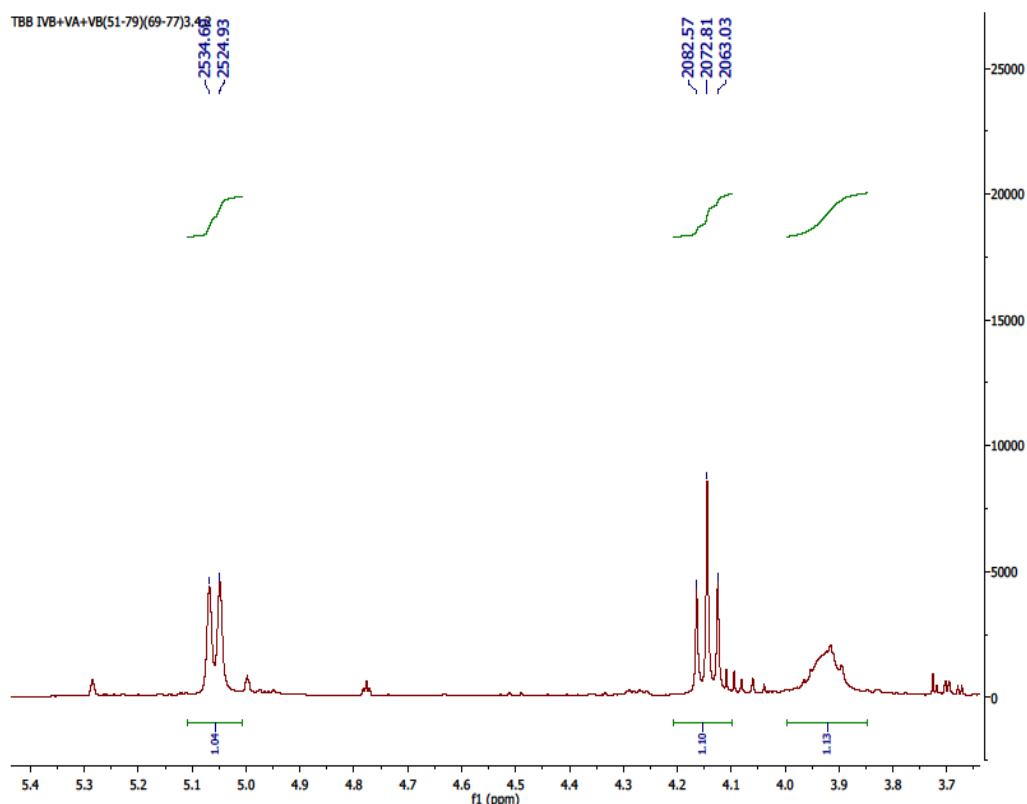
Şekil 4.49 Tamirin  $^1\text{H}$  NMR spektrumu



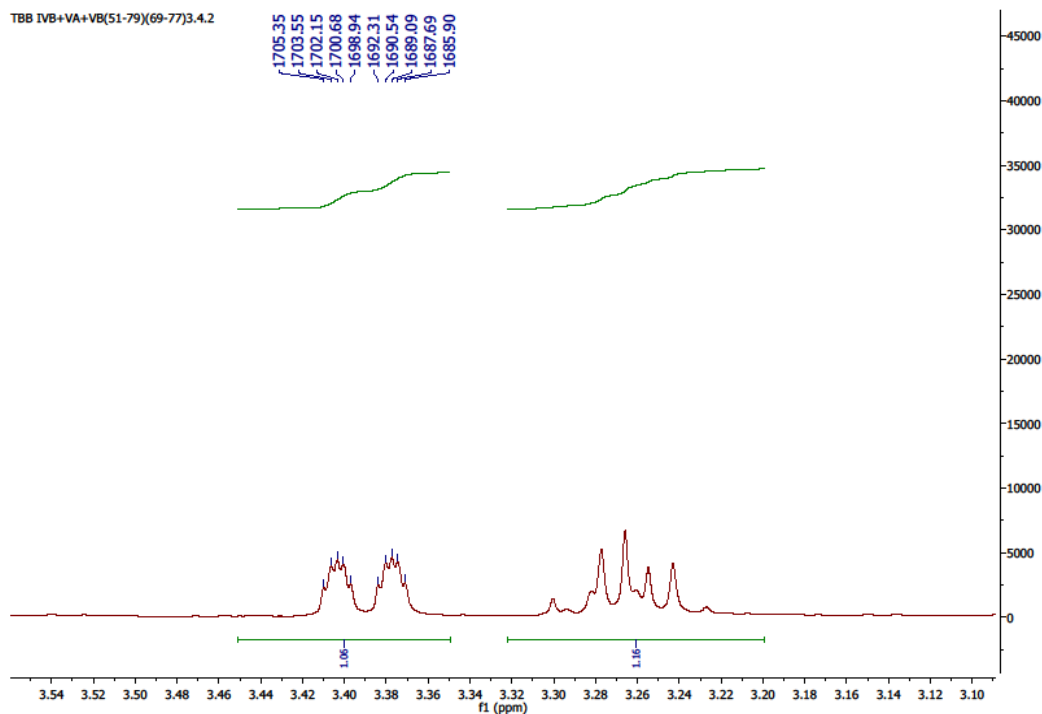
Şekil 4.49 Tamirin  $^1\text{H}$  NMR spektrumu



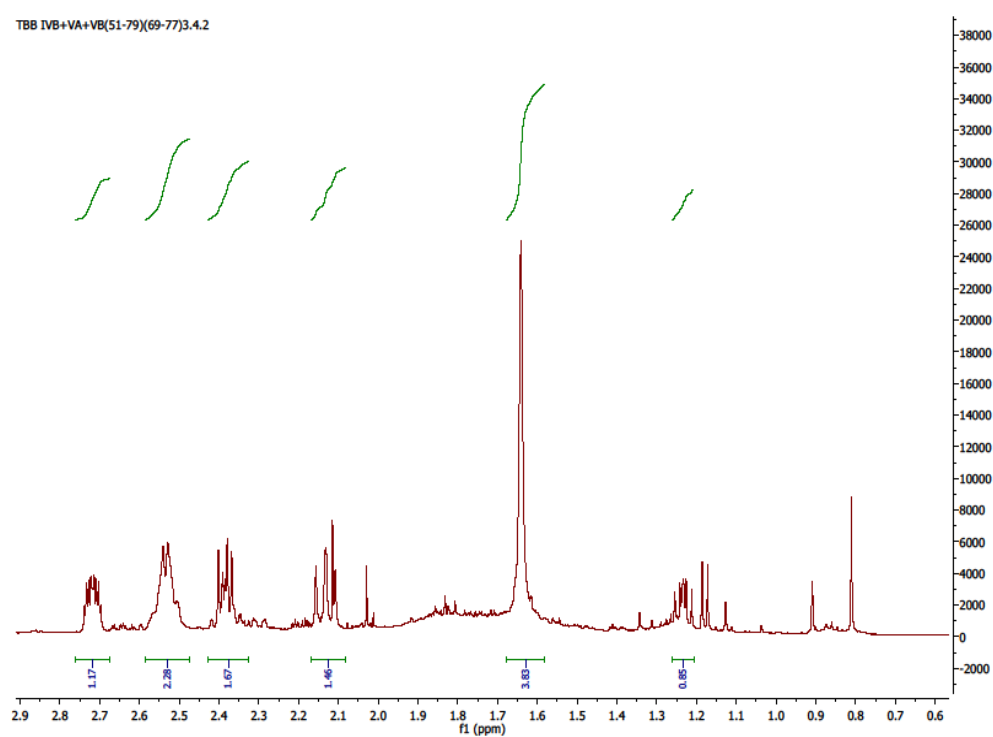
Şekil 4.49 Tamirin  $^1\text{H}$  NMR spektrumu



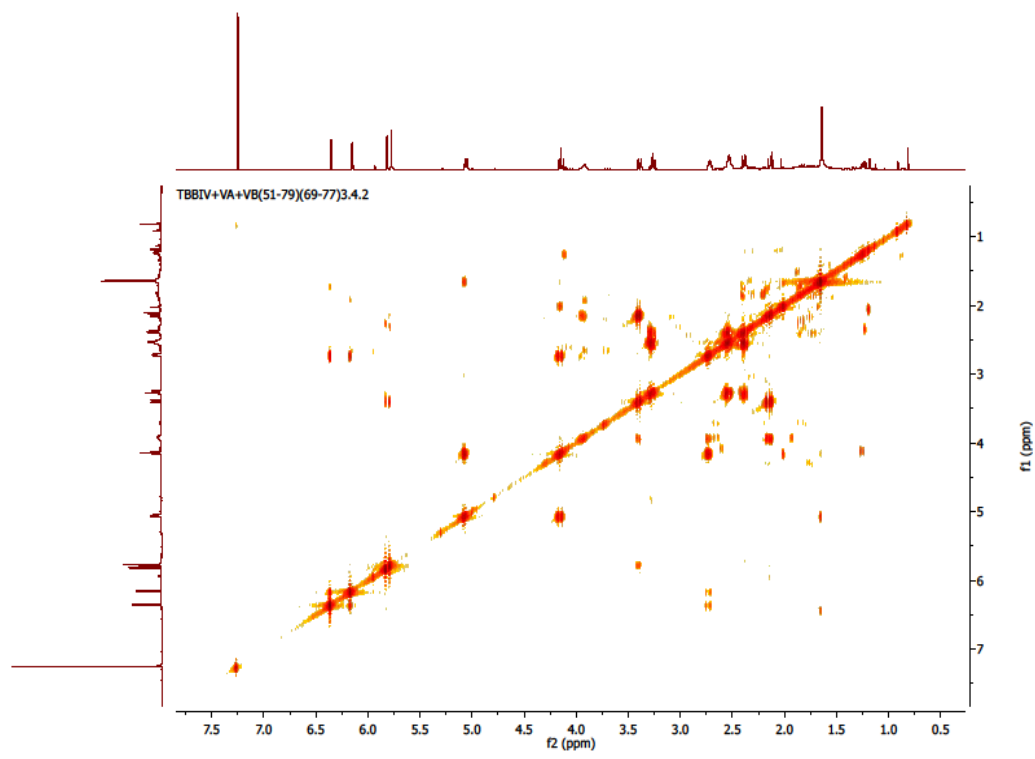
Şekil 4.49 Tamirin  $^1\text{H}$  NMR spektrumu



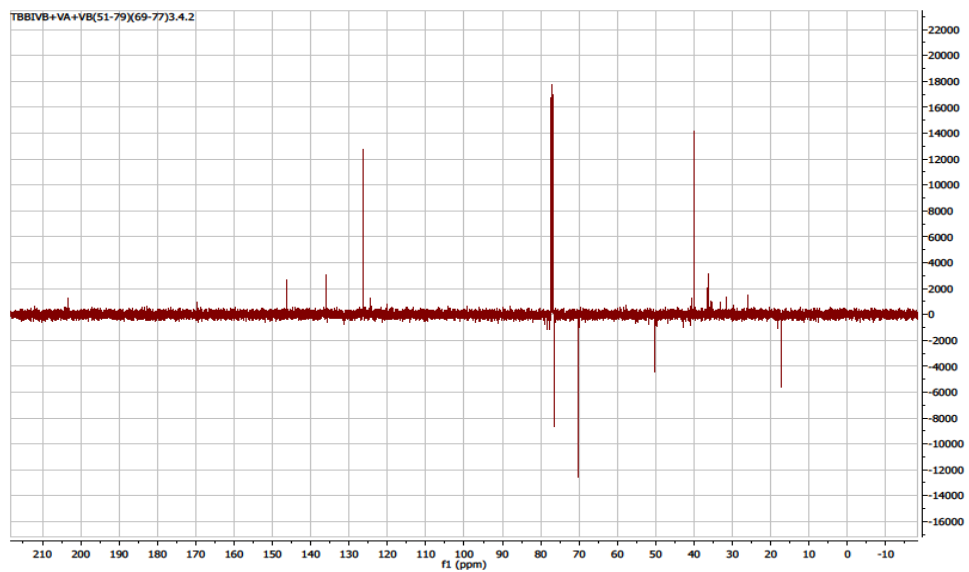
Şekil 4.49 Tamirin  $^1\text{H}$  NMR spektrumu



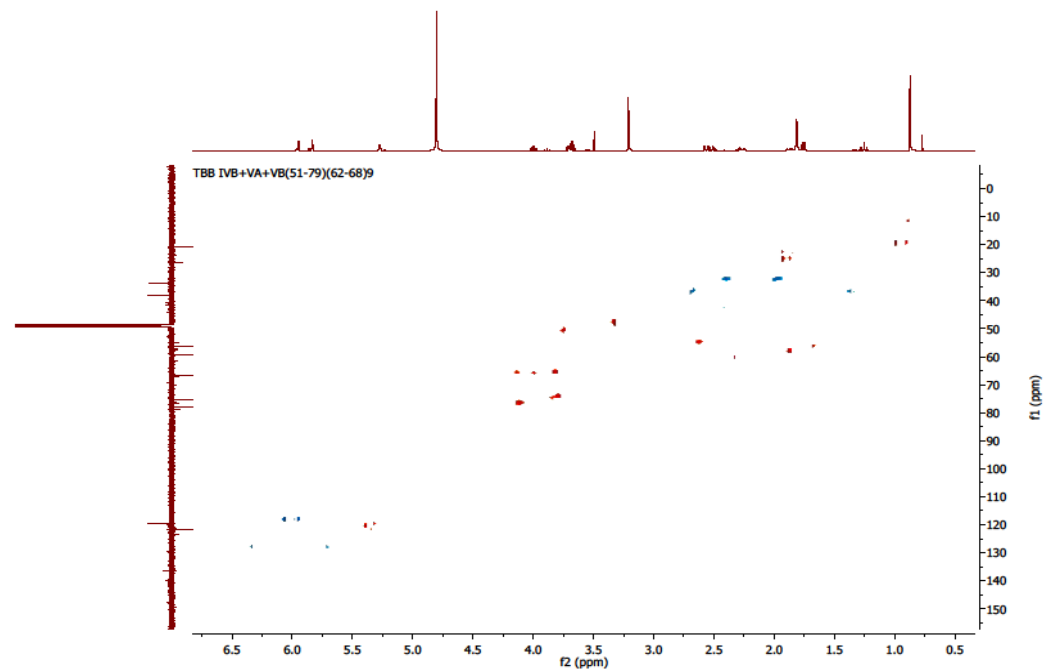
Şekil 4.49 Tamirin  $^1\text{H}$  NMR spektrumu



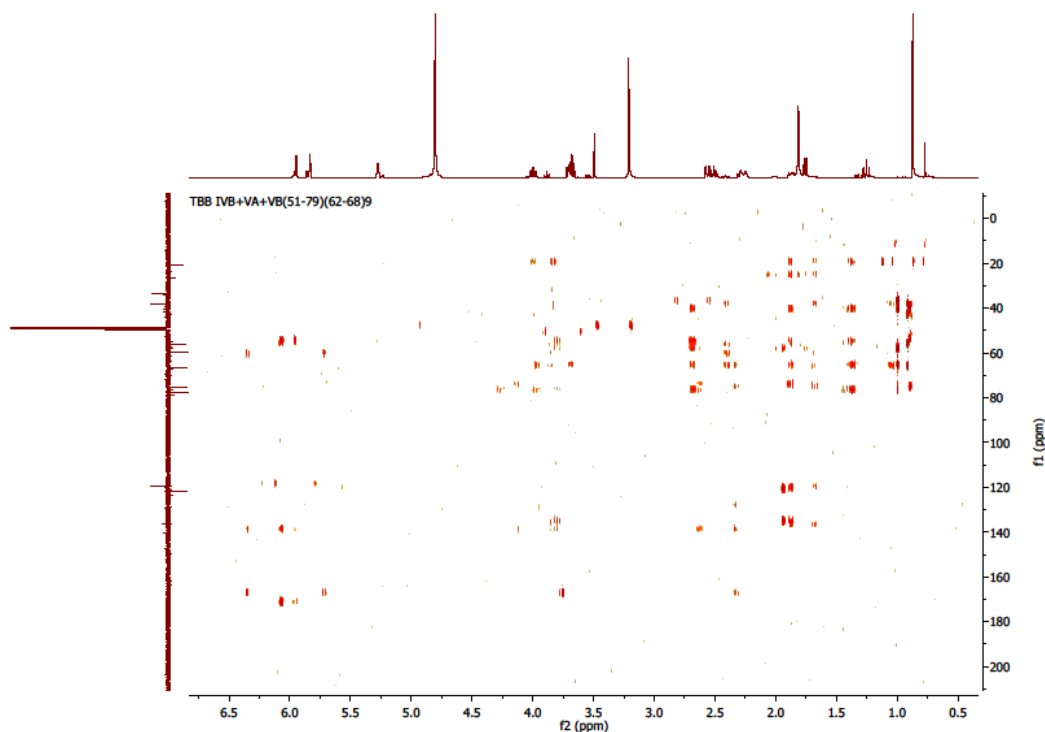
Şekil 4.50 Tamirin COSY spektrumu



Şekil 4.51 Tamirin APT spektrumu



Şekil 4.52 Tamirin HSQC spektrumu



Şekil 4.53 Tamirin HMBC spektrumu

#### **4.1.2.8 TBB IVB+VA+VB (51-79) (68-77) 3.4.1=1 $\alpha$ -Asetoksi-3 $\beta$ - hidroksi, 5 $\alpha$ , 6 $\beta$ , 7 $\alpha$ , 11 $\beta$ (H)-ödesm-4(15)-en-6,12-olide (1 $\alpha$ -Asetoksi-3-*epi*-erivanin)**

Maddenin yapısı spektral yöntemlerle ( $^1$ H-NMR, APT, COSY, HSQC, HMBC, NOESY, MS) aydınlatılmıştır. Çizelge 4.15'te 1 $\alpha$ -Asetoksi-3-*epi*-erivanin  $^1$ H-NMR ve APT kimyasal kayma değerleri, Şekil 4.54'te 1 $\alpha$ -Asetoksi-3-*epi*-erivanin moleküler yapısı, Şekil 4.55'te  $^1$ H NMR spektrumu, Şekil 4.56'da COSY spektrumu, Şekil 4.57'de APT spektrumu, Şekil 4.58'de HSQC spektrumu, Şekil 4.59'da HMBC, Şekil 4.60'da NOESY spektrumu ve Şekil 4.61'de kütle spektrumu verilmektedir.

Dörtoro kloroformda çekilen  $^1$ H-NMR spektrumunda  $\delta$  4.01 (1H, dd,  $J$ =10.7;10.5 Hz) olarak görülen pik H-6 ya aittir ve bu pik COSY deneylerinde  $\delta$  1.70'de (H-7, 1H, m) ve  $\delta$  2.53'te (H-5, 1H, brd,  $J$ =10.9 Hz) pikleriyle etkileştiği görülmektedir. Ayrıca H-7 piki  $\delta$  2.28'de (H-11, 1H, dq,  $J$ =6.6;13.2 Hz),  $\delta$  1.90'da (H-8, 1H, m) ve  $\delta$  1.51'de (H-8', 1H, m) pikleriyle etkileşim göstermektedir. H-11 piki  $\delta$  1.17'de (H-13, 3H, d,  $J$ =6.9 Hz) pikiyle etkileşmektedir. H-8 ve H-8' pikleri,  $\delta$  1.70 (H-9, 1H, m) ve  $\delta$  1.39 (H-9', 1H, m) pikleriyle etkileşmektedir.  $\delta$  4.73'teki H-1 (1H, dd,  $J$ =2.77;2.74 Hz) piki,  $\delta$  2.08 (H-2, 1H, m) ve  $\delta$  2.05 (H-2', 1H, m) pikleriyle etkileşmektedir. Ayrıca H-2 ve H-2' pikleri  $\delta$  4.22 (H-3, 1H, dd,  $J$ =5.2;11.7 Hz) piki ile etkileşmektedir. H-14 (3H) piki  $\delta$  0.86'da singlet olarak görülmektedir.  $\delta$  5.23'de H-15 (1H, brs) ve  $\delta$  4.96'da H-15' (1H, brs) pikleri görülmektedir. Asetoksi grubuna bağlı metil piki  $\delta$  2.06'da singlet olarak görülmektedir.

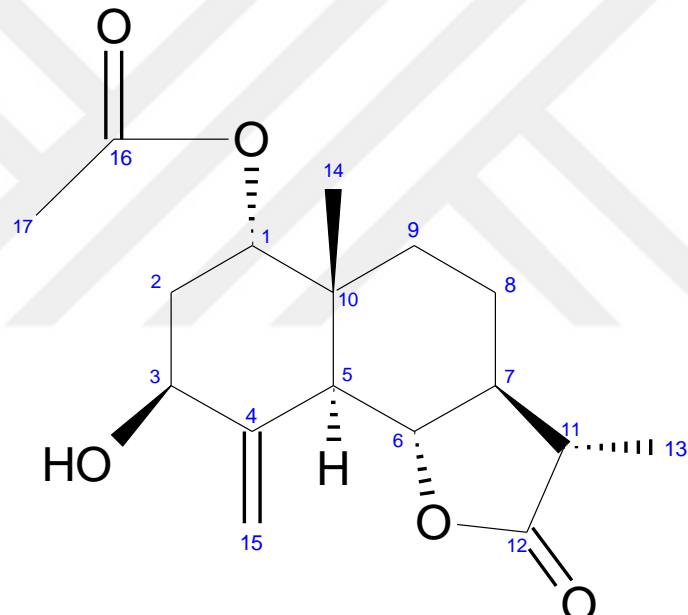
Elde edilen deneysel bulgular daha önce izole edilmiş olan 1-Asetilerivanin ve 3-*epi*-erivanin maddelerinin verilerine oldukça yakındır [182], [183], [185], [200]. Ancak H-3 protonunun etkileşme sabitlerinin 1-Asetilerivanin maddesinden farklı olduğu görülmektedir. 1-Asetilerivanin maddesinin H-3/H-2 ve H-3/H-2' protonları arasında etkileşim sabiti  $J$ =1.75;3.75 Hz olarak verilmiş ve buna göre C-3 konumundaki -OH grubunun  $\alpha$  konumunda olduğu bilinmektedir. TBB IVB+VA+VB (51-79) (68-77) 3.4.1 kodlu fraksiyondan izole ettiğimiz bu maddenin ise H-3/H-2 ve H-3/H-2' protonları arasındaki etkileşim sabiti  $J$ =5.2;11.7 Hz olarak görülmektedir. Bu nedenle -OH grubunun  $\beta$  konumunda bağlı olduğu anlaşılmaktadır.

3-*epi*-erivanin maddesinin C-1'de -OH grubu bulunmasına karşın TBB IVB+VA+VB (51-79) (68-77) 3.4.1 maddesine C-1'de asetoksi grubu bağlıdır. TBB IVB+VA+VB (51-79) (68-77) 3.4.1 maddesi, 3-*epi*-erivanin maddesinin asetil türevi şeklindedir.

Maddenin NOESY deneyinde H-3 protonu H-7 protonu ile etkileşim gösterdiği ve aynı uzaysal düzlemi paylaştığı görülmektedir. Biyo oluşumsal olarak H-7 protonu  $\alpha$  konumunda olduğu bilinmektedir. NOESY spektrumundan H-3, H-5 ve H-13 protonlarının  $\alpha$  konumunda olduğu, H-1 ve H-14 protonlarının  $\beta$  konumunda olduğu anlaşılmıştır.

Bu maddenin kütle spektrumunda moleküler iyon piki  $m/z$  331  $[M+Na]^+$  net bir şekilde görülmektedir. Yapının  $C_{17}H_{24}O_5$  formülüne sahip olduğu ve tayin edilen yapıyla uyum içinde olduğu görülmektedir. Ayrıca yapıdan  $m/z$  270  $[331- CH_3COOH-H]^+$ ,  $m/z$  253  $[270- OH]$  ve  $m/z$  227  $[253-CO-2]$  çıkışları görülmektedir.

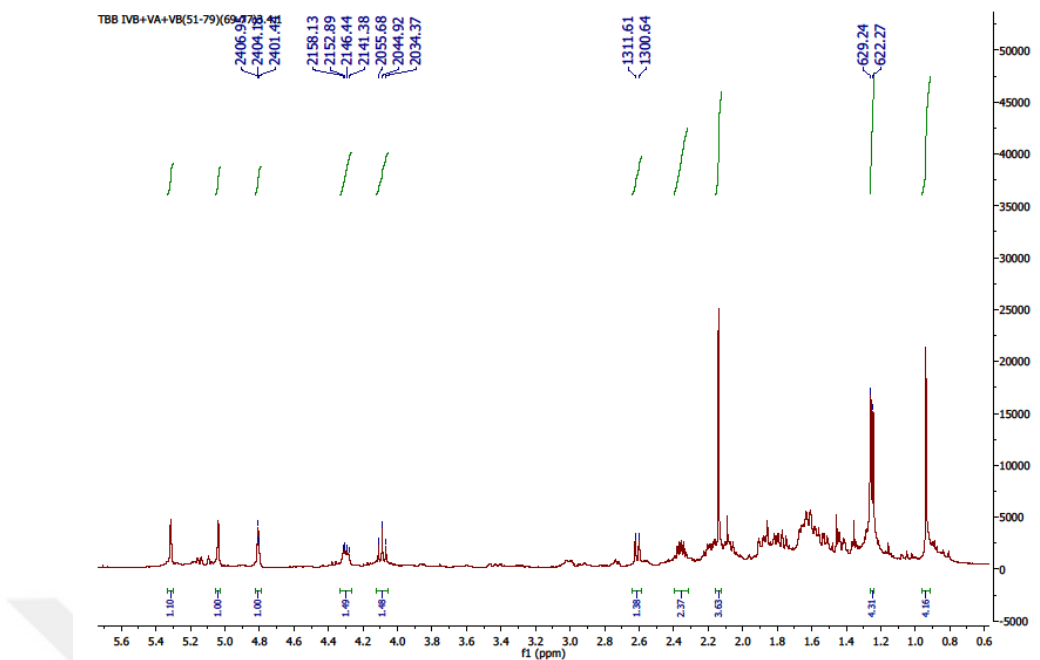
$1\alpha$ -Asetoksi-3-*epi*-erivanin maddesinin spesifik çevirme açısı  $[\alpha]^{22}=10.04$  olarak bulunmuştur.



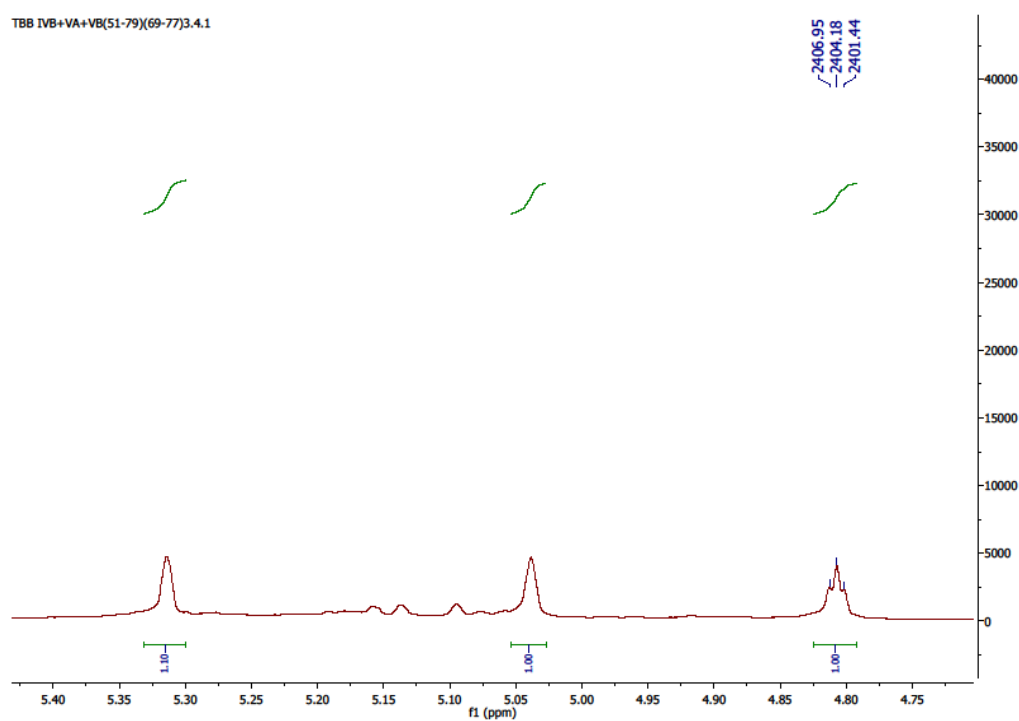
Şekil 4.54  $1\alpha$ -Asetoksi-3-*epi*-erivanin moleküler yapısı

Çizelge 4.15  $1\alpha$ -Asetoksi-3-*epi*-erivanin  $^1\text{H-NMR}$  ve APT (500 MHz, 125 MHz,  $\text{CDCl}_3$ ) kimyasal kayma değerleri

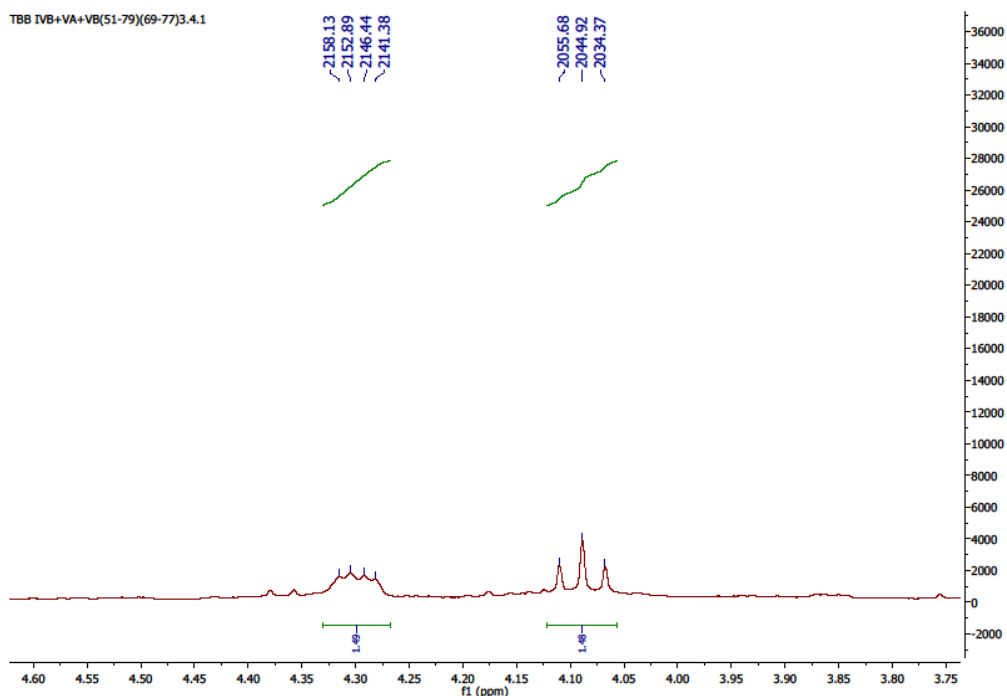
<b>H</b>	<b><math>^1\text{H-NMR}</math></b>	<b>C</b>	<b>APT</b>
1	4.73 dd (1H, $J=2.77;2.74$ Hz)	1	68.55
2	2.00 m (1H)	2	32.84
2'	2.05 m (1H)	3	72.43
3	4.22 dd (1H, $J=5.2;11.7$ Hz)	4	146.27
5	2.53 brd (1H, $J=10.9$ Hz)	5	47.17
6	4.01 dd (1H, $J=10.7;10.5$ Hz)	6	79.00
7	1.70 m (1H)	7	51.84
8	1.90 m (1H)	8	22.62
8'	1.51 m (1H)	9	36.49
9	1.70 m (1H)	10	41.70
9'	1.39 m (1H)	11	40.89
11	2.28 dq (1H, $J=6.6;13.2$ Hz)	12	179.10
13	1.17 d (3H, $J=6.9$ Hz)	13	12.70
14	0.86 s (3H)	14	18.23
15	5.23 brs (1H)	15	106.60
15'	4.96 brs (1H)	-OCO-	170.22
-OAc	2.06 s (3H)	-OAc	21.05



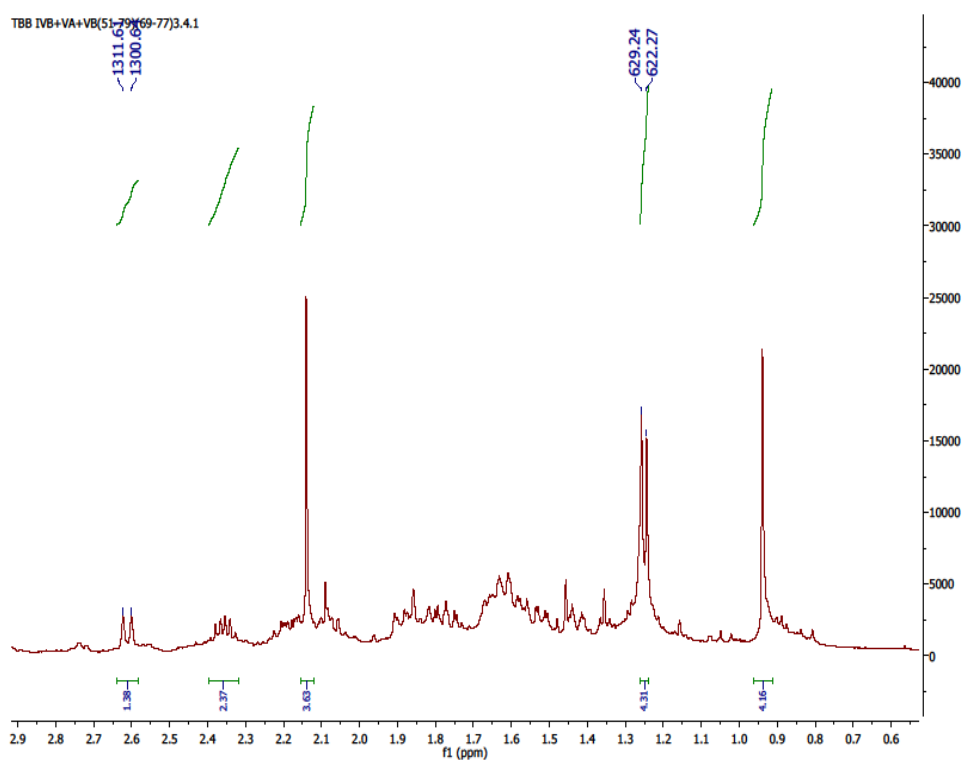
Şekil 4.55 1 $\alpha$ -Asetoksi-3-*epi*-erivanin  $^1\text{H}$  NMR spektrumu



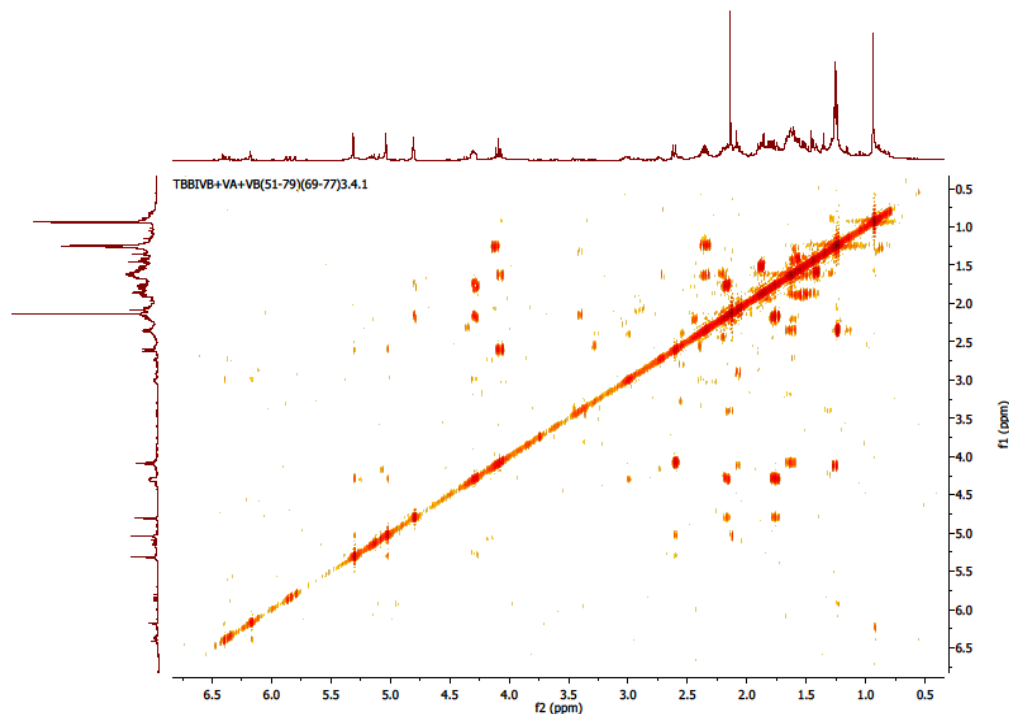
Şekil 4.55 1 $\alpha$ -Asetoksi-3-*epi*-erivanin  $^1\text{H}$  NMR spektrumu



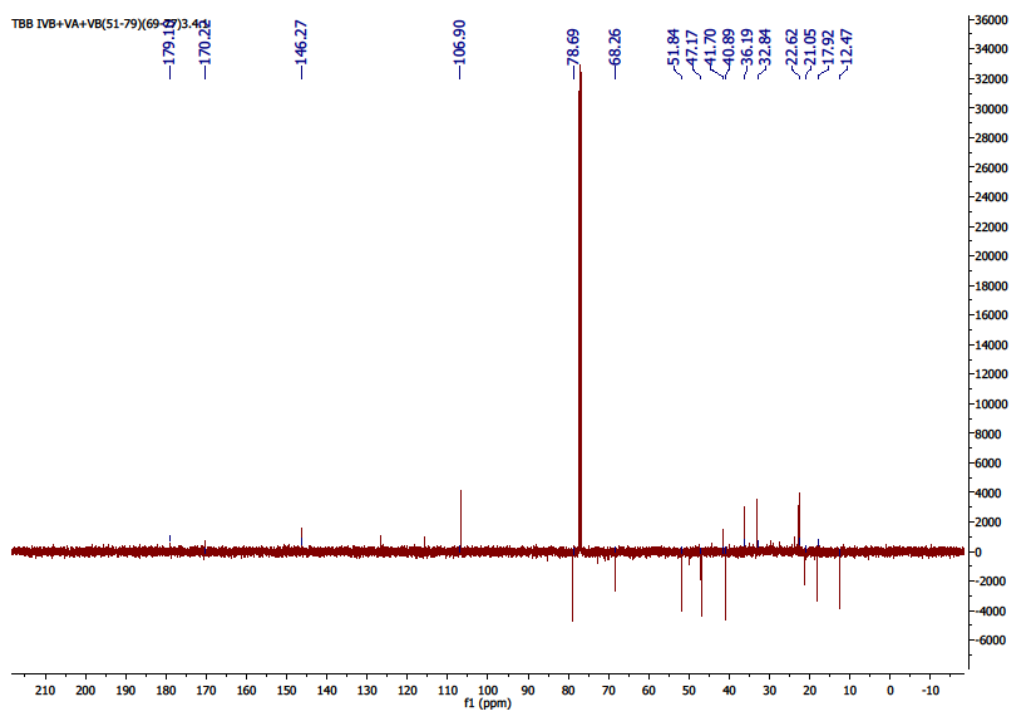
Şekil 4.55 1 $\alpha$ -Asetoksi-3-*epi*-erivanin  $^1\text{H}$  NMR spektrumu



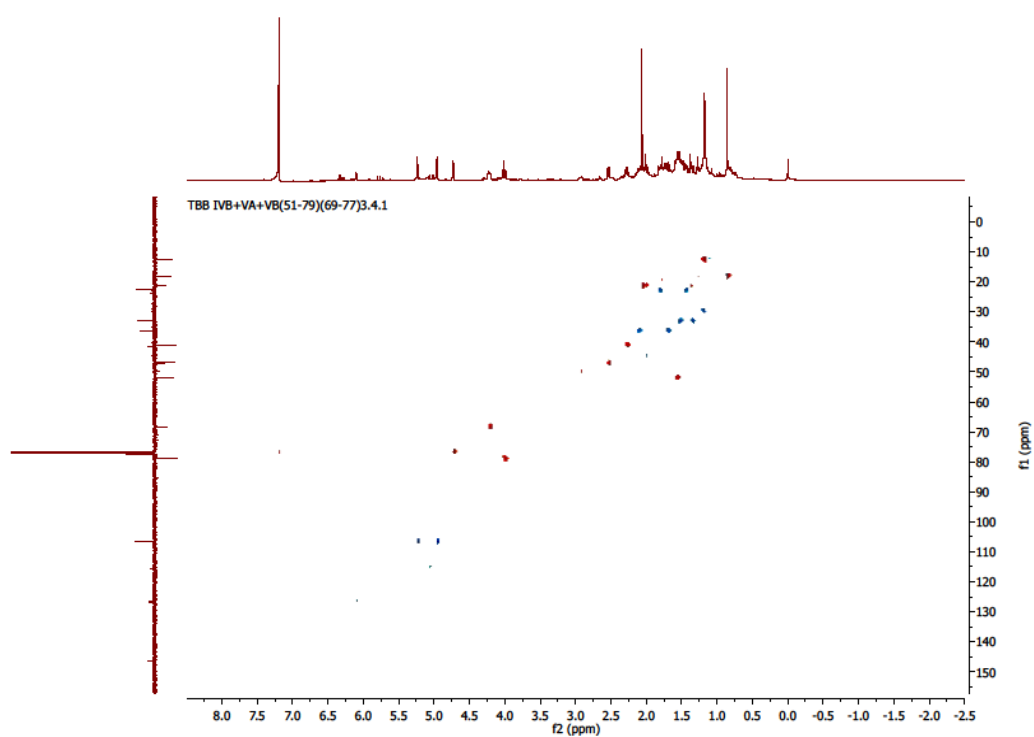
Şekil 4.55 1 $\alpha$ -Asetoksi-3-*epi*-erivanin  $^1\text{H}$  NMR spektrumu



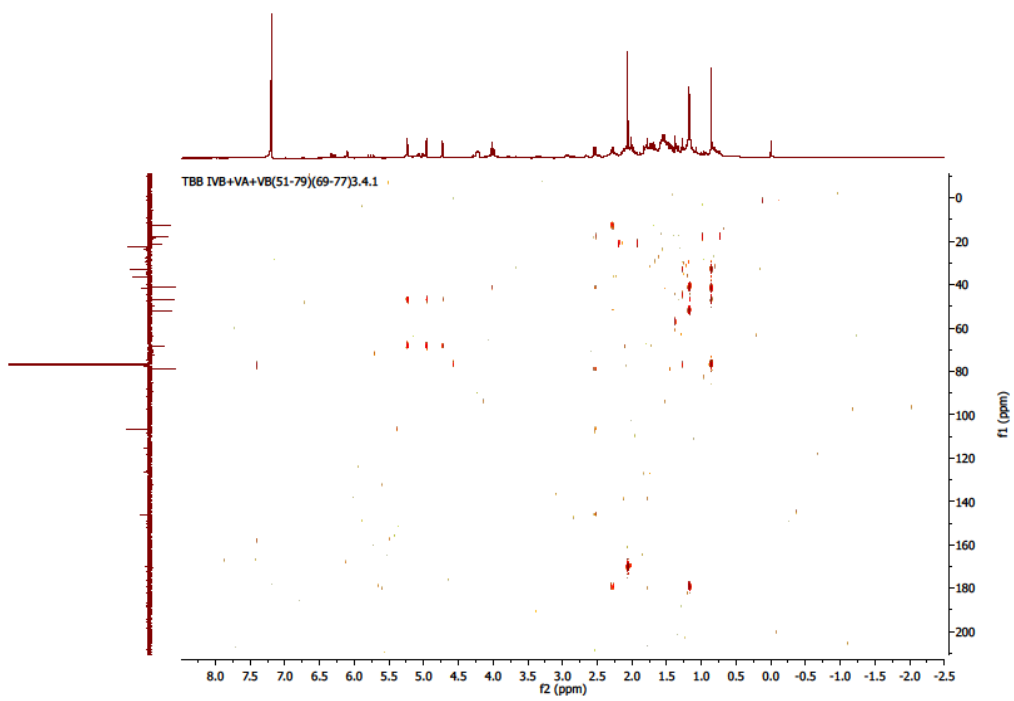
Şekil 4.56  $1\alpha$ -Asetoksi-3-*epi*-erivanin COSY spektrumu



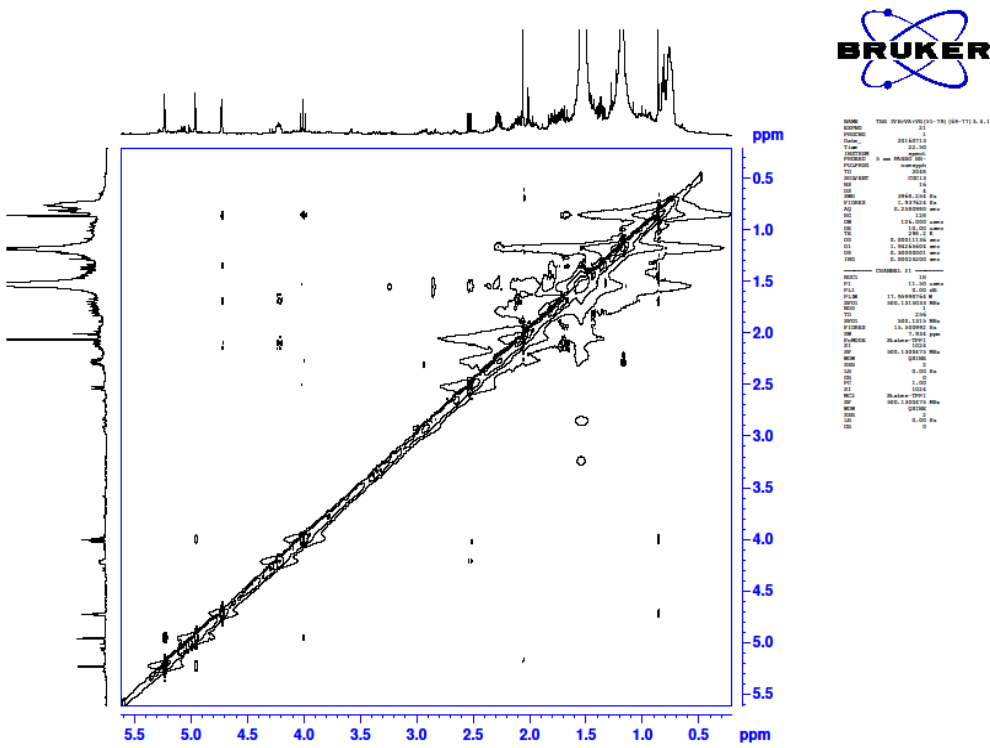
Şekil 4.57  $1\alpha$ -Asetoksi-3-*epi*-erivanin APT spektrumu



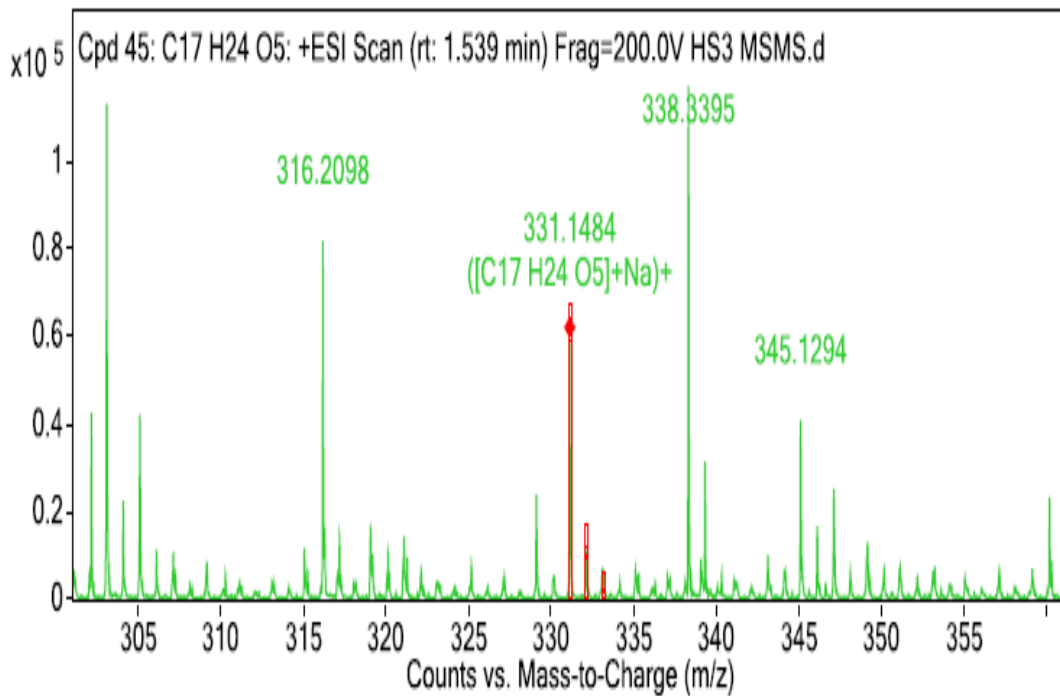
Şekil 4.58  $1\alpha$ -Asetoksi-3-*epi*-erivanin HSQC spektrumu



Şekil 4.59  $1\alpha$ -Asetoksi-3-*epi*-erivanin HMBC spektrumu



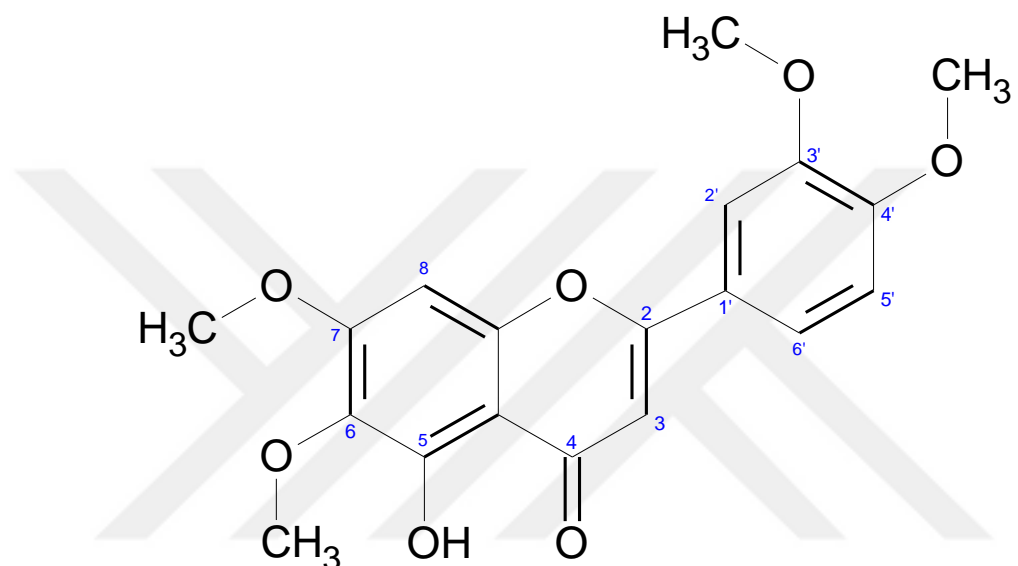
Şekil 4.60 1 $\alpha$ -Asetoksi-3-*epi*-erivanin NOESY spektrumu



Şekil 4.61 1 $\alpha$ -Asetoksi-3-*epi*-erivanin kütle spektrumu

#### 4.1.2.9 TBB IVB+VA+VB (27-50) 4.1=5-Hidroksi-3',4',6,7-tetrametoksiflavon

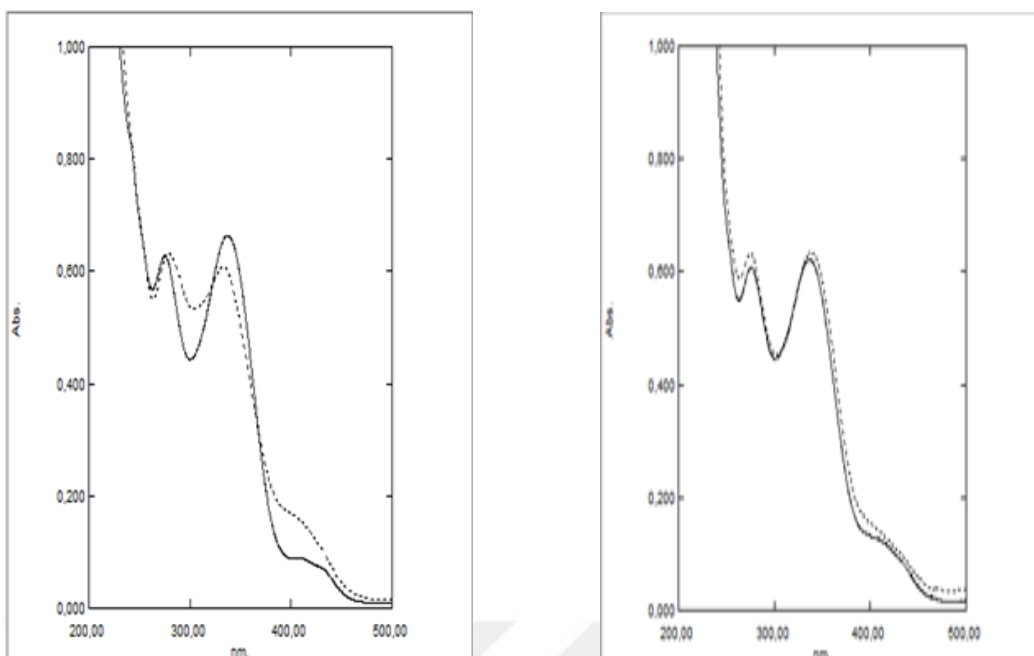
Maddenin yapısı spektral yöntemlerle ( $^1\text{H}$  NMR, UV/VIS) aydınlatılmıştır. Çizelge 4.16'da 5-Hidroksi-3',4',6,7-tetrametoksiflavon  $^1\text{H}$ -NMR (500 MHz,  $\text{CDCl}_3$ ) ve UV/VIS ( $\lambda$  Max) kimyasal kayma değerleri, Şekil 4.62'de 5-Hidroksi-3',4',6,7-tetrametoksiflavon moleküler yapısı, Şekil 4.63'te UV/VIS kayma spektrumları ve Şekil 4.64'te  $^1\text{H}$  NMR spektrumu verilmektedir. Elde edilen veriler literatürde verilen değerlerle uyum içindedir [97].



Şekil 4.62 5-Hidroksi-3',4',6,7-tetrametoksiflavon moleküler yapısı

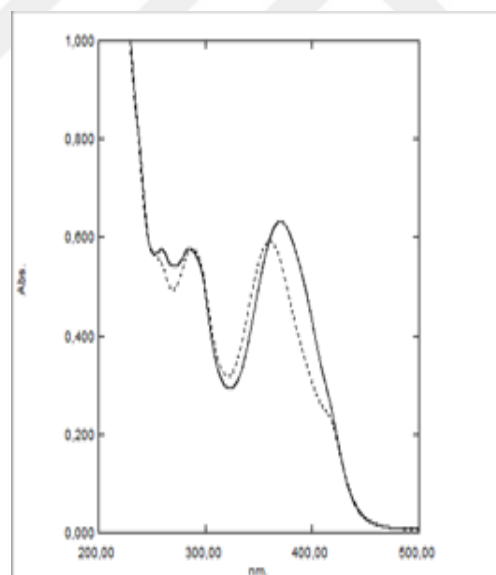
Çizelge 4.16 5-Hidroksi-3',4',6,7-tetrametoksiflavon  $^1\text{H}$ -NMR (500 MHz,  $\text{CDCl}_3$ ) ve UV/VIS ( $\lambda$  Max) kimyasal kayma değerleri

H	$^1\text{H}$ NMR	Reaktif	Band I( $\lambda$ max)	Band II ( $\lambda$ max)
3	6.60 s (1H)	MeOH	338 nm	275 nm
8	6.56 s (1H)	NaOMe	333 nm	278 nm
6'	7.53 m,o (1H, $J=2.0;8.5$ Hz)	NaOAc	337 nm	276 nm
2'	7.34 m (1H, $J=2.0$ Hz)	NaOAc+ $\text{H}_3\text{BO}_3$	338 nm	275 nm
5'	6.99 o (1H, $J=8.5$ Hz)	$\text{AlCl}_3$	370 nm	285 nm, 259 nm
-OMe	4.00 s (3H), 3.99 s (3H), 3.98 s (3H), 3.93 s (3H)	$\text{AlCl}_3+\text{HCl}$	360 nm	288 nm, 259 nm



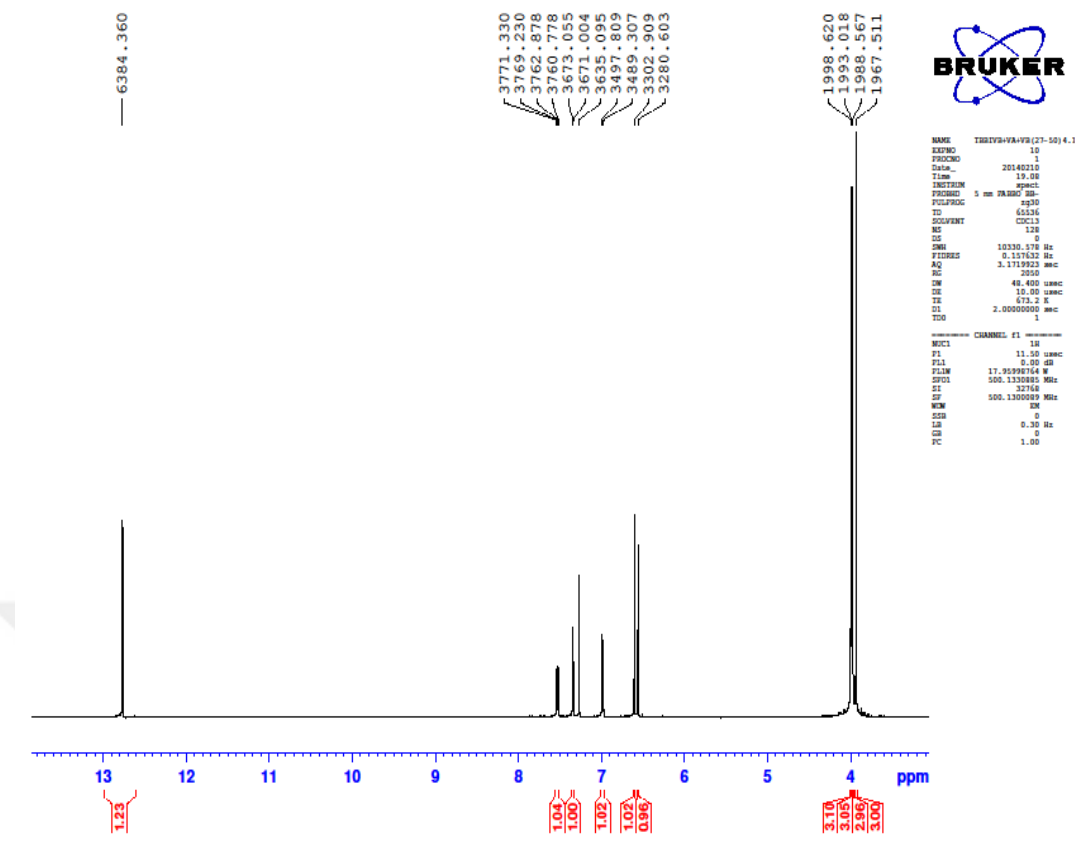
MeOH—  
MeOH+NaOMe----

MeOH+NaOAc—  
MeOH+NaOAc+H<sub>3</sub>BO<sub>3</sub> ----

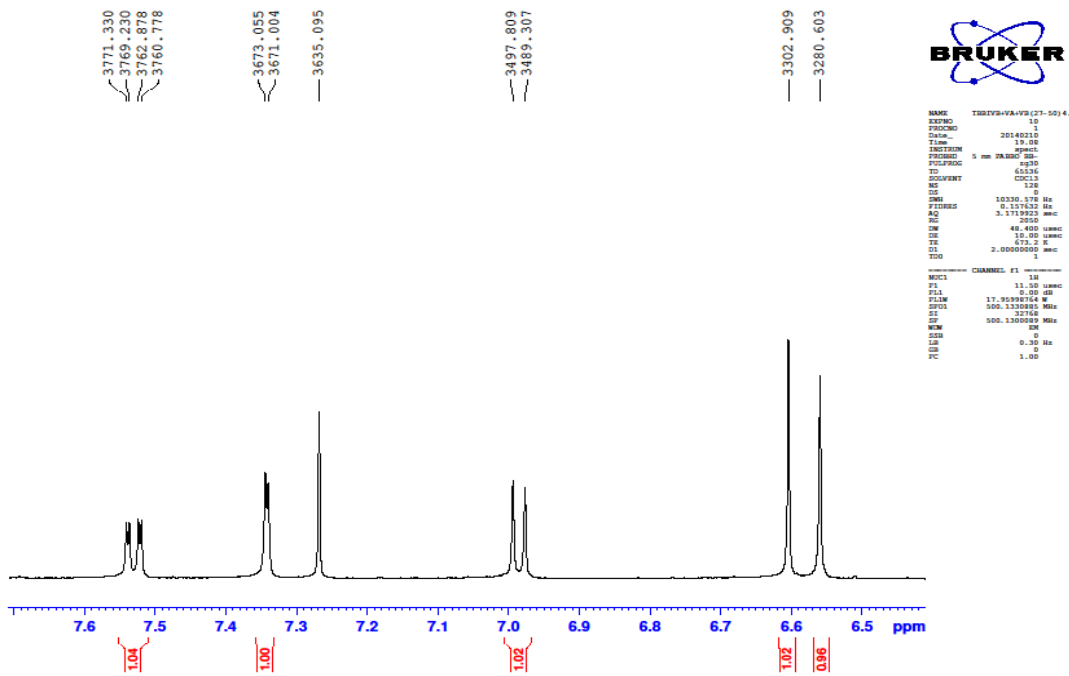


MeOH+AlCl<sub>3</sub> —  
MeOH+AlCl<sub>3</sub>+HCl -----

Sekil 4.63 5-Hidroksi-3',4',6,7-tetrametoksiflavon UV/VIS kayma spektrumları



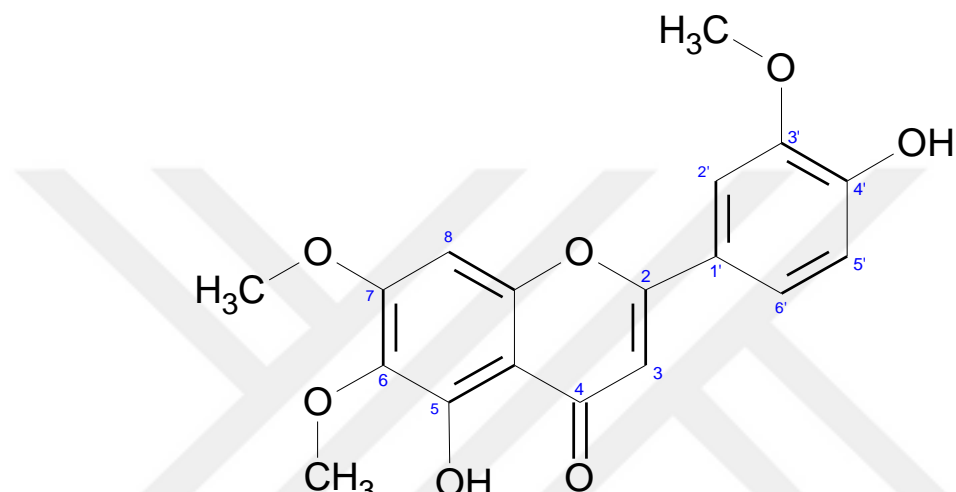
Sekil 4.64 5-Hidroksi-3',4',6,7-tetrametoksiflavon <sup>1</sup>H-NMR spektrumu



Sekil 4.64 5-Hidroksi-3',4',6,7-tetrametoksiflavon <sup>1</sup>H-NMR spektrumu

#### 4.1.2.10 TBB IVB+VA+VB (51-79) (62-68) 2.3= 5,4'-Dihidroksi-6,7,3'-trimetoksiflavon (Cirsilineol)

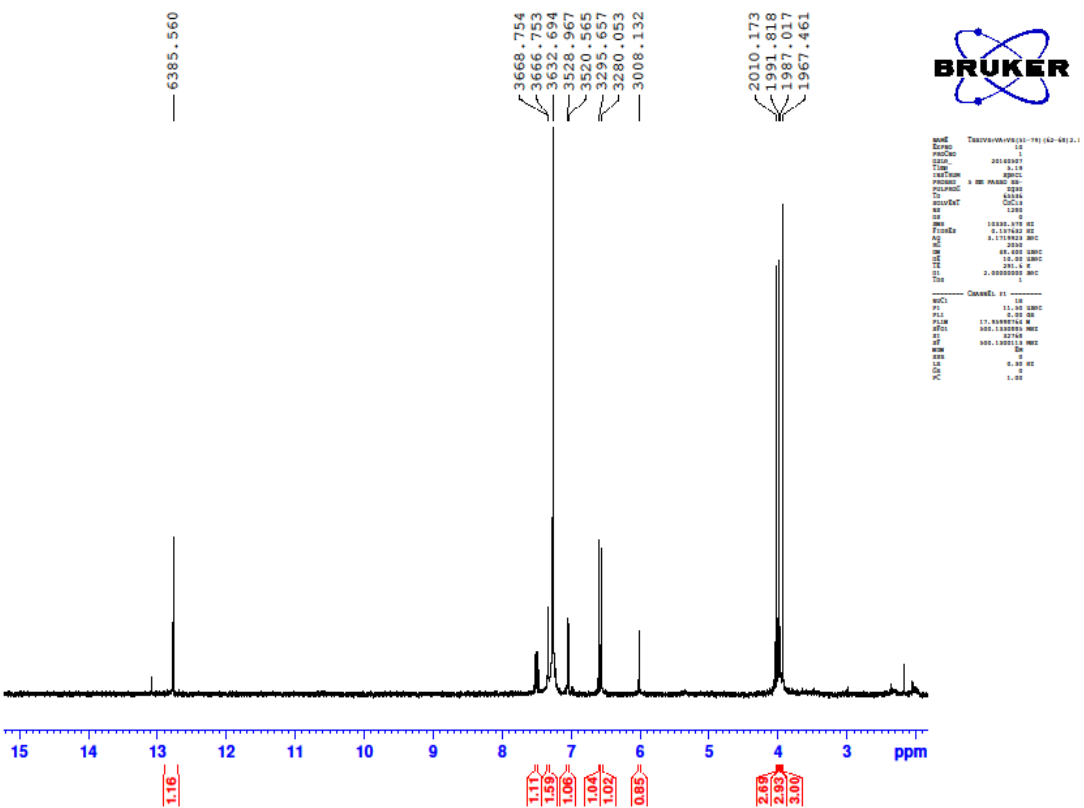
Maddenin yapısı spektral yöntemlerle ( $^1\text{H}$  NMR, UV/VIS) aydınlatılmıştır. Çizelge 4.17'de Cirsilineol  $^1\text{H}$ -NMR (500 MHz,  $\text{CDCl}_3$ ) ve UV/VIS ( $\lambda$  Max) kimyasal kayma değerleri, Şekil 4.65'te Cirsilineol moleküler yapısı, Şekil 4.66'da  $^1\text{H}$  NMR spektrumu ve Şekil 4.67'de UV/VIS kayma spektrumları verilmektedir. Elde edilen veriler literatürde verilen değerlerle uyum içindedir [72], [97], [201].



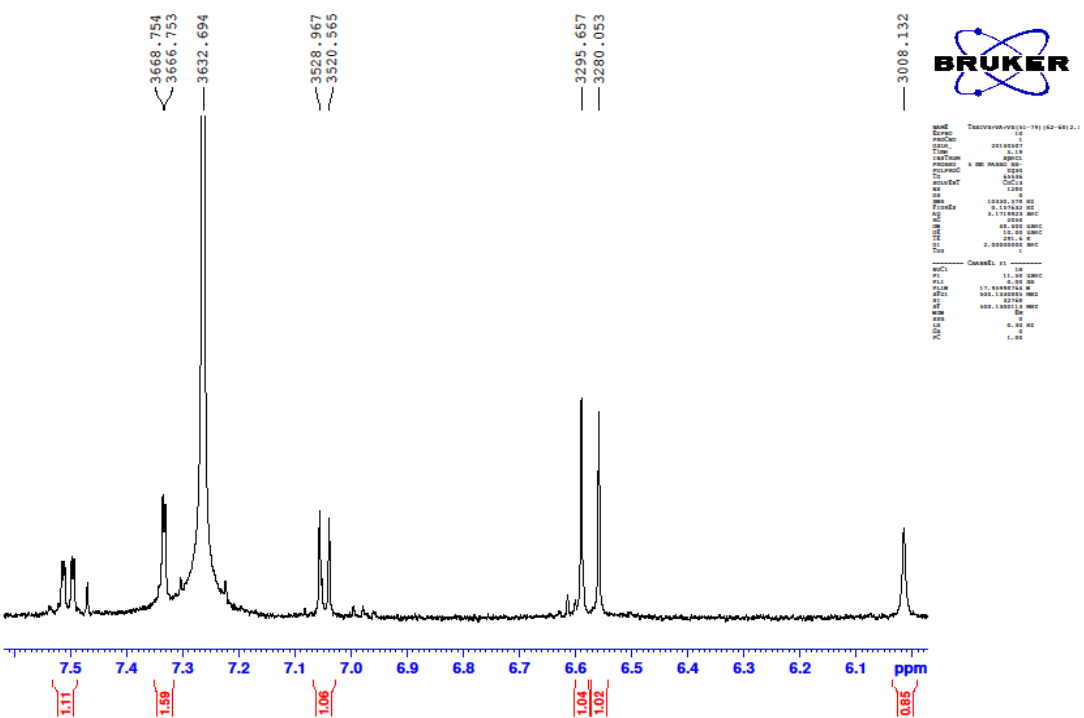
Şekil 4.65 Cirsilineol moleküler yapısı

Çizelge 4.17 Cirsilineol  $^1\text{H}$ -NMR (500 MHz,  $\text{CDCl}_3$ ) ve UV/VIS ( $\lambda$  Max) kimyasal kayma değerleri

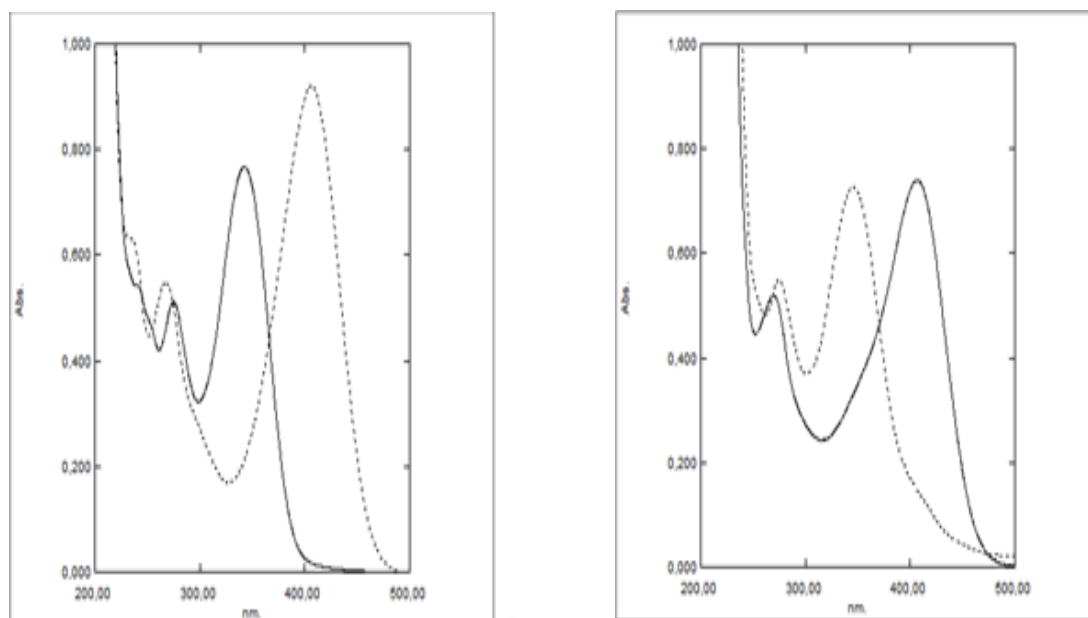
H	$^1\text{H}$ NMR	Reaktif	Band I ( $\lambda$ max)	Band II ( $\lambda$ max)
3	6.60 s (1H)	MeOH	342 nm	275 nm, 240 nm
8	6.56 s (1H)	NaOMe	406 nm	267 nm
6'	7.50 m,o (1H, $J=2.0;8.5$ Hz)	NaOAc	406 nm	269 nm
2'	7.33 m (1H, $J=2.0$ Hz)	NaOAc+ $\text{H}_3\text{BO}_3$	346 nm	275 nm
5'	7.04 o (1H, $J=8.5$ Hz)	AlCl <sub>3</sub>	376 nm	284 nm, 261 nm
-OMe	4.02 s (3H), 3.98 s (3H), 3.93 s (3H)	AlCl <sub>3</sub> +HCl	364 nm	288 nm, 259 nm



Şekil 4.66 Cirsilineol  $^1\text{H}$  NMR spektrumu

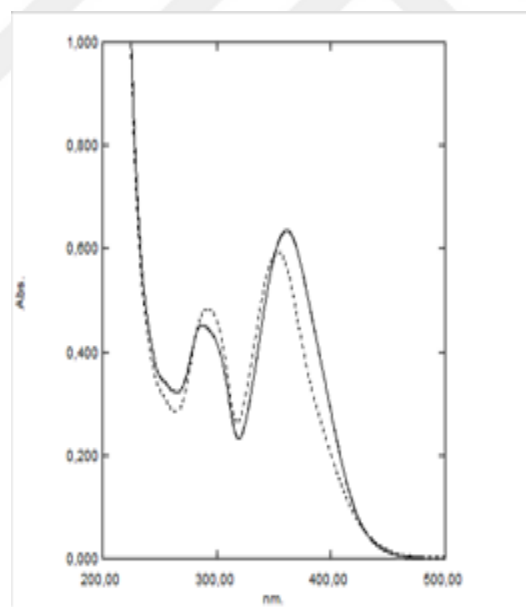


Şekil 4.66 Cirsilineol  $^1\text{H}$  NMR spektrumu



MeOH—  
MeOH+NaOMe----

MeOH+NaOAc—  
MeOH+NaOAc+H<sub>3</sub>BO<sub>3</sub> ----

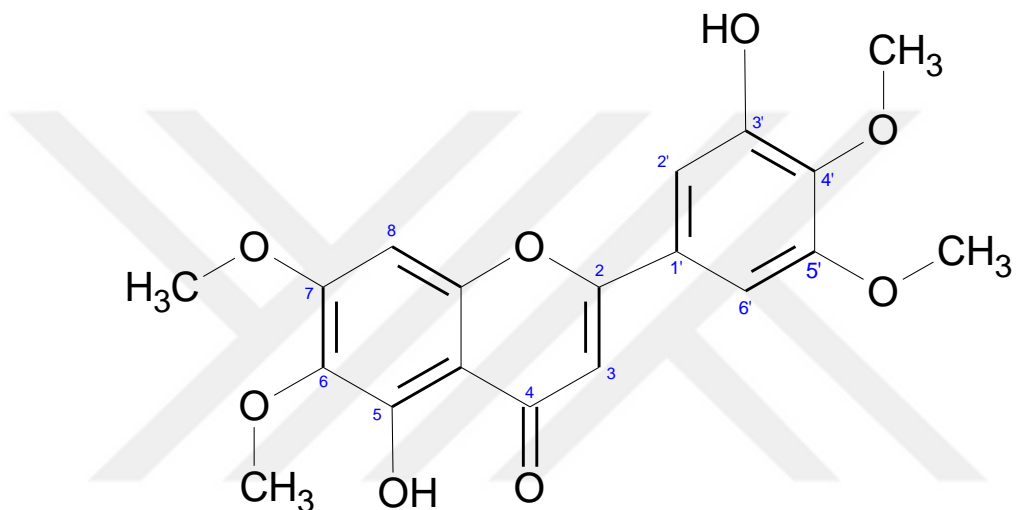


MeOH+AlCl<sub>3</sub> —  
MeOH+AlCl<sub>3</sub>+HCl ----

Şekil 4.67 Cirsilineol UV/VIS kayma spektrumları

#### 4.1.2.11 TBB IVB+VA+VB (51-79) (62-68) 2.4 = 5,3'-Dihidroksi-6, 7, 4', 5' tetrametoksiflavon

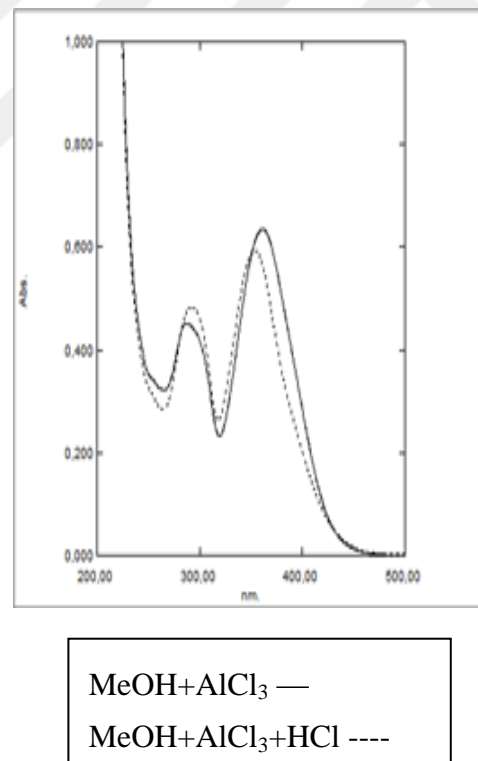
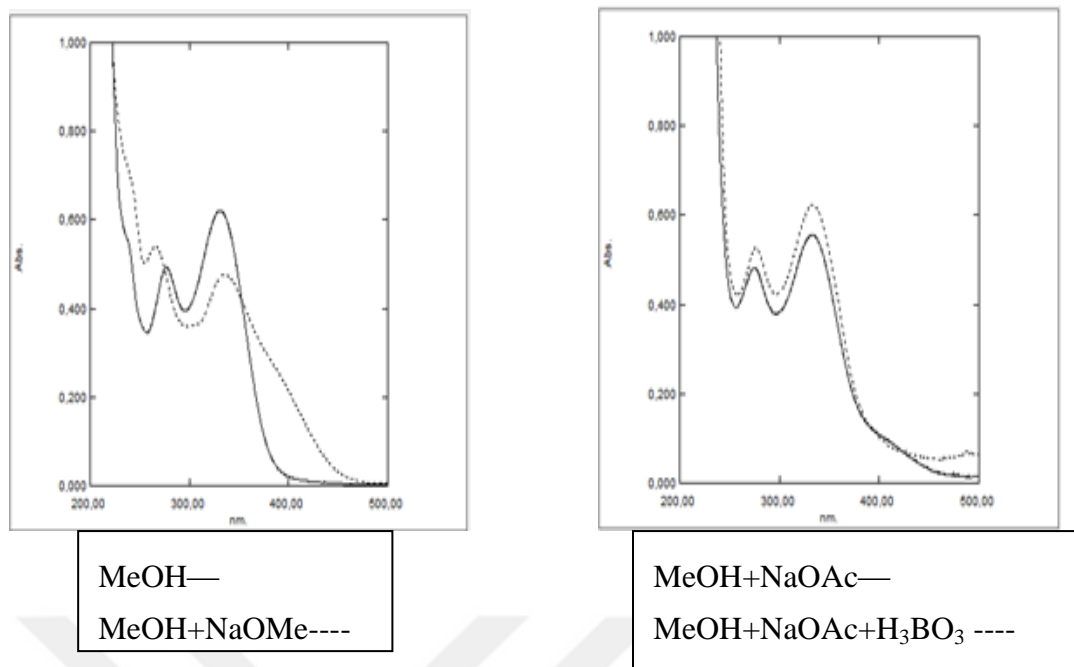
Maddenin yapısı spektral yöntemlerle ( $^1\text{H}$  NMR, UV/VIS) aydınlatılmıştır. Çizelge 4.18'de 5,3'-Dihidroksi-6,7,4',5' tetrametoksiflavon  $^1\text{H}$ -NMR (500 MHz,  $\text{CDCl}_3$ ) ve UV/VIS ( $\lambda$  Max) kimyasal kayma değerleri, Şekil 4.68'de 5,3'-Dihidroksi-6,7,4',5' tetrametoksiflavon moleküler yapısı, Şekil 4.69'da UV/VIS kayma spektrumları ve Şekil 4.70'de  $^1\text{H}$  NMR spektrumu verilmektedir. Elde edilen veriler literatürde verilen değerlerle uyum içindedir [202-204].



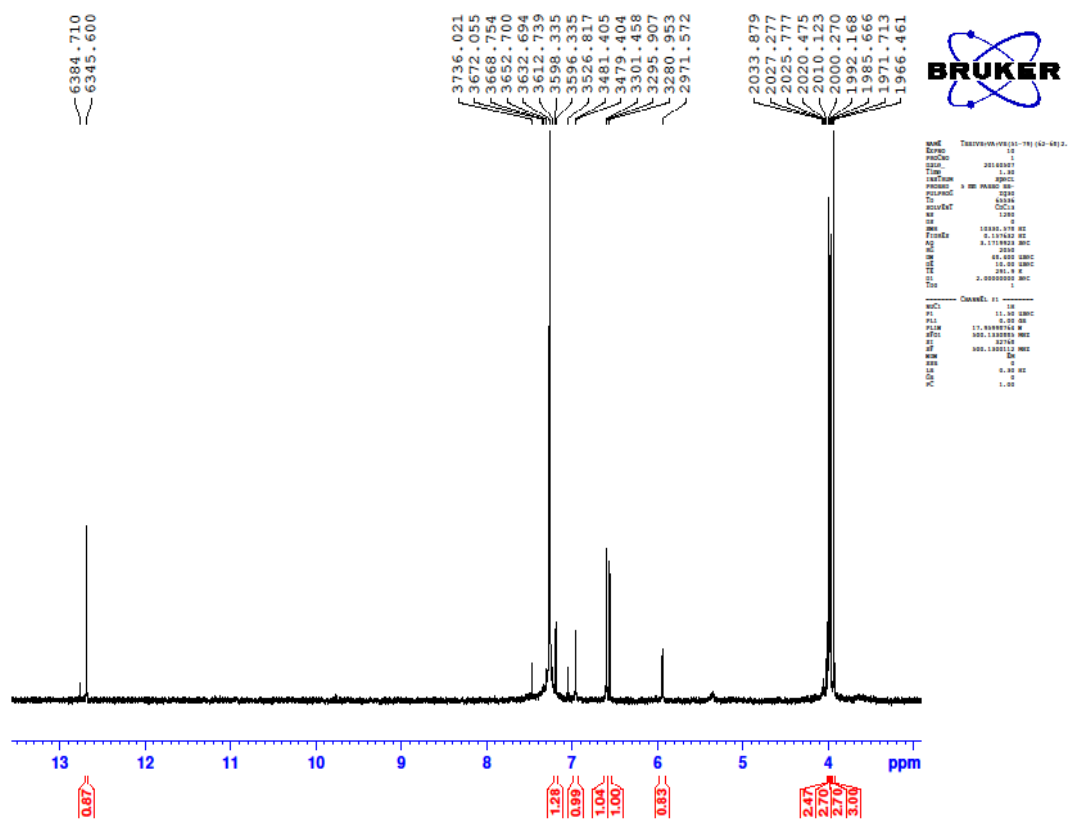
Şekil 4.68 5,3'-Dihidroksi-6,7,4',5' tetrametoksiflavon moleküler yapısı

Çizelge 4.18 5,3'-Dihidroksi-6,7,4',5' tetrametoksiflavon  $^1\text{H}$ -NMR (500 MHz,  $\text{CDCl}_3$ ) ve UV/VIS ( $\lambda$  Max) kimyasal kayma değerleri

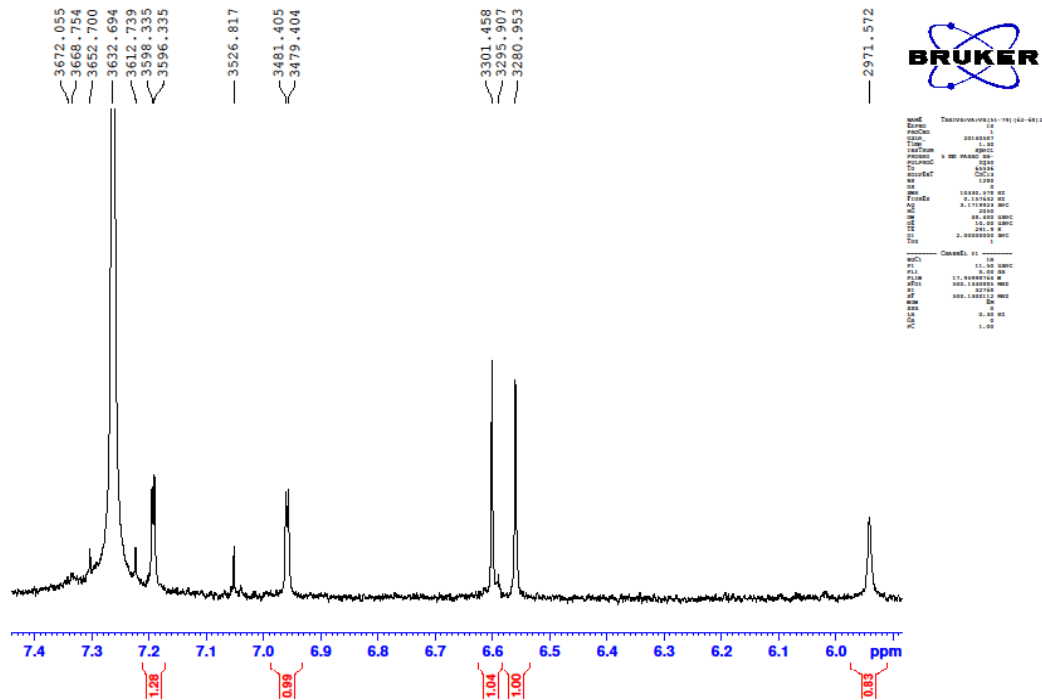
H	$^1\text{H}$ NMR	Reaktif	Band I ( $\lambda$ max)	Band II ( $\lambda$ max)
3	6.60 s (1H)	MeOH	330 nm	277 nm
8	6.56 s (1H)	NaOMe	335 nm	265 nm
6'	7.19 m (1H, $J=2$ Hz)	NaOAc	332 nm	274 nm
2'	6.96 m (1H, $J=2$ Hz)	NaOAc+ $\text{H}_3\text{BO}_3$	333 nm	275 nm
-OMe	4.00 s (3H), 3.99 s (3H), 3.98 s (3H), 3.93 s (3H)	$\text{AlCl}_3$	361 nm	287 nm
		$\text{AlCl}_3+\text{HCl}$	353 nm	292 nm



Şekil 4.69 5,3'-Dihidroksi-6,7,4',5'-tetrametoksiflavon UV/VIS kayma spektrumları



Şekil 4.70 5,3'-Dihidroksi-6,7,4',5' tetrametoksiflavon  $^1\text{H}$  NMR spektrumu



Şekil 4.70 5,3'-Dihidroksi-6,7,4',5' tetrametoksiflavon  $^1\text{H}$  NMR spektrumu

#### **4.1.3 Fr5-TBB IID+IVA fraksiyonundan izole edilen maddeler**

TBB IID+IVA fraksiyonu Benzen:CHCl<sub>3</sub>:Eter (1:1:1) sisteminde MPLC yapılmıştır. MPLC çalışması sonucunda 281 fraksiyon toplanmış ve ince tabaka kromatografisi yardımıyla benzer fraksiyonlar birleştirilmiştir. MPLC'de kullanılan çözücü sistemleri ve fraksiyonlar Çizelge 4.19'da verilmektedir.

TBB IID+IVA (28-35) fraksiyonu Hekzan:CHCl<sub>3</sub>:Eter (3:1:2) sisteminde dört defa preparatif ince tabaka kromatografisinde yürütülmüş ve 5 bant elde edilmiştir. 4. banttan TBB IID+IVA (28-35) 4.3.2 kodlu Artesin 7 mg, TBB IID+IVA (28-35) 4.4.3 kodlu Germacranolide with an 1,5-ether linkage adlı madde 4 mg ve TBB IID+IVA (28-35) 4.4.7 kodlu Umbelliferone 8 mg miktarında elde edilmiştir.

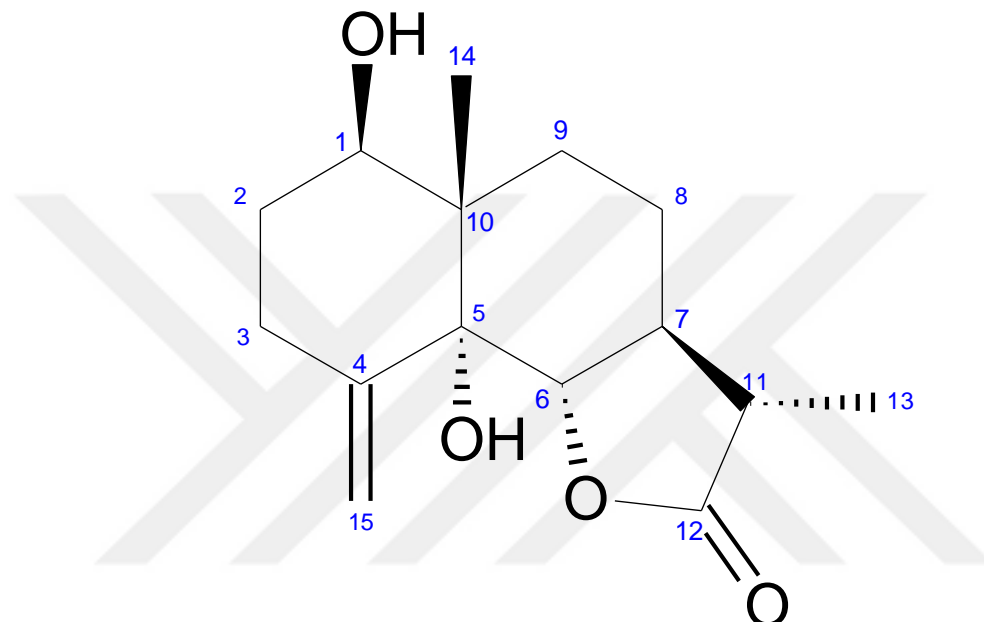
TBB IID+IVA (50-59) fraksiyonu CHCl<sub>3</sub>:Etil asetat (5:1) sisteminde 3 defa preparatif ince tabaka kromatografisinde yürütülerek 4 bant elde edilmiştir. 4. banttan TBB IID+IVA (50-59) 4.2 kodlu Artemin 10 mg miktarında elde edilmiştir.

Çizelge 4.19 TBB IID+IVA fraksiyonunun MPLC çözücü sistemleri

<b>Kullanılan çözücü sistemi</b>	<b>İlk Fraksiyon</b>	<b>Son Fraksiyon</b>
Benzen:CHCl <sub>3</sub> :Eter(1:1:1)	TBB IID+IVA.1	TBBIID+IVA.100
Benzen:CHCl <sub>3</sub> :Eter(3:4:4)	TBBIID+IVA101	TBBIID+IVA.150
Benzen:CHCl <sub>3</sub> :Eter(1:2:2)	TBBIID+IVA.151	TBBIID+IVA.180
CHCl <sub>3</sub> :Eter(1:1)	TBBIID+IVA.181	TBBIID+IVA.200
Eter	TBBIID+IVA.201	TBBIID+IVA.240
Eter:EA(1:1)	TBBIID+IVA.241	TBBIID+IVA.260
EA	TBBIID+IVA.261	TBBIID+IVA.275
MeOH	TBBIID+IVA.276	TBBIII+IVA.281

#### 4.1.3.1 TBB IID+IVA (50-59) 4.2=Artemin

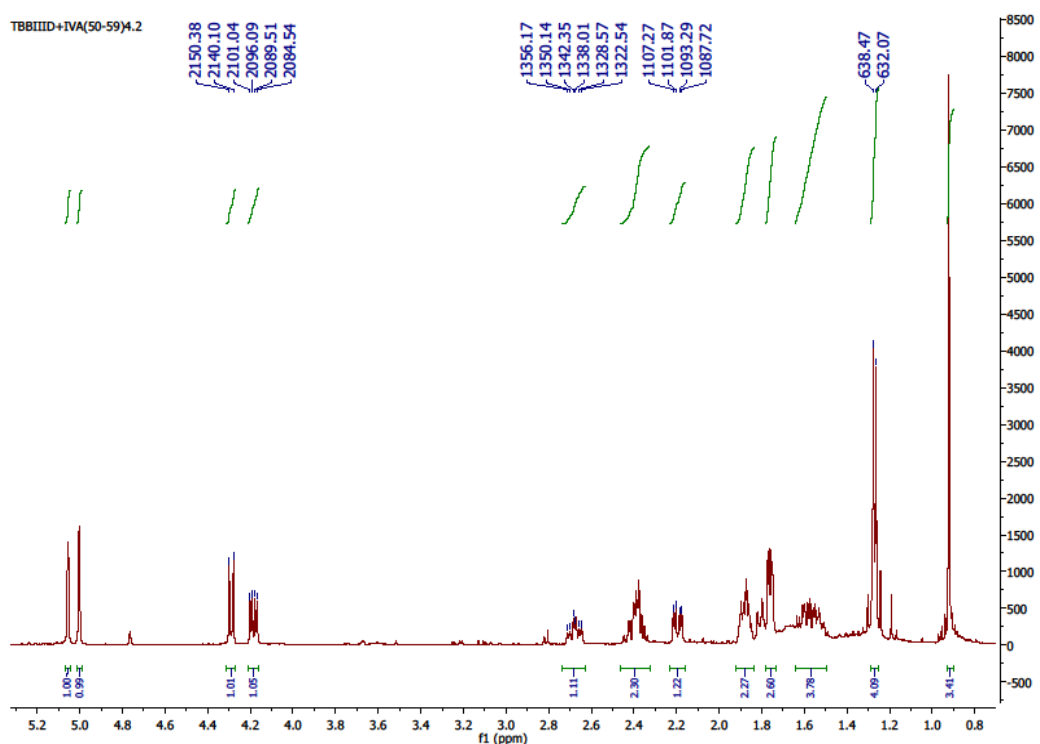
Maddenin yapısı spektral yöntemlerle ( $^1\text{H-NMR}$ , APT, COSY, HSQC, HMBC) aydınlatılmıştır. Çizelge 4.20'de Artemin  $^1\text{H-NMR}$  ve APT kimyasal kayma değerleri, Şekil 4.71'de Artemin moleküler yapısı, Şekil 4.72'de  $^1\text{H}$  NMR spektrumu, Şekil 4.73'te COSY NMR spektrumu, Şekil 4.74'te APT spektrumu, Şekil 4.75'te HSQC spektrumu ve Şekil 4.76'da HMBC spektrumu verilmektedir. Elde edilen veriler literatürde verilen değerlerle uyum içindedir [179].



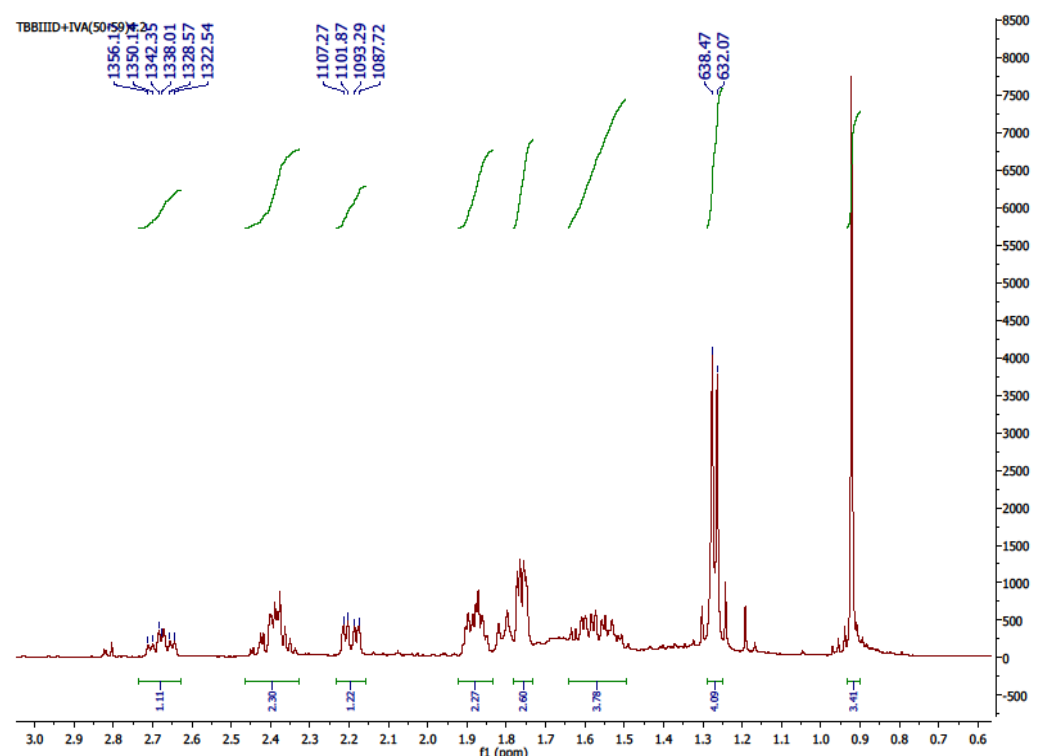
Şekil 4.71 Artemin moleküler yapısı

Çizelge 4.20 Artemin  $^1\text{H-NMR}$  ve APT (500 MHz, 125 MHz,  $\text{CDCl}_3$ ) kimyasal kayma değerleri

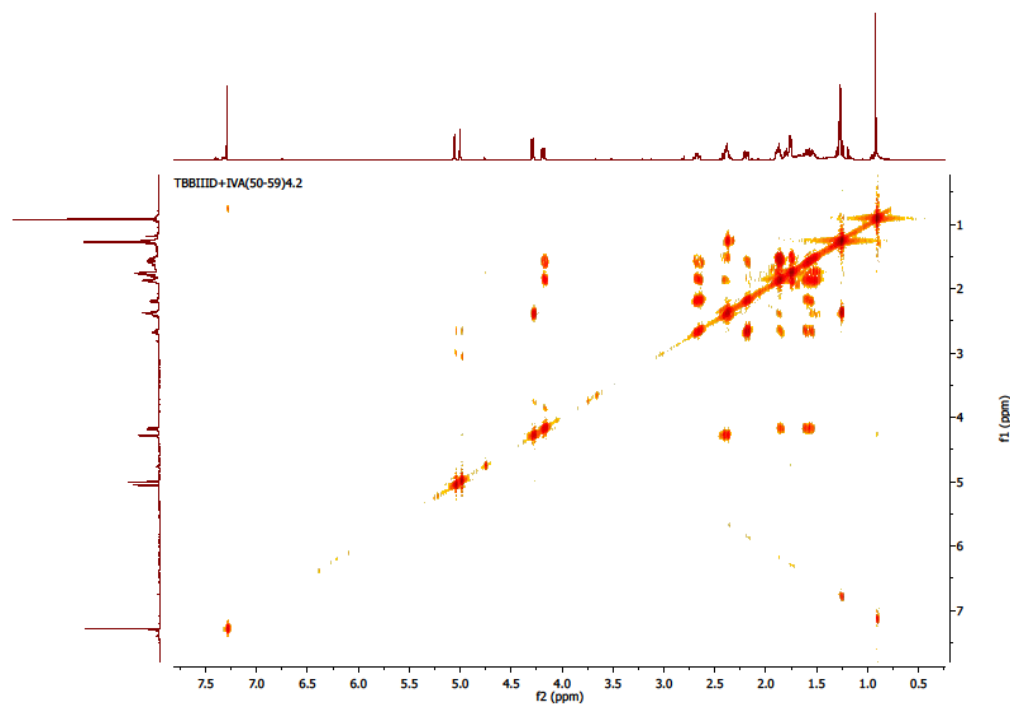
<b>H</b>	<b><math>^1\text{H-NMR}</math></b>	<b>C</b>	<b>APT</b>
1	4.18 dd (1H, $J=4.95;11.5$ Hz)	1	71.69
2	1.88 m (1H)	2	29.6
2'	1.58 m (1H)	3	29.88
3	2.68 ddd (1H, $J=6.0;14;14$ Hz)	4	144.96
3'	2.20 dd (1H, $J=5.4;13.9$ Hz)	5	76.66
6	4.30 d (1H, $J=10.28$ Hz)	6	81.53
7	2.40 m (1H)	7	45.36
8	1.88 m (1H)	8	22.79
8'	1.57 m (1H)	9	30.3
9	1.60 m (1H)	10	44.54
9'	1.85 m (1H)	11	41.21
11	2.40 m (1H)	12	179.4
13	1.27 d (3H, $J=6.4$ Hz)	13	12.43
14	0.92 s (3H)	14	13.21
15	5.05 brs (1H)	15	112.39
15'	5.00 brs (1H)		



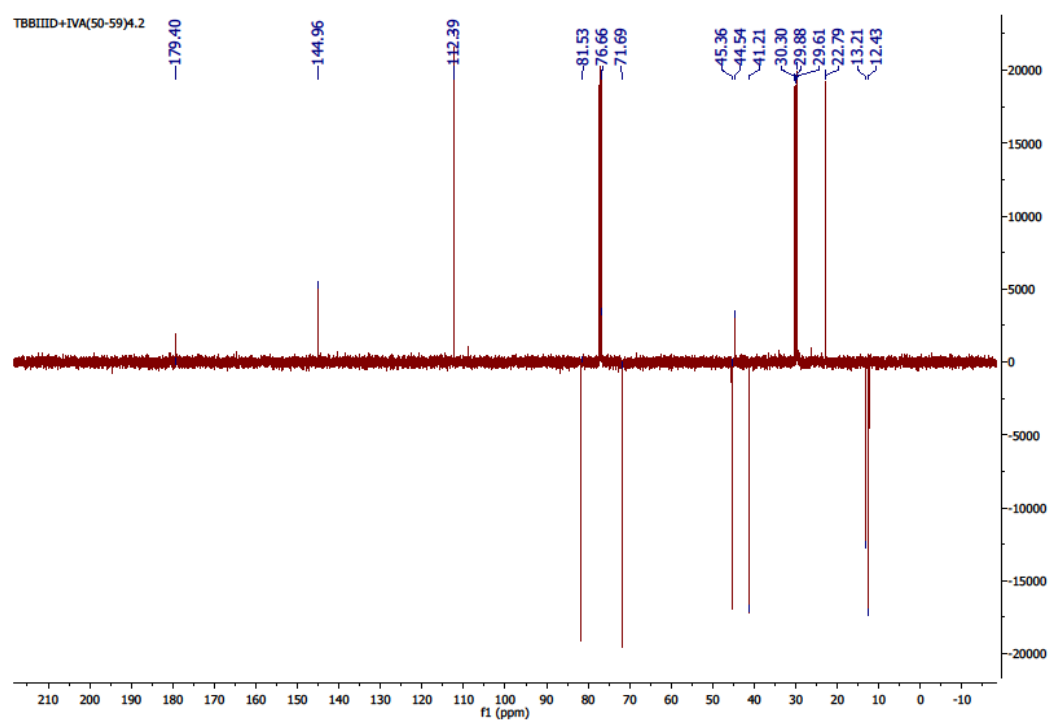
Şekil 4.72 Artemin  $^1\text{H}$  NMR spektrumu



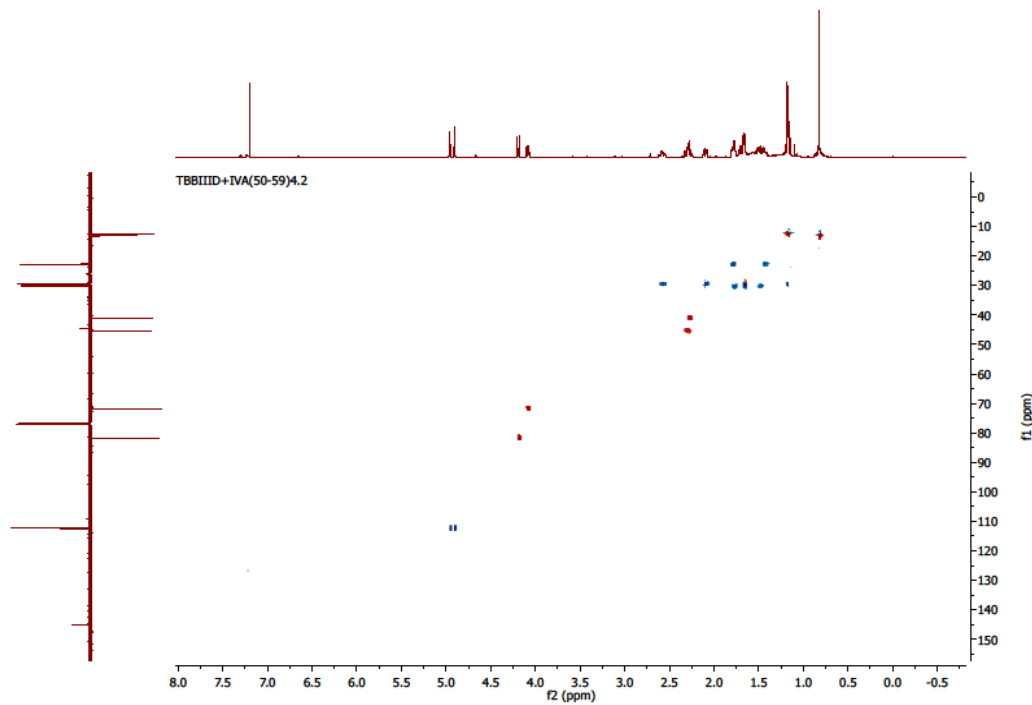
Şekil 4.72 Artemin  $^1\text{H}$  NMR spektrumu



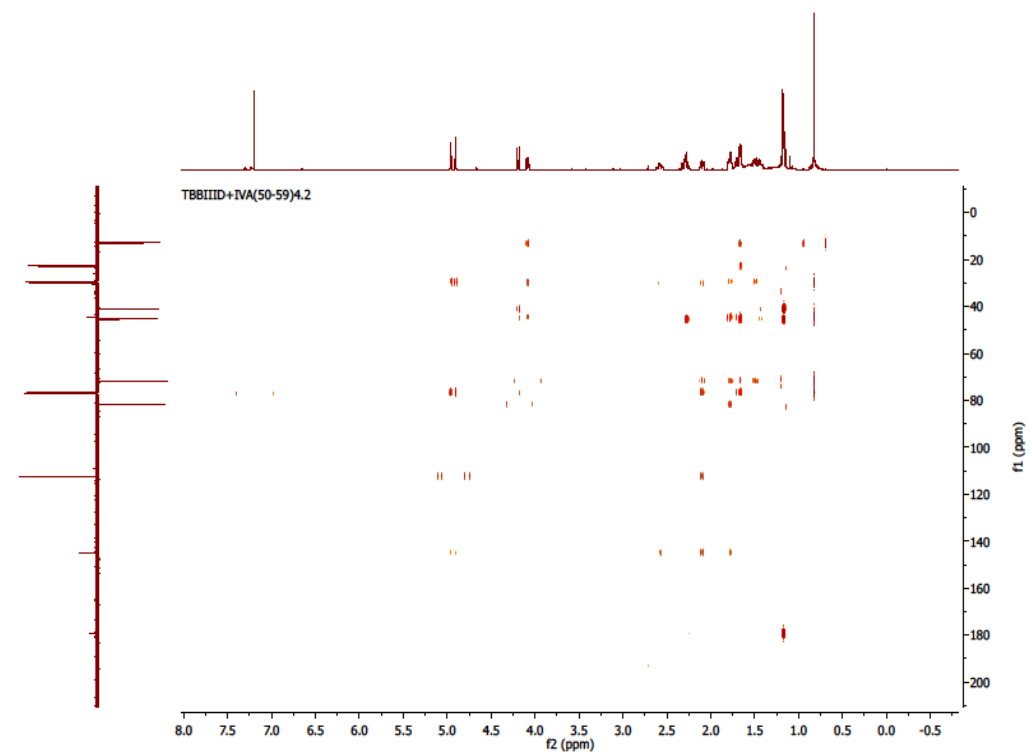
Şekil 4.73 Artemin COSY spektrumu



Şekil 4.74 Artemin APT spektrumu



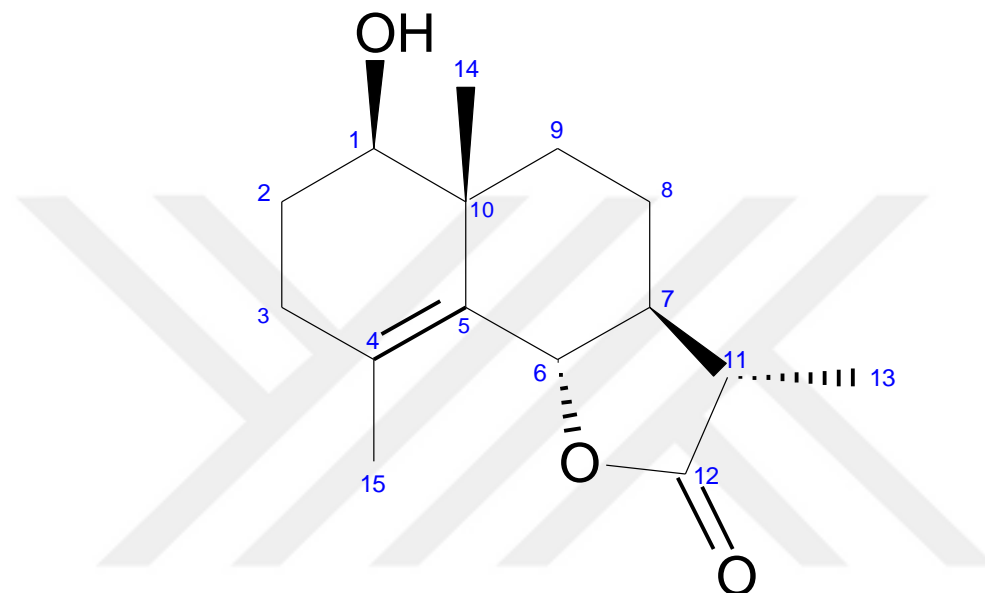
Sekil 4.75 Artemin HSQC spektrumu



Sekil 4.76 Artemin HMBC spektrumu

#### 4.1.3.2 TBB IID+IVA (28-35) 4.3.2=Artesin

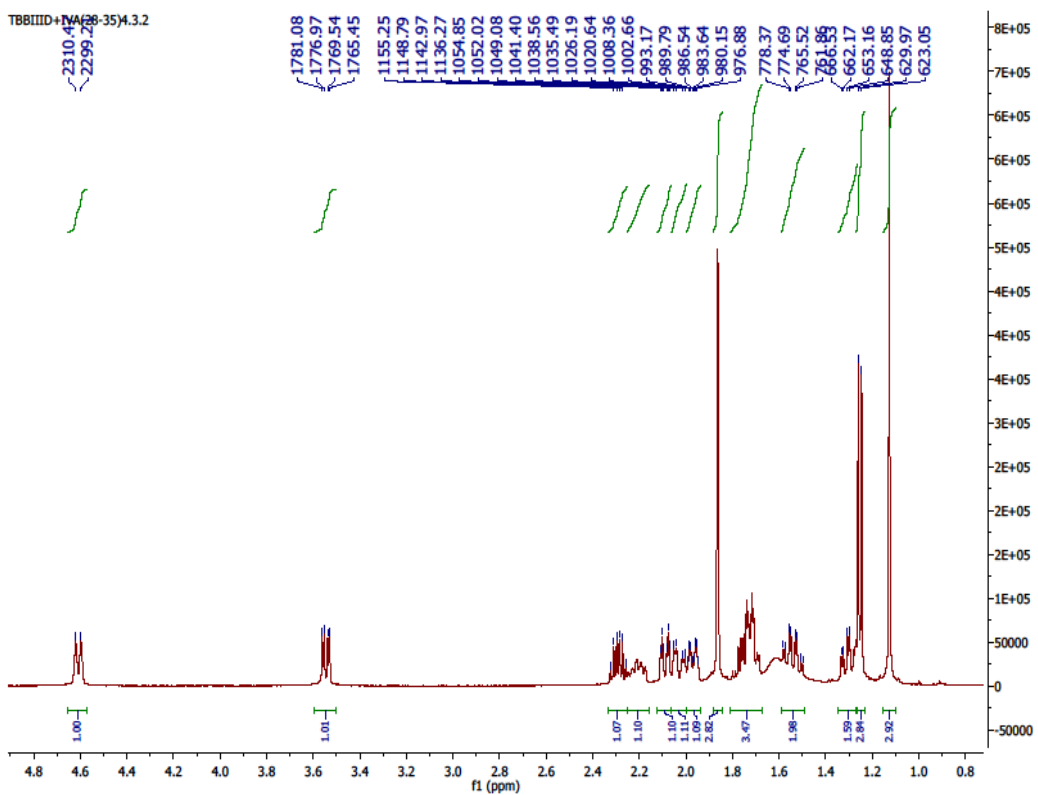
Maddenin yapısı spektral yöntemlerle ( $^1\text{H-NMR}$ , APT, COSY HSQC, HMBC) aydınlatılmıştır. Çizelge 4.21'de Artesin  $^1\text{H-NMR}$  ve APT kimyasal kayma değerleri, Şekil 4.77'de Artesin moleküler yapısı, Şekil 4.78'de  $^1\text{H}$  NMR spektrumu, Şekil 4.79'da COSY spektrumu, Şekil 4.80'de APT spektrumu, Şekil 4.81'de HSQC spektrumu ve Şekil 4.82'de HMBC spektrumu verilmektedir. Elde edilen veriler literatürde verilen değerlerle uyum içindedir [179].



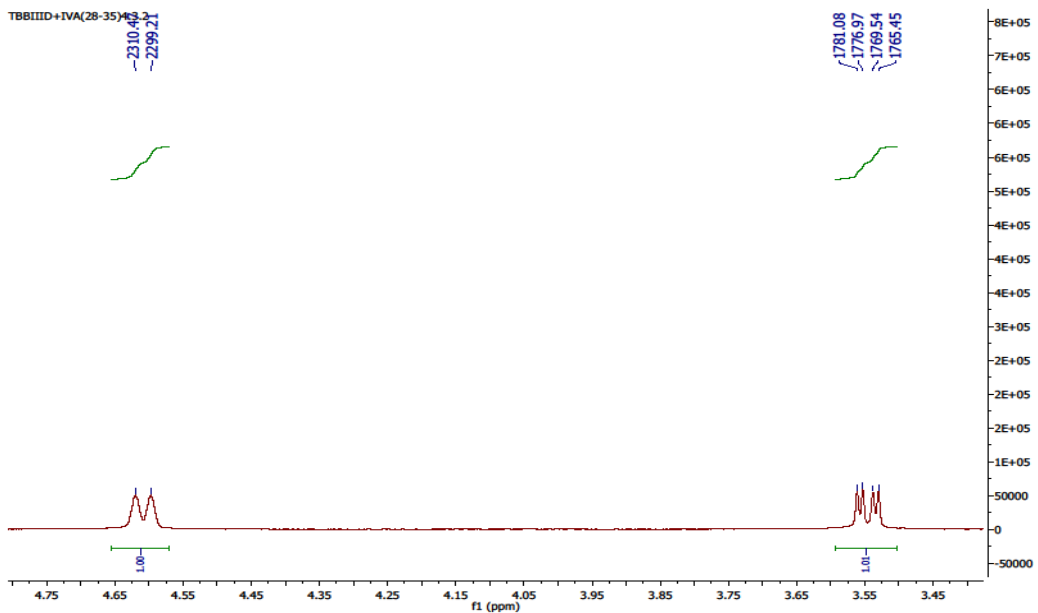
Şekil 4.77 Artesin moleküler yapısı

Çizelge 4.21 Artesin  $^1\text{H-NMR}$  ve APT (500 MHz, 125 MHz,  $\text{CDCl}_3$ ) kimyasal kayma değerleri

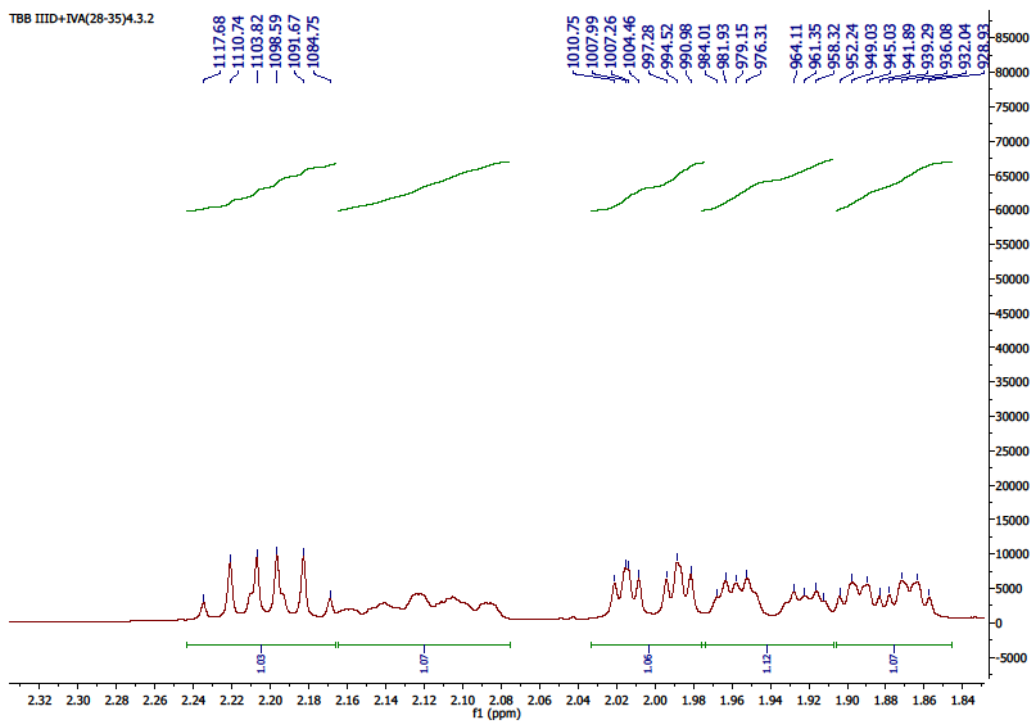
<b>H</b>	<b><math>^1\text{H-NMR}</math></b>	<b>C</b>	<b>APT</b>
1	3.54 dd (1H, $J=4.0;11.5$ Hz)	1	77.69
2	1.72 m (1H)	2	27.06
2'	1.72 m (1H)	3	38.3
3	2.20 m (1H)	4	125.92
3'	2.00 m (1H)	5	128.75
6	4.61 d (1H, $J=10.28$ Hz)	6	83.1
7	1.72 m (1H)	7	52.86
8	1.54 dddd (1H, $J=3.5;12.68;12.7;12.85$ Hz)	8	24.18
8'	1.30 m (1H)	9	33.35
9	2.09 ddd (1H, $J=2.8;2.8;13.46$ Hz)	10	41.7
9'	1.97 ddd (1H, $J=3.3;6.68;9.64$ Hz)	11	40.89
11	2.29 dq (1H, $J=7.0;13$ Hz)	12	178.57
13	1.25 d (3H, $J=7$ Hz)	13	12.24
14	1.12 s (3H)	14	18.46
15	1.86 brs (3H)	15	19.77



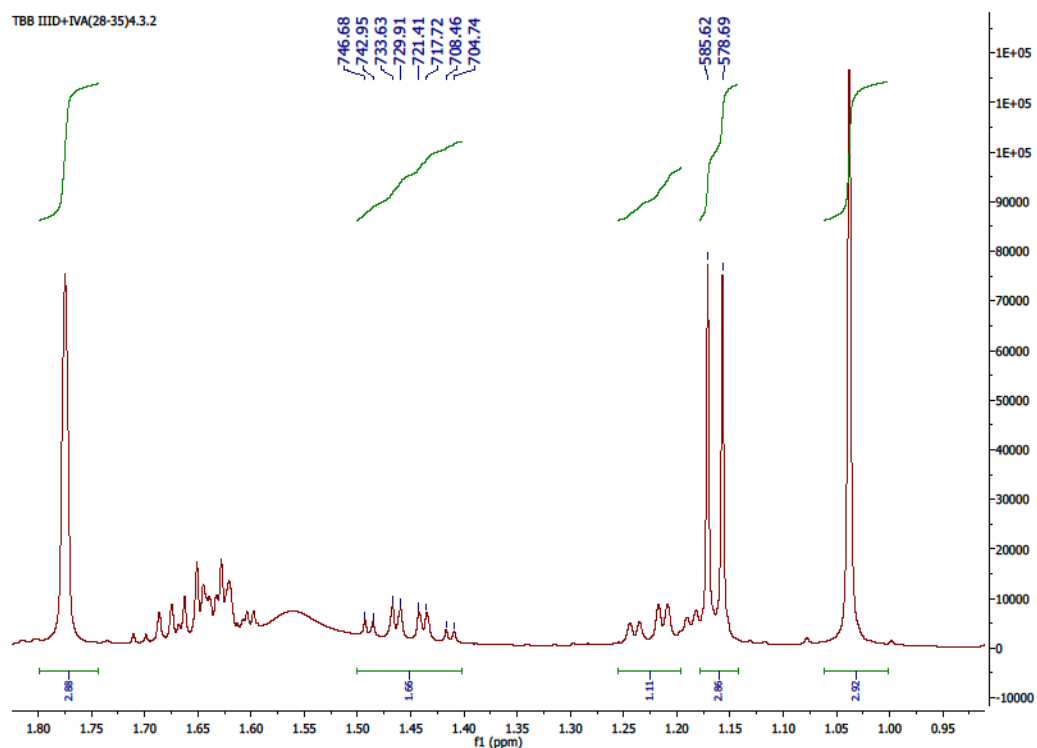
Şekil 4.78 Artesin  $^1\text{H}$  NMR spektrumu



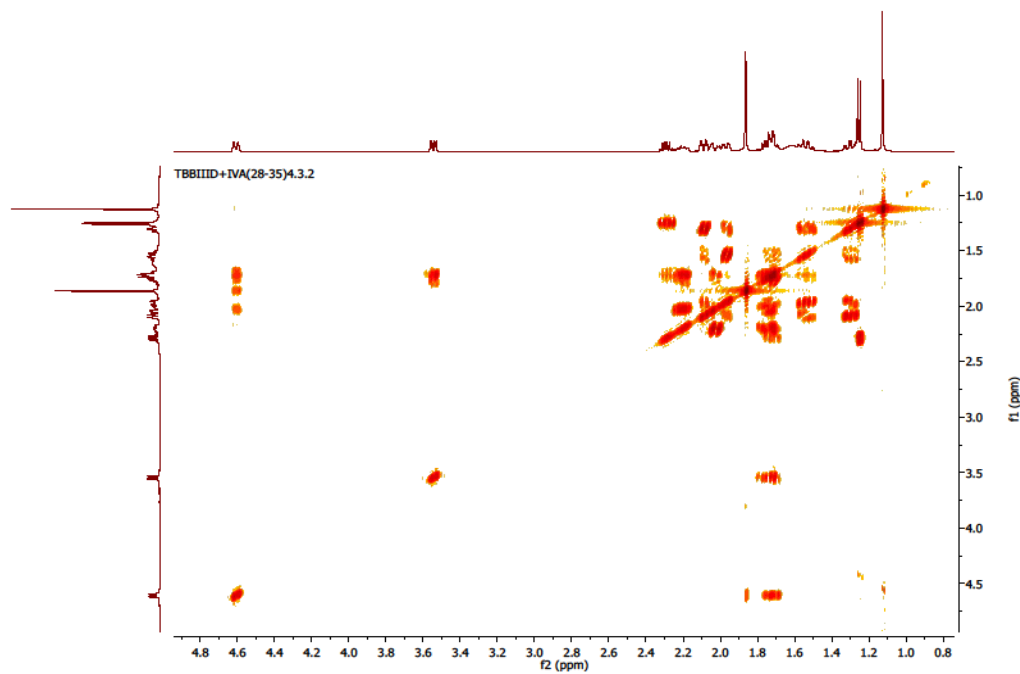
Şekil 4.78 Artesin  $^1\text{H}$  NMR spektrumu



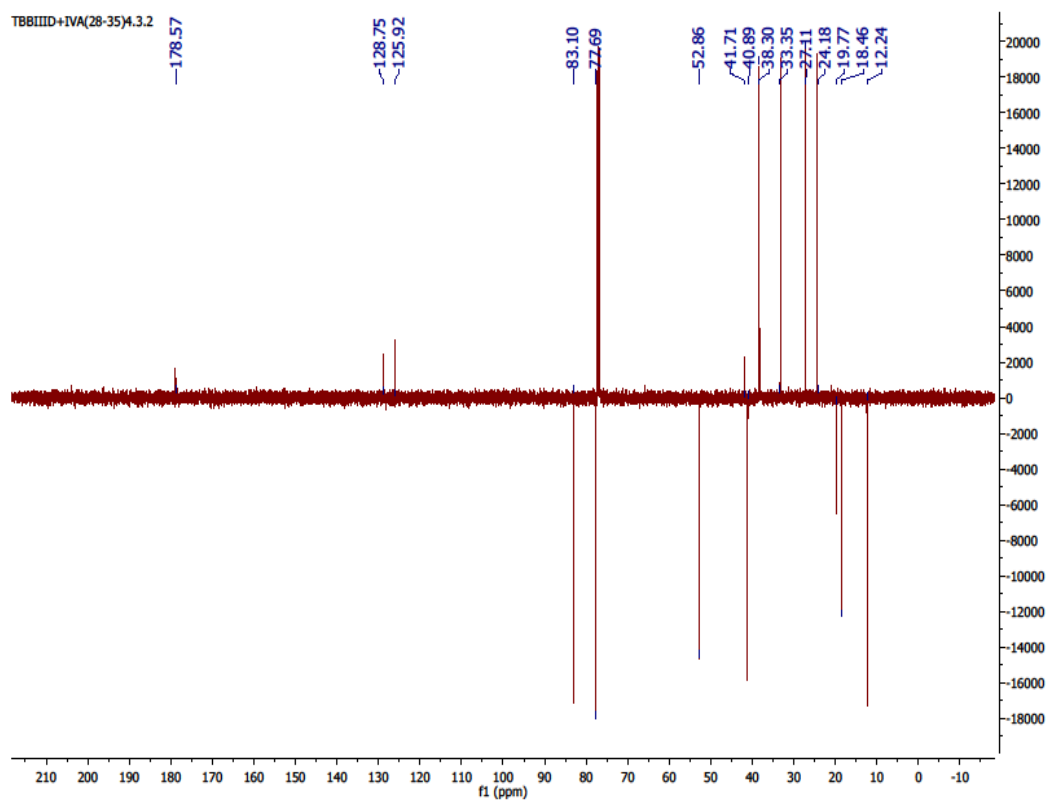
Sekil 4.78 Artesin  $^1\text{H}$  NMR spektrumu



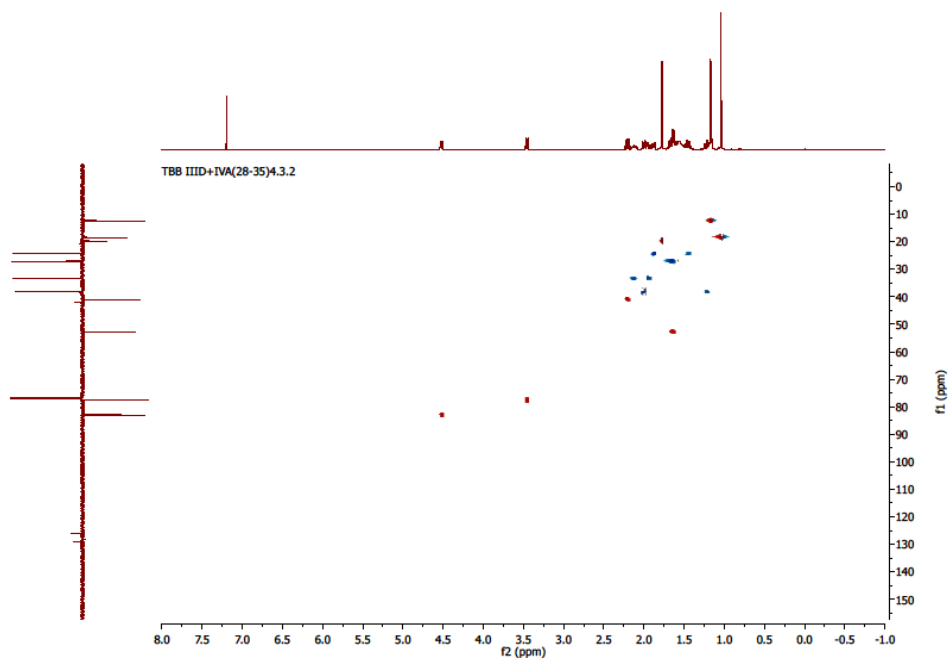
Sekil 4.78 Artesin  $^1\text{H}$  NMR spektrumu



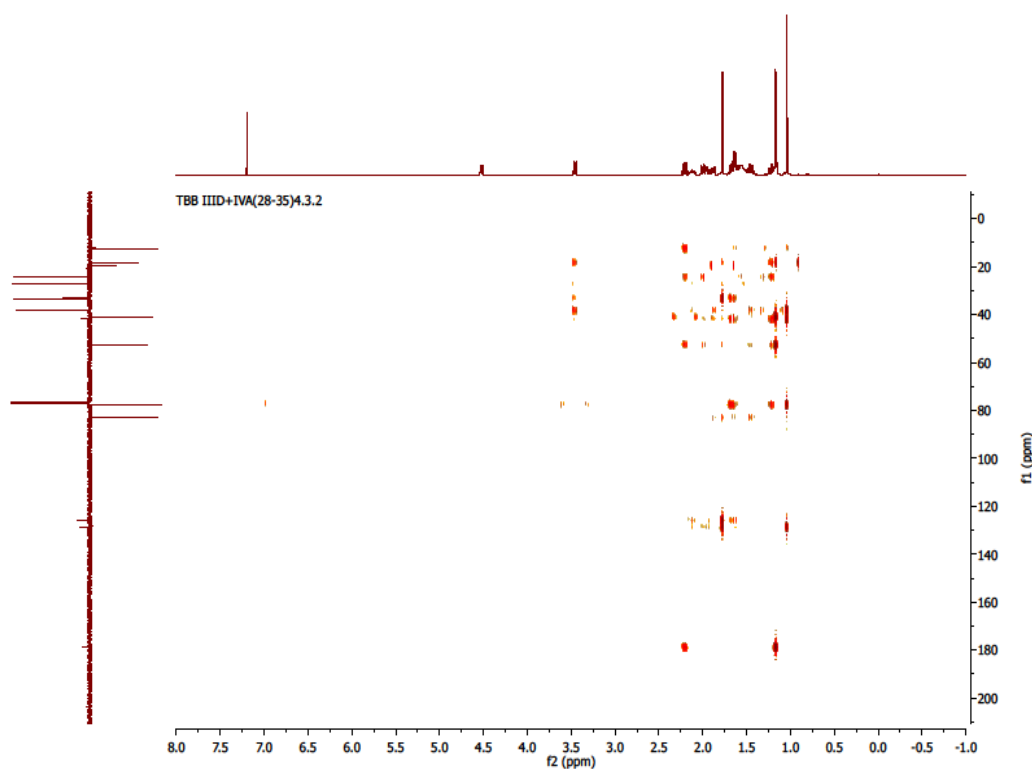
Şekil 4.79 Artesin COSY spektrumu



Şekil 4.80 Artesin APT spektrumu



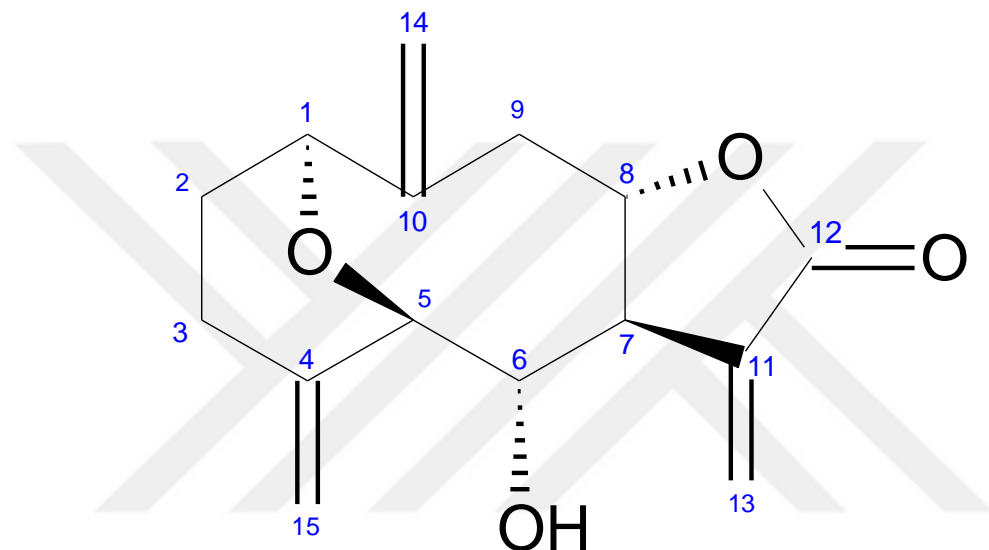
Şekil 4.81 Artesin HSQC spektrumu



Şekil 4.82 Artesin HMBC spektrumu

#### 4.1.3.3 TBB IID+IVA (28-35) 4.4.3=Germacranolide with an 1,5-ether linkage

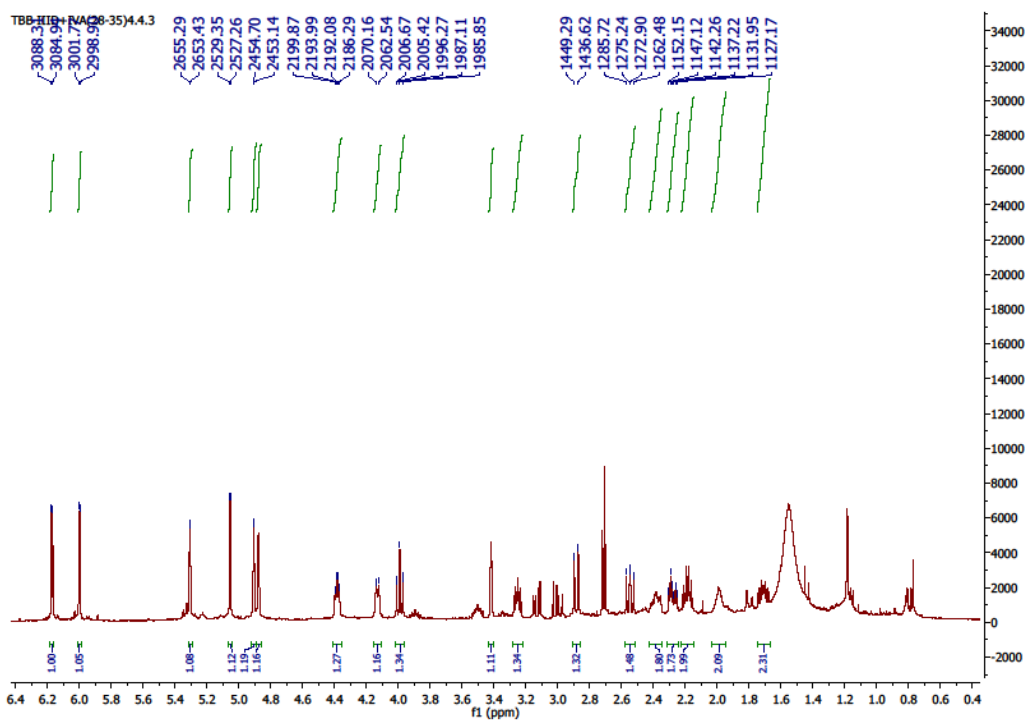
Maddenin yapısı spektral yöntemlerle ( $^1\text{H-NMR}$ , APT, COSY, HSQC, HMBC) aydınlatılmıştır. Çizelge 4.22'de Germacranolide with an 1,5-ether linkage adlı maddenin  $^1\text{H-NMR}$  ve APT kimyasal kayma değerleri, Şekil 4.83'te Germacranolide with an 1,5-ether linkage adlı maddenin moleküler yapısı, Şekil 4.84'te  $^1\text{H}$  NMR spektrumu, Şekil 4.85'te COSY spektrumu, Şekil 4.86'da APT spektrumu, Şekil 4.87'de HSQC spektrumu ve Şekil 4.88'de HMBC spektrumu verilmektedir. Elde edilen veriler literatürde verilen değerlerle uyum içindedir [9].



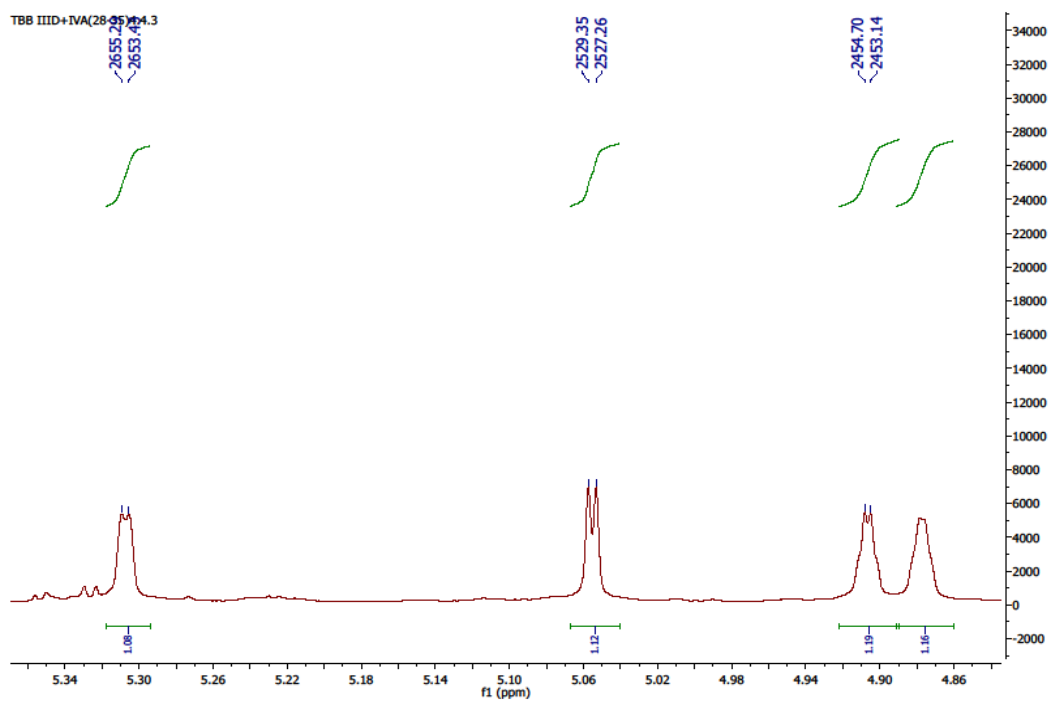
Şekil 4.83 Germacranolide with an 1,5-ether linkage moleküler yapısı

Çizelge 4.22 Germacranolide with an 1,5-ether linkage  $^1\text{H-NMR}$  ve APT (500 MHz, 125 MHz,  $\text{CDCl}_3$ ) kimyasal kayma değerleri

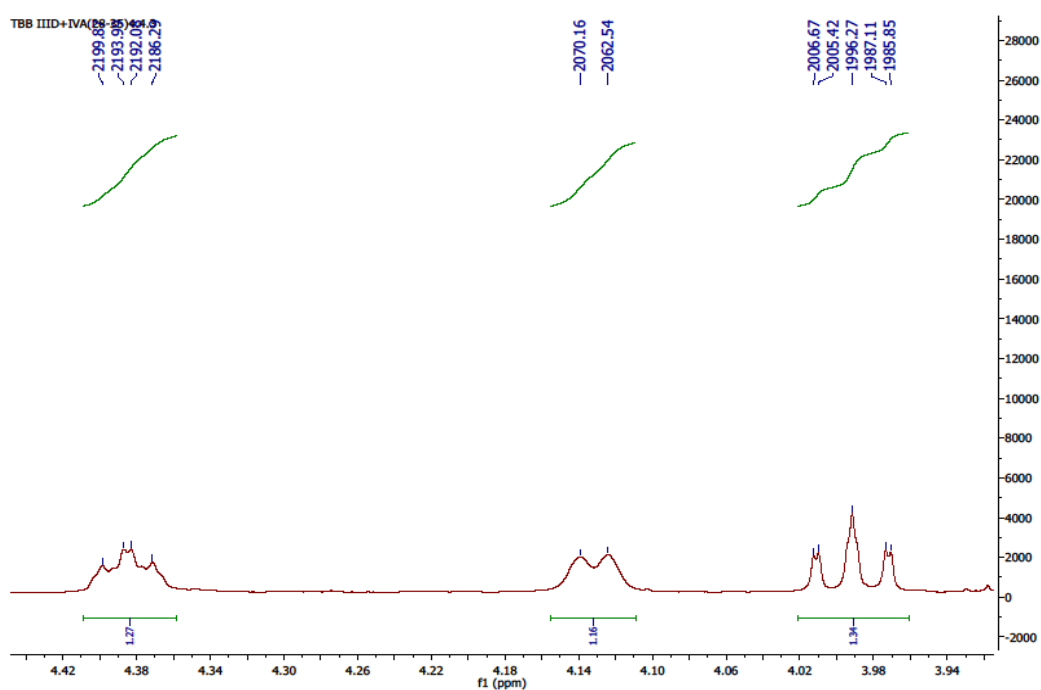
H	$^1\text{H-NMR}$	C	APT
1	4.46 dddd (1H, $J=2.4;2.0;2.0;8.0$ Hz)	1	75.37
2	2.26 m (1H)	2	26.79
2'	1.78 m (1H)	3	28.12
3	2.45 m (1H)	4	149.88
3'	2.36 m (1H)	5	72.99
5	3.49 brs (1H)	6	72.33
6	4.21 brd (1H, $J=7.6$ Hz)	7	53.61
7	3.33 m (1H)	8	81.62
8	4.07 ddd (1H, $J=1.0;10.3;10.3$ Hz)	9	42.79
9	2.96 brd (1H, $J=13.24$ Hz)	10	144.16
9'	2.63 dd (1H, $J=12.6;10.6$ Hz)	11	139.08
13	6.25 brd (1H, $J=3.6$ Hz)	12	169.47
13'	6.08 brd (1H, $J=3.26$ Hz)	13	121.49
14	5.38 d (1H, $J=1.5$ Hz)	14	107.08
14'	5.13 brs (1H)	15	117.64
15	4.98 d (1H, $J=1.5$ Hz)		
15'	4.95 brs (1H)		



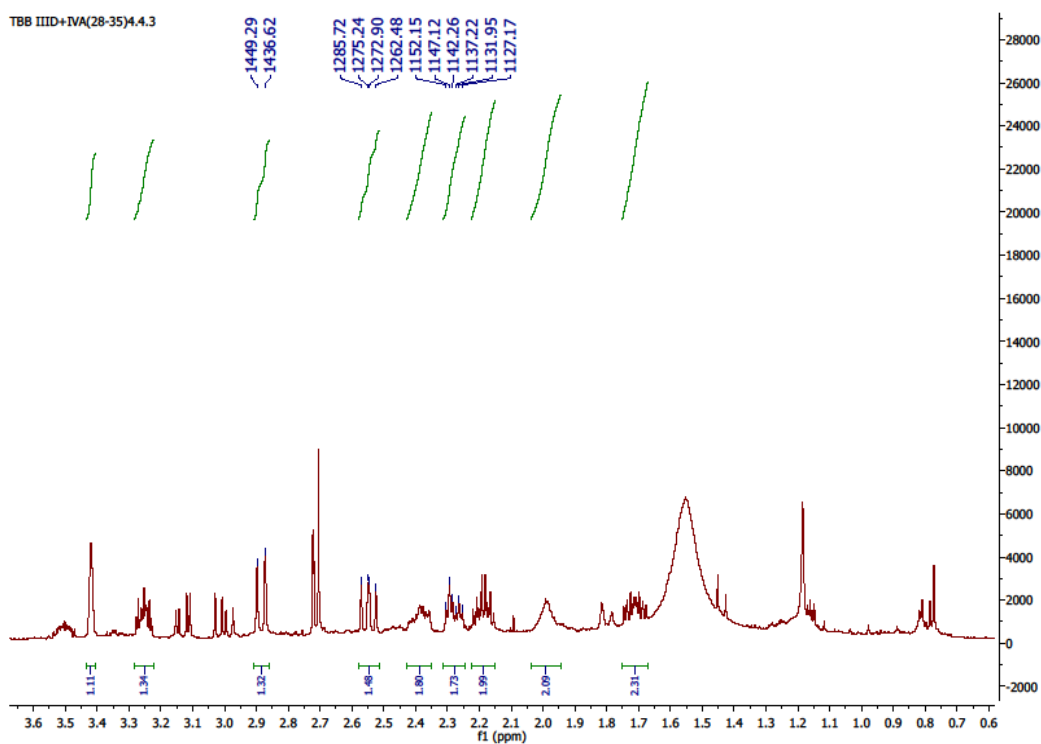
Şekil 4.84 Germacranolide with an 1,5-ether linkage  $^1\text{H}$  NMR spektrumu



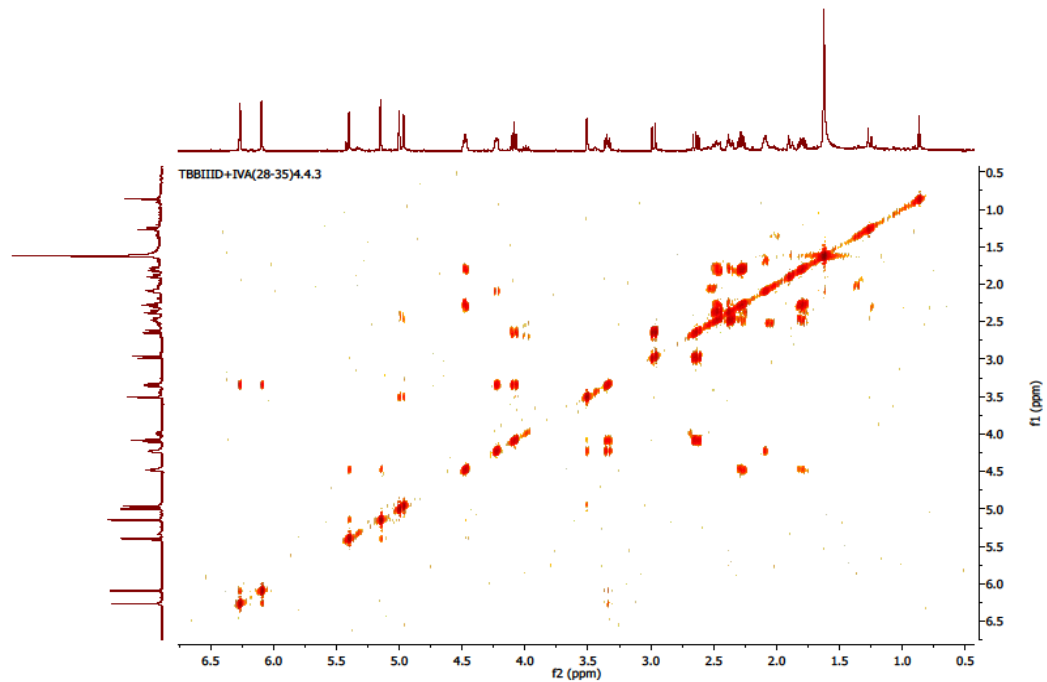
Şekil 4.84 Germacranolide with an 1,5-ether linkage  $^1\text{H}$  NMR spektrumu



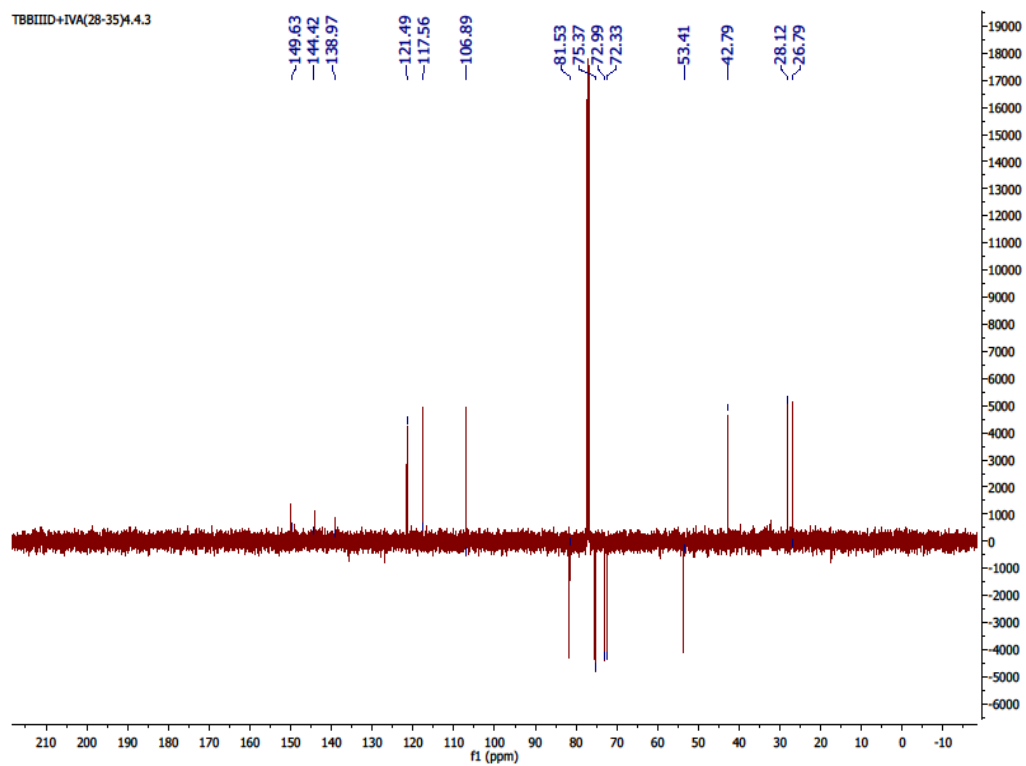
Şekil 4.84 Germacranolide with an 1,5-ether linkage  $^1\text{H}$  NMR spektrumu



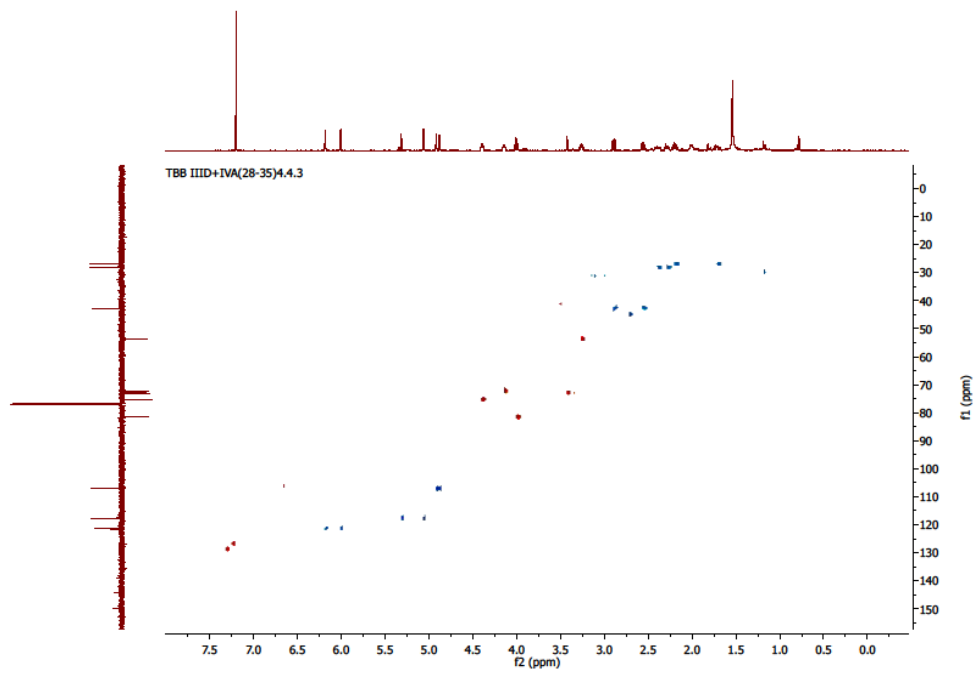
Şekil 4.84 Germacranolide with an 1,5-ether linkage  $^1\text{H}$  NMR spektrumu



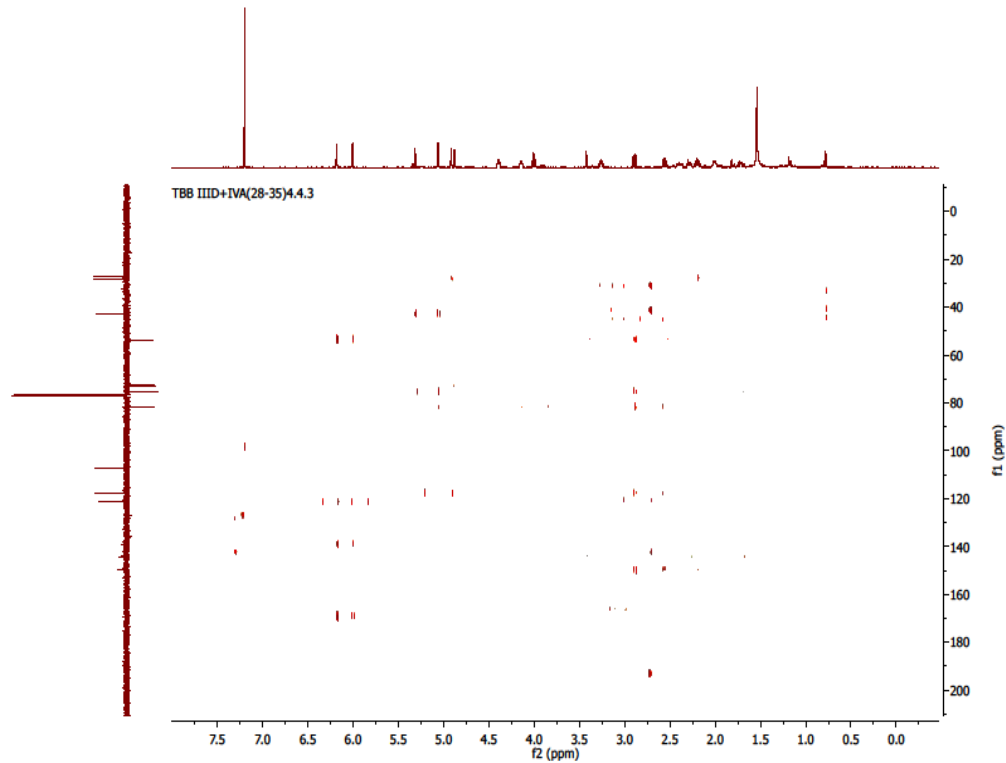
Şekil 4.85 Germacranolide with an 1,5-ether linkage COSY spektrumu



Şekil 4.86 Germacranolide with an 1,5-ether linkage APT spektrumu



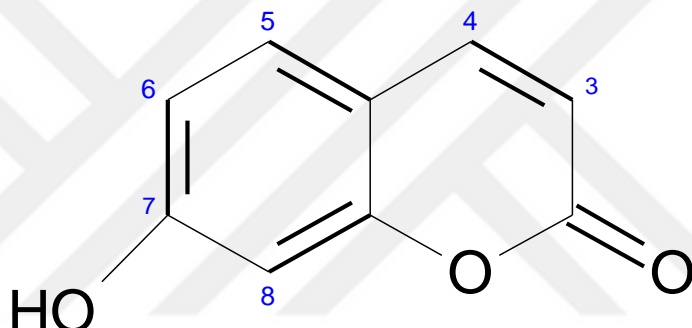
Şekil 4.87 Germacranolide with an 1,5-ether linkage HSQC spektrumu



Şekil 4.88 Germacranolide with an 1,5-ether linkage HMBC spektrumu

#### 4.1.3.4 TBB IID+IVA (28-35) 4.4.7=7-hidroksikumarin (Umbelliferone)

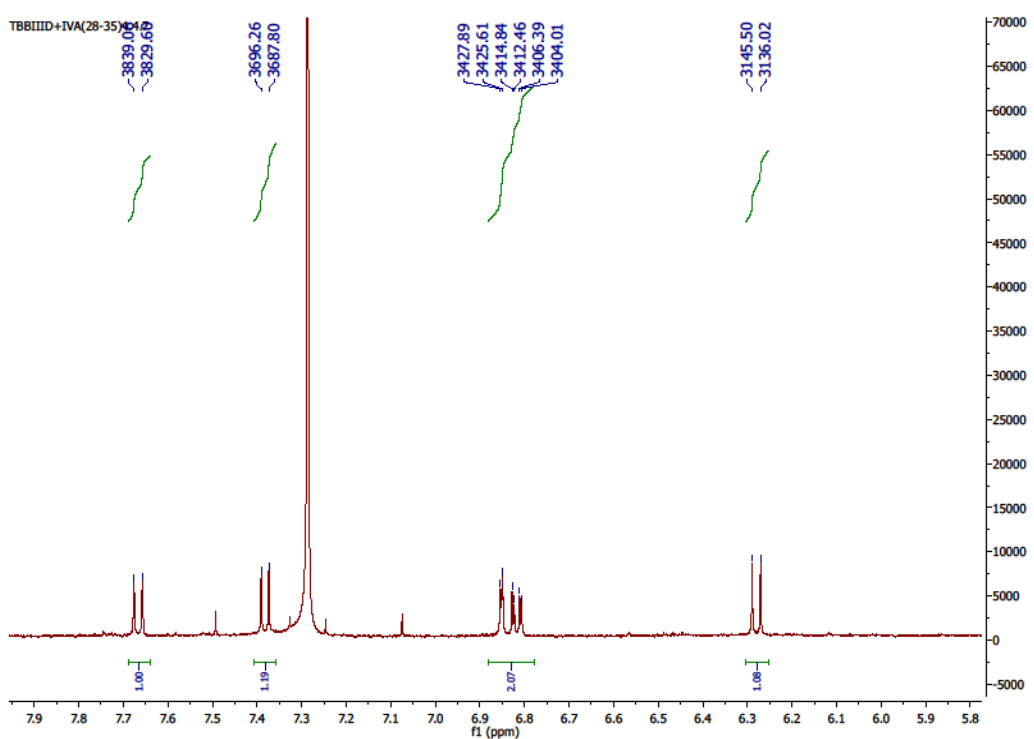
Maddenin yapısı spektral yöntemlerle ( $^1\text{H}$  NMR, COSY) aydınlatılmıştır. Dörtoro kloroformda çekilen  $^1\text{H}$ -NMR spektrumunda  $\delta$  7.67'de H-4 (1H, d,  $J=9.4$  Hz) protonu  $\delta$  6.28'de H-3 (1H, d,  $J=9.4$  Hz) protonu ile etkileşmektedir.  $\delta$  6.82'de H-6 (1H, o,m,  $J=8.4;2.3$  Hz) protonu  $\delta$  6.85'de H-8 (1H,  $J=2.3$  Hz) protonu ile meta etkileşim ve  $\delta$  7.38'de H-5 (1H, o,  $J=8.4$  Hz) protonu ile orto etkileşim göstermektedir. 254 nm UV ışıkta açık mavi, 366 nm'de ise parlak mavi renk veren bu bileşik seryum sülfat belirteci püskürtülüp ısıtıcı üzerinde yakıldığından görülmemektedir. Çizelge 4.23'te Umbelliferone  $^1\text{H}$  NMR kimyasal kayma değerleri Şekil 4.89'da Umbelliferone moleküler yapısı, Şekil 4.90'da  $^1\text{H}$  NMR spektrumu ve Şekil 4.91'de COSY spektrumu verilmektedir. Elde edilen veriler literatürde verilen değerlerle uyum içindedir [179].



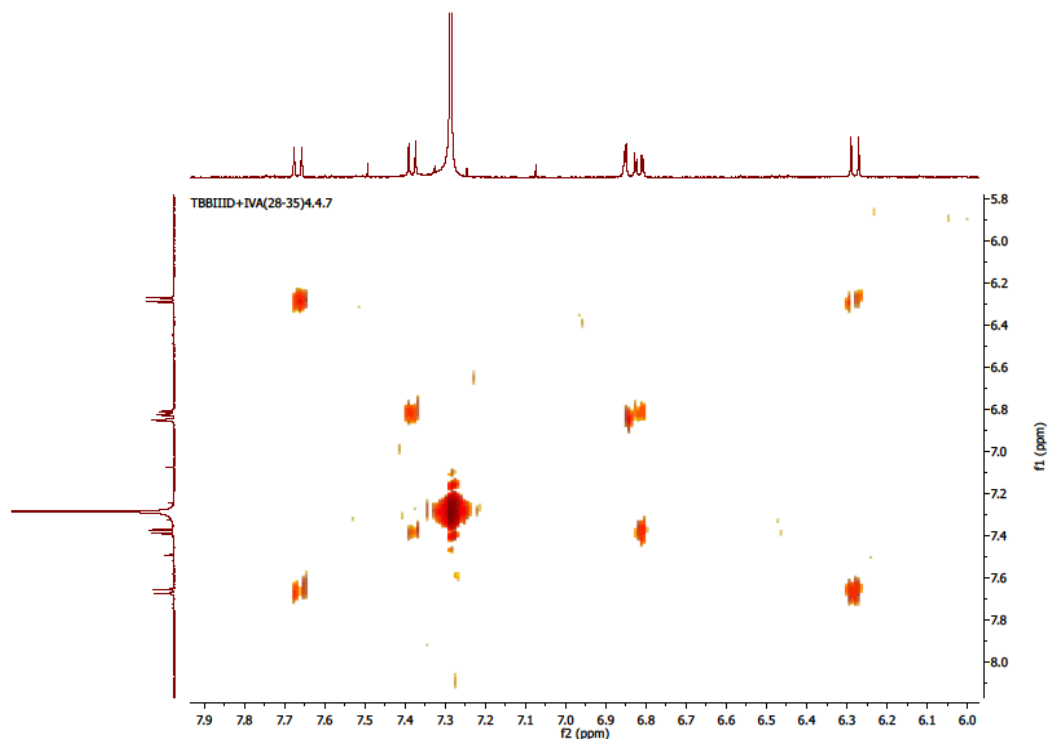
Şekil 4.89 Umbelliferone moleküler yapısı

Çizelge 4.23 Umbelliferone  $^1\text{H}$  NMR ( $\text{CDCl}_3$ , 500MHz) kimyasal kayma değerleri

H	$^1\text{H-NMR}$
3	6.28 d (1H, $J=9.4$ Hz)
4	7.67 d (1H, $J=9.4$ Hz)
5	7.38 o (1H, $J=8.4$ Hz)
6	6.82 o,m (1H, $J=8.4;2.3$ )
8	6.85 m (1H, $J=2.3$ Hz)



Şekil 4.90 Umbelliferone  $^1\text{H}$  NMR spektrumu



Şekil 4.91 Umbelliferone COSY spektrumu

#### **4.1.4 Fr7-TBB IVC fraksiyonundan izole edilen maddeler**

TBB IVC fraksiyonu  $\text{CHCl}_3$ :Eter (1:1) sisteminde MPLC yapılmıştır. MPLC çalışması sonucunda 190 fraksiyon toplanmış ve ince tabaka kromatografisi yardımıyla benzer fraksiyonlar birleştirilmiştir. MPLC'de kullanılan çözücü sistemleri ve fraksiyonlar Çizelge 4.24'te verilmektedir.

TBB IVC (12-75) fraksiyonu kolon kromatografisi yapılmış ve 38 fraksiyon toplanmıştır. İnce tabaka kromatografisi yardımıyla benzer fraksiyonlar birleştirilmiştir. Kolon kromatografisinde kullanılan çözücü sistemleri Çizelge 4.25'te verilmektedir. TBB IVC (12-75) 29 fraksiyonu  $\text{CHCl}_3$ :Eter (3:1) çözücü sisteminde preparatif ince tabaka kromatografisi yapılmış ve 4 bant elde edilmiştir. 4. banttan TBB IVC (12-75) 29 (4.2) kodlu Tavulin 5 mg miktarında elde edilmiştir.

TBB IVC (12-75) (25-28) fraksiyonu  $\text{CHCl}_3$ :Eter (1:1) çözücü sisteminde preparatif ince tabaka kromatografisi yapılmış ve 4 bant elde edilmiştir. 3. banttan daha önce izole edilen Tamirin 10 mg miktarında elde edilmiştir.

TBB IVC (76-175) fraksiyonu kolon kromatografisi yapılmış ve 37 fraksiyon toplanmıştır. İnce tabaka kromatografisi yardımıyla benzer fraksiyonlar birleştirilmiştir. Kolon kromatografisinde kullanılan çözücü sistemleri Çizelge 4.26'da verilmektedir. TBB IVC (76-175) (16-19) fraksiyonu  $\text{CHCl}_3$ :Eter (3:1) çözücü sisteminde preparatif ince tabaka kromatografisi yapılmış ve 7 bant elde edilmiştir. 2. banttan daha önce izole edilen Santonin 7 mg miktarında elde edilmiştir. 6. banttan TBB IVC (76-175) (16-19) 6 kodlu Tavulin 8 mg miktarında elde edilmiştir.

TBB IVC (76-175) (30-33) fraksiyonu  $\text{CHCl}_3$ :Eter (3:1) sisteminde 4 defa preparatif ince tabaka kromatografisi ile yürütülerek 7 bant elde edilmiştir. 4. banttan TBB IVC(76-175) (30-33) 4.2 kodlu  $1\alpha,8\alpha$ -Dihidroksi-10-*epi*-arbusculin A 6 mg ve 6. banttan TBB IVC (76-175) (30-33) 6 kodlu  $1\alpha$ -Hidroksi-desasetilirinol- $4\alpha,5\beta$ -epoksit 7 mg miktarında elde edilmiştir.

Çizelge 4.24 TBB IVC fraksiyonunun MPLC çözücü sistemi

<b>Kullanılan çözücü sistemi</b>	<b>İlk Fraksiyon</b>	<b>Son Fraksiyon</b>
CHCl <sub>3</sub>	TBB IVC.1	TBBIVC.25
CHCl <sub>3</sub> :Eter(90:10)	TBBIVC.26	TBBIVC.40
CHCl <sub>3</sub> :Eter(80:20)	TBBIVC.41	TBBIVC.55
CHCl <sub>3</sub> :Eter(70:30)	TBBIVC.56	TBBIVC.70
CHCl <sub>3</sub> :Eter(60:40)	TBBIVC.71	TBBIVC.85
CHCl <sub>3</sub> :Eter(50:50)	TBBIVC.86	TBBIVC.100
CHCl <sub>3</sub> :Eter(40:60)	TBBIVC.101	TBBIVC.115
CHCl <sub>3</sub> :Eter(30:70)	TBBIVC.116	TBBIVC.130
CHCl <sub>3</sub> :Eter(20:80)	TBBIVC.131	TBBIVC.145
CHCl <sub>3</sub> :Eter(10:90)	TBBIVC.146	TBBIVC.160
Eter	TBBIVC.161	TBBIVC.170
Etil asetat	TBBIVC.171	TBBIVC.180
MeOH	TBBIVC.181	TBBIVC.190

Çizelge 4.25 TBB IVC(12-75) fraksiyonunun kolon kromatografi çözücü sistemleri

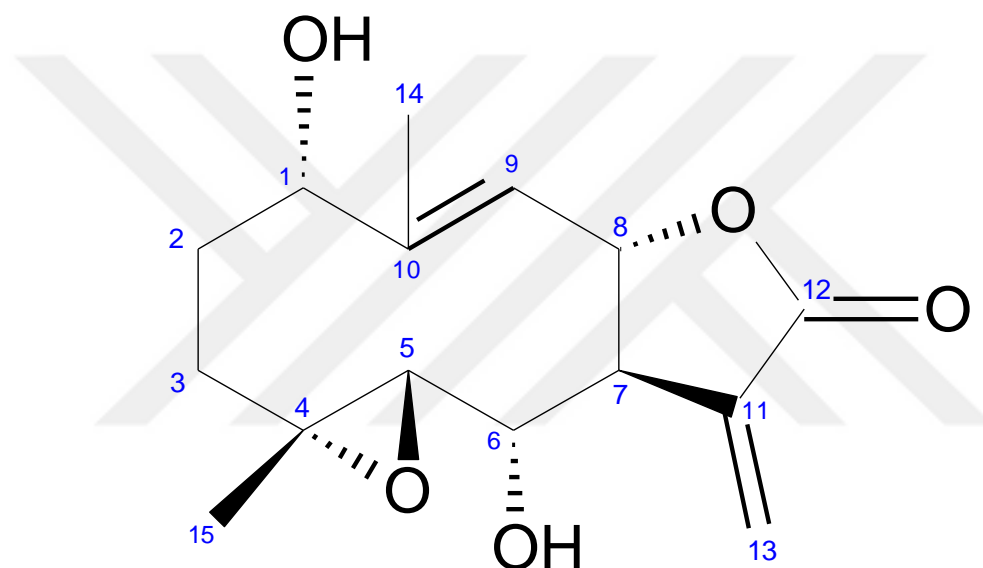
Çözücü sistemi	Miktar
% 100 CHCl <sub>3</sub>	100 ml
% 90 CHCl <sub>3</sub> : % 10 Eter	100 ml
% 70 CHCl <sub>3</sub> : % 30 Eter	100 ml
% 50 CHCl <sub>3</sub> : % 50 Eter	100 ml
% 40 CHCl <sub>3</sub> : % 60 Eter	100 ml
% 30 CHCl <sub>3</sub> : % 70 Eter	100 ml
% 20 CHCl <sub>3</sub> : % 80 Eter	100 ml
% 100 Eter	100 ml
% 100 MeOH	300 ml

Çizelge 4.26 TBB IVC(76-175) fraksiyonunun kolon kromatografi çözücü sistemleri

Çözücü sistemi	Miktar
% 50 CHCl <sub>3</sub> : % 50 Eter	100 ml
% 50 CHCl <sub>3</sub> : % 50 Eter	100 ml
% 50 CHCl <sub>3</sub> : % 50 Eter	100 ml
% 40 CHCl <sub>3</sub> : % 60 Eter	100 ml
% 30 CHCl <sub>3</sub> : % 70 Eter	100 ml
% 20 CHCl <sub>3</sub> : % 80 Eter	100 ml
% 10 CHCl <sub>3</sub> : % 90 Eter	100 ml
% 100 Eter	100 ml
% 100 MeOH	300 ml

#### 4.1.4.1 TBB IVC (76-175) (30-33) 6=1 $\alpha$ -Hidroksi-deasetilirinol-4 $\alpha$ ,5 $\beta$ -epoksit (1 $\alpha$ -Hydroxy-desacetylirinol-4 $\alpha$ ,5 $\beta$ -epoxide)

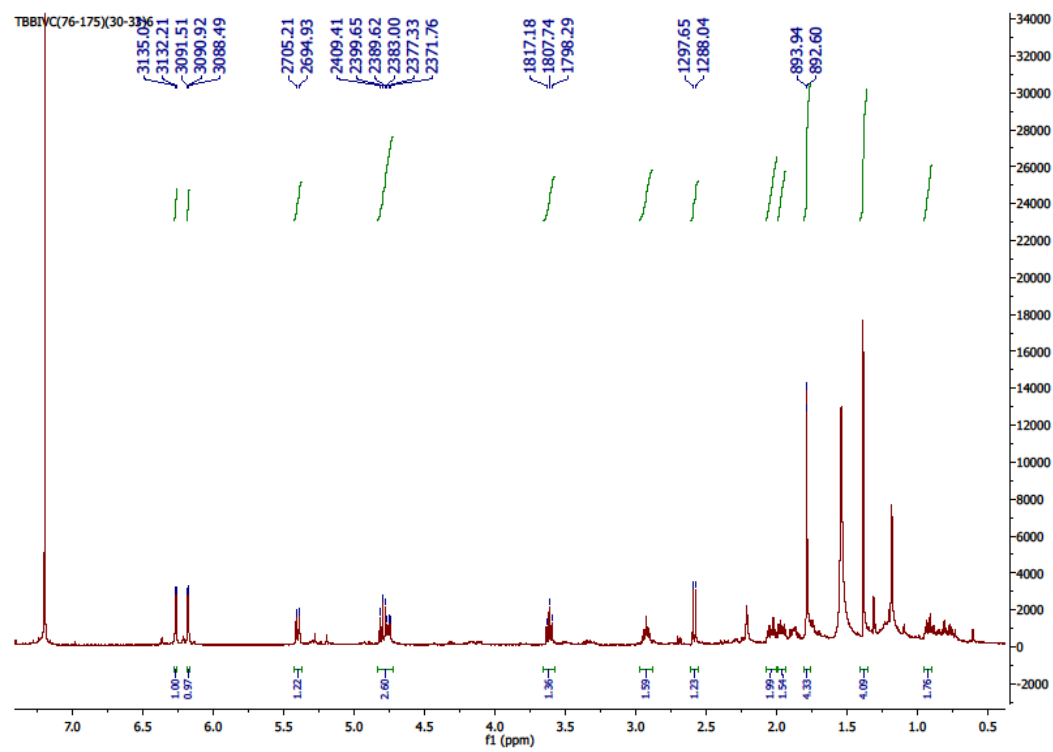
Maddenin yapısı spektral yöntemlerle ( $^1\text{H-NMR}$ , APT, COSY, HSQC, HMBC) aydınlatılmıştır. Çizelge 4.27'de 1 $\alpha$ -Hidroksi-deasetilirinol-4 $\alpha$ ,5 $\beta$ -epoksit  $^1\text{H-NMR}$  ve APT kimyasal kayma değerleri, Şekil 4.92'de 1 $\alpha$ -Hidroksi-deasetilirinol-4 $\alpha$ ,5 $\beta$ -epoksit moleküler yapısı, Şekil 4.93'te  $^1\text{H}$  NMR spektrumu, Şekil 4.94'te COSY spektrumu, Şekil 4.95'te APT spektrumu, Şekil 4.96'da HSQC spektrumu ve Şekil 4.97'de HMBC spektrumu verilmektedir. Elde edilen veriler literatürde verilen değerlerle uyum içindedir [196].



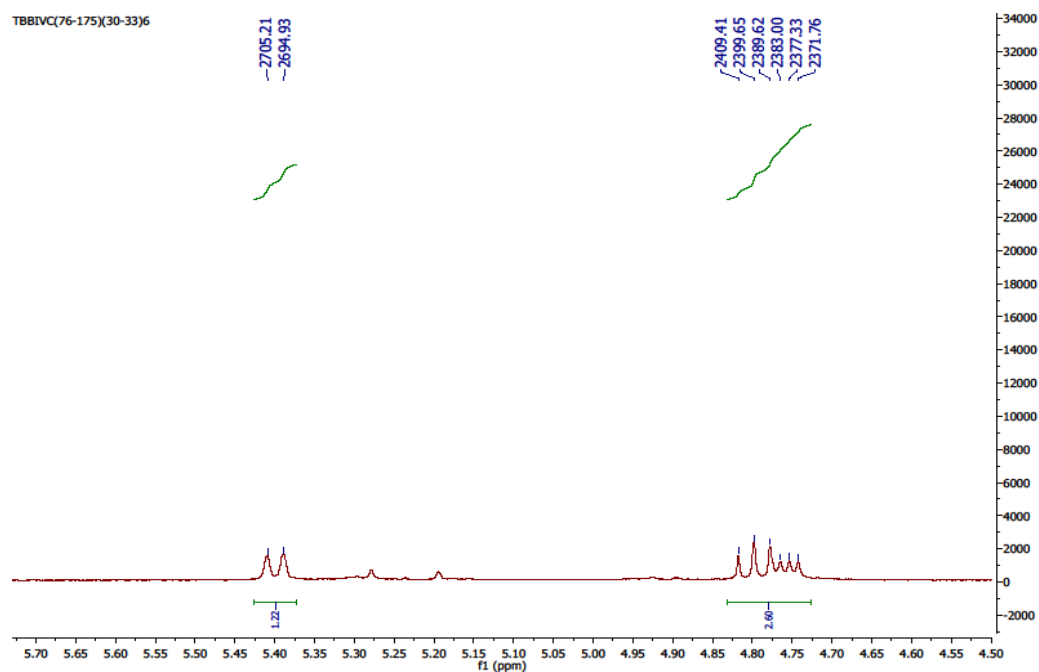
Şekil 4.92 1 $\alpha$ -Hidroksi-deasetilirinol-4 $\alpha$ ,5 $\beta$ -epoksit moleküler yapısı

Çizelge 4.27 1 $\alpha$ -Hidroksi-deasetilirinol-4 $\alpha$ ,5 $\beta$ -epoksit  $^1\text{H-NMR}$  (500 MHz,  $\text{CDCl}_3$ ) ve APT (125 MHz,  $\text{CDCl}_3+\text{d}\text{-aseton}$ )

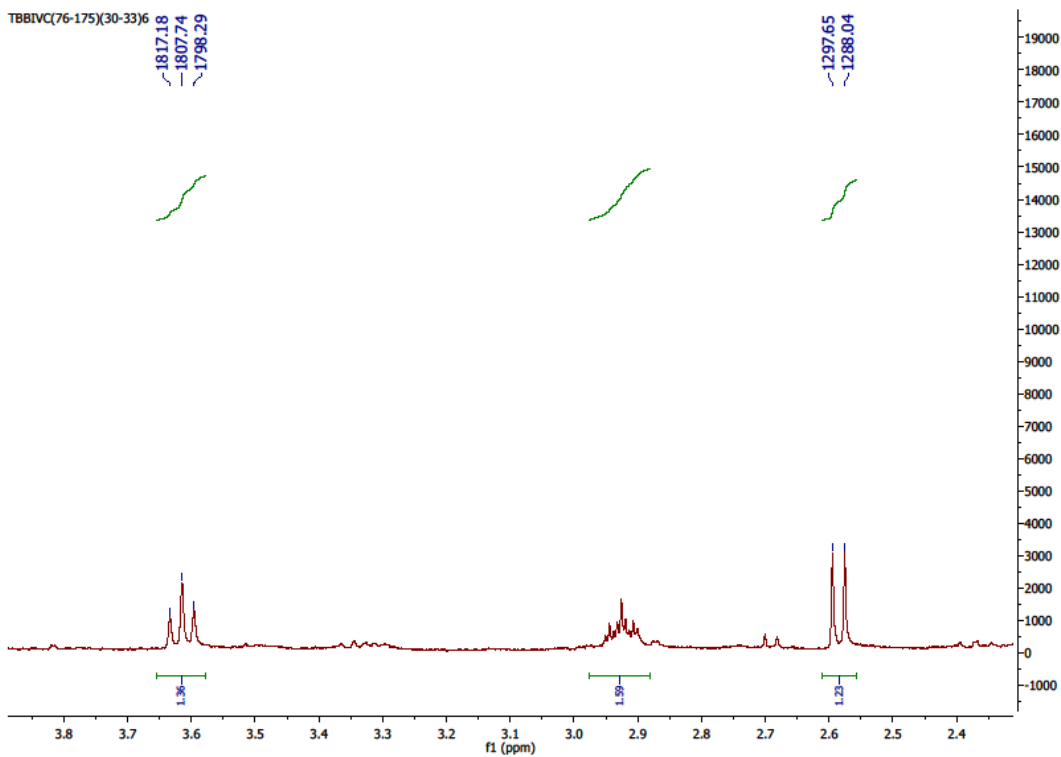
H	$^1\text{H-NMR}$	C	APT
1	4.76 dd (1H, $J=11.3;5.5$ Hz)	1	66.5
2	1.96 m (1H)	2	30
2'	1.85 m (1H)	3	34
3	2.05 m (1H)	4	62
3'	0.89 m (1H)	5	69.96
5	2.58 d (1H, $J=9.6$ Hz)	6	71
6	3.62 dd (1H, $J=9.44;9.45$ Hz)	7	50.7
7	2.93 m (1H)	8	74
8	4.80 dd (1H, $J=9.7;10.3$ Hz)	9	126.36
9	5.40 brd (1H, $J=10.28$ Hz)	10	145.6
13	6.27 brd (1H, $J=3.0$ Hz)	11	138.7
13'	6.18 brd (1H, $J=3.0$ Hz)	12	170.37
14	1.79 d (3H, $J=1.3$ Hz)	13	123
15	1.39 s (3H)	14	17.5
		15	18.15



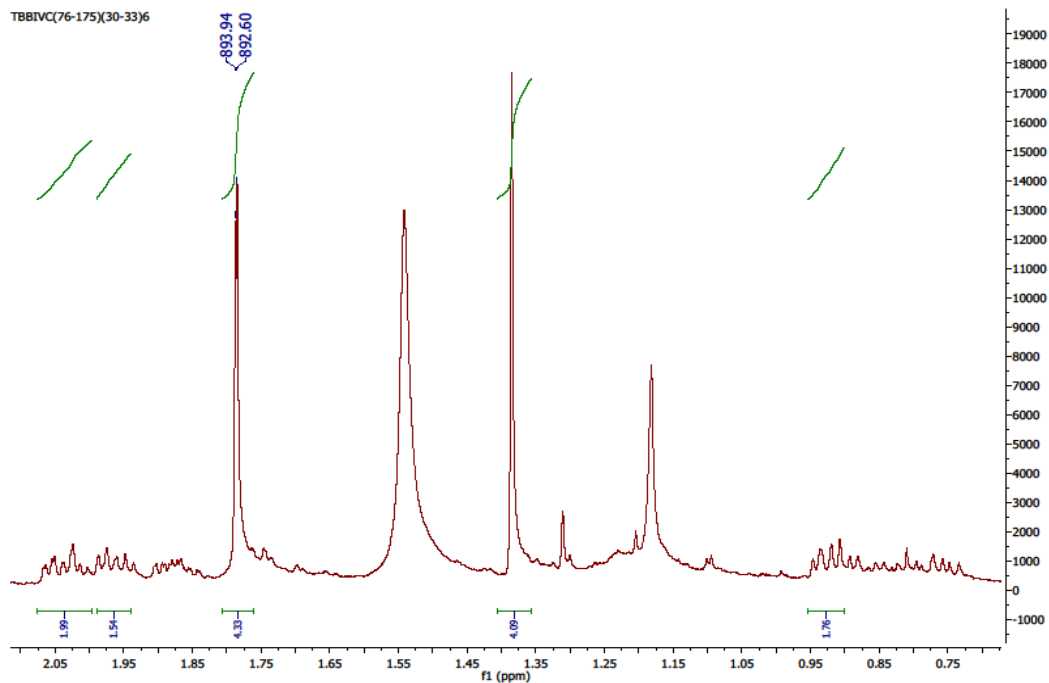
Şekil 4.93 1 $\alpha$ -Hidroksi-deasetilirinol-4 $\alpha$ ,5 $\beta$ -epoksit  $^1\text{H}$ -NMR spektrumu



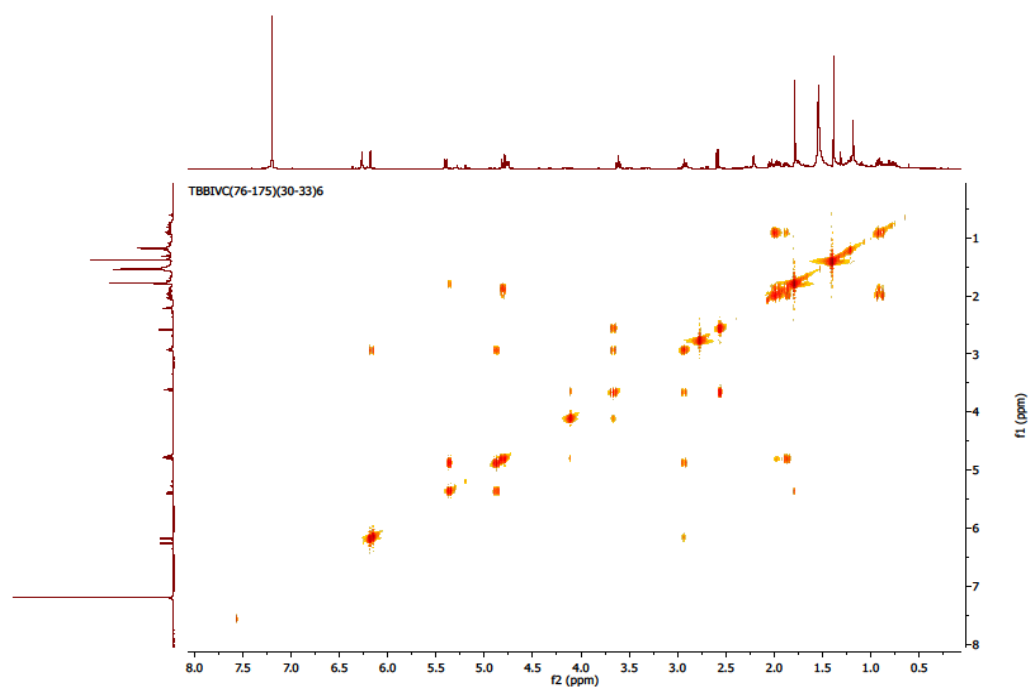
Şekil 4.93 1 $\alpha$ -Hidroksi-deasetilirinol-4 $\alpha$ ,5 $\beta$ -epoksit  $^1\text{H}$ -NMR spektrumu



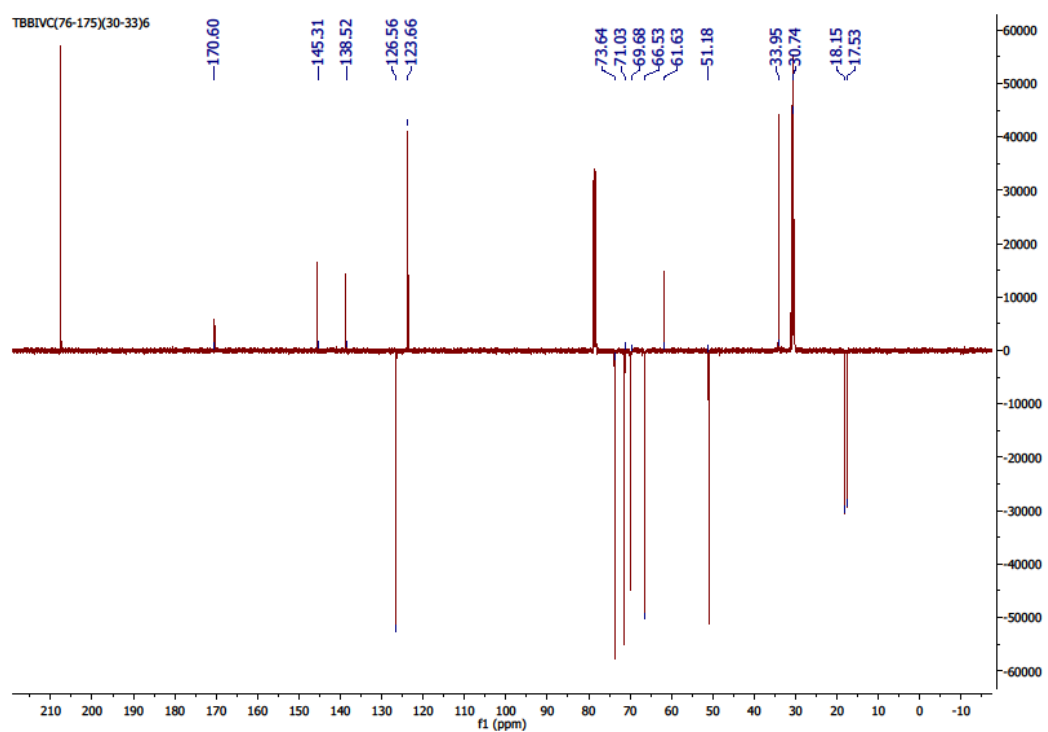
Şekil 4.93 1 $\alpha$ -Hidroksi-deasetilirinol-4 $\alpha$ ,5 $\beta$ -epoksit  $^1\text{H}$ -NMR spektrumu



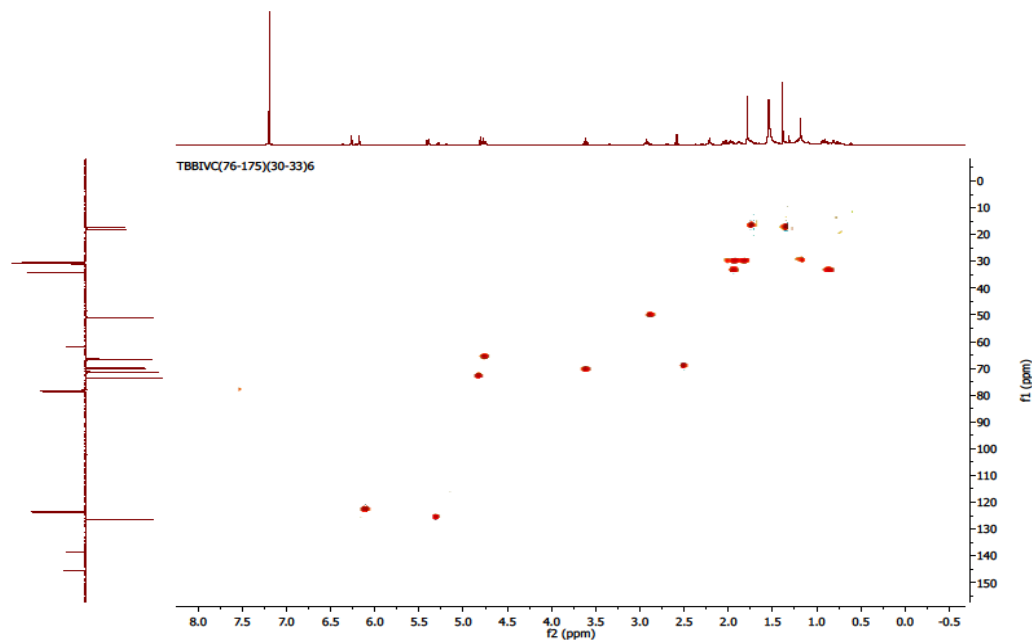
Şekil 4.93 1 $\alpha$ -Hidroksi-deasetilirinol-4 $\alpha$ ,5 $\beta$ -epoksit  $^1\text{H}$ -NMR spektrumu



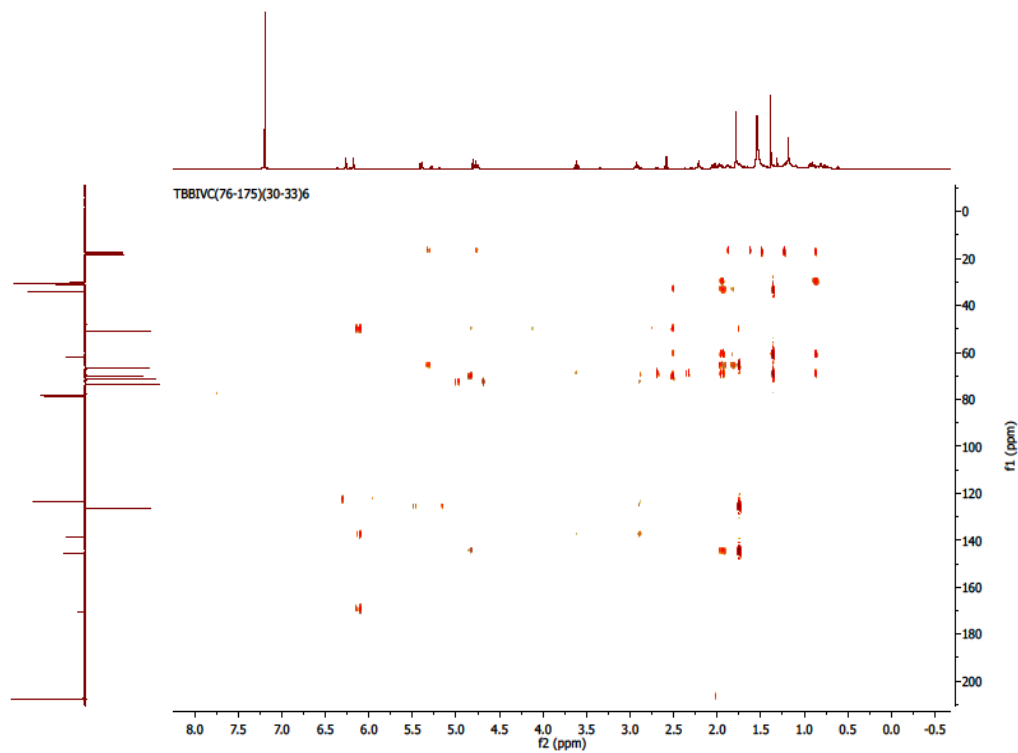
Şekil 4.94 1 $\alpha$ -Hidroksi-deasetilirinol-4 $\alpha$ ,5 $\beta$ -epoksit COSY spektrumu



Şekil 4.95 1 $\alpha$ -Hidroksi-deasetilirinol-4 $\alpha$ ,5 $\beta$ -epoksit APT spektrumu



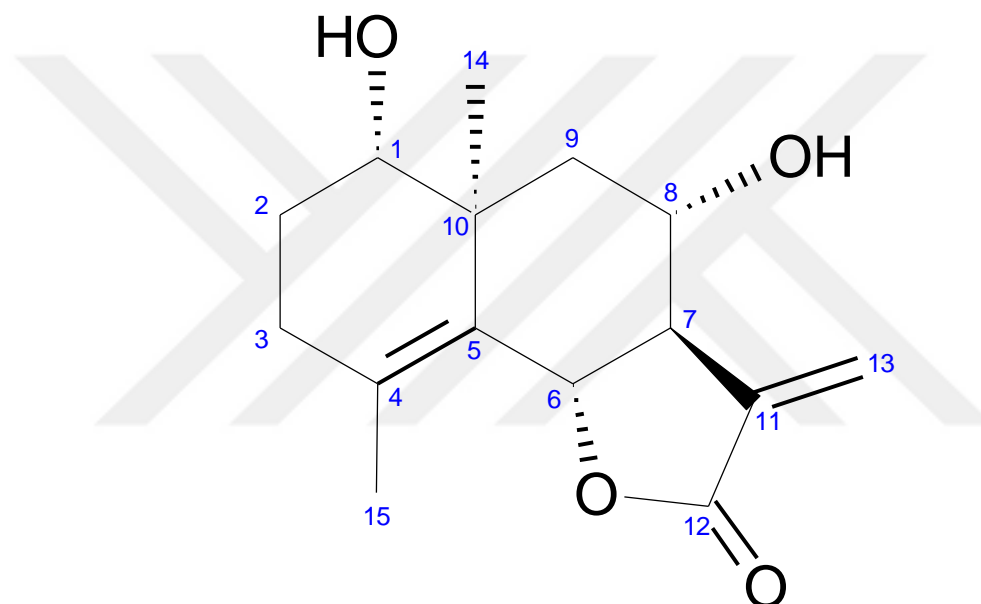
Şekil 4.96  $1\alpha$ -Hidroksi-deasetilirinol- $4\alpha,5\beta$ -epoksit HSQC spektrumu



Şekil 4.97  $1\alpha$ -Hidroksi-deasetilirinol- $4\alpha,5\beta$ -epoksit HMBC spektrumu

#### 4.1.4.2 TBB IVC (76-175) (30-33) 4.2=1 $\alpha$ ,8 $\alpha$ -Dihidroksi-10-*epi*-arbusculin A (1 $\alpha$ ,8 $\alpha$ -Dihydroxy-10-*epi*-arbusculin A)

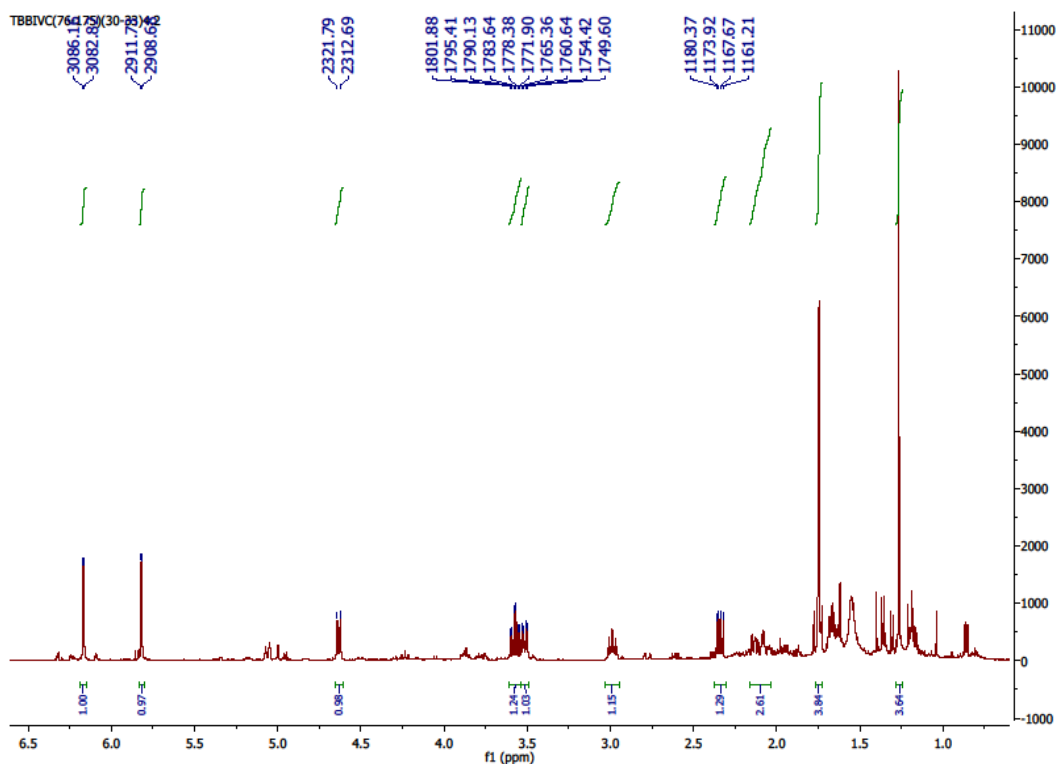
Maddenin yapısı spektral yöntemlerle ( $^1\text{H-NMR}$ , APT, COSY, HSQC, HMBC) aydınlatılmıştır. Çizelge 4.28'de 1 $\alpha$ ,8 $\alpha$ -Dihidroksi-10-*epi*-arbusculin A  $^1\text{H-NMR}$  ve APT kimyasal kayma değerleri, Şekil 4.98'de 1 $\alpha$ ,8 $\alpha$ -Dihidroksi-10-*epi*-arbusculin A moleküler yapısı, Şekil 4.99'da  $^1\text{H}$  NMR spektrumu, Şekil 4.100'de COSY spektrumu, Şekil 4.101'de APT spektrumu, Şekil 4.102'de HSQC spektrumu ve Şekil 4.103'te HMBC spektrumu verilmektedir. Elde edilen veriler literatürde verilen değerlerle uyum içindedir [205].



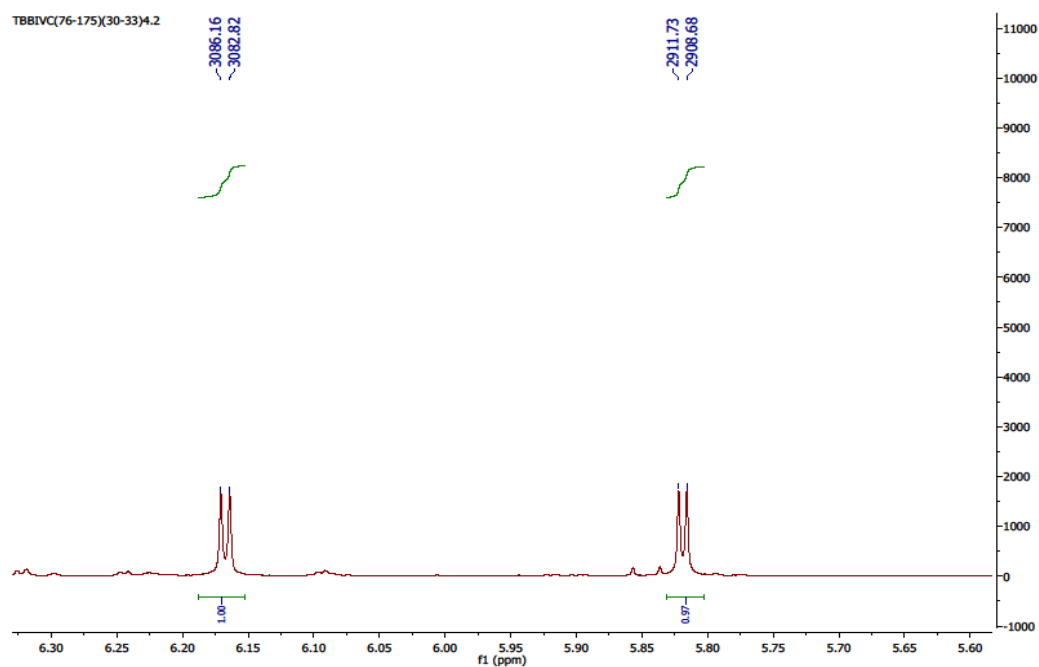
Şekil 4.98 1 $\alpha$ ,8 $\alpha$ -Dihidroksi-10-*epi*-arbusculin A moleküler yapısı

Çizelge 4.28 1 $\alpha$ ,8 $\alpha$ -Dihidroksi-10-*epi*-arbusulin A  $^1\text{H}$ -NMR ve APT (500 MHz, 125 MHz,  $\text{CDCl}_3$ ) kimyasal kayma değerleri

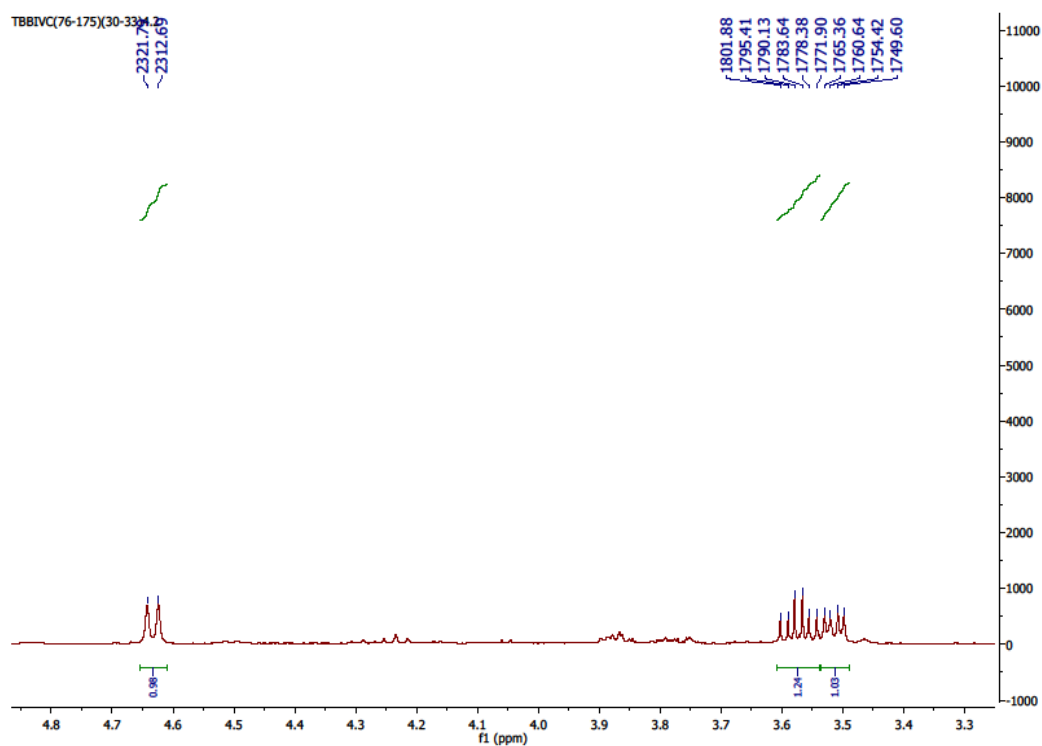
<b>H</b>	<b><math>^1\text{H-NMR}</math></b>	<b>C</b>	<b>APT</b>
1	3.51 dd (1H, $J=4.7;11$ Hz)	1	76.61
2 ve 2'	1.66 m (2H)	2	26.79
3 ve 3'	2.08 m (2H)	3	31.42
6	4.63 brd (1H, $J=9.1$ Hz)	4	136.13
7	2.99 m (1H)	5	135.09
8	3.57 ddd (1H, $J=6.4;11.6;11.7$ Hz)	6	70.69
9	2.35 dd (1H, $J=6.4;12.7$ Hz)	7	50.7
9'	1.74 m (1H)	8	75.35
13	6.17 brd (1H, $J=3.3$ Hz)	9	41.04
13'	5.82 brd (1H, $J=3.3$ Hz)	10	39.99
14	1.26 s (3H)	11	138.44
15	1.74 brs (3H)	12	170.66
		13	120.25
		14	25.22
		15	19.77



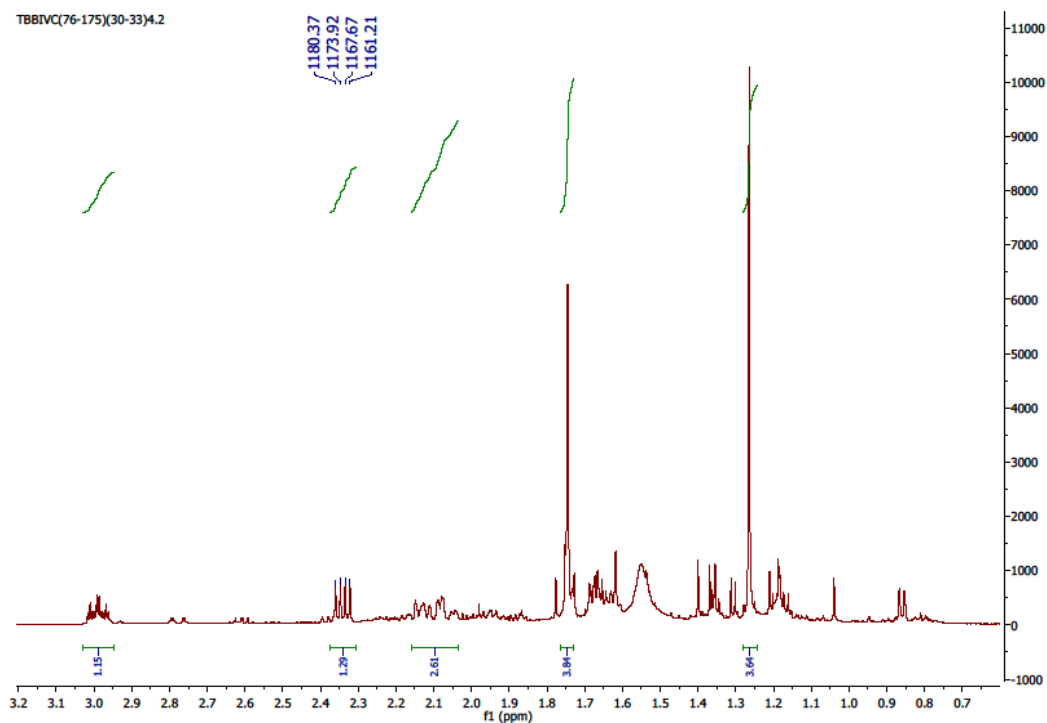
Şekil 4.99 1 $\alpha$ ,8 $\alpha$ -Dihidroksi-10-*epi*-arbusculin A  $^1\text{H}$  NMR spektrumu



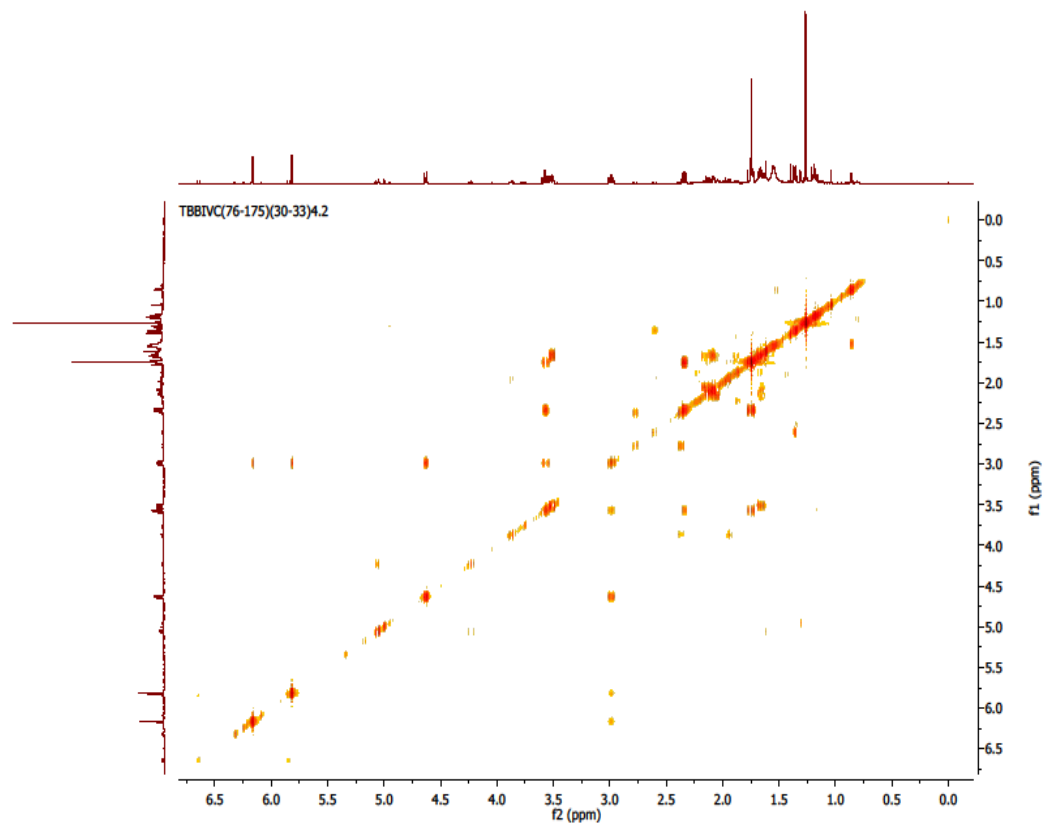
Şekil 4.99 1 $\alpha$ ,8 $\alpha$ -Dihidroksi-10-*epi*-arbusculin A  $^1\text{H}$  NMR spektrumu



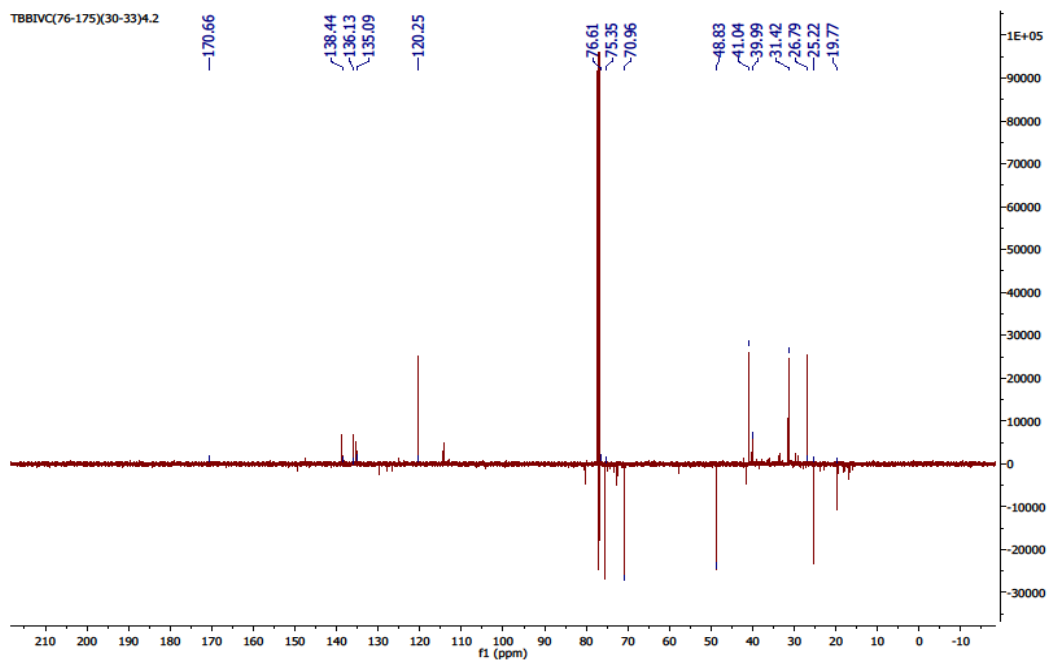
Şekil 4.99  $1\alpha,8\alpha$ -Dihidroksi-10-*epi*-arbusculin A  $^1\text{H}$  NMR spektrumu



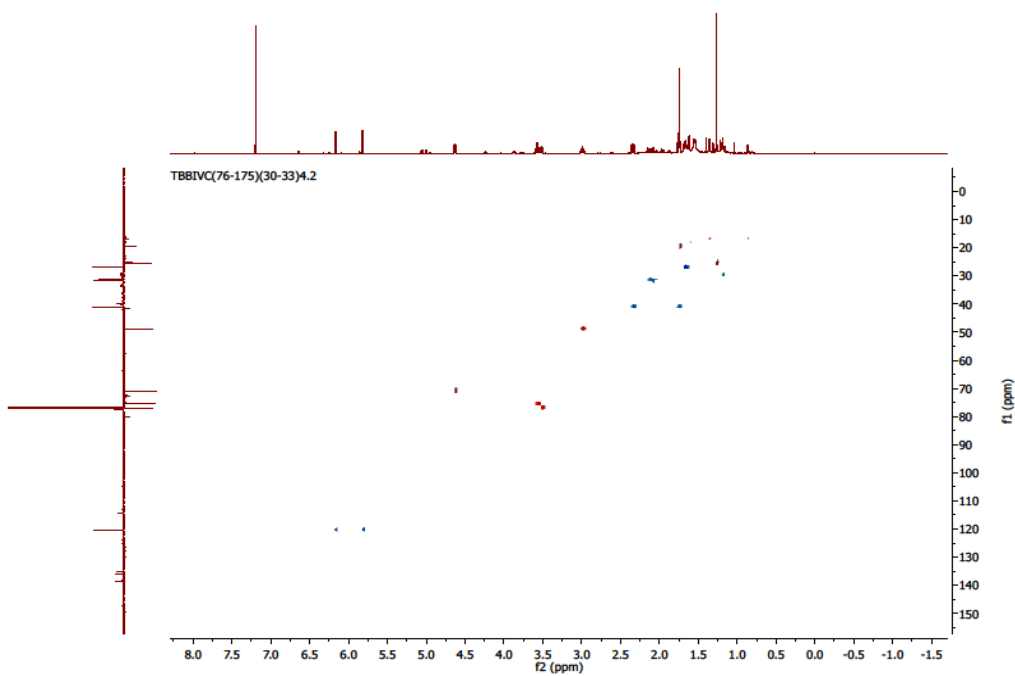
Şekil 4.99  $1\alpha,8\alpha$ -Dihidroksi-10-*epi*-arbusculin A  $^1\text{H}$  NMR spektrumu



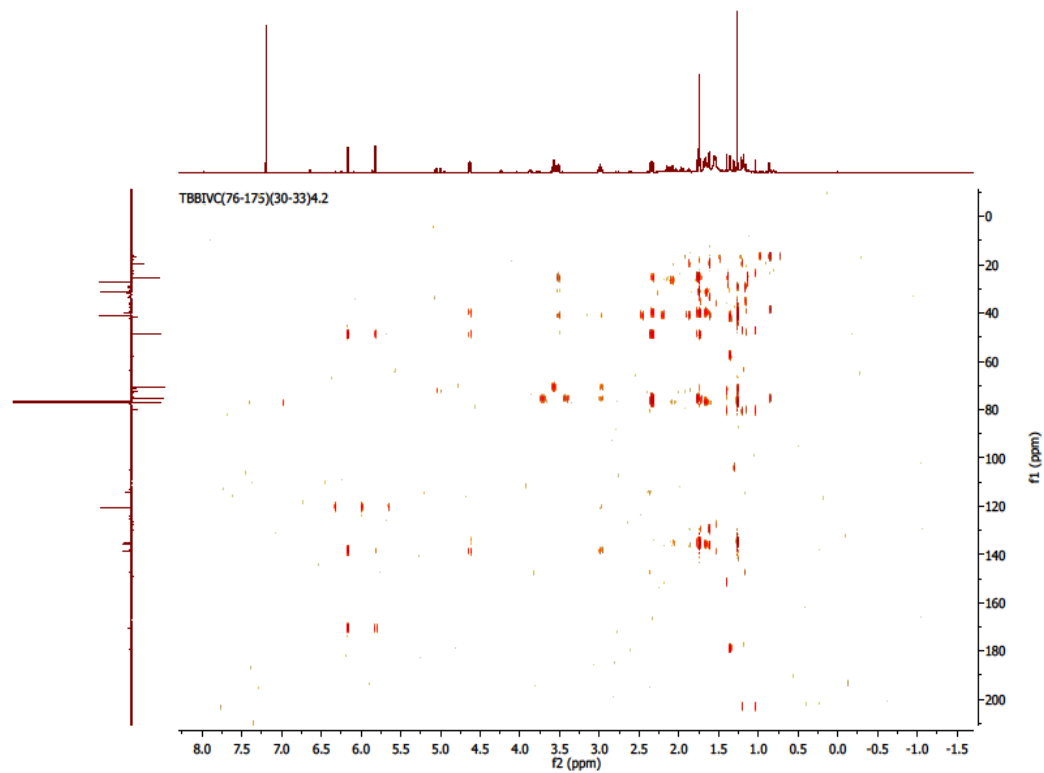
Şekil 4.100  $1\alpha,8\alpha$ -Dihidroksi-10-*epi*-arbusculin A COSY spektrumu



Şekil 4.101  $1\alpha,8\alpha$ -Dihidroksi-10-*epi*-arbusculin A APT spektrumu



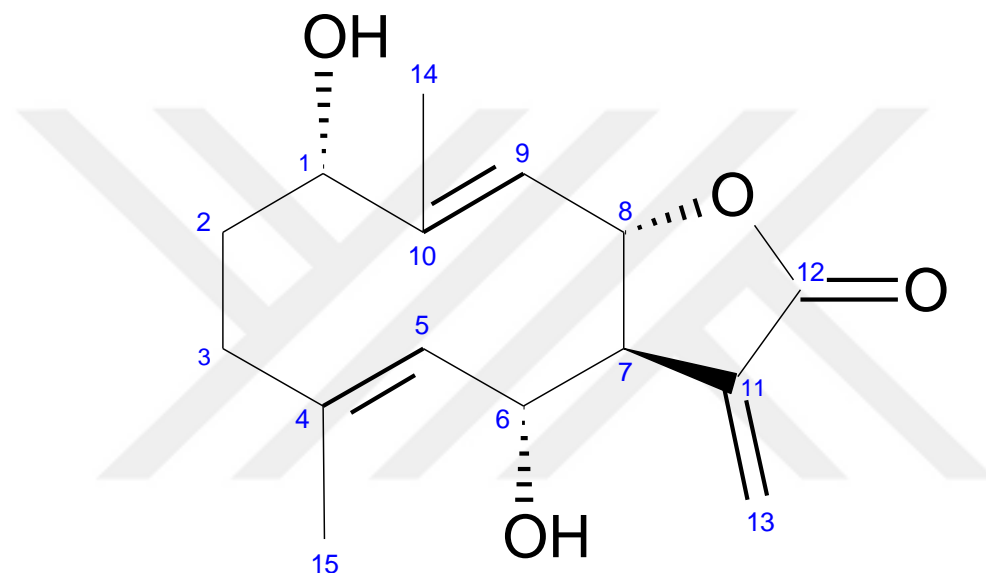
Şekil 4.102  $1\alpha,8\alpha$ -Dihidroksi-10-*epi*-arbusculin A HSQC spektrumu



Şekil 4.103  $1\alpha,8\alpha$ -Dihidroksi-10-*epi*-arbusculin A HMBC spektrumu

#### 4.1.4.3 TBB IVC (12-75) 29 (4.2) = Tavulin

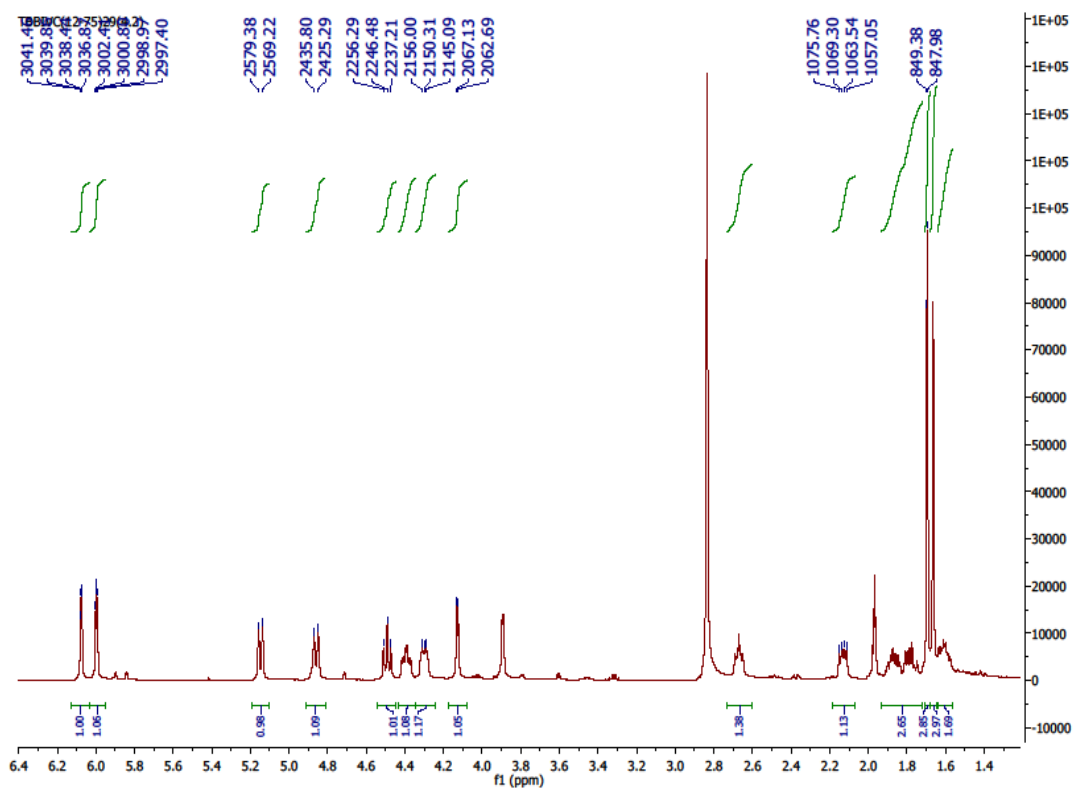
Maddenin yapısı spektral yöntemlerle ( $^1\text{H-NMR}$ , APT, COSY, HSQC, HMBC) aydınlatılmıştır. Çizelge 4.29'da Tavulin  $^1\text{H-NMR}$  ve APT kimyasal kayma değerleri, Şekil 4.104'te Tavulin moleküler yapısı, Şekil 4.105'te  $^1\text{H}$  NMR spektrumu, Şekil 4.106'da COSY spektrumu, Şekil 4.107'de APT spektrumu, Şekil 4.108'de HSQC spektrumu ve Şekil 4.109'da HMBC spektrumu verilmektedir. Elde edilen veriler literatürde verilen değerlerle uyum içindedir [9], [179], [188], [189], [190], [191], [192], [193], [194], [195], [196], [197], [198].



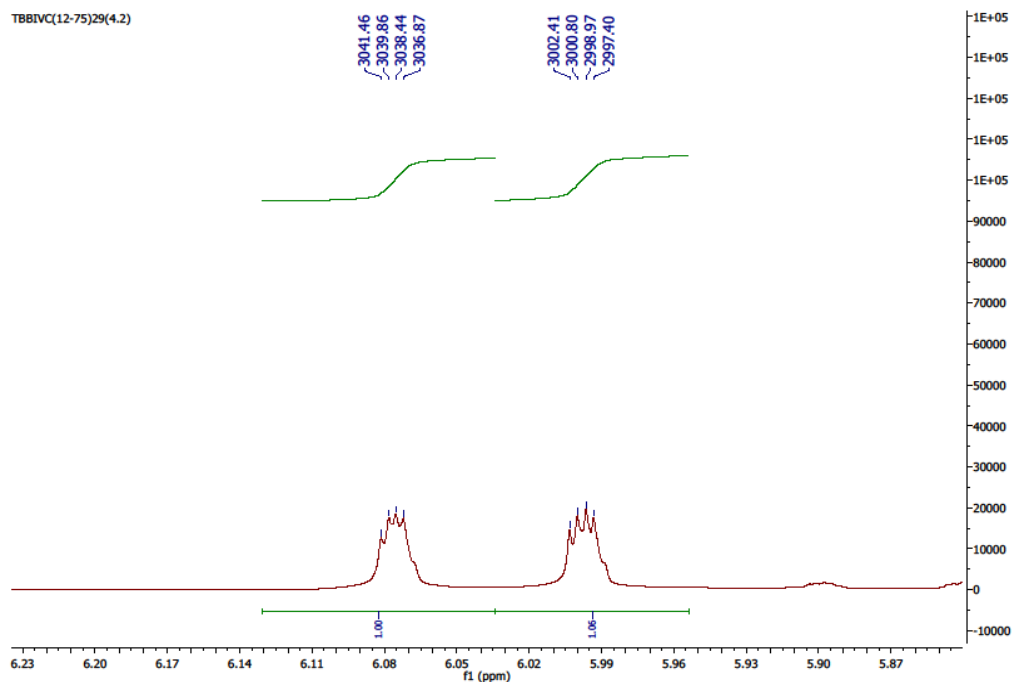
Şekil 4.104 Tavulin moleküler yapısı

Çizelge 4.29 Tavulin  $^1\text{H-NMR}$  (500 MHz,  $\text{CDCl}_3$ ) ve APT (125 MHz,  $\text{CDCl}_3+\text{d}\text{-aseton}$ ) kimyasal kayma değerleri

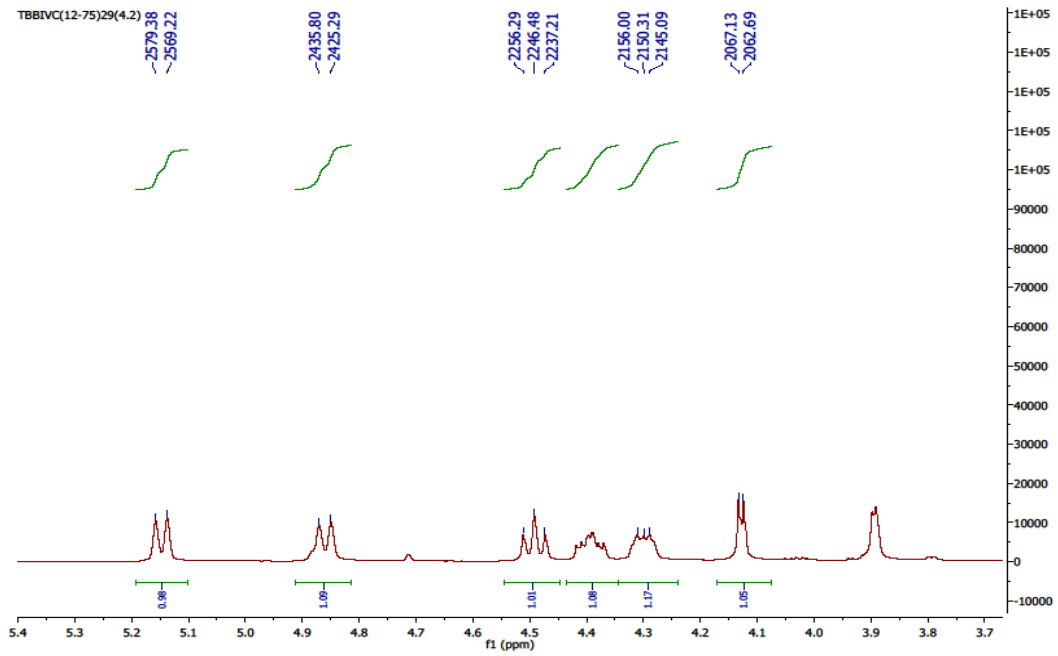
<b>H</b>	<b><math>^1\text{H-NMR}</math></b>	<b>C</b>	<b>APT</b>
1	4.30 dd (1H, $J=5.7;10$ Hz)	1	66.54
2	1.87 m (1H)	2	28.51
2'	1.60 m (1H)	3	36.05
3	2.13 dd (1H, $J=6.4;12.22$ Hz)	4	143.75
3'	1.75 m (1H)	5	131.7
5	4.86 brd (1H, $J=10.6$ Hz)	6	71.02
6	4.39 dd (1H, $J=3.6;12.0;11.5$ Hz)	7	53.5
7	2.66 m (1H)	8	75.42
8	4.50 ddd (1H, $J=9.8;9.8$ Hz)	9	127.34
9	5.14 brd (1H, $J=10$ Hz)	10	134.13
13	6.06 dd (1H, $J=1.6;3$ Hz)	11	139.57
13'	6.0 dd (1H, $J=1.6;3$ Hz)	12	170.89
14	1.70 d (3H, $J=1.4$ Hz)	13	122.82
15	1.66 s (3H)	14	17.77
		15	16.20



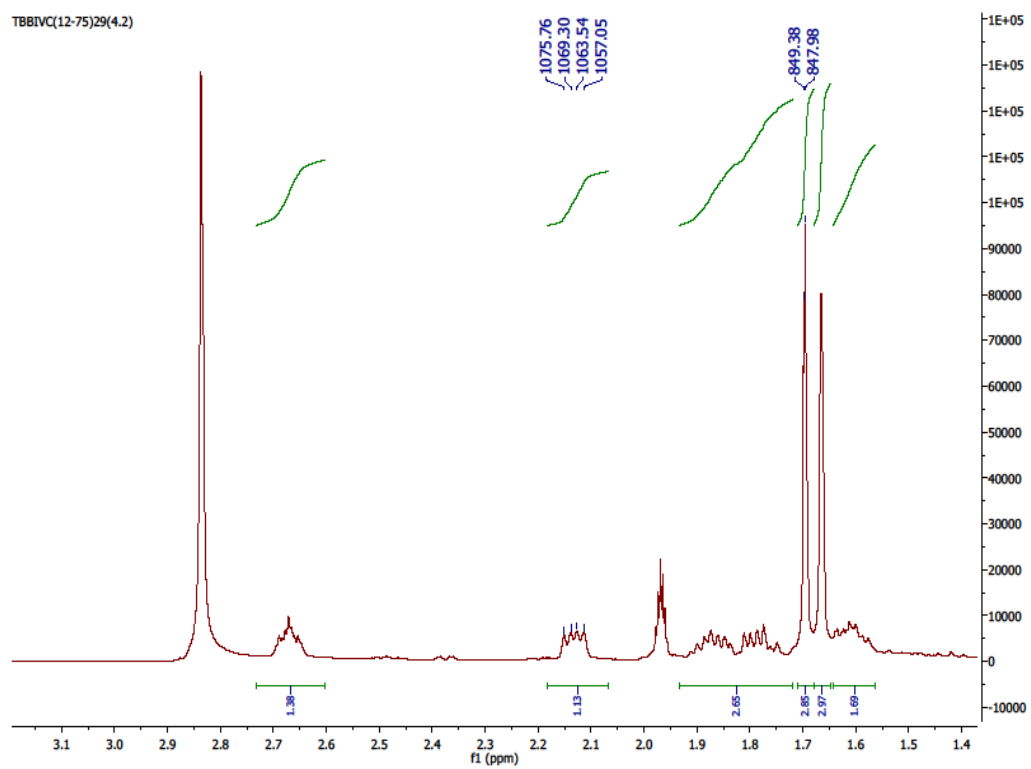
Şekil 4.105 Tavulin  $^1\text{H}$  NMR spektrumu



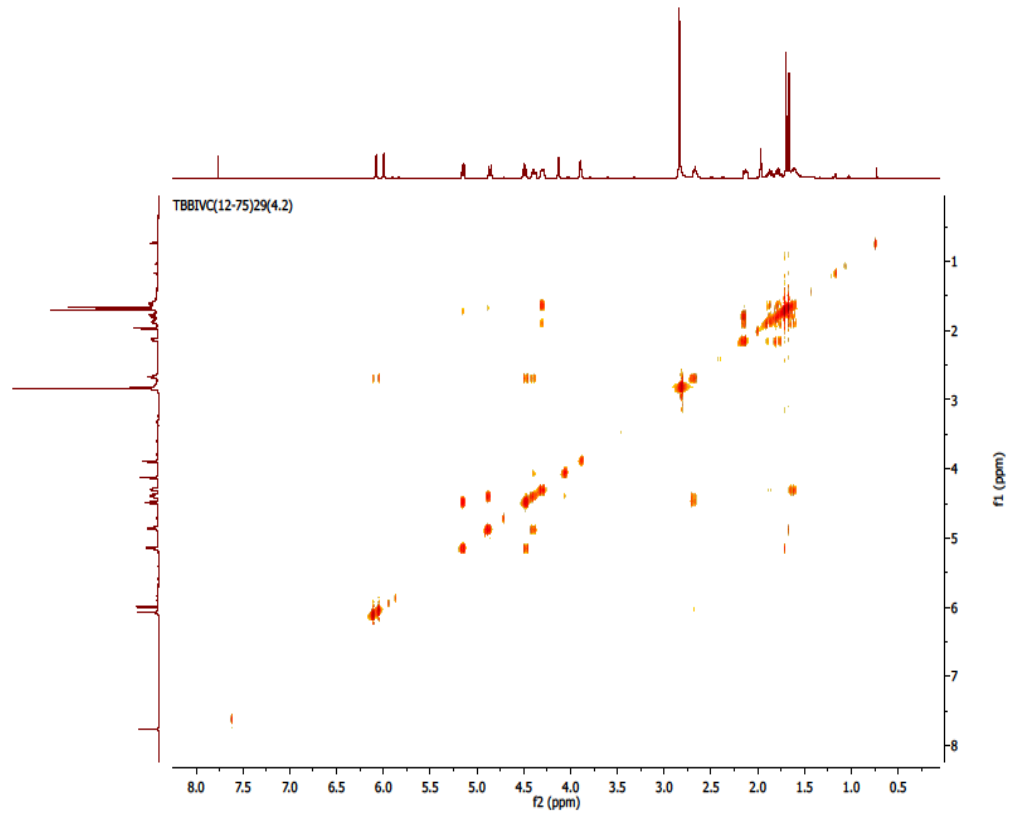
Şekil 4.105 Tavulin  $^1\text{H}$  NMR spektrumu



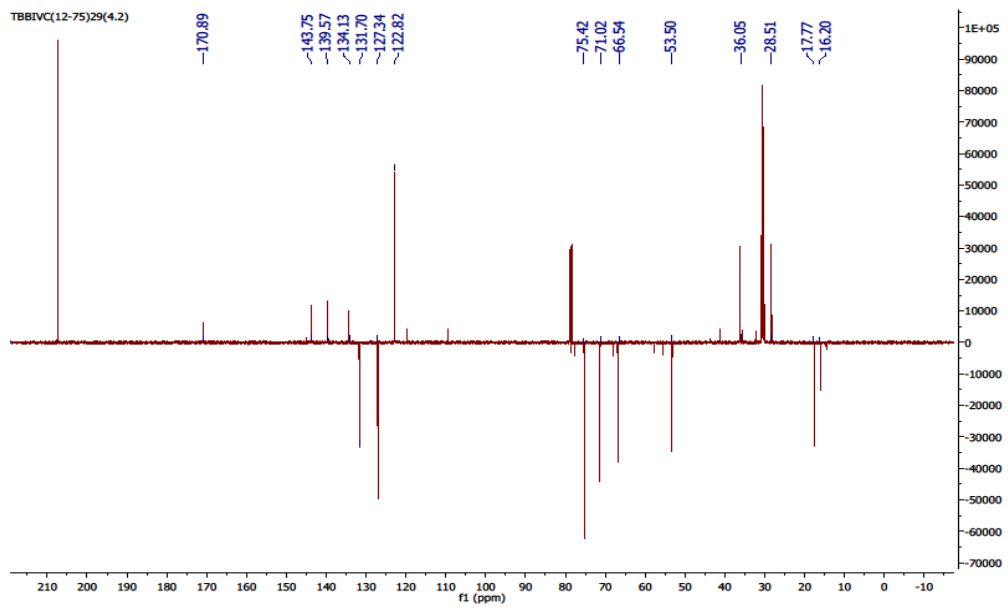
Şekil 4.105 Tavulin  $^1\text{H}$  NMR spektrumu



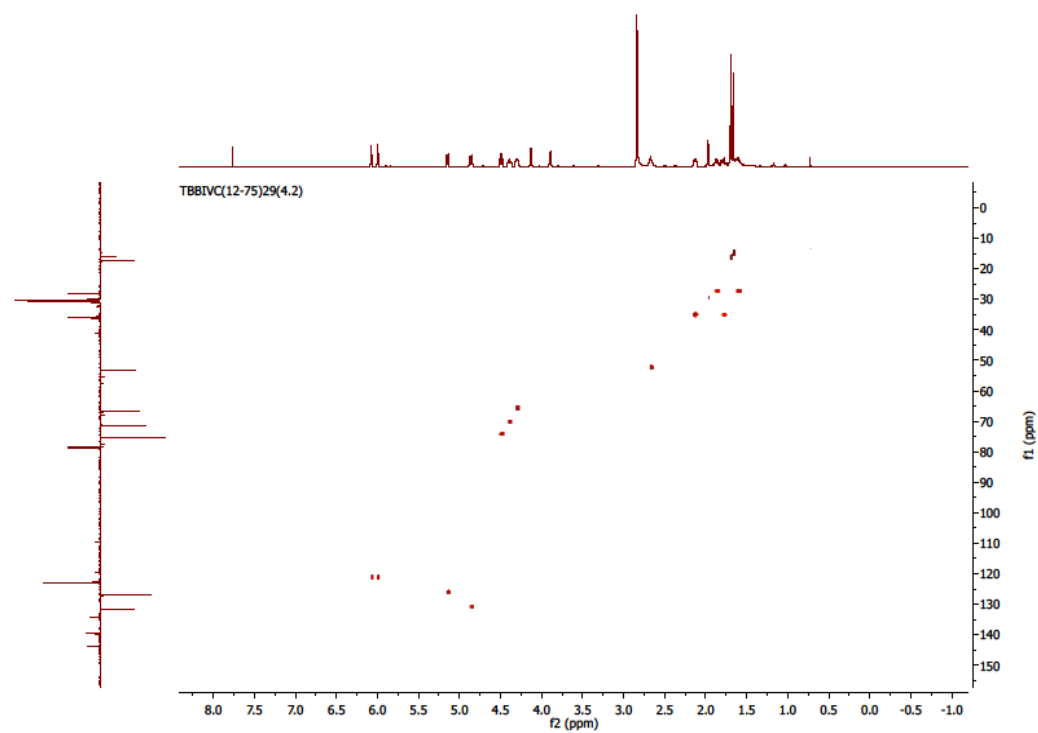
Şekil 4.105 Tavulin  $^1\text{H}$  NMR spektrumu



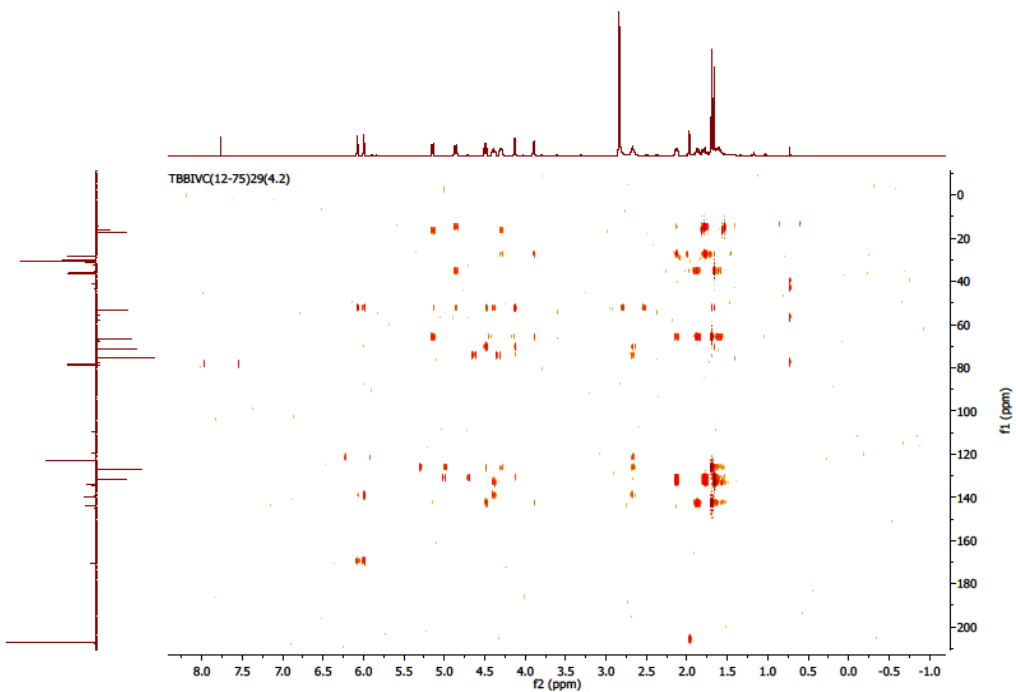
Şekil 4.106 Tavulin COSY spektrumu



Şekil 4.107 Tavulin APT spektrumu



Şekil 4.108 Tavulin HSQC spektrumu



Şekil 4.109 Tavulin HMBC spektrumu

#### **4.2 *Tanacetum balsamita* subsp. *balsamitoides* (TBB) bitkisinin MeOH ekstresinden izole edilen maddeler**

TBB bitkisinin gövdesinden elde edilen 77 gr MeOH ekstresinin kaba ayrimi için sıvı-sıvı kromatografisi yapılmıştır. Sıvı-sıvı kromatografisinde hekzan-CH<sub>2</sub>Cl<sub>2</sub>-etil asetat-BuOH:H<sub>2</sub>O (70:30) çözücüleri kullanılmış ve toplam 4 fraksiyon elde edilmişdir.

TBB MeOH/CH<sub>2</sub>Cl<sub>2</sub> fraksiyonu kolon kromatografisi yapılmış ve 165 fraksiyon toplanmıştır. İnce tabaka kromatografisi yardımıyla benzer fraksiyonlar birleştirilmiştir. Çizelge 4.30'da kolon kromatografisinde yer alan çözücü sistemleri yer almaktadır.

TBB MeOH/CH<sub>2</sub>Cl<sub>2</sub> (15-20) fraksiyonunda bulunan maddeler LH 20 sephadex kolon kromatografisi yapılarak ayrılmaya çalışılmıştır. Kolon sonrası iki fraksiyon elde edilmiştir. TBB MeOH/CH<sub>2</sub>Cl<sub>2</sub> (15-20) 1 kodlu 1. fraksiyon CHCl<sub>3</sub> sisteminde 3 defa preparatif ince tabaka kromatografisinde yürütülmüş ve 5 bant elde edilmiştir. İzolasyon çalışmaları sonucunda TBB MeOH/ CH<sub>2</sub>Cl<sub>2</sub> (15-20) 1.3.2, TBB MeOH/CH<sub>2</sub>Cl<sub>2</sub> (15-20) 1.4.2 ve TBB MeOH/CH<sub>2</sub>Cl<sub>2</sub> (15-20) 1.5.3 kodlu maddeler saflaştırılmıştır. Maddelerin <sup>1</sup>H NMR spektrumları incelenmesi sonucunda bu maddelerin sırasıyla daha önce etil asetat ekstresinden izole edilen Chrysanthemolide, Pallensis ve 1,10-Epoksispiciformin olduğu anlaşılmıştır. TBB MeOH/CH<sub>2</sub>Cl<sub>2</sub> (15-20) 1.4.1.1.1 kodlu Isofraxidin 10 mg miktarında elde edilmiştir.

TBB MeOH/CH<sub>2</sub>Cl<sub>2</sub> (15-20) 2 kodlu 2.fraksiyon CHCl<sub>3</sub> sisteminde 5 defa preparatif ince tabaka kromatografisinde yürütülmüş ve 7 bant elde edilmiştir. İzolasyon çalışmaları sonucunda TBB MeOH/CH<sub>2</sub>Cl<sub>2</sub> (15-20) 2.2 kodlu Scopoletin, TBB MeOH/CH<sub>2</sub>Cl<sub>2</sub> (15-20) 2.5.2.2 kodlu Cirsimarin ve TBB MeOH/CH<sub>2</sub>Cl<sub>2</sub> (15-20) 2.5.3.3 kodlu 5,7,3'-Trihidroksi-6,4',5'-trimetoksiflavon saflaştırılmıştır.

TBB MeOH/CH<sub>2</sub>Cl<sub>2</sub> (2-9) fraksiyonu CHCl<sub>3</sub> sisteminde 2 defa preparatif ince tabaka kromatografisinde yürütülmüş ve 5 bant elde edilmiştir. 3. banttan TBB MeOH/CH<sub>2</sub>Cl<sub>2</sub> (2-9) 3 kodlu 7-Metoksikumarin 6 mg elde edilmiştir. 5. banttan izole edilen maddenin <sup>1</sup>H-NMR spektrumu incelenmesi sonucunda bu maddenin daha önce etil asetat ekstresinden izole edilen Taurin olduğu belirlenmiştir.

TBB MeOH/CH<sub>2</sub>Cl<sub>2</sub> (21-35) fraksiyonu CHCl<sub>3</sub>:Eter (3:1)sisteminde 3 defa preparatif ince tabaka kromatografisinde yürütülmüş ve 5 bant elde edilmiştir. 3. banttan izole

edilen maddenin  $^1\text{H-NMR}$  spektrumu incelenmesi sonucunda bu maddenin daha önce etil asetat ekstresinden izole edilen 1-Asetilerivanin olduğu belirlenmiştir.

TBB MeOH/CH<sub>2</sub>Cl<sub>2</sub> (60-89) fraksiyonu CHCl<sub>3</sub>:Eter:EA (1:1:1) çözücü sisteminde 3 defa preparatif ince tabaka kromatografisinde yürütülmüş ve 5 bant elde edilmiştir. 2. banttan TBB MeOH/CH<sub>2</sub>Cl<sub>2</sub> (60-89) 2.4.2 kodlu Tanachin 5 mg miktarında elde edilmiştir. TBB MeOH/CH<sub>2</sub>Cl<sub>2</sub> (60-89) 2.4.2, TBB MeOH/EA (72-85) 2 ve TBB MeOH/EA (86-150) 2 maddelerinin  $^1\text{H-NMR}$  spektrumları karşılaştırıldığında aynı yapıdaki maddeler oldukları belirlenmiştir. TBB MeOH/CH<sub>2</sub>Cl<sub>2</sub> (60-89) 2.2.1 maddesinin  $^1\text{H-NMR}$  spektrumu incelenmesi sonucunda etil asetat ekstresinden izole edilen maddenin Tavulin olduğu anlaşılmıştır.

TBB MeOH/EA fraksiyonu kolon kromatografisi yapılmış ve 185 fraksiyon toplanılmıştır. İnce tabaka kromatografisi yardımıyla benzer fraksiyonlar birleştirilmiştir. TBB MeOH/EA (27-46) fraksiyonu CHCl<sub>3</sub> sisteminde 6 defa tekrar preparatif ince tabaka kromatografisinde yürütülmüş ve 8 bant elde edilmiştir. İzolasyon çalışmaları sonucunda TBB MeOH/EA (27-46) 7.2 kodlu Deasetil- $\beta$ -siklopyrethrosin saflaştırılmıştır.

TBB MeOH/EA (72-85) fraksiyonu CHCl<sub>3</sub>:Eter (1:1) çözücü sisteminde 3 defa preparatif ince tabaka kromatografisinde yürütülmüş ve 2 bant elde edilmiştir. TBB MeOH/EA (72-85) 1 kodlu 1. banttan 10 mg madde saflaştırılmıştır. Maddenin  $^1\text{H-NMR}$  spektrumu incelenmesi sonucunda bu maddenin daha önce etil asetat ekstresinden izole edilen Tavulin olduğu belirlenmiştir.

Çizelge 4.30 TBB MeOH/CH<sub>2</sub>Cl<sub>2</sub> fraksiyonuna ait kolon kromatografî çalışması

Kullanılan çözücü sistemi	Fraksiyonlar
Hekzan	TBB MeOH/CH <sub>2</sub> Cl <sub>2</sub> .1-5
Hekzan:CHCl <sub>3</sub> (50:50)	TBB MeOH/CH <sub>2</sub> Cl <sub>2</sub> .6-15
CHCl <sub>3</sub>	TBB MeOH/CH <sub>2</sub> Cl <sub>2</sub> .16-30
CHCl <sub>3</sub> :Eter (80:20)	TBB MeOH/CH <sub>2</sub> Cl <sub>2</sub> .31-40
CHCl <sub>3</sub> :Eter (60:40)	TBB MeOH/CH <sub>2</sub> Cl <sub>2</sub> .41-60
CHCl <sub>3</sub> :Eter (40:60)	TBB MeOH/CH <sub>2</sub> Cl <sub>2</sub> .61-75
CHCl <sub>3</sub> :Eter (20:80)	TBB MeOH/CH <sub>2</sub> Cl <sub>2</sub> .76-85
Eter	TBB MeOH/CH <sub>2</sub> Cl <sub>2</sub> .86-90
Eter:Etil asetat(80:20)	TBB MeOH/CH <sub>2</sub> Cl <sub>2</sub> .91-95
Eter:Etil asetat(60:40)	TBB MeOH/CH <sub>2</sub> Cl <sub>2</sub> .96-100
Eter:Etil asetat (40:60)	TBB MeOH/CH <sub>2</sub> Cl <sub>2</sub> .101-105
Eter:Etil asetat (20:80)	TBB MeOH/CH <sub>2</sub> Cl <sub>2</sub> .106-115
Etil asetat	TBB MeOH/CH <sub>2</sub> Cl <sub>2</sub> .116-125
Etil asetat:MeOH (80:20)	TBB MeOH/CH <sub>2</sub> Cl <sub>2</sub> .126-140
Etil asetat:MeOH(60:40)	TBB MeOH/CH <sub>2</sub> Cl <sub>2</sub> .141-150
Etil asetat:MeOH(80:20)	TBB MeOH/CH <sub>2</sub> Cl <sub>2</sub> .151-160
MeOH	TBB MeOH/CH <sub>2</sub> Cl <sub>2</sub> .161-163
MeOH:Asetik asit(60:1)	TBB MeOH/CH <sub>2</sub> Cl <sub>2</sub> .164-165

Çizelge 4.31 TBB MeOH/CH<sub>2</sub>Cl<sub>2</sub> (48-59) fraksiyonuna ait kolon kromatografi çalışması

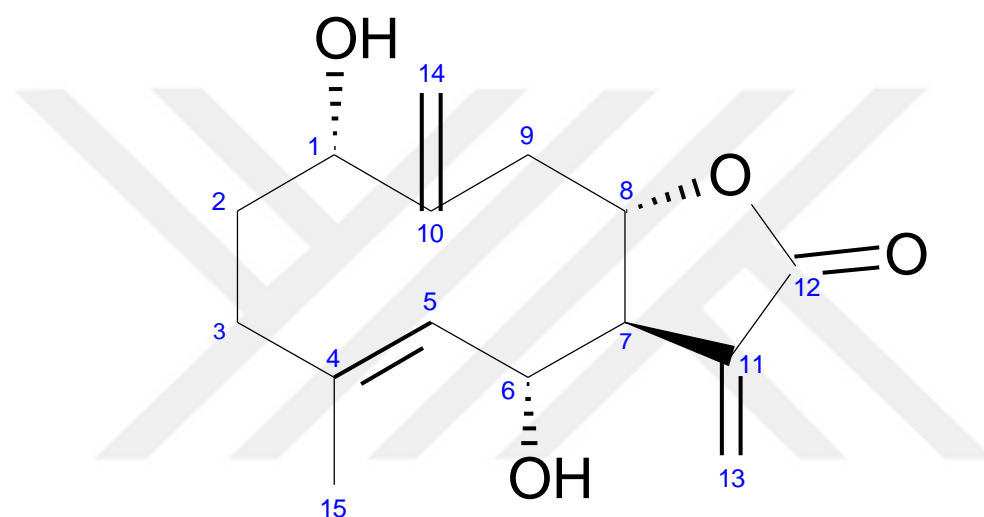
<b>Fraksiyonlar</b>	<b>Kullanılan çözücü sistemi</b>
1.parti	CHCl <sub>3</sub>
2. parti	CHCl <sub>3</sub> :Eter (9.5:0.5)
3.parti	CHCl <sub>3</sub> :Eter (9:0.5)
4.parti	CHCl <sub>3</sub> :Eter (8.5:0.5)
5.parti	CHCl <sub>3</sub> :Eter (8:0.5)
6.parti	CHCl <sub>3</sub> :Eter (7.5:0.5)
7.parti	CHCl <sub>3</sub> :Eter (7:0.5)
8.parti	CHCl <sub>3</sub> :Eter (6.5:0.5)
9.parti	CHCl <sub>3</sub> :Eter (6:0.5)
10.parti	CHCl <sub>3</sub> :Eter (5.5:0.5)
11.parti	CHCl <sub>3</sub> :Eter (5:0.5)
12.parti	CHCl <sub>3</sub> :Eter (9:1)
13.parti	CHCl <sub>3</sub> :Eter (8:1)
14.parti	CHCl <sub>3</sub> :Eter (7:1)
15.parti	CHCl <sub>3</sub> :Eter (5:1)
16.parti	Eter
17.parti	MeOH
18.parti	MeOH:Asetik asit(20:1)

Çizelge 4.32 TBB MeOH/EA fraksiyonuna ait kolon kromatografî çalışması

<b>Fraksiyonlar</b>	<b>Kullanılan çözücü sistemi</b>
1.parti	CHCl <sub>3</sub>
2. parti	CHCl <sub>3</sub> :Eter (90:10)
3.parti	CHCl <sub>3</sub> :Eter (80:20)
4.parti	CHCl <sub>3</sub> :Eter (70:30)
5.parti	CHCl <sub>3</sub> :Eter (60:40)
6.parti	CHCl <sub>3</sub> :Eter (50:50)
7.parti	CHCl <sub>3</sub> :Eter (40:60)
8.parti	CHCl <sub>3</sub> :Eter (30:70)
9.parti	CHCl <sub>3</sub> :Eter (20:80)
10.parti	CHCl <sub>3</sub> :Eter (10:90)
11.parti	Eter
12.parti	Eter:Etil asetat (80:20)
13.parti	Eter:Etil asetat (60:40)
14.parti	Eter:Etil asetat (40:60)
15.parti	Eter:Etil asetat (20:80)
16.parti	Etil asetat
17.parti	MeOH

#### 4.2.1 TBB MeOH/CH<sub>2</sub>Cl<sub>2</sub> (60-89) 2.4.2=1 $\alpha$ -Hidroksi-1-desoksotamirin (Tanachin)

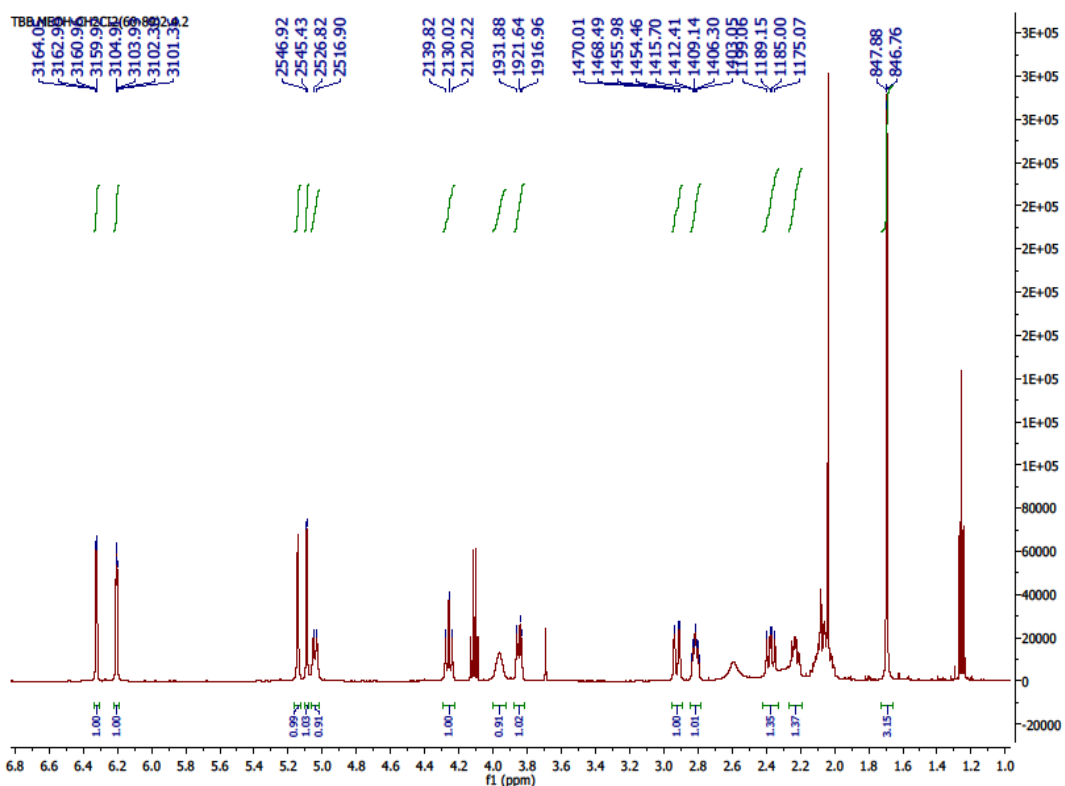
Maddenin yapısı spektral yöntemlerle (<sup>1</sup>H-NMR, APT, COSY, HSQC, HMBC) aydınlatılmıştır. Çizelge 4.33'te 1 $\alpha$ -Hidroksi-1-desoksotamirin <sup>1</sup>H-NMR ve APT kimyasal kayma değerleri, Şekil 4.110'da 1 $\alpha$ -Hidroksi-1-desoksotamirin moleküler yapısı, Şekil 4.111'de <sup>1</sup>H NMR spektrumu, Şekil 4.112'de COSY spektrumu, Şekil 4.113'te APT spektrumu, Şekil 4.114'te HSQC spektrumu ve Şekil 4.115'te HMBC spektrumu verilmektedir. Elde edilen veriler literatürde verilen değerlerle uyum içindedir [9], [10], [179], [188], [189], [190], [191], [192], [196], [197], [198], [206], [207].



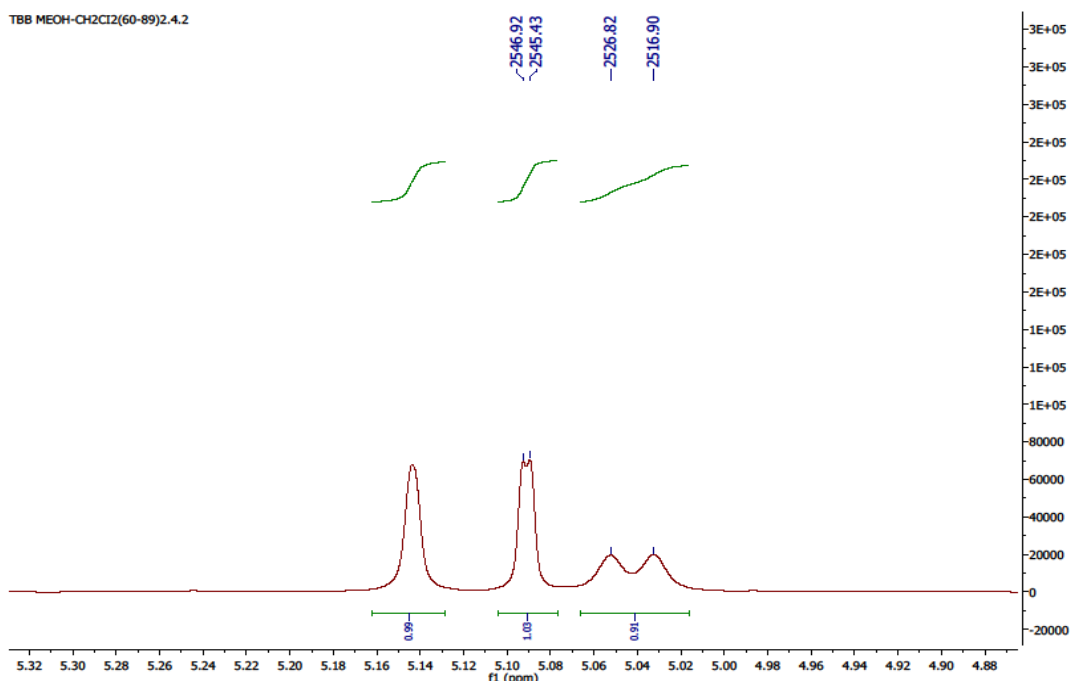
Şekil 4.110 1 $\alpha$ -Hidroksi-1-desoksotamirin moleküler yapısı

Çizelge 4.33 1 $\alpha$ -Hidroksi-1-desoksotamirin  $^1\text{H-NMR}$  ve APT (500 MHz, 125 MHz,  $\text{CDCl}_3$ ) kimyasal kayma değerleri

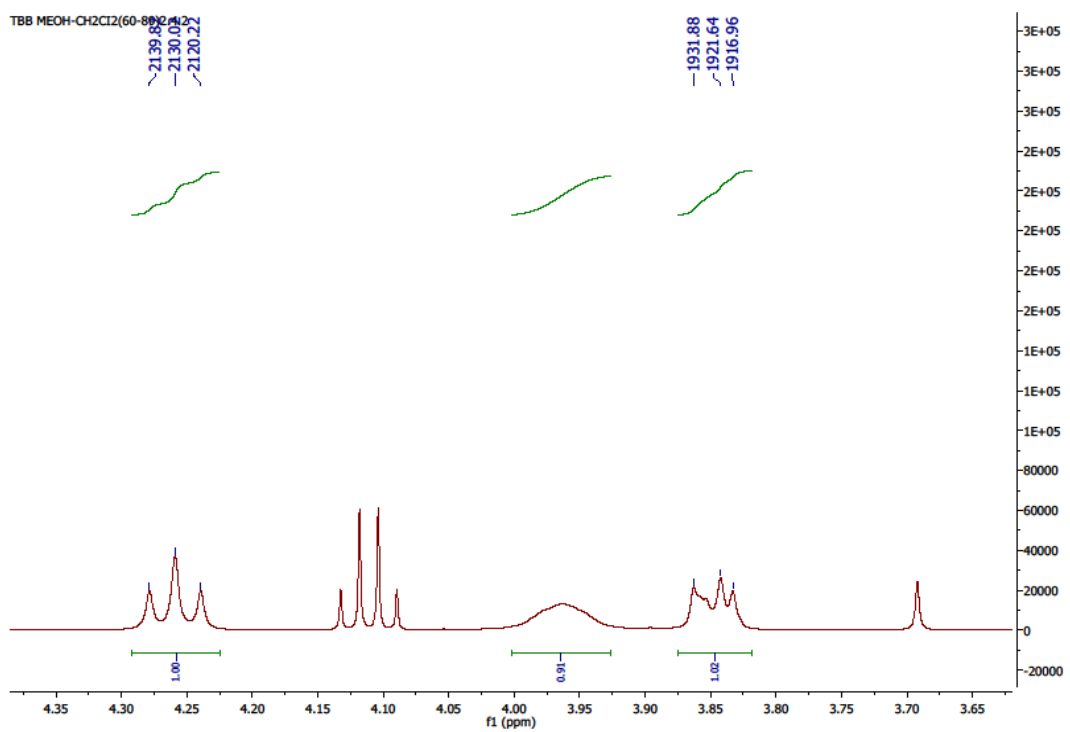
<b>H</b>	<b><math>^1\text{H-NMR}</math></b>	<b>C</b>	<b>APT</b>
1	3.85 dd (1H, $J=4.5;10.2$ Hz)	1	70.17
2 ve 2'	2.08 m (2H)	2	30.67
3	2.05 m (2H)	3	34.40
3'	2.23 m (1H)	4	128.23
5	5.04 brd (1H, $J=10$ Hz)	5	131.35
6	4.26 dd (1H, $J=9.8;9.8$ Hz)	6	70.5
7	2.81 m (1H)	7	51.73
8	3.96 m (1H)	8	79.01
9	2.92 dd (1H, $J=1.5;14$ Hz)	9	41.41
9'	2.37 dd (1H, $J=10;14$ Hz)	10	136.55
13	6.32 dd (1H, $J=1.0;3.0$ Hz)	11	146.28
13'	6.20 dd (1H, $J=1.0;2.6$ Hz)	12	170.52
14	5.14 brs (1H)	13	125.91
14'	5.09 brd (1H, $J=1.5$ Hz)	14	114.66
15	1.70 d (3H, $J=1.0$ Hz)	15	17.34



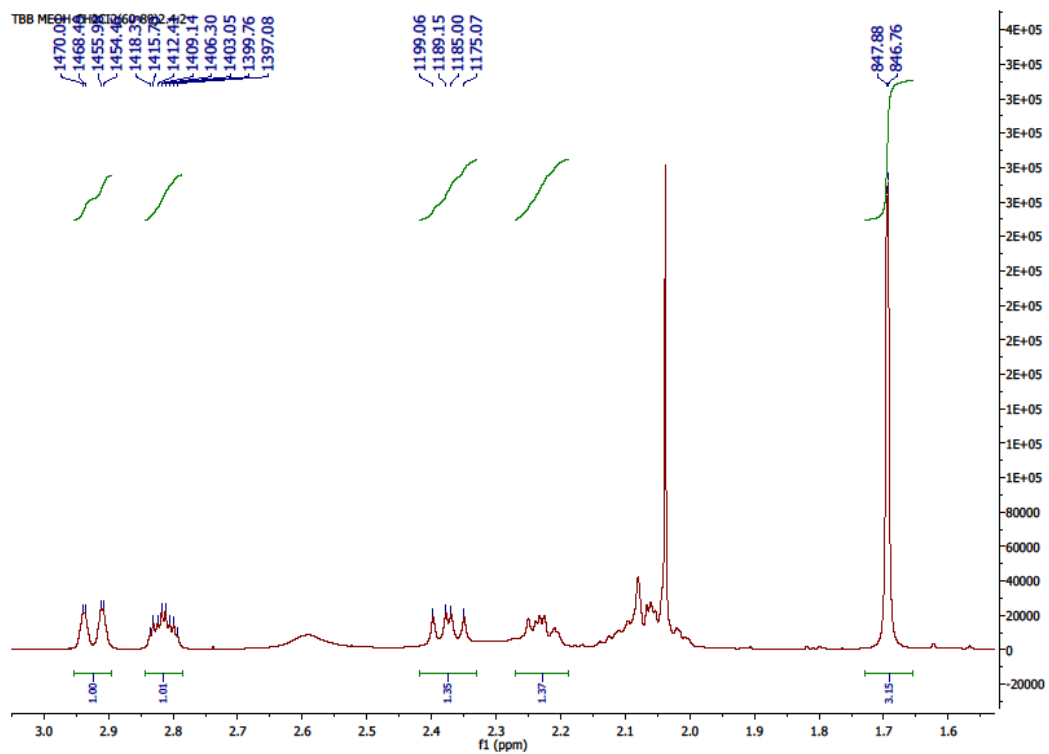
Şekil 4.111 Tanachin <sup>1</sup>H NMR spektrumu



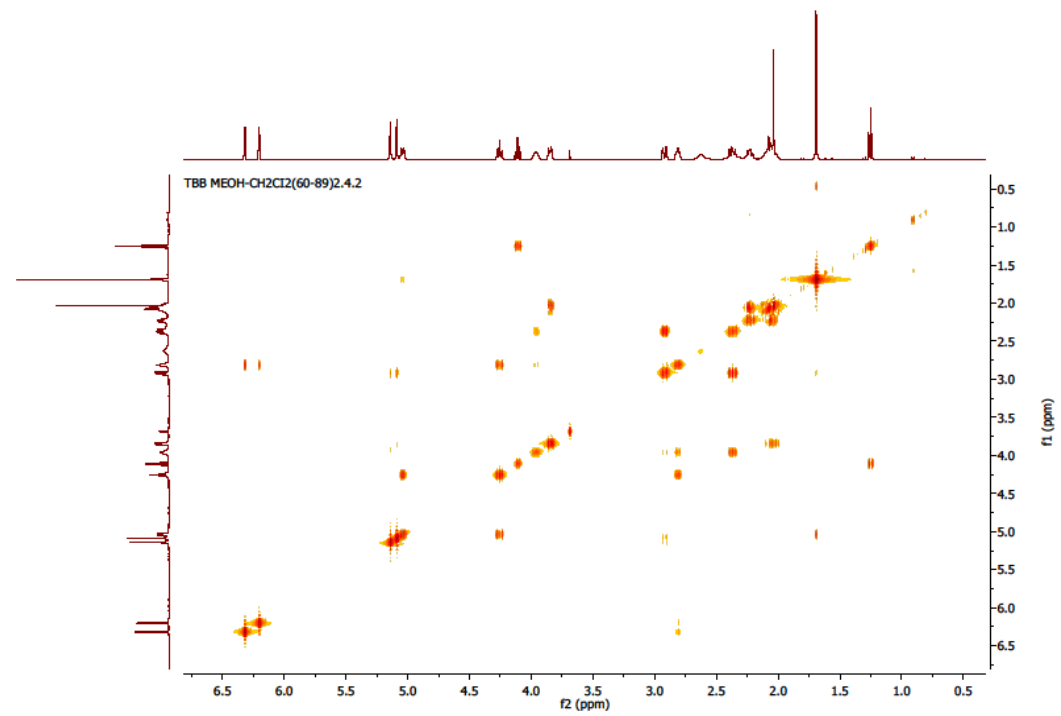
Şekil 4.111 Tanachin <sup>1</sup>H NMR spektrumu



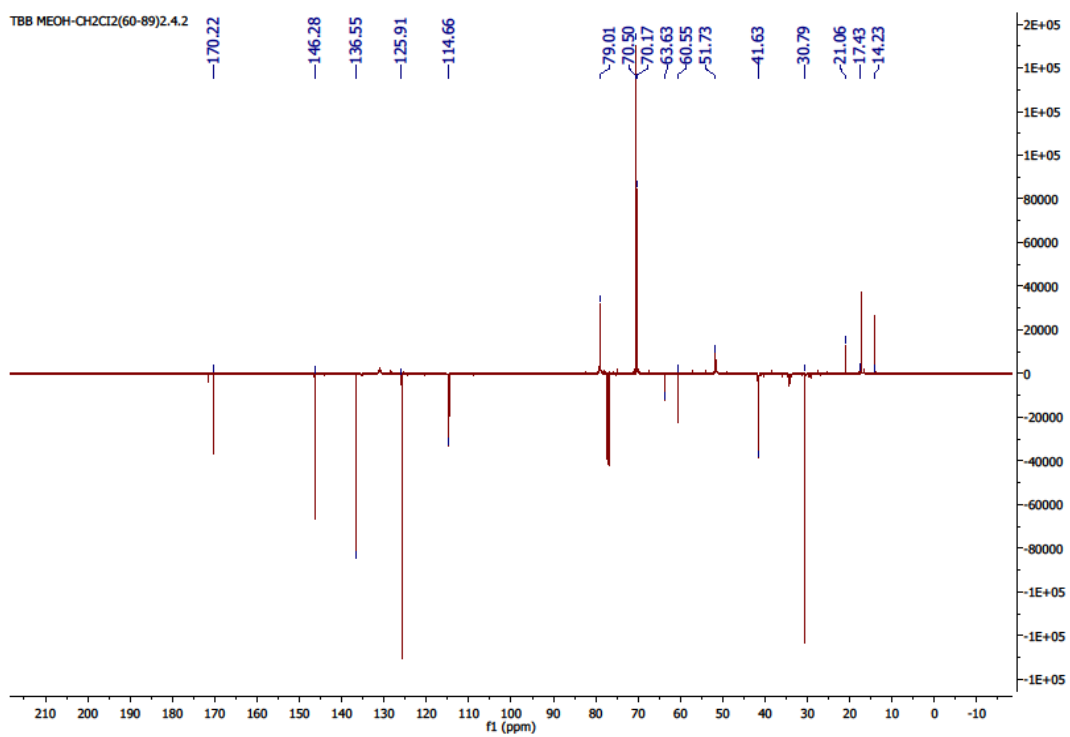
Şekil 4.111 Tanachin <sup>1</sup>H NMR spektrumu



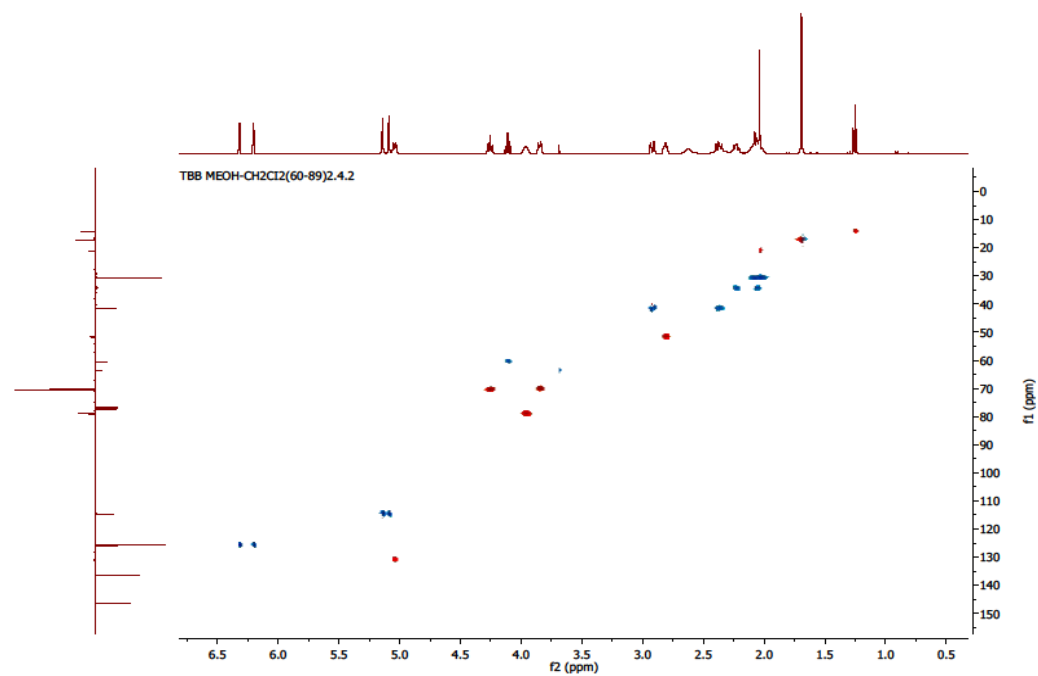
Şekil 4.111 Tanachin <sup>1</sup>H NMR spektrumu



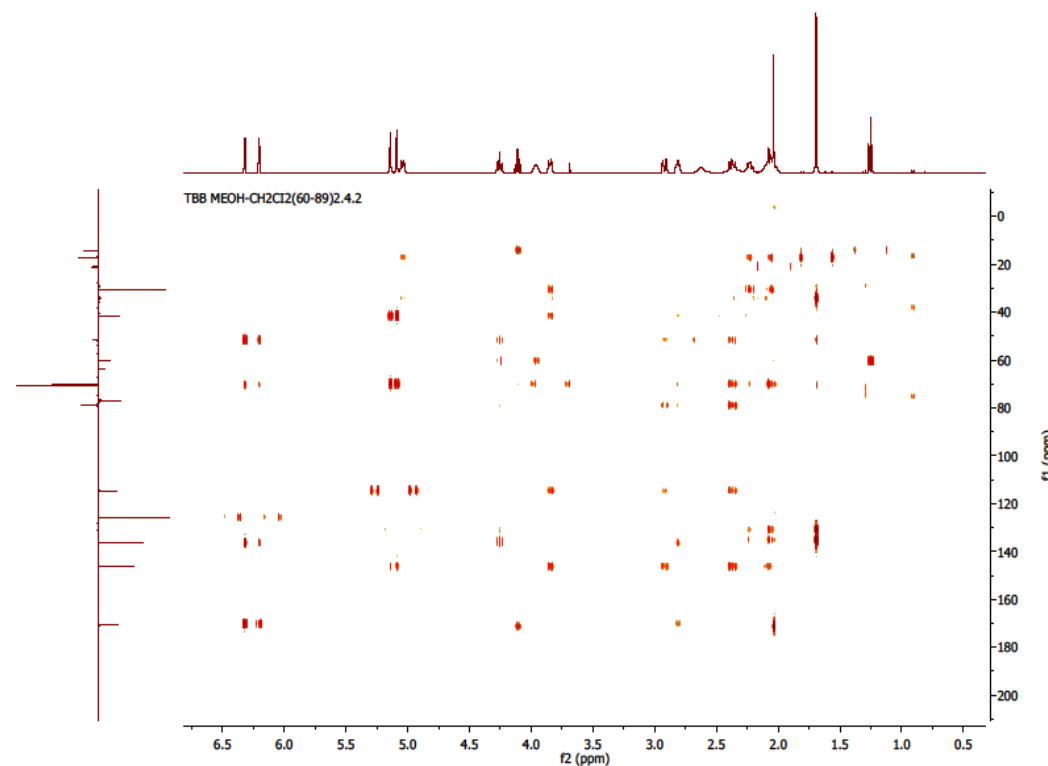
Şekil 4.112 Tanachin COSY spektrumu



Şekil 4.113 Tanachin APT spektrumu



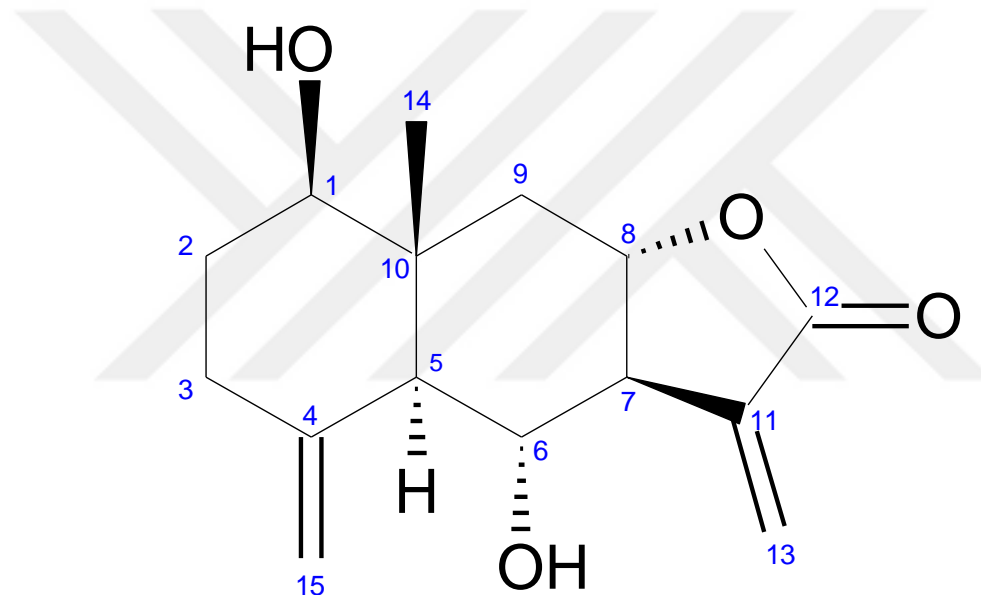
Şekil 4.114 Tanachin HSQC spektrumu



Şekil 4.115 Tanachin HMBC spektrumu

#### 4.2.2 TBB MeOH/EA (27-46) 7.2=Desasetil- $\beta$ -siklopyrethrosin (Desacetyl- $\beta$ -cyclopyrethrosin)

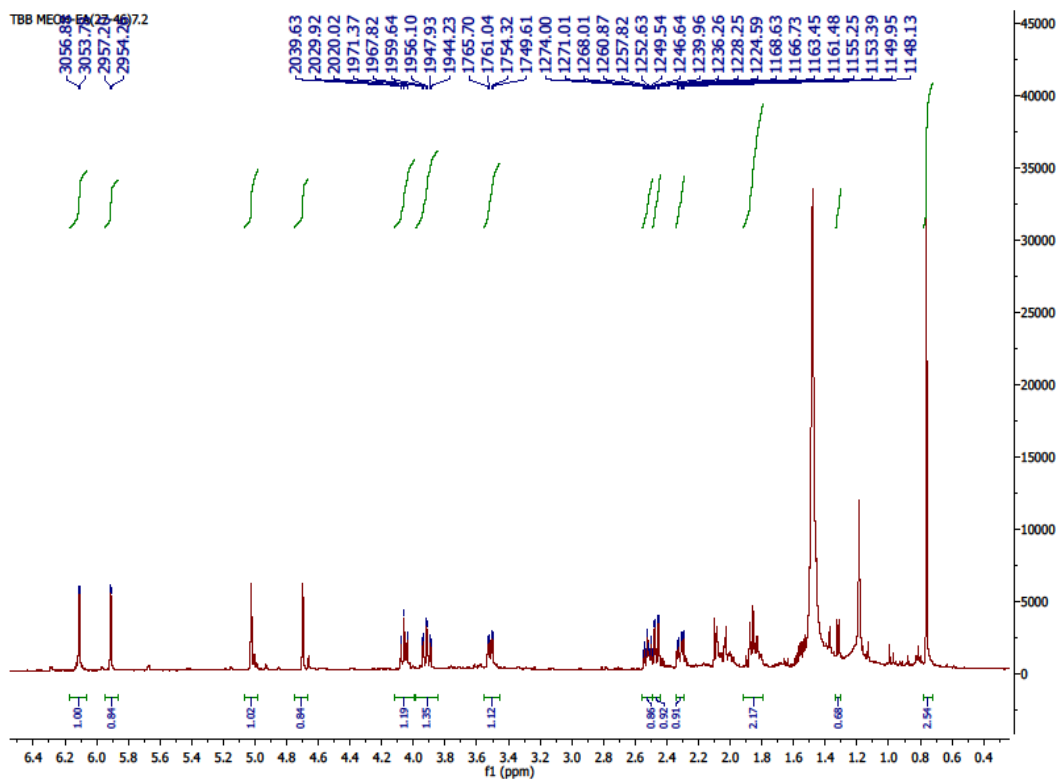
Maddenin yapısı spektral yöntemlerle ( $^1\text{H-NMR}$ , APT, COSY, HSQC, HMBC) aydınlatılmış ve asetillme reaksiyonu yapılmıştır. Çizelge 4.34'te Desasetil- $\beta$ -siklopyrethrosin  $^1\text{H-NMR}$  ve APT kimyasal kayma değerleri, Şekil 4.116'da Desasetil- $\beta$ -siklopyrethrosin moleküler yapısı, Şekil 4.117'de  $^1\text{H}$  NMR spektrumu, Şekil 4.118'de asetil türevinin  $^1\text{H}$  NMR spektrumu, Şekil 4.119'da COSY spektrumu, Şekil 4.120'de APT spektrumu, Şekil 4.121'de HSQC spektrumu ve Şekil 4.122'de HMBC spektrumu verilmektedir. Elde edilen veriler literatürde verilen değerlerle uyum içindedir [9], [10], [179], [188], [189], [190], [191], [192], [196], [197], [198], [206], [207].



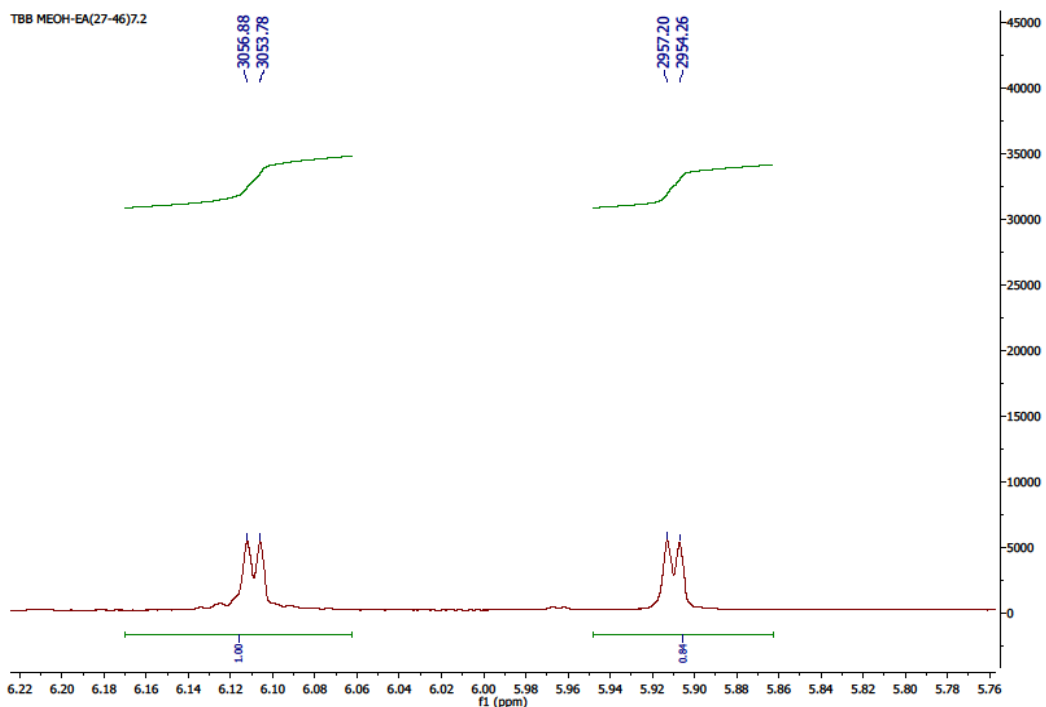
Şekil 4.116 Desasetil- $\beta$ -siklopyrethrosin moleküler yapısı

Çizelge 4.34 Desasetil- $\beta$ -siklopyrethrosin  $^1\text{H}$ -NMR ve APT (500 MHz, 125 MHz,  $\text{CDCl}_3$ ) kimyasal kayma değerleri

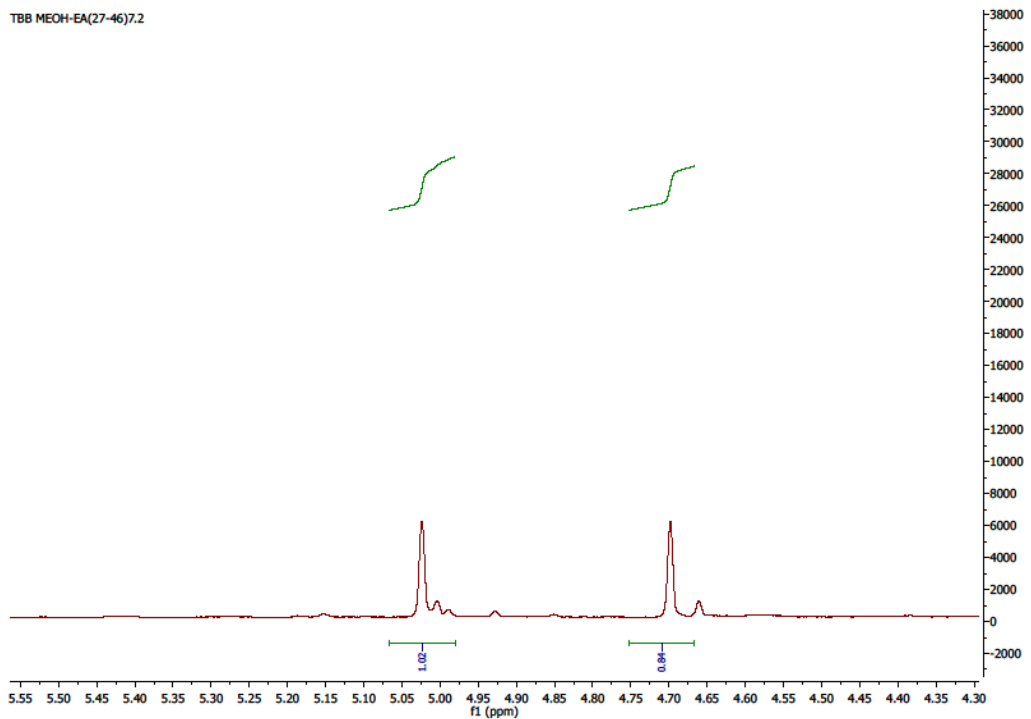
H	$^1\text{H-NMR}$	C	APT
1	3.61 dd (1H, $J=4.5;11.3$ Hz)	1	77.8
2	1.95 m (1H)	2	31.5
2'	1.62 m (1H)	3	34.7
3	2.40 ddd (1H, $J=2.0;5.0;13$ Hz)	4	130
3'	2.11 m (1H)	5	57.2
5	1.95 m (1H)	6	67.3
6	4.15 dd (1H, $J=9.7;9.9$ Hz)	7	53.6
7	2.62 m (1H)	8	76.3
8	4.01 ddd (1H, $J=3.5;11.7;11.7$ Hz)	9	40.2
9	2.56 dd (1H, $J=3.7;11.6$ Hz)	10	38
9'	1.58 m (1H)	11	143.8
13	6.20 dd (1H, $J=1.0;3.0$ Hz)	12	170.7
13'	6.00 dd (1H, $J=1.0;2.94$ Hz)	13	120.5
14	0.84 s (3H)	14	13.8
15	5.12 brs (1H)	15	108.6
15'	4.79 brs (1H)		



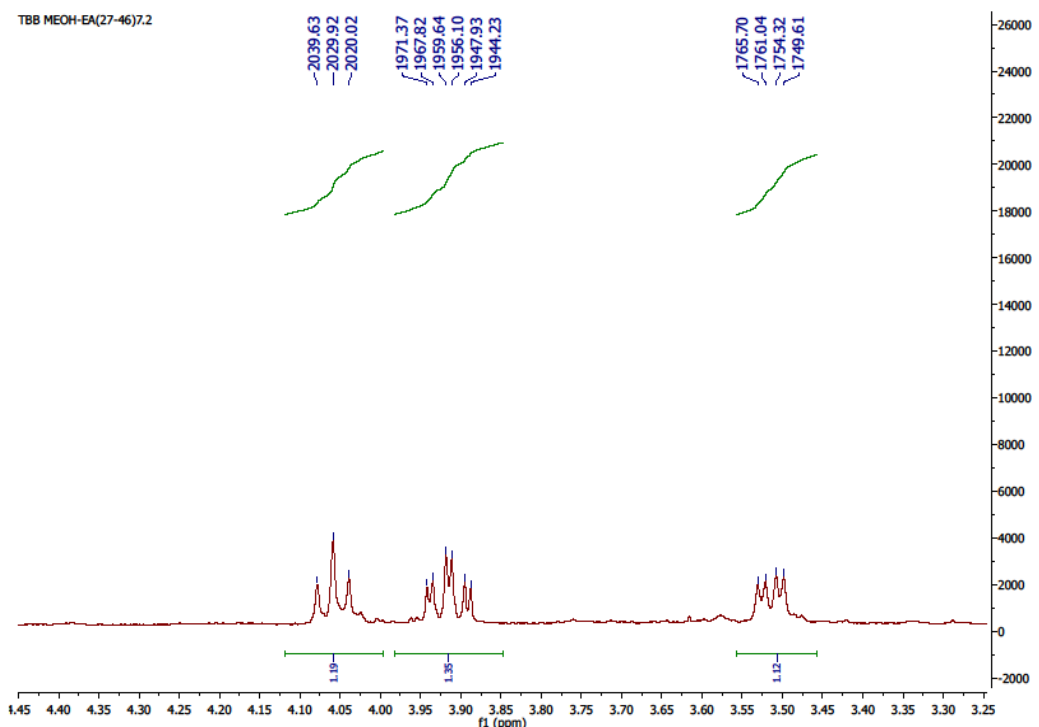
Şekil 4.117 Desasetil- $\beta$ -siklopyrethrosin  $^1\text{H}$  NMR spektrumu



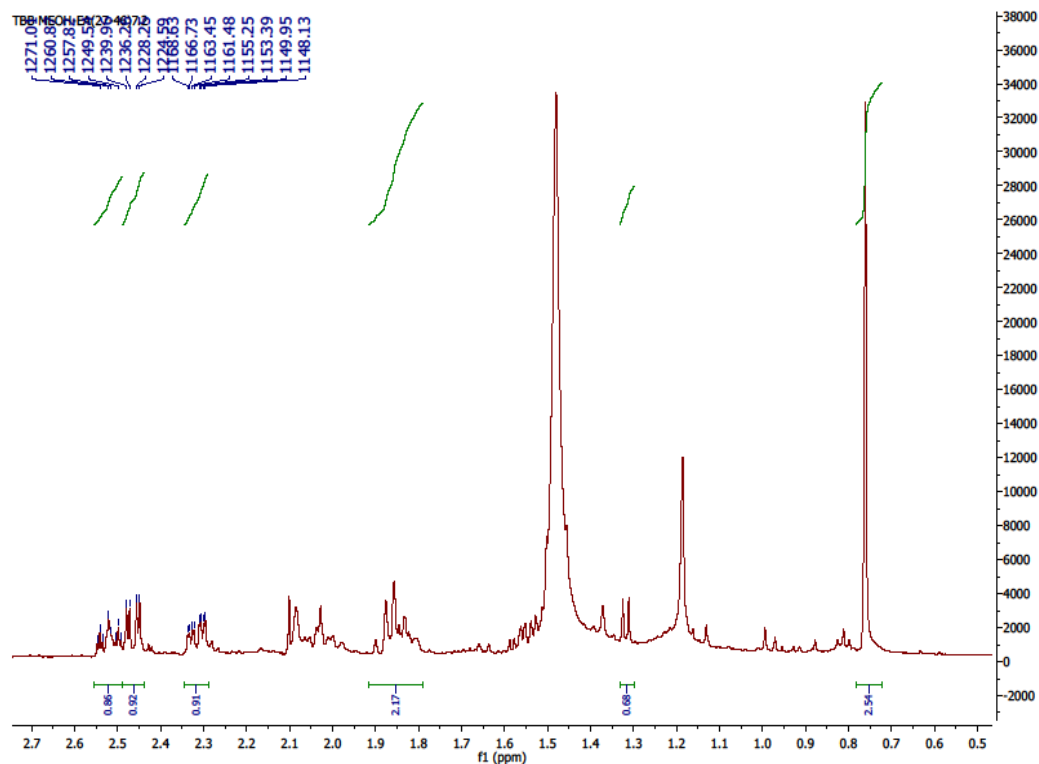
Şekil 4.117 Desasetil- $\beta$ -siklopyrethrosin  $^1\text{H}$  NMR spektrumu



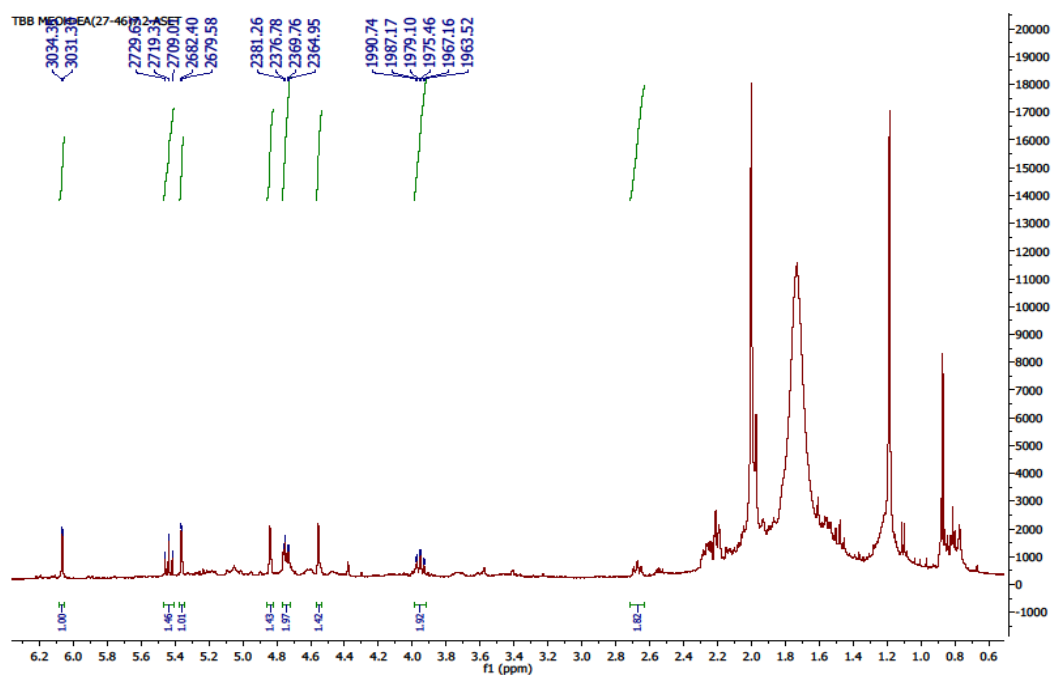
Şekil 4.117 Desasetil- $\beta$ -siklopyrethrosin  $^1\text{H}$  NMR spektrumu



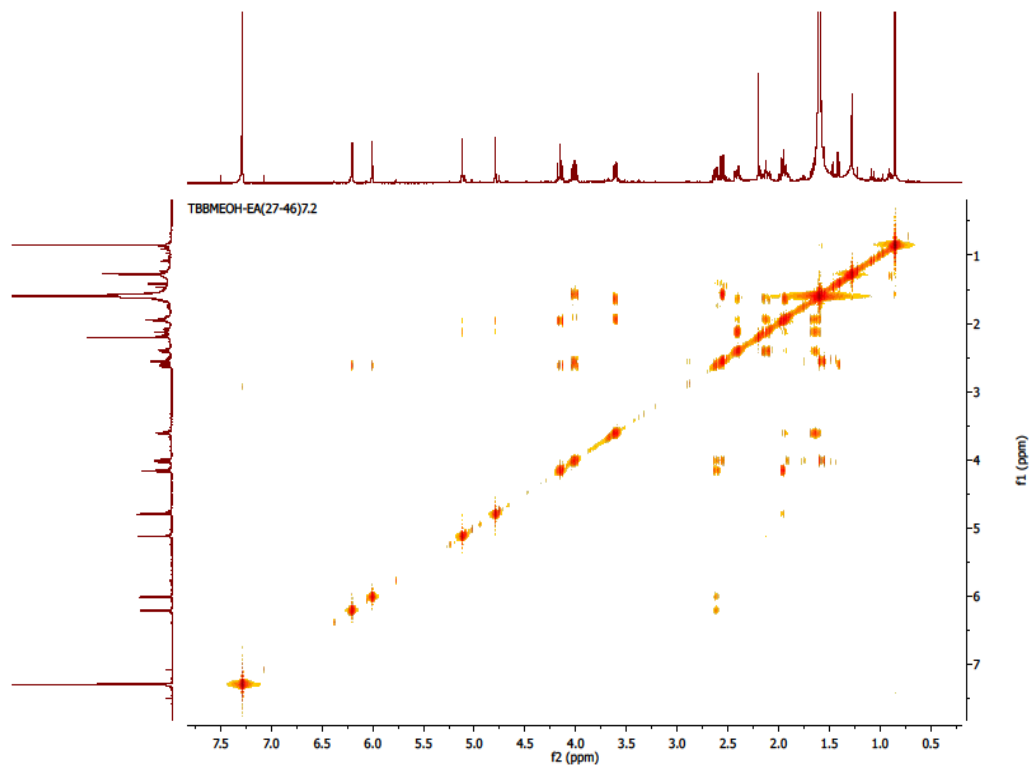
Şekil 4.117 Desasetil- $\beta$ -siklopyrethrosin  $^1\text{H}$  NMR spektrumu



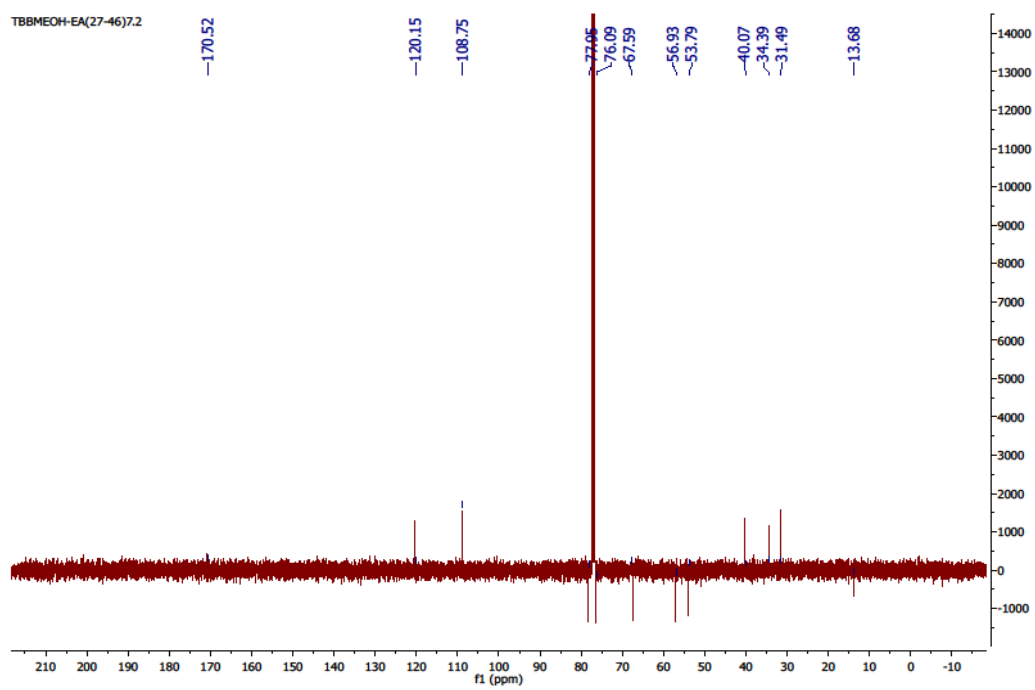
Şekil 4.117 Desasetil- $\beta$ -siklopyrethrosin  $^1\text{H}$  NMR spektrumu



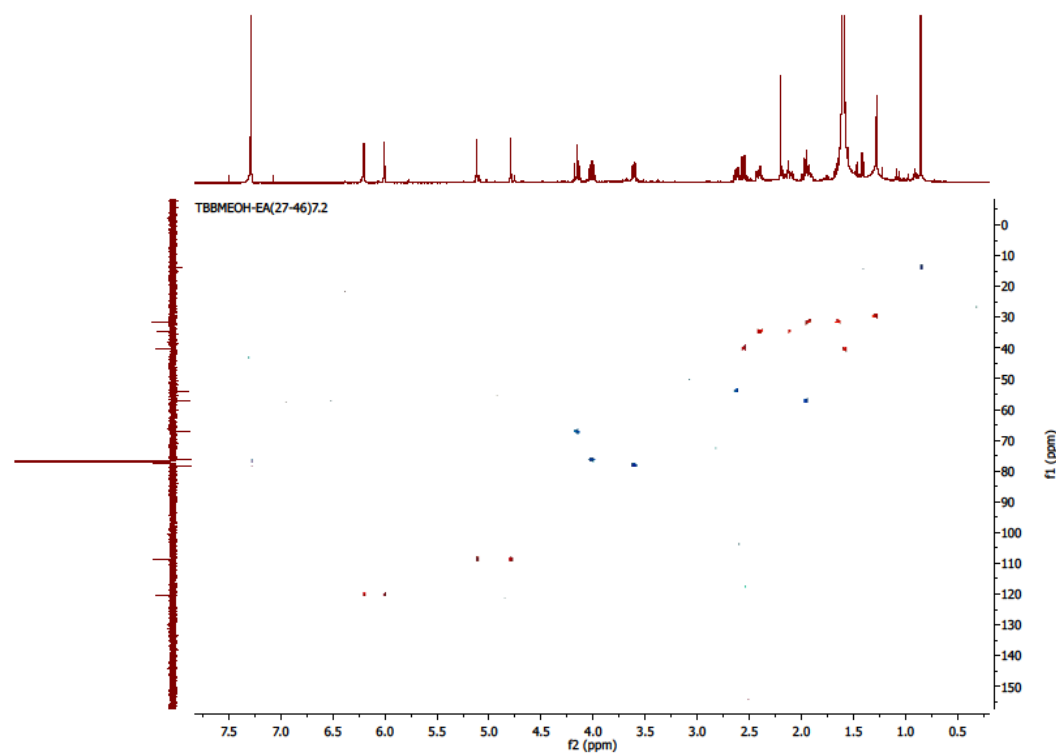
Şekil 4.118 Desasetil- $\beta$ -siklopyrethrosin asetil türevinin  $^1\text{H}$  NMR spektrumu



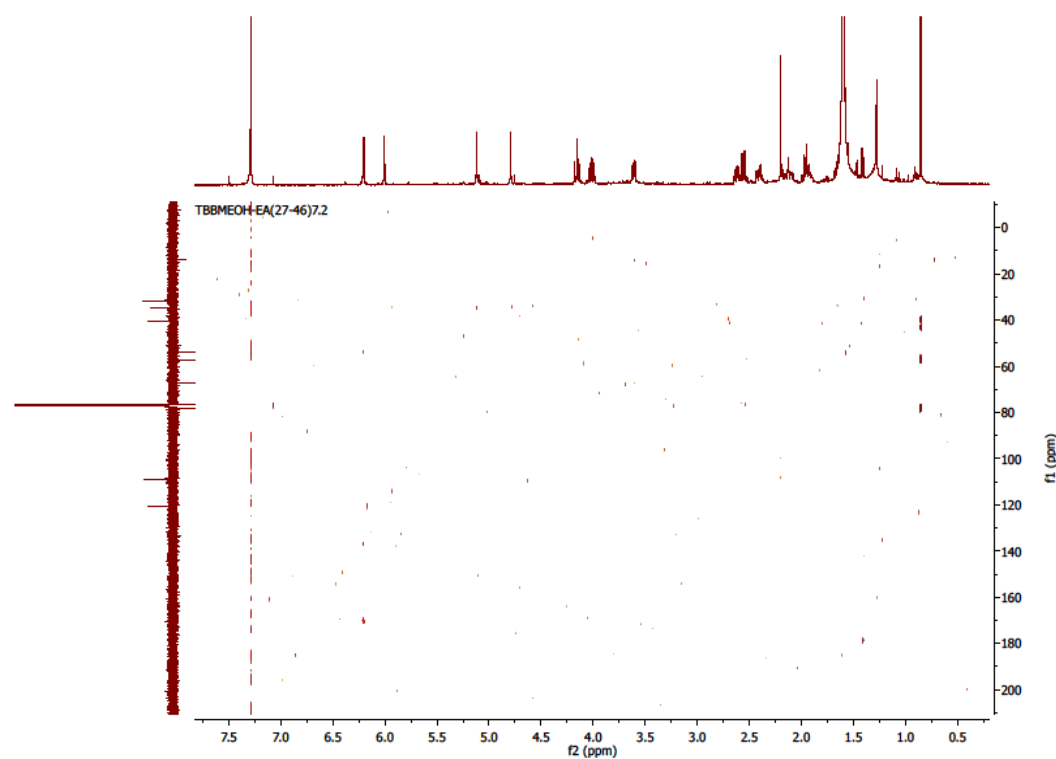
Şekil 4.119 Desasetil- $\beta$ -siklopyrethrosin COSY spektrumu



Şekil 4.120 Desasetil- $\beta$ -siklopyrethrosin APT spektrumu



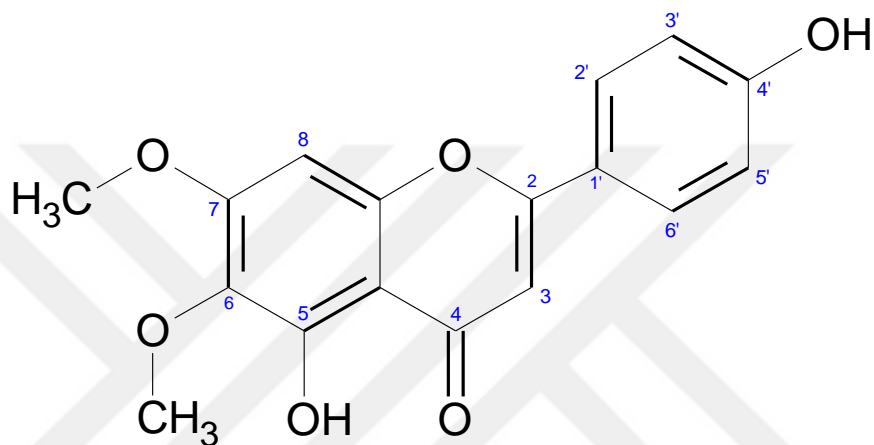
Şekil 4.121 Desasetil- $\beta$ -siklopyrethrosin HSQC spektrumu



Şekil 4.122 Desasetil- $\beta$ -siklopyrethrosin HMBC spektrumu

#### 4.2.3 TBB MeOH/CH<sub>2</sub>Cl<sub>2</sub> (15-20) 2.5.2.2=5,4'-Dihidroksi-6,7-dimetoksiflavon (Cirsimarinin)

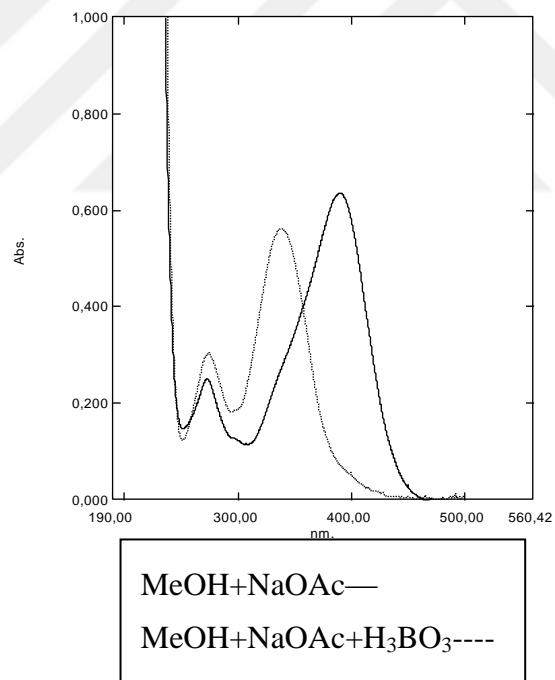
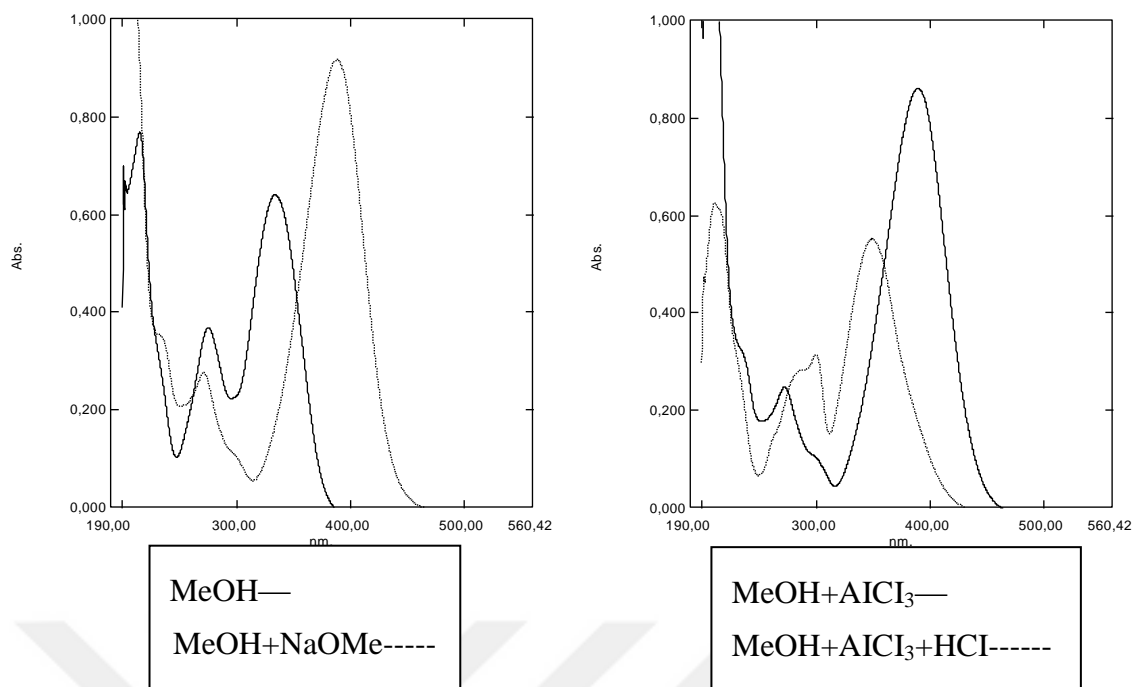
Maddenin yapısı spektral yöntemlerle (<sup>1</sup>H NMR, APT, UV/VIS) aydınlatılmıştır. Çizelge 4.35'te Cirsimarinin <sup>1</sup>H-NMR (500 MHz, CDCl<sub>3</sub>), APT (125 MHz, CDCl<sub>3</sub>) ve UV/VIS ( $\lambda$  Max) kimyasal kayma değerleri, Şekil 4.123'te Cirsimarinin moleküler yapısı, Şekil 4.124'te UV/VIS kayma spektrumları, Şekil 4.125'te <sup>1</sup>H NMR spektrumu ve Şekil 4.126'da APT spektrumu verilmektedir. Elde edilen veriler literatürde verilen değerlerle uyum içindedir [97], [208].



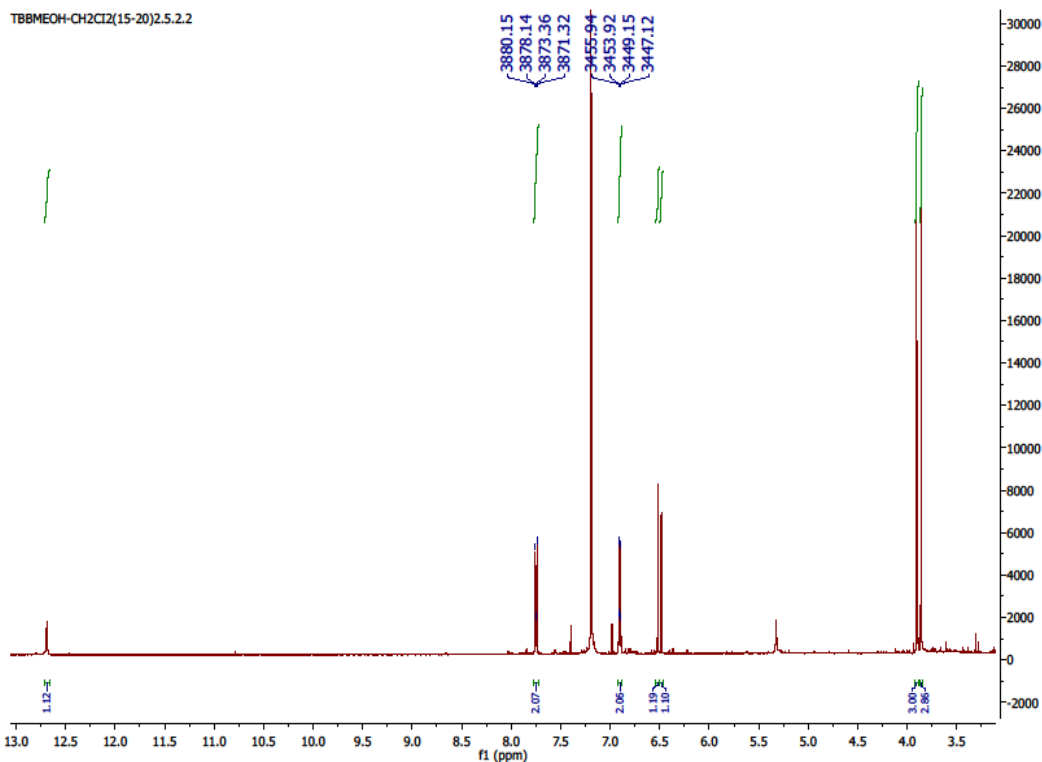
Şekil 4.123 Cirsimarinin moleküler yapısı

Çizelge 4.35 Cirsimarinin <sup>1</sup>H-NMR, APT (500 MHz, 125 MHz CDCl<sub>3</sub>) ve UV/VIS ( $\lambda$  Max) kimyasal kayma değerleri

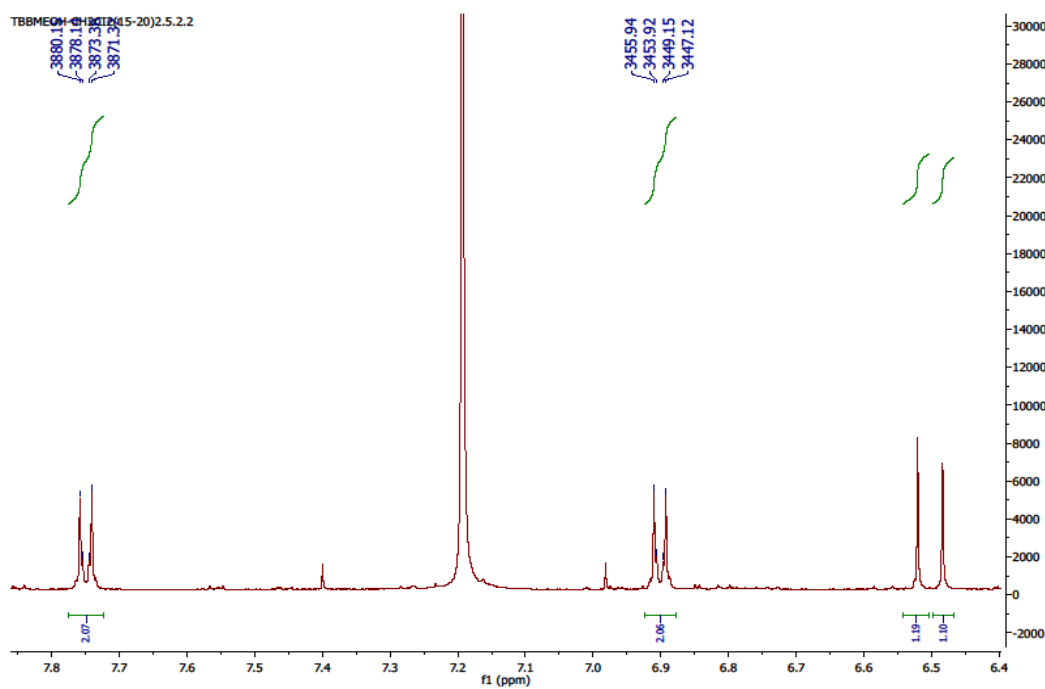
H	<sup>1</sup> H-NMR	APT	Reaktif	Band I ( $\lambda$ max)	Band II ( $\lambda$ max)
3	6.52 s (1H)	104	MeOH	334 nm	275 nm
8	6.48 s (1H)	90	NaOMe	389 nm	301 nm, 272 nm, 237 nm
2' ve 6'	7.75 m,o (1H, $J$ =2.0;7.0 Hz)	128	NaOAc	390 nm	306 nm, 274 nm
3' ve 5'	6.90 m,o (1H, $J$ =2.0;7.0 Hz)	115	NaOAc+H <sub>3</sub> BO <sub>3</sub>	339 nm	274 nm
-OMe	3.90 s (3H)	60	AlCl <sub>3</sub>	389 nm	301 nm, 274 nm, 238 nm
-OMe	3.86 s (3H)	56	AlCl <sub>3</sub> +HCl	350 nm	300 nm, 284 nm



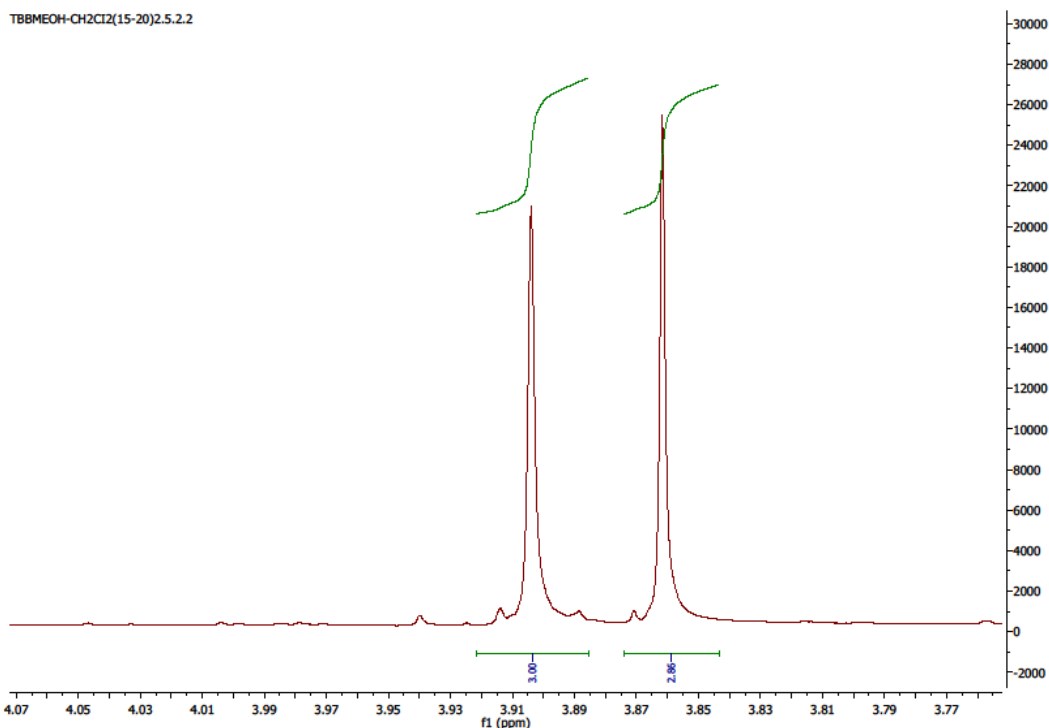
Şekil 4.124 Cirsimarinin UV/VIS kayma spektrumları



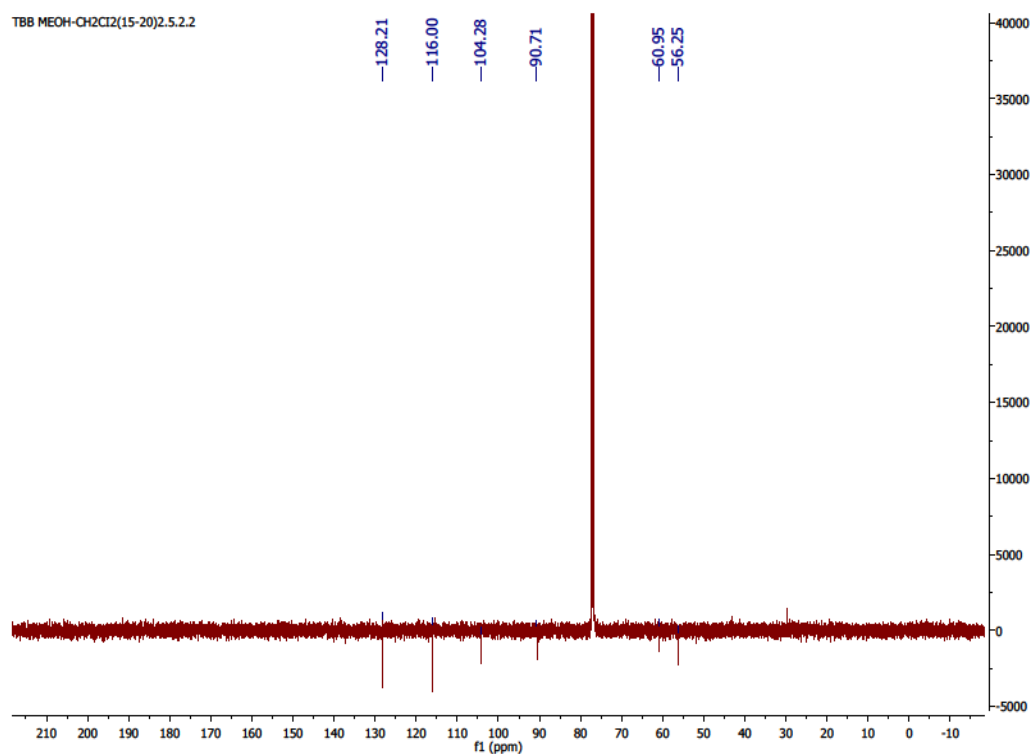
Şekil 4.125 Cirsimarinin <sup>1</sup>H NMR spektrumu



Şekil 4.125 Cirsimarinin <sup>1</sup>H NMR spektrumu



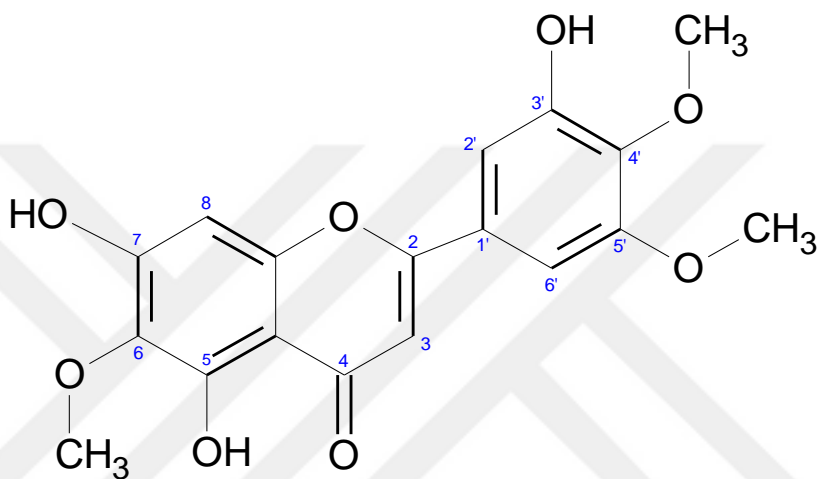
Sekil 4.125 Cirsimarinin  $^1\text{H}$  NMR spektrumu



Sekil 4.126 Cirsimarinin APT spektrumu

#### 4.2.4 TBB MeOH/CH<sub>2</sub>Cl<sub>2</sub> (15-20) 2.5.3.3=5,7,3'-Trihidroksi-6,4',5'trimetoksiflavon

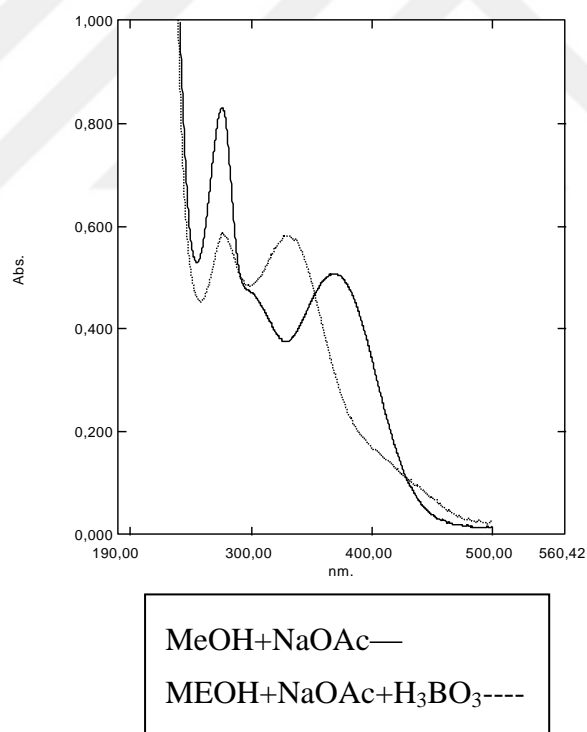
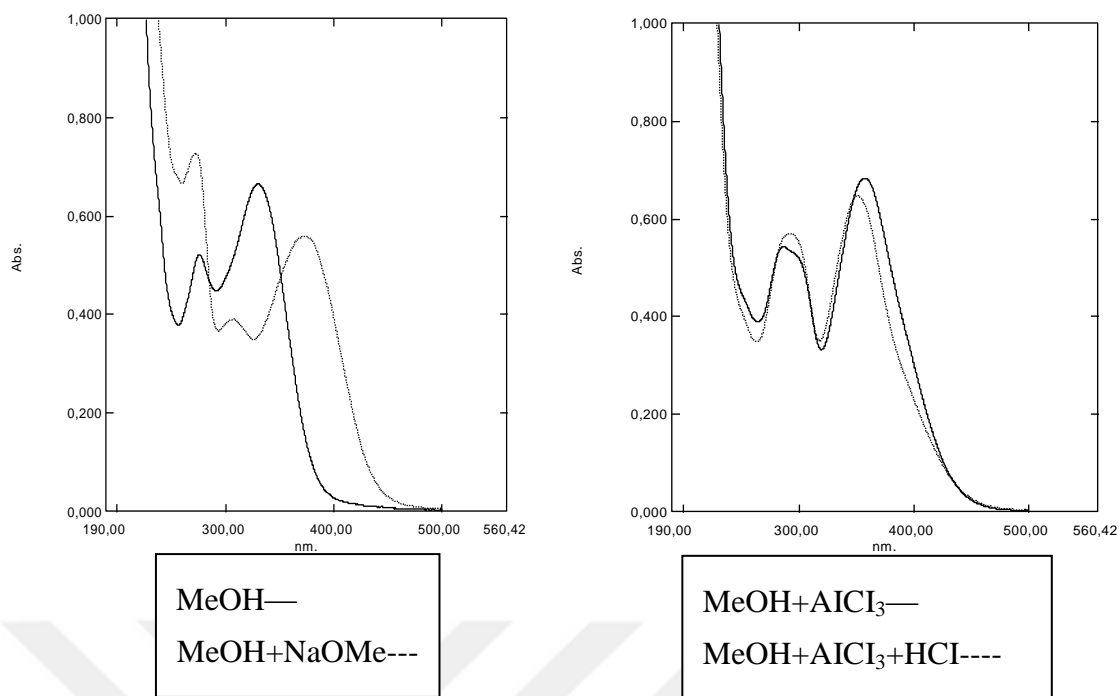
Maddenin yapısı spektral yöntemlerle (<sup>1</sup>H NMR, UV/VIS) aydınlatılmıştır. Çizelge 4.36'da 5,7,3'-Trihidroksi-6,4',5'-trimetoksiflavon <sup>1</sup>H-NMR (500 MHz, CDCl<sub>3</sub>) ve UV/VIS ( $\lambda$  Max) kimyasal kayma değerleri, Şekil 4.127'de 5,7,3'-Trihidroksi-6,4',5'-trimetoksiflavon moleküler yapısı, Şekil 4.128'de UV/VIS kayma spektrumları, Şekil 4.129'da <sup>1</sup>H NMR spektrumu ve Şekil 4.130'da <sup>1</sup>H NMR spektrumu (CDCl<sub>3</sub>+D<sub>2</sub>O) verilmektedir. Elde edilen veriler literatürde verilen değerlerle uyum içindedir [209-216].



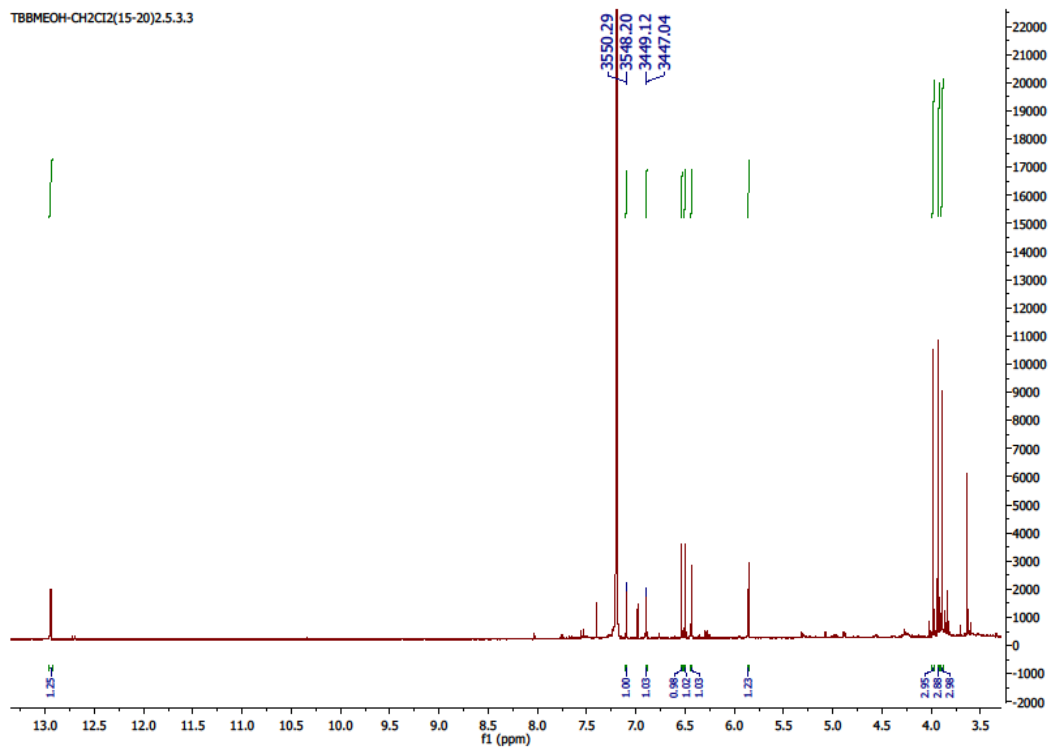
Şekil 4.127 5,7,3'-Trihidroksi-6,4',5'-trimetoksiflavon moleküler yapısı

Çizelge 4.36 5,7,3'-Trihidroksi-6,4',5'-trimetoksiflavon <sup>1</sup>H-NMR (500 MHz, CDCl<sub>3</sub>) ve UV/VIS ( $\lambda$  Max) sinyalleri

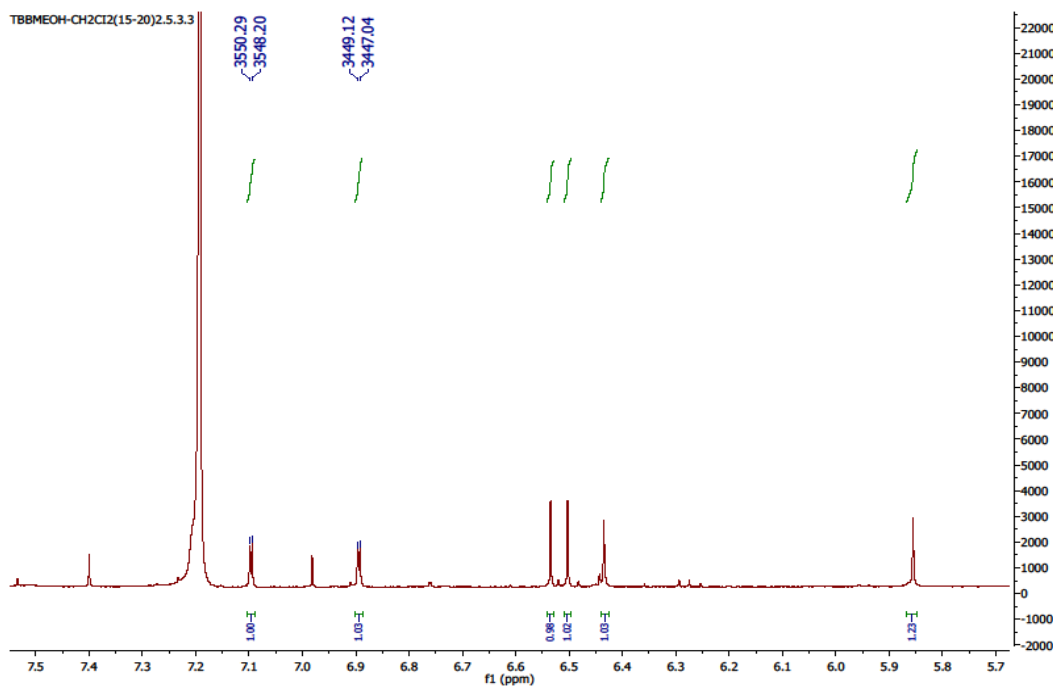
H	<sup>1</sup> H-NMR	Reaktif	Band I( $\lambda$ max)	Band II ( $\lambda$ max)
3	6.53 s (1H)	MeOH	330 nm	276 nm
8	6.50 s (1H)	NaOMe	373 nm	307 nm, 273 nm
6'	7.75 m (1H, $J=2.0$ Hz)	NaOAc	368 nm	306 nm, 275 nm
2'	6.90 m (1H, $J=2.0$ Hz)	NaOAc+H <sub>3</sub> BO <sub>3</sub>	330 nm	276 nm
-OMe	3.98 s (3H)	AlCl <sub>3</sub>	357 nm	286 nm
-OMe	3.92 s (3H)	AlCl <sub>3</sub> +HCl	351 nm	293 nm
-OMe	3.89 s (3H)			



Şekil 4.128 5,7,3'-Trihidroksi-6,4',5'-trimetoksiflavon UV/VIS kayma spektrumları

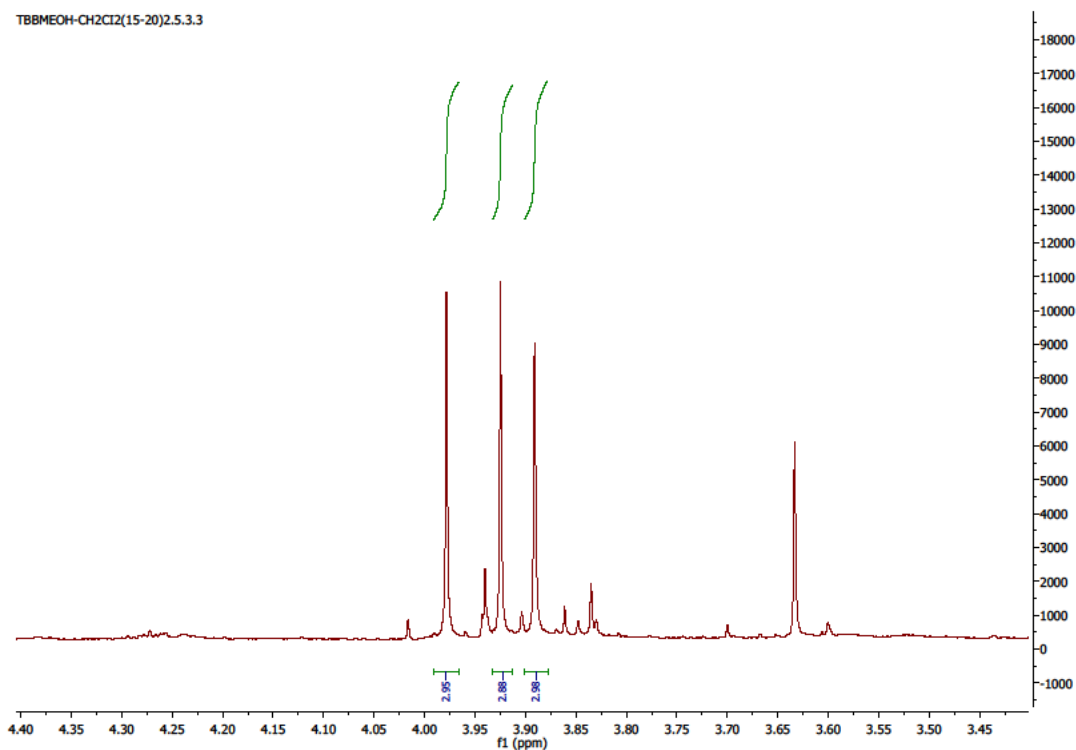


Şekil 4.129 5,7,3'-trihidroksi-6,4',5'trimetoksiflavon <sup>1</sup>H NMR spektrumu

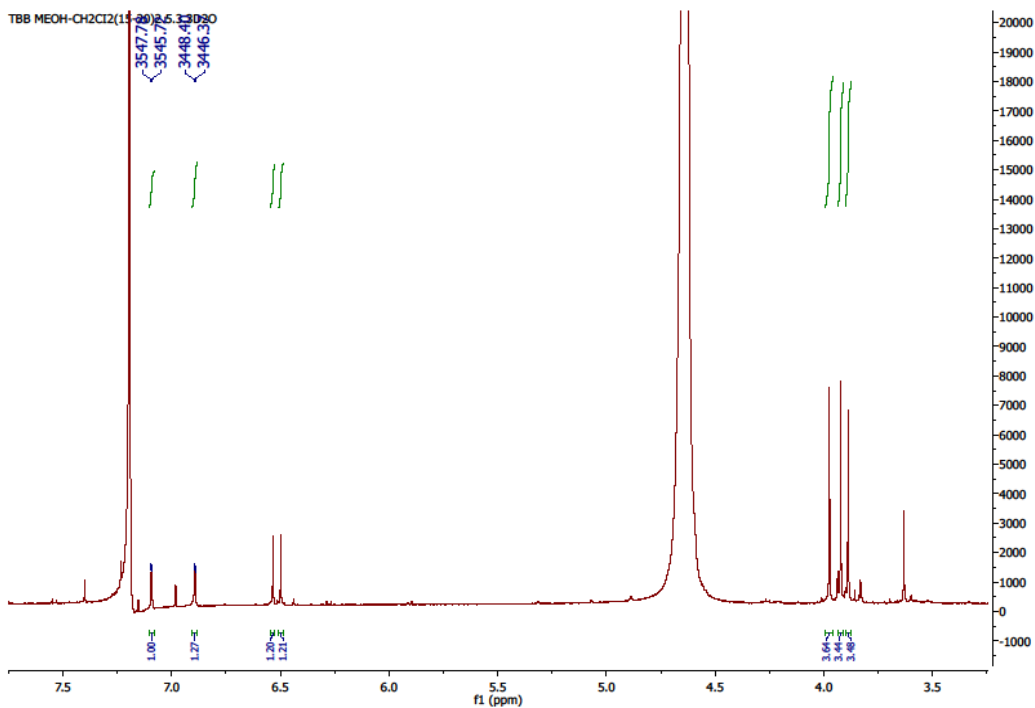


Şekil 4.129 5,7,3'-trihidroksi-6,4',5'trimetoksiflavon <sup>1</sup>H NMR spektrumu

TBB MEOH-CH<sub>2</sub>Cl<sub>2</sub>(15-20) 2.5.3.3



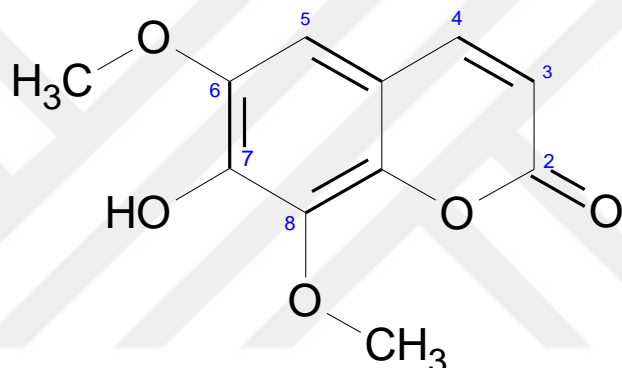
Şekil 4.129 5,7,3'-Trihidroksi-6,4',5'-trimetoksiflavan <sup>1</sup>H NMR spektrumu



Şekil 4.130 5,7,3'-Trihidroksi-6,4',5'-trimetoksiflavan <sup>1</sup>H NMR (CDCl<sub>3</sub>+D<sub>2</sub>O) spektrumu

#### 4.2.5 TBB MeOH/CH<sub>2</sub>Cl<sub>2</sub> (15-20) 1.4.1.1.1=Isofraxidin

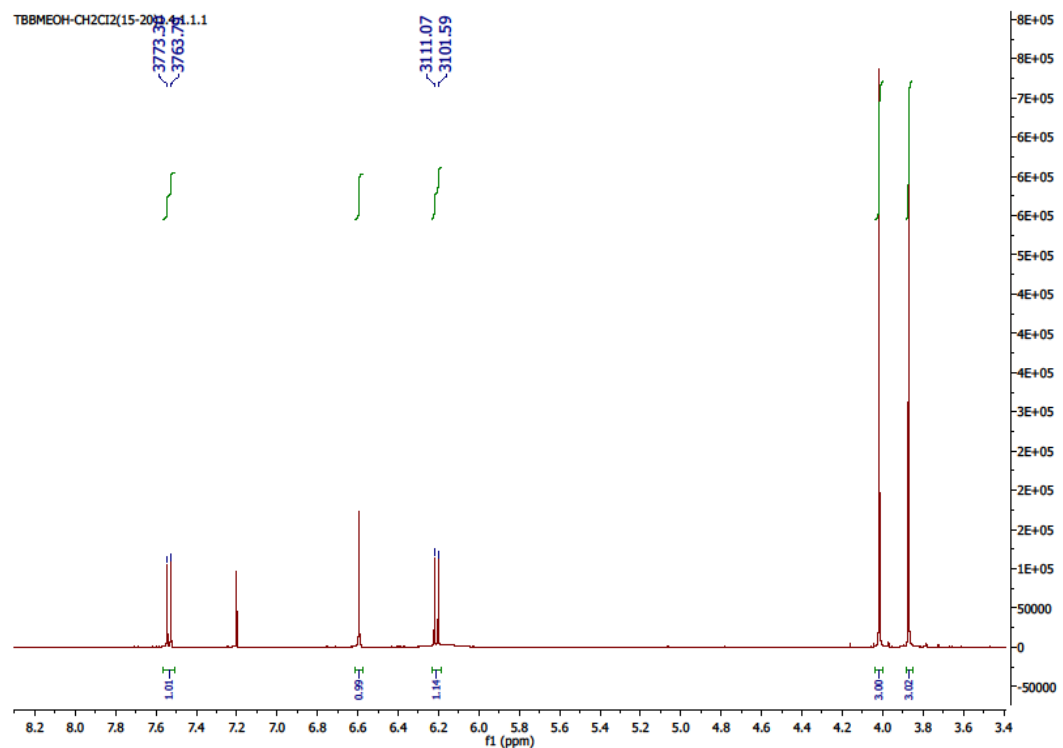
Maddenin yapısı spektral yöntemlerle (<sup>1</sup>H-NMR, APT) aydınlatılmıştır. Dörtoro kloroformda çekilen <sup>1</sup>H-NMR spektrumunda δ 7.54'te H-4 (1H, d, *J*=9.5 Hz) protonu δ 6.21'de H-3 (1H, d, *J*=9.4 Hz) protonu ile etkileşmektedir. Ayrıca, δ 6.59'da H-5 (1H, s) protonu, δ 4.02 ve 3.87'de iki metoksi protonu görülmektedir. 254 nm UV ışıkta açık mavi, 366 nm'de ise parlak mavi renk veren bu bileşik seryum sülfat belirteci püskürtülüp, ısıtıcı üzerinde yakıldıktan sonra açık sarı bir renk vermektedir. Şekil 4.131'de Isofraxidin moleküler yapısı, Şekil 4.132'de <sup>1</sup>H NMR spektrumu, Şekil 4.133'te APT spektrumu ve Çizelge 4.37'de Isofraxidin <sup>1</sup>H NMR ve APT kimyasal kayma değerleri verilmektedir. Elde edilen veriler literatürde verilen değerlerle uyum içindedir [217-219].



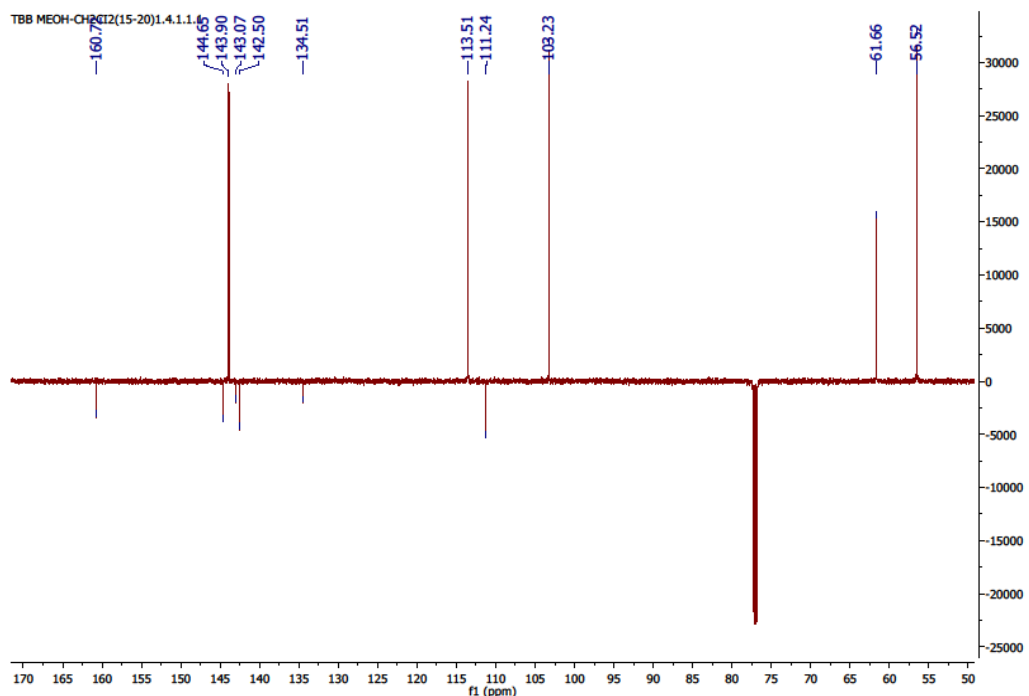
Şekil 4.131 Isofraxidin moleküler yapısı

Çizelge 4.37 Isofraxidin <sup>1</sup>H NMR ve APT (500 MHz, 125 MHz, CDCl<sub>3</sub>) kimyasal kayma değerleri

<b>H</b>	<b><sup>1</sup>H-NMR</b>	<b>C</b>	<b>APT</b>
3	6.21 d (1H, <i>J</i> =9.4 Hz)	3	113.5
4	7.54 d (1H, <i>J</i> =9.4 Hz)	4	143.90
5	6.59 s (1H)	5	103.22
-OMe	4.02 s (3H)	-OMe	56.5
-OMe	3.87 s (3H)	-OMe	61.65



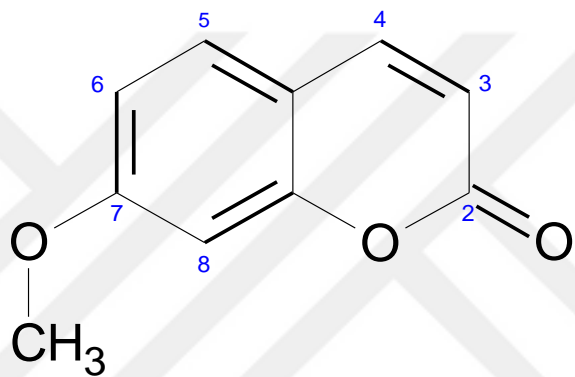
Şekil 4.132 Isofraxidin <sup>1</sup>H-NMR spektrumu



Şekil 4.133 Isofraxidin APT spektrumu

#### 4.2.6 TBB MeOH/CH<sub>2</sub>Cl<sub>2</sub> (2-9) 3=7-Metoksikumarin (Herniarin)

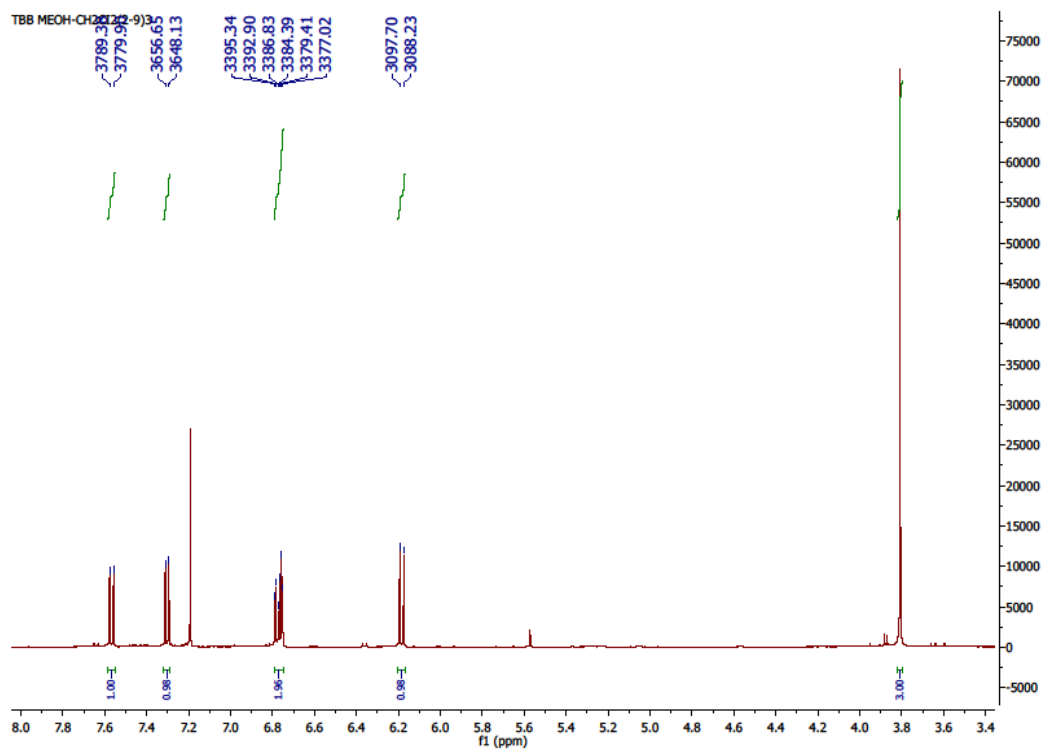
Maddenin yapısı <sup>1</sup>H-NMR spektral yöntemle aydınlatılmıştır. Dörtoro kloroformda çekilen <sup>1</sup>H-NMR spektrumunda  $\delta$  7.57'de H-4 (1H, d,  $J=9.5$  Hz) protonu  $\delta$  6.18'de H-3 (1H, d,  $J=9.4$  Hz) protonu ile etkileşim göstermektedir.  $\delta$  6.78'de H-6 (1H, o,m,  $J=8.5;2.5$  Hz) protonu,  $\delta$  6.75'de H-8 (1H, m,  $J=2.5$  Hz, H-8) protonu ile meta etkileşim ve  $\delta$  7.30'da H-5 (1H, o,  $J=8.5$  Hz, H-5) protonu ile orto etkileşim göstermektedir.  $\delta$  3.79'da metoksi piki görülmektedir. Şekil 4.133'te Herniarin moleküler yapısı, Şekil 4.134'te <sup>1</sup>H NMR spektrumu ve Çizelge 4.38'de Herniarin <sup>1</sup>H NMR kimyasal kayma değerleri verilmektedir. Elde edilen veriler literatürde verilen değerlerle uyum içindedir [220-223].



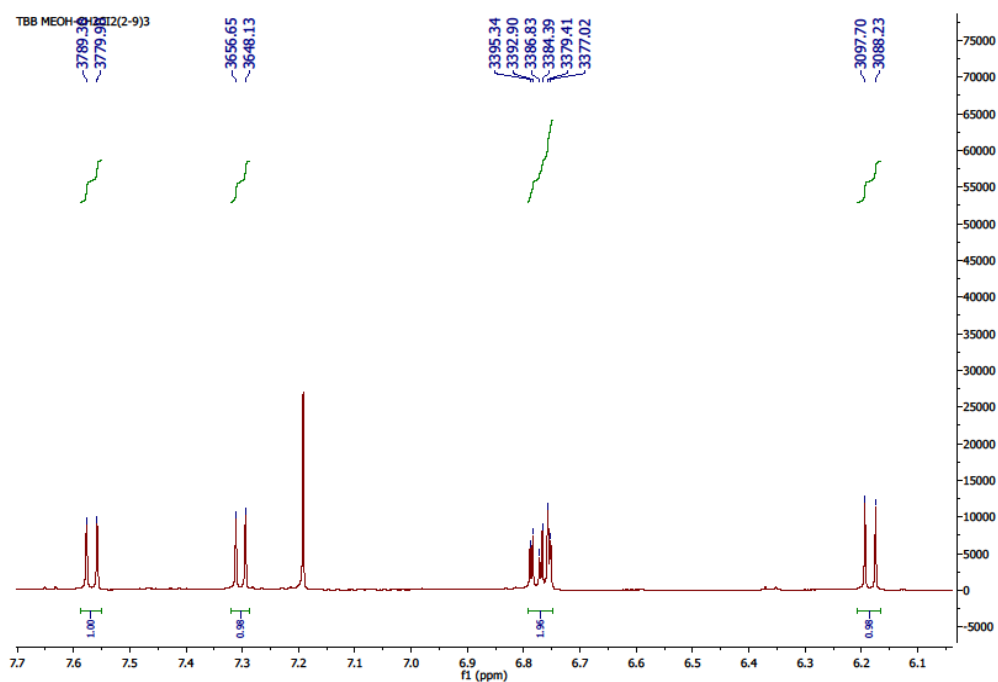
Şekil 4.133 Herniarin moleküler yapısı

Çizelge 4.38 Herniarin <sup>1</sup>H-NMR (500 MHz, CDCl<sub>3</sub>) kimyasal kayma değerleri

<b>H</b>	<b><sup>1</sup>H-NMR</b>
3	6.18 d (1H, $J=9.4$ Hz)
4	7.57 d (1H, $J=9.5$ Hz)
5	7.30 o (1H, $J=8.5$ Hz)
6	6.78 m,o (1H, $J=2.5;8.5$ Hz)
8	6.75 m (1H, $J=2.5$ Hz)
-OMe	3.79 s



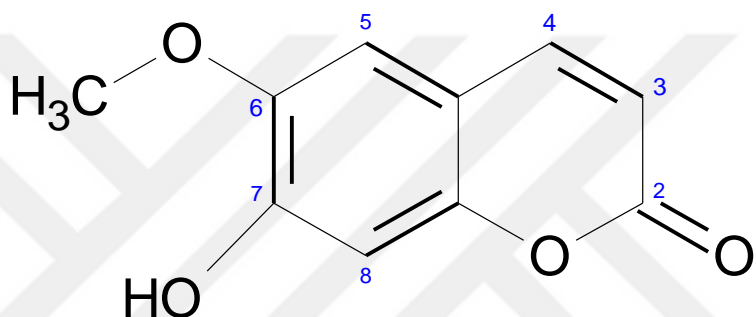
Şekil 4.134 Herniarin  $^1\text{H}$ -NMR spektrumu



Şekil 4.134 Herniarin  $^1\text{H}$ -NMR spektrumu

#### 4.2.7 TBB MeOH/CH<sub>2</sub>Cl<sub>2</sub> (15-20) 2.2=Scopoletin

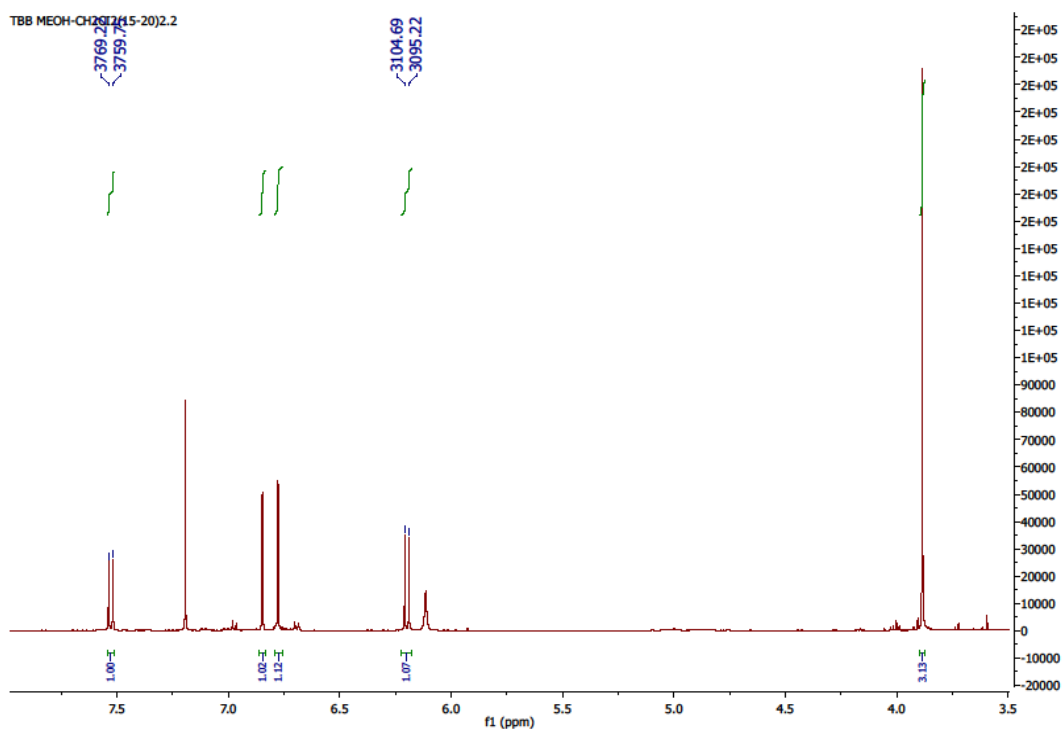
Maddenin yapısı <sup>1</sup>H-NMR spektral yöntemle aydınlatılmıştır. Dörtoro kloroformda çekilen <sup>1</sup>H-NMR spektrumunda  $\delta$  7.53'de H-4 (1H, d,  $J=9.5$  Hz) protonu  $\delta$  6.20'de H-3 (1H, d,  $J=9.4$  Hz) protonu ile etkileşim göstermektedir.  $\delta$  6.85'te H-5 (1H, s),  $\delta$  6.77'de H-8 (1H, s) ve  $\delta$  3.88'de metoksi protonları görülmektedir. 254 nm UV ışıkta açık mavi, 366 nm'de ise parlak mavi renk veren bu bileşik seryum sülfat renklendirme belirteci püskürtülüp, ısıtıcı üzerinde yakıldıktan sonra açık sarı bir renk vermektedir. Şekil 4.135'te Scopoletin moleküler yapısı, Şekil 4.136'da <sup>1</sup>H NMR spektrumu ve Çizelge 4.39'da Scopoletin <sup>1</sup>H NMR kimyasal kayma değerleri verilmektedir. Elde edilen veriler literatürde verilen değerlerle uyum içindedir [179], [189], [195].



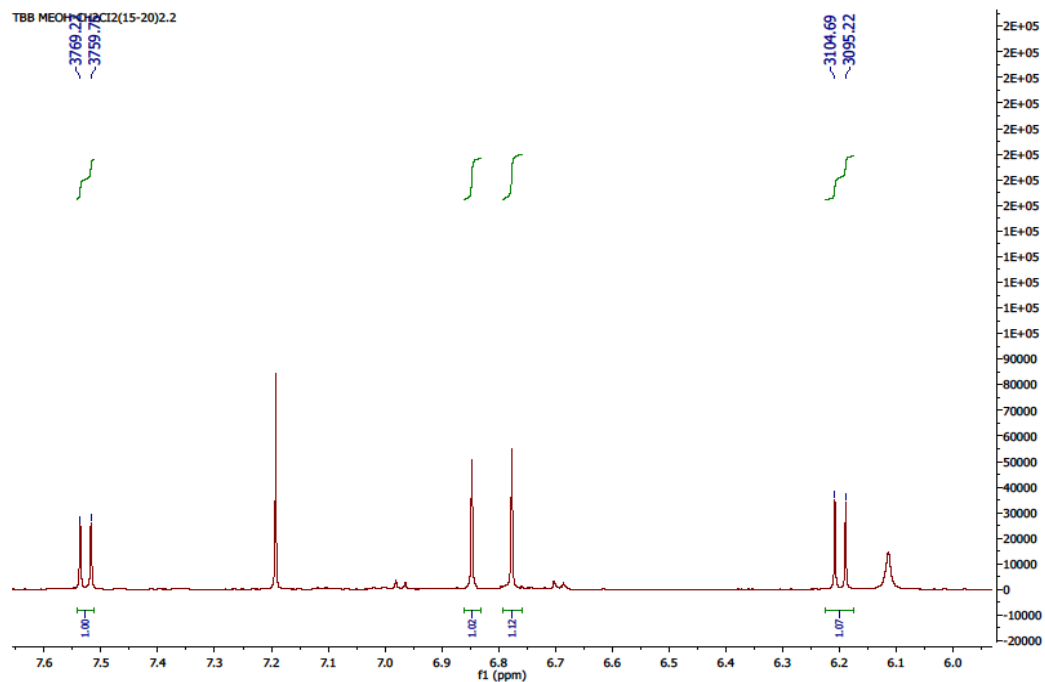
Şekil 4.135 Scopoletin moleküler yapısı

Çizelge 4.39 Scopoletin <sup>1</sup>H NMR (500 MHz, CDCl<sub>3</sub>) kimyasal kayma değerleri

<b>H</b>	<b><sup>1</sup>H-NMR</b>
3	6.20 d (1H, $J=9.4$ Hz)
4	7.53 d (1H, $J=9.5$ )
5	6.85 s (1H)
8	6.77 s (1H)
-OMe	3.88 s (3H)



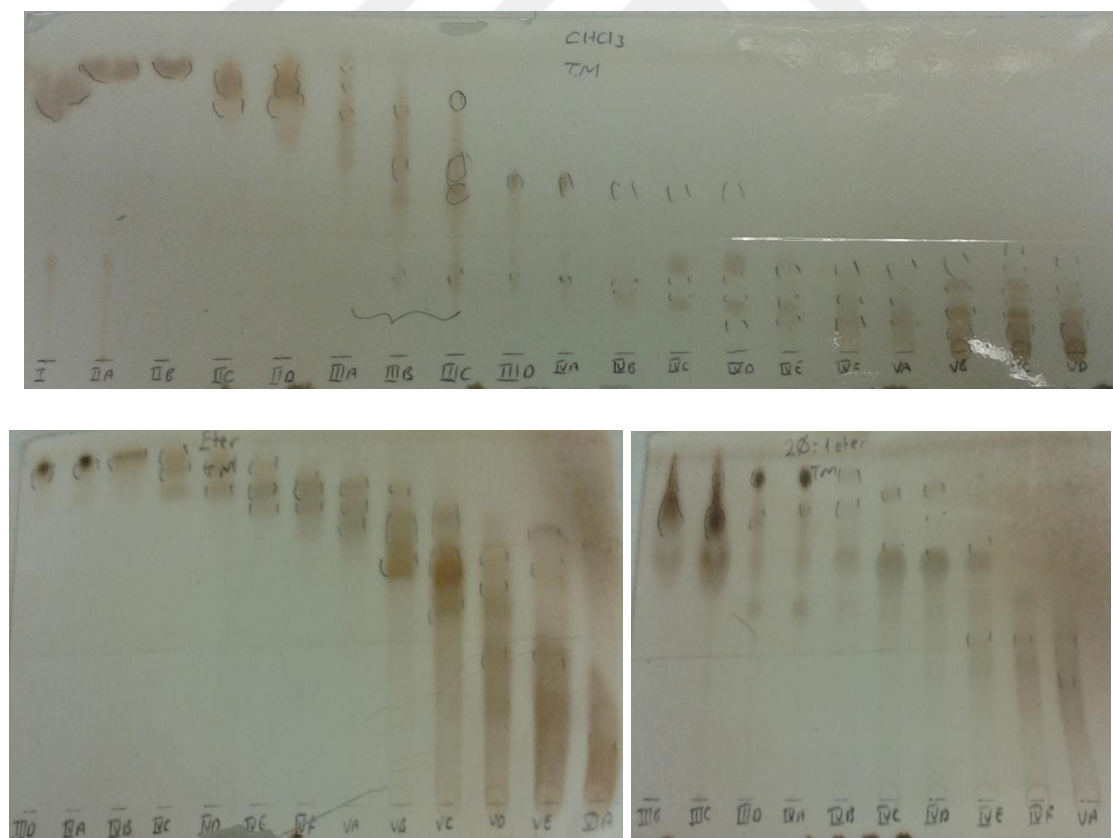
Şekil 4.136 Scopoletin  $^1\text{H}$ -NMR spektrumu



Şekil 4.136 Scopoletin  $^1\text{H}$ -NMR spektrumu

#### **4.3 *Tanacetum mucroniferum* (TM) bitkisinin EA ekstresinden izole edilen maddeler**

TM bitkisinin gövdesinden elde edilen 17.6 gr EA ekstresinin kaba ayrimi için kolon kromatografisi yapılmıştır. Kolon kromatografisinde hekzan-ethyl asetat-metanol çözücüleri kullanılmış ve 31 fraksiyon elde edilmiştir. Çizelge 4.40'ta yapılan kaba ayrima ve elde edilen fraksiyonları verilmektedir. Kolon kromatografisinden elde edilen fraksiyonlar  $\text{CHCl}_3$ , Eter, Benzen:Eter (2:1), Hekzan: $\text{CHCl}_3$  (3:1), Etil asetat gibi çeşitli çözücü sistemleriyle İTK'da karşılaştırılmıştır. Resim 4.2'de TM bitkisi fraksiyonlarının çeşitli çözücü sistemleriyle İTK'da kromatogramları verilmektedir. İTK sonuçlarından sonra TM I, TM IIA, TM IIB TM IIC ve TM IID fraksiyonları yağlı bileşikler içerdiklerinden dolayı çalışmamasına karar verilmiştir. İTK sonuçlarına göre Fr 2: TM IIIA + IIIB+ IIIC, Fr 3: TM IID + IVA, Fr 4: TM IVB +IVC + IVD, Fr 5: TM IVE + IVF + VA, Fr 6: TM VB + VC, Fr 7: TM VD + VE ve Fr 8: TM VIA +VIB + VIC + VIIA+VIIIB+ VIIIC + VIID + VIIIE + VIIIA fraksiyonları birleştirilmiştir. Böylece yedi ana fraksiyon elde edilmiştir



Resim 4.2 TM bitkisi fraksiyonlarının çeşitli çözücü sistemleriyle İTK kromatogramları

Çizelge 4.40 TM gövde ekstresine yapılan kaba ayırma ve elde edilen fraksiyonlar

<b>Fraksiyonlar</b>	<b>% Kullanılan çözücü miktarı</b>	<b>Fraksiyon ismi</b>
1.	% 100 Hekzan (2500 ml)	TM I, TM IIA, TM IIB, TM IIC, TM IID
2.	%90 Hekzan(2250ml) + %10 EA (250ml)	TM IIIA, TM IIIB, TM IIIC
3.	% 75 Hekzan(1875ml) + %25 EA (625ml)	TM IID, TM IVA
4.	%50 Hekzan (1250ml) + %50 EA (1250ml)	TM IVB, TM IVC, TM IVD
5.	% 100 EA (2500ml)	TM IVE, TM IVF, TM VA
6.	%90 EA (2250ml) + %10 MeOH (1250ml)	TM VB, TM VC
7.	%50 EA (1250ml) + %50 MeOH (1250ml)	TM VD, TM VE
8.	% 100 MeOH (2500ml)	TM VIA, TM VIB, TM VIC, TM VIIA, TM VIIB, TM VIIC, TM VIID, TM VIIIE, TMVIIIA

#### **4.3.1 Fr7-TM VD+VE fraksiyonundan izole edilen maddeler**

Elde edilen fraksiyonlardan TM VD+VE'nin MPLC ile tekrar fraksiyonlandırılmasına karar verilmiştir. MPLC'de kullanılan çözücü sistemleri ve fraksiyonlar Çizelge 4.41'de verilmektedir. MPLC sonucunda 148 fraksiyon toplanmıştır. Yapılan ince tabaka kromatografisi çalışmaları sonucunda benzer fraksiyonlar birleştirilmiştir. TM VD+VE (27-33) fraksiyonu  $\text{CHCl}_3$  sisteminde 5 defa preparatif ince tabaka kromatografisinde yürütülmüş ve 5 bant elde edilmiştir. 3. banttan TM VD+VE (27-33) 3 kodlu Scoparone 11 mg ve 4. banttan TM VD+VE (27-33) 4 kodlu Salvigenin 13 mg miktarında elde edilmiştir. TM VD+VE (34-50) fraksiyonu  $\text{CHCl}_3$  sisteminde 5 defa preparatif ince tabaka kromatografisinde yürütülmüş ve 8 bant elde edilmiştir. 2. banttan TM VD+VE (34-50) 2.5 kodlu 5-Hidroksi-3',4',6,7-tetrametoksiflavon 7 mg ve TM VD+VE (34-50) 2.3.1 kodlu Scoparone 4 mg miktarında elde edilmiştir.

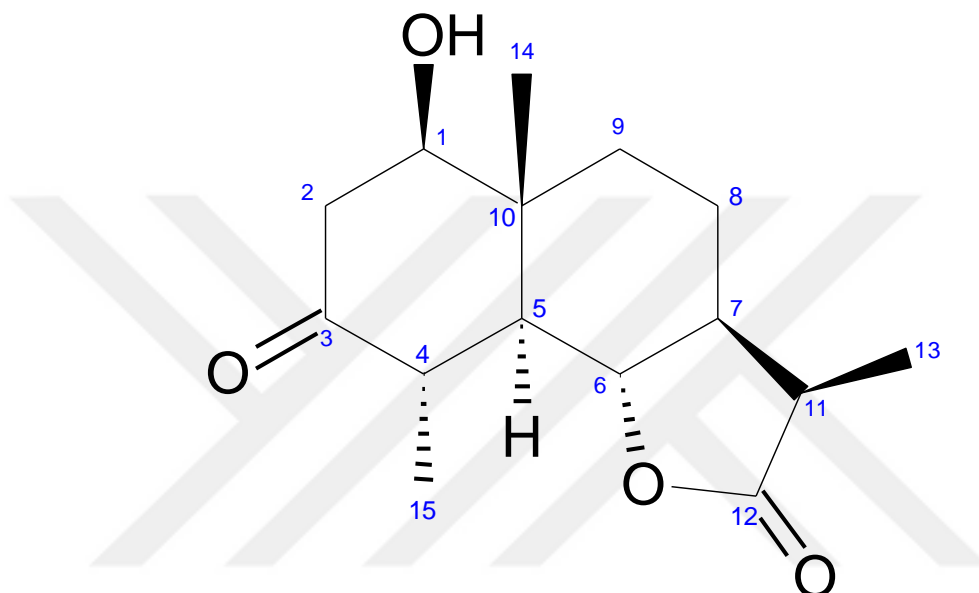
TM VD+VE (51-65) fraksiyonu  $\text{CHCl}_3$  sisteminde 5 defa preparatif ince tabaka kromatografisinde yürütülmüş ve 7 bant elde edilmiştir. 4. banttan TM VD+VE (51-65) 4.2 kodlu Cirsilineol 6 mg, 3. banttan TM VD+VE (51-65) 5.3.1 maddesi 7 mg ve 5. banttan TM VD+VE (51-65) 5.1 maddesi 10 mg miktarında elde edilmiştir. TM VD+VE (51-65) 5.3.1 ve TM VD+VE(51-65) 5.1 maddelerinin  $^1\text{H}$  NMR spektrumları karşılaştırıldığında aynı madde oldukları belirlenmiştir. TM VD+VE (66-85) fraksiyonu  $\text{CHCl}_3$ :Eter (3:1) sisteminde 7 defa preparatif ince tabaka kromatografisinde yürütülmüş ve 7 bant elde edilmiştir. 3. banttan TM VD+VE (66-85) 3.4 kodlu 9 $\alpha$ -Asetoksiartecanin 9 mg ve 5. banttan TM VD+VE(66-85) 5.3.2 kodlu Arsanin 10 mg miktarında elde edilmiştir.

Çizelge 4.41 TM VD+VE fraksiyonun MPLC çalışması

<b>Kullanılan çözücü sistemi</b>	<b>Fraksiyonlar</b>
CH <sub>2</sub> Cl <sub>2</sub>	TM VD+VE.1-10
CH <sub>2</sub> Cl <sub>2</sub> :Eter (90:10)	TM VD+VE.11-25
CH <sub>2</sub> Cl <sub>2</sub> :Eter (80:20)	TM VD+VE.26-35
CH <sub>2</sub> Cl <sub>2</sub> :Eter (70:30)	TM VD+VE.36-45
CH <sub>2</sub> Cl <sub>2</sub> :Eter (60:40)	TM VD+VE.46-55
CH <sub>2</sub> Cl <sub>2</sub> :Eter (50:50)	TM VD+VE.56-65
CH <sub>2</sub> Cl <sub>2</sub> :Eter (40:60)	TM VD+VE.66-75
CH <sub>2</sub> Cl <sub>2</sub> :Eter (30:70)	TM VD+VE.76-85
CH <sub>2</sub> Cl <sub>2</sub> :Eter (20:80)	TM VD+VE.86-95
CH <sub>2</sub> Cl <sub>2</sub> :Eter (10:90)	TM VD+VE.96-105
Eter	TM VD+VE.106-115
Eter:EA (80:20)	TM VD+VE.116-125
Eter:EA (60:40)	TM VD+VE.126-135
Eter:EA (40:60)	TM VD+VE.136-140
Eter:EA (20:80)	TM VD+VE.141-144
EA	TM VD+VE.145
EA:MeOH (50:50)	TM VD+VE.146
MeOH	TM VD+VE.147-148

#### 4.3.1.1 TM VD+VE (66-85) 5.3.2=Arsanin

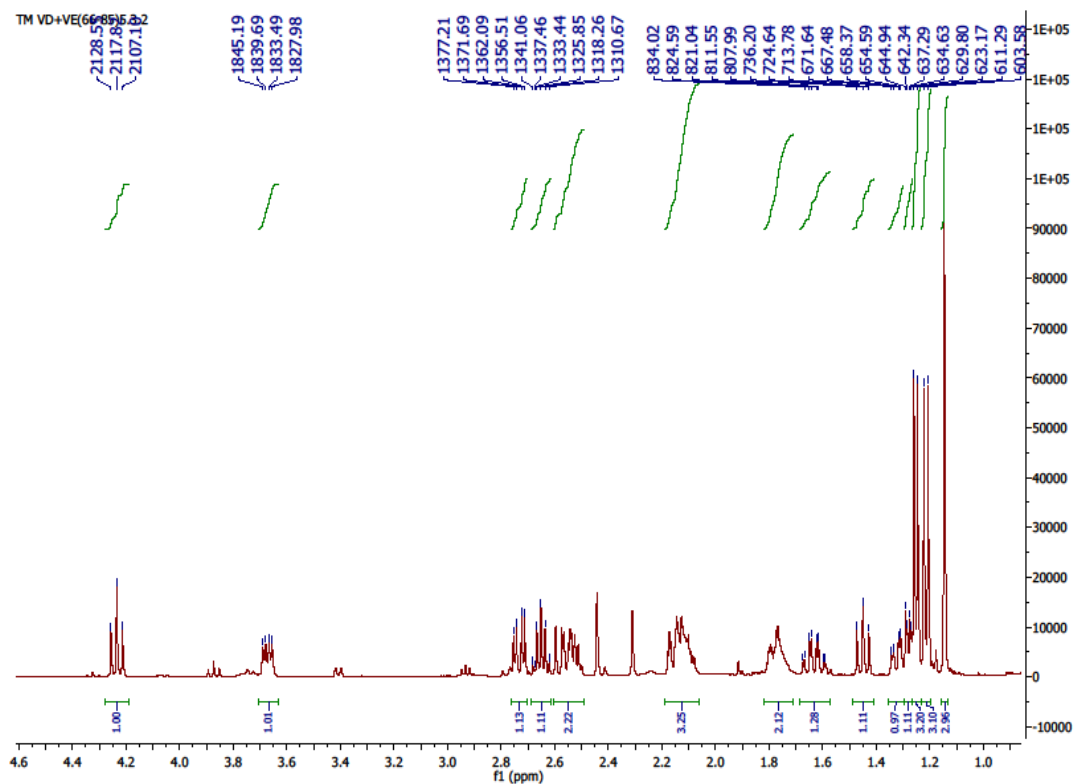
Maddenin yapısı spektral yöntemlerle ( $^1\text{H-NMR}$ , APT, COSY, HSQC, HMBC, NOESY) aydınlatılmıştır. Çizelge 4.42'de Arsanin  $^1\text{H-NMR}$  ve APT kimyasal kayma değerleri, Şekil 4.137'de Arsanin moleküler yapısı, Şekil 4.138'de  $^1\text{H}$  NMR spektrumu, Şekil 4.139'da COSY spektrumu, Şekil 4.140'ta APT spektrumu, Şekil 4.141'de HSQC spektrumu, Şekil 4.142'de HMBC spektrumu ve Şekil 4.143'te NOESY spektrumu verilmektedir. Elde edilen veriler literatürde verilen değerlerle uyum içindedir [224].



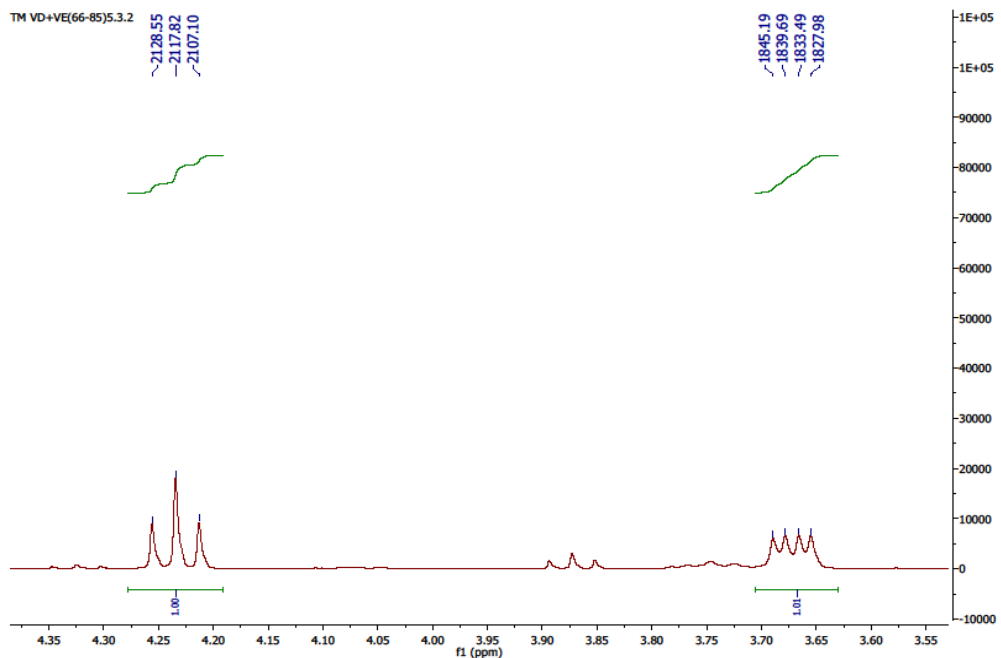
Şekil 4.137 Arsanin moleküler yapısı

Çizelge 4.42 Arsanin  $^1\text{H-NMR}$  ve APT (500 MHz, 125 MHz,  $\text{CDCl}_3$ ) kimyasal kayma değerleri

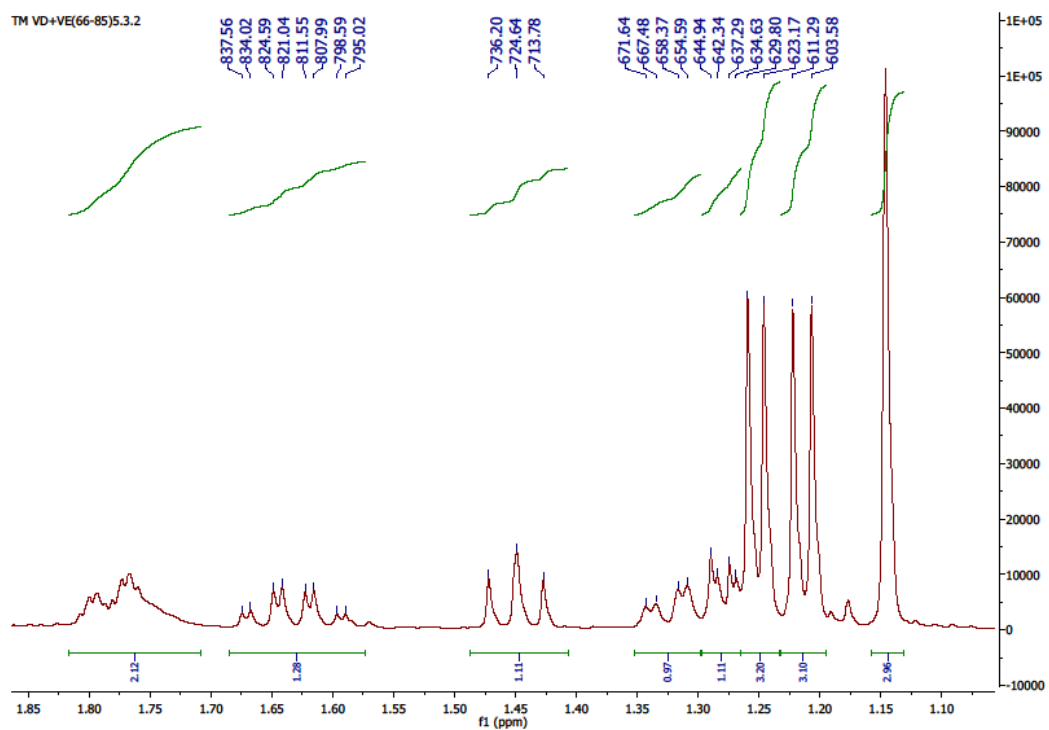
<b>H</b>	<b><math>^1\text{H-NMR}</math></b>	<b>C</b>	<b>APT</b>
1	3.67 dd (1H, $J=5.5;11.7$ Hz)	1	76.38
2	2.73 dd (1H, $J=5.5;15$ Hz)	2	46.37
2'	2.54 m (1H)	3	208.33
4	2.56 m (1H)	4	44.61
5	1.45 dd (1H, $J=11.5;10.8$ Hz)	5	50.4
6	4.23 dd (1H, $J=10.7;10.7$ Hz)	6	81.54
7	2.13 m (1H)	7	48.9
8	1.62 dddd (1H, $J=3.5;12.9;12.9;12.9$ Hz)	8	19.67
8'	1.78 m (1H)	9	36.2
9	2.13 m (1H)	10	41.7
9'	1.28 m (1H)	11	38
11	2.65 dq (1H, $J=7.5;15$ Hz)	12	179.39
13	1.21 d (3H, $J=7.7$ Hz)	13	9.64
14	1.14 s (3H)	14	11.7
15	1.25 d (3H, $J=6.7$ Hz)	15	13.46



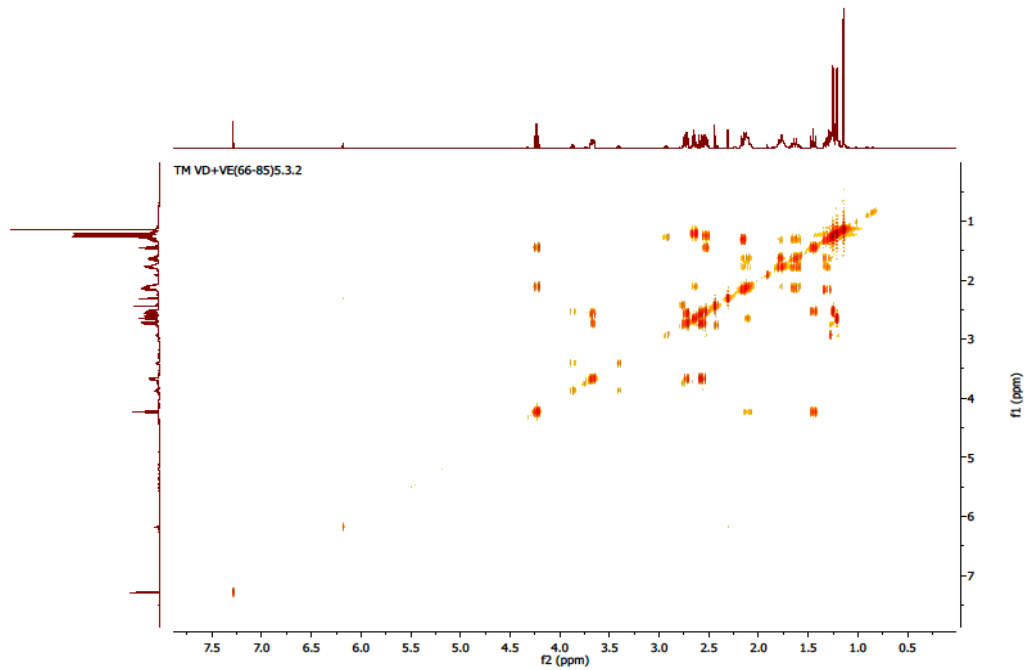
Şekil 4.138 Arsanin  $^1\text{H}$ -NMR spektrumu



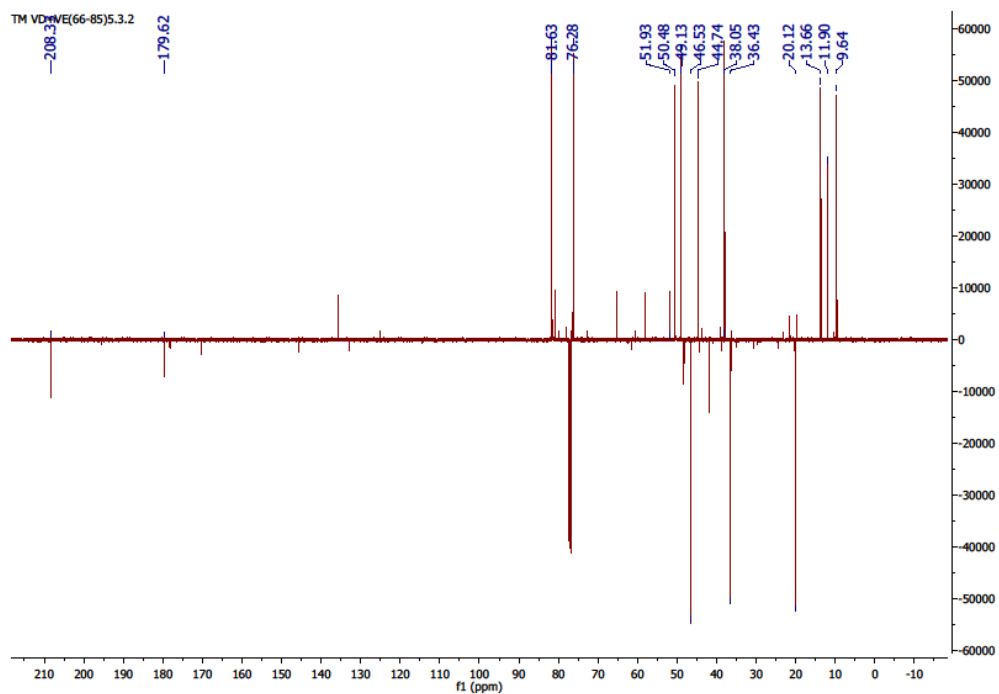
Şekil 4.138 Arsanin  $^1\text{H}$ -NMR spektrumu



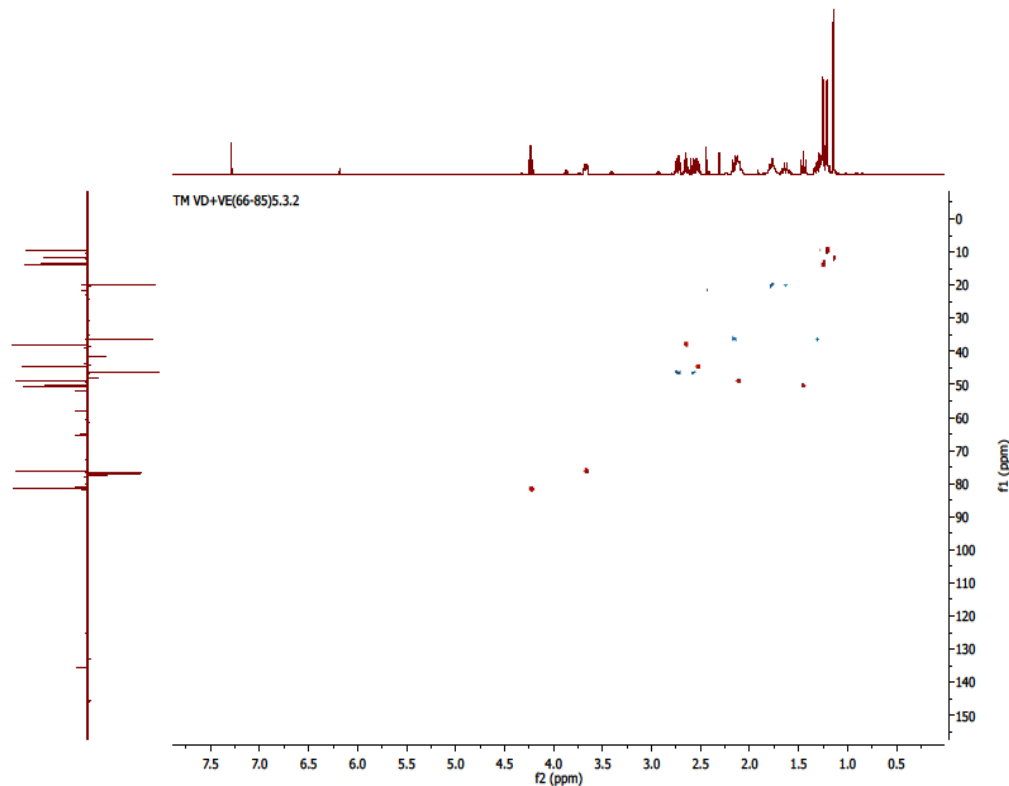
Şekil 4.138 Arsanı  $^1\text{H}$ -NMR spektrumu



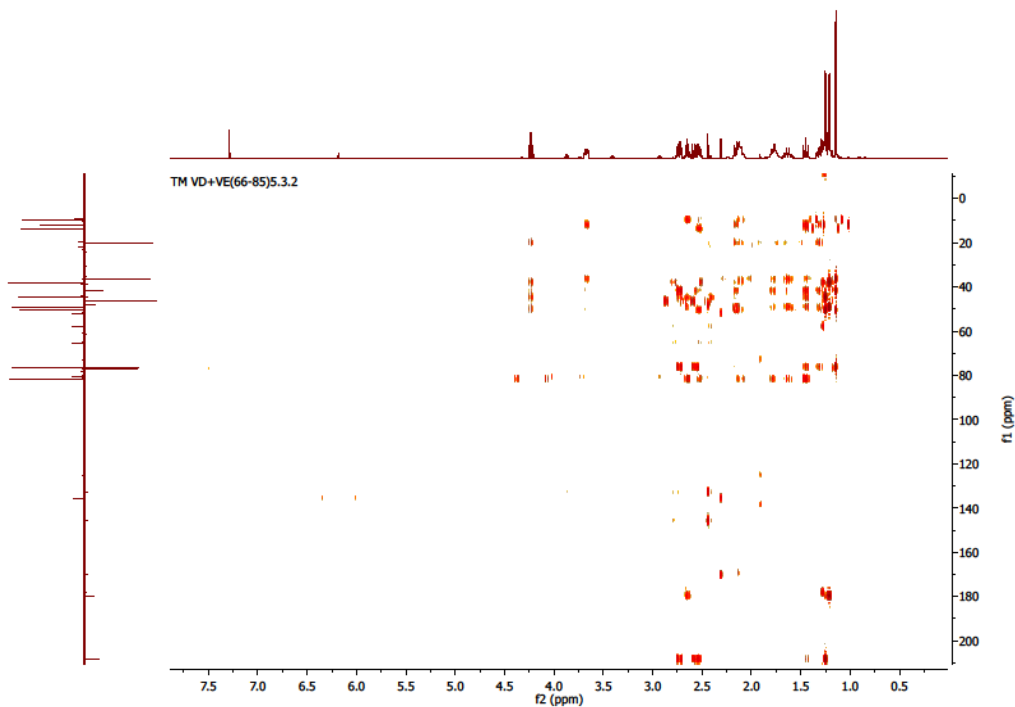
Şekil 4.139 Arsanın COSY spektrumu



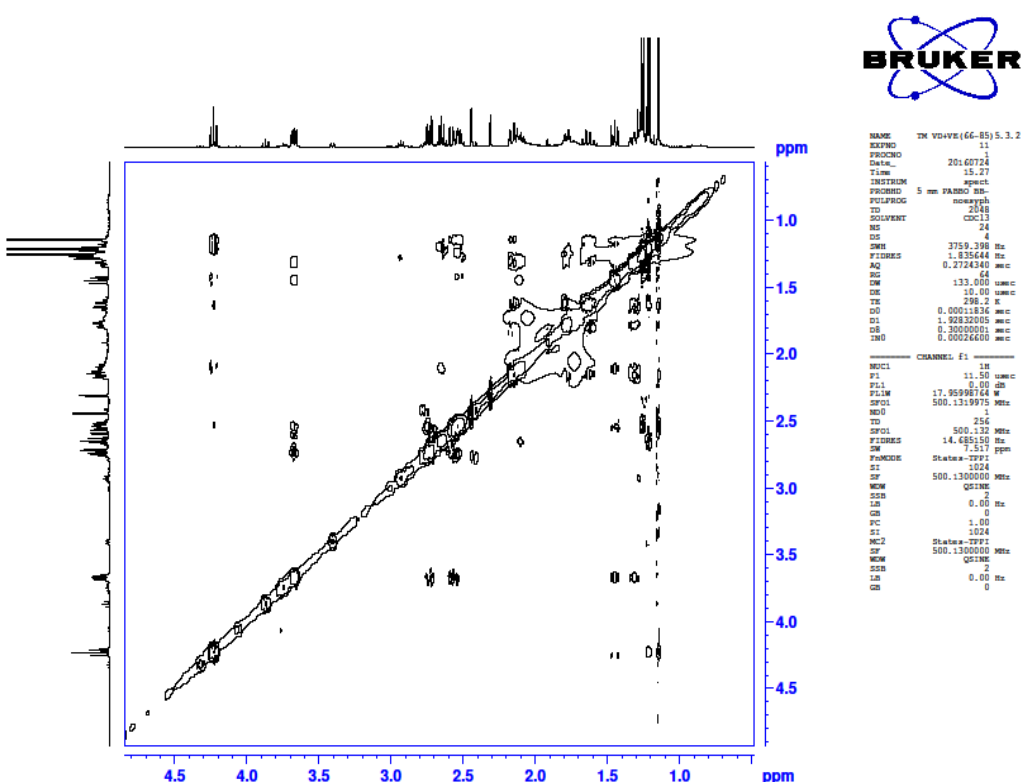
Şekil 4.140 Arsanin APT spektrumu



Şekil 4.141 Arsanin HSQC spektrumu



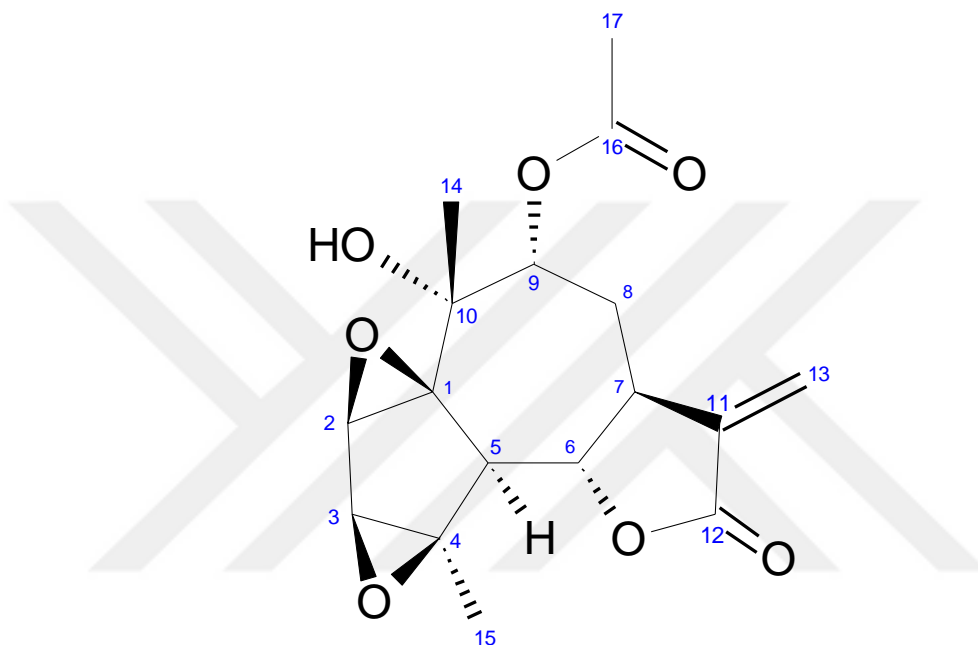
Şekil 4.142 Arsanin HMBC spektrumu



Şekil 4.143 Arsanin NOESY spektrumu

#### 4.3.1.2 TM VD+VE (66-85) 3.4=9 $\alpha$ -Asetoksiartecanin (9 $\alpha$ -acetoxyartecanin)

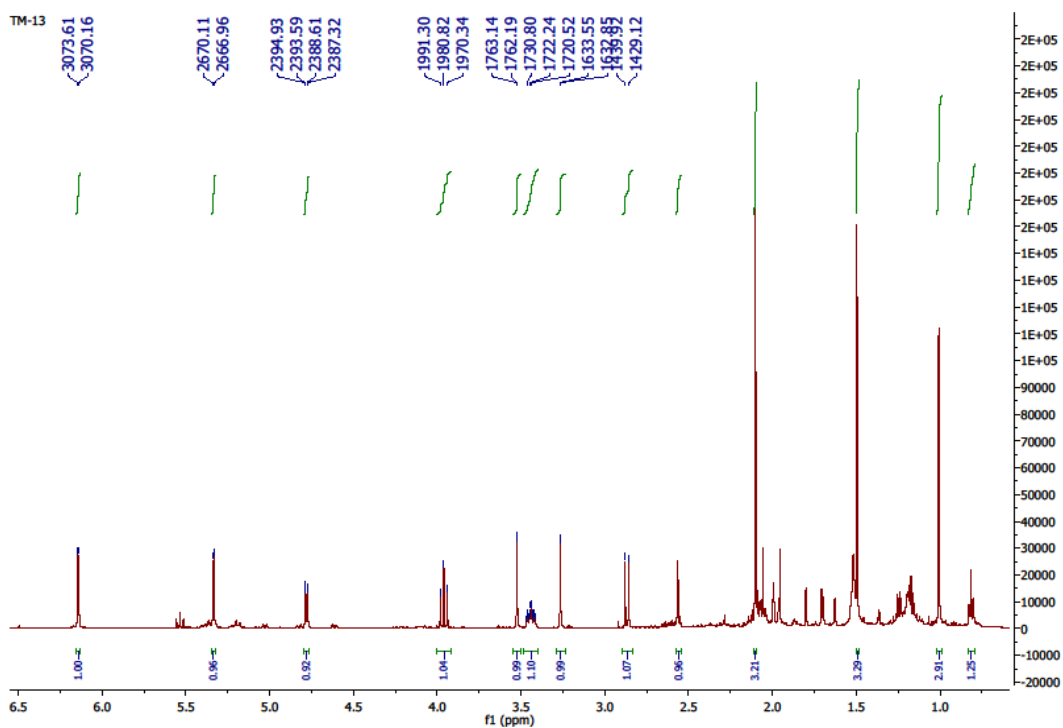
Maddenin yapısı spektral yöntemlerle ( $^1\text{H-NMR}$ , APT, COSY, HSQC, HMBC) aydınlatılmıştır. Çizelge 4.43'te 9 $\alpha$ -Asetoksiartecanin  $^1\text{H-NMR}$  ve APT kimyasal kayma değerleri, Şekil 4.144'te 9 $\alpha$ -Asetoksiartecanin moleküler yapısı, Şekil 4.145'te  $^1\text{H}$  NMR spektrumu, Şekil 4.146'da COSY spektrumu, Şekil 4.147'de APT spektrumu, Şekil 4.148'de HSQC spektrumu ve Şekil 4.149'da HMBC spektrumu verilmektedir. Elde edilen veriler literatürde verilen değerlerle uyum içindedir [225].



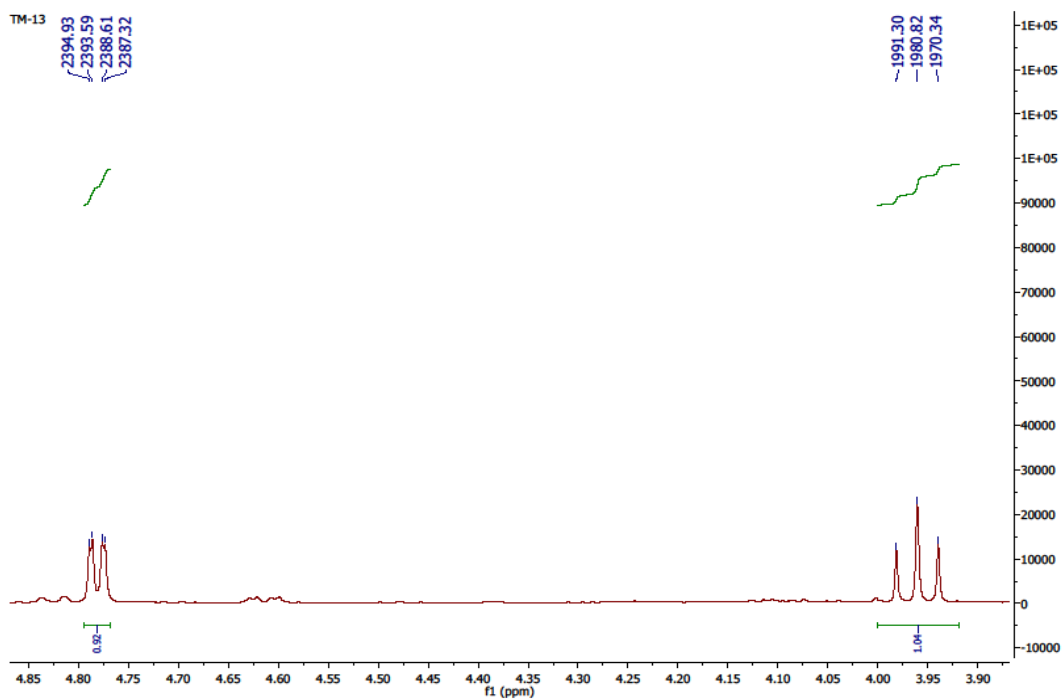
Şekil 4.144 9 $\alpha$ -Asetoksiartecanin moleküler yapısı

Çizelge 4.43 9 $\alpha$ -Asetoksiartecanin  $^1\text{H}$ -NMR ve APT (500 MHz, 125 MHz,  $\text{CDCl}_3$ ) kimyasal kayma değerleri

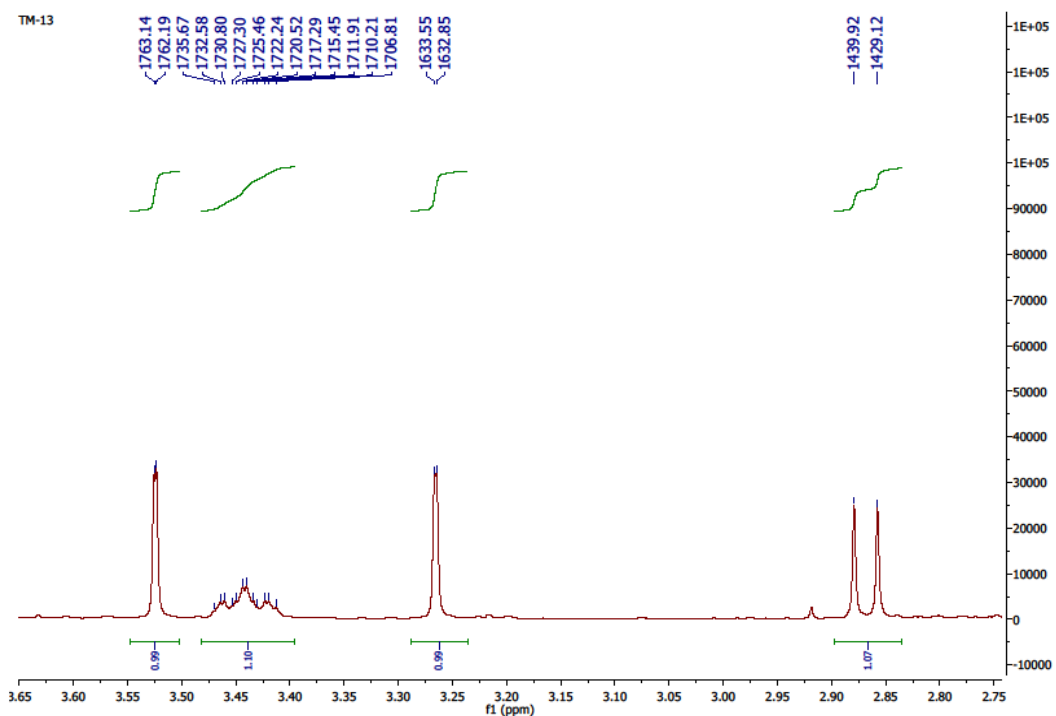
H	$^1\text{H-NMR}$	C	APT
2	3.52 d (1H, $J=1.1$ Hz)	1	75.5
3	3.27 d (1H, $J=1.0$ Hz)	2	56.25
5	2.87 d (1H, $J=10.8$ Hz)	3	57.07
6	3.96 dd (1H, $J=10.4;10.4$ Hz)	4	71.17
7	3.44 m (1H)	5	42.23
8	2.10 m (1H)	6	82.06
8'	2.00 m (1H)	7	40.6
9	4.78 dd (1H, $J=1.4;6.3$ Hz)	8	31.27
13	6.14 d (1H, $J=3.6$ Hz)	9	74.0
13'	5.33 d (1H, $J=3.1$ Hz)	10	72.7
14	1.00 s (3H)	11	138.6
15	1.49 s (3H)	12	169.44
-OAc	2.10 s (3H)	13	119.13
		14	24.7
		15	19.2
		-OCO-	169.95
		-OAc	21.35



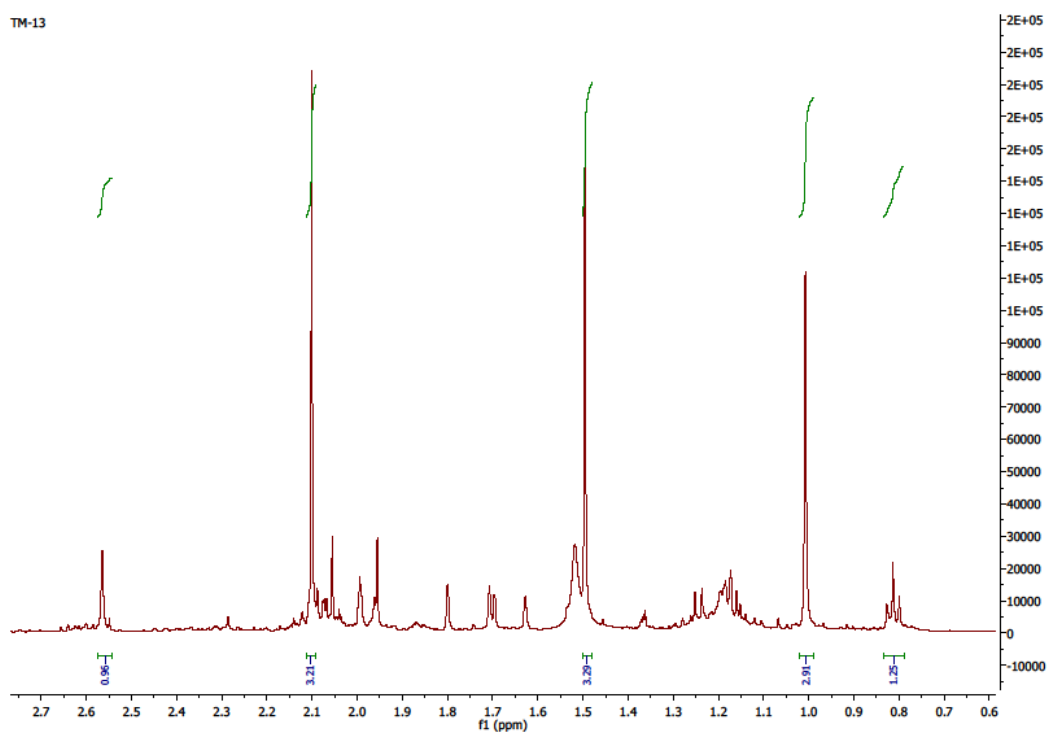
Şekil 4.145 9 $\alpha$ -Asetoksiartecanin  $^1\text{H}$ -NMR spektrumu



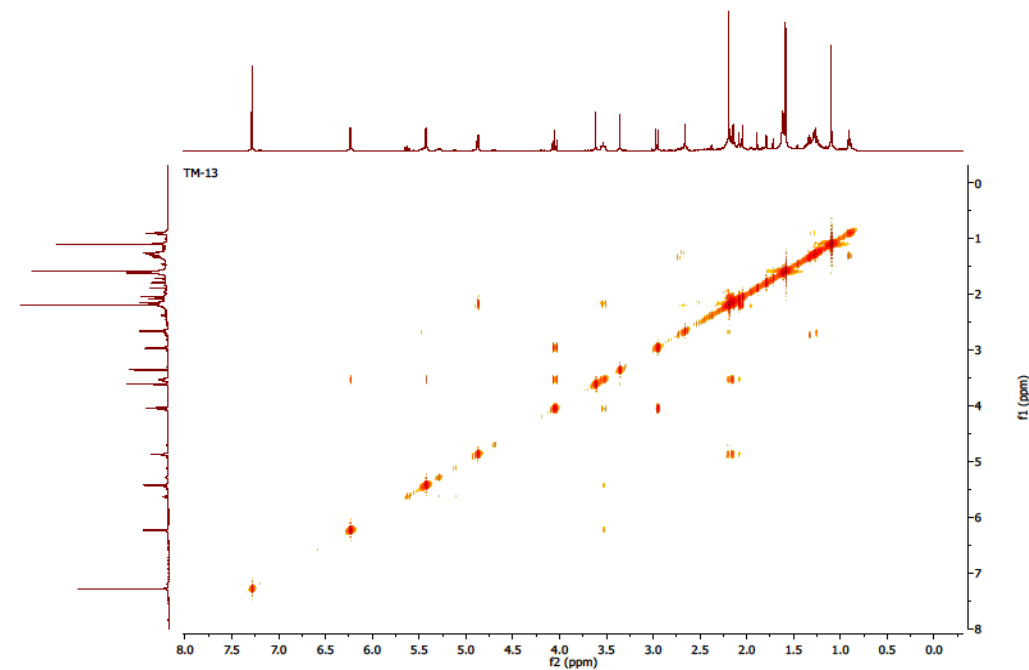
Şekil 4.145 9 $\alpha$ -Asetoksiartecanin  $^1\text{H}$ -NMR spektrumu



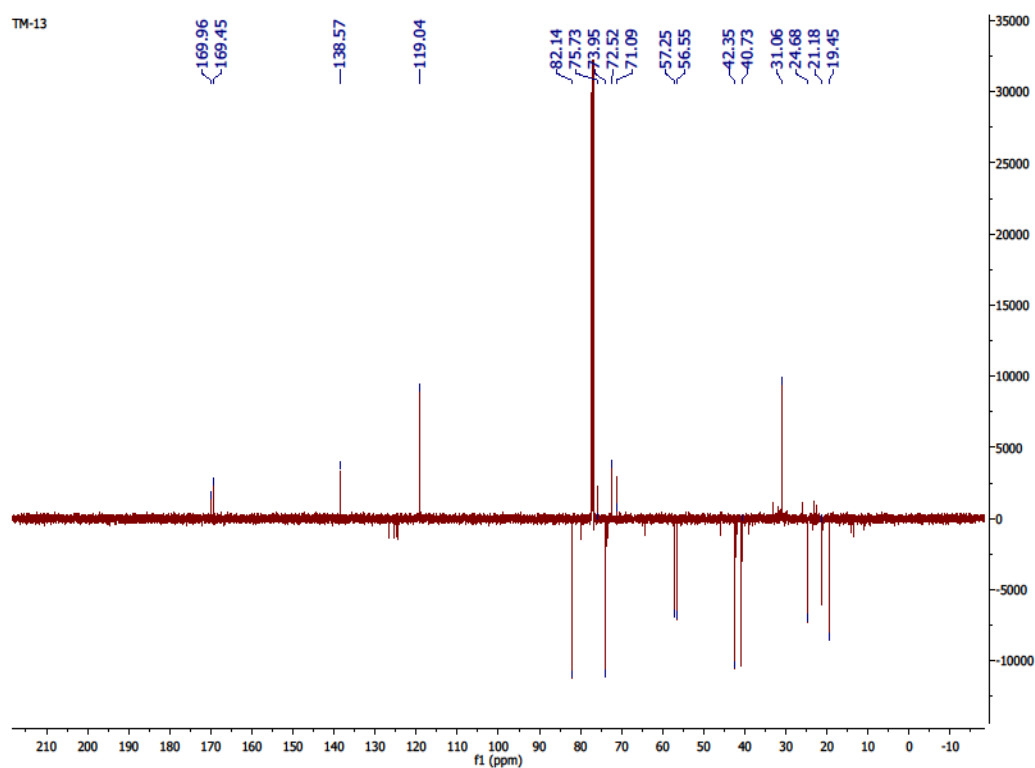
Şekil 4.145 9 $\alpha$ -Asetoksiartecanin  $^1\text{H}$ -NMR spektrumu



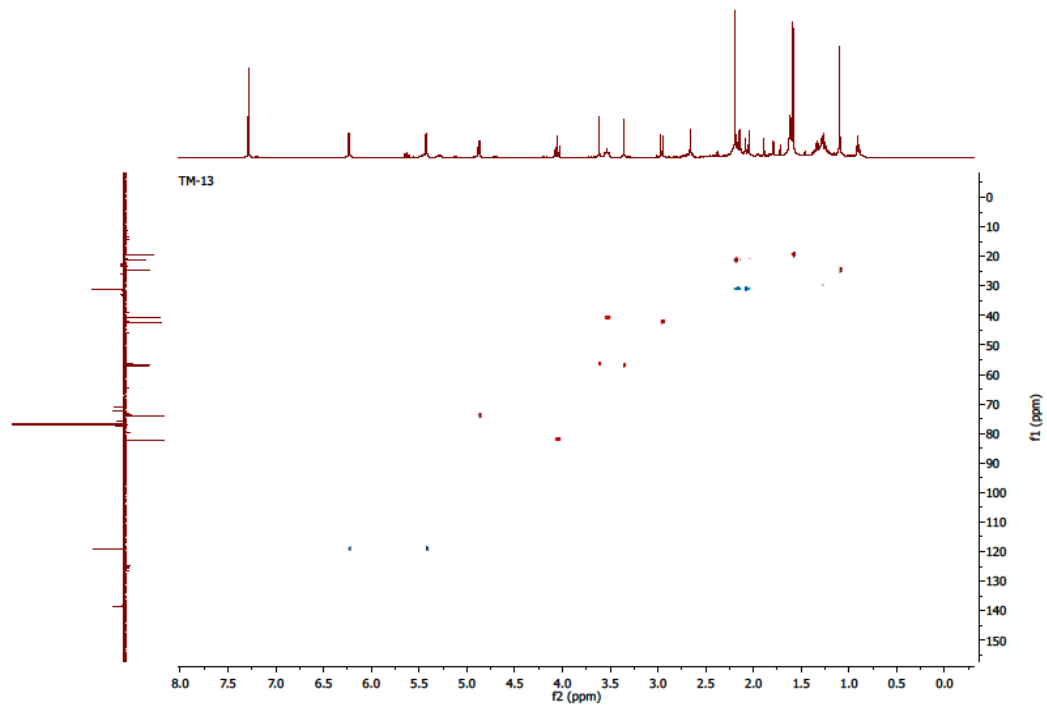
Şekil 4.145 9 $\alpha$ -Asetoksiartecanin  $^1\text{H}$ -NMR spektrumu



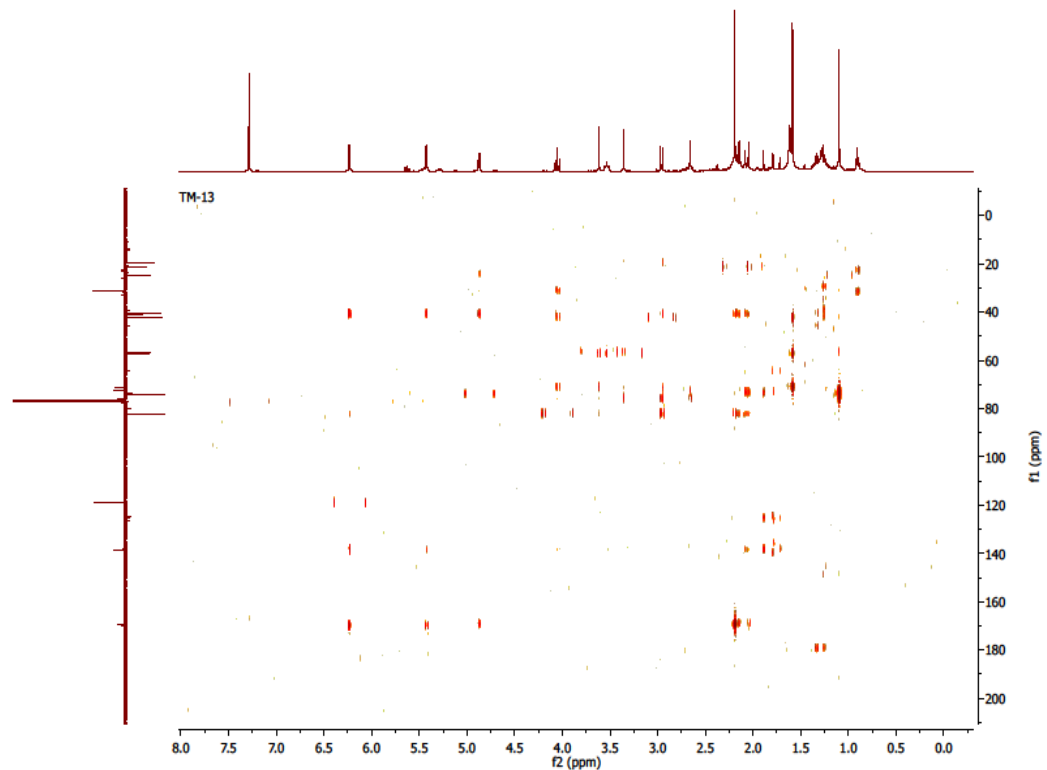
Şekil 4.146 9 $\alpha$ -Asetoksiartecanin COSY spektrumu



Şekil 4.147 9 $\alpha$ -Asetoksiartecanin APT spektrumu



Şekil 4.148 9 $\alpha$ -Asetoksiartecanin HSQC spektrumu



Şekil 4.149 9 $\alpha$ -Asetoksiartecanin HMBC spektrumu

#### **4.3.1.3 TM VD+VE (51-65) 5.1=1 $\beta$ -Hidroksi-3 $\beta$ -asetoksi-4Z,10(14)-dien, 6 $\beta$ , 7 $\alpha$ , 11 $\alpha$ (H)-6,12-olide (Mucronolide)**

Maddenin yapısı spektral yöntemlerle ( $^1\text{H}$  NMR, APT, COSY, HSQC, HMBC, Spin decoupling, NOESY, MS) aydınlatılmıştır. Çizelge 4.44'te Mucronolide  $^1\text{H}$ -NMR ve APT kimyasal kayma değerleri, Şekil 4.150'de Mucronolide moleküler yapısı, Şekil 4.151'de  $^1\text{H}$  NMR spektrumu (d-piridin), Şekil 4.152'de  $^1\text{H}$  NMR spektrumu ( $\text{CDCl}_3$ ), Şekil 4.153'te COSY spektrumu, Şekil 4.154'te APT spektrumu, Şekil 4.155'te HSQC spektrumu, Şekil 4.156'da HMBC spektrumu, Şekil 4.157'de NOESY spektrumu, Şekil 4.158'de H-11 protonunun spin decoupling spektrumu, Şekil 4.159'da H-7 protonunun spin decoupling spektrumu, Şekil 4.160'ta H-5 protonunun spin decoupling spektrumu, Şekil 4.161'de H-6 protonunun spin decoupling spektrumu, Şekil 4.162'de H-3 protonunun spin decoupling spektrumu, Şekil 4.163'te H-1 protonunun spin decoupling spektrumu, Şekil 4.164'te H-9 protonunun spin decoupling spektrumu, Şekil 4.165'te H-8' protonunun spin decoupling spektrumu ve Şekil 4.166'da kütle spektrumu verilmektedir.

Dört piridinde çekilen  $^1\text{H}$ -NMR spektrumunda  $\delta$  2.81 (1H, dq,  $J=7.5;10.5$  Hz) olarak görülen pik H-11'e aittir ve bu proton COSY deneylerinde  $\delta$  2.61'de H-7 (1H, brdd,  $J=10.8;10.5$  Hz) ve  $\delta$  1.07'de H-13 (1H, d,  $J=7.4$  Hz) protonları ile etkileşmektedir. Ayrıca H-7 protonu  $\delta$  1.68 H-8 (1H, m) ve  $\delta$  1.31 H-8' (1H, m) protonları ile etkileşim göstermektedir. H-8 pik  $\delta$  1.71'de yer alan H-15 (3H, brs) pikinin altında kaldığından net olarak görülememektedir. H-8 ve H-8' protonları  $\delta$  2.68 H-9 (1H, ddd,  $J=4.1;9.4;14.9$  Hz) ve  $\delta$  2.32 H-9' (1H, ddd,  $J=5.1;6.9;14.2$  Hz) protonları ile etkileşim göstermektedir.  $\delta$  4.40 H-1 (1H, brd,  $J=11.1$  Hz) protonu  $\delta$  2.51 H-2 (1H, ddd,  $J=2.4;11.3;15.5$  Hz) protonu ile etkileşmektedir. H-2 protonu  $\delta$  2.41 H-2' (1H, ddd,  $J=3.9;7.2;15.3$  Hz) ve  $\delta$  5.69 H-3 (1H, brd,  $J=6.6$  Hz) protonları ile etkileşmektedir.  $\delta$  5.43 H-5 (1H, ddq,  $J=1.2;1.2;6.8$  Hz) protonu  $\delta$  5.64 H-6 (1H, brd,  $J=6.6$  Hz) ve  $\delta$  1.71 H-15 (3H, brs) protonları ile etkileşim göstermektedir.  $\delta$  5.38'de H-14 (1H, brs),  $\delta$  5.16'da H-14' (1H, brs) ve asetoksi grubuna bağlı metil pik  $\delta$  2.01'de (3H, s) görülmektedir.

Spin decoupling deneyinde H-11 protonuna ait pikin sinyali ışınladırıldığında H-7 protonuna ait pikin sinyalinde broad doublet-dublet yapısı broad doublet yapısına ve H-13 protonuna ait pikin sinyalinde ise doublet yapısından singlet yapısına dönüştüğü

görülmektedir. H-7 protonu işinlandırıldığında H-8, H-8' ve H-11 protonları ait piklerin sinyallerinde değişim net bir şekilde görülmekte fakat H-6 protonuna ait pikin sinyalinde dublet yapısı değişmemekte sadece bu protona ait pik sinyalinde sivrilme olduğu görülmektedir. H-6 protonu işinladırıldığında H-5 protonuna ait pikin sinyalinde dublet-quartet yapısı singlet yapısına dönüşmekte ancak H-7 protonuna ait pikin sinyalinde broad dublet-dublet-dublet yapısı normal dublet-dublet-dublet yapısına dönüşmektedir. Aynı şekilde H-5 protonuna ait pikin sinyalini işinlandırıldığımızda H-6 protonu singlete dönüşmekte ve H-15 protonuna ait pikin sinyalinde sivrilme olduğu görülmektedir. H-3 protonuna ait pikin sinyali işinlandırıldığında H-2 ve H-2' protonlarına ait piklerin sinyallerinde değişim gözlenmektedir. H-1 protonuna ait sinyali işinladırıldığında yine aynı şekilde H-2 ve H-2' protonlarına ait piklerde değişim görülmektedir. Sonuç olarak H-7 ve H-6 protonları arasındaki etkileşme sabitlerinin küçük olması bileşiğin yapısının heliangolide yapıda seskiterpen laktan olduğunu göstermektedir.

Elde edilen deneysel bulgular sonucunda Mucronolide maddesinin yapısı,  $1\beta$ -Hidroksi- $3\beta$ -asetoksigermakra-4,10(14)-dien- $6\beta$ , $11\beta$ H-12,6-olide maddesinin yapısına benzerlik göstermektedir [226].  $1\beta$ -Hidroksi- $3\beta$ -asetoksigermakra-4,10(14)-dien- $6\beta$ , $11\beta$ H-12,6-olide maddesinin  $^1\text{H}$  NMR ve  $^{13}\text{C}$  NMR spektrumları dörtoro kloroformda çekilmiştir.  $\delta$  4.41'de H-6 protonunun H-6/H-5 ve H-6/H-7 etkileşme sabitleri  $J=10;9.8$  Hz olarak verilmiş. Bu etkileşme sabitlerine göre  $1\beta$ -Hidroksi- $3\beta$ -asetoksigermakra-4,10(14)-dien- $6\beta$ , $11\beta$ H-12,6-olide maddesinin heliangolide yapıda olmayan bir seskiterpen laktan olduğu görülmektedir. Her iki maddenin  $^1\text{H}$ -NMR spektrumlarını karşılaştırmak için, Mucronolide maddesinin  $^1\text{H}$  NMR ve APT spektrumları dörtoro kloroformda çekilmiştir. H-6 protonu 5.30 ppm'de H-5 ve H-3 protonları ile birlikte üst üste görülmektedir. Pikleri birbirinden ayırmak ve etkileşim sabitlerini doğru bir şekilde hesaplamak için  $^1\text{H}$  NMR spektrumu farklı çözücüler ile çekilmiştir. Dörtoro piridinde çekilen  $^1\text{H}$  NMR spektrumunda pikler birbirinden net bir şekilde ayrıldığı gözlenmiştir. Yukarıda belirtildiği gibi COSY ve Spin decoupling deneylerinde H-6 ve H-7 protonları arasında çok küçük bir etkileşim sabiti görülmekte ve H-6 ile H-5 protonları arasındaki etkileşim sabiti ise  $J=6.6$  Hz olarak ölçülmektedir. Elde edilen deneysel bulgular sonucunda her iki maddenin H-6 protonları arasındaki etkileşim sabitleri ve piklerin görüldüğü yerler birbirinden farklı olduğu belirlenmiştir.

Mucronolide maddesinin heliangolide yapıda olduğu, 1 $\beta$ -Hidroksi-3 $\beta$ -asetoksigermakra-4,10(14)-dien-6 $\beta$ ,11 $\beta$ H-12,6-olide maddesinin ise heliangolide yapıda olmadığı görülmektedir.

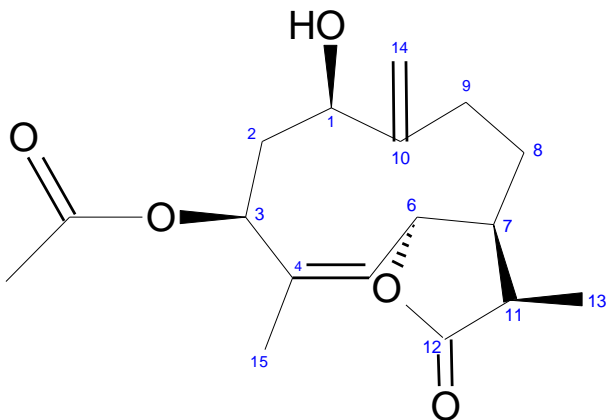
HSQC deneyinde tek bağ üzerinden karbon-proton etkileşim incelenmiştir. Dötoro piridinde çekilen HSQC spektrumunda  $\delta$  4.40 H-1 protonunun  $\delta$  73.08'de yer alan karbon ile etkileştiği,  $\delta$  2.51 H-2 ve  $\delta$  2.41 H-2' protonları  $\delta$  37.8'de yer alan karbon ile etkileştiği,  $\delta$  5.69 H-3 protonu  $\delta$  79.02'de yer alan karbon ile etkileştiği,  $\delta$  5.43 H-5 protonu  $\delta$  126.3'te yer alan karbon ile etkileştiği,  $\delta$  5.64 H-6 protonu  $\delta$  72.8'de yer alan karbon ile etkileştiği,  $\delta$  2.61 H-7 protonu  $\delta$  41.8'de yer alan karbon ile etkileştiği,  $\delta$  1.68 H-8 ve  $\delta$  1.31 H-8' protonları  $\delta$  28.0'de yer alan karbon ile etkileştiği,  $\delta$  2.68 H-9 ve  $\delta$  2.32 H-9' protonları  $\delta$  30.5'ta yer alan karbon ile etkileştiği,  $\delta$  2.81 H-11 protonu  $\delta$  37.8'de yer alan karbon ile etkileştiği  $\delta$  1.07 H-13 protonu  $\delta$  10.6'da yer alan karbon ile etkileştiği,  $\delta$  5.38 H-14 ve  $\delta$  5.16 H-14' protonları  $\delta$  114.7'de yer alan karbon ile etkileştiği,  $\delta$  1.71 H-15 protonu  $\delta$  22.7'de yer alan karbon ile etkileştiği,  $\delta$  2.01 asetoksi grubuna bağlı metil protonu  $\delta$  21.2'de yer alan karbon ile etkileştiği görülmektedir. Elde edilen veriler maddenin yapısı ile uyum içindedir.

HMBC deneyinde 2 ve 3 bağ üzerinden karbon-proton etkileşimi incelenmiştir. Asetoksi grubuna ait metil piki ile H-3 protonunun etkileştiği görülmüştür. Bu nedenle asetoksi grubunun H-3 protonuna ait olduğu belirlenmiştir. HMBC deneyinde elde edilen diğer veriler maddenin yapısı ile uyum içindedir.

NOESY deneyinde H-11 protonu H-7 protonu ile etkileşim gösterdiği ve aynı uzaysal düzlemi paylaştığı görülmektedir. Biyo oluşumsal olarak H-7 protonu  $\alpha$  konumunda olduğu bilinmektedir. NOESY spektrumundan H-1, H-3 ve H-11 protonlarının  $\alpha$  konumunda olduğu, H-6 ve H-13 protonlarının  $\beta$  konumunda olduğu anlaşılmıştır.

Bu maddenin kütle spektrumunda moleküler iyon piki  $m/z$  331 [M+Na]<sup>+</sup> net bir şekilde görülmektedir. Yapının C<sub>17</sub>H<sub>24</sub>O<sub>5</sub> formülüne sahip olduğu ve tayin edilen yapıyla uyum içinde olduğu görülmektedir. Ayrıca yapıdan  $m/z$  271 [331- CH<sub>3</sub>COOH],  $m/z$  185 [271-(OCOCCH<sub>3</sub>)-CH<sub>3</sub>] ve  $m/z$  157 [185- CO] çıkışları görülmektedir.

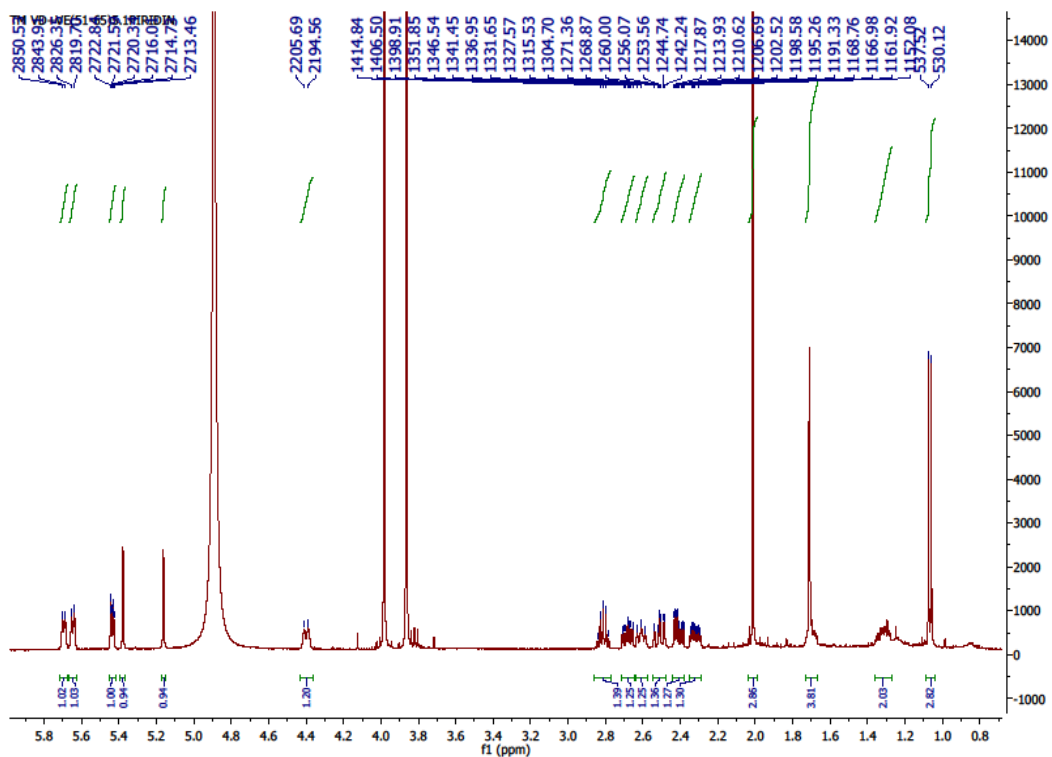
Mucronolide maddesinin spesifik çevirme açısı  $[\alpha]^{22} = 17.19$ , erime noktası=223.4°C olarak bulunmuştur.



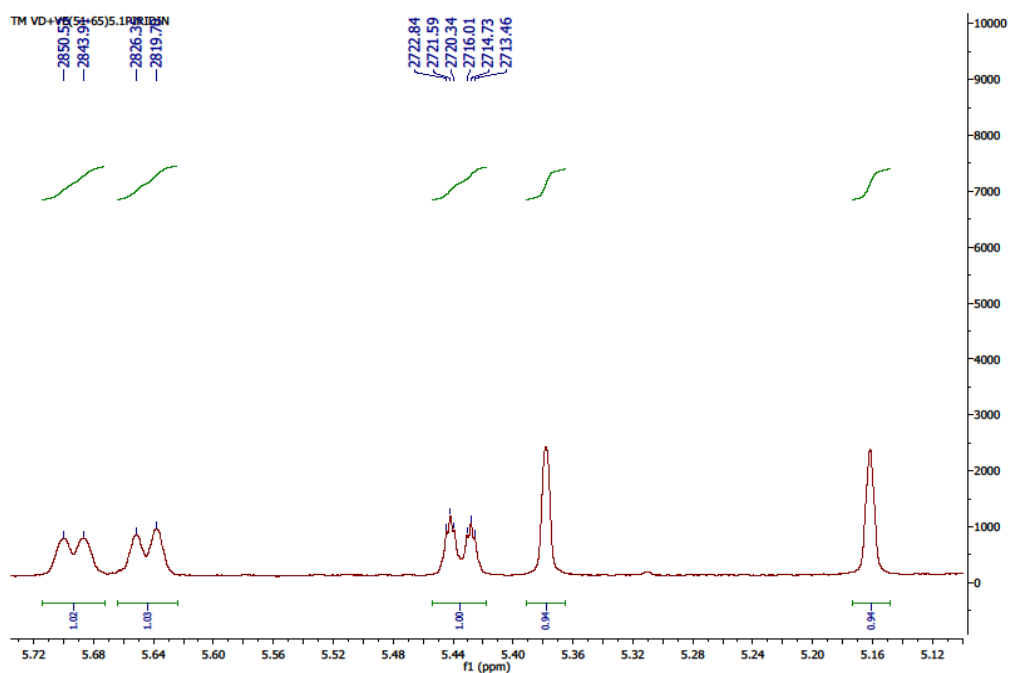
Şekil 4.150 Mucronolide moleküler yapısı

Çizelge 4.44 Mucronolide  $^1\text{H-NMR}$  ve APT (500 MHz, 125 MHz, d-piridin) kimyasal kayma değerleri

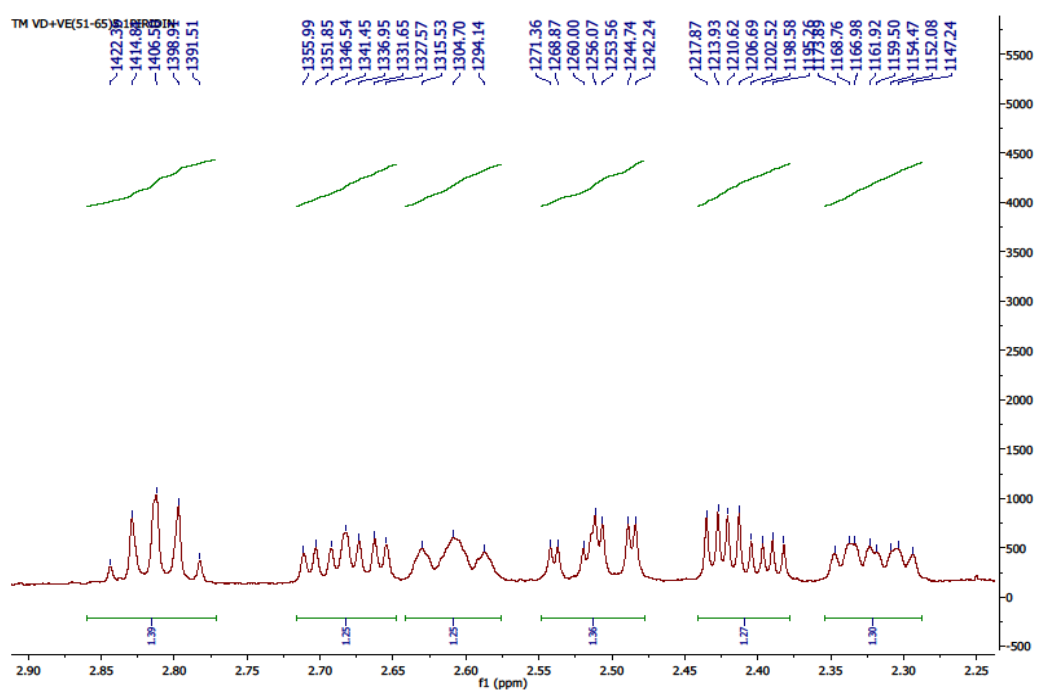
H	$^1\text{H-NMR}$	C	APT
1	4.40 brd (1H, $J=11.1$ Hz)	1	73.08
2	2.51 ddd (1H, $J=2.4;11.3;15.5$ Hz)	2	37.84
2'	2.41 ddd (1H, $J=3.9;7.2;15.3$ Hz)	3	79.02
3	5.69 brd (1H, $J=6.6$ Hz)	4	139.1
5	5.43 ddq (1H, $J=1.2;1.2;6.8$ Hz)	5	126.34
6	5.64 brd (1H, $J=6.6$ Hz)	6	72.8
7	2.61 brdd (1H, $J=10.8;10.5$ Hz)	7	41.88
8	1.68 m (1H)	8	28.0
8'	1.31 m (1H)	9	30.5
9	2.68 ddd (1H, $J=4.1;9.4;14.9$ Hz)	10	151.5
9'	2.32 ddd (1H, $J=5.1;6.9;14.2$ Hz)	11	37.84
11	2.81 dq (1H, $J=7.5;10.5$ Hz)	12	181.0
13	1.07 d (3H, $J=7.4$ Hz)	13	10.69
14	5.38 brs (1H)	14	114.72
14'	5.16 brs (1H)	15	22.71
15	1.71 brs (3H)	-OCO-	170.2
-OAc	2.01 s (3H)	-OAc	21.24



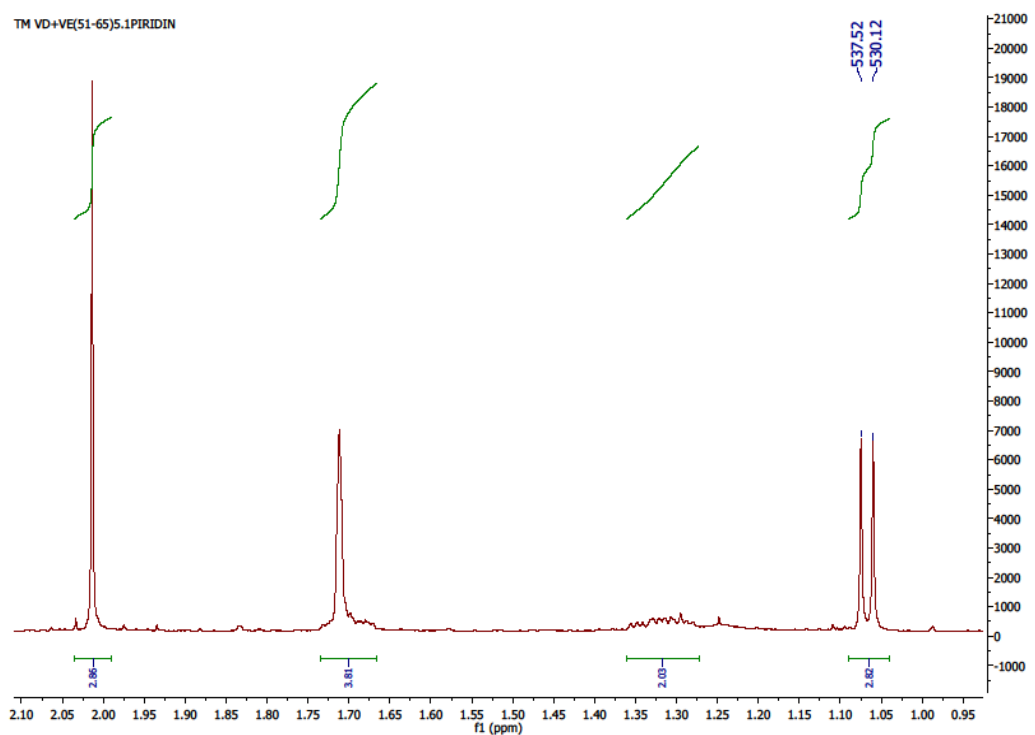
Şekil 4.151 Mucronolide  $^1\text{H}$ -NMR (d-piridin) spektrumu



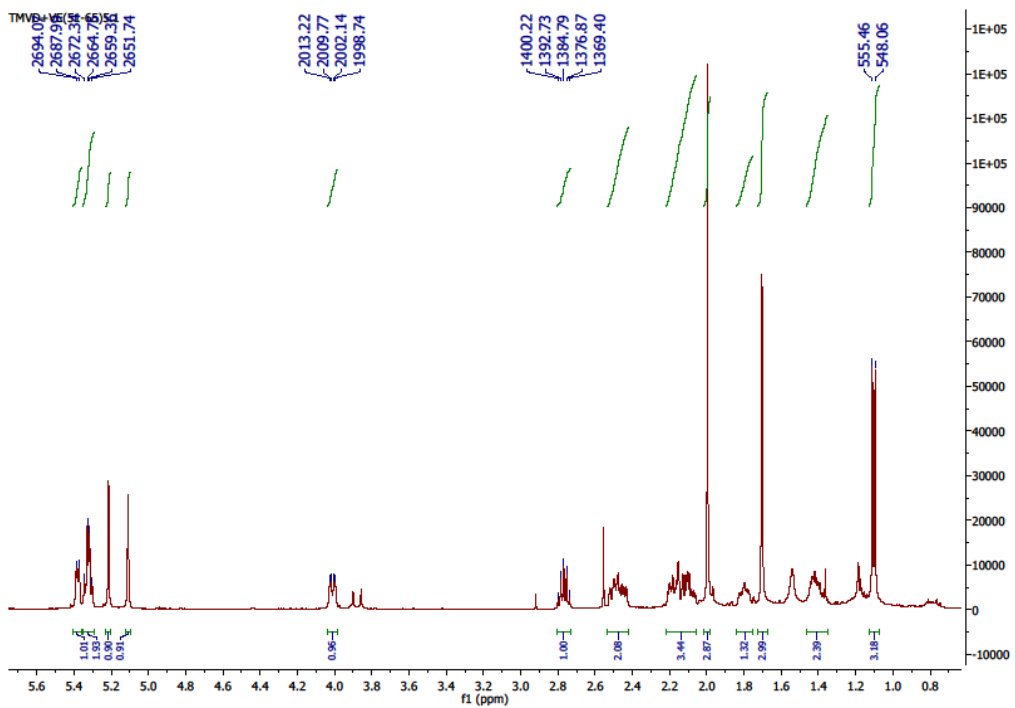
Şekil 4.151 Mucronolide  $^1\text{H}$ -NMR (d-piridin) spektrumu



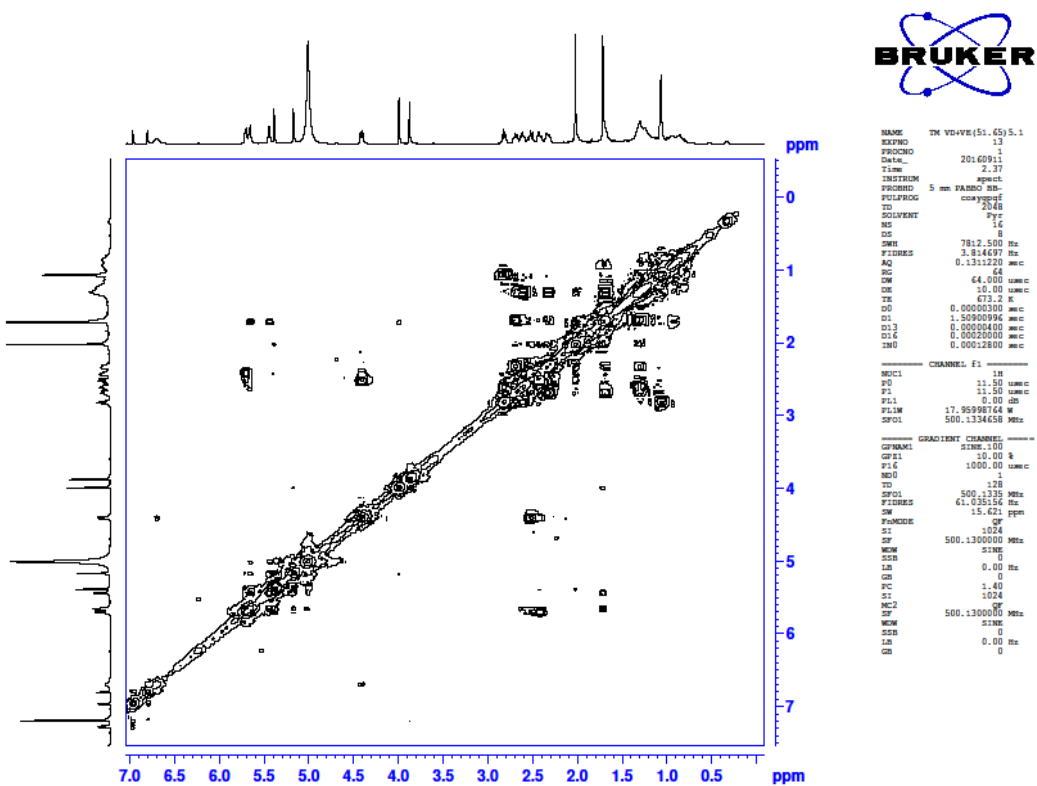
Şekil 4.151 Mucronolide  $^1\text{H}$ -NMR (d-piridin) spektrumu



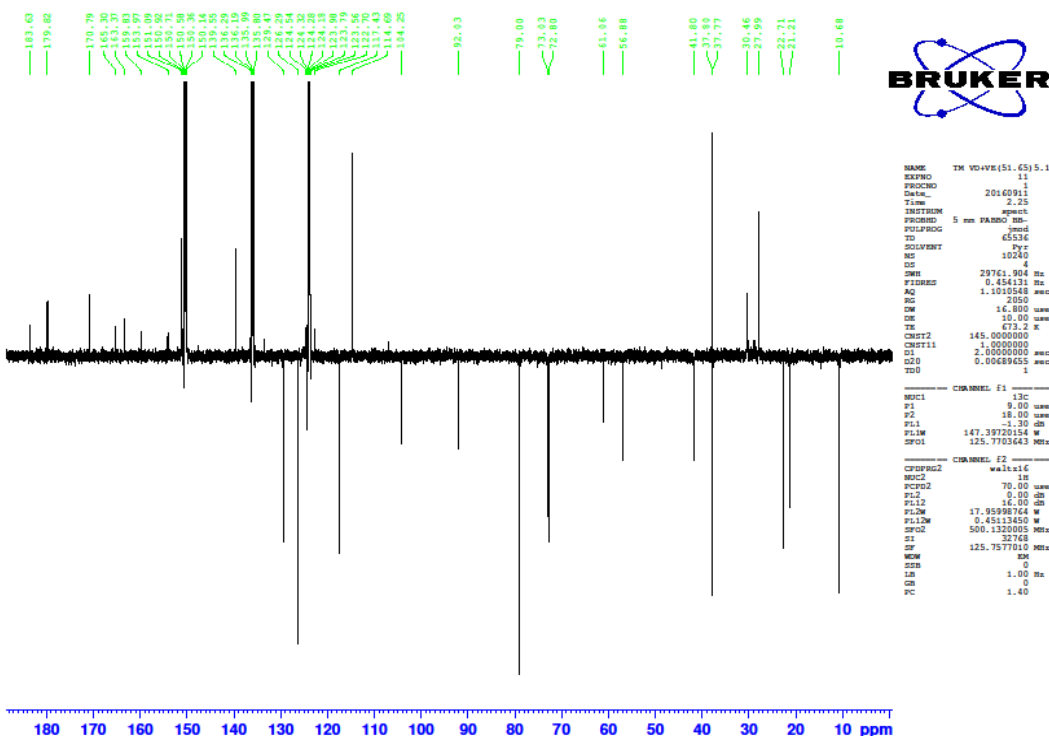
Şekil 4.151 Mucronolide  $^1\text{H}$ -NMR (d-piridin) spektrumu



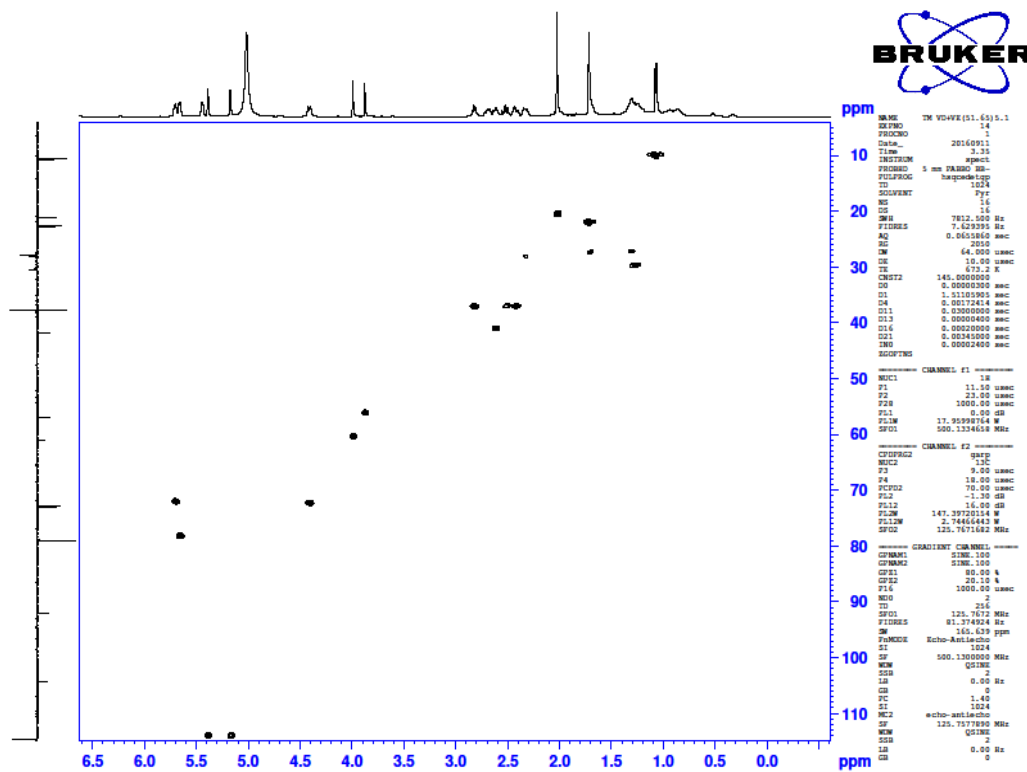
Şekil 4.152 Mucronolide  $^1\text{H-NMR}$  ( $\text{CDCl}_3$ ) spektrumu



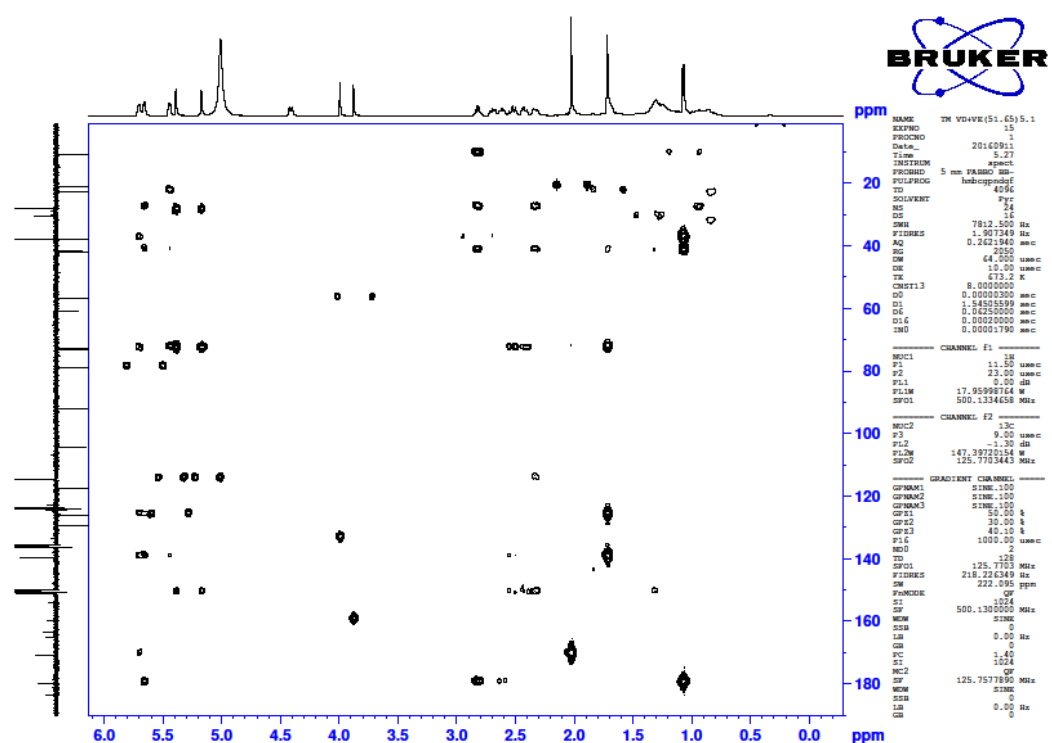
Şekil 4.153 Mucronolide COSY spektrumu



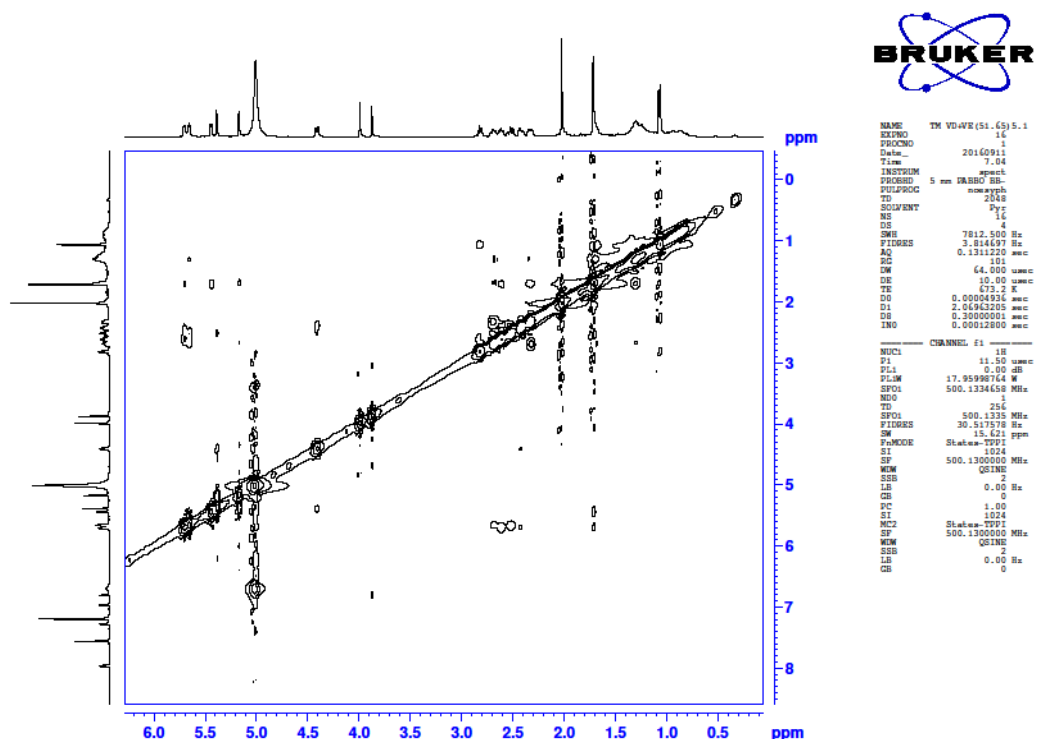
Şekil 4.154 Mucronolide APT spektrumu



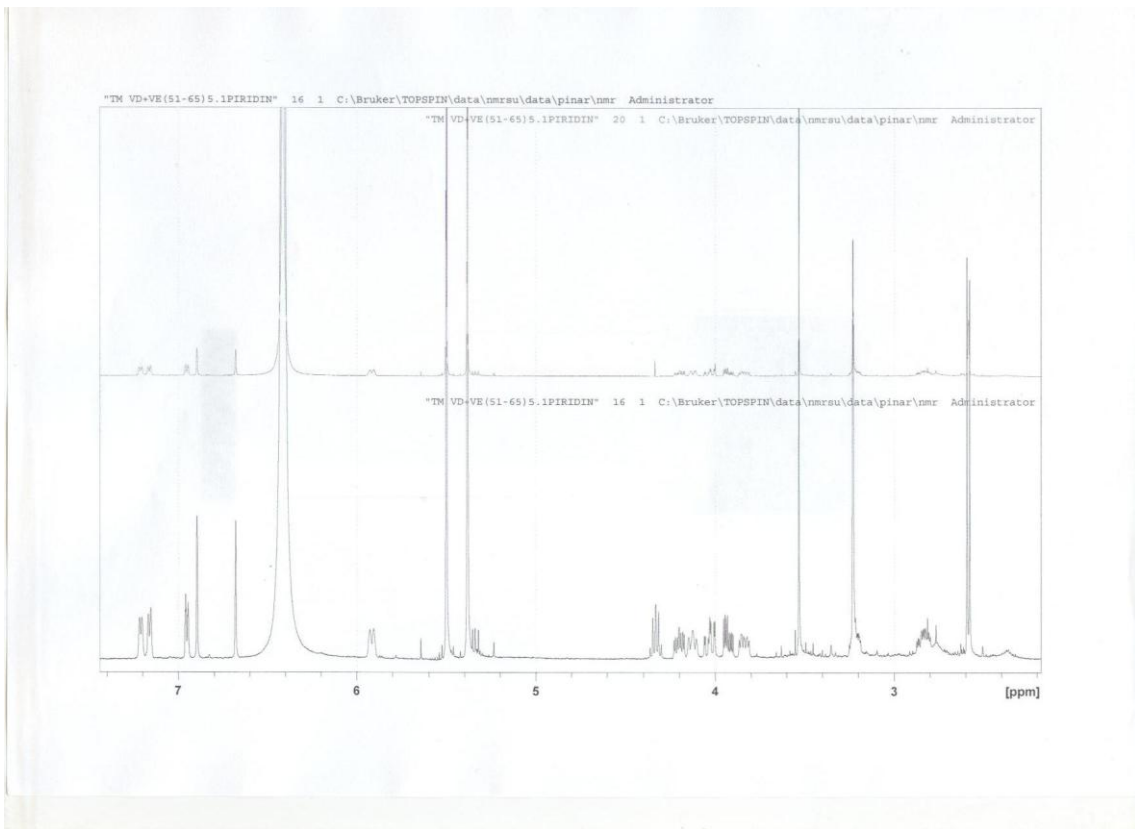
Şekil 4.155 Mucronolide HSQC spektrumu



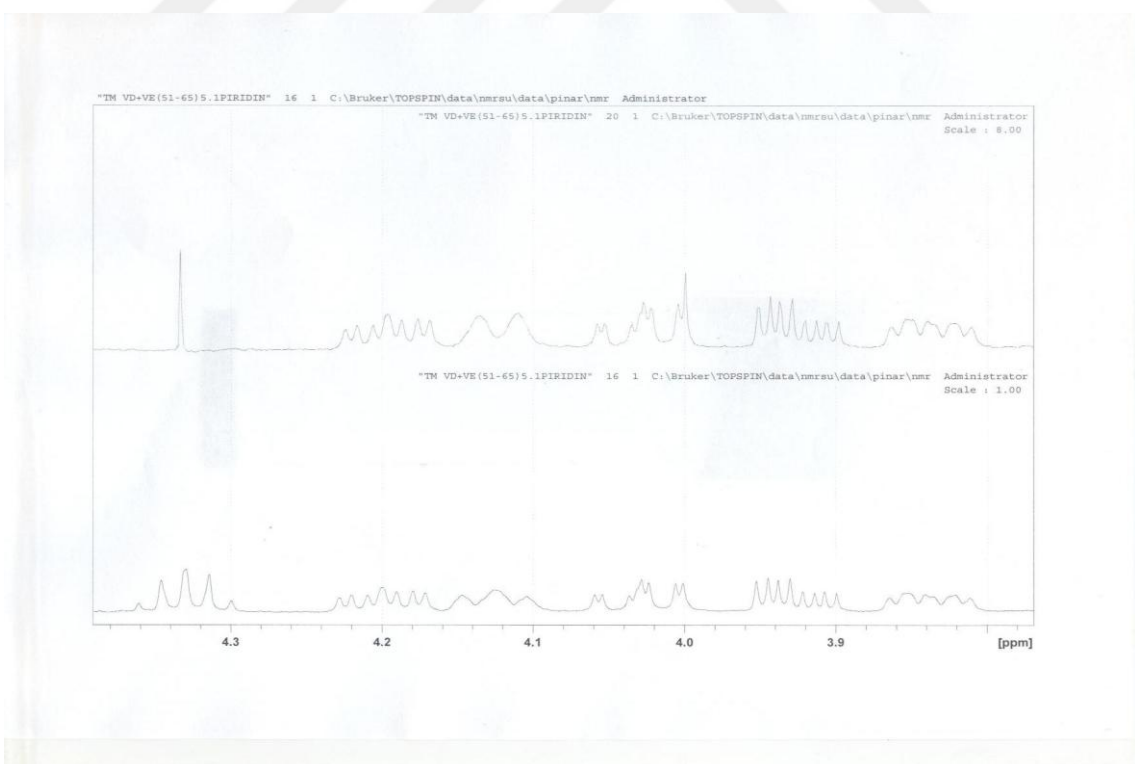
Şekil 4.156 Mucronolide HMBC spektrumu



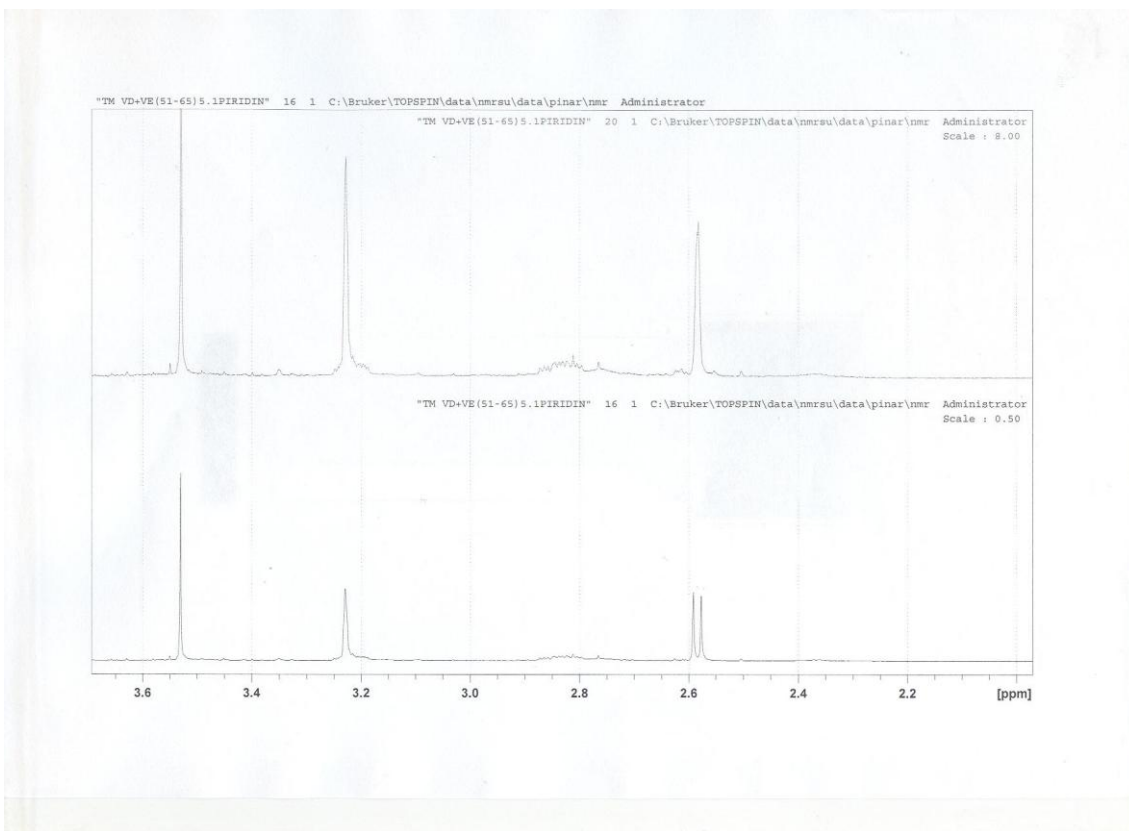
Şekil 4.157 Mucronolide NOESY spektrumu



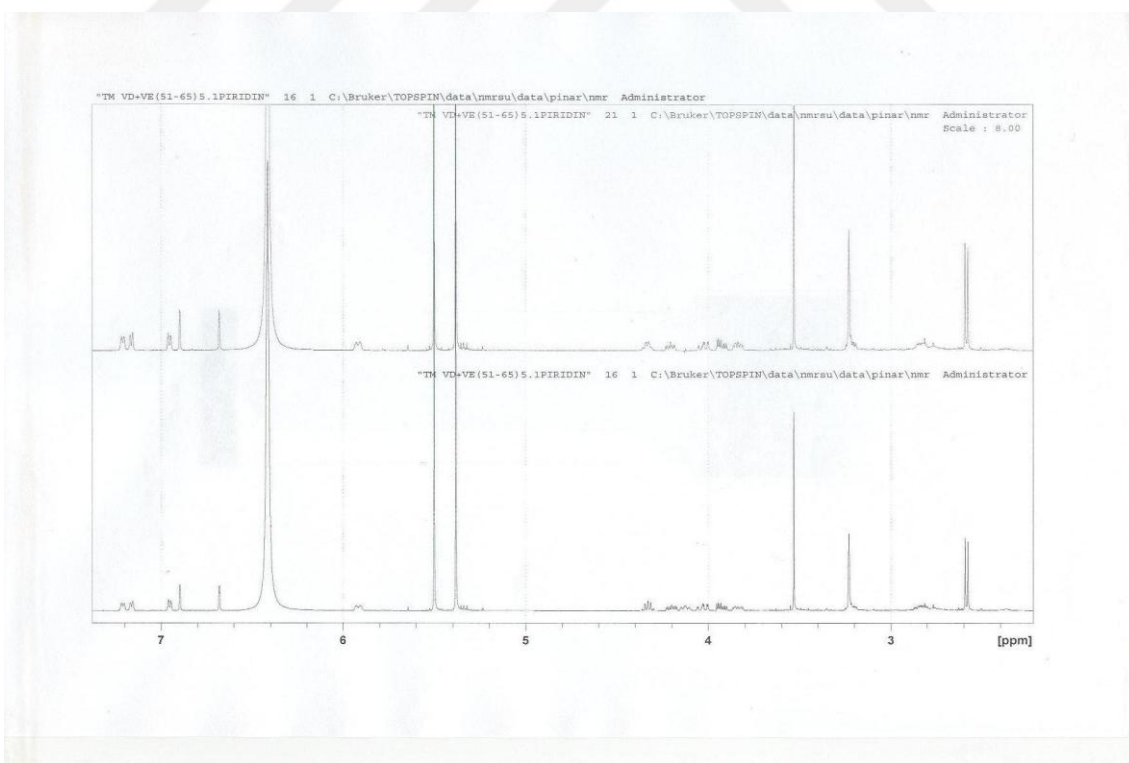
Şekil 4.158 Mucronolide H-11 protonunun spin decoupling spektrumu



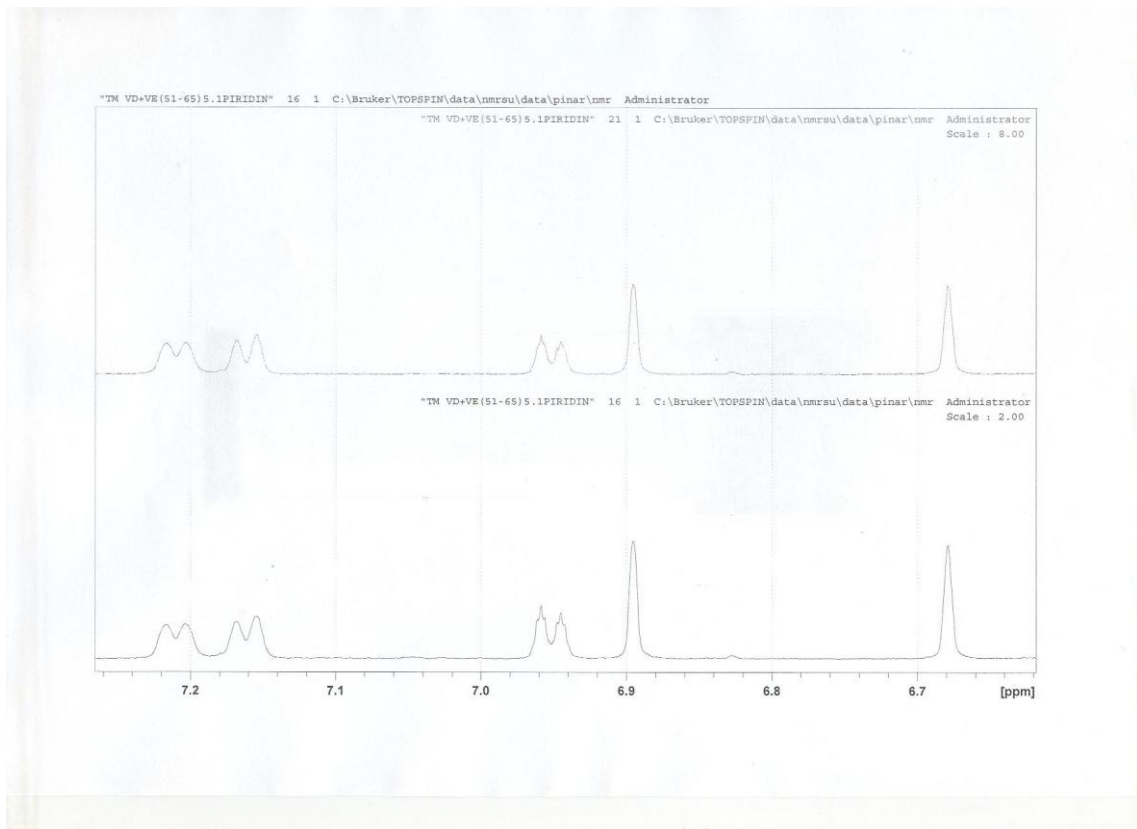
Şekil 4.158 Mucronolide H-11 protonunun spin decoupling spektrumu



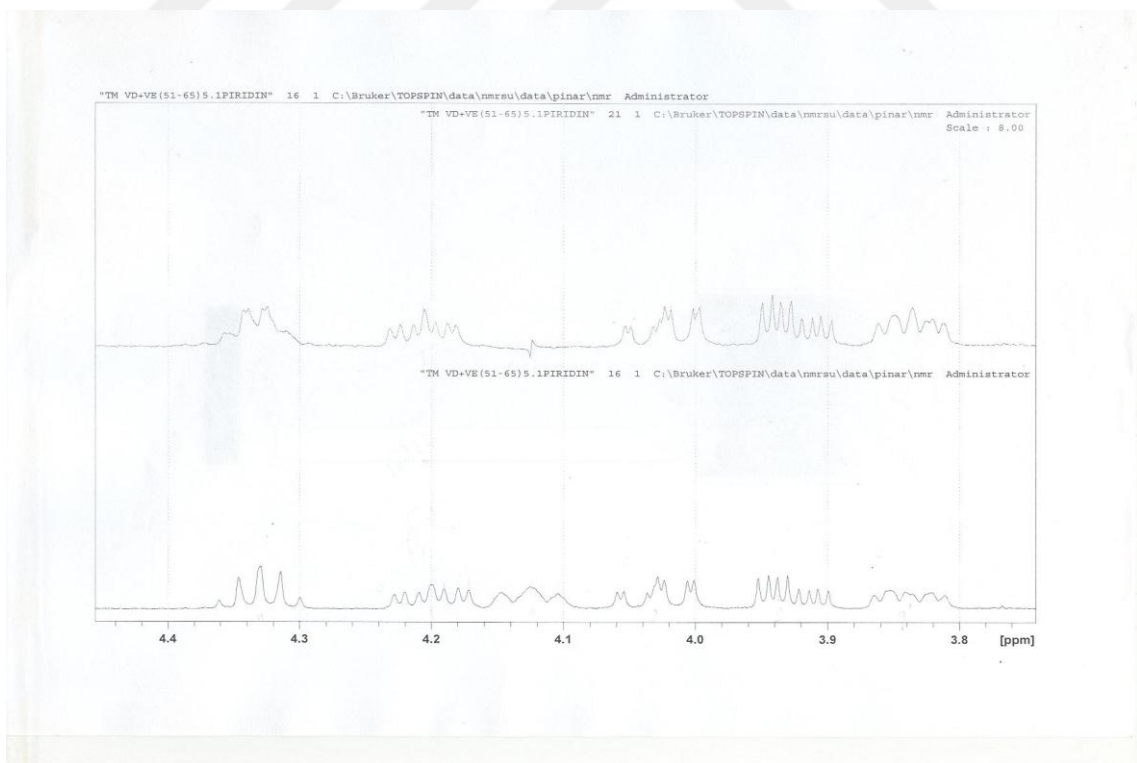
Şekil 4.158 Mucronolide H-11 protonunun spin decoupling spektrumu



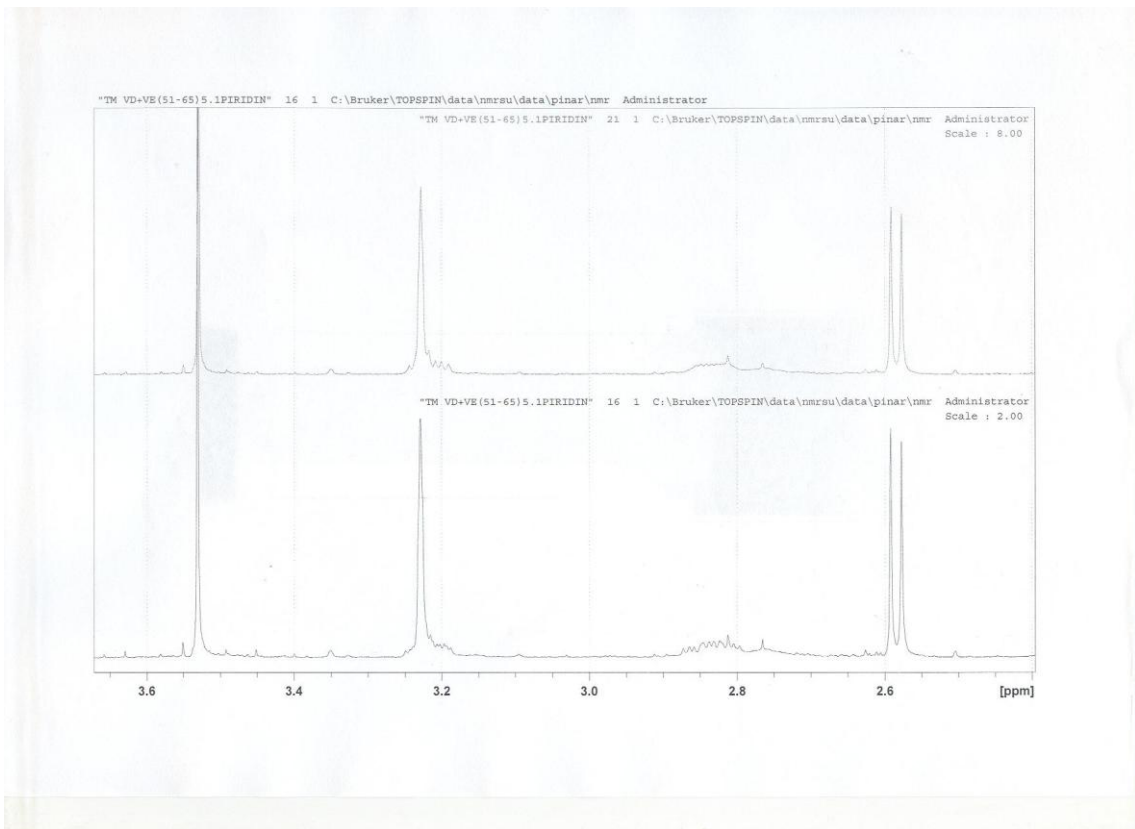
Şekil 4.159 Mucronolide H-7 protonunun spin decoupling spektrumu



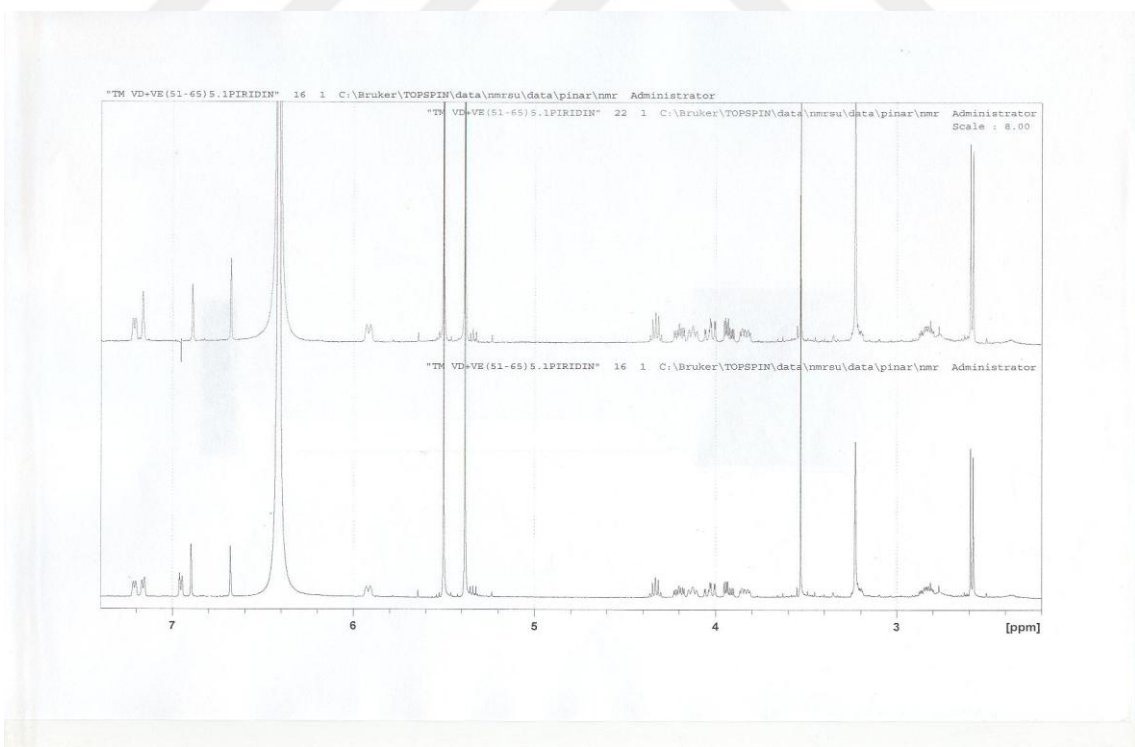
Şekil 4.159 Mucronolide H-7 protonunun spin decoupling spektrumu



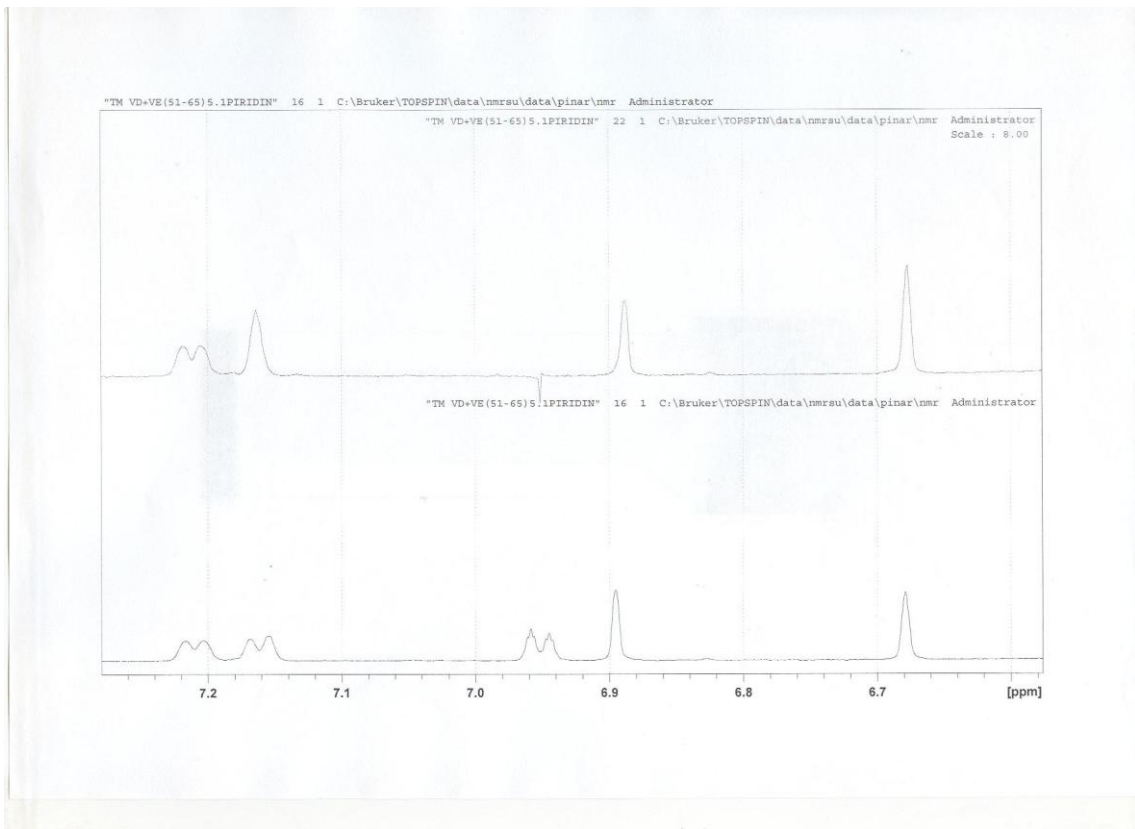
Şekil 4.159 Mucronolide H-7 protonunun spin decoupling spektrumu



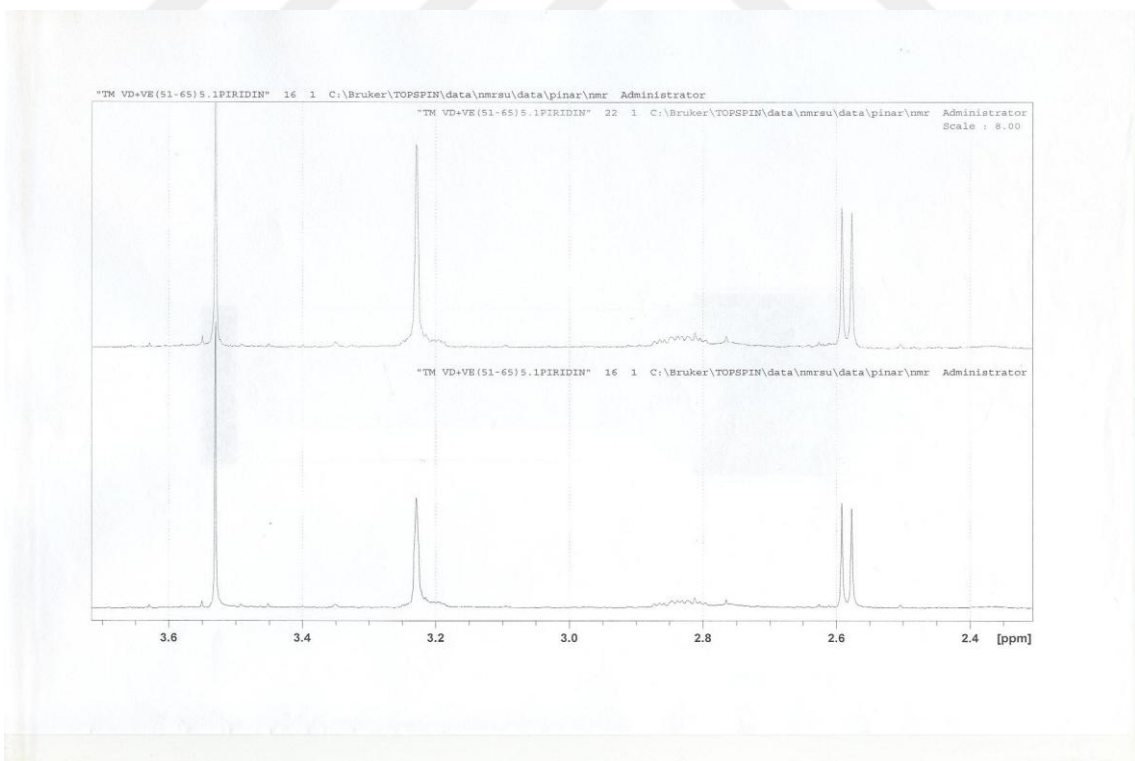
Şekil 4.159 Mucronolide H-7 protonunun spin decoupling spektrumu



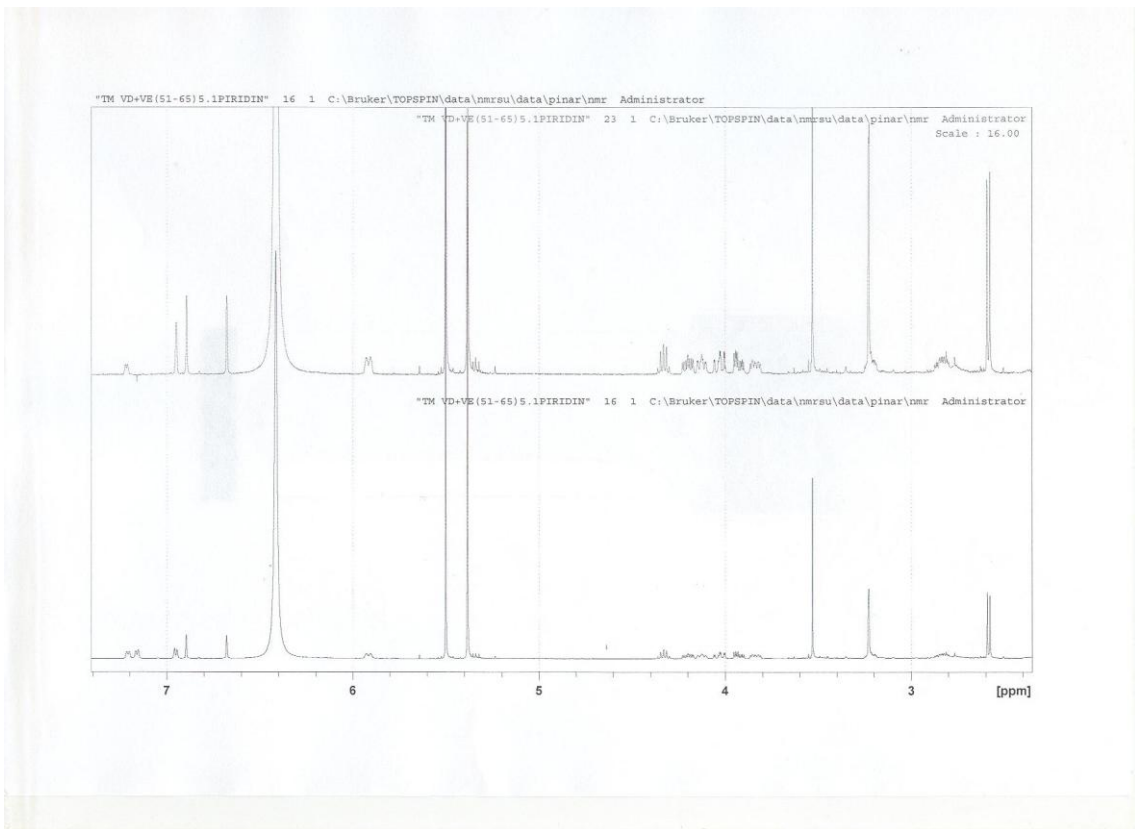
Şekil 4.160 Mucronolide H-5 protonunun spin decoupling spektrumu



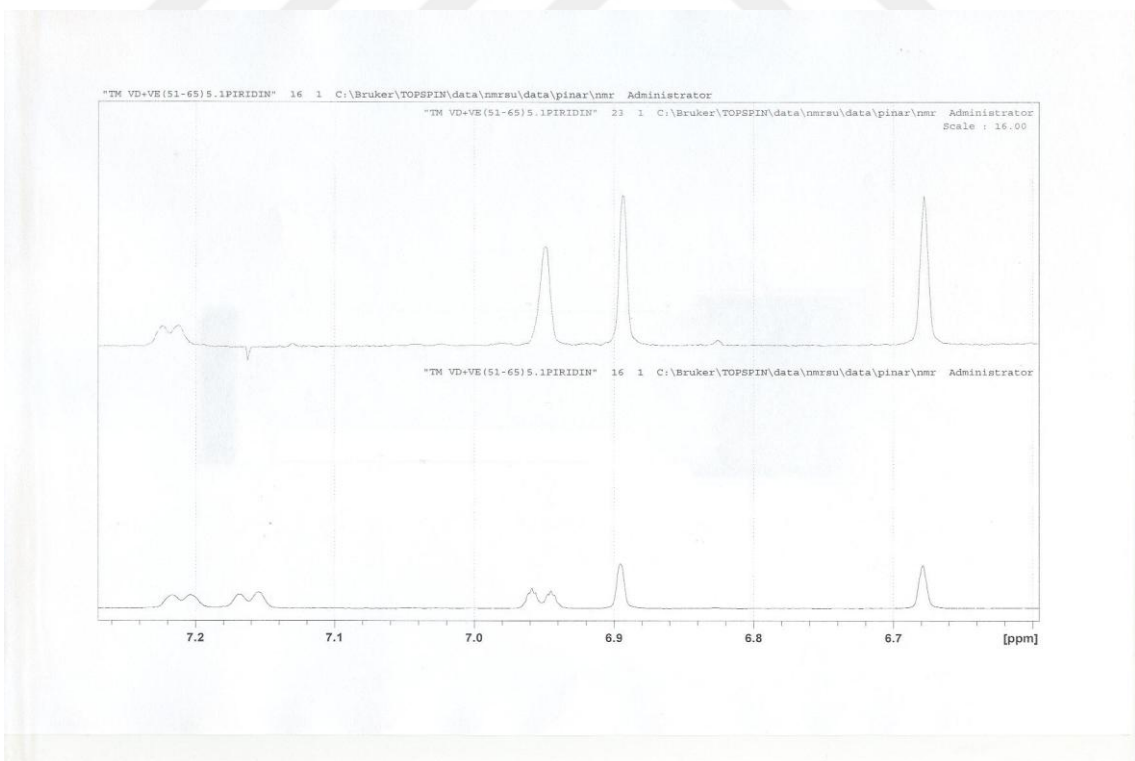
Şekil 4.160 Mucronolide H-5 protonunun spin decoupling spektrumu



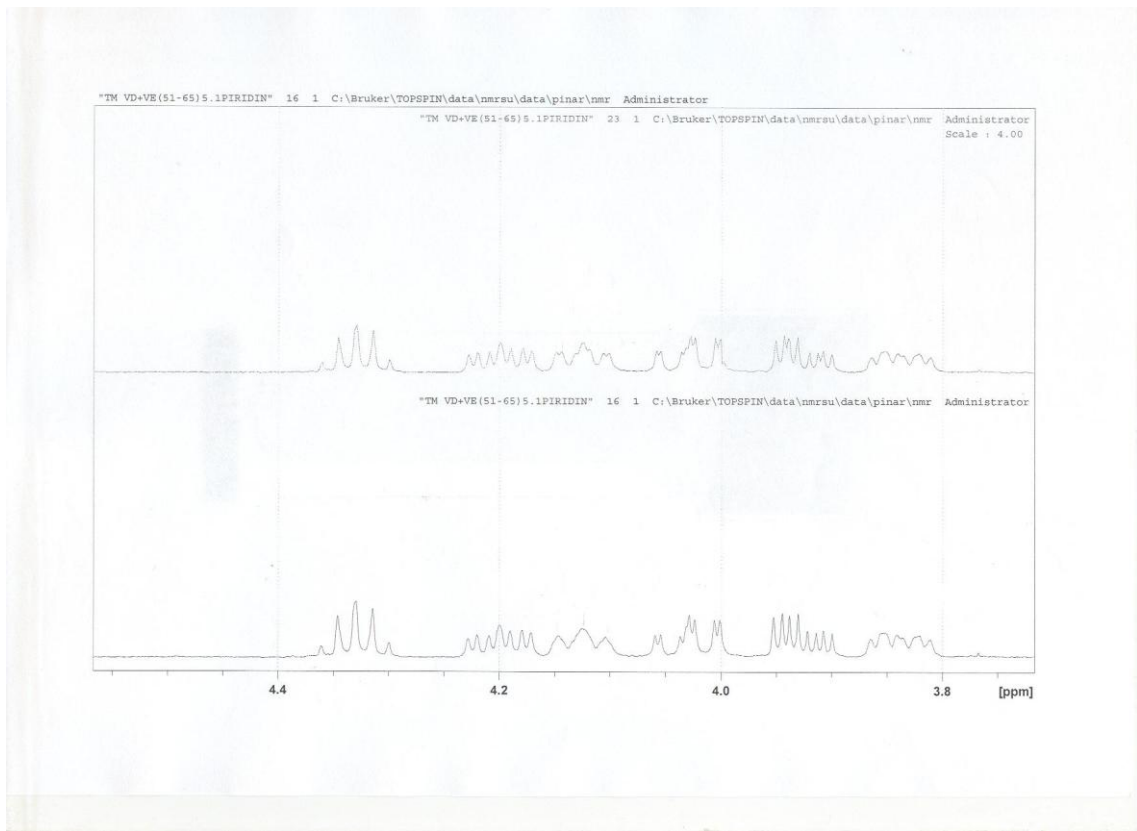
Şekil 4.160 Mucronolide H-5 protonunun spin decoupling spektrumu



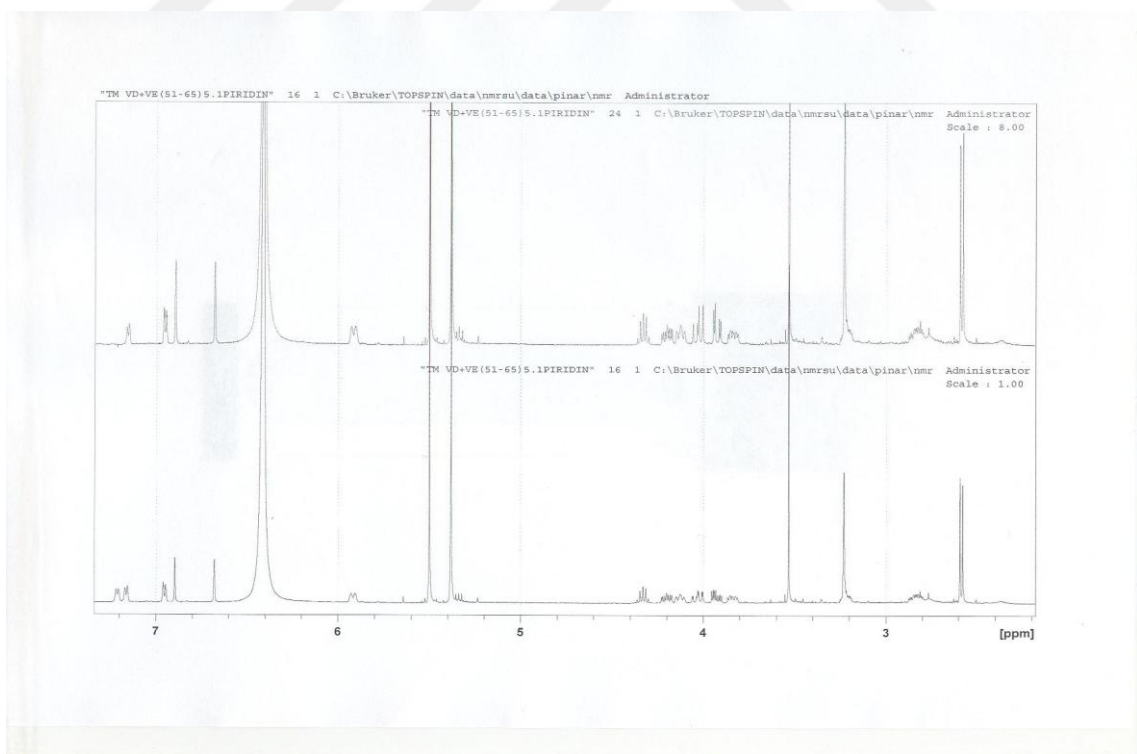
Şekil 4.161 Mucronolide H-6 protonunun spin decoupling spektrumu



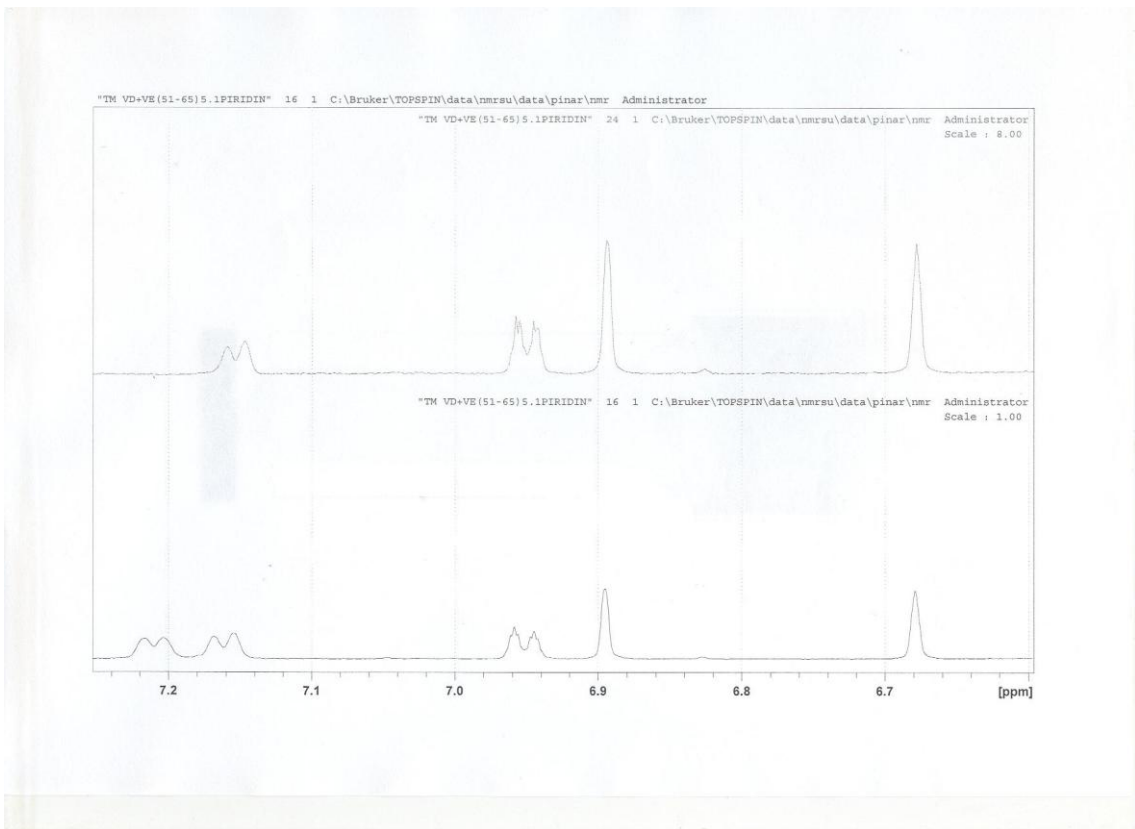
Şekil 4.161 Mucronolide H-6 protonunun spin decoupling spektrumu



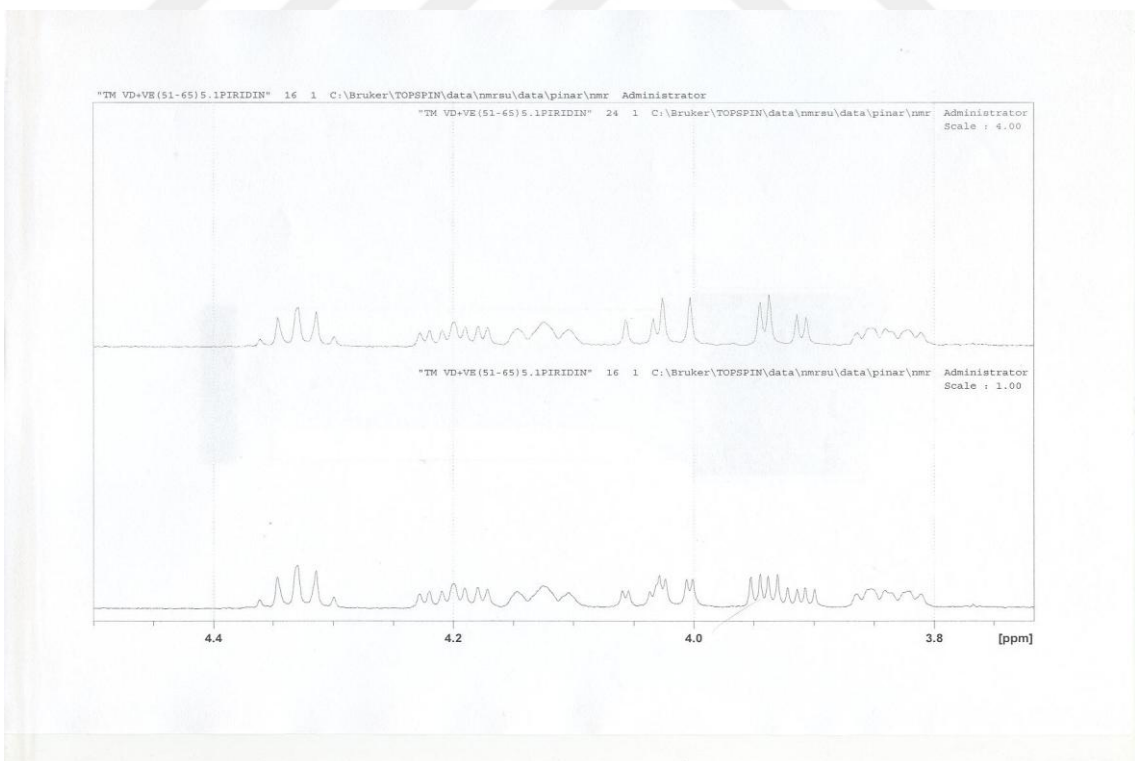
Şekil 4.161 Mucronolide H-6 protonunun spin decoupling spektrumu



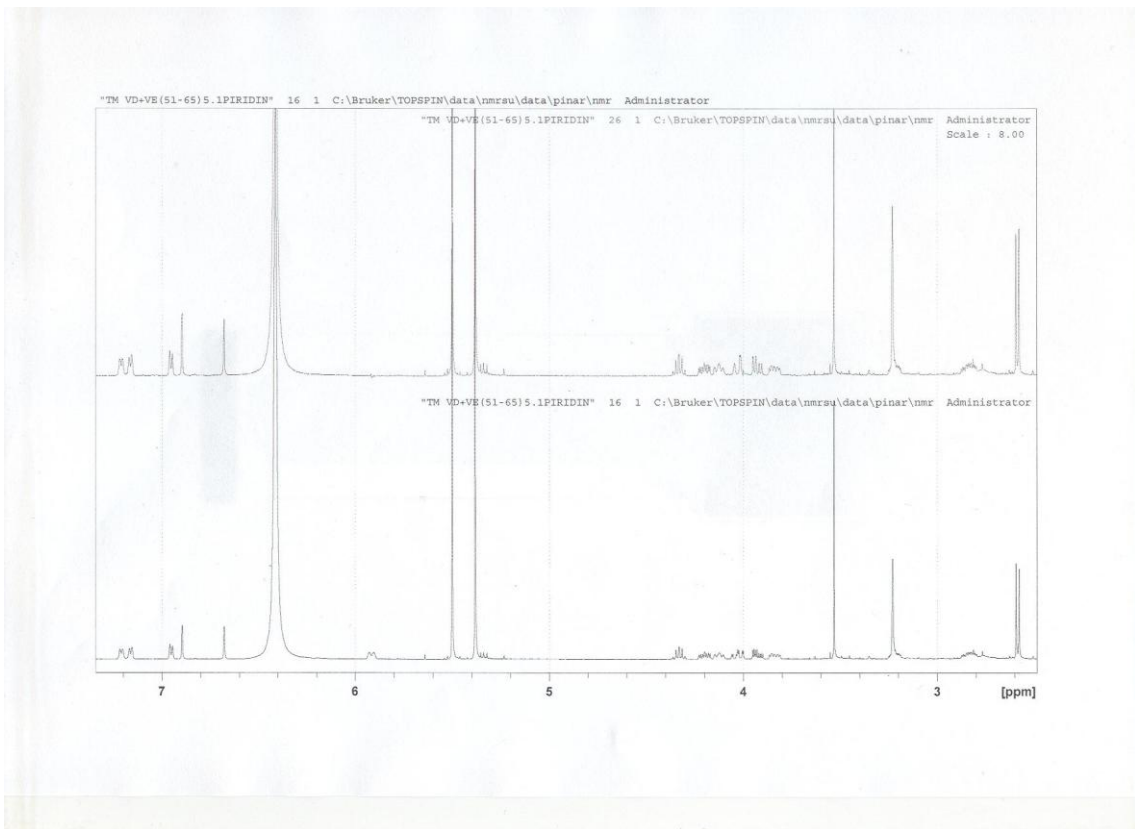
Şekil 4.162 Mucronolide H-3 protonunun spin decoupling spektrumu



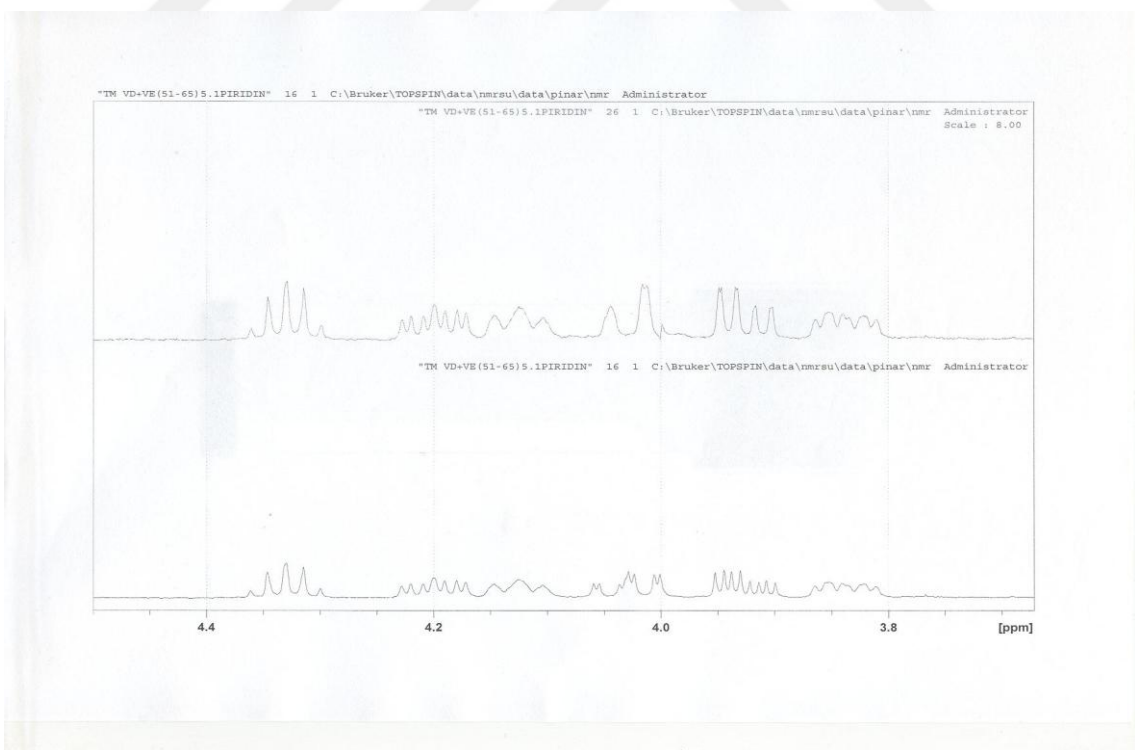
Şekil 4.162 Mucronolide H-3 protonunun spin decoupling spektrumu



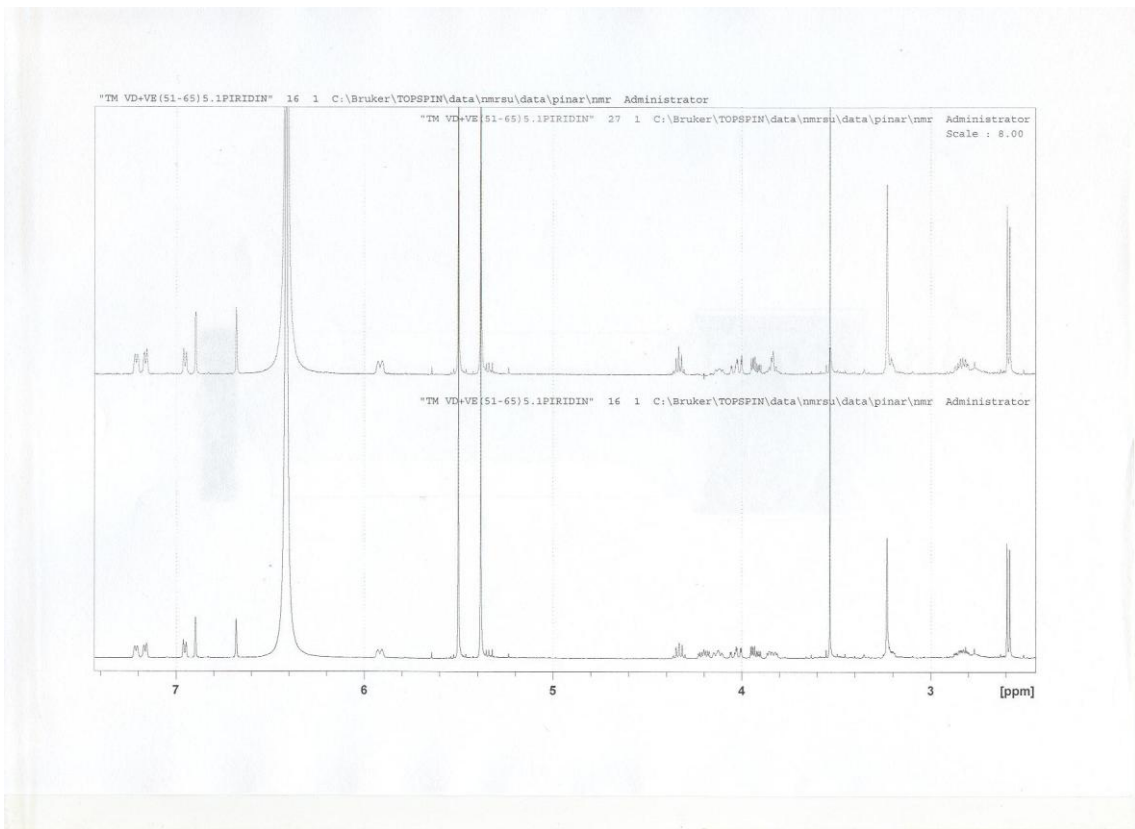
Şekil 4.162 Mucronolide H-3 protonunun spin decoupling spektrumu



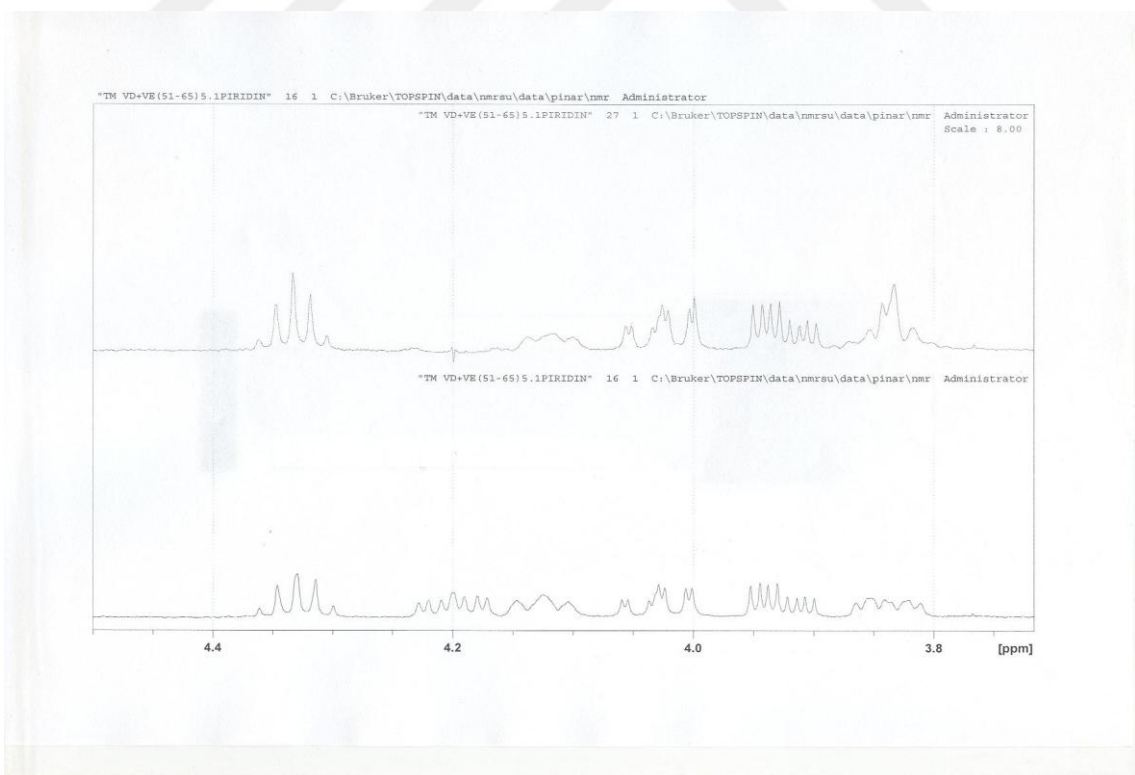
Şekil 4.163 Mucronolide H-1 protonunun spin decoupling spektrumu



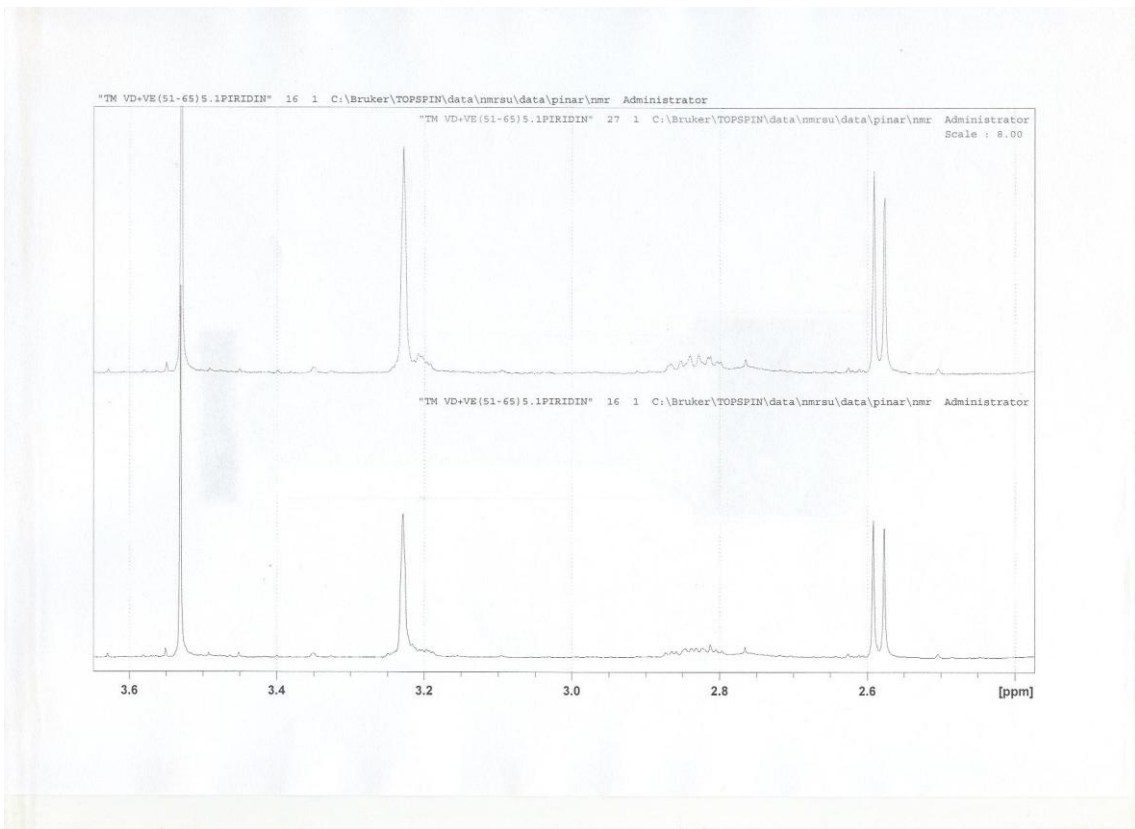
Şekil 4.163 Mucronolide H-1 protonunun spin decoupling spektrumu



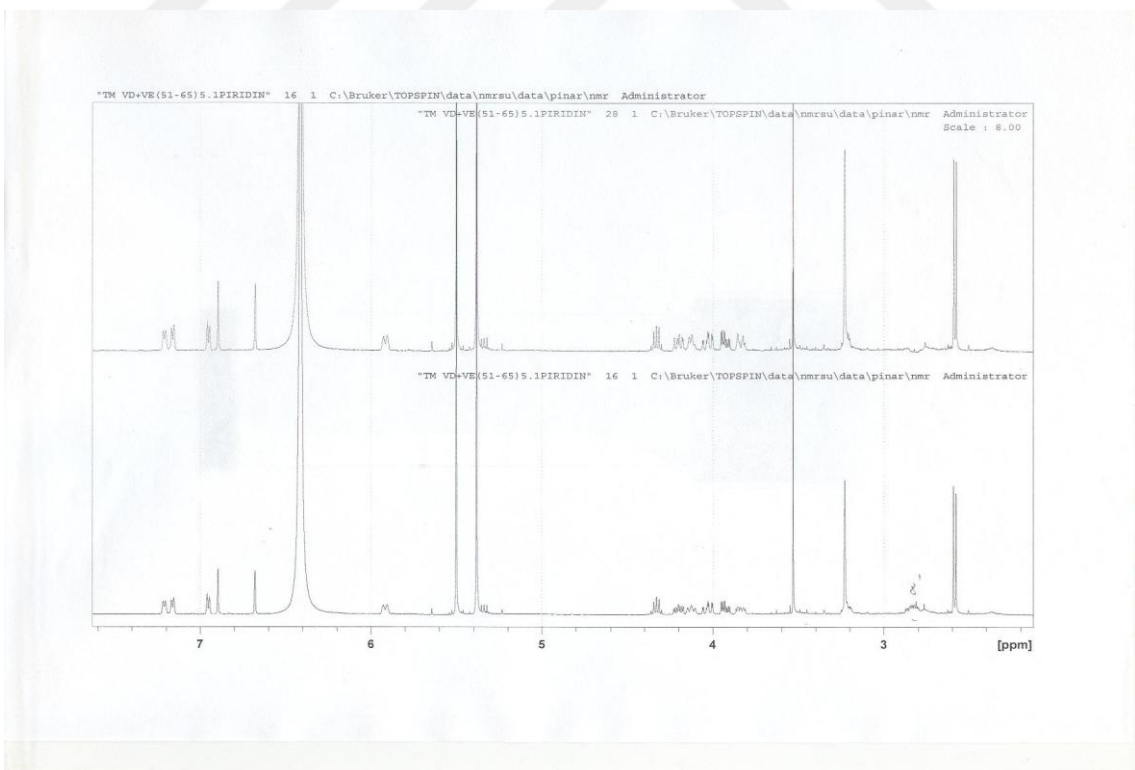
Şekil 4.164 Mucronolide H-9 protonunun spin decoupling spektrumu



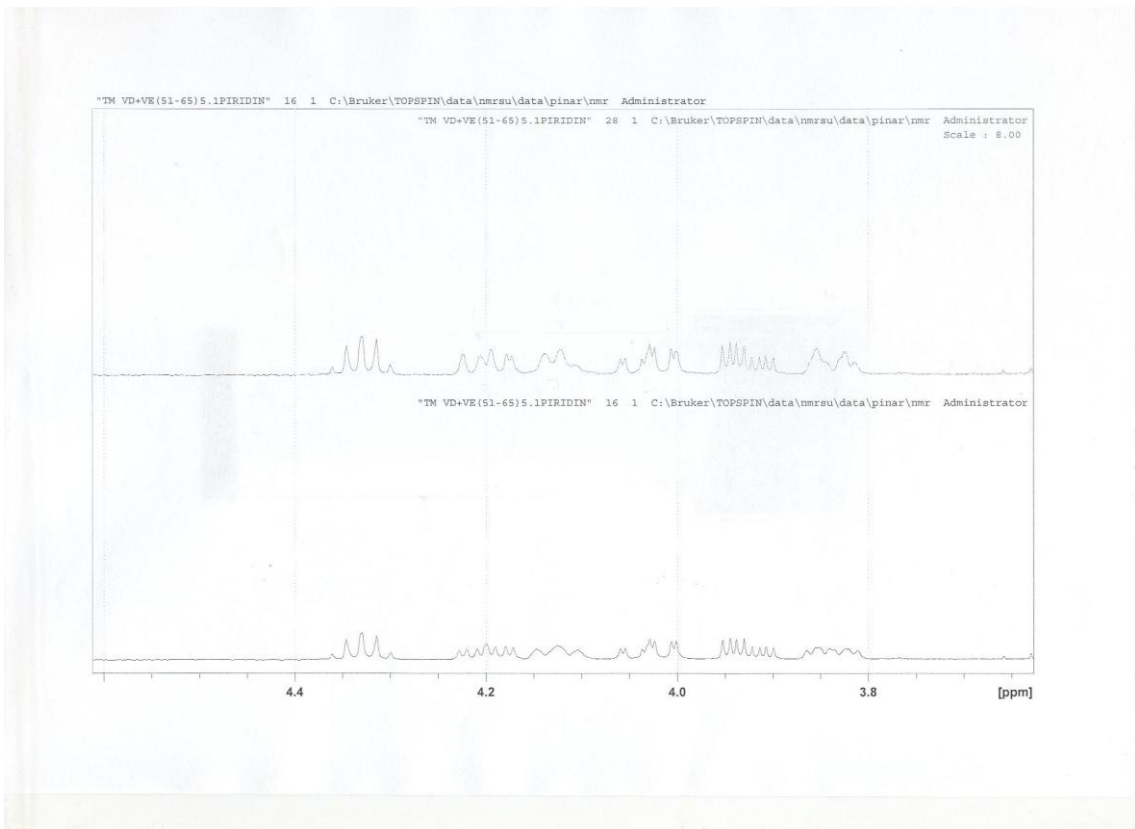
Şekil 4.164 Mucronolide H-9 protonunun spin decoupling spektrumu



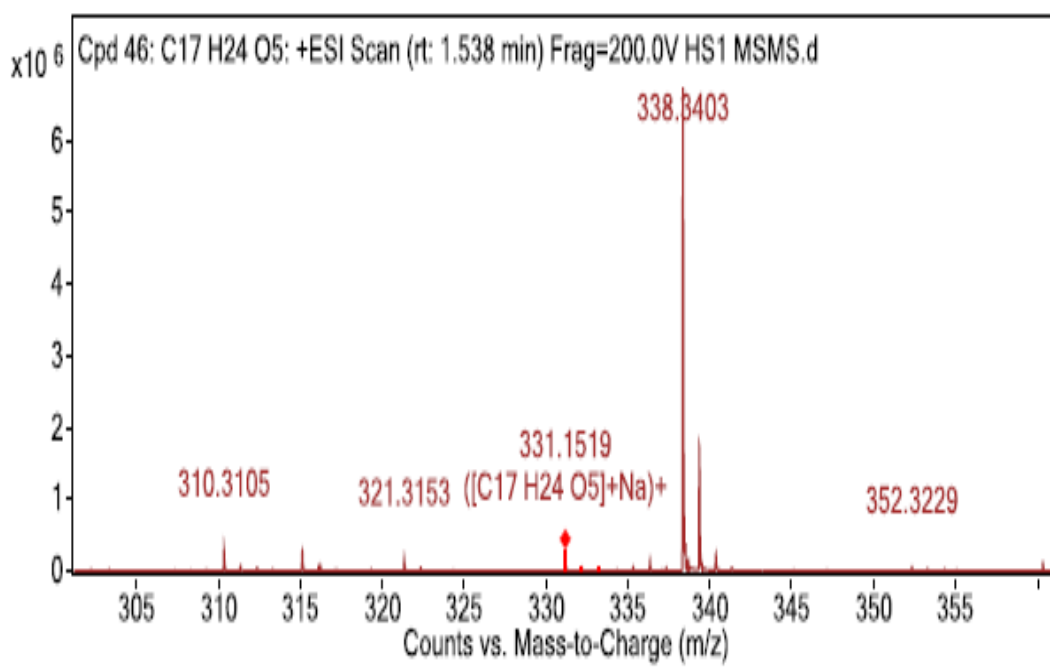
Şekil 4.164 Mucronolide H-9 protonunun spin decoupling spektrumu



Şekil 4.165 Mucronolide H-8' protonunun spin decoupling spektrumu



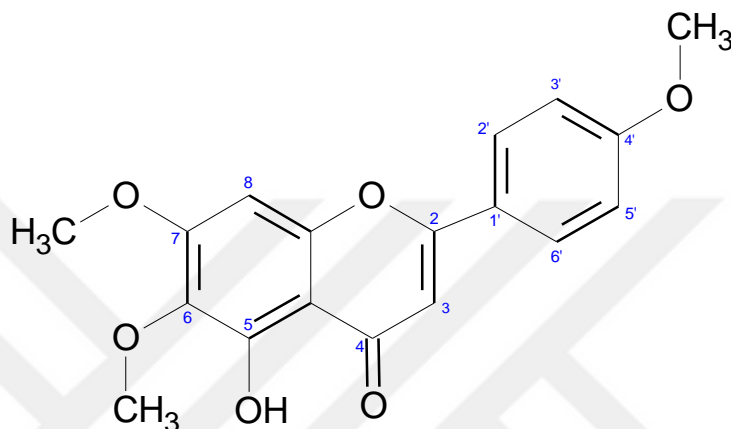
Şekil 4.165 Mucronolide H-8' protonunun spin decoupling spektrumu



Şekil 4.166 Mucronolide kütle spektrumu

#### 4.3.1.4 TM VD+VE (27-33) 4=Salvigenin

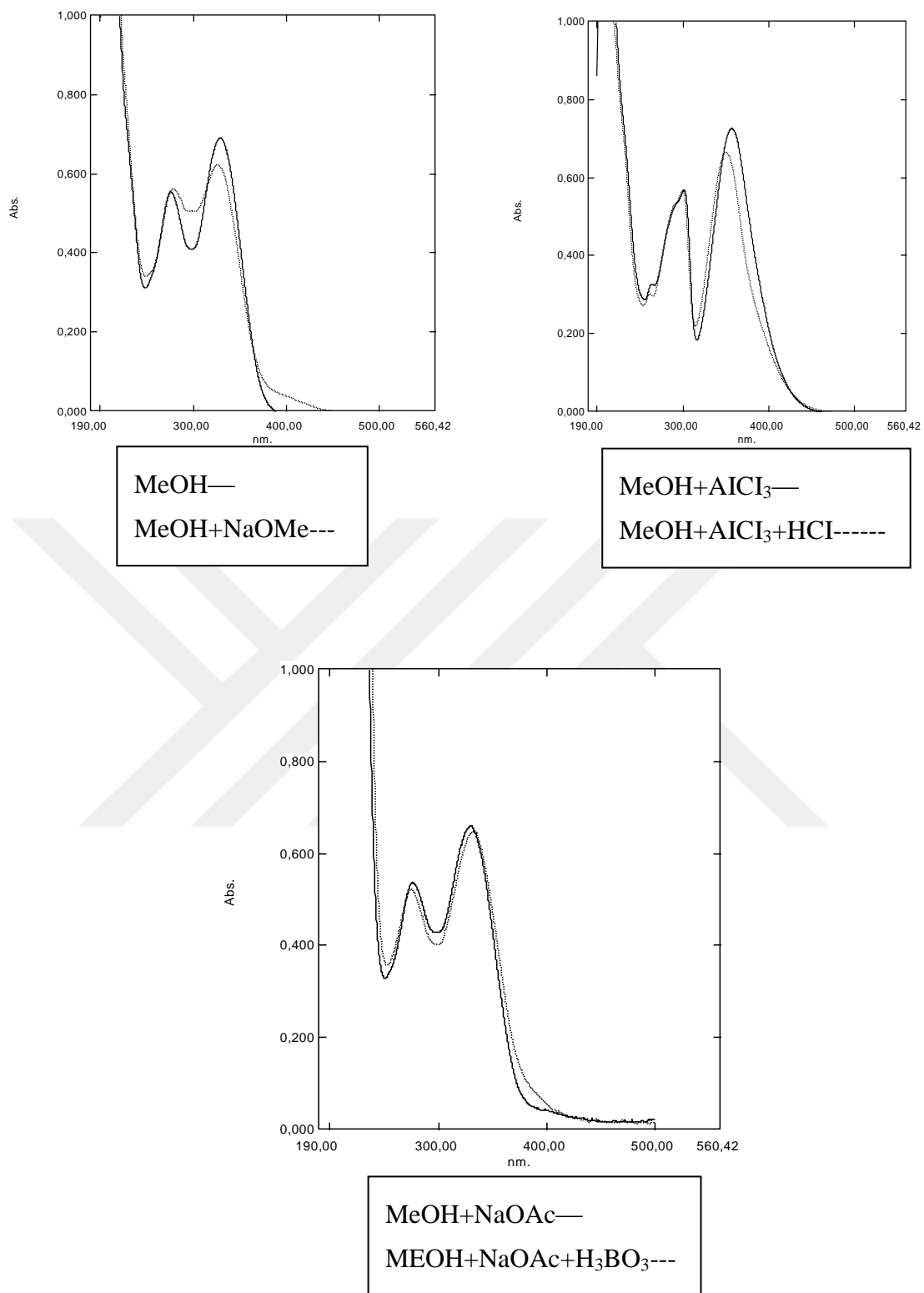
Maddenin yapısı spektral yöntemlerle ( $^1\text{H}$  NMR, APT, UV/VIS) aydınlatılmıştır. Çizelge 4.45'te Salvigenin  $^1\text{H}$ -NMR (500 MHz,  $\text{CDCl}_3$ ), APT (125 MHz,  $\text{CDCl}_3$ ) ve UV/VIS ( $\lambda$  Max) kimyasal kayma değerleri, Şekil 4.167'de Salvigenin moleküler yapısı, Şekil 4.168'de UV/VIS kayma spektrumları, Şekil 4.169'da  $^1\text{H}$  NMR spektrumu ve Şekil 4.170'te APT spektrumu verilmektedir. Elde edilen veriler literatürde verilen değerlerle uyum içindedir [96], [208].



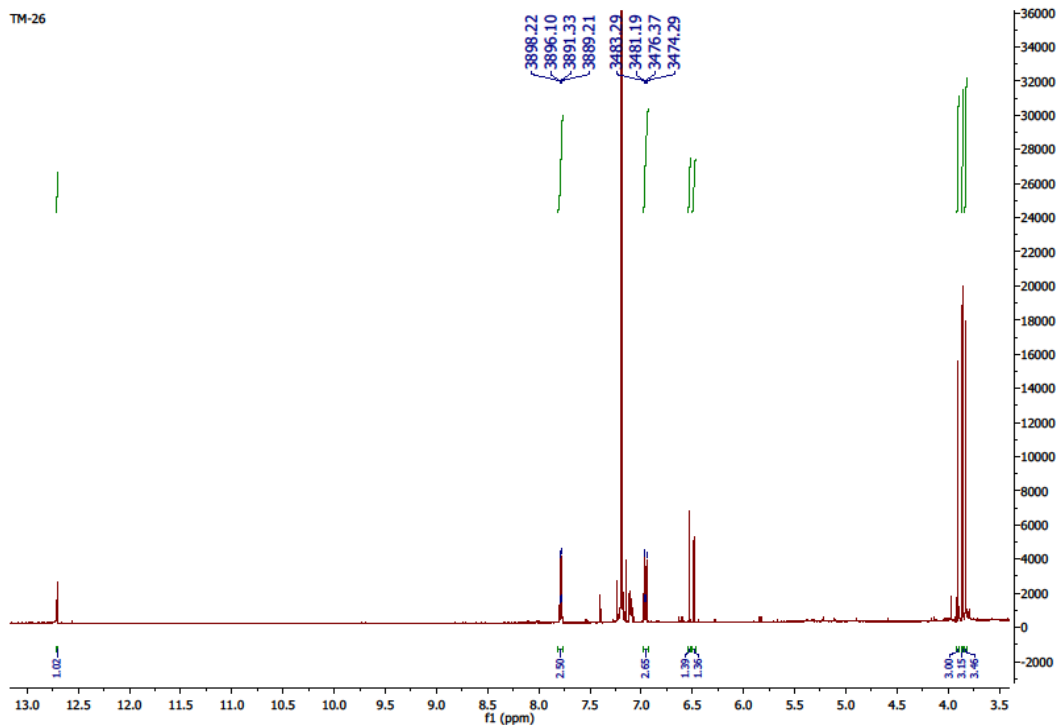
Şekil 4.167 Salvigenin moleküler yapısı

Çizelge 4.45 Salvigenin  $^1\text{H}$ -NMR (500 MHz,  $\text{CDCl}_3$ ), APT (125 MHz,  $\text{CDCl}_3$ ) ve UV/VIS ( $\lambda$  Max) kimyasal kayma değerleri

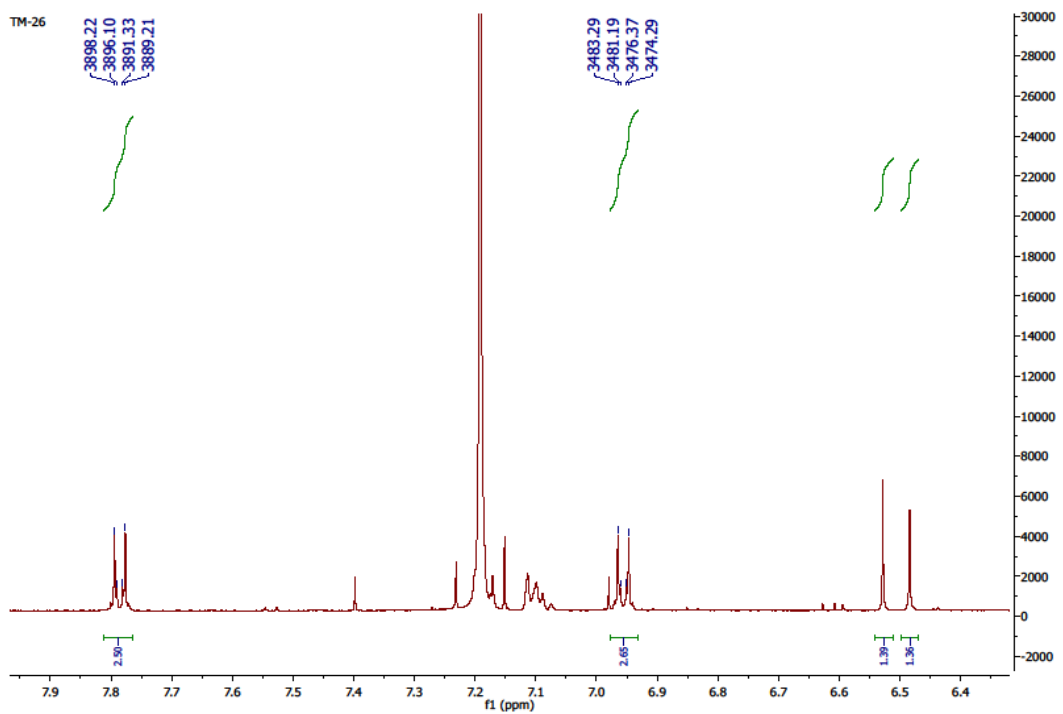
H	$^1\text{H-NMR}$	APT	Reaktif	Band I ( $\lambda$ max)	Band II ( $\lambda$ max)
3	6.53 s (1H)	104	MeOH	328 nm	275 nm
8	6.48 s (1H)	90	NaOMe	326 nm	279 nm
2' ve 6'	7.78 m,o (2H, $J=2.1;6.8$ Hz)	128	NaOAc	330 nm	276 nm
3' ve 5'	6.96 m,o (2H, $J=2.1;6.9$ Hz)	114	NaOAc+ $\text{H}_3\text{BO}_3$	332 nm	274 nm
-OMe	3.90 s (3H)	60	$\text{AlCl}_3$	356 nm	301 nm, 291 nm, 263 nm
-OMe	3.86 s (3H)	56	$\text{AlCl}_3+\text{HCl}$	351 nm	300 nm, 291 nm, 262 nm
-OMe	3.83 s (3H)	77			



Şekil 4.168 Salvigenin UV/VIS kayma spektrumları

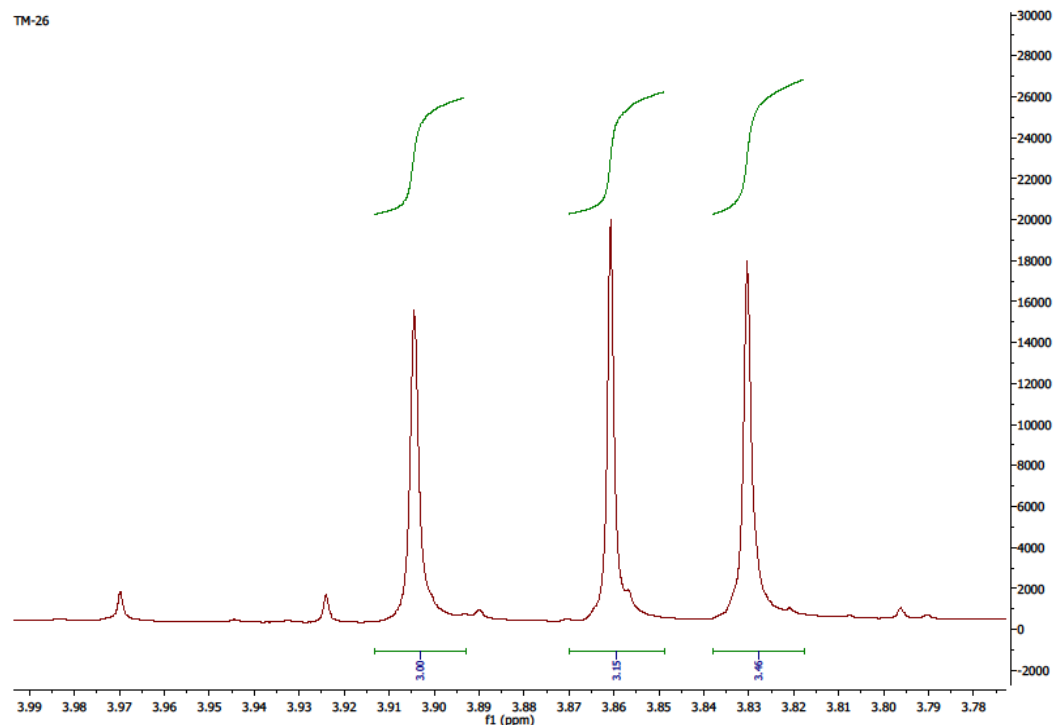


Şekil 4.169 Salvigenin  $^1\text{H}$  NMR spektrumu



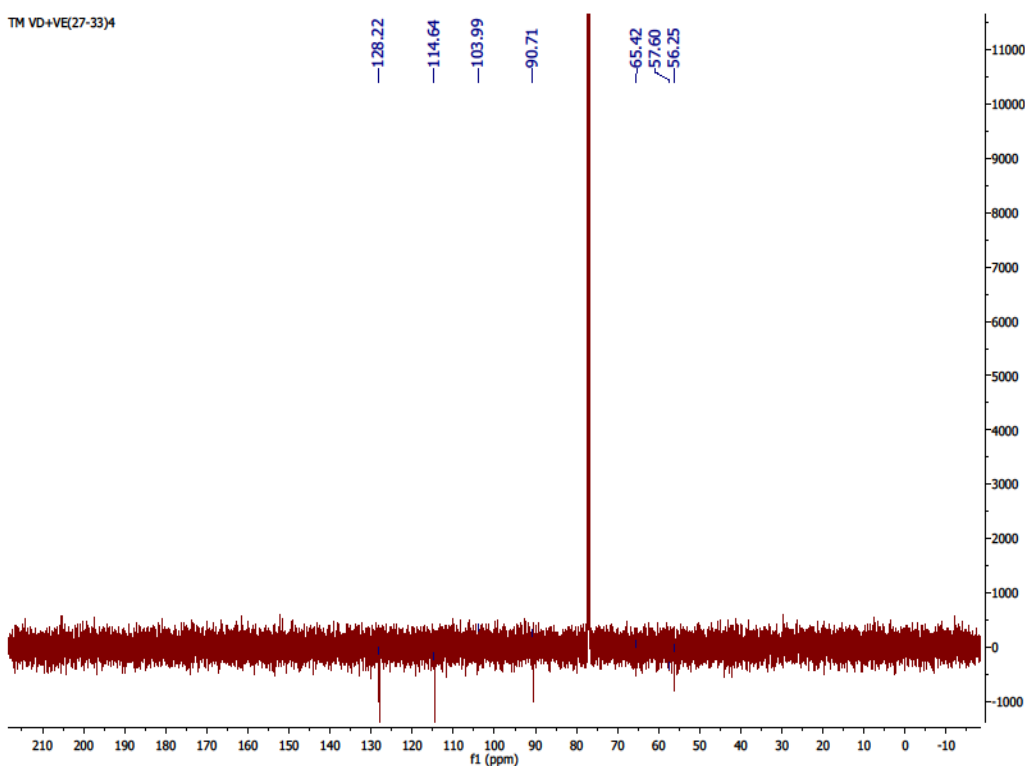
Şekil 4.169 Salvigenin  $^1\text{H}$  NMR spektrumu

TM-26



Şekil 4.169 Salvigenin <sup>1</sup>H NMR spektrumu

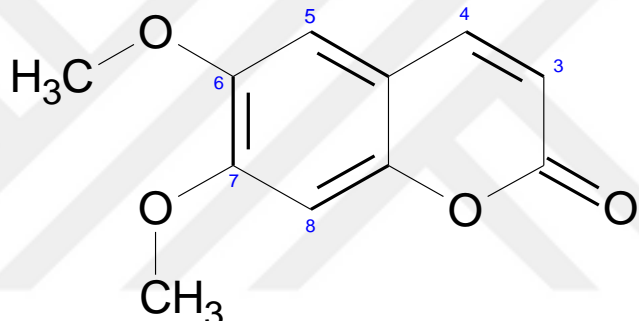
TM VD+VE(27-33)4



Şekil 4.170 Salvigenin APT spektrumu

#### 4.3.1.5 TM VD+VE (34-50) 2.3.1=Scoparone

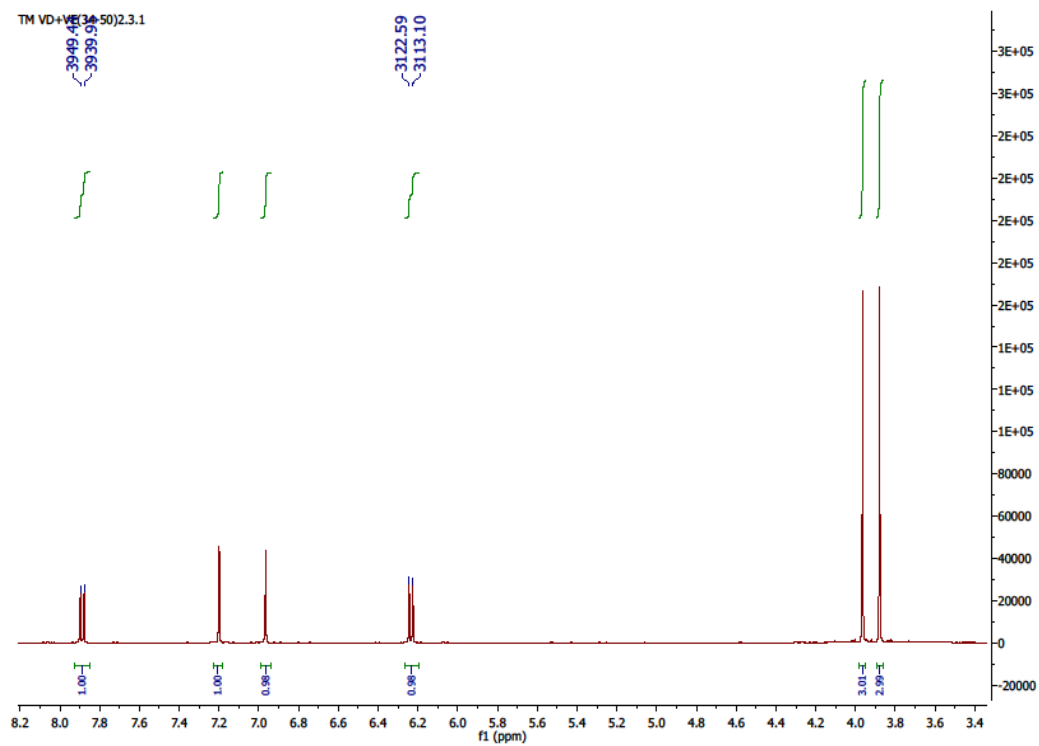
Maddenin yapısı spektral yöntemlerle ( $^1\text{H}$  NMR, APT, HSQC, HMBC) aydınlatılmıştır. Dörtoro asetonda çekilen  $^1\text{H}$ -NMR spektrumunda  $\delta$  7.80'de H-4 (1H, d,  $J=9.4$  Hz) protonu  $\delta$  6.23'de H-3 (1H, d,  $J=9.4$  Hz) protonu ile etkileşmektedir.  $\delta$  7.20'de H-5 (1H, s),  $\delta$  6.96'da H-8 (1H, s) ve  $\delta$  3.96, 3.88'de metoksi pikleri bulunmaktadır. 254 nm UV ışıkta açık mavi, 366 nm'de ise parlak mavi renk veren bu bileşik seryum sülfat renklendirme belirteci püskürtülüp, ısıtıcı üzerinde yakıldıktan sonra görülmemektedir. Çizelge 4.46'da Scoparone  $^1\text{H}$  NMR ve APT kimyasal kayma değerleri, Şekil 4.171'de Scoparone moleküler yapısı, Şekil 4.172'de  $^1\text{H}$  NMR spektrumu, Şekil 4.173'te APT spektrumu, Şekil 4.174'te HSQC spektrumu ve Şekil 4.175'te HMBC spektrumu verilmektedir. Elde edilen veriler literatürde verilen değerlerle uyum içindedir [186], [189], [195].



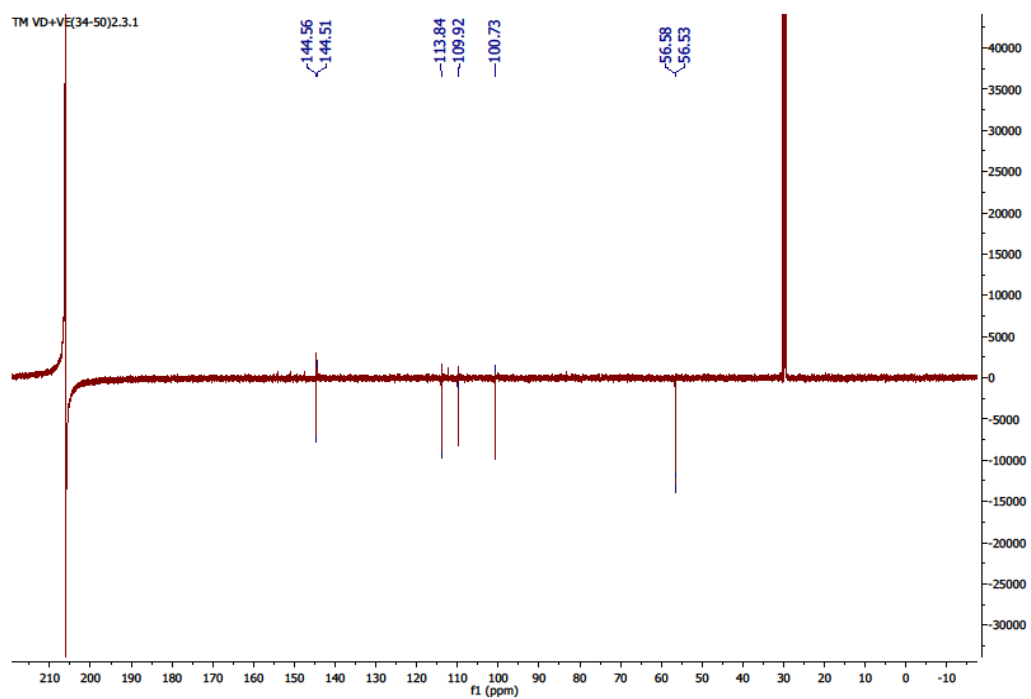
Şekil 4.171 Scoparone moleküler yapısı

Çizelge 4.46 Scoparone  $^1\text{H}$  NMR ve APT (500 MHz, 125 MHz, d-aseton) kimyasal kayma değerleri

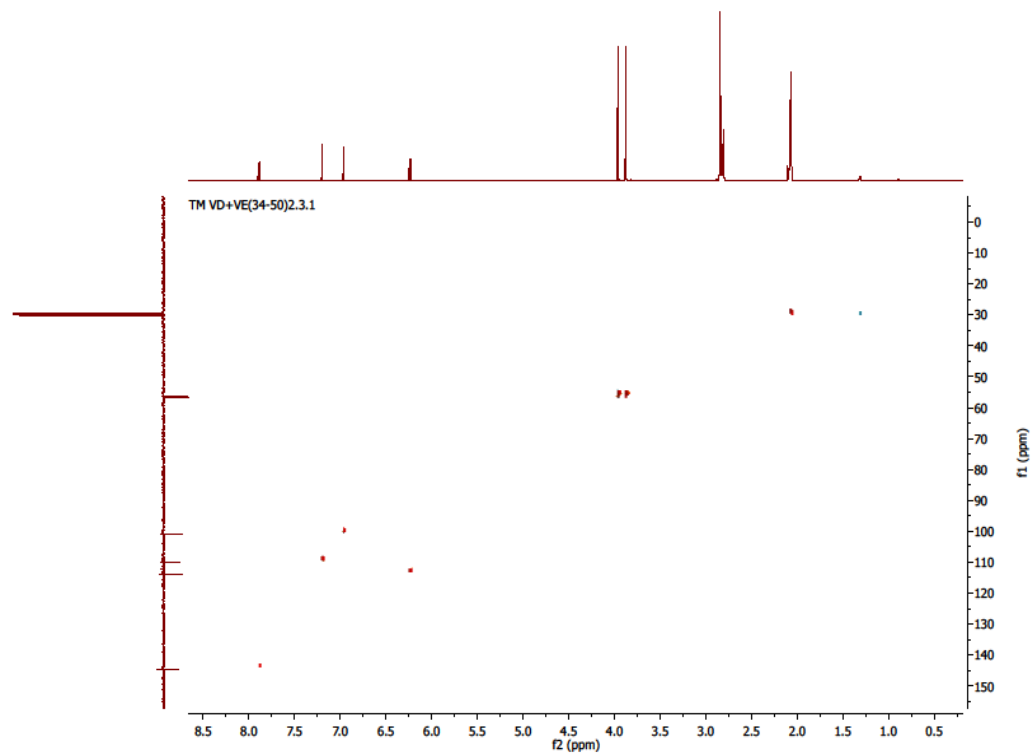
H	$^1\text{H-NMR}$	APT
3	6.23 d (1H, $J=9.4$ Hz)	113
4	7.80 d (1H, $J=9.4$ Hz)	144
5	7.20 s (1H)	109
8	6.96 s (1H)	100
-OMe	3.96	56.5
-OMe	3.88	56.5



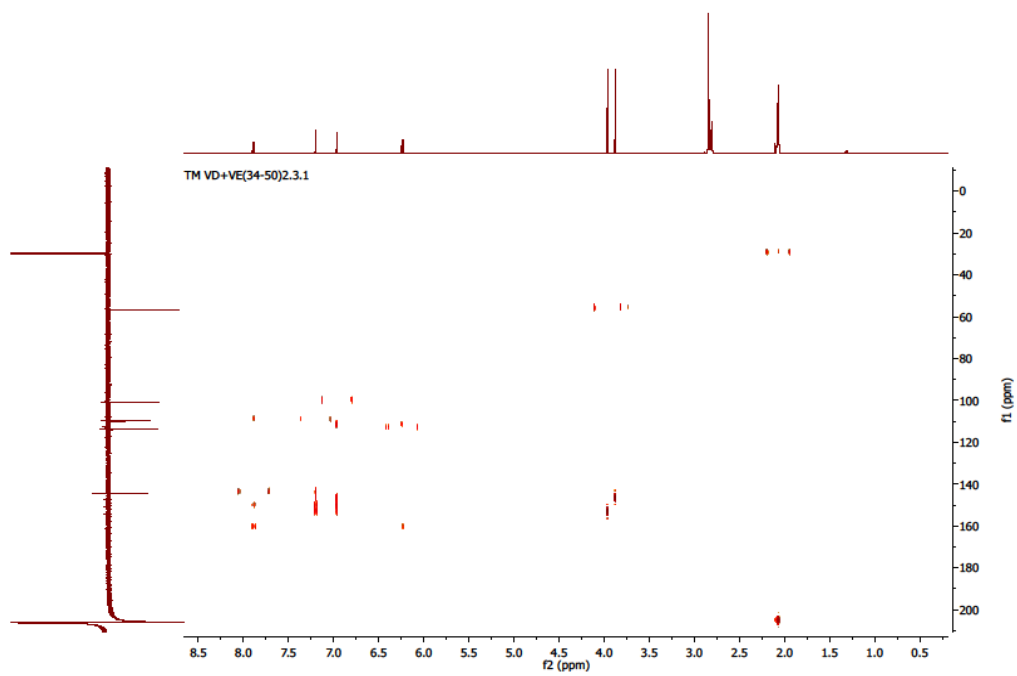
Şekil 4.172 Scoparone  $^1\text{H}$  NMR spektrumu



Şekil 4.173 Scoparone APT spektrumu



Şekil 4.174 Scoparone HSQC spektrumu



Şekil 4.175 Scoparone HMBC spektrumu

#### **4.3.2 Fr6-TM VB+VC fraksiyonundan izole edilen maddeler**

TM VB+VC'nin MPLC ile tekrar fraksiyonlandırılmasına karar verilmiştir. MPLC'de kullanılan çözücü sistemleri ve fraksiyonlar Çizelge 4.47'de verilmektedir. MPLC sonucunda 230 fraksiyon toplanmıştır. Yapılan ince tabaka kromatografisi çalışmaları sonucunda benzer fraksiyonlar birleştirilmiştir. TM VB+VC(16-145) fraksiyonu CHCl<sub>3</sub>:Eter (5:1) sisteminde üç defa preparatif ince tabaka kromatografisinde yürütülmüş ve 7 bant elde edilmiştir. 2. banttan daha önce izole edilen kumarin yapısındaki Scoparone elde edilmiştir. TM VB+VC (16-145) fraksiyonunun 3. bantından TM VB+VC (16-145) 3.2.2 kodlu Ajonolide 1 $\beta$ ,10 $\alpha$ -epoksit 8 mg miktarında elde edilmiştir.

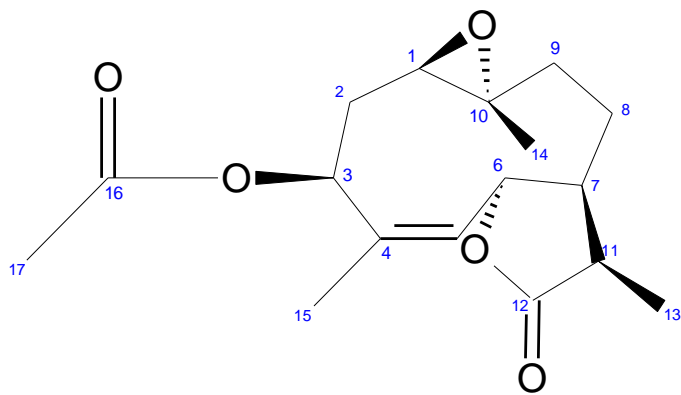
TM VB+VC (16-145) fraksiyonunun 4. bantından TM VB+VC (16-145) 4.1.1 maddesi 4 mg, TM VB+VC (16-145) 4.2.1 maddesi 4 mg ve TM VB+VC (16-145) 4.3.1 maddesi 3 mg miktarında elde edilmiştir. Elde edilen maddelerin <sup>1</sup>H NMR spektrumları incelenmesi sonucunda TM VB+VC (16-145) 4.2.1 ve TM VB+VC (16-145) 4.3.1 maddelerinin aynı olduğuna karar verilmiştir. TM VB+VC (16-145) 4.1.1 maddesinin daha önce izole edilen 5-Hidroksi-3',4',6,7-tetrametoksiflavon olduğu belirlenmiştir. TM VB+VC (16-145) fraksiyonunun 5. bantından daha önce izole edilen flavonoid yapısındaki Cirsilineol elde edilmiştir. TM VB+VC (16-145) fraksiyonunun 6. bantından TM VB+VC (16-145) 6.1 Çöken kodlu Cirsimarinin 8 mg ve TM VB+VC (16-145) 6.2 Çöken kodlu Jaceosidin 9 mg miktarında elde edilmiştir.

Çizelge 4.47 TM VB+VC fraksiyonunun MPLC çalışması

<b>Kullanılan çözücü sistemi</b>	<b>Fraksiyonlar</b>
CHCl <sub>3</sub>	TM VB+VC.1-40
CHCl <sub>3</sub> :Eter (90:10)	TM VB+VC.41-55
CHCl <sub>3</sub> :Eter (80:20)	TM VB+VC.56-75
CHCl <sub>3</sub> :Eter (70:30)	TM VB+VC.76-95
CHCl <sub>3</sub> :Eter (60:40)	TM VB+VC.96-105
CHCl <sub>3</sub> :Eter (50:50)	TM VB+VC.106-125
CHCl <sub>3</sub> :Eter (40:60)	TM VB+VC.126-145
CHCl <sub>3</sub> :Eter (30:70)	TM VB+VC.146-175
CHCl <sub>3</sub> :Eter (20:80)	TM VB+VC.176-195
CHCl <sub>3</sub> :Eter (10:90)	TM VB+VC.196-205
Eter	TM VB+VC.206-216
Eter:EA (80:20)	TM VB+VC.207-210
Eter:EA (60:40)	TM VB+VC.211-215
Eter:EA (40:60)	TM VB+VC.216-220
Eter:EA (20:80)	TM VB+VC.221
EA	TM VB+VC.222
EA:MeOH (60:40)	TM VB+VC.223
EA:MeOH (40:60)	TM VB+VC.224-225
MeOH	TM VB+VC.226-230

#### **4.3.2.1 TM VB+VC (16-145) 3.2.2=3 $\beta$ -Asetoksi-1 $\beta$ ,10 $\alpha$ -epoksi-6 $\beta$ (H)-7,11 $\alpha$ (H)-germakra-4Z-en-6,12-olide (Ajanolide 1 $\beta$ ,10 $\alpha$ -epoxide)**

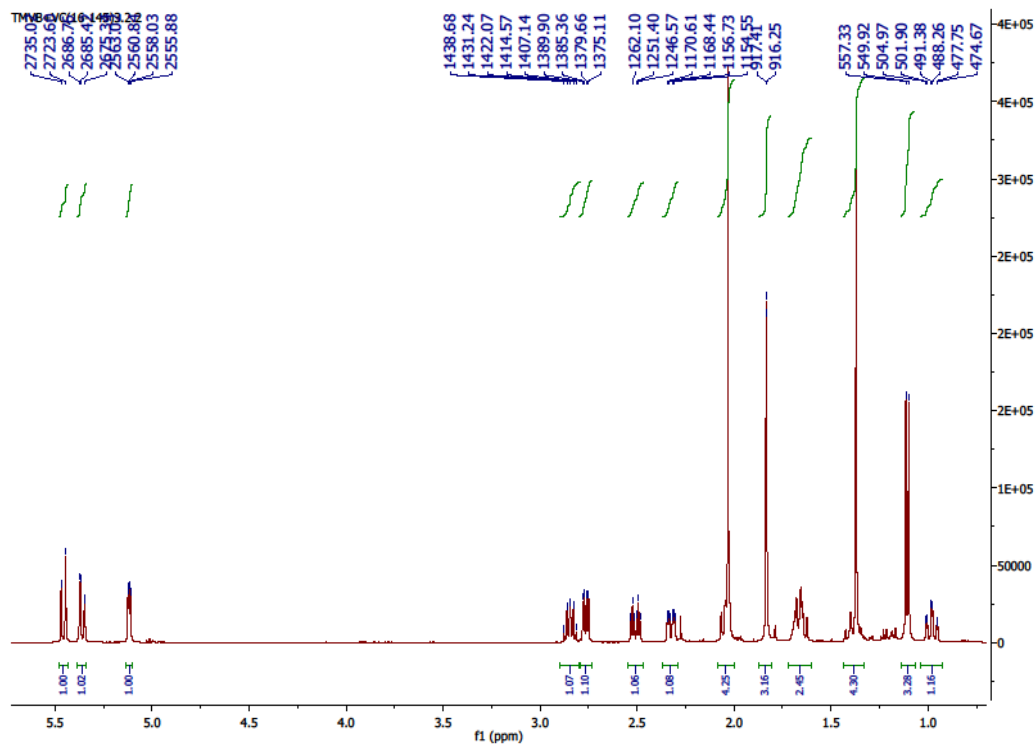
Maddenin yapısı spektral yöntemlerle ( $^1$ H NMR, APT, COSY, HSQC, HMBC, NOESY, MS) aydınlatılmıştır. Çizelge 4.48'de Ajanolide 1 $\beta$ ,10 $\alpha$ -epoksit  $^1$ H-NMR ve APT kimyasal kayma değerleri, Şekil 4.176'da Ajanolide 1 $\beta$ ,10 $\alpha$ -epoksit moleküller yapısı, Şekil 4.177'de  $^1$ H NMR spektrumu, Şekil 4.178'de COSY spektrumu, Şekil 4.179'da APT spektrumu, Şekil 4.180'de HSQC spektrumu, Şekil 4.181'de HMBC spektrumu, Şekil 4.182'de NOESY spektrumu ve Şekil 183'te MS spektrumu verilmektedir. Dörtoro kloroformda çekilen  $^1$ H-NMR spektrumunda  $\delta$  2.84 (1H, dq,  $J$ =7.0;9.0 Hz) olarak görülen pik H-11'e aittir ve bu proton COSY deneylerinde  $\delta$  2.04'te H-7 (1H) ve  $\delta$  1.11'de H-13 (3H, d,  $J$ =7.0 Hz) protonları ile etkileşim gösterdiği belirlenmiştir. H-7 piki  $\delta$  2.04'de yer alan asetoksi grubuna ait metil pikinin altında kaldığından tam net görülememektedir. H-7 protonu  $\delta$  5.46'da H-6 (1H, brd,  $J$ =11.4 Hz),  $\delta$  1.66'da H-8 (1H, m) ve  $\delta$  1.40'ta H-8' (1H, m) protonları ile etkileşim göstermektedir. H-6 protonu  $\delta$  5.36'da H-5 (1H, dq,  $J$ =1.4;11.4 Hz) protonu ile etkileşmektektir. H-5 protonu  $\delta$  1.83'te H-15 (3H, d,  $J$ =1.4 Hz) protonu ile homoallilik etkileşim göstermektedir. H-8 ve H-8' protonları  $\delta$  2.33'te H-9 (1H, ddd,  $J$ =2.4;4.5;11.8 Hz) ve  $\delta$  0.98'de H-9' (1H, ddd,  $J$ =3.0;13.6;12.5 Hz) protonları ile etkileşmektektir.  $\delta$  5.12'de H-3 (1H, dd,  $J$ =2.2;5.0 Hz) protonu  $\delta$  2.50'de H-2 (1H, ddd,  $J$ = 4.8;4.8;10.5; Hz) ve  $\delta$  1.66'da H-2' (1H, m) protonları ile etkileşim göstermektedir. H-2 ve H-2' protonları  $\delta$  2.76'da H-1 (1H, dd,  $J$ =4.5;10 Hz, H-1) protonu ile etkileşmektektir.  $\delta$  1.37'de H-14 (3H, s) piki görülmektedir. Ajanolide 1 $\beta$ ,10 $\alpha$ -epoksit H-6/H-5 protonları arasında etkileşim sabiti  $J$ =11.4 Hz ve H-6/H-7 protonları arasındaki etkileşim sabiti broad şeklinde görülmektedir. H-7 ve H-6 protonları arasındaki etkileşim sabitlerinin küçük olması bileşiğin yapısının heliangolide yapıda seskiterpen laktone olduğunu göstermektedir. Ajanolide 1 $\beta$ ,10 $\alpha$ -epoksit spesifik çevirme açısı  $[\alpha]^{22} = -14.15$ , erime noktası=127.3°C olarak bulunmuştur. Bu maddenin kütle spektrumunda moleküller iyon piki  $m/z$  331 [M+Na] $^+$  net bir şekilde görülmektedir. Yapının C<sub>17</sub>H<sub>24</sub>O<sub>5</sub> formülüne sahip olduğu ve tayin edilen yapıyla uyum içinde olduğu görülmektedir. Ayrıca yapıdan  $m/z$  272 [331- CH<sub>3</sub>COOH-H],  $m/z$  185 [272-(OCOCCH<sub>3</sub>+H)-CH<sub>3</sub>] ve  $m/z$  159 [185- CO+2] çıkışları görülmektedir.



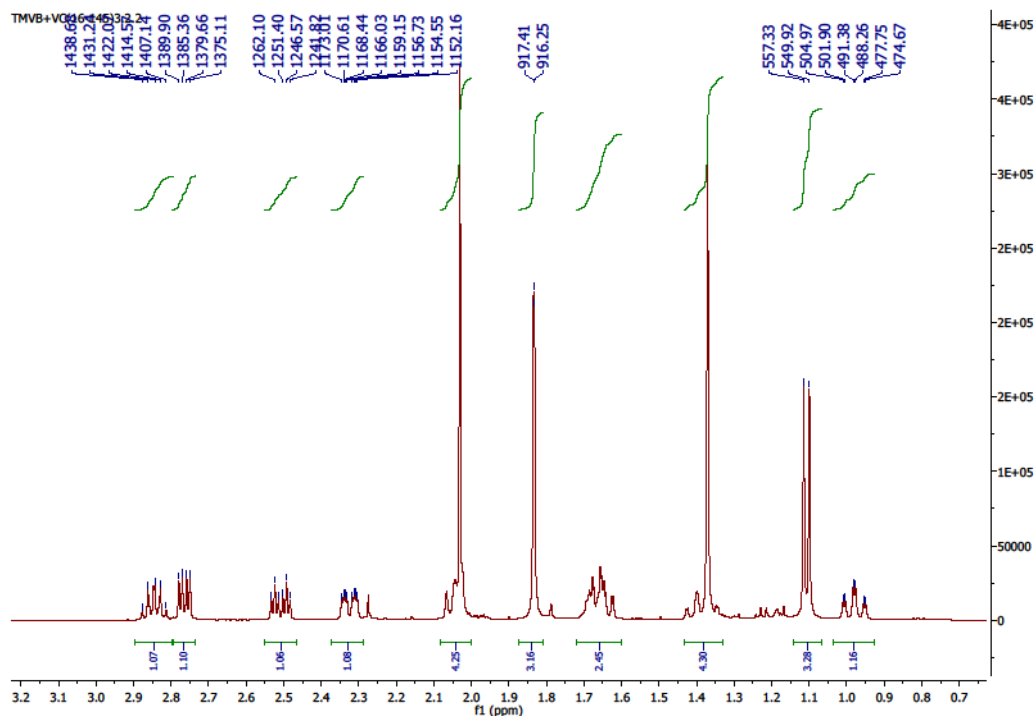
Şekil 4.176 Ajanolide 1 $\beta$ ,10 $\alpha$ -epoksit moleküler yapısı

Çizelge 4.48 Ajanolide 1 $\beta$ ,10 $\alpha$ -epoksit  $^1\text{H-NMR}$  ve APT (500 MHz, 125 MHz,  $\text{CDCl}_3$ ) kimyasal kayma değerleri

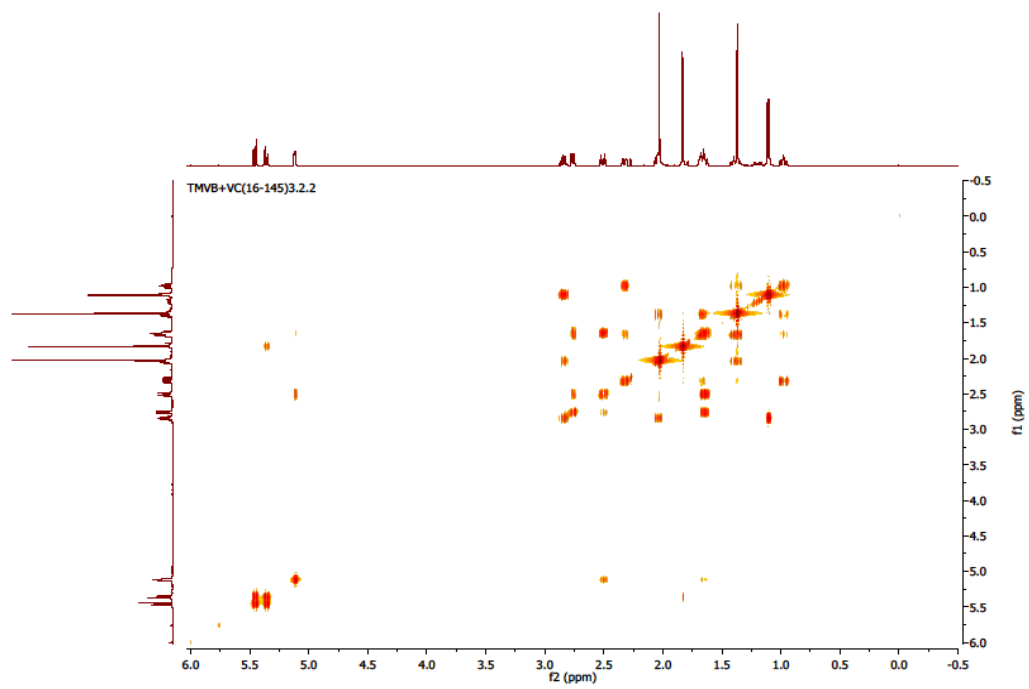
H	$^1\text{H-NMR}$	C	APT
1	2.76 dd (1H, $J=4.5;10$ Hz)	1	60.21
2	2.50 ddd (1H, $J=4.8;4.8;10.5$ Hz)	2	30.97
2'	1.66 m (1H)	3	72.91
3	5.12 dd (1H, $J=2.2;5.0$ Hz)	4	138.97
5	5.36 dq (1H, $J=1.4;11.4$ Hz)	5	124.84
6	5.46 brd (1H, $J=11.4$ Hz)	6	80.01
7	2.04 (1H)	7	45.04
8	1.66 m (1H)	8	81.62
8'	1.40 m (1H)	9	24.45
9	2.33 ddd (1H, $J=2.4;4.5;11.8$ Hz)	10	59.90
9'	0.98 ddd (1H, $J=3.0;13.6;12.5$ Hz)	11	36.14
11	2.84 dq (1H, $J=7.0;9.0$ Hz)	12	169.47
13	1.11 d (3H, $J=7.0$ Hz)	13	10.38
14	1.34 s (3H)	14	16.35
15	1.84 d (3H, $J=1.4$ Hz)	15	23.13
-OAc	2.04 s (3H)	-OCO-	178.86
		-OAc	21.05



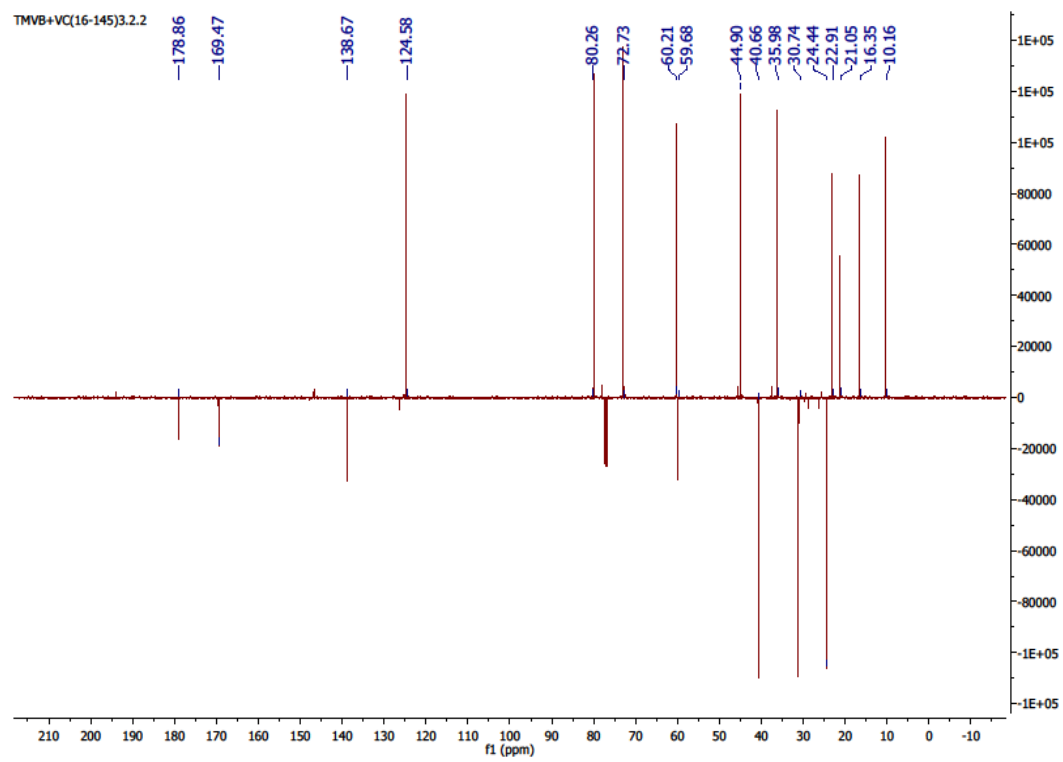
Şekil 4.177 Ajanolide 1 $\beta$ ,10 $\alpha$ -epoksit  $^1\text{H}$  NMR spektrumu



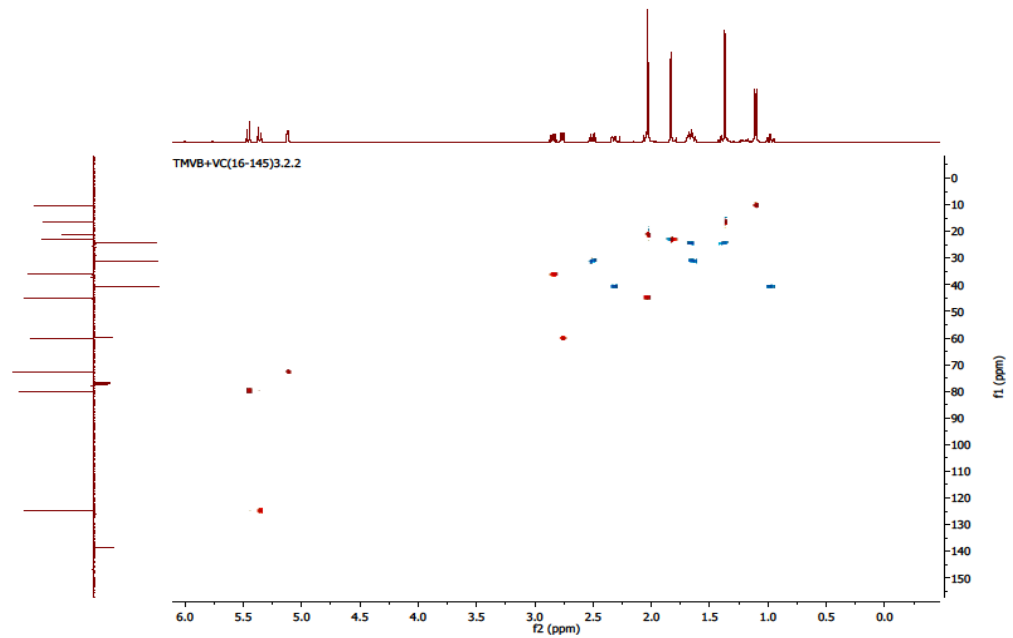
Şekil 4.177 Ajanolide  $1\beta,10\alpha$ -epoksit  $^1\text{H}$  NMR spektrumu



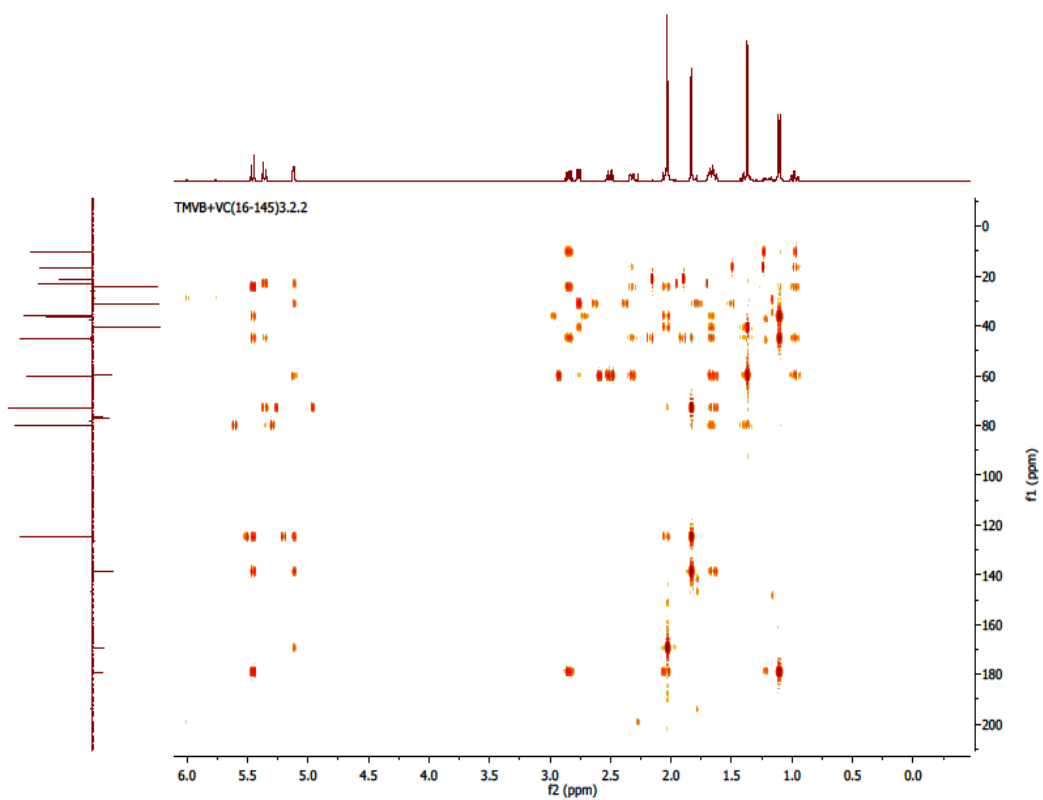
Şekil 4.178 Ajanolide 1 $\beta$ ,10 $\alpha$ -epoksit COSY spektrumu



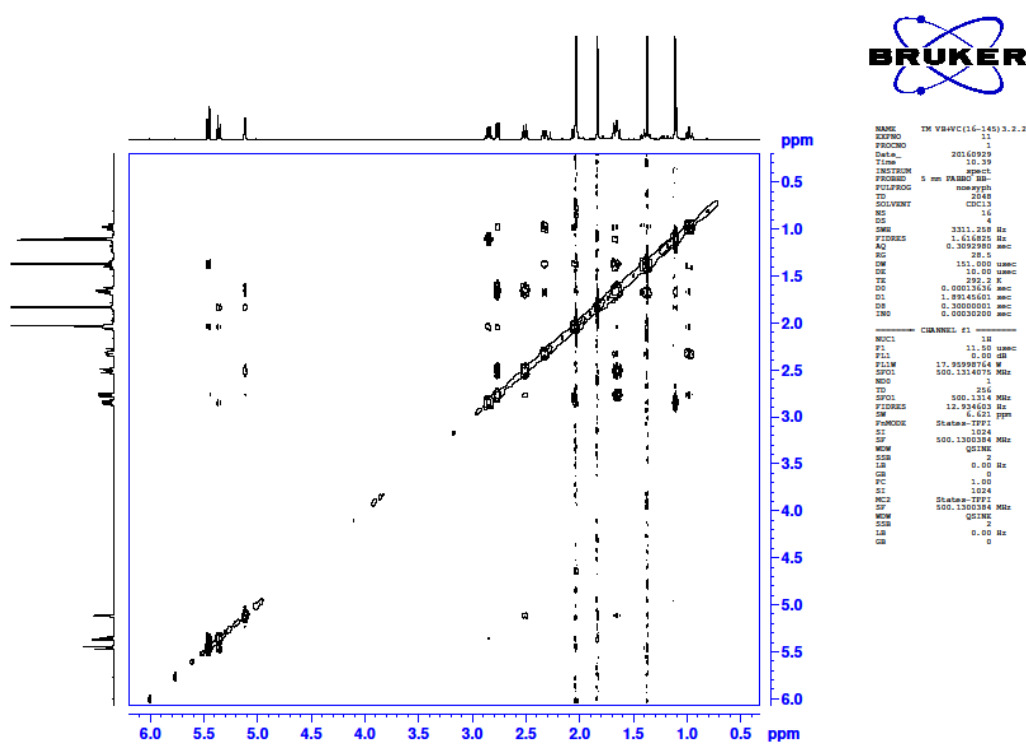
Şekil 4.179 Ajanolide 1 $\beta$ ,10 $\alpha$ -epoksit APT spektrumu



Şekil 4.180 Ajanolide 1 $\beta$ ,10 $\alpha$ -epoksit HSQC spektrumu

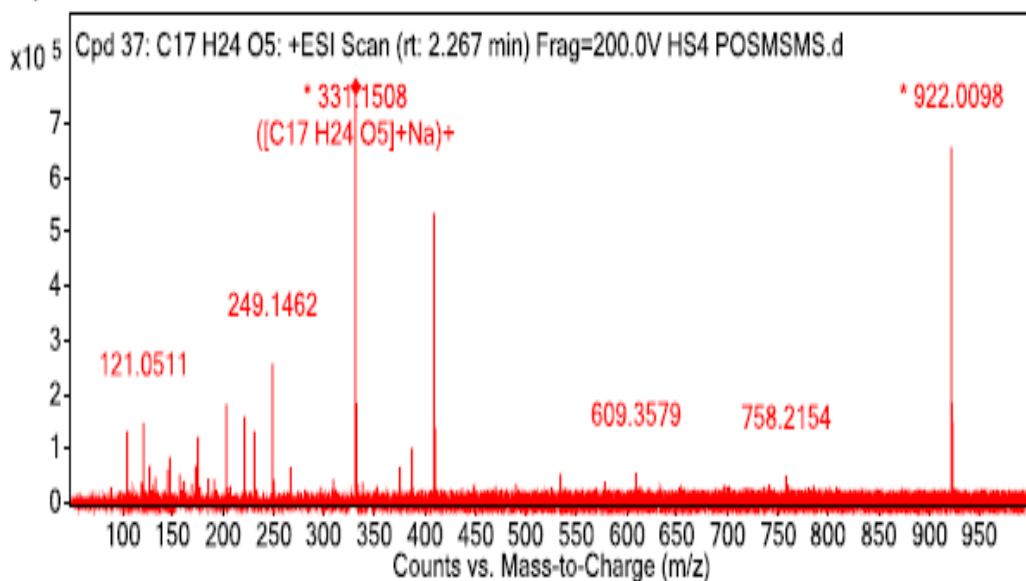


Şekil 4.181 Ajanolide 1 $\beta$ ,10 $\alpha$ -epoksit HMBC spektrumu



Şekil 4.182 Ajanolide 1 $\beta$ ,10 $\alpha$ -epoksit NOESY spektrumu

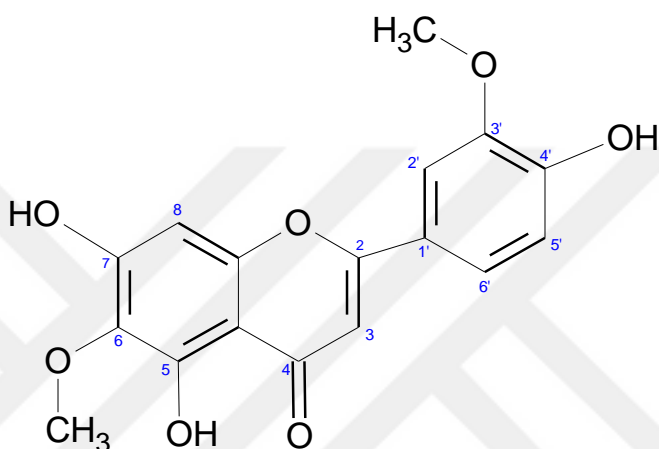
#### MS Spectrum



Şekil 4.183 Ajanolide 1 $\beta$ ,10 $\alpha$ -epoksit kütle spektrumu

#### 4.3.2.3 TM VB+VC (16-145) 6.2 Çöken=5,7,4'-Trihidroksi-6,3'-dimetoksiflavon (Jaceosidin)

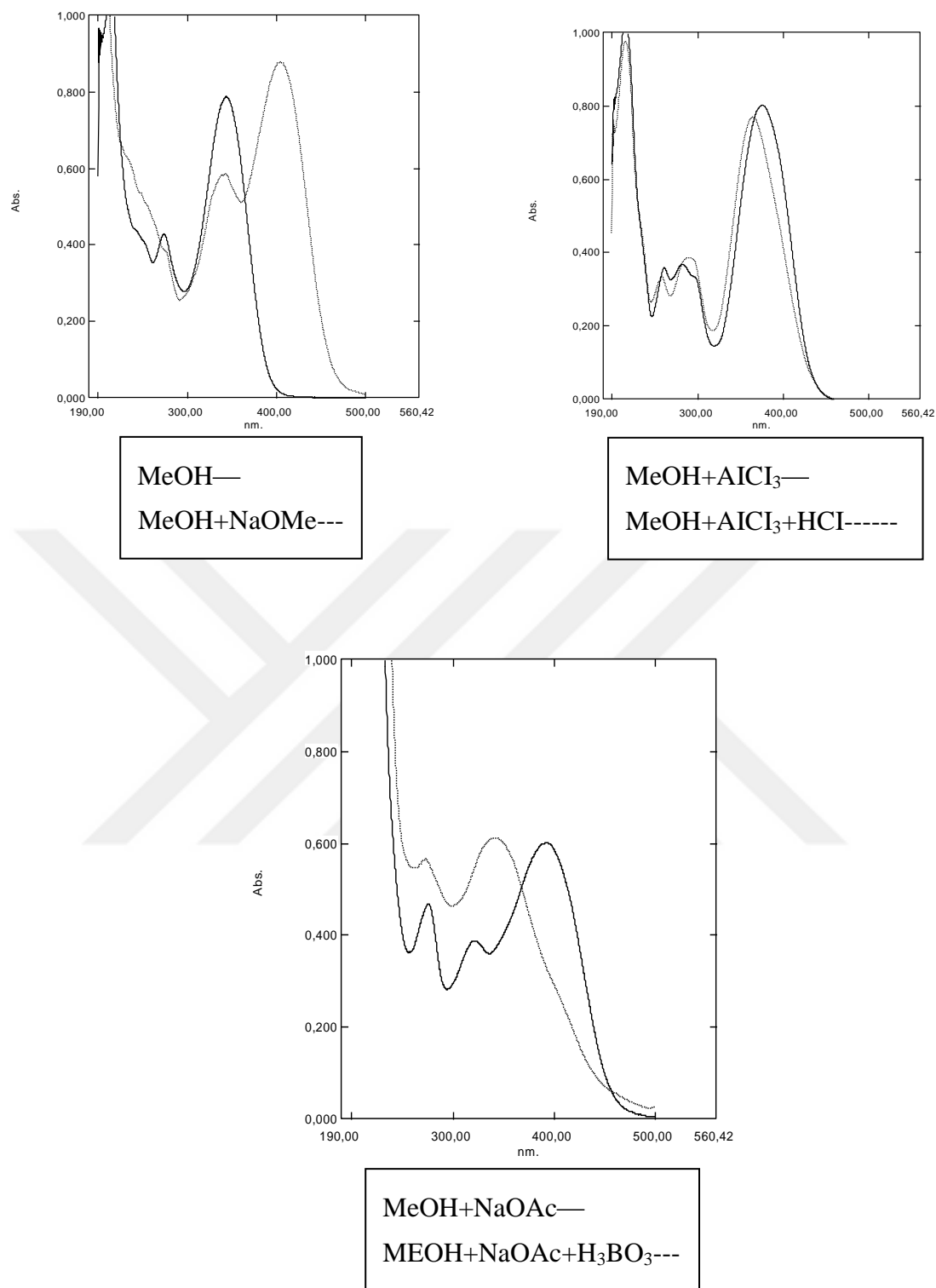
Maddenin yapısı spektral yöntemlerle ( $^1\text{H}$  NMR, UV/VIS) aydınlatılmıştır. Çizelge 4.49'da Jaceosidin  $^1\text{H}$ -NMR (500 MHz, d-aseton), APT (125 MHz, d-aseton) ve UV/VIS ( $\lambda$  Max) kimyasal kayma değerleri, Şekil 4.184'te Jaceosidin moleküler yapısı, Şekil 4.185'te UV/VIS kayma spektrumları ve Şekil 4.186'da  $^1\text{H}$  NMR spektrumu verilmektedir. Elde edilen veriler literatürde verilen değerlerle uyum içindedir [72], [97], [227], [228].



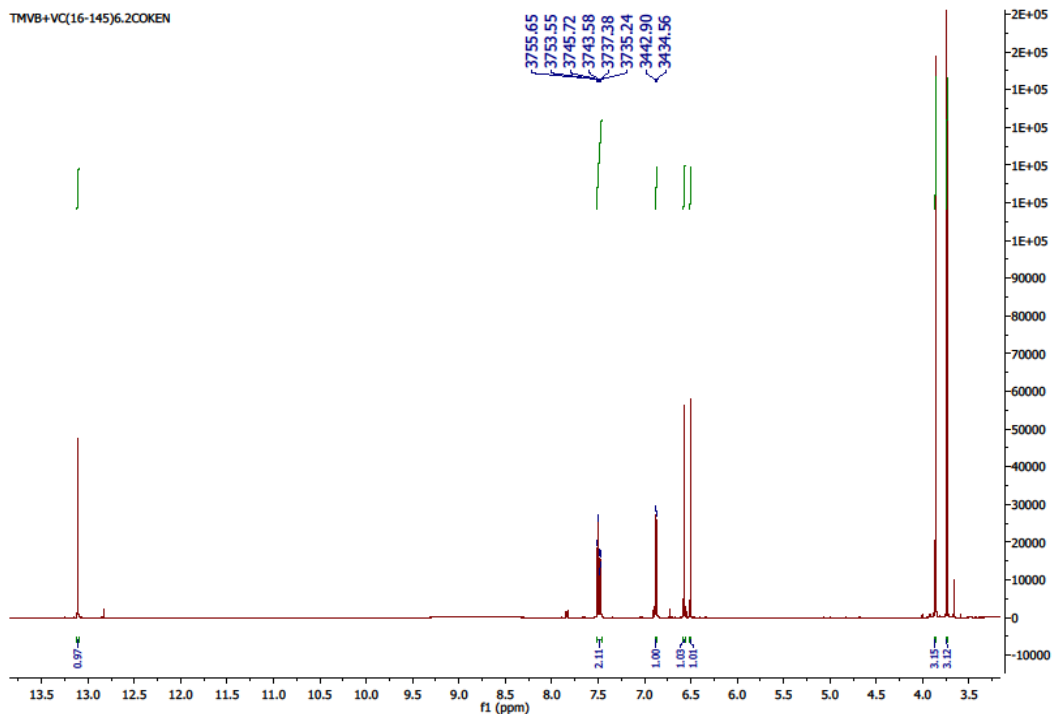
Şekil 4.184 Jaceosidin moleküler yapısı

Çizelge 4.49 Jaceosidin  $^1\text{H}$ -NMR (500 MHz, d-aseton) ve UV/VIS ( $\lambda$  Max) kimyasal kayma değerleri

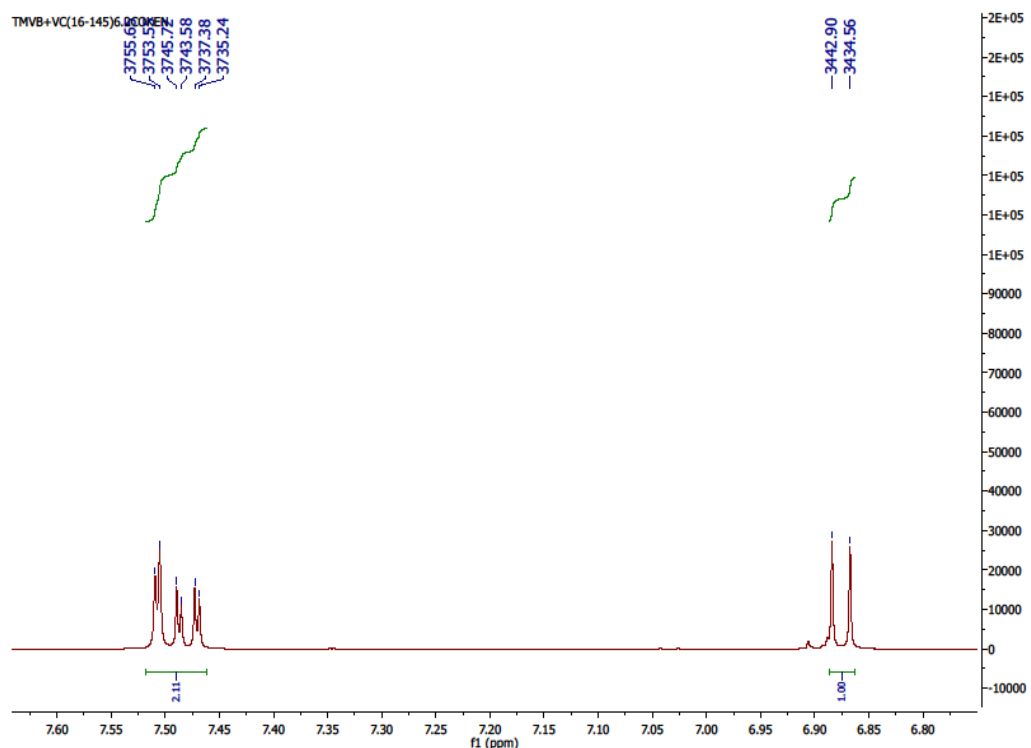
H	$^1\text{H}$ NMR	Reaktif	Band I ( $\lambda$ max)	Band II ( $\lambda$ max)
3	6.58 s (1H)	MeOH	343 nm	273 nm ve 251 nm
8	6.51 s (1H)	NaOMe	405 nm	343 nm ve 279 nm
2'	7.51 m (1H, $J=2.1$ Hz)	NaOAc	393 nm	322 nm ve 275 nm
5'	6.87 o (1H, $J=8.3$ Hz)	NaOAc+ $\text{H}_3\text{BO}_3$	342 nm	273 nm
6'	7.48 o,m (1H, $J=8.3;2.1$ Hz)	$\text{AlCl}_3$	375 nm	297 nm, 281 nm ve 260 nm
-OMe	3.86 s	$\text{AlCl}_3+\text{HCl}$	364 nm	290 nm ve 259 nm
-OMe	3.74 s			



Şekil 4.185 Jaceosidin UV/VIS kayma spektrumları



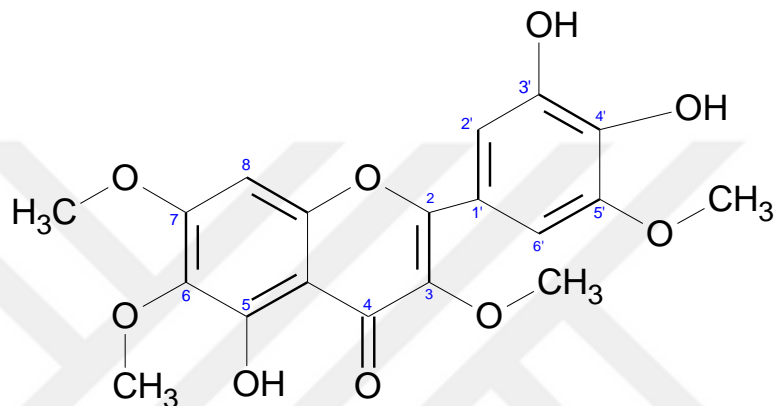
Şekil 4.186 Jaceosidin  $^1\text{H}$  NMR spektrumu



Şekil 4.186 Jaceosidin  $^1\text{H}$  NMR spektrumu

#### 4.3.2.4 TM VB+VC (16-145) 4.2.1= 5,3',4'-Trihidroksi-3,6,7,5'-tetrametoksiflavon

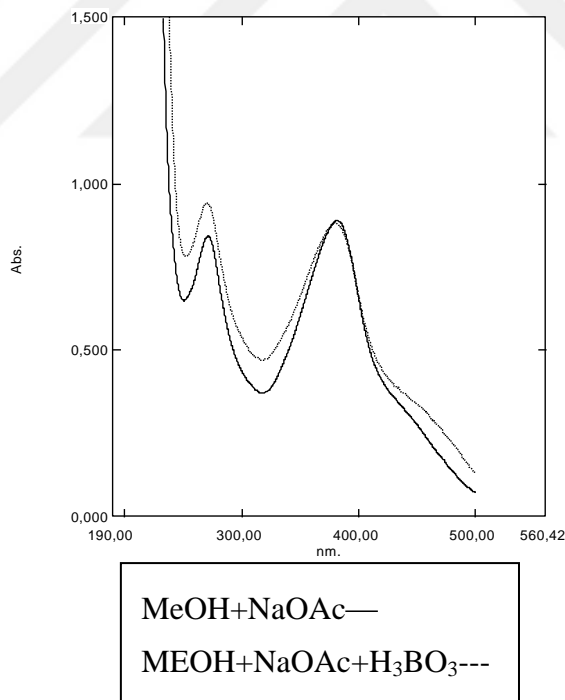
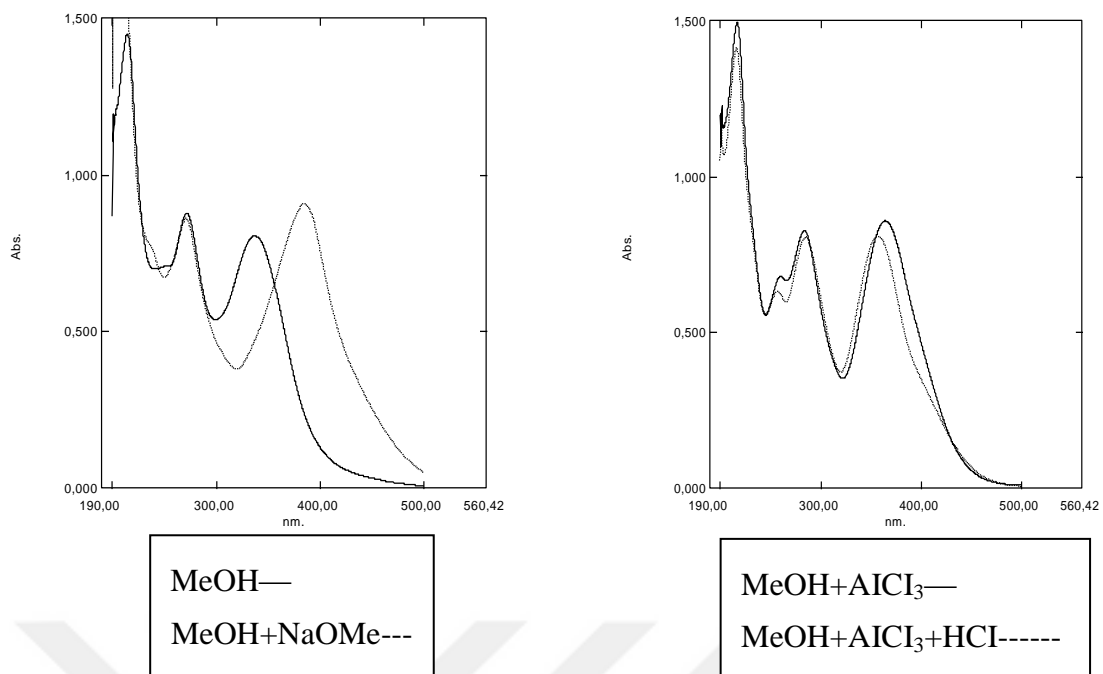
Maddenin yapısı spektral yöntemlerle ( $^1\text{H}$  NMR, APT, HSQC, UV/VIS) aydınlatılmıştır. Çizelge 4.50'de 5,3',4'-Trihidroksi-3,6,7,5'-tetrametoksiflavon  $^1\text{H}$ -NMR (500 MHz,  $\text{CDCl}_3$ ), APT (125 MHz,  $\text{CDCl}_3$ ) ve UV/VIS ( $\lambda$  Max) kimyasal kayma değerleri, Şekil 4.187'de 5,3',4'-Trihidroksi-3,6,7,5'-tetrametoksiflavon moleküler yapısı, Şekil 4.188'de UV/VIS kayma spektrumları, Şekil 4.189'da  $^1\text{H}$  NMR spektrumu, Şekil 4.190'da APT spektrumu ve Şekil 4.191'de HSQC spektrumu verilmektedir. Elde edilen veriler literatürde verilen değerlerle uyum içindedir [229].



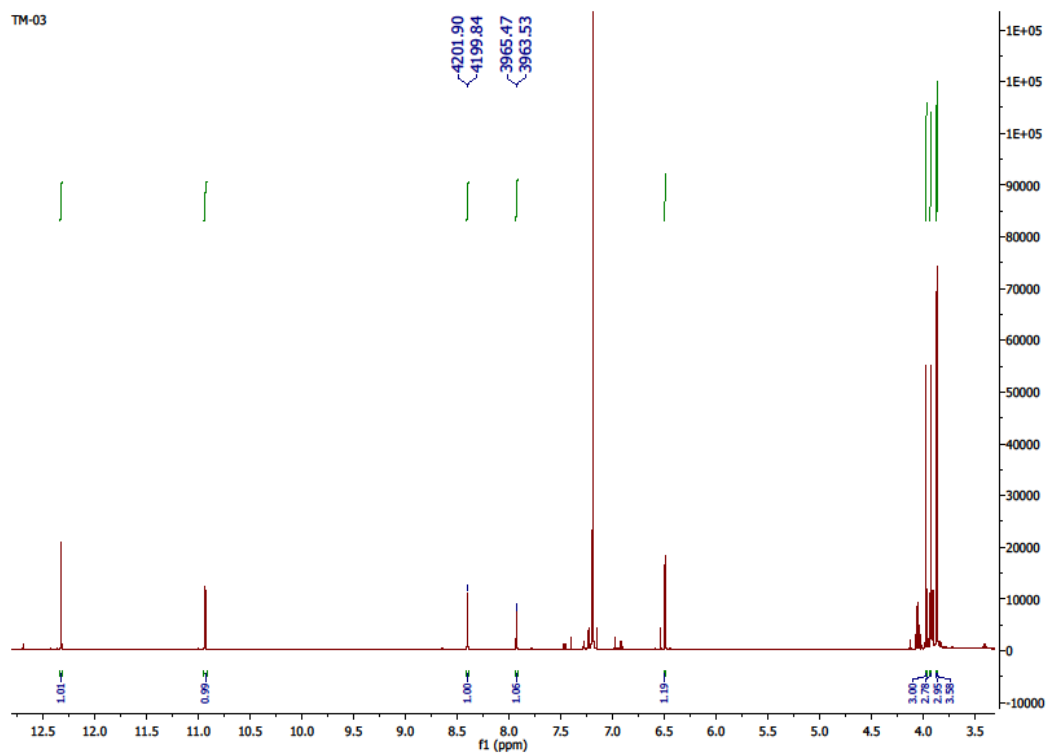
Şekil 4.187 5,3',4'-Trihidroksi-3,6,7,5'-tetrametoksiflavon moleküler yapısı

Çizelge 4.50 5,3',4'-Trihidroksi-3,6,7,5'-tetrametoksiflavon  $^1\text{H}$ -NMR, APT (500 MHz, 125 MHz,  $\text{CDCl}_3$ ) ve UV/VIS ( $\lambda$  Max) kimyasal kayma değerleri

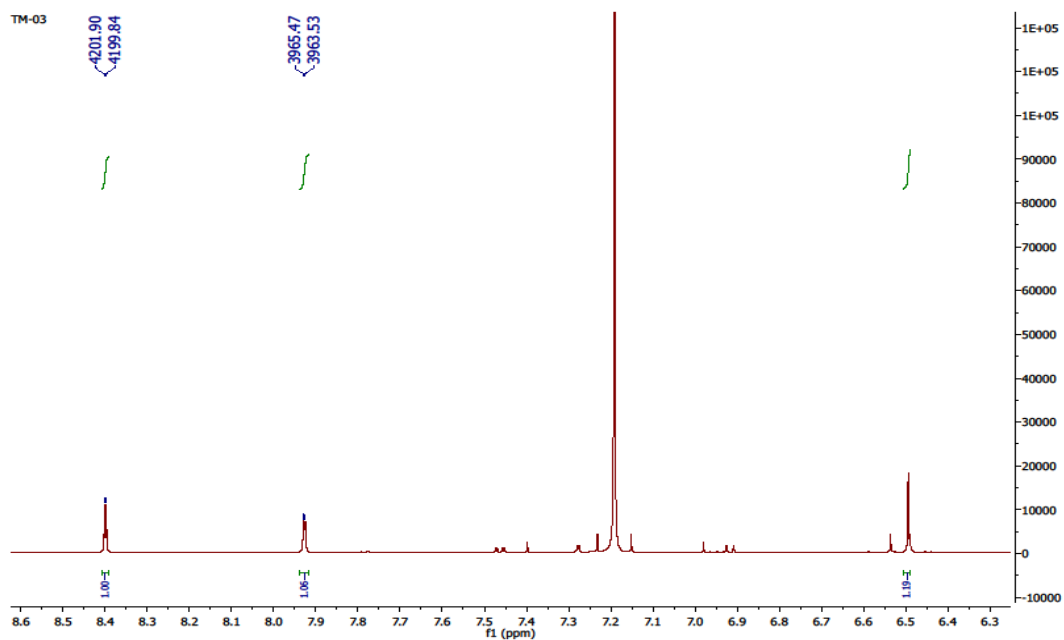
H	$^1\text{H}$ NMR	APT	Reaktif	Band I ( $\lambda$ max)	Band II ( $\lambda$ max)
8	6.49 s (1H)	90	MeOH	337 nm 271 nm 251 nm	
2'	7.93 m (1H, $J=1.9$ Hz)	116	NaOMe	384 nm 271 nm 239 nm	
6'	8.40 m (1H, $J=2.0$ Hz)	117	$\text{AlCl}_3$	364 nm 283 nm 260 nm	
-OMe	3.97 s	60.8	$\text{AlCl}_3+\text{HCl}$	357 nm 285 nm 257 nm	
-OMe	3.93 s	60.4	NaOAc	381 nm 271 nm	
-OMe	3.87 s	56.9	NaOAc+ $\text{H}_3\text{BO}_3$	381 nm 271 nm	
-OMe	3.86 s	56.4			



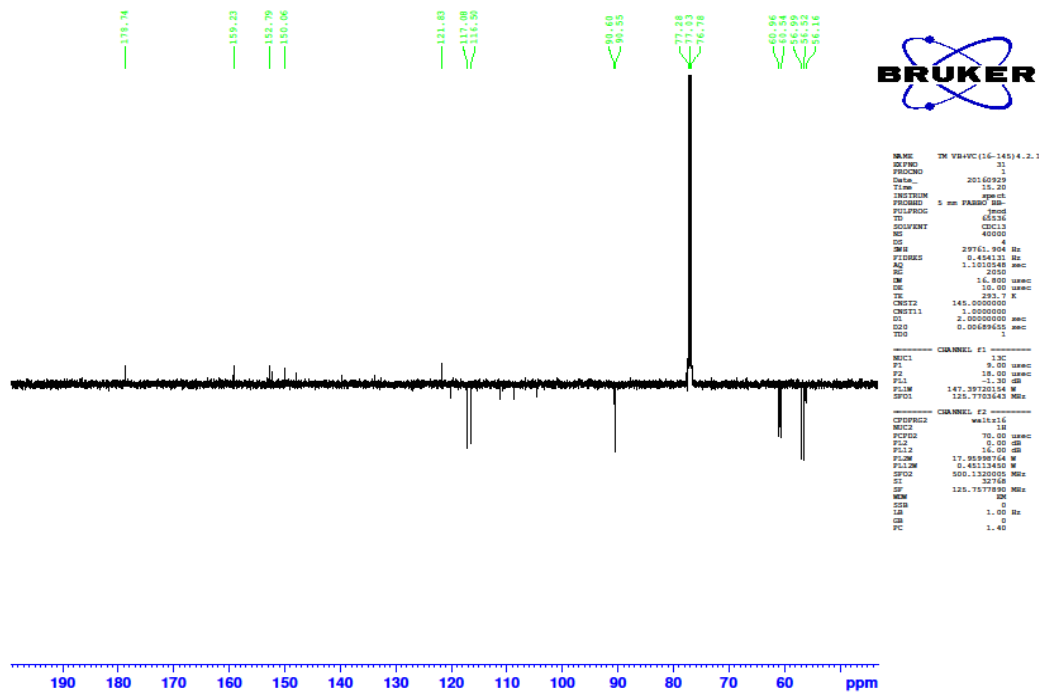
Şekil 4.188 5,3',4'-Trihidroksi-3,6,7,5'-tetrametoksiflavon UV/VIS kayma spektrumları



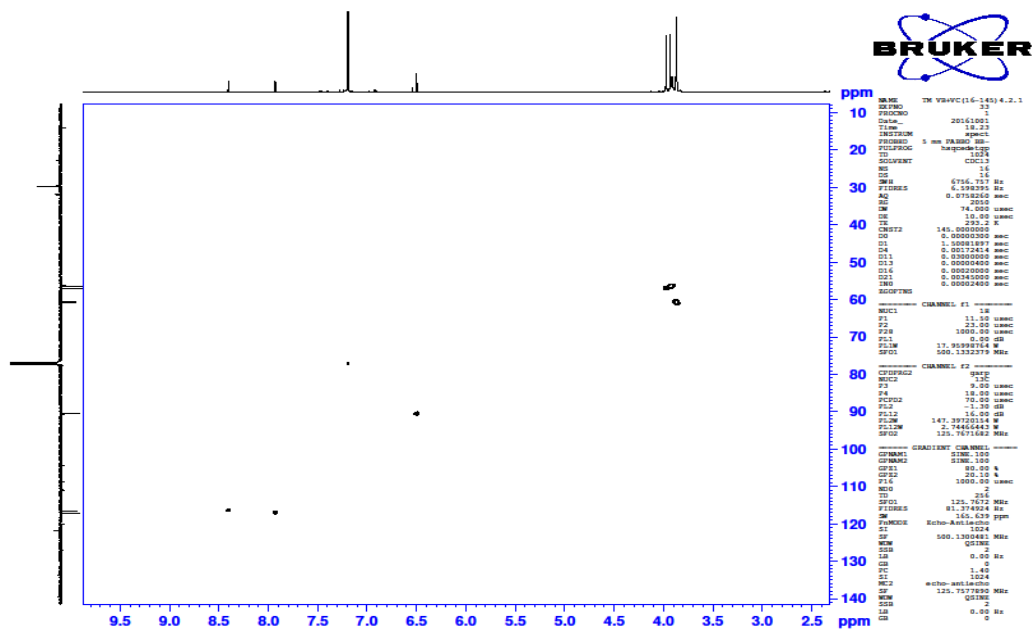
Şekil 4.189 5,3',4'-Trihidroksi-3,6,7,5'-tetrametoksiflavon  $^1\text{H}$  NMR spektrumu



Şekil 4.189 5,3',4'-Trihidroksi-3,6,7,5'-tetrametoksiflavon  $^1\text{H}$  NMR spektrumu



Şekil 4.190 5,3',4'-Trihidroksi-3,6,7,5'-tetrametoksiflavon APT spektrumu



Şekil 4.191 5,3',4'-Trihidroksi-3,6,7,5'-tetrametoksiflavon HSQC spektrumu

#### **4.3.3 Fr5-TM IVB+IVC+IVD ve Fr4-TM IIID+IVA fraksiyonlarından izole edilen maddeler**

TM IVB+IVC+IVD'nin MPLC ile tekrar fraksiyonlandırılmasına karar verilmiştir. MPLC'de kullanılan çözücü sistemleri ve fraksiyonlar Çizelge 4.51'de verilmektedir. MPLC sonucunda 181 fraksiyon toplanmıştır. Yapılan ince tabaka kromatografisi çalışmaları sonucunda benzer fraksiyonlar birleştirilmiştir. TM IVB+IVC+IVD (115-124) fraksiyonunda bulunan maddeler LH 20 sephadex kolon kromatografisi yapılarak ayrılmaya çalışılmıştır. Kolon sonrası iki fraksiyon elde edilmiştir. 2. fraksiyondan TM IVB+IVC+IVD (115-124) 2.5 kodlu  $\alpha$ -Amirin 8 mg miktarında elde edilmiştir. TM IIID+IVA fraksiyonuna MPLC çalışması yapılmıştır. MPLC sonucunda 181 fraksiyon toplanmıştır. Yapılan ince tabaka kromatografisi çalışmaları sonucunda benzer fraksiyonlar birleştirilmiştir. TM IIID+IVA (79-129) fraksiyonunda bulunan maddeler LH 20 sephadex kolon kromatografisi yapılarak ayrılmaya çalışılmıştır. Kolon sonrası iki fraksiyon elde edilmiştir. TM IIID+IVA (79-129) 2.1.1 maddesinin daha önce izole edilen Jaceosidin olduğu belirlenmiştir.

Çizelge 4.51 TM IVB+IVC+IVD fraksiyonunun MPLC çalışması

Kullanılan çözücü sistemi	Fraksiyonlar
Hekzan	TM IVB+IVC+IVD.1-20
Hekzan:CHCl <sub>3</sub> (50:50)	TM IVB+IVC+IVD 21-35
CHCl <sub>3</sub>	TM IVB+IVC+IVD.36-65
CHCl <sub>3</sub> :Eter (80:20)	TM IVB+IVC+IVD.66-75
CHCl <sub>3</sub> :Eter (60:40)	TM IVB+IVC+IVD.76-105
CHCl <sub>3</sub> :Eter (40:60)	TM IVB+IVC+IVD.106-125
CHCl <sub>3</sub> :Eter (20:80)	TM IVB+IVC+IVD.126-145
Eter	TM IVB+IVC+IVD.146-181

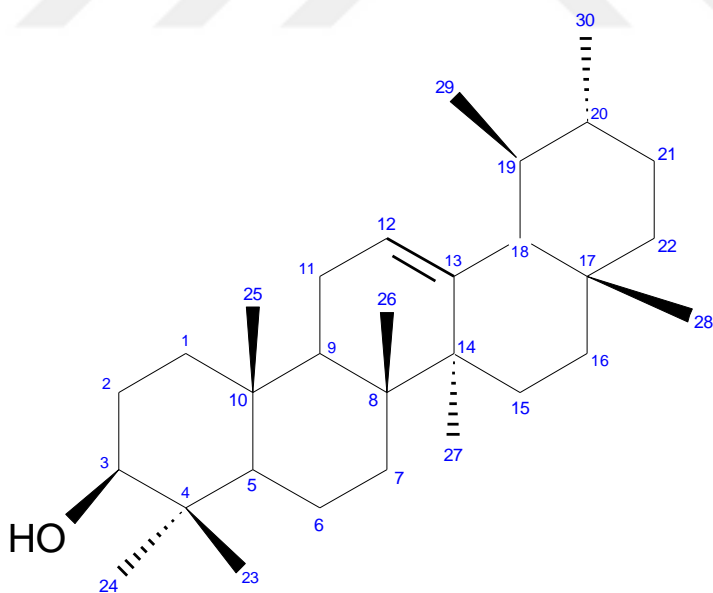
#### 4.3.3.1 TM IVB+IVC+IVD (115-124) 2.5=α-Amirin

Maddenin yapısı  $^1\text{H}$  NMR spektral yöntemle aydınlatılmıştır. Şekil 4.192'de  $\alpha$ -Amirin moleküler yapısı, Şekil 4.193'te  $^1\text{H}$  NMR spektrumu verilmektedir.

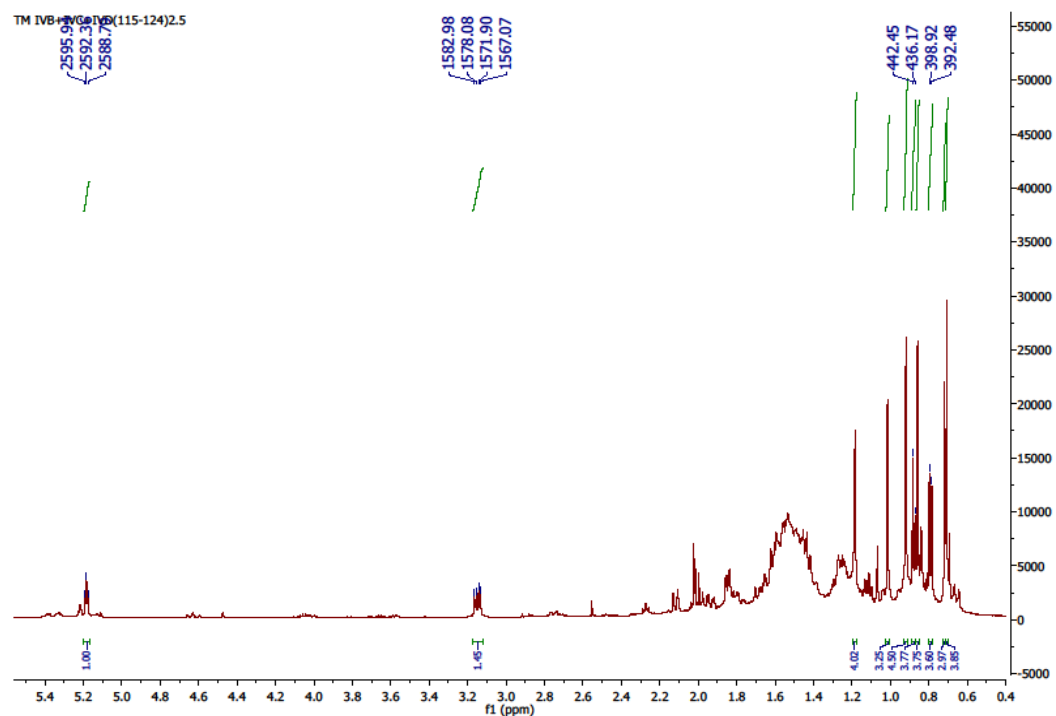
$\alpha$ -Amirin silika jel plaka üzerinde UV (254 nm ve 366 nm) ışık altında görünmeyen, renklendirme belirteci seryum sülfat püskürtülüp yakıldığında kahve-mor arası renk alan bir bileşiktir.

Dörtoro kloroformda çekilen  $^1\text{H-NMR}$  spektrumunda maddenin triterpen yapısında olduğu, yukarı alanda (0.70-1.20 ppm) görülen 8 tane metil piki sayesinde belirlenmiştir.  $\delta$  0.71, 0.72, 0.86, 0.92, 1.01 ve 1.18'de singlet metil pikleri yer almaktadır.  $\delta$  0.79 ve 0.88'de doublet ( $J=6.3$  Hz) yarılmış metil pikleri bulunmaktadır.  $\delta$  3.14'te H-3 (1H, dd,  $J=4.8;11.0$  Hz) protonu ve  $\delta$  5.18'de H-12 (1H, dd,  $J=3.5;3.5$  Hz) protonu görülmektedir.

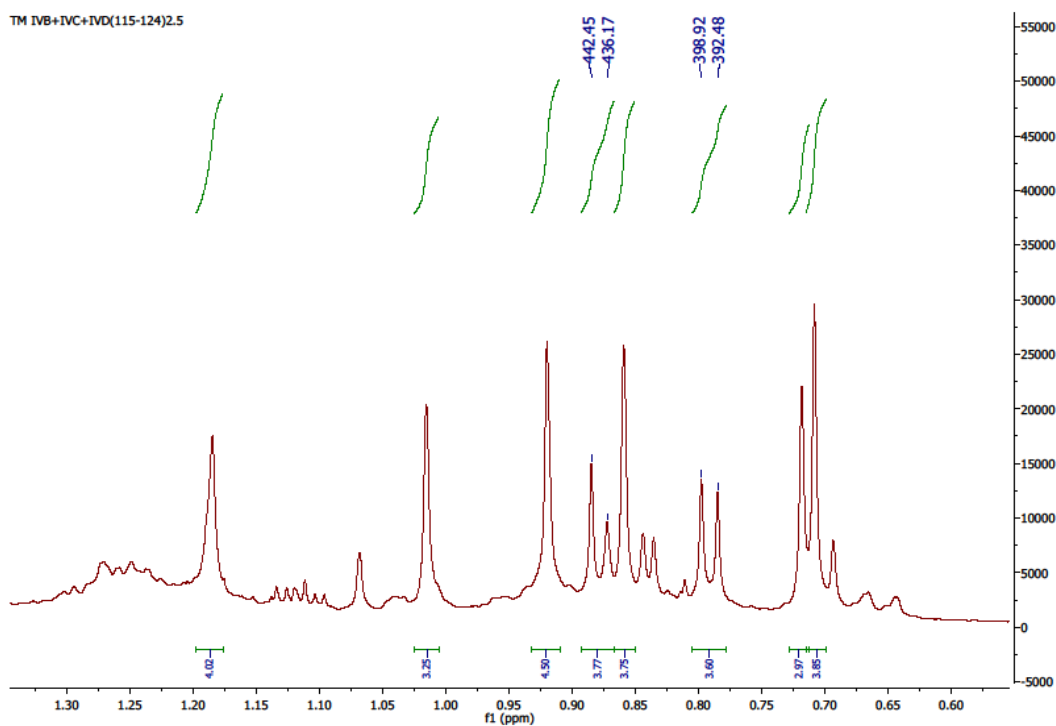
$\alpha$ -Amirin bitkilerde sık rastlanan triterpen yapısında bir bileşiktir. Maddenin  $^1\text{H}$  NMR spektrumu incelenmesi ve diğer spektrumlarla karşılaştırılması sonucunda  $\alpha$ -Amirin yapısında olduğuna karar verilmiştir. Elde edilen veriler literatürde verilen değerlerle uyum içindedir [190], [191], [224].



Şekil 4.192  $\alpha$ -Amirin moleküler yapısı



Şekil 4.193  $\alpha$ -Amirin  $^1\text{H}$  NMR spektrumu



Şekil 4.193  $\alpha$ -Amirin  $^1\text{H}$  NMR spektrumu

#### **4.4 *Tanacetum mucroniferum* (TM) bitkisinin MeOH ekstresinden izole edilen maddeler**

TM bitkisinin gövdesinden elde edilen 63 gr MeOH ekstresinin kaba ayrimi için sıvı-sıvı kromatografisi yapılmıştır. Sıvı-sıvı kromatografisinde hekzan-CH<sub>2</sub>Cl<sub>2</sub>-etil asetat-BuOH:H<sub>2</sub>O (70:30) çözücüleri kullanılmış ve toplam 4 fraksiyon elde edilmişdir.

TM MeOH/CH<sub>2</sub>Cl<sub>2</sub> fraksiyonu kolon kromatografisi yapılmış ve 87 fraksiyon toplanmıştır. İnce tabaka kromatografisi yardımıyla benzer fraksiyonlar birleştirilmiştir. Çizelge 4.52'de kolon kromatografisinde yer alan çözücü sistemleri yer almaktadır.

TM MeOH/CH<sub>2</sub>Cl<sub>2</sub> (15-22) fraksiyonu CHCl<sub>3</sub>:Eter (2:1) sisteminde 4 defa preparatif ince tabaka kromatografisinde yürütülmüş ve 7 bant elde edilmiştir. İzolasyon çalışmaları sonucunda 1. ve 2. banttan TM MeOH/CH<sub>2</sub>Cl<sub>2</sub> (15-22) 1.2.1 ve TM MeOH/CH<sub>2</sub>Cl<sub>2</sub> (15-22) 2.1.1 kodlu kumarin yapısındaki Scoparone izole edilmiştir. Ayrıca 2. banttan TM MeOH/CH<sub>2</sub>Cl<sub>2</sub> (15-22) 2.1.3 kodlu flavonoid yapısındaki 5-Hidroksi-3',4',6,7-tetrametoksiflavon ve TM MeOH/CH<sub>2</sub>Cl<sub>2</sub> (15-22) 2.2.3 kodlu seskiterpen laktون yapısındaki Ajanolide 1β,10α-epoksit izole edilmiştir. 3. banttan TM MeOH/CH<sub>2</sub>Cl<sub>2</sub> (15-22) 3.4.2 kodlu Scopoletin 5 mg ve TM MeOH/CH<sub>2</sub>Cl<sub>2</sub> (15-22) 3.4.4 kodlu Umbelliferone 4 mg miktarında elde edilmiştir. Ayrıca 3. banttan TM MeOH/CH<sub>2</sub>Cl<sub>2</sub> (15-22) 3.2.4 kodlu seskiterpen laktон yapısındaki Ajanolide 1β,10α-epoksit tekrar izole edilmiştir. 6. banttan izole edilen TM MeOH/CH<sub>2</sub>Cl<sub>2</sub> (15-22) 6.2.2 kodlu maddenin <sup>1</sup>H NMR spektrumu incelenmesi sonucunda Mucronolide ile aynı olduğuna karar verilmiştir. 7. banttan TM MeOH/CH<sub>2</sub>Cl<sub>2</sub> (15-22) 7.2.3 kodlu 1α,3β,10α-Trihidroksi-7α,11αH-germakra-4-en-12-6α-olide 3 mg miktarında elde edilmiştir.

Çizelge 4.52 TM MeOH/CH<sub>2</sub>Cl<sub>2</sub> fraksiyonunun kolon kromatografi çalışması

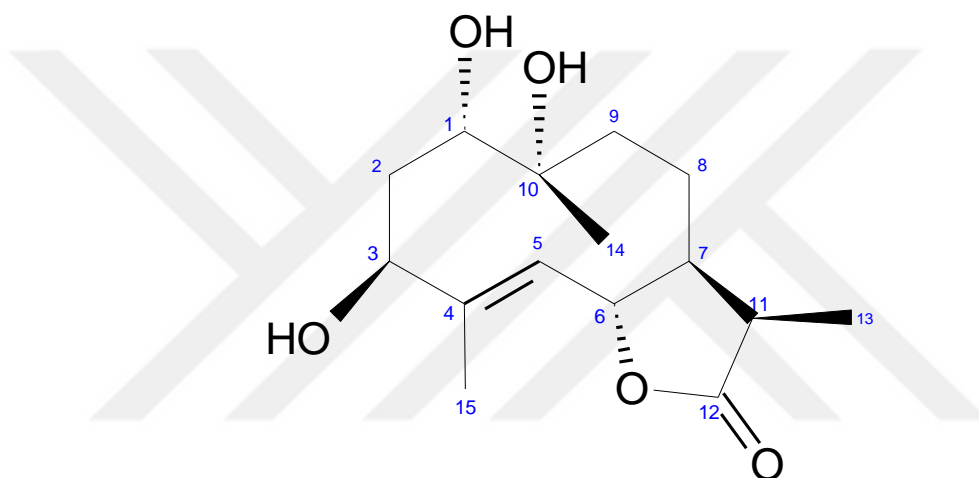
<b>Fraksiyonlar</b>	<b>Kullanılan çözücü sistemi</b>
1. parti	CHCl <sub>3</sub>
2. parti	CHCl <sub>3</sub> :Eter (90:10)
3. parti	CHCl <sub>3</sub> :Eter (80:20)
4. parti	CHCl <sub>3</sub> :Eter (70:30)
5. parti	CHCl <sub>3</sub> :Eter (60:40)
6. parti	CHCl <sub>3</sub> :Eter (50:50)
7. parti	CHCl <sub>3</sub> :Eter (40:60)
8. parti	CHCl <sub>3</sub> :Eter (30:70)
9. parti	CHCl <sub>3</sub> :Eter (20:80)
10. parti	CHCl <sub>3</sub> :Eter (10:90)
11. parti	Eter
12. parti	Eter:Etil asetat (90:10)
13. parti	Eter:Etil asetat (80:20)
14. parti	Eter:Etil asetat (70:30)
15. parti	Eter:Etil asetat (60:40)
16. parti	Eter:Etil asetat (50:50)
17. parti	Eter:Etil asetat (40:60)
18. parti	Eter:Etil asetat (30:70)
19. parti	MeOH

#### **4.4.1 TM MeOH/CH<sub>2</sub>Cl<sub>2</sub> (15-22) 7.2.3=1 $\alpha$ ,3 $\beta$ ,10 $\alpha$ -Trihidroksi-7 $\alpha$ ,11 $\alpha$ H-germakra-4-en-12-6 $\alpha$ -olide (1 $\alpha$ ,3 $\beta$ ,10 $\alpha$ -Trihydroxy-7 $\alpha$ ,11 $\alpha$ H-germacra-4-en-12-6 $\alpha$ -olide)**

Maddenin yapısı spektral yöntemlerle (<sup>1</sup>H-NMR, APT, COSY, HSQC, HMBC, NOESY, MS) aydınlatılmıştır. Çizelge 4.53'te 1 $\alpha$ ,3 $\beta$ ,10 $\alpha$ -Trihidroksi-7 $\alpha$ ,11 $\alpha$ H-germakra-4-en-12-6 $\alpha$ -olide <sup>1</sup>H-NMR ve APT kimyasal kayma değerleri, Şekil 4.194'te 1 $\alpha$ ,3 $\beta$ ,10 $\alpha$ -Trihidroksi-7 $\alpha$ ,11 $\alpha$ H-germakra-4-en-12-6 $\alpha$ -olide moleküller yapısı, Şekil 4.195'te <sup>1</sup>H NMR spektrumu, Şekil 4.196'da COSY spektrumu, Şekil 4.197'de APT spektrumu, Şekil 4.198'de HSQC spektrumu, Şekil 4.199'da HMBC, Şekil 4.200'de NOESY spektrumu ve Şekil 4.201'de kütle spektrumu verilmektedir.

Dötoro kloroformda çekilen <sup>1</sup>H-NMR spektrumunda  $\delta$  5.74 (1H, dd, *J*=9.3;6.3 Hz) olarak görülen pik H-6 ya aittir ve bu proton COSY deneylerinde  $\delta$  2.13 H-7 (1H, m) ve  $\delta$  5.11 H-5 (1H, dq, *J*=6.3;1.5 Hz) protonları ile etkileşmektedir. H-7 ve H-2 pikleri üst üste çıkmıştır. Ayrıca H-7 protonu  $\delta$  2.61 H-11 (1H, dq, *J*=6.6;15.6 Hz) ve  $\delta$  1.73 H-8 ve H-8' (2H, m) protonları ile etkileşim göstermektedir. H-11 protonu  $\delta$  1.16 H-13 (3H, d, *J*=7.7 Hz) protonu ile etkileşmektedir. H-8 ve H-8' protonları,  $\delta$  1.38 H-9 (1H, m) ve  $\delta$  1.49 H-9' (1H, m) protonları ile etkileşmektedir. H-5 protonu  $\delta$  1.54 H-15 (3H, brs) protonu ile homoallilik etkileşim vermektedir.  $\delta$  3.82'de yer alan H-1 (1H, brd, *J*=3.5 Hz) protonu,  $\delta$  2.13 H-2 (1H, m) ve  $\delta$  2.21 H-2' (1H, m) protonları ile etkileşmektedir. Ayrıca H-2 ve H-2' protonları  $\delta$  4.69 H-3 (1H, dd, *J*=8.3;8.5 Hz) protonu ile etkileşmektedir. H-14 (3H) protonu  $\delta$  1.26'da singlet olarak görülmektedir. H-14 protonu -OH grubuna komşu olduğundan aşağı alana kaymıştır. Elde edilen deneysel bulgular 1 $\alpha$ ,3 $\beta$ ,10 $\alpha$ -Trihidroksi-7 $\alpha$ ,11 $\beta$ H-germakra-4Z-en-12,6 $\alpha$ -olide maddesinin verilerine oldukça yakındır. Ancak H-6 protonunun etkileşme sabitlerine bakıldığından 1 $\alpha$ ,3 $\beta$ ,10 $\alpha$ -Trihidroksi-7 $\alpha$ ,11 $\beta$ H-germakra-4Z-en-12,6 $\alpha$ -olide maddesinden farklı olduğu görülmektedir. 1 $\alpha$ ,3 $\beta$ ,10 $\alpha$ -Trihidroksi-7 $\alpha$ ,11 $\beta$ H-germakra-4Z-en-12,6 $\alpha$ -olide maddesinin H-6/H-5 ve H-6/H-7 protonları arasında etkileşim sabiti *J*=11.0;11.0 Hz olarak verilmiş. TM MeOH/CH<sub>2</sub>Cl<sub>2</sub> (15-22) 7.2.3 kodlu fraksiyondan izole ettiğimiz bu maddenin ise H-6/H-5 ve H-6/H-7 protonları arasındaki etkileşim sabiti *J*=6.3;9.3 Hz olarak görülmektedir. H-6/H-5 protonlarının etkileşim sabiti literatürde yer alan maddelerin (E) ve (Z) konfigürasyonlarının etkileşim sabitlerine uyum göstermemektedir. Bu nedenle izole ettiğimiz maddenin konfigürasyonunu belirlemek için X-Ray analizinin yapılmasına karar verilmiştir.

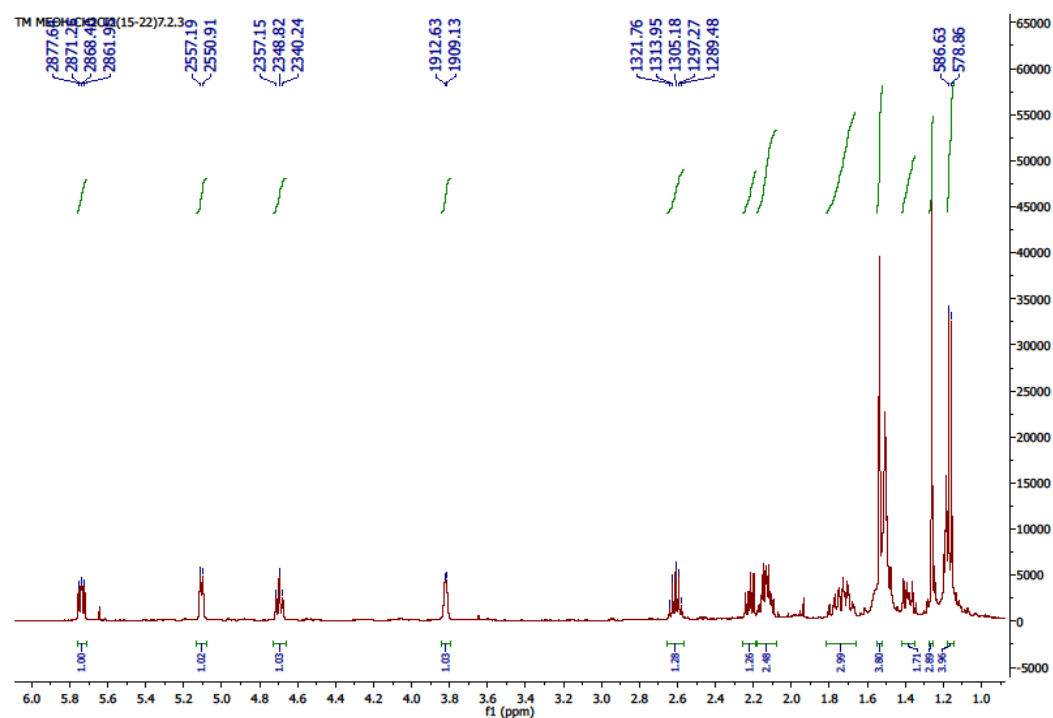
Maddenin NOESY deneyinde H-3 protonu H-7 protonu ile etkileşim gösterdiği ve aynı uzaysal düzlemi paylaştığı görülmektedir. Biyo oluşumsal olarak H-7 protonu  $\alpha$  konumunda olduğu bilinmektedir. H-6 protonunun H-13 ve H-9 protonları ile NOESY verdiği görülmektedir. H-9 protonunun H-14 ve H-14 protonunun H-1 protonu ile NOESY verdiği belirlenmiştir. NOESY spektrumundan H-3 ve H-11 protonlarının  $\alpha$  konumunda olduğu, H-1, H-13 ve H-14 protonlarının  $\beta$  konumunda olduğu anlaşılmıştır. Bu maddenin kütte spektrumunda moleküller iyon piki  $m/z$  307 [M+Na] $^{+}$  net bir şekilde görülmektedir. Yapının  $C_{15}H_{24}O_5$  formülüne sahip olduğu ve tayin edilen yapıyla uyum içinde olduğu görülmektedir. Ayrıca yapıdan  $m/z$  289 [307-  $H_2O$ ] $^{+}$  ve  $m/z$  245 [289- CO<sub>2</sub>] çıkışları görülmektedir.



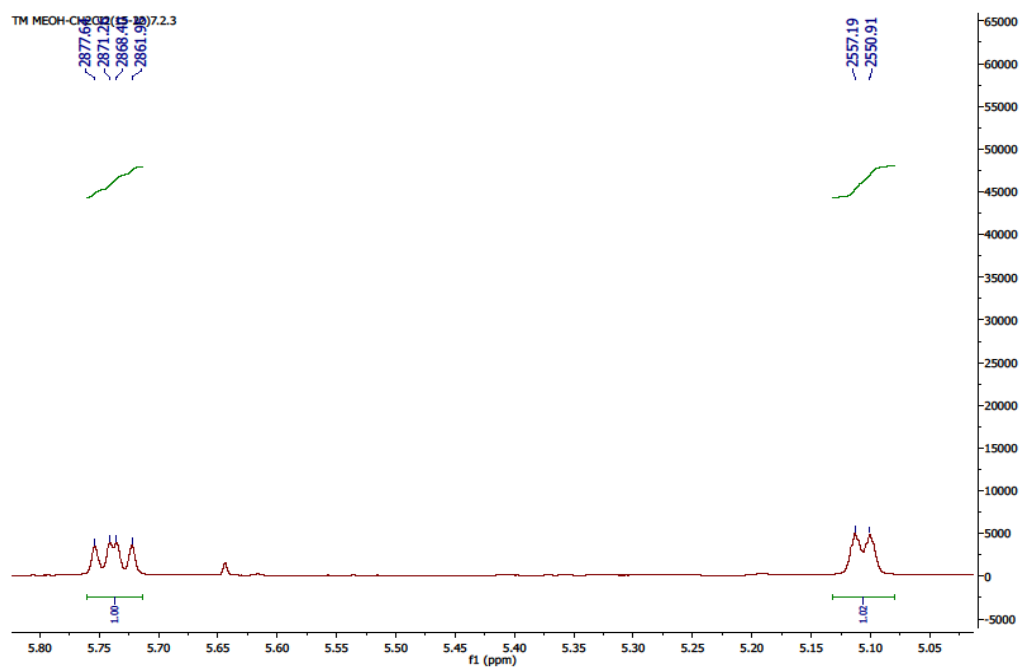
Şekil 4.194 1 $\alpha$ ,3 $\beta$ ,10 $\alpha$ -Trihidroksi-7 $\alpha$ ,11 $\alpha$ H-germakra-4-en-12-6 $\alpha$ -olide moleküller yapısı

Çizelge 4.53  $1\alpha,3\beta,10\alpha$ -Trihidroksi- $7\alpha,11\alpha$ H-germakra-4-en-12- $6\alpha$ -olide  $^1\text{H-NMR}$  ve APT (500 MHz, 125 MHz,  $\text{CDCl}_3$ ) kimyasal kayma değerleri

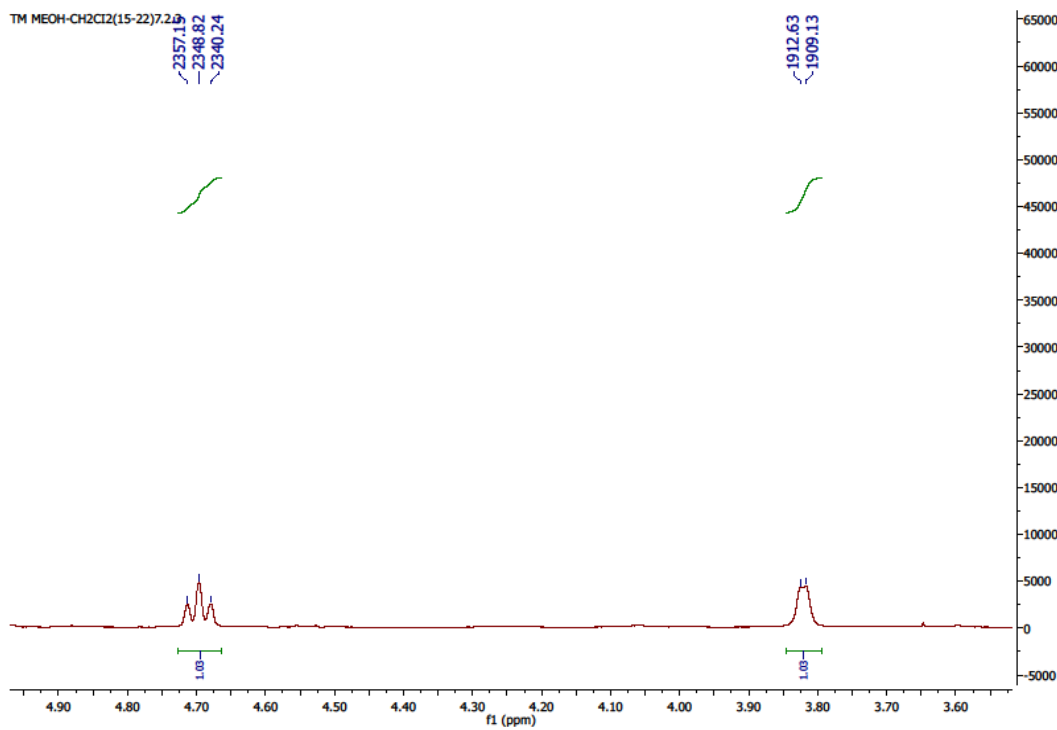
<b>H</b>	<b><math>^1\text{H NMR}</math></b>	<b>C</b>	<b>APT</b>
1	3.82 brd (1H, $J=3.5$ Hz)	1	77.5
2	2.13 m (1H)	2	41.3
2'	2.21 m (1H)	3	79.6
3	4.69 dd (1H, $J=8.3;8.5$ Hz)	4	138.2
5	5.11 dq (1H, $J=6.3;1.5$ Hz)	5	124.9
6	5.74 dd (1H, $J=9.3;6.3$ Hz)	6	82.7
7	2.13 m (1H)	7	46.06
8 ve 8'	1.73 m (1H)	8	23.2
9	1.38 m (1H)	9	35.5
9'	1.49 m (1H)	10	87.6
11	2.61 dq (1H, $J=6.6;15.6$ Hz)	11	40.2
13	1.16 d (3H, $J=7.7$ Hz)	12	179.9
14	1.26 s (3H)	13	12.4
15	1.54 brs (3H)	14	18.9
		15	20.3



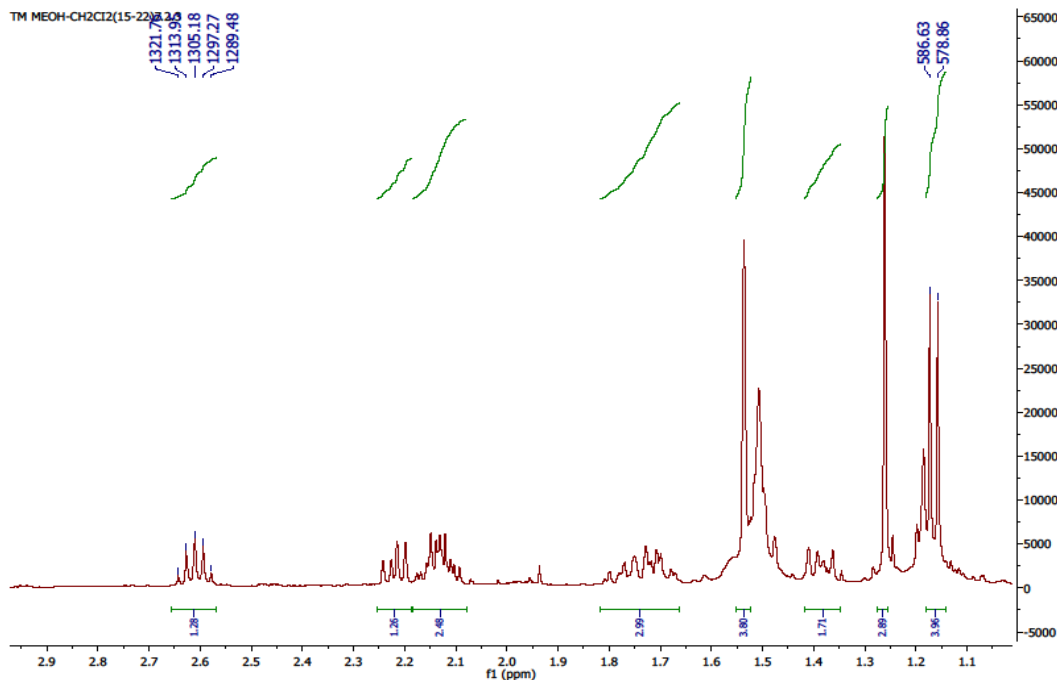
Sekil 4.195  $1\alpha,3\beta,10\alpha$ -Trihidroksi- $7\alpha,11\alpha$ H-germakra-4-en-12-6 $\alpha$ -olide  $^1\text{H}$  NMR spektrumu



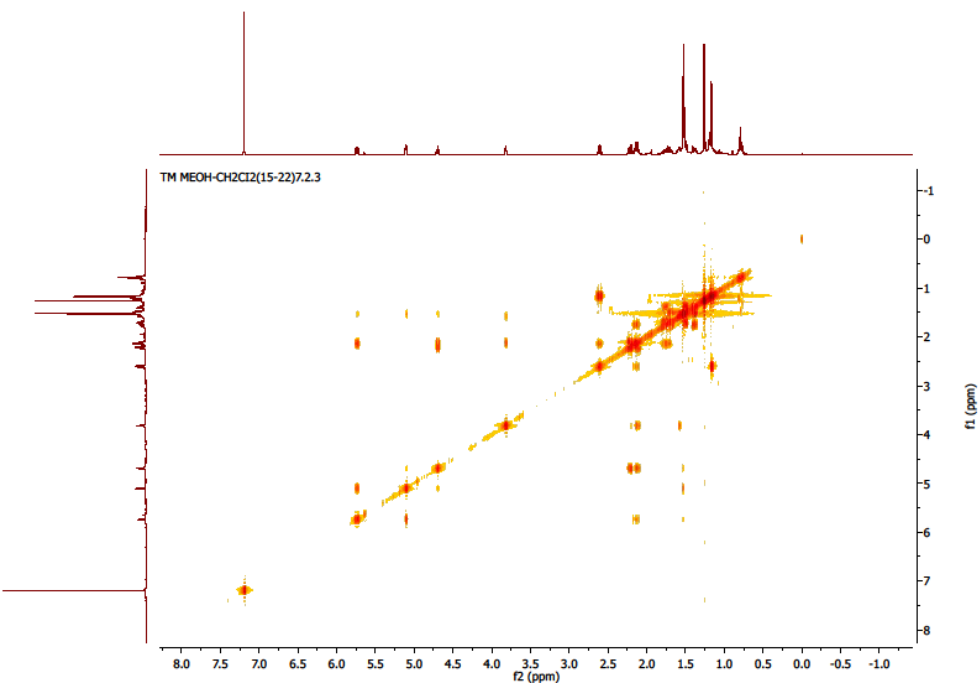
Sekil 4.195  $1\alpha,3\beta,10\alpha$ -Trihidroksi- $7\alpha,11\alpha$ H-germakra-4-en-12-6 $\alpha$ -olide  $^1\text{H}$  NMR spektrumu



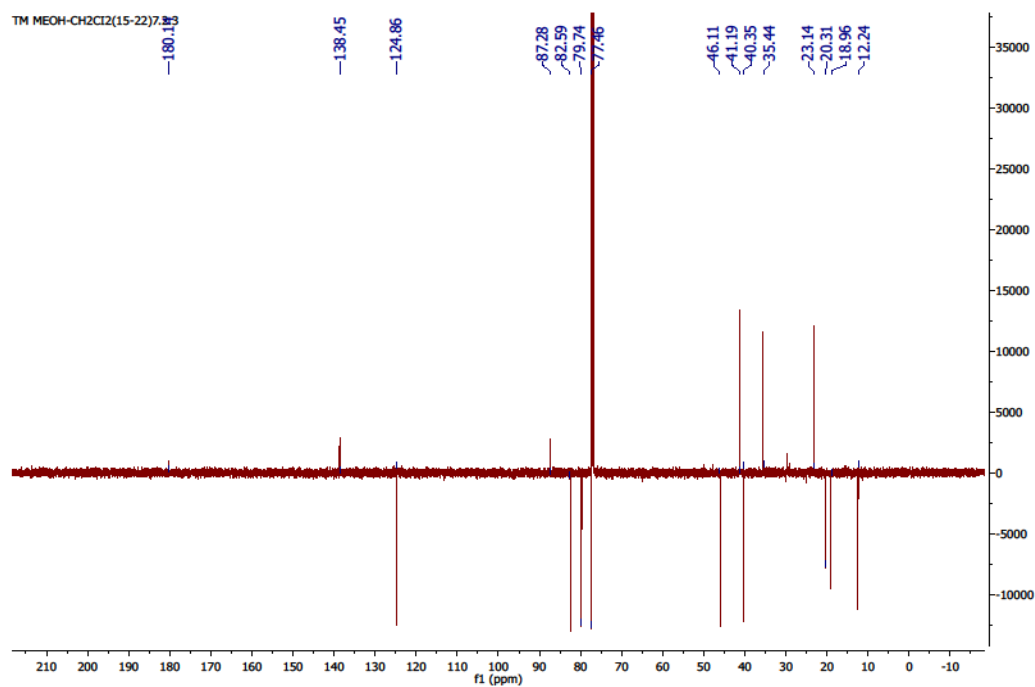
Sekil 4.195 1 $\alpha$ ,3 $\beta$ ,10 $\alpha$ -Trihidroksi-7 $\alpha$ ,11 $\alpha$ H-germakra-4-en-12-6 $\alpha$ -olide  $^1\text{H}$  NMR spektrumu



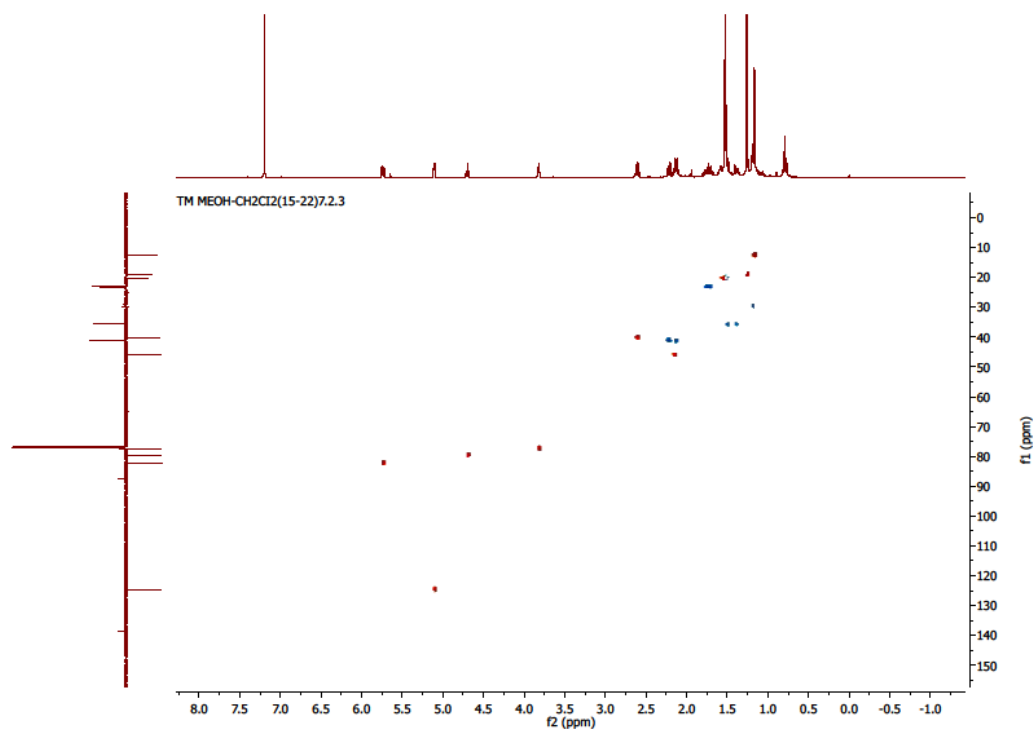
Sekil 4.195 1 $\alpha$ ,3 $\beta$ ,10 $\alpha$ -Trihidroksi-7 $\alpha$ ,11 $\alpha$ H-germakra-4-en-12-6 $\alpha$ -olide  $^1\text{H}$  NMR spektrumu



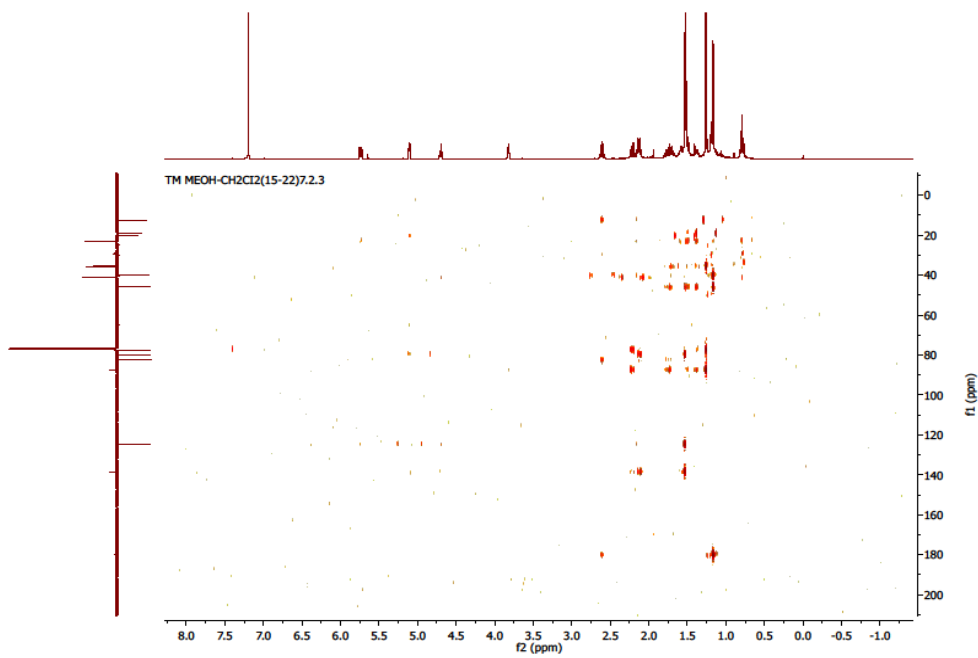
Şekil 4.196  $1\alpha,3\beta,10\alpha$ -Trihidroksi- $7\alpha,11\alpha$ H-germakra-4-en-12-6 $\alpha$ -olide COSY spektrumu



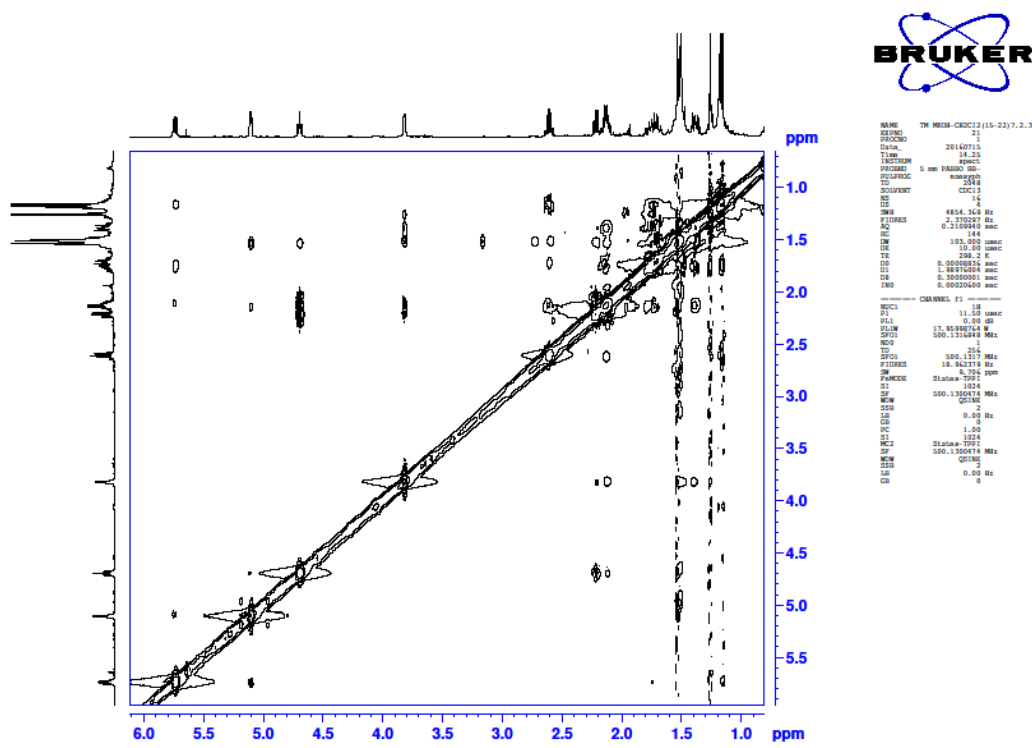
Şekil 4.197  $1\alpha,3\beta,10\alpha$ -Trihidroksi- $7\alpha,11\alpha$ H-germakra-4-en-12-6 $\alpha$ -olide APT spektrumu



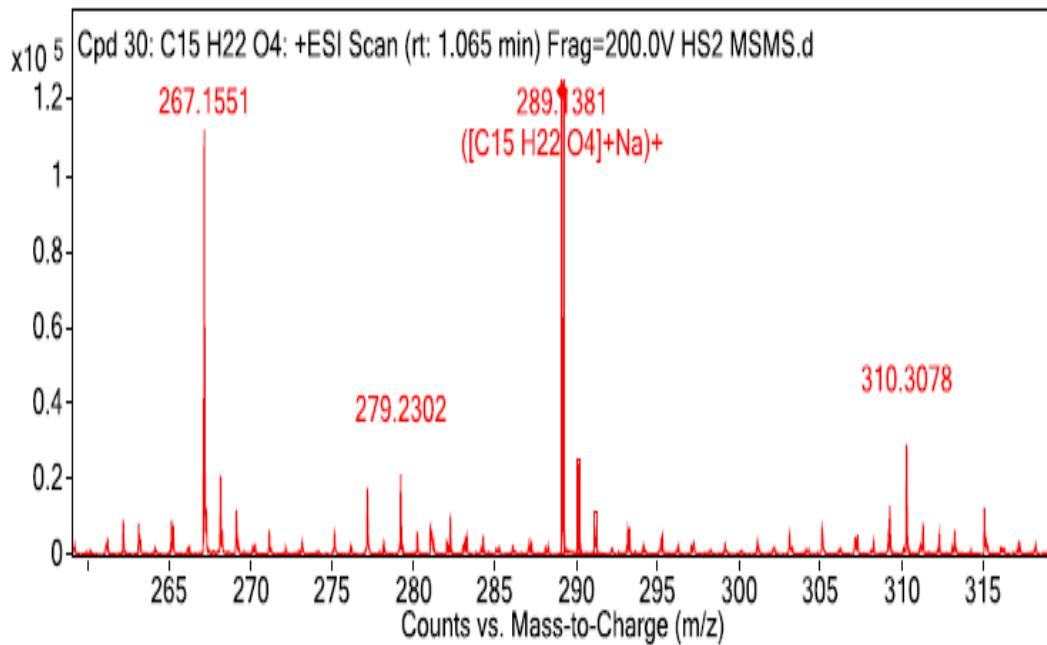
Şekil 4.198  $1\alpha,3\beta,10\alpha$ -Trihidroksi- $7\alpha,11\alpha$ H-germakra-4-en-12- $6\alpha$ -olide HSQC spektrumu



Şekil 4.199  $1\alpha,3\beta,10\alpha$ -Trihidroksi- $7\alpha,11\alpha$ H-germakra-4-en-12- $6\alpha$ -olide HMBC spektrumu



Sekil 4.200 1 $\alpha$ ,3 $\beta$ ,10 $\alpha$ -Trihidroksi-7 $\alpha$ ,11 $\alpha$ H-germakra-4-en-12-6 $\alpha$ -olide NOESY spektrumu



Sekil 4.201 1 $\alpha$ ,3 $\beta$ ,10 $\alpha$ -Trihidroksi-7 $\alpha$ ,11 $\alpha$ H-germakra-4-en-12-6 $\alpha$ -olide kütle spektrumu

#### **4.5 Biyolojik Aktivite**

*Tanacetum mucroniferum* bitkisinin toprak üstü kısımlarından elde edilen ve GC/MS ile bileşimi belirlenen uçucu yağın asetilkolinesteraz inhibisyonu, antioksidan ve sitotoksik aktiviteleri araştırılmıştır. Bitkinin uçucu yağı yüksek oranda asetilkolinesteraz inhibisyonu göstermiştir. Uçucu yağın ana bileşenleri 1,8-sineol (21.9%) ve kafur (6.4%) olarak tespit edilmiştir [170]. Bitki uçucu yağıının yüksek oranda asetilkolinesteraz inhibisyonuna sahip olması bu iki ana bileşen ile ilişkili olduğu rapor edilmiştir [230]. Uçucu yağ en yüksek asetilkolinesteraz inhibisyonunu 10 mg/mL konsatratasyonda göstermiştir. Uçucu yağ konsantrasyonu seyredikçe inhibisyon oranının düşüğü görülmektedir. Çizelge 5.1'de *Tanacetum mucroniferum* bitkisinin uçucu yağ asetilkolinesteraz aktivite çalışması verilmektedir.

Uçucu yağ çok düşük oranda PRAP antioksidan aktivite göstermiştir. 10 mg/mL konsatratasyonda  $1.32 \pm 0.02$  AU aktivite göstermiş ancak bu aktivite oranının pozitif kontrolün 1 mg/mL'de ( $1.46 \pm 0.33$  AU) gösterdiği aktivite oranından daha düşük olduğu belirlenmiştir. Çizelge 5.2'de *Tanacetum mucroniferum* bitkisinin uçucu yağ PRAP aktivite çalışması verilmektedir

Uçucu yağ, hücre hatlarına karşı herhangi bir sitotoksik aktivite göstermemiştir.

Bir çok durumda asetilkolinesteraz inhibisyonu insektisit aktivite ile ilgilidir [231]. TM bitkisinin uçucu yağı yüksek oranda asetilkolinesteraz inhibisyonuna sahip olması, bu yağın düşük toksisitede yüksek insektisit aktivite gösterme olasılığını kuvvetlendirmektedir. Bu çalışma sonucunda *Tanacetum* türlerine ait uçucu yağıların yüksek insektisit aktivite gösterme potansiyeline sahip olabileceği düşünülmektedir.

Çizelge 4.54 *Tanacetum mucroniferum* bitkisinin uçucu yağ asetilkolinesteraz aktivite çalışması<sup>a</sup>

Konsantrasyon <sup>b</sup>	<i>T. mucroniferum</i> <sup>c</sup>	Galantamin <sup>d</sup>	Blank <sup>e</sup>
Saf uçucu yağ <sup>a</sup>	100 ± 0.00 <sup>b</sup>		
10 mg/mL	13.81 ± 2.97	3.74 ± 0.06	0.15 ± 0.01
5 mg/mL	5.80 ± 1.98	3.64 ± 0.19	
1 mg/mL	0.00 ± 0.00	1.46 ± 0.33	

<sup>a</sup>Üç parallel çalışmanın sonuçları standart sapmaları ile birlikte verilmiştir; <sup>b</sup>Metotta kullanılan örneğin konsantrasyonları; <sup>c</sup>Örneklerin yüzde asetilkolinesteraz inhibisyonu; <sup>d</sup>Pozitif kontrol olarak galantamin kullanılmıştır; <sup>e</sup>Metanol negatif kontrol olarak kullanılmıştır.

Çizelge 4.55 *Tanacetum mucroniferum* bitkisinin uçucu yağ PRAP aktivite çalışması<sup>a</sup>

Konsantrasyon <sup>b</sup>	<i>T. mucroniferum</i> <sup>c</sup>	α-Tokoferol <sup>d</sup>	Blank <sup>e</sup>
10 mg/mL	1.32 ± 0.02 <sup>a</sup>	3.74 ± 0.06	0.15 ± 0.01
5 mg/mL	0.73 ± 0.07	3.64 ± 0.19	
1 mg/mL	0.20 ± 0.04	1.46 ± 0.33	

<sup>a</sup>Üç parallel çalışmanın sonuçları standart sapmaları ile birlikte verilmiştir; <sup>b</sup>Metotta kullanılan örneğin konsantrasyonları; <sup>c</sup>Örneklerin 600 nm'deki absorbansı; <sup>d</sup>Pozitif kontrol olarak α-tokoferol kullanılmıştır; <sup>e</sup>Metanol negatif kontrol olarak kullanılmıştır.

## BÖLÜM 5

---

### SONUÇ VE ÖNERİLER

Sekonder metabolitlerin bitki bünyesinde çok az miktarda üretildiği fakat gıda ve tip gibi birçok alanda yaygın olarak kullanıldığı ve ekonomik olarak büyük önem kazandığı bilinmektedir. Bugüne kadar *Tanacetum* L. türlerinden başta seskiterpen laktalar olmak üzere, seskiterpenler, flavonoidler, monoterpenler, triterpenler ve kumarinler gibi sekonder metabolitler izole edilmiştir. Bu bileşikler antimigren, antiülser, antimikrobiyal, antispasmodik, allergen, antihelmintik, antiinflamatuar, antikoagülant, antifibrinolitik, karminatif, sitotoksik, insektisit gibi özellikler göstermiştir [17-35]. *Tanacetum* L. türlerinin araştırılması yeni biyoaktif bileşiklerin bulunması, ekonomik değeri olan türlerin ortaya çıkarılması ve türlerin sistematik sınıflandırmadaki hataların giderilmesi açısından önemlidir [31].

Bu doktora tezi çalışmasında, Asteraceae familyasında bulunan ve daha önce çalışılmamış olan *Tanacetum mucroniferum* (TM) (endemik) ve *Tanacetum balsamita* subsp. *balsamitoides* (TBB) bitkilerinin toprak üstü kısımlarından hazırlanan etil asetat ve metanol ekstreleri üzerinde izolasyon çalışmaları yapılmıştır. İzolasyon çalışmaları sonucunda 43 maddenin yapısı spektral yöntemlerle aydınlatılmıştır. Ayrıca, *Tanacetum mucroniferum* bitkisinin toprak üstü kısımlarından elde edilen ve GC/MS ile bileşimi belirlenen uçucu yağın asetilkolinesteraz inhibisyonu, antioksidan ve sitotoksik aktiviteleri araştırılmıştır.

*Tanacetum balsamita* subsp. *balsamitoides* bitkisinin etil asetat ekstresinden 1 $\alpha$ -Asetoksi-11 $\beta$ (H),13-dihidrodouglanin, Taurin,  $\beta$ -Sitosterol, Santonin, Chrysanthemolide, Pallensis, 1-Asetilerivanin, 1,10-Epoksispiciformin, 8 $\alpha$ -Hidroksisantamarin, Tamirin, **1 $\alpha$ -Asetoksi-3-*epi*-erivanin**, Artemin, Artesin, Germacranolide with an 1,5-ether linkage, 1 $\alpha$ -Hidroksi-deasetilirinol-4 $\alpha$ ,5 $\beta$ -epoksit, 1 $\alpha$ ,8 $\alpha$ -Dihidroksi-10-*epi*-arbusculin A, Tavulin, 5-Hidroksi-3',4',6,7-tetrametoksiflavon,

Cirsilineol, 5,3'-Dihidroksi-6,7,4',5'-tetrametoksiflavon, Umbelliferone maddeleri izole edilmiştir. Çizelge 5.1'de TBB bitkisinin etil asetat ekstresinden izole edilen maddeler verilmektedir.

3-*epi*-erivanin daha önce *Artemisia herba-alba* subsp. *valentina* bitkisinden izole edilmiştir [200]. Ancak TBB bitkisinin etil asetat ekstresinden elde edilen **1α-Asetoksi-3-*epi*-erivanin** doğal bir kaynaktan ilk defa tarafımızdan izole edilmiştir.

1α-Asetoksi-11β(H),13-dihidrodouglanin, Chrysanthemolide, Pallensis, 1-Asetilerivanin, 5,3'-Dihidroksi-6,7,4',5'-tetrametoksiflavon, 1α,8α-Dihidroksi-10-*epi*-arbusculin A ise *Tanacetum* cinsinden ilk defa izole edilmiştir. 1α-Asetoksi-11β(H),13-dihidrodouglanin bileşiği daha önce *Artemisia herba-alba* subsp. *herba alba*, *Artemisia rutifolia* ve *Artemisia lehmanniana* bitkilerinden izole edilmiştir [176-178]. Chrysanthemolide *Senecio chrysanthemoides* ve *Artemisia lehmanniana* bitkilerden izole edilmiştir [182-183]. Pallensis *Artemisia pallens* bitkisinden izole edilmiştir [184]. 1-Asetilerivanin *Senecio chrysanthemoides*, *Artemisia lehmanniana* ve *Artemisia vestita* bitkilerinden izole edilmiştir [182], [183], [185]. 1α,8α-Dihidroksi-10-*epi*-arbusculin A *Cassina subtropica* bitkisinden [205]. 5,3'-Dihidroksi-6,7,4',5'-tetrametoksiflavon ise *Carhochaete bigelovii*, *Murraya paniculata* ve *Uncarina* sp. bitkilerinden izole edilmiştir [202-204].

Taurin, β-sitosterol, Santonin, 1,10-Epoksispiciformin, 8α-Hidroksisantamarin, Tamirin, Artemin, Artesin, Germacranolide with an 1,5-ether linkage, 1α-Hidroksi-deasetilirinol-4α,5β-epoksit, Tavulin, 5-Hidroksi-3',4',6,7-tetrametoksiflavon, Cirsilineol ve Umbelliferone daha önce diğer bazı *Tanacetum* türlerinden izole edilmiştir. Taurin *Tanacetum cadmeum* subsp. *cadmeum* [179] bitkisinden, β-sitosterol *Tanacetum santolinoides* [180] bitkisinden, Tamirin ve Tavulin *Tanacetum chiliophyllum* var. *heimerlei*, *T. cadmeum* subsp. *cadmeum*, *T. polyccephalum*, *T. vulgare*, *T. densum* subsp. *eginense*, *T. praeteritum* subsp. *praeteritum*, *T. argenteum* subsp. *flabellifolium*, *T. ulutavicum*, *T. santolina*, *T. argenteum*, *T. argyrophyllum* var. *argyrophyllum*, *T. ferulaceum* ve *T. ptarmicaflorum* bitkilerinden izole edilmiştir [9], [179], [188], [189], [190], [191], [192], [193], [194], [195], [196], [197], [198]. Bu bileşikler *Tanacetum* türlerinde sıkılıkla rastlanan bileşiklerdir. Santonin *Tanacetum vulgare* subsp. *siculum* bitkisinden izole edilmiştir [181]. 1,10-Epoksispiciformin ilk defa *Tanacetum ptarmiciflorum* ve *Tanacetum ferulacum* var. *latipinnum* bitkilerinden izole edilmiştir

[186].  $8\alpha$ -Hidroksisantamarin *Tanacetum chiliophyllum* var. *heimerlei* bitkisinden izole edilmişdir [187]. Artemin, Artesin ve Umbelliferone *T. cadmeum* subsp. *cadmeum* bitkisinden izole edilmişdir [179]. Germacranolide with an 1,5-ether linkage *T. argyrophyllum* var. *argyrophyllum* bitkisinden izole edilmişdir [9].  $1\alpha$ -Hidroksi-deasetilirinol-4 $\alpha$ ,5 $\beta$ -epoksit *Tanacetum polycephalum* bitkisinden izole edilmişdir [196]. 5-Hidroksi-3',4',6,7-tetrametoksiflavon *Tanacetum chiliophyllum* var. *oligocephalum* bitkisinden izole edilmişdir [97]. Cirsilineol *Tanacetum sinaicum*, *Tanacetum chiliophyllum* var. *oligocephalum* ve *Tanacetum santolinoides* bitkilerinden izole edilmişdir [72], [97], [201].

*Tanacetum balsamita* subsp. *balsamitoides* bitkisinin MeOH ekstresinden Chrysanthemolide, Pallensis, 1,10-Epoksispiciformin, Taurin, 1-Asetilerivanin, Tavulin, Tanachin, Deasetil- $\beta$ -siklopyrethrosin, Cirsimarinin, 5,7,3'-Trihidroksi-6,4',5'-trimetoksiflavon, Isofraxidin, 7-Metoksikumarin ve Scopoletin izole edilmişdir. Çizelge 5.1'de TBB bitkisinin MeOH ektresinden izole edilen bileşikler verilmektedir.

TBB bitkisinin etil asetat ve MeOH ekstrelerinden Chrysanthemolide, Pallensis, 1,10-Epoksispiciformin, Taurin, 1-Asetilerivanin, Tavulin ortak izole edilen maddelerdir.

5,7,3'-Trihidroksi-6,4',5'-trimetoksiflavon ve 7-Metoksikumarin *Tanacetum* cinsinden ilk defa izole edilmişlerdir. 5,7,3'-Trihidroksi-6,4',5'-trimetoksiflavon *Artemisia herba-alba*, *Artemisia hispanica*, *Artemisia frigida*, *Artemisia argyri*, *Seriphidium stenocephalum*, *Gardenia sootepensis*, *Gardenia tubifera*, ve *Chrysanthemum sinense* bitkilerinden izole edilmişdir [209-216]. 7-Metoksikumarin *Chamomilla recutita*, *Anthemis mirheydari*, *Matricaria chamomilla* ve *Tagetes lucida* bitkilerinden izole edilmişdir [220-223].

Tanachin, Deasetil- $\beta$ -siklopyrethrosin, Cirsimarinin, Isofraxidin, ve Scopoletin bileşikleri daha önce *Tanacetum* türlerinden izole edilmişlerdir. Tanachin ve Deasetil- $\beta$ -siklopyrethrosin *T. cadmeum* subsp. *cadmeum*, *T. vulgare*, *T. argenteum* subsp. *canum* var. *canum*, *T. praeteritum*, *T. argenteum* subsp. *flabellifolium*, *T. argenteum*, *T. densum* subsp. *eginense*, *Tanacetum chiliophyllum* var. *heimerlei*, *T. densum* subsp. *sivasicum*, *T. polycephalum*, *Tanacetum ferulacum*, *T. argyrophyllum* var. *argyrophyllum*, *T. densum* subsp. *amani* ve *T. pseudoachillea* bitkilerinden izole edilmişdir [9], [10], [179], [188], [189], [190], [191], [192], [196], [197], [198], [206], [207]. Bu bileşikler *Tanacetum* türlerinde sıklıkla rastlanan bileşiklerdir. Cirsimarinin *T. chiliophyllum* var.

*oligocephalum* ve *Tanacetum cilicum* bitkilerinden [97], [208], Isofraxidin *T. cadmeum* subsp. *cadmeum*, *T. parthenium* ve *T. heterotomum* [217-219] bitkilerinden, Scopoletin *T. cadmeum* subsp. *cadmeum*, *T. ptarmicaeflorum* ve *T. ferulaceum* bitkilerinden [179], [189], [195] izole edilmiştir.

*Tanacetum mucroniferum* bitkisinin etil asetat ekstresinden Arsanin, 9 $\alpha$ -Asetoksiartecanin, **Mucronolide**, **Ajanolide A epoksit**,  $\alpha$ -Amirin, Salvigenin, 5-Hidroksi-3',4',6,7-tetrametoksiflavon, Cirsilineol, Scoparone, Cirsimarinin, Jaceosidin, 5,3',4'-Trihidroksi-3,6,7,5'-tetrametoksiflavon izole edilmiştir. Çizelge 5.2'de TM bitkisinin etil asetat ekstresinden izole edilen bileşikler verilmektedir.

**Mucronolide** ve **Ajanolide A epoksit** bileşikleri doğal bir kaynaktan ilk defa tarafımızdan izole edilmiştir. Ajanolide A daha önce *Ajania fruticulosa* bitkisinden izole edilmiştir [232]. Heliangolid yapısındaki seskiterpen laktalar yüksek anti-tümör aktivite göstermektedir [233]. Izole edilen yeni maddeler heliangolid yapısında ve bitki ektresinin ana bileşenlerini oluşturmaktadırlar. Bu nedenle *Tanacetum mucroniferum* bitkisinin iyi bir anti-tümör kaynağı olacağrı öngörmektedir.

5,3',4'-Trihidroksi-3,6,7,5'-tetrametoksiflavon Asteraceae familyasından ilk defa izole edilmiştir. 9 $\alpha$ -Asetoksiartecanin *Tanacetum* cinsinden ilk defa izole edilmiştir. 5,3',4'-Trihidroksi-3,6,7,5'-tetrametoksiflavon Cleomaceae familyasında yer alan *Cleome felina* bitkisinden daha önce izole edilmiştir [229]. 9 $\alpha$ -Asetoksiartecanin *Achillea clavennae* bitkisinden izole edilmiştir [225].

Arsanin,  $\alpha$ -Amirin, Salvigenin, 5-Hidroksi-3',4',6,7-tetrametoksiflavon, Cirsilineol, Scoparone, Cirsimarinin, Jaceosidin daha önce *Tanacetum* cinsinden izole edilmiştir. Arsanin maddesi *Tanacetum annuum* [224],  $\alpha$ -Amirin *T. argenteum* subsp. *flabellifolium*, *T. densum* subsp. *eginense* ve *T. vulgare* [190], [191], [224] bitkilerinden, Salvigenin *Tanacetum canescens* ve *Tanacetum cilicum* [96], [208] bitkilerinden, 5-Hidroksi-3',4',6,7-tetrametoksiflavon *T. chiliophyllum* var. *oligocephalum* [97], Cirsilineol *Tanacetum sinaicum*, *Tanacetum chiliophyllum* var. *oligocephalum* ve *Tanacetum santolinoides* [72], [97], [201] bitkilerinden, Scoparone *T. ptarmicaeflorum*, *T. ferulaceum* ve *T. oshanahanii* [186], [189], [195], Cirsimarinin *T. chiliophyllum* var. *oligocephalum* ve *Tanacetum cilicum* [97], [208], Jaceosidin ise *Tanacetum chiliophyllum* var. *oligocephalum*, *Tanacetum santolinoides*, *T. vulgare*, *T.*

*balsamita* ve *T. corymbosum* [72], [97], [227], [228] bitkilerinden daha önce izole edilmişlerdir.

*Tanacetum mucroniferum* bitkisinin MeOH ekstresinden ise **1 $\alpha$ ,3 $\beta$ ,10 $\alpha$ -Trihidroksi-7 $\alpha$ ,11 $\alpha$ H-germakra-4-en-12-6 $\alpha$ -olide, Ajanolide A epoksit, Mucronolide, Scopoletin, Umbelliferone, Scoparone, 5-Hidroksi-3',4',6,7-tetrametoksiflavon izole edilmiştir. Çizelge 5.2'de TM bitkisinin MeOH ektresinden izole edilen bileşikler verilmektedir.**

**1 $\alpha$ ,3 $\beta$ ,10 $\alpha$ -Trihidroksi-7 $\alpha$ ,11 $\alpha$ H-germakra-4-en-12-6 $\alpha$ -olide doğal bir kaynaktan ilk defa tarafımızdan izole edilmiştir. Scopoletin ve Umbelliferone daha önce *Tanacetum* cinsinden ve pek çok bitkiden izole edilmiştir.**

*T. mucroniferum* bitkisinin etil asetat ve MeOH ekstrelerinden, Ajanolide A epoksit, Mucronolide, Scoparone, 5-Hidroksi-3',4',6,7-tetrametoksiflavon ortak izole edilen bileşiklerdir.

Çizelge 5.1 TBB bitkisinden izole edilen bileşikler

<b>İzole edilen bileşiklerin isimleri</b>	<b>İzole edilen bileşiklerin formülleri</b>	<b>TBB EA Ekstresi</b>	<b>TBB MeOH Ekstresi</b>
<b>1<math>\alpha</math>-Asetoksi-3-<i>epi</i>-erivanin (Yeni)</b>	C <sub>17</sub> H <sub>24</sub> O <sub>5</sub>	<b>1<math>\alpha</math>-Asetoksi-3-<i>epi</i>-erivanin (Yeni)</b>	Tanachin
1 $\alpha$ -Asetoksi-11 $\beta$ (H),13-dihidrodouglanin	C <sub>17</sub> H <sub>24</sub> O <sub>4</sub>	1 $\alpha$ -Asetoksi-11 $\beta$ (H),13-dihidrodouglanin	Deasetil- $\beta$ -siklopyrethrosin
Taurin	C <sub>15</sub> H <sub>20</sub> O <sub>3</sub>	Taurin	Taurin
Tavulin	C <sub>15</sub> H <sub>20</sub> O <sub>4</sub>	Tavulin	Tavulin
Chrysanthemolide	C <sub>17</sub> H <sub>24</sub> O <sub>5</sub>	Chrysanthemolide	Chrysanthemolide
Pallensis	C <sub>15</sub> H <sub>20</sub> O <sub>4</sub>	Pallensis	Pallensis
1-Asetilerivanin	C <sub>17</sub> H <sub>24</sub> O <sub>5</sub>	1-Asetilerivanin	1-Asetilerivanin
1,10-Epoksispiciformin	C <sub>15</sub> H <sub>20</sub> O <sub>5</sub>	1,10-Epoksispiciformin	1,10-Epoksispiciformin
8 $\alpha$ -Hidroksisantamarin	C <sub>15</sub> H <sub>20</sub> O <sub>4</sub>	8 $\alpha$ -Hidroksisantamarin	Cirsimarin
Tamirin	C <sub>15</sub> H <sub>18</sub> O <sub>4</sub>	Tamirin	5,7,3'-Trihidroksi-6,4',5'-trimetoksiflavon
Artemin	C <sub>15</sub> H <sub>22</sub> O <sub>4</sub>	Artemin	7-Metoksikumarin
Artesin	C <sub>15</sub> H <sub>22</sub> O <sub>3</sub>	Artesin	Isofraxidin
Germacranolide with an 1,5-ether linkage	C <sub>15</sub> H <sub>18</sub> O <sub>4</sub>	Germacranolide with an 1,5-ether linkage	Scopoletin

Çizelge 5.1 TBB bitkisinden izole edilen bileşikler (devamı)

<b>İzole edilen bileşiklerin isimleri</b>	<b>İzole edilen bileşiklerin formülleri</b>	<b>TBB EA Ekstresi</b>	<b>TBB MeOH Ekstresi</b>
1 $\alpha$ -Hidroksi-deasetilirinol-4 $\alpha$ ,5 $\beta$ -epoksit	C <sub>15</sub> H <sub>20</sub> O <sub>5</sub>	1 $\alpha$ -Hidroksi-deasetilirinol-4 $\alpha$ ,5 $\beta$ -epoksit	
1 $\alpha$ ,8 $\alpha$ -Dihidroksi-10- <i>epi</i> -arbusculin A	C <sub>15</sub> H <sub>20</sub> O <sub>4</sub>	1 $\alpha$ ,8 $\alpha$ -Dihidroksi-10- <i>epi</i> -arbusculin A	
Santonin	C <sub>15</sub> H <sub>18</sub> O <sub>3</sub>	Santonin	
Tanachin	C <sub>15</sub> H <sub>20</sub> O <sub>4</sub>	$\beta$ -sitosterol	
Deasetil- $\beta$ -cyclopyrethrosin	C <sub>15</sub> H <sub>20</sub> O <sub>4</sub>	Circilineol	
5-Hidroksi-3',4',6,7-tetrametoksiflavon	C <sub>19</sub> H <sub>18</sub> O <sub>7</sub>	5,3'-Dihidroksi-6,7,4',5'-tetrametoksiflavon	
Circilineol	C <sub>18</sub> H <sub>15</sub> O <sub>7</sub>	Umbelliferone	
5,3'-Dihidroksi-6,7,4',5'-tetrametoksiflavon	C <sub>19</sub> H <sub>18</sub> O <sub>8</sub>	5-Hidroksi-3',4',6,7-tetrametoksiflavon	
Umbelliferone	C <sub>9</sub> H <sub>6</sub> O <sub>3</sub>		
Cirsimaritin	C <sub>17</sub> H <sub>14</sub> O <sub>6</sub>		
5,7,3'-Trihidroksi-6,4',5'-trimetoksiflavon	C <sub>18</sub> H <sub>16</sub> O <sub>8</sub>		
7-Metoksikumarin	C <sub>10</sub> H <sub>18</sub> O <sub>3</sub>		
Isofraxidin	C <sub>11</sub> H <sub>10</sub> O <sub>5</sub>		
Scopoletin	C <sub>10</sub> H <sub>8</sub> O <sub>4</sub>		
$\beta$ -Sitosterol	C <sub>29</sub> H <sub>50</sub> O		

Çizelge 5.2 TM bitkisinden izole edilen bileşikler

<b>İzole edilen bileşiklerin isimleri</b>	<b>İzole edilen bileşiklerin formülleri</b>	<b>TM EA Ekstresi</b>	<b>TM MeOH Ekstresi</b>
<b>Mucronolide (Yeni)</b>	C <sub>17</sub> H <sub>24</sub> O <sub>5</sub>	<b>Mucronolide (Yeni)</b>	<b>Mucronolide (Yeni)</b>
<b>Ajanolide A epoksit (Yeni)</b>	C <sub>17</sub> H <sub>24</sub> O <sub>5</sub>	<b>Ajanolide A epoksit (Yeni)</b>	<b>Ajanolide A epoksit (Yeni)</b>
<b>1<math>\alpha</math>,3<math>\beta</math>,10<math>\alpha</math>-Trihidroksi-7<math>\alpha</math>,11<math>\alpha</math>H-germakra-4-en-12-6<math>\alpha</math>-olide (Yeni)</b>	C <sub>15</sub> H <sub>24</sub> O <sub>5</sub>	9 $\alpha$ -Asetoksiartecanin	<b>1<math>\alpha</math>,3<math>\beta</math>,10<math>\alpha</math>-Trihidroksi-7<math>\alpha</math>,11<math>\alpha</math>H-germakra-4-en-12-6<math>\alpha</math>-olide (Yeni)</b>
9 $\alpha$ -Asetoksiartecanin	C <sub>17</sub> H <sub>20</sub> O <sub>6</sub>	Arsanin	5-Hidroksi-3',4',6,7-tetrametoksiflavon
Arsanin	C <sub>15</sub> H <sub>22</sub> O <sub>4</sub>	Salvigenin	Scopoletin
5,3',4'-Trihidroksi-3,6,7,5'-tetrametoksiflavon	C <sub>19</sub> H <sub>18</sub> O <sub>9</sub>	5,3',4'-Trihidroksi-3,6,7,5'-tetrametoksiflavon	Umbelliferone
Salvigenin	C <sub>18</sub> H <sub>16</sub> O <sub>6</sub>	5-Hidroksi-3',4',6,7-tetrametoksiflavon	Scoparone
5-Hidroksi-3',4',6,7-tetrametoksiflavon	C <sub>19</sub> H <sub>18</sub> O <sub>7</sub>	Cirsilineol	
Cirsilineol	C <sub>18</sub> H <sub>16</sub> O <sub>7</sub>	Cirsimarinin	
Cirsimarinin	C <sub>17</sub> H <sub>14</sub> O <sub>6</sub>	Jaceosidin	
Jaceosidin	C <sub>17</sub> H <sub>14</sub> O <sub>7</sub>	Scoparone	
Scoparone	C <sub>11</sub> H <sub>10</sub> O <sub>4</sub>	$\alpha$ -Amirin	
$\alpha$ -Amirin	C <sub>30</sub> H <sub>50</sub> O		
Scopoletin	C <sub>10</sub> H <sub>8</sub> O <sub>4</sub>		

TBB etil asetat ekstresinin sekonder metabolit içeriğine bakıldığından; 16 seskiterpen lakton, 3 flavon, 1 kumarin ve 1 steroid olmak üzere 21 molekülün yapısı spektral yöntemlerle aydınlatılmıştır. Seskiterpen laktonlardan 11 molekülün ödesmanolid ve 5 molekülün germakranolid yapıda olduğu belirlenmiştir.

TM etil asetat ekstresinin sekonder metabolit içeriğine bakıldığından; 4 seskiterpen lakton, 6 flavon, 1 kumarin ve 1 triterpen olmak üzere 12 molekülün yapısı spektral yöntemlerle aydınlatılmıştır. Seskiterpen laktonlardan 2 molekülün heliangolid, 1 molekülün gayanolid ve 1 molekülün ödesmanolid yapıda olduğu belirlenmiştir.

Her iki bitkinin etil asetat ekstrelerinden toplam 33 molekülün yapısı aydınlatılmıştır. Bu maddeler içinde 5-Hidroksi-3',4',6,7-tetrametoksiflavon ve Cirsilineol her iki ekstreden ortak izole edilmiştir. Her iki ekstrenin içermiş olduğu sekonder metabolit benzerlik oranı %6 civarında görülmektedir. TBB bitkisinin etil asetat ekstresinde ağırlıklı olarak ödesmanolid yapıda seskiterpen laktonlar görülürken, TM bitkisinde ise heliangolid yapıda seskiterpen laktonlar bulunmaktadır. Her iki bitkinin etil asetat ekstrelerini karşılaştırduğumuzda sekonder metabolit içeriklerinin % 94 civarında birbirinden farklı görülmektedir. Çizelge 5.3'te TBB ve TM bitkilerinin etil asetat ekstrelerinden izole edilen bileşiklerin karşılaştırılması verilmektedir.

**Çizelge 5.3 TBB ve TM bitkilerinin etil asetat ekstrelerinden izole edilen bileşiklerin karşılaştırılması**

<b>TBB EA Ekstresi</b>	<b>TM EA Ekstresi</b>	<b>Ortak izole edilen maddeler</b>
<b>1<math>\alpha</math>-Asetoksi-3-<i>epi</i>-erivanin (Yeni)</b>	<b>Mucronolide (Yeni)</b>	5-Hidroksi-3',4',6,7-tetrametoksiflavon
1 $\alpha$ -Asetoksi-11 $\beta$ (H),13-dihidrodouglanin	<b>Ajanolide A epoksit (Yeni)</b>	Cirsilineol
Taurin	9 $\alpha$ -Asetoksiartecanin	
Tavulin	Arsanin	
Chrysanthemolide	Salvigenin	

Çizelge 5.3 TBB ve TM bitkilerinin etil asetat ekstrelerinden izole edilen bileşiklerin karşılaştırılması (devamı)

TBB EA Ekstresi	TM EA Ekstresi	Ortak izole edilen bileşikler
1 $\alpha$ -Hidroksi-deasetilirinol-4 $\alpha$ ,5 $\beta$ -epoksit	5,3',4'-Trihidroksi-3,6,7,5'-tetramethoxyflavone	
Germacranolide with an 1,5-ether linkage	5-Hidroksi-3',4',6,7-tetrametoksiflavon	
1,10-Epoksispiciformin	Cirsilineol	
8 $\alpha$ -Hidroksisantamarin	Cirsimarin	
Tamirin	Jaceosidin	
Artemin	Scoparone	
Artesin	$\alpha$ -Amirin	
1-Asetilerivanin		
Pallensis		
1 $\alpha$ ,8 $\alpha$ -Dihidroksi-10- <i>epi</i> -arbusculin A		
Santonin		
5-Hidroksi-3',4',6,7-tetrametoksiflavon		
Circilineol		
5,3'-Dihidroksi-6,7,4',5'-tetrametoksiflavon		
Umbelliferone		
$\beta$ -Sitosterol		

TBB MeOH ekstresinden 8 seskiterpen lakton, 2 flavon ve 3 kumarin olmak üzere 13 molekülün yapısı spektral yöntemlerle aydınlatılmıştır. Seskiterpen laktonlardan 5 molekülün ödesmanolid ve 3 molekülün germakranolid yapıda olduğu belirlenmiştir.

TM MeOH ekstresinin sekonder metabolit içeriğine bakıldığından, 3 seskiterpen lakton, 1 flavon ve 3 kumarin olmak üzere 7 molekülün yapısı spektral yöntemlerle aydınlatılmıştır. Seskiterpen laktonlardan 2 molekülün heliangolid ve 1 molekülün germakranolid yapıda olduğu belirlenmiştir.

Her iki bitkinin MeOH ekstrelerinden toplam 20 molekülün yapısı aydınlatılmıştır. Bu maddeler içerisinde Scopoletin her iki ekstreden ortak izole edilmiştir. Her iki ekstrenin içermiş olduğu sekonder metabolit benzerlik oranı %5 civarında görülmektedir. TBB bitkisinin MeOH ekstresinde ağırlıklı olarak ödesmanolid yapıda seskiterpen laktonlar görülürken, TM bitkisinde ise heliangolid yapıda seskiterpen laktonlar bulunmaktadır. Her iki bitkinin MeOH ekstrelerini karşılaştırdığımızda sekonder metabolit içerikleri % 95 civarında birbirinde farklı görülmektedir. Çizelge 5.4'te TBB ve TM bitkilerinin etil MeOH ekstrelerinden izole edilen maddelerin karşılaştırılması verilmektedir.

Her iki bitkiden 23 tane seskiterpen lakton, 11 tane flavonoid, 7 tane kumarin, 1 triterpen ve 1 steroid olmak üzere toplam 43 molekülün yapısı spektral yöntemlerle aydınlatılmıştır. Bu moleküller içinde 5-Hidroksi-3',4',6,7-tetrametoksiflavon, Cirsilineol, Umbelliferone, Cirsimarin ve Scopoletin her iki bitkiden ortak izole edilmiştir. Her iki bitkinin içermiş olduğu sekonder metabolit benzerlik oranı % 11.6 civarında görülmektedir.

*Tanacetum balsamita* ssp. *balsamitoides* bitkisi David'in teşhis anahtarında A ve C gruplarında, *Tanacetum mucroniferum* bitkisi ise A grubunda yer almaktadır [32]. Her iki bitkinin A grubunda yer alması benzer taksonomik özellikler gösterdiğini ifade etmektedir. Bu nedenle sekonder metabolit içeriklerinin % 11.6 benzerlik göstermesi kemo-taksonomik açıdan bu durumu doğrulamaktadır. Ancak, *Tanacetum balsamita* ssp. *balsamitoides* bitkisinin C grubunda da yer alması nedeniyle bir takım taksonomik özelliklerin farklı olduğunu işaret etmektedir. Her iki bitkinin yüksek oranda farklı sekonder metabolit içeriğine sahip olduğu bu farklılığı kemo-taksonomik açıdan ortaya koymaktadır.

Çizelge 5.4 TBB ve TM bitkilerinin MeOH ekstrelerinden izole edilen bileşiklerin karşılaştırılması

TBB MeOH Ekstresi	TM MeOH Ekstresi	Ortak izole edilen bileşikler
Tanachin	<b>Mucronolide (Yeni)</b>	Scopoletin
Deasetil- $\beta$ -siklopyrethrosin	<b>Ajanolide A epoksit (Yeni)</b>	
Taurin	<b>1<math>\alpha</math>,3<math>\beta</math>,10<math>\alpha</math>-Trihidroksi-7<math>\alpha</math>,11<math>\alpha</math>H-germakra-4-en-12-6<math>\alpha</math>-olide (Yeni)</b>	
Tavulin	5-Hidroksi-3',4',6,7-tetrametoksiflavon	
Chrysanthemolide	Scopoletin	
Pallensis	Umbelliferone	
1-Asetilerivanin	Scoparone	
1,10-Epoksispiciformin		
Cirsimarinin		
5,7,3'-Trihidroksi-6,4',5'-trimetoksiflavon		
7-Metoksikumarin		
Isofraxidin		
Scopoletin		

Sonuç olarak;

- *Tanacetum balsamita* subsp. *balsamitoides* bitkisinin etil asetat ekstresinden bir adet yeni ödesmanolid yapıda seskiterpen laktan **1 $\alpha$ -Asetoksi-3-*epi*-erivanin** ilk defa tarafımızdan izole edilmiştir.
- *Tanacetum balsamita* subsp. *balsamitoides* bitkisinin etil asetat ekstresinden **1 $\alpha$ -Asetoksi-11 $\beta$ (H),13-dihidrodoglanin**, Chrysanthemolide, Pallensis, 1-Asetilerivanin, 5,3'-Dihidroksi-6,7,4',5'-tetrametoksiflavon, 1 $\alpha$ ,8 $\alpha$ -Dihidroksi-10-*epi*-arbusculin A *Tanacetum* cinsinden ilk defa izole edilmiştir.
- *Tanacetum balsamita* subsp. *balsamitoides* bitkisinin MeOH ekstresinden 5,7,3'-Trihidroksi-6,4',5'-trimetoksiflavon ve 7-Metoksikumarin *Tanacetum* cinsinden ilk defa izole edilmiştir.
- *Tanacetum mucroniferum* bitkisinin etil asetat ekstresinden iki adet yeni heliangolid yapıda seskiterpen laktan **Mucronolide**, **Ajanolide A epoksit** ilk defa tarafımızdan izole edilmiştir. Heliangolid yapıdaki seskiterpen laktonların yüksek anti-tümör aktivite göstermesi nedeniyle izole edilen bu yeni maddelerinde yüksek anti-tümör aktiviteye sahip olacağı öngörülmektedir.
- *Tanacetum mucroniferum* bitkisinin etil asetat ekstresinden 5,3',4'-Trihidroksi-3,6,7,5'-tetrametoksiflavon Asteraceae familyasında ilk defa izole edilmiştir. *Tanacetum mucroniferum* bitkisinin etil asetat ekstresinden **9 $\alpha$ -Asetoksiartecanin** *Tanacetum* cinsinden ilk defa izole edilmiştir.
- *Tanacetum mucroniferum* bitkisinin MeOH ekstresinden bir adet yeni germakranolid yapıda seskiterpen laktan **1 $\alpha$ ,3 $\beta$ ,10 $\alpha$ -Trihidroksi-7 $\alpha$ ,11 $\alpha$ H-germakra-4-en-12-6 $\alpha$ -olide** ilk defa tarafımızdan izole edilmiştir.
- *Tanacetum mucroniferum* bitkisinin uçucu yağı yüksek oranda asetilkolinesteraz inhibisyonu göstermiştir. Bitkinin yüksek asetilkolinesteraz inhibisyonuna sahip olması, düşük toksisitede yüksek insektisit aktivite gösterme olasılığını kuvvetlendirmektedir.
- *Tanacetum mucroniferum* bitkisinin uçucu yağı, çok düşük PRAP antioksidan aktivite göstermiştir. *Tanacetum mucroniferum* bitkisinin uçucu yağı, hücre hatlarına karşı herhangi bir sitotoksik aktivite göstermemiştir.

## KAYNAKLAR

---

- [1] Baykal, T., (1997). "Doğal Kaynaklı Bileşiklerin Biyolojik Aktivite Yönünden Değerlendirilmesi ve Tedavideki Yeri", GE, 46: 21-22.
- [2] Dülger, B., Ceylan, M., Alıtsaos, M. ve Uğurlu, E., (1999). "*Artemisia absinthium* L. (Pelin)'un Antimikrobiyal Aktivitesi", Tr. J. of Botany, 23(3): 377-384.
- [3] Tadeg, H., Mohammed, E., Asres, K. ve Mariam, T.G., (2005). "Antimicrobial Activities of Some Selected Traditional Ethiopian Medicinal Plants Used in Treatment of Skin Disorders", J. of Ethnopharmacol., 100(1): 168-175.
- [4] Bourgaud, F., Gravot, A., Milesi, S. ve Gontier, E., (2001). "Production of Plant Secondary Metabolites; a Historical Perspective", Plant Sci., 161: 839-851.
- [5] Verpoorte, R., Van Der Heijden, R., Ten Hoopen, H.J.G. ve Memelink, J., (1999). "Metabolic Engineering of Plant Secondary Metabolite Pathways for the Fine Chemical", Biotec.Lett., 21: 467-479.
- [6] Charwood, B.V., Rhodes, M.J.C., (1990). "Secondary Products from Plant Tissue Culture", ISBN: 0-19-857717-6. Clarendon Press., New York.
- [7] Ramachandra Rao, R.S. ve Ravishankar, G.A., (2002). "Plant Cell Cultures: Chemical Factories of Secondary Metabolites", Biotech. Adv., (20): 101-153.
- [8] Picman, A.A., (1986)., "Biological Activities of Sesquiterpene Lactone" Biochem. Systematic and Ecology, 11(4): 321-327.
- [9] Gören, N., Jakupovic, J. ve Topal, S., (1990). "Sesquiterpene Lactones with Antibacterial Activity from *T. argyrophyllum* var. *argyrophyllum*", Phytochemistry, 29(5): 1467-1469.
- [10] Gören, N., Ulubelen, A., Bozok-Johanson, C. ve Tahtasakal, E., (1993). "Sesquiterpene Lactones from *Tanacetum densum* subsp. *amanii*", Phytochemistry, 33(5): 1157-1159.
- [11] Gören, N., Tahtasakal, E., Pezzuto, J.M., Cordell, G.A., Schwarz, B. ve Proksch, P., (1994). "Sesquiterpene Lactones from *Tanacetum argenteum*", Phytochemistry, 36(1): 389-392.

- [12] Schearer, W.R., (1984). "Components of Oil of Tansy (*Tanacetum vulgare*) that Repel Colorado Potato Beetles (*Leptinotarsa decemlineata*)", J. Nat. Prod., 47(6): 964-969.
- [13] Thomas, O. O., (1989). "Antibacterial properties of the leaf and flower oils of *Tanacetum macrophyllum*", Fitoterapia, 60: 327-328.
- [14] Thiery, D., Gabel, B., Suchy, V., Marison-Poll, F., Hradasky, P. ve Farkas, P., (1992). "Floral Volatiles of *Tanacetum vulgare* L. Attractive to *Lobesia botrana* Den. Et Schiff. Females", J. Chem. Ecol., 18(5): 693-700.
- [15] Asımgil, A., (1993). "Şifalı Bitkiler", Timas Yayınları, İstanbul.
- [16] British Herbal Medicine Association, (1996). "British Herbal Pharmacopoeia", Published by the British Herbal Medicine Association and Completely Revised by its Scientific Committee 4th edition, 81-82.
- [17] Kalodera, Z., Papelnjak, S., Balzevic, N. ve Petrak, T., (1997). "Chemical composition and antimicrobial activity of *Tanacetum parthenium* oil", Pharmazie, 52(11): 885-886.
- [18] Bruneton, J., (1999). "Pharmacognosy Phytochemistry Medical Plant", Second edition, Hampshire Intercept Press., Paris.
- [19] Urzua, A., (2003). "Antibacterial Activity of Fresh Flower Heads of *Chrysanthemum coronarium*", Fitoterapia, 74: 606-608.
- [20] Juteau, F., Jerkovic, I., Masotti, V., Milos, M., Mastelic, J., Bessiere, J.M. ve Viano, J., (2003). "Composition and Antimicrobial Activity of The Essential Oil of *Artemisia absinthium* from Croatia and France", Planta Med., 69: 158-159.
- [21] Charwood, B.V., Rhodes, M.J.C., (1990). "Secondary Products from Plant Tissue Culture", ISBN: 0-19-857717-6. Clarendon Press., New York.
- [22] Ramachandra Rao, R. S. ve Ravishankar, G. A., (2002). "Plant Cell Cultures: Chemical Factories of Secondary Metabolites", Biotech. Adv., 20: 101-153.
- [23] D'Amelio F. Sr., Roton B., (1999). "Botanicals A Phytochemical Desk Reference", CRC Press., New York.
- [24] Newall C. A., Anderson L. A., Phillipson J. D., (1996). "Herbal Medicine;A Guide for health care professionals", 2. Edition, London Pharmaceutical Pres, London.
- [25] Nottingham, S.F. ve Hardie, J., (1993). "Flight Behavior of the Black Bean Aphid, *Aphis fabae*, and the Cabbage Aphid, *Brevicoryne brassicae*, in Host and Non-host Plant Odour", Physiol. Entomol., 18:389-394.
- [26] Poucher, W. A., (1974). "Perfumer Cosmetics and Soaps" , 7th edition, Chapman and Hall London Halsted press Book John Wiley & Sons, New York.
- [27] Reclu M., (1925). "Guide De L'Herboriste", Paris Librairie J.-B. Bailliere et fils 19, Rue Hautefeuille, Paris.
- [28] Thiery, D. ve Gabel, B., (1994). "Non-Host Plant Odor (*Tanacetum vulgare*; Asteraceae) Affets the Reproductive Behavior of *Lobesia botrana* Den. Et Schiff (Lepidoptera: Tortricidae)", Journal of Insect Behavior, 7(2): 149-157.

- [29] Gören N., Arda N., Çalışkan Z., (2002). "Chemical Characterization and Biological Activities of the Genus *Tanacetum* (Compositae)", Studies in Natural Products Chemistry, Vol. 27 Edited by Atta-ur Rahman, Elsevier Science Press.
- [30] Güenther, E., (1948). "The Essential Oils", 5. edition, D. Van Nostard Company Inc., Princeton, New Jersey.
- [31] Spitzer, C. ve Steelink, C., (1966). "Sesquiterpene Lactones in Chemotaxonomy", Phytochemistry, 5: 357-365.
- [32] Davis, P.H., Matthews, V.A., Kupicha, F. K. ve Parris, B.S., (1975). "Flora of Turkey and East Aegan Islands", Fifth edition, Edinburgh at the University Press, Edinburgh.
- [33] Heywood, V.H., (1978). "Flowering Plants of the World", Oxford University Press, London.
- [34] Akman, Y., (1998). "Bitki Biyoteknolojisine Giriş" 8. Baskı, Palme Yayınları, Ankara.
- [35] Duke, J.A., (1987). "Handbook of Medicinal Herbs", CRC Press, Florida.
- [36] Hendriks, H., Elst, D.J.D.V.D., Putten F.M.S.V. ve Bos, R., (1990)."The Essential Oil of Dutch Tansy (*Tanacetum vulgare* L.)", J. Essential Oil Research, 2: 155-162.
- [37] Groom, N., (1997)."The New Perfume Handbook", Blackie Academic Press, 325, London.
- [38] Güven, A., Yürekli, A. K., (1991)."Fırat Havzasında Yayılış Gösteren *Tanacetum* Türlerinin Ekonomik Potansiyeli", 6-8 Ekim 1986 Fırat Havzası Tıbbi Endüstriyel Bitkileri Sempozyumu, Editörler: Baltepe., Babaç M. T., Evren H.251-259, Elazığ.
- [39] Sezik, E., Yeşilada, E., Tabata, M., Honda, G., Takaishi, Y., Fujita, T., Tanaka, T. ve Takeda, Y., (1997). "Traditional medicine in Turkey VIII. Folk medicine in east anatolia; Erzurum, Erzincan, Ağrı, Kars, İğdır provinces", Economic Botany, 51(3): 195-211.
- [40] Dewick, P.M., (2001). "Medicinal Natural Products 'A Biosynthetic Approach", Second Edition, John Wiley & Sons Ltd. Baffins Lane, Chichester.
- [41] Breitmaier, E.,(2006). "Terpenes: Importance, General Structure and Biosynthesis", WILEY-VCH Verlag GmbH & Co. KGaA, Weinheim.
- [42] Yurkanis, P., (1998). "Organic Chemistry", Second Edition, Prentice Hall, Chapter 23, Santa Barbara.
- [43] Teisseire, P.J., (1994). "Chimie des Substances Odorantes", Tercüme:Peter A. Cadby, VCH Publishers, New York.
- [44] Croteau, R., Kutchan, M.T. ve Lewis, G.N., (2000). "Natural Products (Secondary Metabolities)", The Royal Society of Chemistry, Cambridge.
- [45] Seto, H. ve Kuzuyama, T., (2003). "Diversity of The Biosynthesis of The Isoprene Units", Natural Product Reports, 20: 171-183.

- [46] Geissman, T. A. ve Crout, D. H. G., (1969). "Organic Chemistry of Secondary Plant Metabolism", California: Freeman, Cooper and Company, California.
- [47] Fischer, N. H., (1986)."The Function of Mono and Sesquiterpenes as Plant Germination and Growth Regulators, In: The Science of Allelopathy", Derleyen: Putnam A., Shih Tang C., John Wiley and Sons, New York.
- [48] Halfon, B., (2005). Natural Products Lecture Notes, Boğaziçi University Press, İstanbul
- [49] Rodriguez, E., Towers, G.H.N. ve Mitchell, J. C., (1976)."Biological Activities of Sesquiterpene Lactones", Phytochemistry, 15: 1573-1580.
- [50] Spitzer, C. ve Steelink, C., (1966)."Sesquiterpene Lactones in Chemotaxonomy", Phytochemistry, 5: 357-365.
- [51] Zdero, C. ve Bohlmann, F., (1990)."Systematics and evolution within the Compositae, seen with the eyes of a chemist", Plant Systematics and Evolution, 171: 1-14.
- [52] Staneva, J.D., Todorova, M.N. ve Evstatieva, L.N., (2008)."Sesquiterpene lactones as chemotaxonomic markers in genus *Anthemis*", Phytochemistry, 69: 607-618.
- [53] Zidorn, C., (2008). "Sesquiterpene lactones and their precursors as chemosystematic markers in the tribe *Cichorieae* of the *Asteraceae*", Phytochemistry, 69: 2270-2296.
- [54] Klein, C.D., Bachelier, A. ve Mayer, R., (2006). "Sesquiterpene lactones are potent and irreversible inhibitors of the antibacterial target enzyme Mur A", Bioorganic & Medicinal Chemistry Letters, 16: 5605-5609.
- [55] Cseke, L.J., Kirakosyan, A., Kaufman,P.B., Warber, S.L., Duke, J.A. ve Brielmann, H.L., (2006). "Natural Products from Plants", 2.nd Edition, CRC Press, Boca Raton, Florida.
- [56] Boiteau, P., Pasich, B. ve Ratsimamanga, A.R., (1964)."Les Triterpenoids". Paris, Gauthier-Villards, pp. 3, 32, 184, 469.
- [57] Budzikiewicz H., Wilson J.M. ve Djerasi C., (1964). "Structural elucidation of natural products by mass", J. Amer. Chem. Soc., 85:3688.
- [58] Simmonds, M.S.J., (2001)."Importance of Flavonoids in Insect-Plant Interactions Feeding and Oviposition", Phytochemistry, 56: 245-252.
- [59] Korkina, L.G. ve Afanas'ev, I.B., (1997)."Antioxidant and Chelating Properties of Flavonoids", Adv Pharmacol, 38:151–63.
- [60] Shoskes, D.A., (1998). "Effect of Bioflavonoids Quercetin and Curcumin on Ischemic Renal Injury: A New Class of Renoprotective Agents", Transplantation, 66:147–52.
- [61] Mabry, T. J., Markham, K.R. ve Thomas, M.B., (1970). "The Systematic Identification of Flavonoids", Springer Verlag, Berlin.

- [62] Mabry T.J. ve Ulubelen, A., (1980). “Chemistry and utilization of phenylpropanoids including flavonoids, coumarins, and lignans” J. Agric. and Food Chemistry, 28(2):188-196.
- [63] Çakar, B., (2010). “*Ferulago idaea* ve *Ferulago trojana* Bitkilerindeki Sekonder metabolitlerin İzolasyonu, Antioksidan ve Antikolinesteraz Aktivitelerinin İncelenmesi”, Yüksek Lisans Tezi, İstanbul Teknik Üniversitesi Fen Bilimleri Enstitüsü, İstanbul.
- [64] El-Khatib, R.M. ve Nassr, L.A.E., (2007).“Reactivity Trends of The Base Hydrolysis of Coumarin and Thiocoumarin an Binary Aqueous Methanol Mixtures at Different Temperature”, SpectrochimicaActa, 67:643-648.
- [65] Boğa, M., (2005). “Kumarin Türevi Yeni 14:4 Taç Eter Bileşiklerinin Sentezi ve Yapılarının Aydınlatılması”, Yüksek Lisans Tezi, Marmara Üniversitesi Fen Bilimleri Enstitüsü, İstanbul.
- [66] Polatoglu, K., (2009). “*Tanacetum chilioiphllum* (Fisch. & Mey.) Schultz Bip. Türü Varyeteleri Üzerinde Karşılaştırmalı Fitokimyasal ve Biyolojik Araştırmalar”, Doktora Tezi, Yıldız Teknik Üniversitesi Fen Bilimleri Enstitüsü, İstanbul.
- [67] Farzadfar, S., Zarinkamar, F., Behmanesh, M. ve Hojati, M., (2016). “Magnesium and manganese interactively modulate parthenolide accumulation and the antioxidant defense system in the leaves of *Tanacetum parthenium*”, J Plant Physiol., 202: 10-20.
- [68] Dissanayake, A.A., Bejcek, B.E., Zhang, C.R. ve Nair, M.G., (2016). “Sesquiterpenoid Lactones in *Tanacetum huronense* Inhibit Human Glioblastoma Cell Proliferation”, Nat Prod Commun., 11(5):579-82.
- [69] Bhat, G., Masood, A., Ganai, B.A., Hamza, B., Ganie, S., Shafi, T., Idris, A., Shawl, A.S. ve Tantry, M.A., (2016). “Gracilone, a new sesquiterpene lactone from *Tanacetum gracile* (Tansies)”, Nat Prod Res., 27: 1-8.
- [70] Duan, D., Zhang, J., Yao, J., Liu, Y. ve Fang, J., (2016). “Targeting Thioredoxin Reductase by Parthenolide Contributes to Inducing Apoptosis of HeLa Cells”, J Biol Chem., 291(19):10021-31.
- [71] Sharma, N., Kumar, C., Dutt, P., Gupta, S., Satti, N.K., Chandra, S., Kitchlu, S., Paul, S., Vishwakarma, R.A. ve Verma, M.K., (2016). “Isolation, Chemical Fingerprinting and Simultaneous Quantification of Four Compounds from *Tanacetum gracile* Using a Validated HPLC-ESI-QTOF-Mass Spectrometry Method”, J Chromatogr Sci., 54(5):796-804.
- [72] Marzouk, M.M., Mohamed T.A., Elkhateeb, A., El-toumy, S.A. ve Hegazy, F.E.M., (2016). “Phenolics from *Tanacetum sinaicum* (Fresen.) Delile ex Bremer & Humphries (Asteraceae)”, Biochemical Systematics and Ecology, 65:143–146.
- [73] Gecibeşler, İ.H., Koçak, A. ve Demirtaş, İ., (2016). “Biological activities, phenolic profiles and essential oil components of *Tanacetum cilicicum* (BOISS.) GRIERS”, Nat. Prod. Res., 8:1-6.
- [74] Sharma, N., Kumar, C., Dutt, P., Gupta, S., Satti, N.K., Chandra, S., Kitchlu, S., Paul, S., Vishwakarma, R.A. ve Verma, M.K., (2016). “Isolation, Chemical

- Fingerprinting and Simultaneous Quantification of Four Compounds from *Tanacetum gracile* Using a Validated HPLC-ESI-QTOF-Mass Spectrometry Method”, J. Chromatogr. Sci.,54(5):796-804.
- [75] Ciesielczuk, T., Poluszyńska, J., Rosik-Dulewska, C., Sporek, M. ve Lenkiewicz, M., (2016).“Uses of weeds as an economical alternative to processed wood biomass and fossil fuels”, Ecological Engineering, 95:485–491.
- [76] Minkina, M. T., Mandzhieva, S. S., Chaplygin, V. A., Bauer, T. V., Burachevskaya, M.V., Nevidomskaya, D.G., Sushkova, S.N., Sherstnev, A.K., Zamulina, I.V., (2016). “Content and distribution of heavy metals in herbaceous plants under the effect of industrial aerosol emissions”, Journal of Geochemical Exploration,(baskıda).
- [77] Stanković, N., Mihajlov-Krstev, T.,Zlatković, B., Stankov-Jovanović, V., Mitić, V., Jovana Jović, J., Čomić, L., Kocić, B. ve Bernstein,N., (2016). “Antibacterial and Antioxidant Activity of Traditional Medicinal Plants from the Balkan Peninsula”, NJAS - Wageningen Journal of Life Sciences,78: 21–28.
- [78] Orhan, I.E., Tosun, F., Gülpınar, A.R., Kartal, M., Duran, A., Mihoglugil, F. ve Akalgan, D., (2015). “LC–MS quantification of parthenolide and cholinesterase inhibitory potential of selected *Tanacetum* L. (Emend. Briq.) taxa”, Phytochemistry Letters, 11: 347–352.
- [79] Tsai, T.Y., Lou, S.L., Cheng, K.S., Wong, K. L., Wang, M.L., Su, T.H., Chan, P. ve Leung,Y.M., (2015). “Repressed Ca(2+) clearance in parthenolide-treated murine brain bEND.3 endothelial cells”, Eur J Pharmacol., 769:280-6.
- [80] De, D., Khullar, G. ve Handa, S., (2015). “Performance of a commercially available plant allergen series in the assessment of suspected occupational contact dermatitis to plants in north Indian patients”, Indian J Dermatol Venereol Leprol., 81(4):376-9.
- [81] Majdi, M.,Abdollahi, M.R. ve Maroufi, A., (2015).“Parthenolide accumulation and expression of genes related to parthenolide biosynthesis affected by exogenous application of methyl jasmonate and salicylic acid in *Tanacetum parthenium*”, Plant Cell Rep., 34(11):1909-18.
- [82] Sinha, S., Amin, H., Nayak, D., Bhatnagar, M., Kacker, P., Chakraborty, S., Kitchlu, S., Vishwakarma, R., Goswami, A. ve Ghosal, S., (2015). “Assessment of microtubule depolymerization property of flavonoids isolated from *Tanacetum gracile* in breast cancer cells by biochemical and molecular docking approach”, Chem Biol Interact., 239:1-11.
- [83] Álvarez, A.L., Habtemariam, S., Abdel Moneim, A. E., Melón, S., Dalton, K.P. ve Francisco Parra, F., (2015).“A spiroketal-enol ether derivative from *Tanacetum vulgare* selectively inhibits HSV-1 and HSV-2 glycoprotein accumulation in Vero cells”, Antiviral Research, 119: 8–18.
- [84] Di Cesare Mannelli, L., Tenci, B., Zanardelli, M., Maidecchi, A., Lugli, A., Mattoli, L. ve Ghelardini, C., (2015). “Widespread pain reliever profile of a flower extract of *Tanacetum parthenium*”, Phytomedicine, 22(7-8):752-8.
- [85] Karimian, H.,Fadaeinab, M., Moghadamtousi, S.Z., Hajrezaei, M., Zahedifard, M., Razavi, M., Safi, S.Z., Mohan, S., Khalifa, S.A., El-Seedi, H.R., Abdulla, M.A., Ali, H.M. ve Noordin,M.I., (2015).“The Chemopreventive Effect

- of *Tanacetum polycephalum* Against LA7-Induced Breast Cancer in Rats and the Apoptotic Effect of a Cytotoxic Sesquiterpene Lactone in MCF7 Cells: A Bioassay-Guided Approach”, Cell Physiol Biochem., 36(3):988-1003.
- [86] Uehara, A., Akiyama, S. ve Iwashina, T., (2015).“Foliar flavonoids from *Tanacetum vulgare* var. *boreale* and their geographical variation”, Nat Prod Commun., 10(3):40-35.
- [87] Zhao, Y., Chen, S.J., Wang, J.C., Niu, H.X., Jia, Q.Q., Chen, X.W., Du, X.Y., Lu, L., Huang, B., Zhang, Q., Chen, Y. ve Long, H.B., (2015). “Sesquiterpene lactones inhibit advanced oxidation protein product-induced MCP-1 expression in podocytes via an IKK/NF-κB-dependent mechanism”, Oxid Med Cell Longev., 9(3):40-58.
- [88] Suraweera, D.D., Groom, T. ve Nicolas, M.E., (2015). “Impact of Elevated Atmospheric Carbon Dioxide and Water Deficit on Flower Development and Pyrethrin Accumulation in Pyrethrum”, Procedia Environmental Sciences, 29: 5-6.
- [89] Negrín, G., Rubio, S., Marrero, M.T., Quintana, J., Eiroa, J.L., Triana, J. ve Estévez, F., (2015). “The eudesmanolide tanapsin from *Tanacetum oshanahanii* and its acetate induce cell death in human tumor cells through a mechanism dependent on reactive oxygen species”, Phytomedicine., 22(3):85-93.
- [90] Agatonovic-Kustrin, S., Babazadeh Ortakand, D., Morton, D.W. ve Yusof, A.P., (2015). “Rapid evaluation and comparison of natural products and antioxidant activity in calendula, feverfew, and German chamomile extracts”, J Chromatogr A., 1385:103-10.
- [91] Zhang, X., Fan, C., Xiao, Y. ve Mao, X., (2014). “Anti-inflammatory and antiosteoclastogenic activities of parthenolide on human periodontal ligament cells in vitro”, Evid Based Complement Alternat Med., 5(4):60-97.
- [92] Sofiabadi, M., Azhdari-Zarmehri, H., Naderi, F., Ghalandari-Shamami, M., Sonboli, A. ve Haghparast, A., (2014). “Effects of Hydroalcoholic Extract of *Tanacetum sonbolii* (Asteraceae) on Pain-related Behaviors during Formalin Test in Mice”, Basic Clin Neurosci., 5(2):162-8.
- [93] Naghibi, F., Khalaj, A., Mosaddegh, M., Malekmohamadi, M. ve Hamzeloo-Moghadam, M., (2014). “Cytotoxic activity evaluation of some medicinal plants, selected from Iranian traditional medicine Pharmacopoeia to treat cancer and related disorders”, J Ethnopharmacol., 155(1):230-9.
- [94] Rabito, M.F., Britta, E.A., Pelegrini, B.L., Scariot, D.B., Almeida, M.B., Nixdorf, S.L., Nakamura, C.V. ve Ferreira, I.C., (2014). “In vitro and in vivo antileishmania activity of sesquiterpene lactone-rich dichloromethane fraction obtained from *Tanacetum parthenium* (L.) Schultz-Bip.”, Exp Parasitol., 143:18-23.
- [95] Galeotti, N., Maidecchi, A., Mattoli, L., Burico, M. ve Ghelardini, C., (2014). “St. John's Wort seed and feverfew flower extracts relieve painful diabetic neuropathy in a rat model of diabetes”, Fitoterapia., 92:23-33.
- [96] Noori, S., Hassan, Z.M., Yaghmaei, B. ve Dolatkhah, M., (2013). “Antitumor and immunomodulatory effects of salvigenin on tumor bearing mice”, Cell Immunol., 286(1-2):16-21.

- [97] Polatoğlu, K., Karakoç, O.C., Demirci, F., Gökçe, A. ve Gören, N., (2013). “Chemistry and biological activities of *Tanacetum chiliophyllum* var. *oligocephalum* extracts”, J AOAC Int., 96(6):1222-7.
- [98] Rodriguez, K.J., Wong, H.K., Oddos, T., Southall, M., Frei, B. ve Kaur, S., (2013). “A purified Feverfew extract protects from oxidative damage by inducing DNA repair in skin cells via a PI3-kinase-dependent Nrf2/ARE pathway”, Journal of Dermatological Science, 72(3): 304-310.
- [99] Materazzi, S., Benemei, S., Fusi, C., Gualdani, R., De Siena, G., Vastani, N., Andersson, D.A., Trevisan, G., Moncelli, M.R., Wei, X., Dussor, G., Pollastro, F., Patacchini, R., Appendino, G., Geppetti, P. ve Nassini, R., (2013). “Parthenolide inhibits nociception and neurogenic vasodilatation in the trigeminovascular system by targeting the TRPA1 channel”, Pain., 154(12):2750-8.
- [100] Könczöl, A., Müller, J., Földes, E., Béni, Z., Végh, K., Kéry, A. ve Balogh, G.T., (2013). “Applicability of a blood-brain barrier specific artificial membrane permeability assay at the early stage of natural product-based CNS drug discovery”, J. Nat. Prod., 76(4):655-63.
- [101] Grdiša, M., Babić, S., Periša, M., Carović-Stanko, K., Kolak, I., Liber Z., Jug-Dujaković, M. ve Satovic, Z., (2013). “Chemical diversity of the natural populations of Dalmatian pyrethrum (*Tanacetum cinerariifolium* (TREVIR.) SCH.BIP.) in Croatia”, Chem. Biodivers., 10(3):460-72.
- [102] Salapovic, H., Geier, J. ve Reznicek, G., (2013). “Quantification of Sesquiterpene Lactones in Asteraceae Plant Extracts: Evaluation of their Allergenic Potential.”, Sci Pharm., 81(3):807-18.
- [103] Ramirez, A. M., Saillard, N., Yang, T., Franssen, M.C., Bouwmeester, H. J. ve Jongsma, M.A., (2013), “Biosynthesis of sesquiterpene lactones in pyrethrum (*Tanacetum cinerariifolium*)”, PLoS One., 8(5):e65030.
- [104] Ghantous, A., Sinjab, A., Herceg, Z. ve Darwiche, N., (2013). “Parthenolide: from plant shoots to cancer roots”, Drug Discov Today., 18(17-18):894-905.
- [105] Studzińska-Sroka, E., Znajdek-Awizeń, P. ve Gawron-Gzella, A., (2013). “Studies on the antimigraine action of Feverfew (*Tanacetum parthenium* (L.) Sch. Bip.”, Wiad Lek., 66:195-9.
- [106] Wyrębska, A., Szymański, J., Gach, K., Piekielna, J., Koszuk, J., Janecki, T. ve Janecka, A., (2013). “Apoptosis-mediated cytotoxic effects of parthenolide and the new synthetic analog MZ-6 on two breast cancer cell lines”, Mol Biol Rep., 40(2):1655-63.
- [107] Majdi, M., Charnikhova, T. ve Bouwmeester, H., (2013). “Genetical, developmental and spatial factors influencing parthenolide and its precursor costunolide in feverfew (*Tanacetum parthenium* L. Schulz Bip.)”, Industrial Crops and Products, 47: 270–276.
- [108] Triana, J., Eiroa, J.L., Morales, M., Pérez, F.J., Brouard, I., Marrero, M.T., Estévez, S., Quintana, J., Estévez, F., Castillo, Q.A. ve León, F., (2013). “A chemotaxonomic study of endemic species of genus *Tanacetum* from the Canary Islands”, Phytochemistry, 92: 87–104.

- [109] Cogo, J., Caleare Ade, O., Ueda-Nakamura, T., Filho, B.P., Ferreira, I.C. ve Nakamura, C.V., (2012). “Trypanocidal activity of guaianolide obtained from *Tanacetum parthenium* (L.) Schultz-Bip. and its combinational effect with benznidazole”, *Phytomedicine.*, 20(1):59-66.
- [110] Fischedick, J. T., Standiford, M., Johnson, D. A., De Vos, R. C., Todorović, S., Banjanac, T., Verpoorte, R. ve Johnson, J.A., (2012). “Activation of antioxidant response element in mouse primary cortical cultures with sesquiterpene lactones isolated from *Tanacetum parthenium*”, *Planta Med.*, 78(16):1725-30.
- [111] Rosselli,S., Bruno, M., Raimondo, F. M., Spadaro, V., Varol, M., Koparal, A.T. ve Maggio, A., (2012). “Cytotoxic Effect of Eudesmanolides Isolated from Flowers of *Tanacetum vulgare* ssp. *siculum*”, *Molecules*, 17: 8186-8195.
- [112] Mathema, V.B., Koh, Y.S., Thakuri, B.C. ve Sillanpää, M., (2012). “Parthenolide, a sesquiterpene lactone, expresses multiple anti-cancer and anti-inflammatory activities”, *Inflammation.*, 35(2):560-5.
- [113] Vafaei, F., Zangiabadi, N., Pour, F.M., Dehghanian, F., Asadi-Shekaari, M. ve Afshar, H.K., (2012). “Neuroprotective effects of the immunomodulatory drug Setarud on cerebral ischemia in male rats”, *Neural Regeneration*, 7(27): 2085-2091.
- [114] Wegiera, M., Smolarz, H.D., Jedruch, M., Korczak, M. ve Koproń, K., (2012). “Cytotoxic effect of some medicinal plants from Asteraceae family on J-45.01 leukemic cell line--pilot study”, *Acta Pol Pharm.*, 69(2):263-8.
- [115] Smirnova, G., Samoilova, Z., Muzyka, N. ve Oktyabrsky, O., (2012). “Influence of plant polyphenols and medicinal plant extracts on antibiotic susceptibility of *Escherichia coli*”, *J Appl Microbiol.*, 113(1):192-9.
- [116] Salama, R., Sattayasai, J., Gande, A.K., Sattayasai, N., Davis, M. ve Lattmann, E., (2012). “Identification and evaluation of agents isolated from traditionally used herbs against *Ophiophagus hannah* venom”, *Drug Discov Ther.*, 6(1):18-23.
- [117] Yang, T., Stoopen, G., Wiegers, G., Mao, J., Wang, C., Dicke, M. ve Jongsma, M.A., (2012). “Pyrethrins protect pyrethrum leaves against attack by western flower thrips, *Frankliniella occidentalis*”, *J Chem Ecol.*, 38(4):370-7.
- [118] Aviram, A., Tsoukias, N.M., Melnick, S.J., Resek, A.P. ve Ramachandran, C., (2012). “Inhibition of nitric oxide synthesis in mouse macrophage cells by feverfew supercritical extract”, *Phytother Res.*, 26(4):541-5.
- [119] Schwarz, D., Bloom, D., Castro, R., Pagán, O.R. ve Jiménez-Rivera, C.A., (2011). “Parthenolide Blocks Cocaine's Effect on Spontaneous Firing Activity of Dopaminergic Neurons in the Ventral Tegmental Area”, *Curr Neuropharmacol.*, 9(1):17-20.
- [120] Alvarez, A.L., Habtemariam, S., Juan-Badaturuge, M., Jackson, C. ve Parra, F., (2011). “In vitro anti HSV-1 and HSV-2 activity of *Tanacetum vulgare* extracts and isolated compounds: an approach to their mechanisms of action”, *Phytother Res.*, 25(2):296-301.
- [121] Hong, J., Aoyama, S., Hirasawa, N., Zee, O., Ishihara, K., Hashida, C., Kimura, M., Seyama, T. ve Ohuchi K., (2011). “Suppression of intracellular calcium

- levels and inhibition of degranulation in RBL-2H3 mast cells by the sesquiterpene lactone parthenolide”, *Planta Med.*, 77(3):252-6.
- [122] Polatoğlu, K., Karakoç, Ö.C., Gökçe, A. ve Gören, N., (2011) “Insecticidal activity of *Tanacetum chiliophyllum* (Fisch. & Mey.) var. *monocephalum* grierson extracts and a new sesquiterpene lactone”, *Phytochemistry Letters*, 4(4): 432–435.
  - [123] Li, J., Yin, L.Y., Jongsmma,M.A. ve Wang, C.Y., (2011). “Effects of light, hydropriming and abiotic stress on seed germination, and shoot and root growth of pyrethrum (*Tanacetum cinerariifolium*)”, *Industrial Crops and Products*,34(3):1543–1549.
  - [124] Da Silva, B.P., Cortez, D.A., Violin, T.Y., Dias Filho, B. P., Nakamura, C.V., Ueda-Nakamura, T. ve Ferreira, I.C., (2010).“Antileishmanial activity of a guaianolide from *Tanacetum parthenium* (L.) Schultz Bip.”, *Parasitology International*,59(4):643–646.
  - [125] Paulsen, E., Christensen, L.P., Fretté, X.C. ve Andersen, K.E.,(2010).“Patch test reactivity to feverfew-containing creams in feverfew-allergic patients”, *Contact Dermatitis.*,63(3):146-50.
  - [126] Pelizzaro-Rocha, K.J., Tiuman, T.S., Izumi, E., Ueda-Nakamura, T., Dias Filho, B.P. ve Nakamura, C.V., (2010). “Synergistic effects of parthenolide and benznidazole on *Trypanosoma cruzi*”, *Phytomedicine.*, 18(1):36-9.
  - [127] Ansari,M., Rafiee, Kh.,Yasa, N.,Vardasbi, S., Naimi, S.M. ve Nowrouzi, A., (2010). “Measurement of melatonin in alcoholic and hot water extracts of *Tanacetum parthenium*, *Tripleurospermum disciforme* and *Viola odorata*”, *Daru.*,18(3): 173–178.
  - [128] Lesiak, K., Koprowska, K., Zalesna, I., Nejc, D.,Düchler, M. ve Czyz, M., (2010). “Parthenolide, a sesquiterpene lactone from the medical herb feverfew, shows anticancer activity against human melanoma cells in vitro”, *Melanoma Res.*,20(1):21-34.
  - [129] Adedipe, F. ve Park, Y.L., (2010). “Visual and olfactory preference of *Harmonia axyridis* (Coleoptera: Coccinellidae) adults to various companion plants”, *Journal of Asia-Pacific Entomology*,13(4): 319–323.
  - [130] Jäger, A.K., Krydsfeldt, K. ve Rasmussen, H.B., (2009). “Bioassay-guided isolation of apigenin with GABA-benzodiazepine activity from *Tanacetum parthenium*”, *Phytother Res.*, 23(11):1642-4.
  - [131] Onozato, T., Nakamura, C.V., Cortez, D.A., Dias Filho, B.P. ve Ueda-Nakamura, T., (2009). “*Tanacetum vulgare*: antiherpes virus activity of crude extract and the purified compound parthenolide”, *Phytother Res.*,23(6):791-6.
  - [132] Sur, R.,Martin, K., Liebel, F., Lyte, P., Shapiro, S. ve Southall, M., (2009). “Anti-inflammatory activity of parthenolide-depleted Feverfew (*Tanacetum parthenium*)”, *Inflammopharmacology*.17(1):42-9.
  - [133] Marongiu, B., Piras, A., Porcedda, S., Tuveri, E., Laconi, S., Deidda, D. ve Maxia, A., (2009). “Chemical and biological comparisons on supercritical extracts of *Tanacetum cinerariifolium* (Trevir) Sch. Bip. with three related species of chrysanthemums of Sardinia (Italy)”, *Nat Prod Res.*,23(2):190-9.

- [134] Ohguchi, K., Ito, M., Yokoyama, K., Iinuma, M., Itoh, T., Nozawa, Y. ve Akao, Y., (2009). "Effects of sesquiterpene lactones on melanogenesis in mouse B16 melanoma cells", Biol Pharm Bull., 32(2):308-10.
- [135] Weng, S.X., Sui, M. H., Chen, S., Wang, J.A., Xu, G., Ma, J., Shan, J. ve Fang, L., (2009). "Parthenolide inhibits proliferation of vascular smooth muscle cells through induction of G0/G1 phase cell cycle arrest", J Zhejiang Univ Sci B.,10(7):528-35.
- [136] Kulyyasov, A.T., Edil'baeva, T.T., Turdybekov, K.M., Raldugin, V.A.,Shakirov, M.M. ve Adekenov, S.M., (1999). "Chemical transformations of Ajanolide A", Chemistry of Natural Compounds, 35(1):55-60.
- [137] Soltan, M. M. ve Zaki, A. K.,(2009). "Antiviral screening of forty-two Egyptian medicinal plants", J Ethnopharmacol., 126(1):102-7.
- [138] Juan-Badaturuge, M., Habtemariam, S., Jackson, C. ve Thomas, M. J., (2009). "Antioxidant principles of *Tanacetum vulgare* L. aerial parts", Nat. Prod. Commun., 4(11):1561-4.
- [139] Marete, E.N., Jacquier, J.C. ve Dolores O'Riordan, D., (2009). "Effects of extraction temperature on the phenolic and parthenolide contents, and colour of aqueous feverfew (*Tanacetum parthenium*) extracts", Food Chemistry,117(2): 226-231.
- [140] Greger, H., (1969)."Flavonoide und Systematik der Anthemideae (Astreaceae)" Naturwissenschaften, 56(9): 467-468.
- [141] Bohlmann, F., Zdero, C. ve Schwarz, H.,(1975). "Über einen neuen sesquiterpentyp aus *Tanacetum balsamita* L.ssp. *balsamitoides*",Chemische Berichte, 108(5): 1369- 1372.
- [142] Perez-Alonso, M. J., Velasco-Negueruela, A. ve Burzaco, A., (1992). "*Tanacetum balsamita* L.: a medicinal plan from Guadalajara (Spain)", International Symposium on Medicinal and Aromatic Plants, XXIII IHC, 306: 188-193.
- [143] Surmaghi,M.H.S., Aynehchi, Y., Amin, G.H. ve Mahmoodi, Z., (1992). "Survey of Iranian Plants for Saponins Alkaloids Flavonoids and Tannins", J.Sch. of Pharm.Tehran Unive, 2(3): 61-70.
- [144] Kubo, A. ve Kubo, I., (1995). "Antimicrobial Agents from *Tanacetum balsamita*", Journal of Natural Products, 58(10): 1565-1569.
- [145] Kubo, I., Jamalamadaka, V., Kamikawa, T., Takahashi, K., Tabata, K. ve Kusumi, T., (1996). "Absolute Stereochemistry of Tanabalin, an Insect Antifeedant Clerodane from *Tanacetum balsamita*", Cheminform, 27(43):441-442.
- [146] Başer, K.H.C., Demirci, B., Tabanca, N., Özek, T. ve Gören, N., (2001). "Composition of the essential oils of *Tanacetum armenum* (DC.) Schultz Bip., *T. balsamita* L., *T. chiliophyllum* (Fisch.& Mey.) Schultz Bip. var. *chiliophyllum* and *T. haradjani* (Rech. fil.) Grierson and the enantiomeric distribution of camphor and carvone", Flavour and Fragrance Journal, 16: 195-200.
- [147] Başer, K. H. C., (2002). "Aromatic biodiversity among the flowering plant taxa of Turkey", Pure Appl. Chem., 74(4): 527–545.

- [148] Monfared, A., Davarani, S.S.H., Roustaeian, A.A.H. ve Masoudi,S., (2002). “Composition of the essential oil of *Tanacetum balsamita* subsp. *balsamitoides* from Iran”, Journal of Essential Oil Research January, 14(1): 1-2.
- [149] Nickavar, B., Amin, G. ve Mehregan, N., (2003). “Quercetine, a Major Flavonol Glycon from *Tanacetum balsamita* L.”, Iranian Journal of Pharmaceutical Research, 2(4): 249-250.
- [150] Jaimand, K. ve Rezaee, M. B., (2005). “Chemical constituents of essential oils from *Tanacetum balsamita* L. ssp. *balsamitoides* (Schultz-Bip.) Grierson. from Iran”, The Journal of Essential Oil Research, 17(5): 565- 566.
- [151] Özcan, L.,(2006).“Bazı *Tanacetum* L. Türlerinde Antimikrobiyal Aktivite ve Minimum İnhibitor Konsantrasyon (Mik.) Tayini”, Yüksek Lisans Tezi, Yıldız Teknik Üniversitesi Fen Bilimleri Enstitüsü, İstanbul.
- [152] Hasanpouraghdam, M.B., Tabatabaei, S.J., Nazemiye, H. ve Aflatouni, A., (2008). “N and K nutrition levels affect growth and essential oil content of costmary (*Tanacetum balsamita* L.)”, International Journal of Food, Agriculture and Environment, 6(2): 150-154.
- [153] Bagci, E., Kursat, M., Kocak, A. ve Gur, S.,(2008). “Composition and Antimicrobial Activity of the Essential Oils of *Tanacetum balsamita* L. subsp. *balsamita* and *T. chilioiphllum* (Fisch. et Mey.) Schultz Bip. var. *chilioiphllum* (Asteraceae) from Turkey”, Jeobp, 11(5): 476-484.
- [154] Lotfipour, F., Nazemiye, H., Azad, F.F., Garaei, N., Arami, S., Talat, S., Sadegpour, F. ve Hasanpour, R., (2008). “Evaluation of Antibacterial activities of some medicinal plants from North-West Iran Iranian”, Journal of Basic Medical Sciences, 11(2): 80-85.
- [155] Hasanpouraghdam, M.B., Tabatabaei, S.J., Nazemieh, H. ve Aflatouni, A., (2008). “Effects of Different Concentrations of Nutrient Solution on Vegetative Grwoth and Essential Oil of Costmary (*Tanacetum balsamita* L.)”, Journal of Agricultural Science (University of Tabriz), 18(1): 27-38.
- [156] Williams, C.A., Harborne, J.B. ve Eagles, J.,(2009).“Variations in lipophilic and polar flavonoids in the genus *Tanacetum*”, Phytochemistry, 52: 1301-1306.
- [157] Karaca,M., Özbek, H., Akkan, H.A., Tütüncü, M., Özgökce, F., Him, A. ve Bakir, B., (2009). “Anti-inflammatory activities of diethyl ether extracts of *Tanacetum balsamita* and *Helichrysum plicatum* in Rats”, Asian Journal of Animal and Veterinary Advances, 4(6): 320-325.
- [158] Yousefzadi, M., Ebrahimi, S. N., Sonboli, A., Miraghasi, F., Ghiasi, S., Arman, M. ve Mosaffa, N., (2009). “Cytotoxicity, antimicrobial activity and composition of essential oil from *Tanacetum balsamita* L. subsp. *balsamita*”, Natural Product Communications, 4(1): 119-122.
- [159] Kalamouni, C.E., Raynaud,C. ve Talou,T., (2009).“Screening of antioxidant and antimicrobial activities of Midi-Pyrénées aromatic plants”, Chemine Technologija, 3(52): ISSN 1392-1231.
- [160] Nikoloval, M. ve Dzhurmanski, A., (2009).“Evaluation of Free Radical Scavenging Capacity of Extracts from Cultivated Plants”, Biotechnology & Biotechnological Equipment, 23(2): ISNN:1310-2818.

- [161] Hasanpouraghdam, M.B., Tabatabaei, S.J., Nazemiye, H., Vojodi, L. ve Aazami, M.A., (2009). “Volatile oil constituents of alecost [*Tanacetum balsamita* L. ssp. *balsamitoides* (Schultz-Bip.)] growing wild in North-West of Iran”, *Herba Polonica*, 55(1): 53-59.
- [162] Uslu, B.A., İlhan, F., Gülyuzf, F., Karaca, M. ve Öner, A.C., (2009). “Assessment of the Histopathological Changes Occurring in the Testis of the Mice Suffering from Experimental Diabetes Induced Using Alloxan”, *Journal of Animal and Veterinary Advances*, 8(10):1929-1935, ISSN:1680-5593.
- [163] Tütüncü, M., Özbek, H., Karaca, M., Akkan, H.A., Bayram, I., Cengiz, N., Özgökce, F. ve Him, A., (2010). “The effects of diethylether extract of *Helichrysum plicatum* subsp. *plicatum* and *Tanacetum balsamita* subsp. *balsamitoides* on the Acute Liver Toxicity in Rats”, *Asian Journal of Animal and Veterinary Advances*, 5(7): 465-471.
- [164] Ercevit, T, P., Onganer, A.N., Kursat, M. ve Kırbağ, S., (2011). “In Vitro Evaluation of Antimicrobial Activities of Some Plant Extracts Used in Traditional Medicine”, *Turkish Journal of Science & Technology*, 6(2): 81-86.
- [165] Öztürk, F. ve Ölçüçü, C.,(2011). “Ethnobotanical Features of some Plants in the District of Şemdinli (Hakkari-Turkey)”, *International Journal of Academic Research*, 3(1): 117-121.
- [166] Nobakht, A., Mansoub, N. V. ve Nezhady, M. A. M., (2012). “Effect of *Melissa officinalis* L., *Tanacetum balsamita* L. and *Ziziphora clinopodioides* L. on performance, blood biochemical and immunity parameters of laying hen”, *Asian Journal of Animal and Veterinary Advances*, 7(1): 74-79.
- [167] Erdoğan, M.K., (2012). “*Tanacetum balsamita* L. subsp. *balsamita* Bitki Ekstrelerinin Biyolojik Aktivitelerinin İncelenmesi”, Yüksek Lisans Tezi, Bingöl Üniversitesi Fen Bilimleri Enstitüsü, Bingöl.
- [168] Inceer, H., Ayaz, S. H., Güler, H.S., Aksu, N. ve Ozcan, M., (2012). “Karyological studies of some representatives of *Tanacetum* L. (Anthemideae-Asteraceae) from north-east Anatolia”, *Plant Syst. Evol.*, 298: 827-834.
- [169] Ertaş, M., Kaval, İ., Sadullahoglu, C., Özdemir, K., Öğün, E., Behçet, L. ve Orhan, E., (2012). “Doğu Anadolu Bölgesinde (Van-Hakkari) Tıbbi Amaçlı Kullanılan Bazı Bitki Türlerinin Antimikroiyal Aktivitesi”, Yüzüncü Yıl Üniversitesi Fen Bilimleri Enstitüsü Dergisi/ *Journal of The Institute of Natural & Applied Sciences*, 17(2): 104-107.
- [170] Polatoğlu, K., Şen, A., Kandemir, A. ve Gören, N., (2012). “Essential Oil Composition and DPPH Scavenging Activity of Endemic *Tanacetum mucroniferum* Hub. –Mor. & Grierson from Turkey”, *Journal of Essential Oil Bearing Plants*, 15(1): 66 –74.
- [171] Orhan, I.E., Tosun, F.,Gülpınar, A.R., Kartal, M., Duran, A., Mihoglugil, F. ve Akalgan, D., (2015). “LC–MS quantification of parthenolide and cholinesterase inhibitory potential of selected *Tanacetum* L. (Emend. Briq.) taxa”, *Phytochemistry*, 11: 347-352.
- [172] Ellman, G. L., Courtney, K. D., Andres Jr., V., Featherstone, R. M. (1961). “A new and rapid colorimetric determination of acetylcholinesterase activity”, *Biochemical Pharmacology*, 7, 88–95.

- [173] Falcioni, G., Fedeli, D., Tiano, L., Calzuola, I., Mancinelli, L., Marsili, V., Gianfranceschi, G., 2002. “Antioxidant activity of wheat sprouts extracts *in vitro*: inhibition of DNA oxidative damage”. *Journal of Food Science*, 67, 2918–2922.
- [174] Mosmann, T. (1983). “Rapid colorimetric assay for cellular growth and survival: Application to proliferation and cytotoxicity assays”, *Journal of Immunological Methods*, 65, 55–63.
- [175] Nalbantsoy, A., Ayyıldız Tamis, D., Akgun, I. H., Ozturk Yalcın, T., Deliloğlu Gürhan, I., Karaboz, I. (2008). “Antimicrobial and Cytotoxic Activities of *Zingiber officinalis* Extracts”, *Journal of Pharmaceutical Sciences*, FABAD, 33, 76–85.
- [176] Marco, J. A., (1989). “Sesquiterpene lactones from *Artemisia herba-alba* subsp. *herba-alba*” *Phytochemistry*, 28(11): 3121-3126.
- [177] Tan,R. X.,(1992).“Sesquiterpenes from *Artemisia rutifolia*” *Phytochemistry*, 31(7): 2534-2536.
- [178] Sham'yanov, I. D., Tashkhodzhaev, B., Mukhamatkhanova,R.F. ve Antipin, M. Yu., (2000). “1-acetoxy-11 $\beta$ (H),13-Dihydrodouglanin, a new eudesmanolide from *Artemisia lehmanniana*”, *Chemistry of Natural Compounds*, 36(4): 369-372.
- [179] Susurluk, H., Çalışkan, Z., Gürkan, O., Kırmızıgül, S. ve Gören, N., (2007). “Antifeedant activity of some *Tanacetum* species and bioassay guided isolation of the secondary metabolites of *Tanacetum cadmum* ssp. *cadmum* (Compositae)”, *Industrial Crops and Products*, 26: 220-228.
- [180] El-Shazly, A., Dorai, G. ve Wink, M., (2002). “Composition and Antimicrobial Activity of Essential Oil and Hexane-Ether Extract of *Tanacetum santolinoides* (DC.) Feinbr. and Fertig”, *Zeitschrift für Naturforschung C*, 57(7-8): 620-623.
- [181] Rosselli, S., Bruno, M., Raimondo, F.M., Spadaro, V., Varol, M., Koparal, A.T. ve Maggio, A., (2012). “Cytotoxic Effect of Eudesmanolides Isolated from Flowers of *Tanacetum vulgare* ssp. *siculum*”, *Molecules*, 17: 8186-8195.
- [182] Mengi, N., Taneja, S.C., Mahajan, V.P. ve Mathela, C.S.,(1991). “Eudesmanolides from *Senecio chrysanthemoides*” *Phytochemistry*, 30(7): 2329-2330.
- [183] Mukhamatkhanova,R.F., Turgunov, K.K., Tashkhodzhaev, B., Sham'yanov, I. D. ve Saidkhodzhaev, A.I., (2004). “Eudesmanolides from *Artemisia lehmanniana*, Crysatal and molecular structures of 1 $\alpha$ -acetoxy-4 $\alpha$ -hydroxy-5,7 $\alpha$ ,6,11 $\beta$ (H)-eudesm-2,3-en-6,12-olide and 1 $\alpha$ -acetoxy-3 $\alpha$ -hydroxy-5,7 $\alpha$ ,6,11 $\beta$ (H)-eudesm-4,15-en-6,12-olide”, *Chemistry of Natural Compounds*, 40(6): 557-560.
- [184] Ruikar, A. D., Jadhav, R. B., Phalgune, U. D., Rojatkar, S.R., Puranik, V. G. ve Deshpande, N.R., (2011). “Phytochemical Investigation of *Artemisia pallens*”, *Helvetica Chimica Acta*, 97(1): 73-77.
- [185] Tian, S.H., Chai, X.Y., Zan, K., Zeng, K.W. ve Tu, P.F., (2013).“Three new eudesmane sesquiterpenes from *Artemisia vestita*”, *Chinese Chemical letters*, 24: 797-800.

- [186] Triana, J., Eiroa, J.L., Morales, M., Pérez, F.J., Brouard, I., Marrero, M.T., Estévez, S., Quintana, J., Estévez, F., Castillo, Q.A. ve León, F., (2013). “A chemotaxonomic study of endemic species of genus *Tanacetum* from the Canary Islands”, Phytochemistry, 92: 87-104.
- [187] Gören, N., Tahtasakal, E. ve Arda, N., (1994). “A further investigation on *Tanacetum chiliophyllum* var. *heimerlei*”, Turkish Journal of Chemistry, 18: 296.
- [188] Gören, N., Johansson, C.B., Jakupovic, J., Lin, L.J., Shieh, H.L., Cordells, G.A. ve Çelik, N., (1992). “Sesquiterpene lactones with antibacterial activity from *Tanacetum densum* subsp. *sivasicum*”, Phytochemistry, 31(1): 101-104.
- [189] Gonzalez, A. G., Barrera, J. B., Mendez, J. T., Sanchez, M. L. ve Martinez, J.L.E., (1992). “Sesquiterpene lactones and other constituents of *Tanacetum* species”, Phytochemistry, 31(5): 1821-1822.
- [190] Gören, N., Tahtasakal, E., Krawiec, M. ve Watson, W.H., (1996). “A guaianolide from *Tanacetum argenteum* subsp. *flabellifolium*”, Phytochemistry, 42(3): 757-760.
- [191] Gören, N. ve Tahtasakal, E., (1994). “Constituents of *Tanacetum densum* subsp. *eginense*”, Phytochemistry, 36(5): 1281-1282.
- [192] Gören, N. ve Tahtasakal, E., (1993). “Sesquiterpenes of *Tanacetum chiliophyllum* var. *heimerlei*”, Phytochemistry, 34(4): 1071-1073.
- [193] Gören, N., Tahtasakal, E., Pezzuto, J. M., Cordell, G. A., Schwarz, B. ve Proksch, P., (1994). “Sesquiterpene lactones from *Tanacetum argenteum*”, Phytochemistry, 56(2): 389-392.
- [194] Gören, N., Woerdenbag, H.J. ve Johansson, C.B., (1996). “Cytotoxic and Antibacterial Activities of Sesquiterpene Lactones Isolated from *Tanacetum praeteritum* subsp. *praeteritum*”, Planta Medica, 62: 419-422.
- [195] Gonzalez, A. G., Barrera, J. B., Mendez, J.T., Sanchez, M.P. ve Martinez, J.L.E., (1990). “Sesquiterpene lactones from *Tanacetum ferulaceum*”, Phytochemistry, 29(7): 2339-2341.
- [196] Rustaiyan,A., Zare, K., Habibi, Z. ve Hashemi,M.,(1990).“Germacranolides from *Tanacetum polyccephalum*”, Phytochemistry, 29(9): 3022-3023.
- [197] Sanz, J. F. ve Marco, J.A., (1991). “NMR studies of Tatridin A and some related sesquiterpene lactones from *Tanacetum vulgare*”, Journal of Natural Products, 54(2): 591-596.
- [198] Belyaev, N. F., Zopal'skaya-Dovnar, G. M. ve Adekenov, S.M., (1996). “Comparative chromatographic study of the sesquiterpenes of some *Tanacetum* species”, Chemistry of Natural Compounds, 32(6): 866.
- [199] Uchio Y., (1978), “Isolation and Structural Determination of Vulgarone A and B, Two Novel Sesquiterpene Ketones from *Chrysanthemum vulgare*.” Tetrahedron, 34, 2893-2899.
- [200] Sanz, J. F., Falco, E. ve Marco, J. A., (1990).“Further new sesquiterpene lactones from *Artemisia herba-alba* subsp. *valentine*”, Journal of Natural Products, 53(4): 940-945.

- [201] Mosharrafa, S.A.M., Mansour, R.M.A., Abou-Zaid, M. ve Saleh, N.A.M., (1994). "Some biologically active flavonoids from Egyptian members of the Compositae", Bull.Chem.Soc.Ethiop., 8(1): 9-13.
- [202] Meurer, B. ve Mabry, T.J., (1987). "6-methoxylated flavones from *Carphochaete bigelovii*", Journal of Natural Products, 50(4): 775-776.
- [203] Kinoshita, T. ve Firman, K., (1996). "Highly oxygenated flavonoids from *Murraya paniculata*", Phytochemistry, 42(4): 1207-1210.
- [204] Yamazaki, K., Iwashina, T., Kitajima, J., Gamou, Y., Yoshida, A. ve Tannowa, T., (2007). "External and internal flavonoids from Madagascan *Uncarina* species (Pedaliaceae)", Biochemical Systematics and Ecology, 35: 743-749.
- [205] Jakupovic, J., Lehmann, L., Bohlmann, F., King, R.M. ve Robinson, H., (1988). "Sesquiterpene lactones and other constituents from *Cassina*, *Actinobole* and *Anaxeton* Species", Phytochemistry, 27(12): 3831-3839.
- [206] Gören, N. ve Tahtasakal, E., (1997). "Sesquiterpenoids from *Tanacetum argenteum* subsp. *canum* var. *canum*", Phytochemistry, 45(1): 107-109.
- [207] Yunusov, A.I., Abdullaev, N.D., Kasymov, Sh.Z. ve Sidyakin, G.P., (1976). "Tanachin-a new sesquiterpene lactone from *Tanacetum pseudoachillea*", Chemistry of Natural Compounds, 2: 63.
- [208] Öksüz, S., (1990). "Sesquiterpenoids and other constituents from *Tanacetum cilicum*", Phytochemistry, 29(3): 887-890.
- [209] Saleh, N.A.M., El-Negoumy, S.I. ve Abou-Zaid, M.M., (1987). "Flavonoids of *Artemisia judaica*, *Artemisia monosperma* and *Artemisia herba-alba*", Phytochemistry, 6(11): 3059-3064.
- [210] Marco, J.A., Barbera, O., Rodriguez, S., Domingo, C. ve Adell, J., (1988). "Flavonoids and other phenolics from *Artemisia hispanica*", Phytochemistry, 27(10): 3155-3159.
- [211] Long, L.Y. ve Mabry, T.J., (1981). "Two methylated flavones from *Artemisia frigida*", Phytochemistry, 20: 309-311.
- [212] Shafiq, N., Riaza, N., Ahmedab, S., Ashraf, M., Ejazd, S.A., Ahmude, I., Saleema, M., Touseefa, M.I., Tareenf, R.B. ve Jabbar, A., (2013). "Bioactive phenolics from *Seriphidium stenocephalum*", Journal of Asian Natural Products Research, 15(3): 286-293.
- [213] Nguyen, M.T.T., Awale, S., Tezuka, Y., Ueda, J., Tran, Q.L. ve Kadota, S., (2006). "Xanthine oxidase inhibitors from the flowers of *Chrysanthemum sinense*", Planta Med., 72: 46-51.
- [214] Rukachaisirikul, V., Naovanit, S.A., Taylor, W. C., Bubb, W.A. ve Dampawan, P., (1998). "A sesquiterpene from *Gardenia sootepensis*", Phytochemistry, 48(1): 197-200.
- [215] Reutrakul, V., Krachangchaeng, C., Tuchinda, P., Pohmakotr, M., Jaipetch, T., Yoosook, C., Kasisit, J., Sophasan, S., Sujaritd, K. ve Santisuk, T., (2004). "Cytotoxic and anti-HIV-1 constituents from leaves and twigs of *Gardenia tubifera*", Tetrahedron, 60: 1517-1523.

- [216] Seo, J. M., Kang, H. M., Son, K. H., Kim, J. H., Lee, C.W., Kim, H. M., Chang, S.I. ve Kwon, B.M., (2003). “Antitumor activity of flavones isolated from *Artemisia argyi*”, *Planta Med.*, 69: 218-222.
- [217] Çalışkan, Z., Gören, N. ve Watson, W.H., (1994). “Isolation and structures of eudesmanolides from *Tanacetum cadmeum* ssp. *cadmium*”, *Journal of Chemical Crystallography*, 34(5): 307-310.
- [218] Kisiel, W. ve Stojakowska, A., (1997). “A sesquiterpene coumarin ether from transformed roots of *Tanacetum parthenium*”, *Phytochemistry*, 46(3): 515-516.
- [219] Gören, N., Ulubelen, A. ve Öksüz, S., (1988). “A sesquiterpene-coumarin ether and acetylenic compound from *Tanacetum heterotomum*”, *Phytochemistry*, 27(2): 1527-1529.
- [220] Paulsen, E., Otkjær, A. ve Andersen, K.E., (2010). “The coumarin herniarin as a sensitizer in German chamomile [*Chamomilla recutita* (L.) Rauschert, Compositae]”, *Contact Dermatitis*, 62: 338-342.
- [221] Jassbi, A. R., Firuzi, O., Miri, R., Salhei, S., Zare, S., Zare, M., Masroorbabanari, M., Chandran, J.N., Schneider, B. ve Baldwin, I.T., (2016). “Cytotoxic activity and chemical constituents of *Anthemis mirheydari*”, *Pharmaceutical Biology*, 54(10): 2044-2049.
- [222] Ahmad, A. ve Misra, L.N., (1997). “Isolation of herniarin and other constituents from *Matricaria chamomilla* flowers”, *International Journal of Pharmacognosy*, 35(2): 121-125.
- [223] Cespedes, C. L., Avila, J. G., Martinez, A., Serrato, B., Mugica, J.C.C. ve Garciglia, R.S., (2006). “Antifungal and Antibacterial Activities of Mexican Tarragon (*Tagetes lucida*)”, *J. Agric. Food Chem.*, 54: 3521-3527.
- [224] Barrero, A.F., Sanchez, J.F., Barren, A. ve Barrero, A.R., (1992). “Biomi-metic cyclizations of germacranolide from *Tanacetum annuum*”, *Phytochemistry*, 31(1): 332-335.
- [225] Trifunovic, S., Vajs, V., Juranic, Z., Zizak, Z., Tesevic, V., Macura, S. ve Milosavljevic, S., (2006). “Cytotoxic constituents of Achillea clavennae from Montenegro”, *Phytochemistry*, 67: 887-893.
- [226] Mahmoud, A.A., Ahmed, A.A., Linuma, M. ve Tanaka, T., (1994). “2,3-secogermacranolides and germacranolides from *Pyrethrum santolinoides*”, *Phytochemistry*, 36(2):393-398.
- [227] Wilkomirski, B. ve Kucharska, E., (1992). “Triterpene chemotypes of some Polish populations of *Tanacetum vulgare*”, *Phytochemistry*, 31(11): 3915-3916.
- [228] Ivancheva, S., Cherneva, J., Stancheva, B., (1998). “External flavonoid aglycones in genus *Tanacetum* (Asteraceae)”, *Progress in Botanical Research*, 227-230.
- [229] Wollenwebera, E., Valant-Vetscherab, K. M. ve Roitmanc, J.N., (2007). “Chemodiversity Studies on Exudate Flavonoids of Cleomaceae species (Brassicales)”, *Natural Product Communications*, 2(10): 997-1002.
- [230] Perry, N. S., Houghton, P. J., Theobald, A., Jenner, P. ve Perry, E. K., (2000). “In-vitro Inhibition of Human Erythrocyte Acetylcholinesterase by *Salvia*

- lavandulaefolia* Essential Oil and Constituent Terpenes”, Journal of Pharmacy and Pharmacology, 52(7): 895-902.
- [231] Lopez, M. D. ve Pascual-Villalobos, M. J., (2010). “Mode of inhibition of acetylcholinesterase by monoterpenoids and implications for pest control”, Industrial Crops and Products, 31: 284–288.
- [232] Adekenov, S.M., Kulyjasov, A. T., Raldugin, V.A., Bagryanskaya, I. Y., Gatilov, Y.V. ve Shakirov, M.M., (1998). “Ajanolide A, a new germacranolide from *Ajania fruticulosa*” Russian Chemical Bulletin., 47(1): 169-172.
- [233] Takahashi, T., Eto, H., Ichimura, T. ve Murae, T., (1979).“Hiyodorilactones D, E, and F, New Cytotoxic Sesquiterpene Lactones from *Eupatorium sachalinense* MAKINO”, Chemical and Pharmaceutical Bulletin, 27(10): 2539-2343.

## ÖZGEÇMİŞ

---

### KİŞİSEL BİLGİLER

<b>Adı Soyadı</b>	: Hüseyin SERVİ
<b>Doğum Tarihi ve Yeri</b>	: 05.01.1984-Bakırköy
<b>Yabancı Dili</b>	: İngilizce
<b>E-posta</b>	: servi@hotmail.com.tr

### ÖĞRENİM DURUMU

Derece	Alan	Okul/Üniversite	Mezuniyet Yılı
Y. Lisans	Biyoloji	Ankara Üniversitesi	2010
Lisans	Biyoloji	Uludağ Üniversitesi	2007
Lise	Sayısal	Orhan Cemal Fersoy	2002

### İŞ TECRÜBESİ

Yıl	Firma/Kurum	Görevi
2016	Kemerburgaz Üniversitesi	Öğretim Görevlisi

## **YAYINLARI**

### **Makale**

1. **Servi, H.**, Akata, I. and Çetin, B. (2010). “Macrofungal Diversity of Bolu Abant Nature Park (Turkey)”. African Journal of Biotechnology, 9(24): 3622-3628.
2. Polatoğlu, K., **Servi, H.**, Yücel, Y.Y. and Nalbantsoy, A. (2015).” Cytotoxicity and Acetylcholinesterase inhibitory and PRAP activities of the essential oils of selected *Tanacetum L.* species” Nat. Volatiles & Essent. Oils, 2(4):11-16.

### **Bildiri**

1. **Servi, H.**, Akata, I. (2009). “Beşikdüzü (Trabzon) Yöresinden Türkiye Makrofunguslarına Katkılar”. IX. Ekoloji ve Çevre Kongresi, 7-10 Ekim, Ürgüp-Nevşehir, Türkiye, s. 233.
2. **Servi, H.**, Akata, I., Canlı ,K. (2010). “Ekolojik ve Biyolojik Çeşitlilik Bakımından Bolu Abant Tabiat Parkı'nın Önemi” Ekoloji Sempozyumu, 5-7 Mayıs, Aksaray, Türkiye, s. 149.
3. Akata, I., Canlı, K., **Servi, H.** (2010). “Ilgaz Dağı Milli Parkı'nın Nadir ve Endemik Türleri” Ekoloji Sempozyumu, 5-7 Mayıs, Aksaray, Türkiye, s. 148.
4. Canlı, K., **Servi, H.**, Akata, I. (2010). “Kızılcahamam Soğuksu Milli Parkı'nın Biyoçeşitlilik Açısından Değerlendirilmesi”, Ekoloji Sempozyumu, 5-7 Mayıs, Aksaray, Türkiye, s. 150.
5. **Servi, H.** (2010). “Bolu Abant Tabiat Parkı'ndan Tespit Edilen Parazit Makrofunguslar” Ekoloji Sempozyumu, 5-7 Mayıs Aksaray.
6. Çağlar, P., **Servi, H.**, Gören, N. (2011). “Fatty Acids Profile of *Tanacetum zahlbryckneri* (Náb.) Grierson”. New Challenges in Natural Product Chemistry, 12-13 Eylül, İstanbul, Türkiye.
7. Polatoğlu, K., Yücel, Y.Y., **Servi, H.**, Kaya, C., Demirci, B., Gören, N.(2015). “Acetylcholinesterase inhibitory and PRAP activities of the essential oils on selected *Tanacetum species*”, 46th International Symposium on Essential Oils, 13-16 September, Lublin, Poland.
8. Polatoğlu,K., **Servi, H.**, Karakoç, Ö.C., Yücel, Y.Y., Güçel, S., Demirci, B., Başer, K.H.C. (2016). “Essential oils as potential insecticidal agents for protection of stored products”, 47<sup>th</sup> International Symposium on Essential Oils, 11-14 September, Nice, France.
9. Polatoğlu, K., **Servi, H.**, Karakoç, Ö.C., Yücel, Y.Y., Güçel, S., Nalbantsoy, A. (2016). “Insecticidal activity and essential oil composition of *Ruta chalepensis L.*”, 47<sup>th</sup> International Symposium on Essential Oils, 11-14 September, Nice, France.
10. Polatoğlu, K., **Servi, H.**, Bardakçı, H. (2016). “Essential oil composition of *Salvia candidissima* VAHL., *S. tomentosa* MILLER. and *Salvia heldreichiana* BOISS.EX.BENTHAM from Turkey”, 47<sup>th</sup> International Symposium on Essential Oils, 11-14 September, Nice, France.

11. Polatoğlu, K., **Servi, H.**, Özçınar, Ö., Gücel, S., Nalbantsoy, A. (2016). “Essential oil composition of *Arabis* species from Cyprus”, 47<sup>th</sup> International Symposium on Essential Oils, 11-14 September, Nice, France.
12. Ertürk, S., **Servi, H.**, Karakoç, Ö.C., Alkan, M., Yücel, Y.Y., Polatoğlu, K. (2016). “*Tanacetum parthenium* (Asteraceae) Uçucu Yağının İnsektisidal ve AChE Engelleyici Aktiviteleri” Uluslararası Katılımlı Türkiye VI. Bitki Koruma Kongresi, 5-8 Eylül, Konya, Türkiye.
13. Alkan, M., **Servi, H.**, Karakoç, Ö.C., Ertürk, S., Yücel, Y.Y., Polatoğlu, K. (2016). “İstanbul ve Bursa’da Toplanan *Matricaria chamomilla* var. *recutita* Uçucu Yağlarının İnsektisidal ve AChE Engelleyici Aktiviteleri”, Uluslararası Katılımlı Türkiye VI. Bitki Koruma Kongresi, 5-8 Eylül, Konya, Türkiye.

